

Comune di Albiano d'Ivrea

Provincia di Torino

**MUNICIPIO ALBIANO D'IVREA
MESSA IN SICUREZZA FABBRICATO ACCESSORIO
IN C.SO VITTORIO EMANUELE N.54**

PROGETTO ESECUTIVO

RELAZIONE SPECIALISTICA:

**CALCOLI STRUTTURALI TETTOIA CON
COPERTURA IN LEGNO (CORPO A)**

Gennaio 2021

Ing. Aldo Boffa Tarlatta -Ivrea

dot. ing. aldo boffa - tarlatta
Ordine Ingegneri Prov. Torino n. 10525V
c.f. BFF LDA 82B24 E379D p.i. 09662210016
c.so M. D'Azeglio 58 10015 IVREA
Tel. 0125 44835 328 6633278

INDICE

Descrizione dell'opera	Pag.3
Parametri sismici della struttura	Pag.5
Distanza costruzioni contigue	Pag.9
Analisi dinamica	Pag.9
Azioni nelle verifiche agli stati limite	Pag.12
Risultati analisi sismica	Pag.15
Verifica pilastri	Pag.183
Verifica travi di fondazione	Pag.188
Verifica elementi lignei della copertura	Pag.208

Descrizione dell'opera

Il palazzo municipale del Comune di Albiano d'Ivrea è costituito da un corpo di fabbrica a pianta rettangolare di due piani fuori terra. Il lato Nord si affaccia su corso Vittorio Emanuele, quello est è in cortina con altri edifici mentre la testa ovest è libera. La situazione si presenta più articolata sul lato sud poiché è presente un cortile coronato da altri edifici. Dirimpetto al municipio vi è un basso fabbricato ad uso deposito. Verso oriente ed ortogonale al municipio vi è un'alta tettoia in muratura, aderente ad un fabbricato di altra proprietà.

Oggetto dei lavori è la citata tettoia per la quale si prevedono i seguenti interventi atti alla realizzazione di due nuovi corpi di fabbrica:

- completa demolizione dei manufatti con il solo rispetto di quelli di altre proprietà adiacenti e del basso fabbricato ad uso deposito presente in cortile.
- Scavo di bonifica del terreno e riporto di materiale opportunamente costipato
- Realizzazione di platea di fondazione in c.a. con spessore 30cm
- Elevazione di pilastri in c.a.
- Realizzazione di copertura a struttura lignea per il corpo A
- Realizzazione di solaio di copertura in laterocemento per il corpo B

I corpi di fabbrica indicati come A e B saranno strutturalmente indipendenti.

Il corpo A oggetto della presente relazione sarà utilizzato come ricovero dei mezzi comunali e di questi uno in uso alla protezione civile.

Come sopra detto la nuova tettoia viene realizzata in sostituzione a quella esistente diminuendone l'altezza della copertura ma aumentandone la superficie coperta in modo da permettere il comodo ricovero di tre veicoli.

Stante l'impiego del manufatto come rimessa di veicolo della protezione civile, le calcolazioni di seguito riportate sono state eseguite considerando il nuovo manufatto con classe d'uso di categoria IV

Caratteristiche della costruzione

Localizzazione

Comune di Albiano d'Ivrea classificato come zona sismica 3

Longitudine 7,5658

Latitudine 45,2600

Destinazione d'uso e tipologia

Autorimessa con pilastri in c.a. e copertura in legno

Dimensioni principali

Lunghezza: 11,80m

Larghezza: 5,8m

Altezza: 2,9m

Interferenze con il territorio circostante e con le costruzioni esistenti

Il nuovo corpo di fabbrica è realizzato nel cortile interno del Municipio di Albiano d'Ivrea e sarà strutturalmente sgiuntato dagli altri immobili ad una distanza di 5cm.

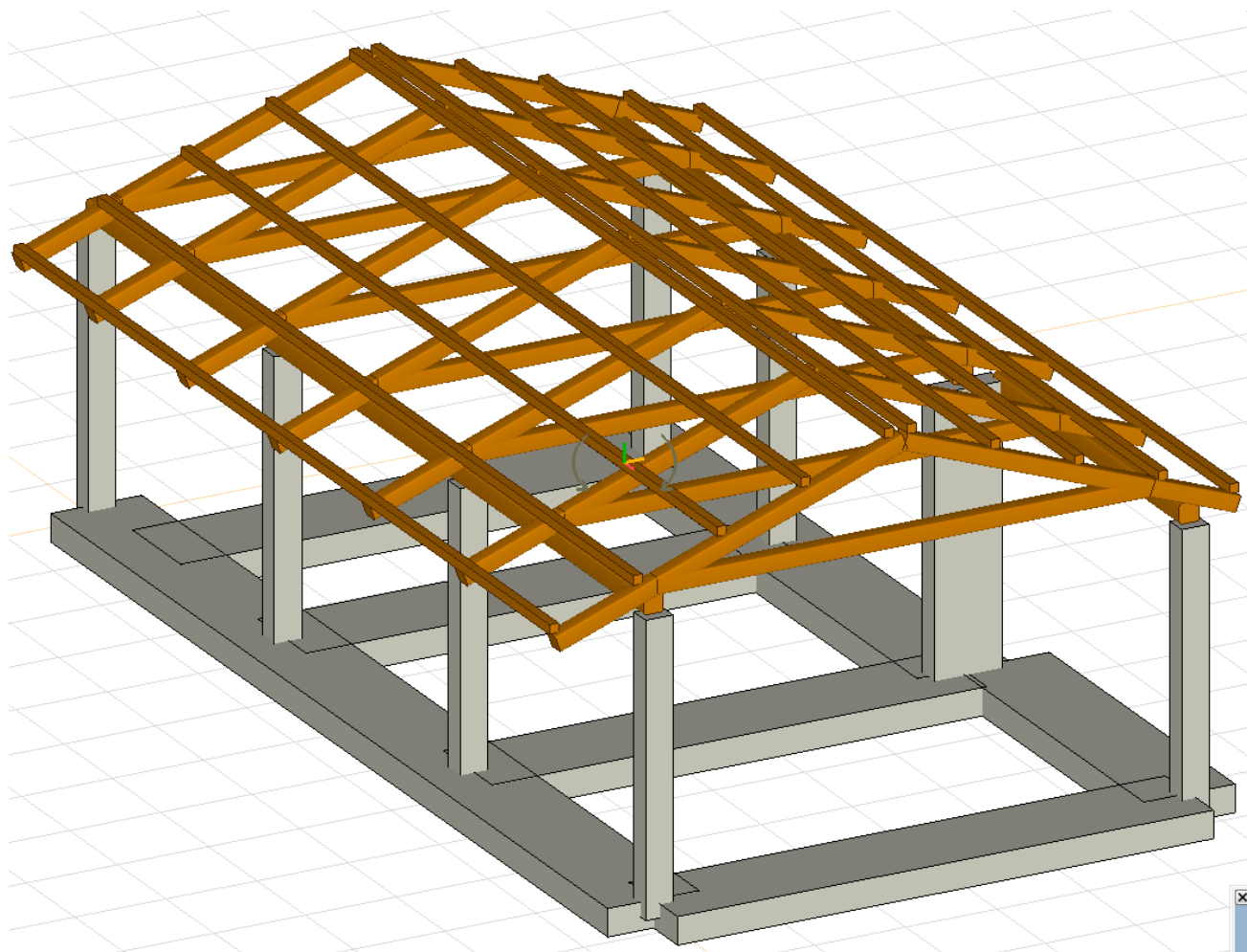


Immagine 3D del modello strutturale impiegato per le calcolazioni

Norme di riferimento

Per i calcoli illustrati in seguito sono state adottate le seguenti norme:

Legge 5/11/1971 n. 1086: Norme per la disciplina delle opere di conglomerato cementizio armato, normale e precompresso ed a struttura metallica.

DM LL.PP. 14/2/1992 n. 55: Norme tecniche per l'esecuzione delle opere in cemento armato normale e precompresso e per le strutture metalliche.

DM LL.PP. 16/1/1996 n. 19: Norme tecniche per l'esecuzione delle opere in cemento armato normale e precompresso e per le strutture metalliche.

CIRCOLARE MINISTERO DEI LAVORI PUBBLICI 4 LUGLIO 1996, N. 156AA.GG./STC: Istruzioni per l'applicazione delle "Norme tecniche relative ai criteri generali per la verifica di sicurezza delle costruzioni e dei carichi e sovraccarichi" di cui al decreto ministeriale 16 gennaio 1996.

DM LL.PP. 16/1/1996 n. 19: Norme tecniche relative ai criteri generali per la verifica di sicurezza delle costruzioni e dei carichi e sovraccarichi.

Legge 01/02/1974 n. 64: Provvedimenti per le costruzioni con particolari prescrizioni per le zone sismiche.

DM LL.PP. 16/1/1996 n. 19: Norme tecniche per le costruzioni in zone sismiche.

CNR-UNI 10024/86 del 23/7/1986: Analisi di strutture mediante elaboratore: impostazione e redazione delle relazioni di calcolo.

EC 1 UNI-ENV 1991-1 Eurocodice 1 – Basi di calcolo ed azioni sulle strutture – Parte 1.2, 2.2.

EC 2 UNI-ENV 1992-1 Eurocodice 2 – Progettazione delle strutture di calcestruzzo – Parte 1.1.

Norme Tecniche per le Costruzioni – DM 14-1-2008

C. S. LL. PP. Istruzioni per l'applicazione delle "Norme Tecniche per le Costruzioni" di cui al D.M. 14-1-2008

Norme Tecniche per le Costruzioni - 2018

Al fine di illustrare compiutamente le analisi condotte, si riportano i riferimenti alla normativa utilizzata (Norme Tecniche per le Costruzioni) indicati tra parentesi: es. (3.1.1) intendendo in questo modo riferirsi al Capitolo 3.1.1 delle NTC 2018.

Parametri sismici della struttura

Classificazione della zona ai sensi NTC2018

La struttura in esame sarà realizzata nel comune di Albiano d'Ivrea classificato come zona sismica 3.

Calcolo azione sismica (3.2)

Vita nominale (2.4.1)

Le azioni sismiche sono valutate in relazione al periodo di riferimento VR così definite:

$VR = VN \times CU$ (2.4.1).

dove VN indica la Vita Nominale i cui valori sono indicati nella Tab. 2.4.I.

Per la struttura in esame viene assunto VN = 50

Classe d'uso (2.4.2)

In base alla funzione della struttura, ai sensi del punto (2.4.2) la struttura in esame risulta viene assunta in Classe IV.

Periodo di riferimento per l'azione sismica (2.4.3)

In funzione della Classe d'uso la tabella seguente indica il valore CU da prendere in considerazione.

Tab. 2.4.II – Valori del coefficiente d'uso CU

CLASSE D'USO	I	II	III	IV
COEFFICIENTE CU	0,7	1,0	1,5	2,0

Viene quindi assunto CU=2

Da quanto sopra risulta:

$VR = VN \times CU$ cioè = 100 anni.

In base a quanto indicato in (3.2.0) si calcola il Periodo di ritorno con la formula:

$$T_R = - \frac{V_R}{\ln(1 - P_{VR})}$$

Noto TR e la localizzazione geografica del sito tramite i valori di longitudine e latitudine, la figura seguente riporta i parametri sismici che saranno utilizzati per l'analisi della struttura.

Tali valori sono stati ricavati elaborando i dati forniti dal Reticolo di riferimento (Allegato B) partendo dai valori nei nodi prossimi al sito di

costruzione.

	SLV	SLD	SLO
a_g [m/sec ²]	0,686	0,374	0,316
F_0	2,78	2,64	2,59
T_c^* [sec]	0,28	0,22	0,21
T_r [anni]	949	101	60

dove:

a_g : accelerazione orizzontale massima del terreno;

F_0 : valore massimo del fattore di amplificazione dello spettro;

T_c^* : periodo di inizio del tratto a velocità costante dello spettro in accelerazione;

P_{vr} : Probabilità di superamento nel periodo di riferimento VR.

Categoria del sottosuolo e topografica (3.2.2)

Categoria di sottosuolo

Dall'apposita Relazione Geologica, allegata a parte, si desume la categoria di sottosuolo di riferimento pari a C.

Condizione topografica

Il sito in cui sarà realizzata la struttura è classificabile come T1.

Metodi di analisi e criteri di verifica (7.3)

La struttura in esame è considerata di tipo non dissipativo con fattore di struttura $q=1$. Per l'analisi sismica si adotterà il metodo dell'analisi dinamica lineare

Spettro di progetto per le componenti orizzontali (3.2.3.2.1)

Lo spettro di progetto per le componenti orizzontali è calcolato secondo le espressioni (3.2.2) in cui:

S è il coefficiente che tiene conto della categoria di sottosuolo e delle condizioni topografiche mediante la relazione seguente

$$S = S_s \cdot S_T = 1,5 \quad (3.2.3)$$

essendo S_s il coefficiente di amplificazione stratigrafica (vedi Tab. 3.2.IV) e S_T il coefficiente di amplificazione topografica (vedi Tab. 3.2.V);

η è il fattore che altera lo spettro elastico per coefficienti di smorzamento viscosi convenzionali ξ diversi dal 5%;

F_0 è il fattore che quantifica l'amplificazione spettrale massima, su sito di riferimento rigido orizzontale, ed ha valore minimo pari a 2,2;

T_c è il periodo corrispondente all'inizio del tratto a velocità costante dello spettro, dato da

$$T_c = C_c \cdot T_c^*, \quad (3.2.5)$$

dove T_c^* è definito al § 3.2 e C_c è un coefficiente funzione della categoria di sottosuolo (vedi Tab. 3.2.IV);

T_B è il periodo corrispondente all'inizio del tratto dello spettro ad accelerazione costante,

$$T_B = T_c / 3, \quad (3.2.6)$$

T_D è il periodo corrispondente all'inizio del tratto a spostamento costante dello spettro.

Spettro di progetto per la componente verticale (3.2.3.2.2)

Lo spettro di progetto per la componente verticale è calcolato secondo le espressioni (3.2.8) in cui:

T è il periodo di vibrazione verticale

S_{ve} rappresenta l'accelerazione spettrale verticale

F_v è il fattore che quantifica l'amplificazione spettrale massima, in termini di accelerazione orizzontale massima al suolo a_g su sito di riferimento rigido orizzontale.

I valori di a_g , F_0 , S_T , S , η sono equivalenti a quelli per le componenti orizzontali; i valori di S_s , T_B , T_C , T_D sono quelli riportati nella Tab. 3.2.VI.

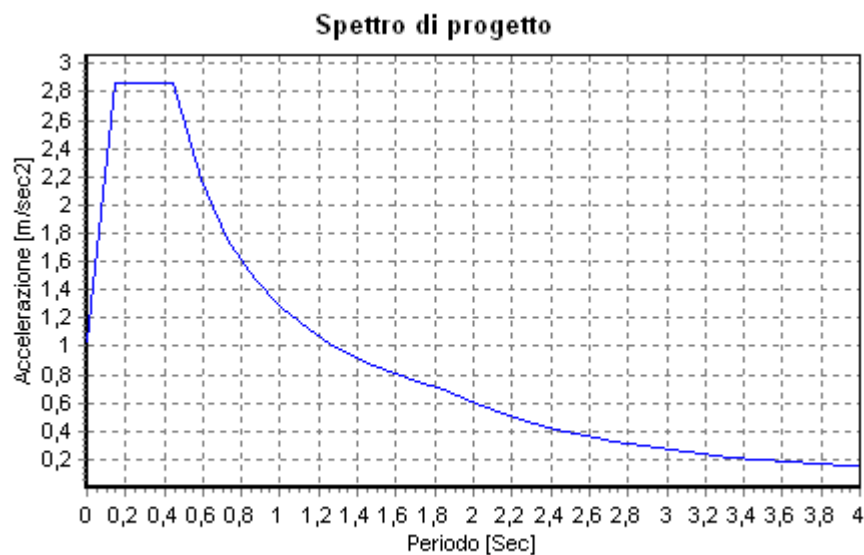
La componente verticale deve essere considerata solo in presenza di elementi pressoché orizzontali con luce superiore a 20 m, elementi precompressi (con l'esclusione dei solai di luce inferiore a 8 m), elementi a mensola di luce superiore a 4 m, strutture di tipo spingente, pilastri in falso, edifici con piani sospesi, ponti, costruzioni con isolamento nei casi specificati in § 7.10.5.3.2.

In base a questo, si è deciso di non eseguire l'analisi sismica verticale.

Spettri di progetto per gli SLU (3.2.3.5)

Lo spettro di progetto $S_d(T)$ da utilizzare, sia per le componenti orizzontali, sia per la componente verticale, è lo spettro elastico corrispondente riferito alla probabilità di superamento nel periodo di riferimento P_{VR} considerata (v. §§ 2.4 e 3.2.1), con le ordinate ridotte sostituendo nelle formule 3.2.2 η con $1/q$, dove q è il fattore di struttura.

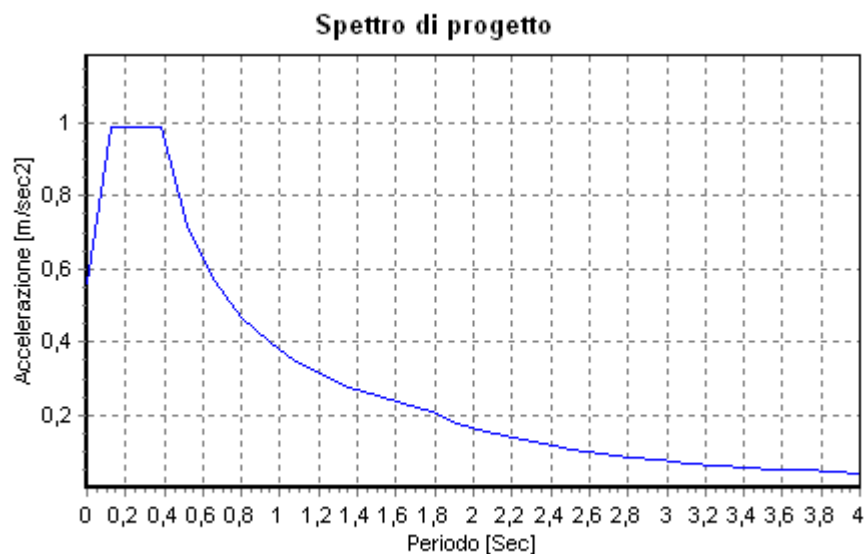
Si assumerà comunque $S_d(T) \geq 0,2a_g$.



Spettro di progetto per SLD (3.2.3.5 - 7.3)

Essendo la struttura in esame in Classe IV, per limitare i danneggiamenti strutturali, per tutti gli elementi strutturali, inclusi nodi e connessioni tra elementi, deve essere verificato che il valore di progetto di ciascuna sollecitazione (E_d) calcolato in presenza delle azioni sismiche corrispondenti allo SLD (v. § 3.2.1 e § 3.2.3.2) ed attribuendo ad η il valore di $2/3$, sia inferiore al corrispondente valore della resistenza di progetto (R_d), calcolato secondo le regole specifiche indicate per ciascun tipo strutturale nel Cap. 4 con riferimento alle situazioni eccezionali.

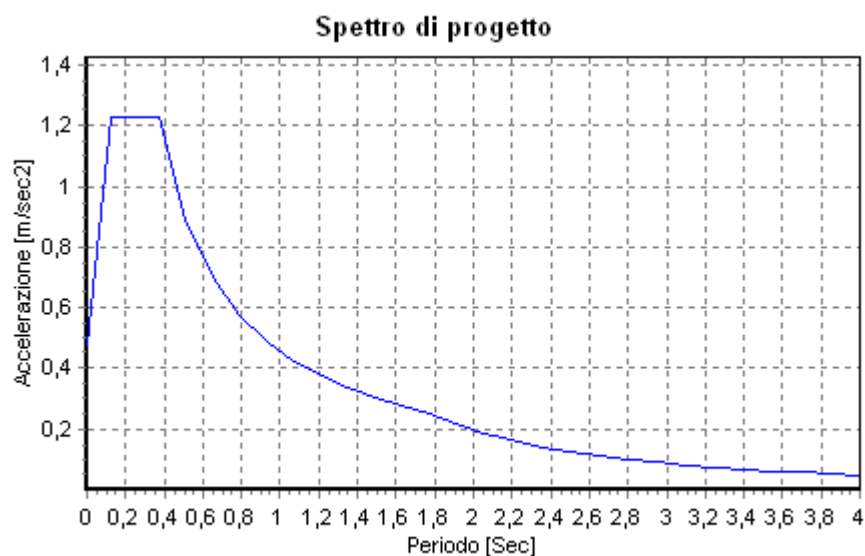
Quanto sopra equivale al calcolo dello spettro di progetto con il fattore di comportamento $q = 1,5$.



Spettro di progetto per SLO (3.2.3.4 - 7.3.6.1)

Per garantire le prestazioni previste per le condizioni di esercizio, deve essere verificato che gli spostamenti di interpiano, calcolati in presenza delle azioni sismiche corrispondenti allo SLO (v. § 3.2.1 e § 3.2.3.2) ed attribuendo ad η il valore di 1, siano inferiori ai limiti imposti al 7.3.6.1.

Quanto sopra equivale al calcolo dello spettro di progetto con il fattore di comportamento $q = 1$.



Scelta della classe di duttilità (7.2.2)

Le costruzioni soggette all'azione sismica, non dotate di appositi dispositivi d'isolamento e/o dissipativi, devono essere progettate in accordo con uno dei seguenti comportamenti strutturali:

a) *comportamento strutturale non dissipativo*,
oppure

b) comportamento strutturale dissipativo.

La struttura è stata progettata con comportamento strutturale non dissipativa.

Distanza tra costruzioni contigue

Secondo il § 7.2.1 del D.M. 17 gennaio 2018, la distanza tra costruzioni contigue deve essere tale da evitare fenomeni di martellamento e comunque non può essere inferiore alla somma degli spostamenti massimi determinati per lo SLV, calcolati per ciascuna costruzione secondo il § 7.3.3 (analisi lineare);

In ogni caso la distanza tra due punti che si fronteggiano non può essere inferiore ad $1/100$ della quota dei punti considerati misurata dal piano di fondazione, moltiplicata per $2ag \cdot S / g < 1$

Qualora non si eseguano calcoli specifici, lo spostamento massimo di una costruzione non isolata alla base, può essere stimato in $1/100$ dell'altezza della costruzione moltiplicata per $ag \cdot S / g$. In questo caso la distanza tra costruzioni contigue non potrà essere inferiore alla somma dei spostamenti massimi di ciascuna di esse.

Dalla formula di cui sopra gli spostamenti massimi dei due corpi di fabbrica risultano

UNITA' STRUTTURALE	H	ag	ag	S	D _{MAX}
	[m]	[g]	[m/s ²]	[-]	[mm]
Corpo di fabbrica in muratura	4,5	0,069	0,69	1,5	9,0
Nuovo corpo A	4,5	0,069	0,69	1,5	9,0

Di conseguenza sommando i due spostamenti si otterrebbe uno spostamento pari a 1,8cm.

Il progetto prevede la realizzazione di un giunto tra i due fabbricati di 5cm ampiamente superiore di quanto richiesto.

Analisi dinamica

Per il calcolo delle azioni sismiche si procede applicando il metodo dell'analisi dinamica lineare o analisi modale.

Questo metodo consiste nel disaccoppiare le equazioni del moto della struttura, ricavando quindi le forme modali indipendenti e per ogni forma il periodo di vibrazione e la massa partecipante.

Gli effetti dell'azione sismica saranno valutati tenendo conto delle masse associate ai seguenti carichi gravitazionali:

$$G_1 + G_2 + \sum_j \psi_{2\gamma} Q_{kj} \quad (2.5.7)$$

I valori dei coefficienti $\psi_{2\gamma}$ sono riportati nella Tabella 2.5.I

Il programma di calcolo utilizzato combina automaticamente i carichi con i coefficienti $\psi_{2\gamma}$.

Combinazione dinamica

	Combinazione Carico	Tipo Combinazione	pp+perm
1	sismico	Standard	1

Caratteristiche dei modi di vibrare

F [Hz]	T [s]
3,3605	0,2976
4,4449	0,2250
5,1288	0,1950
5,3090	0,1884
6,1730	0,1620
6,8527	0,1459
8,7117	0,1148
10,942	0,0914

5	
13,959 7	0,0716
14,726 0	0,0679

Risultati dell'analisi modale (7.3.3.1)

Devono essere considerati tutti i modi con massa partecipante significativa. È opportuno a tal riguardo considerare tutti i modi con massa partecipante superiore al 5% e comunque un numero di modi la cui massa partecipante totale sia superiore all'85%.

Nel caso tale valore non sia raggiunto, la causa è determinata dall'impossibilità di mobilitare parte della massa strutturale, in quanto vincolata a vincoli esterni rigidi.

La tabella seguente riporta il numero di forme modali considerate per effettuare il calcolo delle sollecitazioni e deformazione e la corrispondente quantità di massa partecipante.

Percentuale di massa partecipante per ciascun modo di vibrare

Caso Carico:sismico

F [Hz]	Massa Partecipante X	Massa Partecipante Y	Massa Partecipante Z	Attivo
3,3605	0,6778	0,0003	0,0000	Si
4,4449	0,0002	0,6329	0,0000	Si
5,1288	0,0014	0,0688	0,0000	Si
5,3090	0,0008	0,1521	0,0000	Si
6,1730	0,0006	0,0063	0,0000	No
6,8527	0,1744	0,0000	0,0000	Si
8,7117	0,0000	0,0063	0,0000	No
10,9425	0,0000	0,0041	0,0000	No
13,9597	0,0000	0,0057	0,0000	No
14,7260	0,0008	0,0000	0,0000	No
Totali	0,8522	0,8538	0,0000	

Combinazione dei modi di vibrare (7.3.3.1)

Per la combinazione degli effetti relativi ai singoli modi può essere utilizzata una combinazione quadratica completa degli effetti relativi a ciascun modo, quale quella indicata nell'espressione (7.3.4)

$$E = \left(\sum_j \sum_i \rho_{ij} \cdot E_i \cdot E_j \right)^{1/2}$$

con:

E_j valore dell'effetto relativo al modo j ;

ρ_{ij} coefficiente di correlazione tra il modo i e il modo j , calcolato con la formula (7.3.5b)

$$\rho_{ij} = \frac{8\xi^2\beta_{ij}^{3/2}}{(1+\beta_{ij})[(1-\beta_{ij})^2 + 4\xi^2\beta_{ij}]}$$

dove:

ξ smorzamento viscoso dei modi i e j ;

β_{ij} è il rapporto tra l'inverso dei periodi di ciascuna coppia i - j di modi ($\beta_{ij} = T_j/T_i$).

Se il periodo di vibrazione di ciascun modo differisce di almeno il 10% da quello di tutti gli altri, la combinazione degli effetti relativi ai singoli modi può essere effettuata valutando la combinazione come radice quadrata della somma dei quadrati (SRSS) degli effetti relativi a ciascun modo.

La combinazione delle forme modali utilizzata nel progetto è CQC.

Le sollecitazioni non devono essere valutate combinando le azioni nelle diverse direzioni, ma le verifiche di sicurezza debbono essere effettuate in maniera indipendente nelle due direzioni.

Eccentricità accidentale

Trattandosi di un edificio, gli effetti della eccentricità accidentale del centro di massa sono determinati mediante l'applicazione di carichi statici costituiti da momenti torcenti di valore pari alla risultante orizzontale della forza agente al piano, determinata come in § 7.3.3.2, moltiplicata per l'eccentricità accidentale del baricentro delle masse rispetto alla sua posizione di calcolo, determinata come in § 7.2.6.

Tale analisi è effettuata automaticamente dal software di calcolo utilizzato e i valori risultanti sono riportati nelle tabelle delle sollecitazioni risultanti.

Il valore di eccentricità è posto pari a 0,05.

Azioni nelle verifiche agli Stati Limite (2.6)

Stati limite ultimi (2.6.1)

Le verifiche saranno effettuate assumendo l'Approccio 2, utilizzando quindi i coefficienti riportati in tabella 2.6.I nella colonna A1.

STR: stato limite di resistenza compresi gli elementi di fondazione.

Carichi		Coefficiente	A1
		γ_F	STR
Permanenti	favorevoli	γ_{G1}	1,0
	sfavorevoli	γ_{G1}	1,3
Permanenti non strutturali ⁽¹⁾	favorevoli	γ_{G2}	0,8
	sfavorevoli	γ_{G2}	1,5
Variabili	favorevoli	γ_{Qi}	0
	sfavorevoli	γ_{Qi}	1,5

⁽¹⁾Nel caso in cui i carichi permanenti non strutturali (ad es. carichi permanenti portati) siano compiutamente definiti si potranno adottare per essi gli stessi coefficienti validi per le azioni permanenti.

Tipi di carico

I carichi presenti sono suddivisi secondo le seguenti tipologie:

Peso proprio elementi in c.a.: 2500 daN/m³

Peso proprio copertura lignea: 80 daN/m²

Sovraccarico neve: 130 daN/m²

Sovraccarico vento: 75 daN/m²

Carichi e condizioni di carico

Casi di carico

	Nome	Gruppo	Tipo Gruppo
1	pp+perm	pp+perm	Permanente
2	neve	VAR1	Accidentale
3	vento	VAR2	Accidentale
4	pp fondazioni	pp fondazioni	Permanente

Gruppi di carico

	Gruppo	Tipo Gruppo	gamma I	gamma F	gamma A	psi0	psi1	psi2	Simultaneo
1	pp+perm	Permanente	0,0000	1,3000	1,0000	0,0000	0,0000	0,0000	SI
2	VAR1	Accidentale	0,0000	1,5000	0,0000	0,5000	0,2000	0,0000	NO
3	VAR2	Accidentale	0,0000	1,5000	0,0000	0,6000	0,2000	0,0000	NO
4	pp fondazioni	Permanente	0,0000	1,3000	1,0000	0,0000	0,0000	0,0000	SI
5	SISM	Sismico	1,0000	0,0000	0,0000	0,0000	0,0000	0,0000	-

Combinazioni delle azioni (2.5.3)

Si riportano di seguito le formule utilizzate per le combinazioni delle azioni.

Ai fini delle verifiche degli stati limite si definiscono le seguenti combinazioni:

– Combinazione fondamentale, impiegata per gli stati limite ultimi di tipo statico (SLU):

$$\gamma_{G1} \cdot G_1 + \gamma_{G2} \cdot G_2 + \gamma_P \cdot P + \gamma_{Q1} \cdot Q_{k1} + \gamma_{Q2} \cdot \psi_{02} \cdot Q_{k2} + \gamma_{Q3} \cdot \psi_{03} \cdot Q_{k3} + \dots (2.5.1)$$

– Combinazione caratteristica (rara), generalmente impiegata per gli stati limite di esercizio (SLE) irreversibili:

$$G_1 + G_2 + P + Q_{k1} + \psi_{02} \cdot Q_{k2} + \psi_{03} \cdot Q_{k3} + \dots (2.5.2)$$

– Combinazione frequente, generalmente impiegata per gli stati limite di esercizio (SLE) reversibili:

$$G_1 + G_2 + P + \psi_{11} \cdot Q_{k1} + \psi_{22} \cdot Q_{k2} + \psi_{23} \cdot Q_{k3} + \dots (2.5.3)$$

– Combinazione quasi permanente (SLE), generalmente impiegata per gli effetti a lungo termine:

$$G_1 + G_2 + P + \psi_{21} \cdot Q_{k1} + \psi_{22} \cdot Q_{k2} + \psi_{23} \cdot Q_{k3} + \dots (2.5.4)$$

– Combinazione sismica, impiegata per gli stati limite ultimi e di esercizio connessi all'azione sismica E (v. § 3.2):

$$E + G_1 + G_2 + P + \psi_{21} \cdot Q_{k1} + \psi_{22} \cdot Q_{k2} + \dots (2.5.5)$$

– Combinazione per azioni sismiche

$$G_1 + G_2 + P + \sum_j \psi_{2j} \cdot Q_{kj} \quad (2.5.7)$$

Nelle combinazioni per SLE, si intende che vengono omessi i carichi Q_{kj} che danno un contributo favorevole ai fini delle verifiche e, se del caso, i carichi G_2 .

Nelle formule sopra riportate il simbolo + vuol dire *combinato con*. I valori dei coefficienti parziali di sicurezza γ_{Gi} e γ_{Qi} sono dati in § 2.6.1, Tab. 2.6.I

Tabella 2.5.I – Valori dei coefficienti di combinazione

Categoria/Azione variabile	ψ_{0j}	ψ_{1j}	ψ_{2j}
Categoria A Ambienti ad uso residenziale	0,7	0,5	0,3
Categoria B Uffici	0,7	0,5	0,3
Categoria C Ambienti suscettibili di affollamento	0,7	0,7	0,6
Categoria D Ambienti ad uso commerciale	0,7	0,7	0,6
Categoria E Biblioteche, archivi, magazzini e ambienti ad uso industriale	1,0	0,9	0,8
Categoria F Rimesse e parcheggi (per autoveicoli di peso ≤ 30 kN)	0,7	0,7	0,6
Categoria G Rimesse e parcheggi (per autoveicoli di peso > 30 kN)	0,7	0,5	0,3
Categoria H Coperture	0,0	0,0	0,0
Vento	0,6	0,2	0,0
Neve (a quota ≤ 1000 m s.l.m.)	0,5	0,2	0,0
Neve (a quota > 1000 m s.l.m.)	0,7	0,5	0,2
Variazioni termiche	0,6	0,5	0,0

Tabella 2.6.I – Coefficienti parziali per le azioni o per l'effetto delle azioni nelle verifiche SLU

Carichi		Coefficiente	A1	A2
		γ_F	STR	GEO
Permanenti	favorevoli	γ_{G1}	1,0	1,0
	sfavorevoli	γ_{G1}	1,3	1,0
Permanenti non strutturali ₍₁₎	favorevoli	γ_{G2}	0,8	0,8
	sfavorevoli	γ_{G2}	1,5	1,3
Variabili	favorevoli	γ_{Qi}	0	0

	sfavorevoli	γ_{Qi}	1,5	1,3
--	-------------	---------------	-----	-----

(1) Nel caso in cui i carichi permanenti non strutturali (ad es. carichi permanenti portati) siano compiutamente definiti si potranno adottare per essi gli stessi coefficienti validi per le azioni permanenti.

Nella Tab. 2.6.1 il significato dei simboli è il seguente:

γ_{G1} coefficiente parziale del peso proprio della struttura, nonché del peso proprio del terreno e dell'acqua, quando pertinenti;

γ_{G2} coefficiente parziale dei pesi propri degli elementi non strutturali;

γ_{Qi} coefficiente parziale delle azioni variabili.

Combinazioni statiche di carico

Combinazione Carico
[1,3*pp+perm+1,3*pp fondazioni] {1,5*neve} (1,5*0,6*vento)
[1,3*pp+perm+pp fondazioni] {1,5*neve} (1,5*0,6*vento)
[pp+perm+pp fondazioni] {1,5*neve} (1,5*0,6*vento)
[pp+perm+1,3*pp fondazioni] {1,5*neve} (1,5*0,6*vento)
[1,3*pp+perm+1,3*pp fondazioni]
[1,3*pp+perm+pp fondazioni]

Combinazioni di carico sismiche

In aggiunta, quindi, alle combinazioni statiche già descritte, sono state considerate le seguenti combinazioni sismiche:

Materiali utilizzati

Materiale	Nome	Design Name	Tipo	Ex [N/m ²]	Ey [N/m ²]	nu	alphaT [1/°C]	rho [kg/m ³]
1	C25/30	UNI EN 206 (CLS)	Cemento Armato	31475000	31475000	0,2	1E-5	2500
2	C24	UNI EN 338:2009 (Legno)	Timber	11000000	370000	0,2	8E-6	420

Caratteristiche delle sezioni

Sezione	Nome	Area [m ²]	Tipo	h [m]	b [m]	tw [m]	tf [m]	lx [m ⁴]	ly [m ⁴]	lz [m ⁴]	lyz [m ⁴]
1	fondazione 100x30	0,3000	Rettangolare	0,3000	1,0000	0,0000	0,0000	0,0073	0,0023	0,0250	0,0000
2	pilastro 25x30	0,0750	Rettangolare	0,3000	0,2500	0,0000	0,0000	0,0008	0,0006	0,0004	0,0000
3	pilastro 25x75	0,1875	Rettangolare	0,7500	0,2500	0,0000	0,0000	0,0031	0,0088	0,0010	0,0000
4	banchina 22x22	0,0476	Rettangolare	0,2200	0,2200	0,0000	0,0000	0,0003	0,0002	0,0002	0,0000
5	capriata 18x18	0,0321	Rettangolare	0,1800	0,1800	0,0000	0,0000	0,0001	0,0001	0,0001	0,0000
6	terzera 10x10	0,0100	Rettangolare	0,1000	0,1000	0,0000	0,0000	0,0000	0,0000	0,0000	0,0000

Risultati analisi sismica

Azioni sismiche per SLV

Si riportano di seguito i tabulati di calcolo relativi alle verifiche di resistenza:

Modo 1 (SEISMIC01X - SEISMIC01Y)

Piani	Fx [kN]	Fy [kN]
1	0,5795	-0,0184

Modo 2 (SEISMIC02X - SEISMIC02Y)

Piani	Fx [kN]	Fy [kN]
1	-0,0041	0,9021

Modo 3 (SEISMIC03X - SEISMIC03Y)

Piani	Fx [kN]	Fy [kN]
1	0,1281	0,0399

Modo 4 (SEISMIC04X - SEISMIC04Y)

Piani	Fx [kN]	Fy [kN]
1	-0,1021	0,0729

Modo 5 (SEISMIC06X - SEISMIC06Y)

Piani	Fx [kN]	Fy [kN]
1	0,4293	0,0041

Sollecitazioni risultanti negli elementi aste (min e max critici) per SLV

Asta	Valore	Combinazione	Nx [kN]	Vy [kN]	Vz [kN]	Tx [kNm]	My [kNm]	Mz [kNm]
2	NxMax	[pp+perm+pp fondazioni] {SEISMIC 1+}	0,2670	-0,3452	-2,9554	0,0000	0,7791	-0,0459
2	NxMin	[pp+perm+pp fondazioni] {SEISMIC 1-}	-0,2672	-0,3452	-2,9554	0,0000	0,7791	-0,0459
2	VyMax	[pp+perm+pp fondazioni] {SEISMIC 1+}	-0,2672	0,3439	-2,9554	0,0000	0,7791	-0,0459
2	VyMin	[pp+perm+pp fondazioni] {SEISMIC 1-}	-0,2672	-0,3452	-2,9554	0,0000	0,7791	-0,0459
2	VzMax	[pp+perm+pp fondazioni] {SEISMIC 1+}	-0,2672	-0,3452	-0,5191	0,0000	0,7791	-0,0459
2	VzMin	[1,3*pp+perm+1,3*pp fondazioni] {1,5*neve} (1,5*0,6*vento)	-0,0010	-0,0020	-4,6798	0,0000	1,1323	-0,0002
2	TxMax	[pp+perm+pp fondazioni] {SEISMIC 1+}	-0,2672	-0,3452	-2,9554	0,0000	0,7791	-0,0459
2	TxMin	[pp+perm+pp fondazioni] {SEISMIC 1-}	-0,2672	-0,3452	-2,9554	0,0000	0,7791	-0,0459
2	MyMax	[1,3*pp+perm+1,3*pp fondazioni] {1,5*neve} (1,5*0,6*vento)	-0,0010	-0,0020	-4,6798	0,0000	1,1323	-0,0002
2	MyMin	[1,3*pp+perm+pp fondazioni] {1,5*neve} (1,5*0,6*vento)	-0,0010	-0,0020	-4,6798	0,0000	-2,7292	0,0013
2	MzMax	[pp+perm+pp fondazioni] {SEISMIC 1+}	-0,2672	-0,3452	-2,9554	0,0000	-1,5854	0,2303
2	MzMin	[pp+perm+pp fondazioni] {SEISMIC 1-}	-0,2672	-0,3452	-2,9554	0,0000	-1,5854	-0,2295
3	NxMax	[pp+perm+pp fondazioni] {SEISMIC 1+}	-14,7616	-4,2551	5,7853	-0,0323	-0,4360	0,3856
3	NxMin	[1,3*pp+perm+1,3*pp fondazioni] {1,5*neve} (1,5*0,6*vento)	-68,7063	-0,4301	1,1847	-0,0062	-3,8446	-1,1665
3	VyMax	[pp+perm+pp fondazioni] {SEISMIC 1+}	-22,7940	3,9672	5,7853	-0,0323	-18,6595	-13,6892
3	VyMin	[pp+perm+pp fondazioni] {SEISMIC 1-}	-22,7940	-4,2551	5,7853	-0,0323	-18,6595	-13,6892
3	VzMax	[pp+perm+pp fondazioni] {SEISMIC 1+}	-22,7940	-4,2551	5,7853	-0,0323	-18,6595	-13,6892
3	VzMin	[pp+perm+pp fondazioni] {SEISMIC 1-}	-22,7940	-4,2551	-4,9668	-0,0323	-18,6595	-13,6892
3	TxMax	[pp+perm+pp fondazioni] {SEISMIC 1+}	-22,7940	-4,2551	5,7853	0,0292	-18,6595	-13,6892
3	TxMin	[pp+perm+pp fondazioni] {SEISMIC 1-}	-22,7940	-4,2551	5,7853	-0,0323	-18,6595	-13,6892

3	MyMax	[pp+perm+pp fondazioni]	{SEISMIC 1+}	-22,7940	-4,2551	5,7853	-0,0323	15,9774	-13,6892
3	MyMin	[pp+perm+pp fondazioni]	{SEISMIC 1-}	-22,7940	-4,2551	5,7853	-0,0323	-18,6595	-13,6892
3	MzMax	[pp+perm+pp fondazioni]	{SEISMIC 1+}	-22,7940	-4,2551	5,7853	-0,0323	-18,6595	12,8790
3	MzMin	[pp+perm+pp fondazioni]	{SEISMIC 1-}	-22,7940	-4,2551	5,7853	-0,0323	-18,6595	-13,6892
4	NxMax	[pp+perm+pp fondazioni]	{SEISMIC 1+}	-15,4652	-4,0938	2,8857	-0,0993	-0,2193	0,3483
4	NxMin	[1,3*pp+perm+1,3*pp fondazioni]	{1,5*neve} (1,5*0,6*vento)	-70,8635	0,2370	1,0845	-0,0418	-3,6046	0,7688
4	VyMax	[pp+perm+pp fondazioni]	{SEISMIC 1+}	-22,9464	4,0922	2,8857	-0,0993	-9,3088	-13,2366
4	VyMin	[pp+perm+pp fondazioni]	{SEISMIC 1-}	-22,9464	-4,0938	2,8857	-0,0993	-9,3088	-13,2366
4	VzMax	[pp+perm+pp fondazioni]	{SEISMIC 1+}	-22,9464	-4,0938	2,8857	-0,0993	-9,3088	-13,2366
4	VzMin	[pp+perm+pp fondazioni]	{SEISMIC 1-}	-22,9464	-4,0938	-2,0789	-0,0993	-9,3088	-13,2366
4	TxMax	[pp+perm+pp fondazioni]	{SEISMIC 1+}	-22,9464	-4,0938	2,8857	0,0779	-9,3088	-13,2366
4	TxMin	[pp+perm+pp fondazioni]	{SEISMIC 1-}	-22,9464	-4,0938	2,8857	-0,0993	-9,3088	-13,2366
4	MyMax	[pp+perm+pp fondazioni]	{SEISMIC 1+}	-22,9464	-4,0938	2,8857	-0,0993	6,6178	-13,2366
4	MyMin	[pp+perm+pp fondazioni]	{SEISMIC 1-}	-22,9464	-4,0938	2,8857	-0,0993	-9,3088	-13,2366
4	MzMax	[pp+perm+pp fondazioni]	{SEISMIC 1+}	-22,9464	-4,0938	2,8857	-0,0993	-9,3088	13,2355
4	MzMin	[pp+perm+pp fondazioni]	{SEISMIC 1-}	-22,9464	-4,0938	2,8857	-0,0993	-9,3088	-13,2366
5	NxMax	[pp+perm+pp fondazioni]	{SEISMIC 1+}	-7,2457	-3,9562	2,6123	-0,0520	-0,2485	0,4338
5	NxMin	[1,3*pp+perm+1,3*pp fondazioni]	{1,5*neve} (1,5*0,6*vento)	-37,9788	-0,9087	-0,1424	0,0033	0,3342	-2,3148
5	VyMax	[pp+perm+pp fondazioni]	{SEISMIC 1+}	-14,9165	3,2097	2,6123	-0,0520	-8,4764	-12,6426
5	VyMin	[pp+perm+pp fondazioni]	{SEISMIC 1-}	-14,9165	-3,9562	2,6123	-0,0520	-8,4764	-12,6426
5	VzMax	[pp+perm+pp fondazioni]	{SEISMIC 1+}	-14,9165	-3,9562	2,6123	-0,0520	-8,4764	-12,6426
5	VzMin	[pp+perm+pp fondazioni]	{SEISMIC 1-}	-14,9165	-3,9562	-2,4983	-0,0520	-8,4764	-12,6426
5	TxMax	[pp+perm+pp fondazioni]	{SEISMIC 1+}	-14,9165	-3,9562	2,6123	0,0467	-8,4764	-12,6426
5	TxMin	[pp+perm+pp fondazioni]	{SEISMIC 1-}	-14,9165	-3,9562	2,6123	-0,0520	-8,4764	-12,6426
5	MyMax	[pp+perm+pp fondazioni]	{SEISMIC 1+}	-14,9165	-3,9562	2,6123	-0,0520	8,0070	-12,6426
5	MyMin	[pp+perm+pp fondazioni]	{SEISMIC 1-}	-14,9165	-3,9562	2,6123	-0,0520	-8,4764	-12,6426
5	MzMax	[pp+perm+pp fondazioni]	{SEISMIC 1+}	-14,9165	-3,9562	2,6123	-0,0520	-8,4764	10,5407
5	MzMin	[pp+perm+pp fondazioni]	{SEISMIC 1-}	-14,9165	-3,9562	2,6123	-0,0520	-8,4764	-12,6426
6	NxMax	[pp+perm+pp fondazioni]	{SEISMIC 1+}	-11,2347	-2,8877	-5,2260	-0,0317	0,4741	-0,3855
6	NxMin	[1,3*pp+perm+1,3*pp fondazioni]	{1,5*neve} (1,5*0,6*vento)	-54,9823	-0,0589	-0,6310	-0,0098	2,2287	-0,3084
6	VyMax	[pp+perm+pp fondazioni]	{SEISMIC 1+}	-19,0416	2,8466	-5,2260	-0,0317	16,9359	-9,4614
6	VyMin	[pp+perm+pp fondazioni]	{SEISMIC 1-}	-19,0416	-2,8877	-5,2260	-0,0317	16,9359	-9,4614
6	VzMax	[pp+perm+pp fondazioni]	{SEISMIC 1+}	-19,0416	-2,8877	4,7698	-0,0317	16,9359	-9,4614
6	VzMin	[pp+perm+pp fondazioni]	{SEISMIC 1-}	-19,0416	-2,8877	-5,2260	-0,0317	16,9359	-9,4614
6	TxMax	[pp+perm+pp fondazioni]	{SEISMIC 1+}	-19,0416	-2,8877	-5,2260	0,0270	16,9359	-9,4614
6	TxMin	[pp+perm+pp fondazioni]	{SEISMIC 1-}	-19,0416	-2,8877	-5,2260	-0,0317	16,9359	-9,4614
6	MyMax	[pp+perm+pp fondazioni]	{SEISMIC 1+}	-19,0416	-2,8877	-5,2260	-0,0317	16,9359	-9,4614
6	MyMin	[pp+perm+pp fondazioni]	{SEISMIC 1-}	-19,0416	-2,8877	-5,2260	-0,0317	-15,3343	-9,4614
6	MzMax	[pp+perm+pp fondazioni]	{SEISMIC 1+}	-19,0416	-2,8877	-5,2260	-0,0317	16,9359	9,2559
6	MzMin	[pp+perm+pp fondazioni]	{SEISMIC 1-}	-19,0416	-2,8877	-5,2260	-0,0317	16,9359	-9,4614
7	NxMax	[pp+perm+pp fondazioni]	{SEISMIC 1+}	-14,4323	6,2801	-7,7075	-1,6584	-1,6621	-0,9808
7	NxMin	[1,3*pp+perm+1,3*pp fondazioni]	{1,5*neve} (1,5*0,6*vento)	-78,0647	0,5573	-1,6629	-1,5791	1,7344	1,3017
7	VyMax	[pp+perm+pp fondazioni]	{SEISMIC 1+}	-30,7570	6,2801	-7,7075	-1,6584	24,0854	20,3964
7	VyMin	[pp+perm+pp fondazioni]	{SEISMIC 1-}	-30,7570	-6,0343	-7,7075	-1,6584	24,0854	20,3964
7	VzMax	[pp+perm+pp fondazioni]	{SEISMIC 1+}	-30,7570	6,2801	6,5477	-1,6584	24,0854	20,3964
7	VzMin	[pp+perm+pp fondazioni]	{SEISMIC 1-}	-30,7570	6,2801	-7,7075	-1,6584	24,0854	20,3964
7	TxMax	[pp+perm+pp fondazioni]	{SEISMIC 1+}	-30,7570	6,2801	-7,7075	0,8602	24,0854	20,3964
7	TxMin	[pp+perm+pp fondazioni]	{SEISMIC 1-}	-30,7570	6,2801	-7,7075	-1,6584	24,0854	20,3964

7	MyMax	[pp+perm+pp fondazioni]	{SEISMIC 1+}	-30,7570	6,2801	-7,7075	-1,6584	24,0854	20,3964
7	MyMin	[pp+perm+pp fondazioni]	{SEISMIC 1-}	-30,7570	6,2801	-7,7075	-1,6584	-22,2809	20,3964
7	MzMax	[pp+perm+pp fondazioni]	{SEISMIC 1+}	-30,7570	6,2801	-7,7075	-1,6584	24,0854	20,3964
7	MzMin	[pp+perm+pp fondazioni]	{SEISMIC 1-}	-30,7570	6,2801	-7,7075	-1,6584	24,0854	-19,8600
8	NxMax	[pp+perm+pp fondazioni]	{SEISMIC 1+}	-7,0550	2,8052	-4,5820	0,0735	0,4240	0,1175
8	NxMin	[1,3*pp+perm+1,3*pp fondazioni]	{1,5*neve} (1,5*0,6*vento)	-38,9980	-0,1145	-0,9432	0,0509	3,2411	-0,2528
8	VyMax	[pp+perm+pp fondazioni]	{SEISMIC 1+}	-16,0999	2,8052	-4,5820	0,0735	14,8568	8,9402
8	VyMin	[pp+perm+pp fondazioni]	{SEISMIC 1-}	-16,0999	-2,7040	-4,5820	0,0735	14,8568	8,9402
8	VzMax	[pp+perm+pp fondazioni]	{SEISMIC 1+}	-16,0999	2,8052	3,9218	0,0735	14,8568	8,9402
8	VzMin	[pp+perm+pp fondazioni]	{SEISMIC 1-}	-16,0999	2,8052	-4,5820	0,0735	14,8568	8,9402
8	TxMax	[pp+perm+pp fondazioni]	{SEISMIC 1+}	-16,0999	2,8052	-4,5820	0,0735	14,8568	8,9402
8	TxMin	[pp+perm+pp fondazioni]	{SEISMIC 1-}	-16,0999	2,8052	-4,5820	-0,0449	14,8568	8,9402
8	MyMax	[pp+perm+pp fondazioni]	{SEISMIC 1+}	-16,0999	2,8052	-4,5820	0,0735	14,8568	8,9402
8	MyMin	[pp+perm+pp fondazioni]	{SEISMIC 1-}	-16,0999	2,8052	-4,5820	0,0735	-12,5943	8,9402
8	MzMax	[pp+perm+pp fondazioni]	{SEISMIC 1+}	-16,0999	2,8052	-4,5820	0,0735	14,8568	8,9402
8	MzMin	[pp+perm+pp fondazioni]	{SEISMIC 1-}	-16,0999	2,8052	-4,5820	0,0735	14,8568	-8,5815
9	NxMax	[pp+perm+pp fondazioni]	{SEISMIC 1+}	-5,2372	3,7342	3,0138	0,1406	-0,2639	0,3509
9	NxMin	[1,3*pp+perm+pp fondazioni]	{1,5*neve} (1,5*0,6*vento)	-30,2225	1,2130	0,5978	0,0464	-1,9226	3,9543
9	VyMax	[pp+perm+pp fondazioni]	{SEISMIC 1+}	-13,1135	3,7342	3,0138	0,1406	-9,7565	12,1130
9	VyMin	[pp+perm+pp fondazioni]	{SEISMIC 1-}	-13,1135	-2,6419	3,0138	0,1406	-9,7565	12,1130
9	VzMax	[pp+perm+pp fondazioni]	{SEISMIC 1+}	-13,1135	3,7342	3,0138	0,1406	-9,7565	12,1130
9	VzMin	[pp+perm+pp fondazioni]	{SEISMIC 1-}	-13,1135	3,7342	-2,5777	0,1406	-9,7565	12,1130
9	TxMax	[pp+perm+pp fondazioni]	{SEISMIC 1+}	-13,1135	3,7342	3,0138	0,1406	-9,7565	12,1130
9	TxMin	[pp+perm+pp fondazioni]	{SEISMIC 1-}	-13,1135	3,7342	3,0138	-0,1083	-9,7565	12,1130
9	MyMax	[pp+perm+pp fondazioni]	{SEISMIC 1+}	-13,1135	3,7342	3,0138	0,1406	8,3256	12,1130
9	MyMin	[pp+perm+pp fondazioni]	{SEISMIC 1-}	-13,1135	3,7342	3,0138	0,1406	-9,7565	12,1130
9	MzMax	[pp+perm+pp fondazioni]	{SEISMIC 1+}	-13,1135	3,7342	3,0138	0,1406	-9,7565	12,1130
9	MzMin	[pp+perm+pp fondazioni]	{SEISMIC 1-}	-13,1135	3,7342	3,0138	0,1406	-9,7565	-8,5520
10	NxMax	[pp+perm+pp fondazioni]	{SEISMIC 1+}	1,4958	1,1333	3,9489	-0,1433	-0,4085	0,2185
10	NxMin	[pp+perm+pp fondazioni]	{SEISMIC 1-}	-1,5084	1,1333	3,9489	-0,1433	-0,4085	0,2185
10	VyMax	[pp+perm+pp fondazioni]	{SEISMIC 1+}	-1,5084	1,1333	3,9489	-0,1433	-0,4085	0,2185
10	VyMin	[pp+perm+pp fondazioni]	{SEISMIC 1-}	-1,5084	-0,5578	3,9489	-0,1433	-0,4085	0,2185
10	VzMax	[1,3*pp+perm+pp fondazioni]	{1,5*neve} (1,5*0,6*vento)	1,0216	0,9310	11,0484	-0,0729	8,6273	-0,6480
10	VzMin	[pp+perm+pp fondazioni]	{SEISMIC 1-}	-1,5084	1,1333	2,2188	-0,1433	-0,4085	0,2185
10	TxMax	[pp+perm+pp fondazioni]	{SEISMIC 1+}	-1,5084	1,1333	3,9489	0,0900	-0,4085	0,2185
10	TxMin	[pp+perm+pp fondazioni]	{SEISMIC 1-}	-1,5084	1,1333	3,9489	-0,1433	-0,4085	0,2185
10	MyMax	[1,3*pp+perm+pp fondazioni]	{1,5*neve} (1,5*0,6*vento)	1,0216	0,9310	11,0484	-0,0729	8,6273	-0,6480
10	MyMin	[pp+perm+pp fondazioni]	{SEISMIC 1-}	-1,5084	1,1333	3,9489	-0,1433	-0,4085	0,2185
10	MzMax	[pp+perm+pp fondazioni]	{SEISMIC 1+}	-1,5084	1,1333	4,1059	-0,1433	3,4547	0,4754
10	MzMin	[pp+perm+pp fondazioni]	{SEISMIC 1-}	-1,5084	1,1333	4,1059	-0,1433	3,4547	-0,8808
21	NxMax	[1,3*pp+perm+1,3*pp fondazioni]	{1,5*neve} (1,5*0,6*vento)	36,5190	-0,0461	-0,6872	-0,0137	0,8363	-0,1789
21	NxMin	[pp+perm+pp fondazioni]	{SEISMIC 1-}	9,2623	-0,0483	-0,5509	-0,0101	0,7557	-0,5446
21	VyMax	[pp+perm+pp fondazioni]	{SEISMIC 1+}	9,4765	0,0221	-0,5509	-0,0101	0,7557	-0,5446
21	VyMin	[pp+perm+pp fondazioni]	{SEISMIC 1-}	9,4765	-0,0483	-0,5509	-0,0101	0,7557	-0,5446
21	VzMax	[pp+perm+pp fondazioni]	{SEISMIC 1+}	9,4765	-0,0483	0,4394	-0,0101	0,4591	0,3520
21	VzMin	[1,3*pp+perm+1,3*pp fondazioni]	{1,5*neve} (1,5*0,6*vento)	36,5190	-0,0461	-0,6872	-0,0137	0,8363	-0,1789
21	TxMax	[pp+perm+pp fondazioni]	{SEISMIC 1+}	9,4765	-0,0483	-0,5509	0,0023	0,7557	-0,5446
21	TxMin	[1,3*pp+perm+1,3*pp fondazioni]	{1,5*neve} (1,5*0,6*vento)	36,5190	-0,0461	-0,6872	-0,0137	0,8363	-0,1789

21	MyMax	[1,3*pp+perm+1,3*pp fondazioni] {1,5*neve} (1,5*0,6*vento)	36,5190	-0,0461	-0,6872	-0,0137	0,8363	-0,1789
21	MyMin	[1,3*pp+perm+1,3*pp fondazioni] {1,5*neve} (1,5*0,6*vento)	36,5190	-0,0461	-0,0345	-0,0137	-0,5353	-0,0035
21	MzMax	[pp+perm+pp fondazioni] {SEISMIC 1+}	9,4765	-0,0483	-0,5509	-0,0101	0,7557	0,4472
21	MzMin	[pp+perm+pp fondazioni] {SEISMIC 1-}	9,4765	-0,0483	-0,5509	-0,0101	0,7557	-0,5446
24	NxMax	[1,3*pp+perm+1,3*pp fondazioni] {1,5*neve} (1,5*0,6*vento)	41,2991	0,0189	-0,6386	-0,0002	0,6591	0,0484
24	NxMin	[pp+perm+pp fondazioni] {SEISMIC 1-}	7,4885	0,0421	-0,5073	-0,0078	0,5447	0,5049
24	VyMax	[pp+perm+pp fondazioni] {SEISMIC 1+}	13,7761	0,0421	-0,5073	-0,0078	0,5447	0,5049
24	VyMin	[pp+perm+pp fondazioni] {SEISMIC 1-}	13,7761	-0,0344	-0,5073	-0,0078	0,5447	0,5049
24	VzMax	[pp+perm+pp fondazioni] {SEISMIC 1+}	13,7761	0,0421	0,4253	-0,0078	0,4890	-0,3392
24	VzMin	[1,3*pp+perm+1,3*pp fondazioni] {1,5*neve} (1,5*0,6*vento)	41,2991	0,0189	-0,6386	-0,0002	0,6591	0,0484
24	TxMax	[pp+perm+pp fondazioni] {SEISMIC 1+}	13,7761	0,0421	-0,5073	0,0073	0,5447	0,5049
24	TxMin	[pp+perm+pp fondazioni] {SEISMIC 1-}	13,7761	0,0421	-0,5073	-0,0078	0,5447	0,5049
24	MyMax	[1,3*pp+perm+1,3*pp fondazioni] {1,5*neve} (1,5*0,6*vento)	41,2991	0,0189	-0,6386	-0,0002	0,6591	0,0484
24	MyMin	[1,3*pp+perm+1,3*pp fondazioni] {1,5*neve} (1,5*0,6*vento)	41,2991	0,0189	0,0141	-0,0002	-0,5277	-0,0235
24	MzMax	[pp+perm+pp fondazioni] {SEISMIC 1+}	13,7761	0,0421	-0,5073	-0,0078	0,5447	0,5049
24	MzMin	[pp+perm+pp fondazioni] {SEISMIC 1-}	13,7761	0,0421	-0,5073	-0,0078	0,5447	-0,4852
27	NxMax	[1,3*pp+perm+1,3*pp fondazioni] {1,5*neve} (1,5*0,6*vento)	15,4251	-0,0174	-0,5437	-0,0055	0,2504	-0,0778
27	NxMin	[pp+perm+pp fondazioni] {SEISMIC 1-}	3,5019	-0,0494	-0,4729	-0,0104	0,4900	-0,4774
27	VyMax	[pp+perm+pp fondazioni] {SEISMIC 1+}	4,0675	0,0382	-0,4729	-0,0104	0,4900	-0,4774
27	VyMin	[pp+perm+pp fondazioni] {SEISMIC 1-}	4,0675	-0,0494	-0,4729	-0,0104	0,4900	-0,4774
27	VzMax	[1,3*pp+perm+pp fondazioni]	4,9201	-0,0073	0,4428	-0,0023	0,1778	0,0108
27	VzMin	[1,3*pp+perm+1,3*pp fondazioni] {1,5*neve} (1,5*0,6*vento)	15,4251	-0,0174	-0,5437	-0,0055	0,2504	-0,0778
27	TxMax	[pp+perm+pp fondazioni] {SEISMIC 1+}	4,0675	-0,0494	-0,4729	0,0069	0,4900	-0,4774
27	TxMin	[pp+perm+pp fondazioni] {SEISMIC 1-}	4,0675	-0,0494	-0,4729	-0,0104	0,4900	-0,4774
27	MyMax	[pp+perm+pp fondazioni] {SEISMIC 1+}	4,0675	-0,0494	-0,4729	-0,0104	0,4900	-0,4774
27	MyMin	[1,3*pp+perm+1,3*pp fondazioni] {1,5*neve} (1,5*0,6*vento)	15,4251	-0,0174	0,0157	-0,0055	-0,6096	-0,0213
27	MzMax	[pp+perm+pp fondazioni] {SEISMIC 1+}	4,0675	-0,0494	-0,4729	-0,0104	0,4900	0,4332
27	MzMin	[pp+perm+pp fondazioni] {SEISMIC 1-}	4,0675	-0,0494	-0,4729	-0,0104	0,4900	-0,4774
28	NxMax	[1,3*pp+perm+pp fondazioni] {1,5*neve} (1,5*0,6*vento)	11,3558	0,4337	-8,7316	-0,0580	0,0000	0,5095
28	NxMin	[pp+perm+pp fondazioni] {SEISMIC 1-}	2,1053	0,9300	-2,5586	-0,0877	0,0000	0,4660
28	VyMax	[pp+perm+pp fondazioni] {SEISMIC 1+}	3,8726	0,9300	-2,5586	-0,0877	0,0000	0,4660
28	VyMin	[pp+perm+pp fondazioni] {SEISMIC 1-}	3,8726	-0,6897	-2,5586	-0,0877	0,0000	0,4660
28	VzMax	[pp+perm+pp fondazioni] {SEISMIC 1+}	3,8726	0,9300	-1,7884	-0,0877	-4,5071	-1,3071
28	VzMin	[1,3*pp+perm+1,3*pp fondazioni] {1,5*neve} (1,5*0,6*vento)	11,3558	0,4337	-8,7316	-0,0580	0,0000	0,5095
28	TxMax	[pp+perm+pp fondazioni] {SEISMIC 1+}	3,8726	0,9300	-2,5586	0,0541	0,0000	0,4660
28	TxMin	[pp+perm+pp fondazioni] {SEISMIC 1-}	3,8726	0,9300	-2,5586	-0,0877	0,0000	0,4660
28	MyMax	[pp+perm+pp fondazioni] {SEISMIC 1+}	3,8726	0,9300	-2,5586	-0,0877	0,0000	0,4660
28	MyMin	[1,3*pp+perm+1,3*pp fondazioni] {1,5*neve} (1,5*0,6*vento)	11,3558	0,4337	-8,2469	-0,0580	-16,1295	-0,3147
28	MzMax	[pp+perm+pp fondazioni] {SEISMIC 1+}	3,8726	0,9300	-2,1857	-0,0877	-4,5071	1,1406
28	MzMin	[pp+perm+pp fondazioni] {SEISMIC 1-}	3,8726	0,9300	-2,1857	-0,0877	-4,5071	-1,3071
29	NxMax	[1,3*pp+perm+pp fondazioni] {1,5*neve} (1,5*0,6*vento)	9,9577	0,0037	8,1362	0,0018	-16,3506	-0,3333
29	NxMin	[pp+perm+pp fondazioni] {SEISMIC 1-}	0,3397	1,4210	2,1500	-0,0909	-4,5655	-1,3966
29	VyMax	[pp+perm+pp fondazioni] {SEISMIC 1+}	4,9654	1,4210	2,1500	-0,0909	-4,5655	-1,3966
29	VyMin	[pp+perm+pp fondazioni] {SEISMIC 1-}	4,9654	-1,4096	2,1500	-0,0909	-4,5655	-1,3966
29	VzMax	[1,3*pp+perm+1,3*pp fondazioni] {1,5*neve} (1,5*0,6*vento)	9,9577	0,0037	8,6336	0,0018	0,0000	-0,3406
29	VzMin	[pp+perm+pp fondazioni] {SEISMIC 1-}	4,9654	1,4210	1,7572	-0,0909	-4,5655	-1,3966
29	TxMax	[pp+perm+pp fondazioni] {SEISMIC 1+}	4,9654	1,4210	2,1500	0,0908	-4,5655	-1,3966
29	TxMin	[pp+perm+pp fondazioni] {SEISMIC 1-}	4,9654	1,4210	2,1500	-0,0909	-4,5655	-1,3966

29	MyMax	[pp+perm+pp fondazioni] {SEISMIC 1+}	4,9654	1,4210	2,5326	-0,0909	0,0000	-1,5821
29	MyMin	[1,3*pp+perm+1,3*pp fondazioni] {1,5*neve} (1,5*0,6*vento)	9,9577	0,0037	8,1362	0,0018	-16,3506	-0,3333
29	MzMax	[pp+perm+pp fondazioni] {SEISMIC 1+}	4,9654	1,4210	2,5326	-0,0909	0,0000	1,3868
29	MzMin	[pp+perm+pp fondazioni] {SEISMIC 1-}	4,9654	1,4210	2,5326	-0,0909	0,0000	-1,5821
30	NxMax	[1,3*pp+perm+pp fondazioni] {1,5*neve} (1,5*0,6*vento)	4,5789	0,0179	-8,5971	0,0233	0,0000	0,1299
30	NxMin	[pp+perm+pp fondazioni] {SEISMIC 1-}	-0,8797	0,7301	-2,6204	0,0709	0,0000	0,2889
30	VyMax	[pp+perm+pp fondazioni] {SEISMIC 1+}	2,9933	0,7301	-2,6204	0,0709	0,0000	0,2889
30	VyMin	[pp+perm+pp fondazioni] {SEISMIC 1-}	2,9933	-0,7158	-2,6204	0,0709	0,0000	0,2889
30	VzMax	[pp+perm+pp fondazioni] {SEISMIC 1+}	2,9933	0,7301	-1,7007	0,0709	-4,6245	1,1569
30	VzMin	[1,3*pp+perm+pp fondazioni] {1,5*neve} (1,5*0,6*vento)	4,5789	0,0179	-8,5971	0,0233	0,0000	0,1299
30	TxMax	[pp+perm+pp fondazioni] {SEISMIC 1+}	2,9933	0,7301	-2,6204	0,0709	0,0000	0,2889
30	TxMin	[pp+perm+pp fondazioni] {SEISMIC 1-}	2,9933	0,7301	-2,6204	-0,0574	0,0000	0,2889
30	MyMax	[pp+perm+pp fondazioni] {SEISMIC 1+}	2,9933	0,7301	-2,6204	0,0709	0,0000	0,2889
30	MyMin	[1,3*pp+perm+pp fondazioni] {1,5*neve} (1,5*0,6*vento)	4,5789	0,0179	-8,1124	0,0233	-15,8741	0,0959
30	MzMax	[pp+perm+pp fondazioni] {SEISMIC 1+}	2,9933	0,7301	-2,2475	0,0709	-4,6245	1,1569
30	MzMin	[pp+perm+pp fondazioni] {SEISMIC 1-}	2,9933	0,7301	-2,2475	0,0709	-4,6245	-1,1019
31	NxMax	[pp+perm+pp fondazioni] {SEISMIC 1+}	7,2668	0,7984	2,1642	0,1216	-4,5932	1,2202
31	NxMin	[pp+perm+pp fondazioni] {SEISMIC 1-}	-5,6132	0,7984	2,1642	0,1216	-4,5932	1,2202
31	VyMax	[pp+perm+pp fondazioni] {SEISMIC 1+}	7,2668	0,7984	2,1642	0,1216	-4,5932	1,2202
31	VyMin	[pp+perm+pp fondazioni] {SEISMIC 1-}	7,2668	-0,7551	2,1642	0,1216	-4,5932	1,2202
31	VzMax	[1,3*pp+perm+pp fondazioni] {1,5*neve} (1,5*0,6*vento)	3,3730	0,0733	8,4705	0,0177	0,0000	-0,0385
31	VzMin	[pp+perm+pp fondazioni] {SEISMIC 1-}	7,2668	0,7984	1,6914	0,1216	-4,5932	1,2202
31	TxMax	[pp+perm+pp fondazioni] {SEISMIC 1+}	7,2668	0,7984	2,1642	0,1216	-4,5932	1,2202
31	TxMin	[pp+perm+pp fondazioni] {SEISMIC 1-}	7,2668	0,7984	2,1642	-0,1119	-4,5932	1,2202
31	MyMax	[pp+perm+pp fondazioni] {SEISMIC 1+}	7,2668	0,7984	2,5468	0,1216	0,0000	-0,3424
31	MyMin	[1,3*pp+perm+pp fondazioni] {1,5*neve} (1,5*0,6*vento)	3,3730	0,0733	7,9731	0,0177	-16,0325	0,1044
31	MzMax	[pp+perm+pp fondazioni] {SEISMIC 1+}	7,2668	0,7984	2,1642	0,1216	-4,5932	1,2202
31	MzMin	[pp+perm+pp fondazioni] {SEISMIC 1-}	7,2668	0,7984	2,1642	0,1216	-4,5932	-1,1597
34	NxMax	[1,3*pp+perm+pp fondazioni] {1,5*neve} (1,5*0,6*vento)	18,7080	-0,1092	-0,3874	-0,0318	-0,1413	-0,4095
34	NxMin	[pp+perm+pp fondazioni] {SEISMIC 1-}	3,2013	-0,0608	-0,4362	-0,0147	0,3647	-0,5485
34	VyMax	[pp+perm+pp fondazioni] {SEISMIC 1+}	6,2565	-0,0001	-0,4362	-0,0147	0,3647	-0,5485
34	VyMin	[1,3*pp+perm+pp fondazioni] {1,5*neve} (1,5*0,6*vento)	18,7080	-0,1092	-0,3874	-0,0318	-0,1413	-0,4095
34	VzMax	[1,3*pp+perm+pp fondazioni] {1,5*neve} (1,5*0,6*vento)	18,7080	-0,1092	0,5450	-0,0318	0,2866	0,1834
34	VzMin	[pp+perm+pp fondazioni] {SEISMIC 1-}	6,2565	-0,0608	-0,4362	-0,0147	0,3647	-0,5485
34	TxMax	[pp+perm+pp fondazioni] {SEISMIC 1+}	6,2565	-0,0608	-0,4362	-0,0030	0,3647	-0,5485
34	TxMin	[1,3*pp+perm+1,3*pp fondazioni] {1,5*neve} (1,5*0,6*vento)	18,7080	-0,1092	-0,3874	-0,0318	-0,1413	-0,4095
34	MyMax	[pp+perm+pp fondazioni] {SEISMIC 1+}	6,2565	-0,0608	0,4856	-0,0147	0,5775	0,3427
34	MyMin	[1,3*pp+perm+1,3*pp fondazioni] {1,5*neve} (1,5*0,6*vento)	18,7080	-0,1092	-0,0144	-0,0318	-0,5777	-0,1724
34	MzMax	[pp+perm+pp fondazioni] {SEISMIC 1+}	6,2565	-0,0608	0,4856	-0,0147	0,5775	0,3427
34	MzMin	[pp+perm+pp fondazioni] {SEISMIC 1-}	6,2565	-0,0608	-0,4362	-0,0147	0,3647	-0,5485
35	NxMax	[1,3*pp+perm+pp fondazioni] {1,5*neve} (1,5*0,6*vento)	14,4386	-0,6669	9,2145	-0,0314	-17,9680	-0,6880
35	NxMin	[pp+perm+pp fondazioni] {SEISMIC 1-}	1,3683	-0,8186	2,6897	-0,0963	-5,4647	-1,0440
35	VyMax	[pp+perm+pp fondazioni] {SEISMIC 1+}	6,3436	0,4313	2,6897	-0,0963	-5,4647	-1,0440
35	VyMin	[pp+perm+pp fondazioni] {SEISMIC 1-}	6,3436	-0,8186	2,6897	-0,0963	-5,4647	-1,0440
35	VzMax	[1,3*pp+perm+pp fondazioni] {1,5*neve} (1,5*0,6*vento)	14,4386	-0,6669	9,6992	-0,0314	0,0000	0,5791
35	VzMin	[pp+perm+pp fondazioni] {SEISMIC 1-}	6,3436	-0,8186	1,8850	-0,0963	-5,4647	-1,0440
35	TxMax	[pp+perm+pp fondazioni] {SEISMIC 1+}	6,3436	-0,8186	2,6897	0,0809	-5,4647	-1,0440
35	TxMin	[pp+perm+pp fondazioni] {SEISMIC 1-}	6,3436	-0,8186	2,6897	-0,0963	-5,4647	-1,0440

35	MyMax	[pp+perm+pp fondazioni] {SEISMIC 1+}	6,3436	-0,8186	3,0626	-0,0963	0,0000	0,5166
35	MyMin	[1,3*pp+perm+pp fondazioni] {1,5*neve} (1,5*0,6*vento)	14,4386	-0,6669	9,2145	-0,0314	-17,9680	-0,6880
35	MzMax	[pp+perm+pp fondazioni] {SEISMIC 1+}	6,3436	-0,8186	2,6897	-0,0963	-5,4647	0,6332
35	MzMin	[pp+perm+pp fondazioni] {SEISMIC 1-}	6,3436	-0,8186	2,6897	-0,0963	-5,4647	-1,0440
36	NxMax	[pp+perm+pp fondazioni] {SEISMIC 1+}	3,0731	-0,8120	1,1535	-0,0464	-2,5458	-1,2376
36	NxMin	[pp+perm+pp fondazioni] {SEISMIC 1-}	-2,6293	-0,8120	1,1535	-0,0464	-2,5458	-1,2376
36	VyMax	[pp+perm+pp fondazioni] {SEISMIC 1+}	3,0731	0,5999	1,1535	-0,0464	-2,5458	-1,2376
36	VyMin	[pp+perm+pp fondazioni] {SEISMIC 1-}	3,0731	-0,8120	1,1535	-0,0464	-2,5458	-1,2376
36	VzMax	[1,3*pp+perm+pp fondazioni] {1,5*neve} (1,5*0,6*vento)	1,6341	-0,3804	3,0174	-0,0493	0,0000	0,1570
36	VzMin	[pp+perm+pp fondazioni] {SEISMIC 1-}	3,0731	-0,8120	-0,2256	-0,0464	-2,5458	-1,2376
36	TxMax	[pp+perm+pp fondazioni] {SEISMIC 1+}	3,0731	-0,8120	1,1535	0,0167	-2,5458	-1,2376
36	TxMin	[1,3*pp+perm+pp fondazioni] {1,5*neve} (1,5*0,6*vento)	1,6341	-0,3804	2,5327	-0,0493	-5,2726	-0,5659
36	MyMax	[pp+perm+pp fondazioni] {SEISMIC 1+}	3,0731	-0,8120	1,1535	-0,0464	0,0745	-1,2376
36	MyMin	[1,3*pp+perm+pp fondazioni] {1,5*neve} (1,5*0,6*vento)	1,6341	-0,3804	2,5327	-0,0493	-5,2726	-0,5659
36	MzMax	[pp+perm+pp fondazioni] {SEISMIC 1+}	3,0731	-0,8120	1,1535	-0,0464	-2,5458	0,9309
36	MzMin	[pp+perm+pp fondazioni] {SEISMIC 1-}	3,0731	-0,8120	1,1535	-0,0464	-2,5458	-1,2376
37	NxMax	[1,3*pp+perm+pp fondazioni] {1,5*neve} (1,5*0,6*vento)	0,9070	-0,0122	-20,4174	0,0934	8,7479	-0,5972
37	NxMin	[pp+perm+pp fondazioni] {SEISMIC 1-}	-0,7956	-2,6923	-6,2062	0,0995	3,6087	-0,9225
37	VyMax	[pp+perm+pp fondazioni] {SEISMIC 1+}	0,8842	2,6076	-6,2062	0,0995	3,6087	-0,9225
37	VyMin	[pp+perm+pp fondazioni] {SEISMIC 1-}	0,8842	-2,6923	-6,2062	0,0995	3,6087	-0,9225
37	VzMax	[pp+perm+pp fondazioni] {SEISMIC 1+}	0,8842	-2,6923	-4,5356	0,0995	-1,9410	-1,2854
37	VzMin	[1,3*pp+perm+1,3*pp fondazioni] {1,5*neve} (1,5*0,6*vento)	0,9070	-0,0122	-20,4174	0,0934	8,7479	-0,5972
37	TxMax	[pp+perm+pp fondazioni] {SEISMIC 1+}	0,8842	-2,6923	-6,2062	0,0995	3,6087	-0,9225
37	TxMin	[pp+perm+pp fondazioni] {SEISMIC 1-}	0,8842	-2,6923	-6,2062	-0,0427	3,6087	-0,9225
37	MyMax	[1,3*pp+perm+1,3*pp fondazioni] {1,5*neve} (1,5*0,6*vento)	0,9070	-0,0122	-20,4174	0,0934	8,7479	-0,5972
37	MyMin	[1,3*pp+perm+1,3*pp fondazioni] {1,5*neve} (1,5*0,6*vento)	0,9070	-0,0122	-20,2388	0,0934	-5,4818	-0,5886
37	MzMax	[pp+perm+pp fondazioni] {SEISMIC 1+}	0,8842	-2,6923	-6,0688	0,0995	-1,9410	0,9680
37	MzMin	[pp+perm+pp fondazioni] {SEISMIC 1-}	0,8842	-2,6923	-6,0688	0,0995	-1,9410	-1,2854
40	NxMax	[1,3*pp+perm+pp fondazioni] {1,5*neve} (1,5*0,6*vento)	12,7006	0,1192	-0,5777	0,0167	0,5843	0,3257
40	NxMin	[pp+perm+pp fondazioni] {SEISMIC 1-}	1,9088	0,0530	-0,4635	0,0081	0,5333	0,5121
40	VyMax	[1,3*pp+perm+1,3*pp fondazioni] {1,5*neve} (1,5*0,6*vento)	12,7006	0,1192	-0,5777	0,0167	0,5843	0,3257
40	VyMin	[pp+perm+pp fondazioni] {SEISMIC 1-}	5,4378	0,0109	-0,4635	0,0081	0,5333	0,5121
40	VzMax	[1,3*pp+perm+pp fondazioni]	4,7753	0,0415	0,4273	0,0057	0,2071	-0,1105
40	VzMin	[1,3*pp+perm+1,3*pp fondazioni] {1,5*neve} (1,5*0,6*vento)	12,7006	0,1192	-0,5777	0,0167	0,5843	0,3257
40	TxMax	[1,3*pp+perm+1,3*pp fondazioni] {1,5*neve} (1,5*0,6*vento)	12,7006	0,1192	-0,5777	0,0167	0,5843	0,3257
40	TxMin	[pp+perm+pp fondazioni] {SEISMIC 1-}	5,4378	0,0530	-0,4635	0,0007	0,5333	0,5121
40	MyMax	[1,3*pp+perm+1,3*pp fondazioni] {1,5*neve} (1,5*0,6*vento)	12,7006	0,1192	-0,5777	0,0167	0,5843	0,3257
40	MyMin	[1,3*pp+perm+1,3*pp fondazioni] {1,5*neve} (1,5*0,6*vento)	12,7006	0,1192	-0,0183	0,0167	-0,3866	-0,0627
40	MzMax	[pp+perm+pp fondazioni] {SEISMIC 1+}	5,4378	0,0530	-0,4635	0,0081	0,5333	0,5121
40	MzMin	[pp+perm+pp fondazioni] {SEISMIC 1-}	5,4378	0,0530	0,4037	0,0081	0,3575	-0,4281
41	NxMax	[pp+perm+pp fondazioni] {SEISMIC 1+}	3,1811	2,3521	-7,3194	-0,0170	0,0000	0,1406
41	NxMin	[pp+perm+pp fondazioni] {SEISMIC 1-}	-2,0888	2,3521	-7,3194	-0,0170	0,0000	0,1406
41	VyMax	[pp+perm+pp fondazioni] {SEISMIC 1+}	3,1811	2,3521	-7,3194	-0,0170	0,0000	0,1406
41	VyMin	[pp+perm+pp fondazioni] {SEISMIC 1-}	3,1811	-1,9160	-7,3194	-0,0170	0,0000	0,1406
41	VzMax	[pp+perm+pp fondazioni] {SEISMIC 1+}	3,1811	2,3521	-5,1489	-0,0170	-3,2739	-0,9200
41	VzMin	[1,3*pp+perm+pp fondazioni] {1,5*neve} (1,5*0,6*vento)	1,2130	0,5978	-22,6903	0,0261	0,0000	0,0464
41	TxMax	[pp+perm+pp fondazioni] {1,5*neve} (1,5*0,6*vento)	1,0491	0,5323	-20,8068	0,0275	0,0000	0,0415
41	TxMin	[pp+perm+pp fondazioni] {SEISMIC 1-}	3,1811	2,3521	-7,3194	-0,0170	0,0000	0,1406

41	MyMax	[pp+perm+pp fondazioni] {SEISMIC 1+}	3,1811	2,3521	-7,3194	-0,0170	0,0000	0,1406
41	MyMin	[1,3*pp+perm+pp fondazioni] {1,5*neve} (1,5*0,6*vento)	1,2130	0,5978	-22,5755	0,0261	-10,1848	-0,2226
41	MzMax	[pp+perm+pp fondazioni] {SEISMIC 1+}	3,1811	2,3521	-7,2311	-0,0170	-3,2739	0,7560
41	MzMin	[pp+perm+pp fondazioni] {SEISMIC 1-}	3,1811	2,3521	-7,2311	-0,0170	-3,2739	-0,9200
42	NxMax	[1,3*pp+perm+1,3*pp fondazioni] {1,5*neve} (1,5*0,6*vento)	20,9595	0,2922	-6,9553	-0,0196	-6,7952	-0,1489
42	NxMin	[pp+perm+pp fondazioni] {SEISMIC 1-}	5,1718	0,2613	-1,8922	-0,0382	-2,1142	-0,8273
42	VyMax	[1,3*pp+perm+pp fondazioni] {1,5*neve} (1,5*0,6*vento)	20,9595	0,2922	-6,9553	-0,0196	-6,7952	-0,1489
42	VyMin	[pp+perm+pp fondazioni] {SEISMIC 1-}	6,1669	-0,0975	-1,8922	-0,0382	-2,1142	-0,8273
42	VzMax	[pp+perm+pp fondazioni] {SEISMIC 1+}	6,1669	0,2613	-1,4402	-0,0382	-4,7213	-1,0255
42	VzMin	[1,3*pp+perm+1,3*pp fondazioni] {1,5*neve} (1,5*0,6*vento)	20,9595	0,2922	-6,9553	-0,0196	-6,7952	-0,1489
42	TxMax	[pp+perm+pp fondazioni] {SEISMIC 1+}	6,1669	0,2613	-1,8922	0,0255	-2,1142	-0,8273
42	TxMin	[pp+perm+pp fondazioni] {SEISMIC 1-}	6,1669	0,2613	-1,8922	-0,0382	-2,1142	-0,8273
42	MyMax	[pp+perm+pp fondazioni] {SEISMIC 1+}	6,1669	0,2613	-1,8922	-0,0382	-1,7188	-0,8273
42	MyMin	[1,3*pp+perm+1,3*pp fondazioni] {1,5*neve} (1,5*0,6*vento)	20,9595	0,2922	-6,5726	-0,0196	-16,9411	-0,5872
42	MzMax	[pp+perm+pp fondazioni] {SEISMIC 1+}	6,1669	0,2613	-1,8922	-0,0382	-2,1142	0,7120
42	MzMin	[pp+perm+pp fondazioni] {SEISMIC 1-}	6,1669	0,2613	-1,5978	-0,0382	-4,7213	-1,0255
45	NxMax	[pp+perm+pp fondazioni] {SEISMIC 1+}	-6,1356	-2,6097	2,5732	-0,0689	0,3403	0,2333
45	NxMin	[1,3*pp+perm+1,3*pp fondazioni] {1,5*neve} (1,5*0,6*vento)	-31,9496	-0,4950	0,5126	-0,0642	-1,1070	-1,1394
45	VyMax	[pp+perm+pp fondazioni] {SEISMIC 1+}	-12,8361	2,2474	2,5732	-0,0689	-7,7506	-7,8635
45	VyMin	[pp+perm+pp fondazioni] {SEISMIC 1-}	-12,8361	-2,6097	2,5732	-0,0689	-7,7506	-7,8635
45	VzMax	[pp+perm+pp fondazioni] {SEISMIC 1+}	-12,8361	-2,6097	2,5732	-0,0689	-7,7506	-7,8635
45	VzMin	[pp+perm+pp fondazioni] {SEISMIC 1-}	-12,8361	-2,6097	-2,4723	-0,0689	-7,7506	-7,8635
45	TxMax	[pp+perm+pp fondazioni] {SEISMIC 1+}	-12,8361	-2,6097	2,5732	0,0390	-7,7506	-7,8635
45	TxMin	[pp+perm+pp fondazioni] {SEISMIC 1-}	-12,8361	-2,6097	2,5732	-0,0689	-7,7506	-7,8635
45	MyMax	[pp+perm+pp fondazioni] {SEISMIC 1+}	-12,8361	-2,6097	2,5732	-0,0689	7,7152	-7,8635
45	MyMin	[pp+perm+pp fondazioni] {SEISMIC 1-}	-12,8361	-2,6097	2,5732	-0,0689	-7,7506	-7,8635
45	MzMax	[pp+perm+pp fondazioni] {SEISMIC 1+}	-12,8361	-2,6097	2,5732	-0,0689	-7,7506	6,9400
45	MzMin	[pp+perm+pp fondazioni] {SEISMIC 1-}	-12,8361	-2,6097	2,5732	-0,0689	-7,7506	-7,8635
49	NxMax	[1,3*pp+perm+1,3*pp fondazioni] {1,5*neve} (1,5*0,6*vento)	20,2663	-0,2628	-1,1827	-0,0513	1,5245	-0,3173
49	NxMin	[pp+perm+pp fondazioni] {SEISMIC 1-}	4,0573	-0,0893	-0,6278	-0,0221	0,7659	-0,4695
49	VyMax	[pp+perm+pp fondazioni] {SEISMIC 1+}	7,1627	-0,0374	-0,6278	-0,0221	0,7659	-0,4695
49	VyMin	[1,3*pp+perm+pp fondazioni] {1,5*neve} (1,5*0,6*vento)	20,2663	-0,2628	-1,1827	-0,0513	1,5245	-0,3173
49	VzMax	[pp+perm+pp fondazioni] {SEISMIC 1+}	7,1627	-0,0893	0,2410	-0,0221	-0,6959	0,7559
49	VzMin	[1,3*pp+perm+1,3*pp fondazioni] {1,5*neve} (1,5*0,6*vento)	20,2663	-0,2628	-1,1827	-0,0513	1,5245	-0,3173
49	TxMax	[pp+perm+pp fondazioni] {SEISMIC 1+}	7,1627	-0,0893	-0,6278	-0,0029	0,7659	-0,4695
49	TxMin	[1,3*pp+perm+1,3*pp fondazioni] {1,5*neve} (1,5*0,6*vento)	20,2663	-0,2628	-1,1827	-0,0513	1,5245	-0,3173
49	MyMax	[1,3*pp+perm+1,3*pp fondazioni] {1,5*neve} (1,5*0,6*vento)	20,2663	-0,2628	-1,1827	-0,0513	1,5245	-0,3173
49	MyMin	[1,3*pp+perm+1,3*pp fondazioni] {1,5*neve} (1,5*0,6*vento)	20,2663	-0,2628	-0,2504	-0,0513	-2,3662	1,1095
49	MzMax	[1,3*pp+perm+1,3*pp fondazioni] {1,5*neve} (1,5*0,6*vento)	20,2663	-0,2628	-0,2504	-0,0513	-2,3662	1,1095
49	MzMin	[pp+perm+pp fondazioni] {SEISMIC 1-}	7,1627	-0,0893	-0,6278	-0,0221	0,7659	-0,4695
50	NxMax	[pp+perm+pp fondazioni] {SEISMIC 1+}	0,4481	-1,6102	10,0602	3,1381	-12,0657	-2,5293
50	NxMin	[pp+perm+pp fondazioni] {SEISMIC 1-}	-1,1840	-1,6102	10,0602	3,1381	-12,0657	-2,5293
50	VyMax	[pp+perm+pp fondazioni] {SEISMIC 1+}	-1,1840	1,5134	10,0602	3,1381	-12,0657	-2,5293
50	VyMin	[pp+perm+pp fondazioni] {SEISMIC 1-}	-1,1840	-1,6102	10,0602	3,1381	-12,0657	-2,5293
50	VzMax	[1,3*pp+perm+pp fondazioni] {1,5*neve} (1,5*0,6*vento)	-0,7011	-0,1673	16,2350	1,0142	-13,3931	-0,3323
50	VzMin	[pp+perm+pp fondazioni] {SEISMIC 1-}	-1,1840	-1,6102	-0,2753	3,1381	-12,0657	-2,5293
50	TxMax	[pp+perm+pp fondazioni] {SEISMIC 1+}	-1,1840	-1,6102	10,0602	3,1381	-12,0657	-2,5293
50	TxMin	[pp+perm+pp fondazioni] {SEISMIC 1-}	-1,1840	-1,6102	10,0602	-2,7585	-12,0657	-2,5293

50	MyMax	[pp+perm+pp fondazioni] {SEISMIC 1+}	-1,1840	-1,6102	10,0602	3,1381	5,4320	-2,5293
50	MyMin	[1,3*pp+perm+pp fondazioni] {1,5*neve} (1,5*0,6*vento)	-0,7011	-0,1673	16,2350	1,0142	-13,3931	-0,3323
50	MzMax	[pp+perm+pp fondazioni] {SEISMIC 1+}	-1,1840	-1,6102	10,0602	3,1381	-12,0657	2,3325
50	MzMin	[pp+perm+pp fondazioni] {SEISMIC 1-}	-1,1840	-1,6102	10,0602	3,1381	-12,0657	-2,5293
51	NxMax	[pp+perm+pp fondazioni] {SEISMIC 1+}	-0,1284	-1,1061	5,7846	3,1381	5,2752	-1,0703
51	NxMin	[1,3*pp+perm+1,3*pp fondazioni] {1,5*neve} (1,5*0,6*vento)	-0,6993	-0,1623	5,0527	1,0142	2,3974	-0,1714
51	VyMax	[pp+perm+pp fondazioni] {SEISMIC 1+}	-0,6064	1,0125	5,7846	3,1381	5,2752	-1,0703
51	VyMin	[pp+perm+pp fondazioni] {SEISMIC 1-}	-0,6064	-1,1061	5,7846	3,1381	5,2752	-1,0703
51	VzMax	[pp+perm+pp fondazioni] {SEISMIC 1+}	-0,6064	-1,1061	5,7846	3,1381	5,2752	-1,0703
51	VzMin	[pp+perm+pp fondazioni] {SEISMIC 1-}	-0,6064	-1,1061	-2,8447	3,1381	5,2752	-1,0703
51	TxMax	[pp+perm+pp fondazioni] {SEISMIC 1+}	-0,6064	-1,1061	5,7846	3,1381	5,2752	-1,0703
51	TxMin	[pp+perm+pp fondazioni] {SEISMIC 1-}	-0,6064	-1,1061	5,7846	-2,7585	5,2752	-1,0703
51	MyMax	[1,3*pp+perm+1,3*pp fondazioni] {1,5*neve} (1,5*0,6*vento)	-0,6993	-0,1623	5,0527	1,0142	7,2607	-0,0152
51	MyMin	[pp+perm+pp fondazioni] {SEISMIC 1-}	-0,6064	-1,1061	5,7846	3,1381	-2,4988	-1,0703
51	MzMax	[pp+perm+pp fondazioni] {SEISMIC 1+}	-0,6064	-1,1061	5,7846	3,1381	5,2752	0,9667
51	MzMin	[pp+perm+pp fondazioni] {SEISMIC 1-}	-0,6064	-1,1061	5,7846	3,1381	5,2752	-1,0703
52	NxMax	[pp+perm+pp fondazioni] {SEISMIC 1+}	0,2395	-0,9784	-5,9871	3,1381	3,7168	-0,1914
52	NxMin	[pp+perm+pp fondazioni] {SEISMIC 1-}	-0,9738	-0,9784	-5,9871	3,1381	3,7168	-0,1914
52	VyMax	[pp+perm+pp fondazioni] {SEISMIC 1+}	-0,9738	0,8866	-5,9871	3,1381	3,7168	-0,1914
52	VyMin	[pp+perm+pp fondazioni] {SEISMIC 1-}	-0,9738	-0,9784	-5,9871	3,1381	3,7168	-0,1914
52	VzMax	[pp+perm+pp fondazioni] {SEISMIC 1+}	-0,9738	-0,9784	2,0530	3,1381	3,7168	-0,1914
52	VzMin	[1,3*pp+perm+1,3*pp fondazioni] {1,5*neve} (1,5*0,6*vento)	-0,6981	-0,1598	-6,2212	1,0142	7,2836	-0,0154
52	TxMax	[pp+perm+pp fondazioni] {SEISMIC 1+}	-0,9738	-0,9784	-5,9871	3,1381	3,7168	-0,1914
52	TxMin	[pp+perm+pp fondazioni] {SEISMIC 1-}	-0,9738	-0,9784	-5,9871	-2,7585	3,7168	-0,1914
52	MyMax	[1,3*pp+perm+1,3*pp fondazioni] {1,5*neve} (1,5*0,6*vento)	-0,6981	-0,1598	-6,2212	1,0142	7,2836	-0,0154
52	MyMin	[pp+perm+pp fondazioni] {SEISMIC 1-}	-0,9738	-0,9784	-5,9871	3,1381	-3,1236	0,8421
52	MzMax	[pp+perm+pp fondazioni] {SEISMIC 1+}	-0,9738	-0,9784	-5,9871	3,1381	4,9576	0,8421
52	MzMin	[pp+perm+pp fondazioni] {SEISMIC 1-}	-0,9738	-0,9784	-5,9871	3,1381	4,9576	-0,7674
53	NxMax	[pp+perm+pp fondazioni] {SEISMIC 1+}	0,8995	-1,3145	-10,0744	3,1381	4,9617	0,8378
53	NxMin	[pp+perm+pp fondazioni] {SEISMIC 1-}	-1,6341	-1,3145	-10,0744	3,1381	4,9617	0,8378
53	VyMax	[pp+perm+pp fondazioni] {SEISMIC 1+}	-1,6341	1,2229	-10,0744	3,1381	4,9617	0,8378
53	VyMin	[pp+perm+pp fondazioni] {SEISMIC 1-}	-1,6341	-1,3145	-10,0744	3,1381	4,9617	0,8378
53	VzMax	[pp+perm+pp fondazioni] {SEISMIC 1+}	-1,6341	-1,3145	-1,1322	3,1381	4,9617	0,8378
53	VzMin	[1,3*pp+perm+1,3*pp fondazioni] {1,5*neve} (1,5*0,6*vento)	-0,6976	-0,1602	-18,0906	1,0142	1,3430	0,1383
53	TxMax	[pp+perm+pp fondazioni] {SEISMIC 1+}	-1,6341	-1,3145	-10,0744	3,1381	4,9617	0,8378
53	TxMin	[pp+perm+pp fondazioni] {SEISMIC 1-}	-1,6341	-1,3145	-10,0744	-2,7585	4,9617	0,8378
53	MyMax	[pp+perm+pp fondazioni] {SEISMIC 1+}	-1,6341	-1,3145	-10,0744	3,1381	4,9617	0,8378
53	MyMin	[1,3*pp+perm+pp fondazioni] {1,5*neve} (1,5*0,6*vento)	-0,6976	-0,1602	-18,0906	1,0142	-16,2396	0,2924
53	MzMax	[pp+perm+pp fondazioni] {SEISMIC 1+}	-1,6341	-1,3145	-10,0744	3,1381	-12,4766	1,9870
53	MzMin	[pp+perm+pp fondazioni] {SEISMIC 1-}	-1,6341	-1,3145	-10,0744	3,1381	-12,4766	-1,8243
54	NxMax	[pp+perm+pp fondazioni] {SEISMIC 1+}	0,2810	1,6101	11,5576	3,2061	-10,6027	2,0133
54	NxMin	[pp+perm+pp fondazioni] {SEISMIC 1-}	-0,9703	1,6101	11,5576	3,2061	-10,6027	2,0133
54	VyMax	[pp+perm+pp fondazioni] {SEISMIC 1+}	-0,9703	1,6101	11,5576	3,2061	-10,6027	2,0133
54	VyMin	[pp+perm+pp fondazioni] {SEISMIC 1-}	-0,9703	-1,5596	11,5576	3,2061	-10,6027	2,0133
54	VzMax	[1,3*pp+perm+pp fondazioni] {1,5*neve} (1,5*0,6*vento)	-0,8298	0,0708	20,5988	2,2001	-16,5271	0,1323
54	VzMin	[pp+perm+pp fondazioni] {SEISMIC 1-}	-0,9703	1,6101	1,2301	3,2061	-10,6027	2,0133
54	TxMax	[pp+perm+pp fondazioni] {SEISMIC 1+}	-0,9703	1,6101	11,5576	3,2061	-10,6027	2,0133
54	TxMin	[pp+perm+pp fondazioni] {SEISMIC 1-}	-0,9703	1,6101	11,5576	-1,0734	-10,6027	2,0133

54	MyMax	[pp+perm+pp fondazioni] {SEISMIC 1+}	-0,9703	1,6101	11,5576	3,2061	3,5281	0,4926
54	MyMin	[1,3*pp+perm+pp fondazioni] {1,5*neve} (1,5*0,6*vento)	-0,8298	0,0708	20,5988	2,2001	-16,5271	0,1323
54	MzMax	[pp+perm+pp fondazioni] {SEISMIC 1+}	-0,9703	1,6101	11,5576	3,2061	-10,6027	2,0133
54	MzMin	[pp+perm+pp fondazioni] {SEISMIC 1-}	-0,9703	1,6101	11,5576	3,2061	-10,6027	-1,9169
55	NxMax	[pp+perm+pp fondazioni] {SEISMIC 1+}	-0,1853	1,0708	7,4660	3,2061	3,5088	0,4963
55	NxMin	[1,3*pp+perm+1,3*pp fondazioni] {1,5*neve} (1,5*0,6*vento)	-0,8308	0,0697	9,1058	2,2001	3,4033	0,0642
55	VyMax	[pp+perm+pp fondazioni] {SEISMIC 1+}	-0,5056	1,0708	7,4660	3,2061	3,5088	0,4963
55	VyMin	[pp+perm+pp fondazioni] {SEISMIC 1-}	-0,5056	-1,0206	7,4660	3,2061	3,5088	0,4963
55	VzMax	[1,3*pp+perm+pp fondazioni] {1,5*neve} (1,5*0,6*vento)	-0,8308	0,0697	9,1058	2,2001	3,2329	0,0642
55	VzMin	[pp+perm+pp fondazioni] {SEISMIC 1-}	-0,5056	1,0708	-1,9574	3,2061	3,5088	0,4963
55	TxMax	[pp+perm+pp fondazioni] {SEISMIC 1+}	-0,5056	1,0708	7,4660	3,2061	3,5088	0,4963
55	TxMin	[pp+perm+pp fondazioni] {SEISMIC 1-}	-0,5056	1,0708	7,4660	-1,0734	3,5088	0,4963
55	MyMax	[1,3*pp+perm+1,3*pp fondazioni] {1,5*neve} (1,5*0,6*vento)	-0,8308	0,0697	9,1058	2,2001	12,1676	-0,0029
55	MyMin	[pp+perm+pp fondazioni] {SEISMIC 1-}	-0,5056	1,0708	7,4660	3,2061	0,2508	0,4963
55	MzMax	[pp+perm+pp fondazioni] {SEISMIC 1+}	-0,5056	1,0708	7,4660	3,2061	7,7091	0,5611
55	MzMin	[pp+perm+pp fondazioni] {SEISMIC 1-}	-0,5056	1,0708	7,4660	3,2061	7,7091	-0,5615
56	NxMax	[pp+perm+pp fondazioni] {SEISMIC 1+}	0,4126	0,7275	-5,1640	3,2061	7,7287	-0,5596
56	NxMin	[pp+perm+pp fondazioni] {SEISMIC 1-}	-1,1060	0,7275	-5,1640	3,2061	7,7287	-0,5596
56	VyMax	[pp+perm+pp fondazioni] {SEISMIC 1+}	-1,1060	0,7275	-5,1640	3,2061	7,7287	-0,5596
56	VyMin	[pp+perm+pp fondazioni] {SEISMIC 1-}	-1,1060	-0,6766	-5,1640	3,2061	7,7287	-0,5596
56	VzMax	[pp+perm+pp fondazioni] {SEISMIC 1+}	-1,1060	0,7275	3,5472	3,2061	7,7287	-0,5596
56	VzMin	[pp+perm+pp fondazioni] {SEISMIC 1-}	-1,1060	0,7275	-5,1640	3,2061	7,7287	-0,5596
56	TxMax	[pp+perm+pp fondazioni] {SEISMIC 1+}	-1,1060	0,7275	-5,1640	3,2061	7,7287	-0,5596
56	TxMin	[pp+perm+pp fondazioni] {SEISMIC 1-}	-1,1060	0,7275	-5,1640	-1,0734	7,7287	-0,5596
56	MyMax	[1,3*pp+perm+1,3*pp fondazioni] {1,5*neve} (1,5*0,6*vento)	-0,8326	0,0699	-1,6949	2,2001	12,1542	-0,0028
56	MyMin	[pp+perm+pp fondazioni] {SEISMIC 1-}	-1,1060	0,7275	-5,1640	3,2061	-3,4309	-1,1468
56	MzMax	[pp+perm+pp fondazioni] {SEISMIC 1+}	-1,1060	0,7275	-5,1640	3,2061	10,9493	1,0974
56	MzMin	[pp+perm+pp fondazioni] {SEISMIC 1-}	-1,1060	0,7275	-5,1640	3,2061	10,9493	-1,1468
57	NxMax	[pp+perm+pp fondazioni] {SEISMIC 1+}	1,0793	0,8518	-8,6237	3,2061	11,0374	-1,1467
57	NxMin	[pp+perm+pp fondazioni] {SEISMIC 1-}	-1,7757	0,8518	-8,6237	3,2061	11,0374	-1,1467
57	VyMax	[pp+perm+pp fondazioni] {SEISMIC 1+}	-1,7757	0,8518	-8,6237	3,2061	11,0374	-1,1467
57	VyMin	[pp+perm+pp fondazioni] {SEISMIC 1-}	-1,7757	-0,7993	-8,6237	3,2061	11,0374	-1,1467
57	VzMax	[pp+perm+pp fondazioni] {SEISMIC 1+}	-1,7757	0,8518	-0,7622	3,2061	11,0374	-1,1467
57	VzMin	[1,3*pp+perm+1,3*pp fondazioni] {1,5*neve} (1,5*0,6*vento)	-0,8352	0,0715	-12,9358	2,2001	10,5910	-0,0700
57	TxMax	[pp+perm+pp fondazioni] {SEISMIC 1+}	-1,7757	0,8518	-8,6237	3,2061	11,0374	-1,1467
57	TxMin	[pp+perm+pp fondazioni] {SEISMIC 1-}	-1,7757	0,8518	-8,6237	-1,0734	11,0374	-1,1467
57	MyMax	[pp+perm+pp fondazioni] {SEISMIC 1+}	-1,7757	0,8518	-8,6237	3,2061	11,0374	-1,1467
57	MyMin	[pp+perm+pp fondazioni] {SEISMIC 1-}	-1,7757	0,8518	-8,6237	3,2061	-11,3514	-1,7708
57	MzMax	[pp+perm+pp fondazioni] {SEISMIC 1+}	-1,7757	0,8518	-8,6237	3,2061	-11,3514	1,6709
57	MzMin	[pp+perm+pp fondazioni] {SEISMIC 1-}	-1,7757	0,8518	-8,6237	3,2061	-11,3514	-1,7708
58	NxMax	[pp+perm+pp fondazioni] {SEISMIC 1+}	0,4496	-1,4105	9,0581	3,7145	-8,9608	-2,1061
58	NxMin	[pp+perm+pp fondazioni] {SEISMIC 1-}	-0,5417	-1,4105	9,0581	3,7145	-8,9608	-2,1061
58	VyMax	[pp+perm+pp fondazioni] {SEISMIC 1+}	-0,5417	1,3904	9,0581	3,7145	-8,9608	-2,1061
58	VyMin	[pp+perm+pp fondazioni] {SEISMIC 1-}	-0,5417	-1,4105	9,0581	3,7145	-8,9608	-2,1061
58	VzMax	[1,3*pp+perm+pp fondazioni] {1,5*neve} (1,5*0,6*vento)	0,1250	-0,0039	13,4274	1,6563	-8,0135	-0,1466
58	VzMin	[pp+perm+pp fondazioni] {SEISMIC 1-}	-0,5417	-1,4105	-0,6145	3,7145	-8,9608	-2,1061
58	TxMax	[pp+perm+pp fondazioni] {SEISMIC 1+}	-0,5417	-1,4105	9,0581	3,7145	-8,9608	-2,1061
58	TxMin	[pp+perm+pp fondazioni] {SEISMIC 1-}	-0,5417	-1,4105	9,0581	-2,7496	-8,9608	-2,1061

58	MyMax	[pp+perm+pp fondazioni]	{SEISMIC 1+}	-0,5417	-1,4105	9,0581	3,7145	6,1458	-2,1061
58	MyMin	[pp+perm+pp fondazioni]	{SEISMIC 1-}	-0,5417	-1,4105	9,0581	3,7145	-8,9608	-2,1061
58	MzMax	[pp+perm+pp fondazioni]	{SEISMIC 1+}	-0,5417	-1,4105	9,0581	3,7145	-8,9608	2,0046
58	MzMin	[pp+perm+pp fondazioni]	{SEISMIC 1-}	-0,5417	-1,4105	9,0581	3,7145	-8,9608	-2,1061
59	NxMax	[pp+perm+pp fondazioni]	{SEISMIC 1+}	0,9409	-0,9861	4,8833	3,7145	5,7125	-0,9191
59	NxMin	[pp+perm+pp fondazioni]	{SEISMIC 1-}	-1,0339	-0,9861	4,8833	3,7145	5,7125	-0,9191
59	VyMax	[pp+perm+pp fondazioni]	{SEISMIC 1+}	-1,0339	0,9662	4,8833	3,7145	5,7125	-0,9191
59	VyMin	[pp+perm+pp fondazioni]	{SEISMIC 1-}	-1,0339	-0,9861	4,8833	3,7145	5,7125	-0,9191
59	VzMax	[pp+perm+pp fondazioni]	{SEISMIC 1+}	-1,0339	-0,9861	4,8833	3,7145	5,7125	-0,9191
59	VzMin	[pp+perm+pp fondazioni]	{SEISMIC 1-}	-1,0339	-0,9861	-3,9143	3,7145	5,7125	-0,9191
59	TxMax	[pp+perm+pp fondazioni]	{SEISMIC 1+}	-1,0339	-0,9861	4,8833	3,7145	5,7125	-0,9191
59	TxMin	[pp+perm+pp fondazioni]	{SEISMIC 1-}	-1,0339	-0,9861	4,8833	-2,7496	5,7125	-0,9191
59	MyMax	[1,3*pp+perm+1,3*pp fondazioni]	{1,5*neve} (1,5*0,6*vento)	0,1229	-0,0022	2,6589	1,6563	7,6278	-0,1408
59	MyMin	[pp+perm+pp fondazioni]	{SEISMIC 1-}	-1,0339	-0,9861	4,8833	3,7145	-0,3960	-0,9191
59	MzMax	[pp+perm+pp fondazioni]	{SEISMIC 1+}	-1,0339	-0,9861	4,8833	3,7145	5,7125	0,8369
59	MzMin	[pp+perm+pp fondazioni]	{SEISMIC 1-}	-1,0339	-0,9861	4,8833	3,7145	5,7125	-0,9191
60	NxMax	[pp+perm+pp fondazioni]	{SEISMIC 1+}	1,5256	-1,0318	-8,2002	3,7145	4,4288	-0,3648
60	NxMin	[pp+perm+pp fondazioni]	{SEISMIC 1-}	-1,6196	-1,0318	-8,2002	3,7145	4,4288	-0,3648
60	VyMax	[pp+perm+pp fondazioni]	{SEISMIC 1+}	-1,6196	1,0108	-8,2002	3,7145	4,4288	-0,3648
60	VyMin	[pp+perm+pp fondazioni]	{SEISMIC 1-}	-1,6196	-1,0318	-8,2002	3,7145	4,4288	-0,3648
60	VzMax	[pp+perm+pp fondazioni]	{SEISMIC 1+}	-1,6196	-1,0318	1,3582	3,7145	4,4288	-0,3648
60	VzMin	[1,3*pp+perm+1,3*pp fondazioni]	{1,5*neve} (1,5*0,6*vento)	0,1209	-0,0026	-8,2221	1,6563	7,6570	-0,1410
60	TxMax	[pp+perm+pp fondazioni]	{SEISMIC 1+}	-1,6196	-1,0318	-8,2002	3,7145	4,4288	-0,3648
60	TxMin	[pp+perm+pp fondazioni]	{SEISMIC 1-}	-1,6196	-1,0318	-8,2002	-2,7496	4,4288	-0,3648
60	MyMax	[1,3*pp+perm+1,3*pp fondazioni]	{1,5*neve} (1,5*0,6*vento)	0,1209	-0,0026	-8,2221	1,6563	7,6570	-0,1410
60	MyMin	[pp+perm+pp fondazioni]	{SEISMIC 1-}	-1,6196	-1,0318	-8,2002	3,7145	-5,7360	-0,9833
60	MzMax	[pp+perm+pp fondazioni]	{SEISMIC 1+}	-1,6196	-1,0318	-8,2002	3,7145	-5,7360	0,9403
60	MzMin	[pp+perm+pp fondazioni]	{SEISMIC 1-}	-1,6196	-1,0318	-8,2002	3,7145	-5,7360	-0,9833
61	NxMax	[pp+perm+pp fondazioni]	{SEISMIC 1+}	2,1411	-1,4687	-13,3460	3,7145	-5,7117	-0,9793
61	NxMin	[pp+perm+pp fondazioni]	{SEISMIC 1-}	-2,2362	-1,4687	-13,3460	3,7145	-5,7117	-0,9793
61	VyMax	[pp+perm+pp fondazioni]	{SEISMIC 1+}	-2,2362	1,4444	-13,3460	3,7145	-5,7117	-0,9793
61	VyMin	[pp+perm+pp fondazioni]	{SEISMIC 1-}	-2,2362	-1,4687	-13,3460	3,7145	-5,7117	-0,9793
61	VzMax	[pp+perm+pp fondazioni]	{SEISMIC 1+}	-2,2362	-1,4687	-2,0689	3,7145	-5,7117	-0,9793
61	VzMin	[1,3*pp+perm+1,3*pp fondazioni]	{1,5*neve} (1,5*0,6*vento)	0,1190	-0,0066	-19,7770	1,6563	-0,2077	-0,1388
61	TxMax	[pp+perm+pp fondazioni]	{SEISMIC 1+}	-2,2362	-1,4687	-13,3460	3,7145	-5,7117	-0,9793
61	TxMin	[pp+perm+pp fondazioni]	{SEISMIC 1-}	-2,2362	-1,4687	-13,3460	-2,7496	-5,7117	-0,9793
61	MyMax	[pp+perm+pp fondazioni]	{SEISMIC 1+}	-2,2362	-1,4687	-13,3460	3,7145	5,4664	-0,9793
61	MyMin	[1,3*pp+perm+pp fondazioni]	{1,5*neve} (1,5*0,6*vento)	0,1190	-0,0066	-19,7770	1,6563	-19,4135	-0,1325
61	MzMax	[pp+perm+pp fondazioni]	{SEISMIC 1+}	-2,2362	-1,4687	-13,3460	3,7145	-18,4455	2,2211
61	MzMin	[pp+perm+pp fondazioni]	{SEISMIC 1-}	-2,2362	-1,4687	-13,3460	3,7145	-18,4455	-2,2408
62	NxMax	[pp+perm+pp fondazioni]	{SEISMIC 1+}	1,0453	1,6249	9,0602	-0,8657	13,5021	2,1891
62	NxMin	[pp+perm+pp fondazioni]	{SEISMIC 1-}	-1,5486	1,6249	9,0602	-0,8657	13,5021	2,1891
62	VyMax	[pp+perm+pp fondazioni]	{SEISMIC 1+}	-1,5486	1,6249	9,0602	-0,8657	13,5021	2,1891
62	VyMin	[pp+perm+pp fondazioni]	{SEISMIC 1-}	-1,5486	-1,6182	9,0602	-0,8657	13,5021	2,1891
62	VzMax	[1,3*pp+perm+pp fondazioni]	{1,5*neve} (1,5*0,6*vento)	-0,6861	0,0102	12,9967	-1,1166	-1,7070	0,0180
62	VzMin	[pp+perm+pp fondazioni]	{SEISMIC 1-}	-1,5486	1,6249	-0,9522	-0,8657	13,5021	2,1891
62	TxMax	[pp+perm+pp fondazioni]	{SEISMIC 1+}	-1,5486	1,6249	9,0602	0,4922	13,5021	2,1891
62	TxMin	[1,3*pp+perm+1,3*pp fondazioni]	{1,5*neve} (1,5*0,6*vento)	-0,6861	0,0102	12,9967	-1,1166	-1,4900	0,0180

62	MyMax	[pp+perm+pp fondazioni]	{SEISMIC 1+}	-1,5486	1,6249	9,0602	-0,8657	13,5021	2,1891
62	MyMin	[pp+perm+pp fondazioni]	{SEISMIC 1-}	-1,5486	1,6249	9,0602	-0,8657	-13,1170	2,1891
62	MzMax	[pp+perm+pp fondazioni]	{SEISMIC 1+}	-1,5486	1,6249	9,0602	-0,8657	13,5021	2,1891
62	MzMin	[pp+perm+pp fondazioni]	{SEISMIC 1-}	-1,5486	1,6249	9,0602	-0,8657	13,5021	-2,1831
63	NxMax	[pp+perm+pp fondazioni]	{SEISMIC 1+}	0,4700	0,9724	6,7838	-0,8657	12,4000	-1,0537
63	NxMin	[pp+perm+pp fondazioni]	{SEISMIC 1-}	-0,9698	0,9724	6,7838	-0,8657	12,4000	-1,0537
63	VyMax	[pp+perm+pp fondazioni]	{SEISMIC 1+}	-0,9698	0,9724	6,7838	-0,8657	12,4000	-1,0537
63	VyMin	[pp+perm+pp fondazioni]	{SEISMIC 1-}	-0,9698	-0,9670	6,7838	-0,8657	12,4000	-1,0537
63	VzMax	[pp+perm+pp fondazioni]	{SEISMIC 1+}	-0,9698	0,9724	6,7838	-0,8657	12,4000	-1,0537
63	VzMin	[pp+perm+pp fondazioni]	{SEISMIC 1-}	-0,9698	0,9724	-3,5640	-0,8657	12,4000	-1,0537
63	TxMax	[pp+perm+pp fondazioni]	{SEISMIC 1+}	-0,9698	0,9724	6,7838	0,4922	12,4000	-1,0537
63	TxMin	[1,3*pp+perm+1,3*pp fondazioni]	{1,5*neve} (1,5*0,6*vento)	-0,6803	0,0084	5,0576	-1,1166	12,3337	0,0070
63	MyMax	[1,3*pp+perm+1,3*pp fondazioni]	{1,5*neve} (1,5*0,6*vento)	-0,6803	0,0084	5,0576	-1,1166	17,8262	-0,0021
63	MyMin	[pp+perm+pp fondazioni]	{SEISMIC 1-}	-0,9698	0,9724	6,7838	-0,8657	-3,3906	-1,0537
63	MzMax	[pp+perm+pp fondazioni]	{SEISMIC 1+}	-0,9698	0,9724	6,7838	-0,8657	12,4000	1,0525
63	MzMin	[pp+perm+pp fondazioni]	{SEISMIC 1-}	-0,9698	0,9724	6,7838	-0,8657	12,4000	-1,0537
64	NxMax	[pp+perm+pp fondazioni]	{SEISMIC 1+}	0,5364	0,6918	5,3152	-0,8657	8,5631	-0,9447
64	NxMin	[pp+perm+pp fondazioni]	{SEISMIC 1-}	-1,0335	0,6918	5,3152	-0,8657	8,5631	-0,9447
64	VyMax	[pp+perm+pp fondazioni]	{SEISMIC 1+}	-1,0335	0,6918	5,3152	-0,8657	8,5631	-0,9447
64	VyMin	[pp+perm+pp fondazioni]	{SEISMIC 1-}	-1,0335	-0,6869	5,3152	-0,8657	8,5631	-0,9447
64	VzMax	[pp+perm+pp fondazioni]	{SEISMIC 1+}	-1,0335	0,6918	5,3152	-0,8657	8,5631	-0,9447
64	VzMin	[pp+perm+pp fondazioni]	{SEISMIC 1-}	-1,0335	0,6918	-5,2673	-0,8657	8,5631	-0,9447
64	TxMax	[pp+perm+pp fondazioni]	{SEISMIC 1+}	-1,0335	0,6918	5,3152	0,4922	8,5631	-0,9447
64	TxMin	[1,3*pp+perm+1,3*pp fondazioni]	{1,5*neve} (1,5*0,6*vento)	-0,6752	0,0079	-0,0507	-1,1166	17,7165	-0,0020
64	MyMax	[1,3*pp+perm+1,3*pp fondazioni]	{1,5*neve} (1,5*0,6*vento)	-0,6752	0,0079	-0,0507	-1,1166	17,7165	-0,0020
64	MyMin	[pp+perm+pp fondazioni]	{SEISMIC 1-}	-1,0335	0,6918	5,3152	-0,8657	2,8200	-1,0369
64	MzMax	[pp+perm+pp fondazioni]	{SEISMIC 1+}	-1,0335	0,6918	5,3152	-0,8657	9,6766	1,0245
64	MzMin	[pp+perm+pp fondazioni]	{SEISMIC 1-}	-1,0335	0,6918	5,3152	-0,8657	9,6766	-1,0369
65	NxMax	[pp+perm+pp fondazioni]	{SEISMIC 1+}	1,2109	0,8779	-7,3062	-0,8657	9,7091	-1,0372
65	NxMin	[pp+perm+pp fondazioni]	{SEISMIC 1-}	-1,7057	0,8779	-7,3062	-0,8657	9,7091	-1,0372
65	VyMax	[pp+perm+pp fondazioni]	{SEISMIC 1+}	-1,7057	0,8779	-7,3062	-0,8657	9,7091	-1,0372
65	VyMin	[pp+perm+pp fondazioni]	{SEISMIC 1-}	-1,7057	-0,8727	-7,3062	-0,8657	9,7091	-1,0372
65	VzMax	[pp+perm+pp fondazioni]	{SEISMIC 1+}	-1,7057	0,8779	4,0496	-0,8657	9,7091	-1,0372
65	VzMin	[pp+perm+pp fondazioni]	{SEISMIC 1-}	-1,7057	0,8779	-7,3062	-0,8657	9,7091	-1,0372
65	TxMax	[pp+perm+pp fondazioni]	{SEISMIC 1+}	-1,7057	0,8779	-7,3062	0,4922	9,7091	-1,0372
65	TxMin	[1,3*pp+perm+1,3*pp fondazioni]	{1,5*neve} (1,5*0,6*vento)	-0,6711	0,0087	-5,1374	-1,1166	17,7679	-0,0106
65	MyMax	[1,3*pp+perm+1,3*pp fondazioni]	{1,5*neve} (1,5*0,6*vento)	-0,6711	0,0087	-5,1374	-1,1166	17,7679	-0,0106
65	MyMin	[pp+perm+pp fondazioni]	{SEISMIC 1-}	-1,7057	0,8779	-7,3062	-0,8657	-5,0546	-1,1881
65	MzMax	[pp+perm+pp fondazioni]	{SEISMIC 1+}	-1,7057	0,8779	-7,3062	-0,8657	14,0954	1,1702
65	MzMin	[pp+perm+pp fondazioni]	{SEISMIC 1-}	-1,7057	0,8779	-7,3062	-0,8657	14,0954	-1,1881
66	NxMax	[pp+perm+pp fondazioni]	{SEISMIC 1+}	2,0057	1,4993	-9,9254	-0,8657	14,2737	-1,1915
66	NxMin	[pp+perm+pp fondazioni]	{SEISMIC 1-}	-2,4989	1,4993	-9,9254	-0,8657	14,2737	-1,1915
66	VyMax	[pp+perm+pp fondazioni]	{SEISMIC 1+}	-2,4989	1,4993	-9,9254	-0,8657	14,2737	-1,1915
66	VyMin	[pp+perm+pp fondazioni]	{SEISMIC 1-}	-2,4989	-1,4936	-9,9254	-0,8657	14,2737	-1,1915
66	VzMax	[pp+perm+pp fondazioni]	{SEISMIC 1+}	-2,4989	1,4993	1,3779	-0,8657	14,2737	-1,1915
66	VzMin	[1,3*pp+perm+1,3*pp fondazioni]	{1,5*neve} (1,5*0,6*vento)	-0,6677	0,0104	-13,0022	-1,1166	12,4749	-0,0199
66	TxMax	[pp+perm+pp fondazioni]	{SEISMIC 1+}	-2,4989	1,4993	-9,9254	0,4922	14,2737	-1,1915
66	TxMin	[1,3*pp+perm+1,3*pp fondazioni]	{1,5*neve} (1,5*0,6*vento)	-0,6677	0,0104	-13,0022	-1,1166	12,4749	-0,0199

66	MyMax	[pp+perm+pp fondazioni]	{SEISMIC 1+}	-2,4989	1,4993	-9,9254	-0,8657	15,7685	-2,0217
66	MyMin	[pp+perm+pp fondazioni]	{SEISMIC 1-}	-2,4989	1,4993	-9,9254	-0,8657	-15,8096	-2,0217
66	MzMax	[pp+perm+pp fondazioni]	{SEISMIC 1+}	-2,4989	1,4993	-9,9254	-0,8657	-15,8096	1,9976
66	MzMin	[pp+perm+pp fondazioni]	{SEISMIC 1-}	-2,4989	1,4993	-9,9254	-0,8657	-15,8096	-2,0217
67	NxMax	[pp+perm+pp fondazioni]	{SEISMIC 1+}	0,4244	1,5253	8,1267	-1,3368	10,4529	2,4570
67	NxMin	[pp+perm+pp fondazioni]	{SEISMIC 1-}	-1,3743	1,5253	8,1267	-1,3368	10,4529	2,4570
67	VyMax	[pp+perm+pp fondazioni]	{SEISMIC 1+}	-1,3743	1,5253	8,1267	-1,3368	10,4529	2,4570
67	VyMin	[pp+perm+pp fondazioni]	{SEISMIC 1-}	-1,3743	-1,4799	8,1267	-1,3368	10,4529	2,4570
67	VzMax	[1,3*pp+perm+pp fondazioni]	{1,5*neve} (1,5*0,6*vento)	-1,3183	0,1052	13,7715	-0,4948	-0,6278	0,2019
67	VzMin	[pp+perm+pp fondazioni]	{SEISMIC 1-}	-1,3743	1,5253	0,6833	-1,3368	10,4529	2,4570
67	TxMax	[pp+perm+pp fondazioni]	{SEISMIC 1+}	-1,3743	1,5253	8,1267	0,9383	10,4529	2,4570
67	TxMin	[pp+perm+pp fondazioni]	{SEISMIC 1-}	-1,3743	1,5253	8,1267	-1,3368	10,4529	2,4570
67	MyMax	[1,3*pp+perm+1,3*pp fondazioni]	{1,5*neve} (1,5*0,6*vento)	-1,3183	0,1052	13,7715	-0,4948	14,5450	0,0877
67	MyMin	[pp+perm+pp fondazioni]	{SEISMIC 1-}	-1,3743	1,5253	8,1267	-1,3368	-9,2821	2,4570
67	MzMax	[pp+perm+pp fondazioni]	{SEISMIC 1+}	-1,3743	1,5253	8,1267	-1,3368	10,4529	2,4570
67	MzMin	[pp+perm+pp fondazioni]	{SEISMIC 1-}	-1,3743	1,5253	8,1267	-1,3368	10,4529	-2,3693
68	NxMax	[pp+perm+pp fondazioni]	{SEISMIC 1+}	1,0702	0,9520	5,7250	-1,3368	11,0960	1,4083
68	NxMin	[pp+perm+pp fondazioni]	{SEISMIC 1-}	-2,0220	0,9520	5,7250	-1,3368	11,0960	1,4083
68	VyMax	[pp+perm+pp fondazioni]	{SEISMIC 1+}	-2,0220	0,9520	5,7250	-1,3368	11,0960	1,4083
68	VyMin	[pp+perm+pp fondazioni]	{SEISMIC 1-}	-2,0220	-0,9049	5,7250	-1,3368	11,0960	1,4083
68	VzMax	[pp+perm+pp fondazioni]	{SEISMIC 1+}	-2,0220	0,9520	5,7250	-1,3368	11,0960	1,4083
68	VzMin	[pp+perm+pp fondazioni]	{SEISMIC 1-}	-2,0220	0,9520	-2,5762	-1,3368	11,0960	1,4083
68	TxMax	[pp+perm+pp fondazioni]	{SEISMIC 1+}	-2,0220	0,9520	5,7250	0,9383	11,0960	1,4083
68	TxMin	[pp+perm+pp fondazioni]	{SEISMIC 1-}	-2,0220	0,9520	5,7250	-1,3368	11,0960	1,4083
68	MyMax	[1,3*pp+perm+1,3*pp fondazioni]	{1,5*neve} (1,5*0,6*vento)	-1,3220	0,1068	4,7657	-0,4948	19,4148	-0,0281
68	MyMin	[pp+perm+pp fondazioni]	{SEISMIC 1-}	-2,0220	0,9520	5,7250	-1,3368	-0,5360	1,4083
68	MzMax	[pp+perm+pp fondazioni]	{SEISMIC 1+}	-2,0220	0,9520	5,7250	-1,3368	11,0960	1,4083
68	MzMin	[pp+perm+pp fondazioni]	{SEISMIC 1-}	-2,0220	0,9520	5,7250	-1,3368	11,0960	-1,3699
69	NxMax	[pp+perm+pp fondazioni]	{SEISMIC 1+}	1,7309	0,8648	-5,2828	-1,3368	8,3220	-0,9423
69	NxMin	[pp+perm+pp fondazioni]	{SEISMIC 1-}	-2,6858	0,8648	-5,2828	-1,3368	8,3220	-0,9423
69	VyMax	[pp+perm+pp fondazioni]	{SEISMIC 1+}	-2,6858	0,8648	-5,2828	-1,3368	8,3220	-0,9423
69	VyMin	[pp+perm+pp fondazioni]	{SEISMIC 1-}	-2,6858	-0,8149	-5,2828	-1,3368	8,3220	-0,9423
69	VzMax	[pp+perm+pp fondazioni]	{SEISMIC 1+}	-2,6858	0,8648	4,3188	-1,3368	8,3220	-0,9423
69	VzMin	[pp+perm+pp fondazioni]	{SEISMIC 1-}	-2,6858	0,8648	-5,2828	-1,3368	8,3220	-0,9423
69	TxMax	[pp+perm+pp fondazioni]	{SEISMIC 1+}	-2,6858	0,8648	-5,2828	0,9383	8,3220	-0,9423
69	TxMin	[pp+perm+pp fondazioni]	{SEISMIC 1-}	-2,6858	0,8648	-5,2828	-1,3368	8,3220	-0,9423
69	MyMax	[1,3*pp+perm+1,3*pp fondazioni]	{1,5*neve} (1,5*0,6*vento)	-1,3273	0,1112	-1,3583	-0,4948	19,3122	-0,0279
69	MyMin	[pp+perm+pp fondazioni]	{SEISMIC 1-}	-2,6858	0,8648	-5,2828	-1,3368	2,5706	-0,8082
69	MzMax	[pp+perm+pp fondazioni]	{SEISMIC 1+}	-2,6858	0,8648	-5,2828	-1,3368	8,3220	0,9296
69	MzMin	[pp+perm+pp fondazioni]	{SEISMIC 1-}	-2,6858	0,8648	-5,2828	-1,3368	8,3220	-0,9423
70	NxMax	[pp+perm+pp fondazioni]	{SEISMIC 1+}	2,3979	1,0889	-8,6838	-1,3368	10,3613	-0,8089
70	NxMin	[pp+perm+pp fondazioni]	{SEISMIC 1-}	-3,3571	1,0889	-8,6838	-1,3368	10,3613	-0,8089
70	VyMax	[pp+perm+pp fondazioni]	{SEISMIC 1+}	-3,3571	1,0889	-8,6838	-1,3368	10,3613	-0,8089
70	VyMin	[pp+perm+pp fondazioni]	{SEISMIC 1-}	-3,3571	-1,0354	-8,6838	-1,3368	10,3613	-0,8089
70	VzMax	[pp+perm+pp fondazioni]	{SEISMIC 1+}	-3,3571	1,0889	3,0814	-1,3368	10,3613	-0,8089
70	VzMin	[pp+perm+pp fondazioni]	{SEISMIC 1-}	-3,3571	1,0889	-8,6838	-1,3368	10,3613	-0,8089
70	TxMax	[pp+perm+pp fondazioni]	{SEISMIC 1+}	-3,3571	1,0889	-8,6838	0,9383	10,3613	-0,8089
70	TxMin	[pp+perm+pp fondazioni]	{SEISMIC 1-}	-3,3571	1,0889	-8,6838	-1,3368	10,3613	-0,8089

70	MyMax	[1,3*pp+perm+1,3*pp fondazioni] {1,5*neve} (1,5*0,6*vento)	-1,3342	0,1177	-7,6510	-0,4948	17,9616	-0,1485
70	MyMin	[pp+perm+pp fondazioni] {SEISMIC 1-}	-3,3571	1,0889	-8,6838	-1,3368	-6,7825	-1,3822
70	MzMax	[pp+perm+pp fondazioni] {SEISMIC 1+}	-3,3571	1,0889	-8,6838	-1,3368	13,7054	1,2572
70	MzMin	[pp+perm+pp fondazioni] {SEISMIC 1-}	-3,3571	1,0889	-8,6838	-1,3368	13,7054	-1,3822
71	NxMax	[pp+perm+pp fondazioni] {SEISMIC 1+}	3,0696	1,7405	-12,9650	-1,3368	13,8913	-1,3855
71	NxMin	[pp+perm+pp fondazioni] {SEISMIC 1-}	-4,0344	1,7405	-12,9650	-1,3368	13,8913	-1,3855
71	VyMax	[pp+perm+pp fondazioni] {SEISMIC 1+}	-4,0344	1,7405	-12,9650	-1,3368	13,8913	-1,3855
71	VyMin	[pp+perm+pp fondazioni] {SEISMIC 1-}	-4,0344	-1,6835	-12,9650	-1,3368	13,8913	-1,3855
71	VzMax	[pp+perm+pp fondazioni] {SEISMIC 1+}	-4,0344	1,7405	0,3310	-1,3368	13,8913	-1,3855
71	VzMin	[1,3*pp+perm+1,3*pp fondazioni] {1,5*neve} (1,5*0,6*vento)	-1,3429	0,1240	-16,8903	-0,4948	9,9406	-0,2766
71	TxMax	[pp+perm+pp fondazioni] {SEISMIC 1+}	-4,0344	1,7405	-12,9650	0,9383	13,8913	-1,3855
71	TxMin	[pp+perm+pp fondazioni] {SEISMIC 1-}	-4,0344	1,7405	-12,9650	-1,3368	13,8913	-1,3855
71	MyMax	[pp+perm+pp fondazioni] {SEISMIC 1+}	-4,0344	1,7405	-12,9650	-1,3368	14,2488	-2,6223
71	MyMin	[pp+perm+pp fondazioni] {SEISMIC 1-}	-4,0344	1,7405	-12,9650	-1,3368	-20,8245	-2,6223
71	MzMax	[pp+perm+pp fondazioni] {SEISMIC 1+}	-4,0344	1,7405	-12,9650	-1,3368	-20,8245	2,4354
71	MzMin	[pp+perm+pp fondazioni] {SEISMIC 1-}	-4,0344	1,7405	-12,9650	-1,3368	-20,8245	-2,6223
72	NxMax	[pp+perm+pp fondazioni] {SEISMIC 1+}	1,5882	-1,6479	8,3690	-1,9437	-8,0621	-1,7215
72	NxMin	[pp+perm+pp fondazioni] {SEISMIC 1-}	-1,6476	-1,6479	8,3690	-1,9437	-8,0621	-1,7215
72	VyMax	[pp+perm+pp fondazioni] {SEISMIC 1+}	-1,6476	1,6013	8,3690	-1,9437	-8,0621	-1,7215
72	VyMin	[pp+perm+pp fondazioni] {SEISMIC 1-}	-1,6476	-1,6479	8,3690	-1,9437	-8,0621	-1,7215
72	VzMax	[1,3*pp+perm+pp fondazioni] {1,5*neve} (1,5*0,6*vento)	0,2161	-0,0702	13,3167	-1,2460	-0,3970	-0,1420
72	VzMin	[pp+perm+pp fondazioni] {SEISMIC 1-}	-1,6476	-1,6479	1,8264	-1,9437	-8,0621	-1,7215
72	TxMax	[pp+perm+pp fondazioni] {SEISMIC 1+}	-1,6476	-1,6479	8,3690	0,7816	-8,0621	-1,7215
72	TxMin	[pp+perm+pp fondazioni] {SEISMIC 1-}	-1,6476	-1,6479	8,3690	-1,9437	-8,0621	-1,7215
72	MyMax	[1,3*pp+perm+1,3*pp fondazioni] {1,5*neve} (1,5*0,6*vento)	0,2161	-0,0702	13,3167	-1,2460	12,8301	-0,0732
72	MyMin	[pp+perm+pp fondazioni] {SEISMIC 1-}	-1,6476	-1,6479	8,3690	-1,9437	-8,0621	-1,7215
72	MzMax	[pp+perm+pp fondazioni] {SEISMIC 1+}	-1,6476	-1,6479	8,3690	-1,9437	-8,0621	1,6271
72	MzMin	[pp+perm+pp fondazioni] {SEISMIC 1-}	-1,6476	-1,6479	8,3690	-1,9437	-8,0621	-1,7215
73	NxMax	[pp+perm+pp fondazioni] {SEISMIC 1+}	1,0017	-1,0453	5,2269	-1,9437	9,8377	-0,9248
73	NxMin	[pp+perm+pp fondazioni] {SEISMIC 1-}	-1,0591	-1,0453	5,2269	-1,9437	9,8377	-0,9248
73	VyMax	[pp+perm+pp fondazioni] {SEISMIC 1+}	-1,0591	1,0019	5,2269	-1,9437	9,8377	-0,9248
73	VyMin	[pp+perm+pp fondazioni] {SEISMIC 1-}	-1,0591	-1,0453	5,2269	-1,9437	9,8377	-0,9248
73	VzMax	[1,3*pp+perm+pp fondazioni] {1,5*neve} (1,5*0,6*vento)	0,2185	-0,0676	5,3911	-1,2460	12,3615	-0,0733
73	VzMin	[pp+perm+pp fondazioni] {SEISMIC 1-}	-1,0591	-1,0453	-0,8427	-1,9437	9,8377	-0,9248
73	TxMax	[pp+perm+pp fondazioni] {SEISMIC 1+}	-1,0591	-1,0453	5,2269	0,7816	9,8377	-0,9248
73	TxMin	[pp+perm+pp fondazioni] {SEISMIC 1-}	-1,0591	-1,0453	5,2269	-1,9437	9,8377	-0,9248
73	MyMax	[1,3*pp+perm+1,3*pp fondazioni] {1,5*neve} (1,5*0,6*vento)	0,2185	-0,0676	5,3911	-1,2460	17,8215	-0,0071
73	MyMin	[pp+perm+pp fondazioni] {SEISMIC 1-}	-1,0591	-1,0453	5,2269	-1,9437	-0,8376	-0,9248
73	MzMax	[pp+perm+pp fondazioni] {SEISMIC 1+}	-1,0591	-1,0453	5,2269	-1,9437	9,7217	1,1925
73	MzMin	[pp+perm+pp fondazioni] {SEISMIC 1-}	-1,0591	-1,0453	5,2269	-1,9437	9,7217	-1,1988
74	NxMax	[pp+perm+pp fondazioni] {SEISMIC 1+}	0,6455	-0,5663	3,4556	-1,9437	9,6508	-1,1968
74	NxMin	[pp+perm+pp fondazioni] {SEISMIC 1-}	-0,7009	-0,5663	3,4556	-1,9437	9,6508	-1,1968
74	VyMax	[pp+perm+pp fondazioni] {SEISMIC 1+}	-0,7009	0,5250	3,4556	-1,9437	9,6508	-1,1968
74	VyMin	[pp+perm+pp fondazioni] {SEISMIC 1-}	-0,7009	-0,5663	3,4556	-1,9437	9,6508	-1,1968
74	VzMax	[pp+perm+pp fondazioni] {SEISMIC 1+}	-0,7009	-0,5663	3,4556	-1,9437	9,6508	-1,1968
74	VzMin	[pp+perm+pp fondazioni] {SEISMIC 1-}	-0,7009	-0,5663	-2,4010	-1,9437	9,6508	-1,1968
74	TxMax	[pp+perm+pp fondazioni] {SEISMIC 1+}	-0,7009	-0,5663	3,4556	0,7816	9,6508	-1,1968
74	TxMin	[pp+perm+pp fondazioni] {SEISMIC 1-}	-0,7009	-0,5663	3,4556	-1,9437	9,6508	-1,1968

74	MyMax	[1,3*pp+perm+1,3*pp fondazioni] {1,5*neve} (1,5*0,6*vento)	0,2212	-0,0666	1,0393	-1,2460	18,6709	0,0581
74	MyMin	[pp+perm+pp fondazioni] {SEISMIC 1-}	-0,7009	-0,5663	3,4556	-1,9437	3,5286	-1,1968
74	MzMax	[pp+perm+pp fondazioni] {SEISMIC 1+}	-0,7009	-0,5663	3,4556	-1,9437	9,6999	1,3994
74	MzMin	[pp+perm+pp fondazioni] {SEISMIC 1-}	-0,7009	-0,5663	3,4556	-1,9437	9,6999	-1,3654
75	NxMax	[pp+perm+pp fondazioni] {SEISMIC 1+}	0,6455	-0,5487	-3,8070	-1,9437	9,6905	1,3995
75	NxMin	[pp+perm+pp fondazioni] {SEISMIC 1-}	-0,6991	-0,5487	-3,8070	-1,9437	9,6905	1,3995
75	VyMax	[pp+perm+pp fondazioni] {SEISMIC 1+}	-0,6991	0,5082	-3,8070	-1,9437	9,6905	1,3995
75	VyMin	[pp+perm+pp fondazioni] {SEISMIC 1-}	-0,6991	-0,5487	-3,8070	-1,9437	9,6905	1,3995
75	VzMax	[pp+perm+pp fondazioni] {SEISMIC 1+}	-0,6991	-0,5487	2,5124	-1,9437	9,6905	1,3995
75	VzMin	[pp+perm+pp fondazioni] {SEISMIC 1-}	-0,6991	-0,5487	-3,8070	-1,9437	9,6905	1,3995
75	TxMax	[pp+perm+pp fondazioni] {SEISMIC 1+}	-0,6991	-0,5487	-3,8070	0,7816	9,6905	1,3995
75	TxMin	[pp+perm+pp fondazioni] {SEISMIC 1-}	-0,6991	-0,5487	-3,8070	-1,9437	9,6905	1,3995
75	MyMax	[1,3*pp+perm+1,3*pp fondazioni] {1,5*neve} (1,5*0,6*vento)	0,2240	-0,0673	-1,8616	-1,2460	18,6516	0,0580
75	MyMin	[pp+perm+pp fondazioni] {SEISMIC 1-}	-0,6991	-0,5487	-3,8070	-1,9437	2,5016	1,2675
75	MzMax	[pp+perm+pp fondazioni] {SEISMIC 1+}	-0,6991	-0,5487	-3,8070	-1,9437	9,6905	1,3995
75	MzMin	[pp+perm+pp fondazioni] {SEISMIC 1-}	-0,6991	-0,5487	-3,8070	-1,9437	9,6905	-1,3655
76	NxMax	[pp+perm+pp fondazioni] {SEISMIC 1+}	1,0355	-1,0142	-5,7071	-1,9437	10,4990	1,2687
76	NxMin	[pp+perm+pp fondazioni] {SEISMIC 1-}	-1,0873	-1,0142	-5,7071	-1,9437	10,4990	1,2687
76	VyMax	[pp+perm+pp fondazioni] {SEISMIC 1+}	-1,0873	0,9738	-5,7071	-1,9437	10,4990	1,2687
76	VyMin	[pp+perm+pp fondazioni] {SEISMIC 1-}	-1,0873	-1,0142	-5,7071	-1,9437	10,4990	1,2687
76	VzMax	[pp+perm+pp fondazioni] {SEISMIC 1+}	-1,0873	-1,0142	1,3836	-1,9437	10,4990	1,2687
76	VzMin	[pp+perm+pp fondazioni] {SEISMIC 1-}	-1,0873	-1,0142	-5,7071	-1,9437	10,4990	1,2687
76	TxMax	[pp+perm+pp fondazioni] {SEISMIC 1+}	-1,0873	-1,0142	-5,7071	0,7816	10,4990	1,2687
76	TxMin	[pp+perm+pp fondazioni] {SEISMIC 1-}	-1,0873	-1,0142	-5,7071	-1,9437	10,4990	1,2687
76	MyMax	[1,3*pp+perm+1,3*pp fondazioni] {1,5*neve} (1,5*0,6*vento)	0,2271	-0,0691	-5,6012	-1,2460	16,9541	0,1239
76	MyMin	[pp+perm+pp fondazioni] {SEISMIC 1-}	-1,0873	-1,0142	-5,7071	-1,9437	-2,3216	1,0252
76	MzMax	[pp+perm+pp fondazioni] {SEISMIC 1+}	-1,0873	-1,0142	-5,7071	-1,9437	10,4990	1,2687
76	MzMin	[pp+perm+pp fondazioni] {SEISMIC 1-}	-1,0873	-1,0142	-5,7071	-1,9437	10,4990	-1,1951
77	NxMax	[pp+perm+pp fondazioni] {SEISMIC 1+}	1,6162	-1,5813	-8,2989	-1,9437	11,2698	1,0282
77	NxMin	[pp+perm+pp fondazioni] {SEISMIC 1-}	-1,6662	-1,5813	-8,2989	-1,9437	11,2698	1,0282
77	VyMax	[pp+perm+pp fondazioni] {SEISMIC 1+}	-1,6662	1,5411	-8,2989	-1,9437	11,2698	1,0282
77	VyMin	[pp+perm+pp fondazioni] {SEISMIC 1-}	-1,6662	-1,5813	-8,2989	-1,9437	11,2698	1,0282
77	VzMax	[pp+perm+pp fondazioni] {SEISMIC 1+}	-1,6662	-1,5813	-1,2098	-1,9437	11,2698	1,0282
77	VzMin	[1,3*pp+perm+1,3*pp fondazioni] {1,5*neve} (1,5*0,6*vento)	0,2305	-0,0705	-12,2088	-1,2460	11,7065	0,1918
77	TxMax	[pp+perm+pp fondazioni] {SEISMIC 1+}	-1,6662	-1,5813	-8,2989	0,7816	11,2698	1,0282
77	TxMin	[pp+perm+pp fondazioni] {SEISMIC 1-}	-1,6662	-1,5813	-8,2989	-1,9437	11,2698	1,0282
77	MyMax	[1,3*pp+perm+1,3*pp fondazioni] {1,5*neve} (1,5*0,6*vento)	0,2305	-0,0705	-12,2088	-1,2460	11,7065	0,1918
77	MyMin	[pp+perm+pp fondazioni] {SEISMIC 1-}	-1,6662	-1,5813	-8,2989	-1,9437	-9,9278	1,7040
77	MzMax	[pp+perm+pp fondazioni] {SEISMIC 1+}	-1,6662	-1,5813	-8,2989	-1,9437	-9,9278	1,7040
77	MzMin	[pp+perm+pp fondazioni] {SEISMIC 1-}	-1,6662	-1,5813	-8,2989	-1,9437	-9,9278	-1,5514
78	NxMax	[pp+perm+pp fondazioni] {SEISMIC 1+}	0,4024	2,2736	-13,5362	-2,3150	2,8184	-0,2295
78	NxMin	[pp+perm+pp fondazioni] {SEISMIC 1-}	-1,4355	2,2736	-13,5362	-2,3150	2,8184	-0,2295
78	VyMax	[pp+perm+pp fondazioni] {SEISMIC 1+}	-1,4355	2,2736	-13,5362	-2,3150	2,8184	-0,2295
78	VyMin	[pp+perm+pp fondazioni] {SEISMIC 1-}	-1,4355	-2,0605	-13,5362	-2,3150	2,8184	-0,2295
78	VzMax	[pp+perm+pp fondazioni] {SEISMIC 1+}	-1,4355	2,2736	-1,9817	-2,3150	2,8184	-0,2295
78	VzMin	[1,3*pp+perm+1,3*pp fondazioni] {1,5*neve} (1,5*0,6*vento)	-1,1452	0,3225	-23,4593	0,5560	4,4857	-0,0409
78	TxMax	[pp+perm+pp fondazioni] {SEISMIC 1+}	-1,4355	2,2736	-13,5362	1,6650	2,8184	-0,2295
78	TxMin	[pp+perm+pp fondazioni] {SEISMIC 1-}	-1,4355	2,2736	-13,5362	-2,3150	2,8184	-0,2295

78	MyMax	[1,3*pp+perm+1,3*pp fondazioni] {1,5*neve} (1,5*0,6*vento)	-1,1452	0,3225	-23,4593	0,5560	4,4857	-0,0409
78	MyMin	[1,3*pp+perm+pp fondazioni] {1,5*neve} (1,5*0,6*vento)	-1,1452	0,3225	-23,4593	0,5560	-15,9838	-0,3204
78	MzMax	[pp+perm+pp fondazioni] {SEISMIC 1+}	-1,4355	2,2736	-13,5362	-2,3150	-9,0789	1,6999
78	MzMin	[pp+perm+pp fondazioni] {SEISMIC 1-}	-1,4355	2,2736	-13,5362	-2,3150	-9,0789	-1,8938
79	NxMax	[pp+perm+pp fondazioni] {SEISMIC 1+}	-0,1992	1,6177	-10,2754	-2,3150	11,5608	1,4824
79	NxMin	[1,3*pp+perm+1,3*pp fondazioni] {1,5*neve} (1,5*0,6*vento)	-1,1484	0,3188	-14,3829	0,5560	16,8927	0,2353
79	VyMax	[pp+perm+pp fondazioni] {SEISMIC 1+}	-0,8365	1,6177	-10,2754	-2,3150	11,5608	1,4824
79	VyMin	[pp+perm+pp fondazioni] {SEISMIC 1-}	-0,8365	-1,4069	-10,2754	-2,3150	11,5608	1,4824
79	VzMax	[pp+perm+pp fondazioni] {SEISMIC 1+}	-0,8365	1,6177	0,5982	-2,3150	11,5608	1,4824
79	VzMin	[1,3*pp+perm+1,3*pp fondazioni] {1,5*neve} (1,5*0,6*vento)	-1,1484	0,3188	-14,3829	0,5560	16,8927	0,2353
79	TxMax	[pp+perm+pp fondazioni] {SEISMIC 1+}	-0,8365	1,6177	-10,2754	1,6650	11,5608	1,4824
79	TxMin	[pp+perm+pp fondazioni] {SEISMIC 1-}	-0,8365	1,6177	-10,2754	-2,3150	11,5608	1,4824
79	MyMax	[1,3*pp+perm+1,3*pp fondazioni] {1,5*neve} (1,5*0,6*vento)	-1,1484	0,3188	-14,3829	0,5560	16,8927	0,2353
79	MyMin	[pp+perm+pp fondazioni] {SEISMIC 1-}	-0,8365	1,6177	-10,2754	-2,3150	2,1064	1,4824
79	MzMax	[pp+perm+pp fondazioni] {SEISMIC 1+}	-0,8365	1,6177	-10,2754	-2,3150	11,5608	1,4824
79	MzMin	[pp+perm+pp fondazioni] {SEISMIC 1-}	-0,8365	1,6177	-10,2754	-2,3150	11,5608	-1,3090
80	NxMax	[pp+perm+pp fondazioni] {SEISMIC 1+}	-0,2147	1,2168	-7,2177	-2,3150	17,7337	2,3041
80	NxMin	[1,3*pp+perm+1,3*pp fondazioni] {1,5*neve} (1,5*0,6*vento)	-1,1525	0,3168	-5,9417	0,5560	22,0355	0,5098
80	VyMax	[pp+perm+pp fondazioni] {SEISMIC 1+}	-0,8242	1,2168	-7,2177	-2,3150	17,7337	2,3041
80	VyMin	[pp+perm+pp fondazioni] {SEISMIC 1-}	-0,8242	-1,0071	-7,2177	-2,3150	17,7337	2,3041
80	VzMax	[pp+perm+pp fondazioni] {SEISMIC 1+}	-0,8242	1,2168	3,3610	-2,3150	17,7337	2,3041
80	VzMin	[pp+perm+pp fondazioni] {SEISMIC 1-}	-0,8242	1,2168	-7,2177	-2,3150	17,7337	2,3041
80	TxMax	[pp+perm+pp fondazioni] {SEISMIC 1+}	-0,8242	1,2168	-7,2177	1,6650	17,7337	2,3041
80	TxMin	[pp+perm+pp fondazioni] {SEISMIC 1-}	-0,8242	1,2168	-7,2177	-2,3150	17,7337	2,3041
80	MyMax	[1,3*pp+perm+1,3*pp fondazioni] {1,5*neve} (1,5*0,6*vento)	-1,1525	0,3168	-5,9417	0,5560	22,0355	0,5098
80	MyMin	[pp+perm+pp fondazioni] {SEISMIC 1-}	-0,8242	1,2168	-7,2177	-2,3150	-0,7002	2,3041
80	MzMax	[pp+perm+pp fondazioni] {SEISMIC 1+}	-0,8242	1,2168	-7,2177	-2,3150	17,7337	2,3041
80	MzMin	[pp+perm+pp fondazioni] {SEISMIC 1-}	-0,8242	1,2168	-7,2177	-2,3150	17,7337	-1,9491
81	NxMax	[pp+perm+pp fondazioni] {SEISMIC 1+}	1,3659	1,5122	8,7875	1,8859	10,7065	1,8430
81	NxMin	[pp+perm+pp fondazioni] {SEISMIC 1-}	-2,0053	1,5122	8,7875	1,8859	10,7065	1,8430
81	VyMax	[pp+perm+pp fondazioni] {SEISMIC 1+}	-2,0053	1,5122	8,7875	1,8859	10,7065	1,8430
81	VyMin	[pp+perm+pp fondazioni] {SEISMIC 1-}	-2,0053	-1,4706	8,7875	1,8859	10,7065	1,8430
81	VzMax	[1,3*pp+perm+pp fondazioni] {1,5*neve} (1,5*0,6*vento)	-0,9062	0,0463	11,3964	2,7437	0,2103	0,1854
81	VzMin	[pp+perm+pp fondazioni] {SEISMIC 1-}	-2,0053	1,5122	0,1093	1,8859	10,7065	1,8430
81	TxMax	[1,3*pp+perm+1,3*pp fondazioni] {1,5*neve} (1,5*0,6*vento)	-0,9062	0,0463	11,3964	2,7437	0,4272	0,1854
81	TxMin	[pp+perm+pp fondazioni] {SEISMIC 1-}	-2,0053	1,5122	8,7875	0,8929	10,7065	1,8430
81	MyMax	[1,3*pp+perm+1,3*pp fondazioni] {1,5*neve} (1,5*0,6*vento)	-0,9062	0,0463	11,3964	2,7437	12,8037	0,1351
81	MyMin	[pp+perm+pp fondazioni] {SEISMIC 1-}	-2,0053	1,5122	8,7875	1,8859	-10,6946	1,8430
81	MzMax	[pp+perm+pp fondazioni] {SEISMIC 1+}	-2,0053	1,5122	8,7875	1,8859	10,7065	1,8430
81	MzMin	[pp+perm+pp fondazioni] {SEISMIC 1-}	-2,0053	1,5122	8,7875	1,8859	10,7065	-1,6897
82	NxMax	[pp+perm+pp fondazioni] {SEISMIC 1+}	0,7712	0,8484	6,3249	1,8859	11,0682	1,1556
82	NxMin	[pp+perm+pp fondazioni] {SEISMIC 1-}	-1,4097	0,8484	6,3249	1,8859	11,0682	1,1556
82	VyMax	[pp+perm+pp fondazioni] {SEISMIC 1+}	-1,4097	0,8484	6,3249	1,8859	11,0682	1,1556
82	VyMin	[pp+perm+pp fondazioni] {SEISMIC 1-}	-1,4097	-0,8131	6,3249	1,8859	11,0682	1,1556
82	VzMax	[pp+perm+pp fondazioni] {SEISMIC 1+}	-1,4097	0,8484	6,3249	1,8859	11,0682	1,1556
82	VzMin	[pp+perm+pp fondazioni] {SEISMIC 1-}	-1,4097	0,8484	-2,8025	1,8859	11,0682	1,1556
82	TxMax	[1,3*pp+perm+1,3*pp fondazioni] {1,5*neve} (1,5*0,6*vento)	-0,9051	0,0388	4,3874	2,7437	12,5389	0,1351
82	TxMin	[pp+perm+pp fondazioni] {SEISMIC 1-}	-1,4097	0,8484	6,3249	0,8929	11,0682	1,1556

82	MyMax	[1,3*pp+perm+1,3*pp fondazioni] {1,5*neve} (1,5*0,6*vento)	-0,9051	0,0388	4,3874	2,7437	17,3036	0,0929
82	MyMin	[pp+perm+pp fondazioni] {SEISMIC 1-}	-1,4097	0,8484	6,3249	1,8859	-1,5894	1,1556
82	MzMax	[pp+perm+pp fondazioni] {SEISMIC 1+}	-1,4097	0,8484	6,3249	1,8859	8,7476	1,2217
82	MzMin	[pp+perm+pp fondazioni] {SEISMIC 1-}	-1,4097	0,8484	6,3249	1,8859	8,7476	-1,1519
83	NxMax	[pp+perm+pp fondazioni] {SEISMIC 1+}	0,6967	0,5150	4,6121	1,8859	8,7079	1,2197
83	NxMin	[pp+perm+pp fondazioni] {SEISMIC 1-}	-1,3351	0,5150	4,6121	1,8859	8,7079	1,2197
83	VyMax	[pp+perm+pp fondazioni] {SEISMIC 1+}	-1,3351	0,5150	4,6121	1,8859	8,7079	1,2197
83	VyMin	[pp+perm+pp fondazioni] {SEISMIC 1-}	-1,3351	-0,4856	4,6121	1,8859	8,7079	1,2197
83	VzMax	[pp+perm+pp fondazioni] {SEISMIC 1+}	-1,3351	0,5150	4,6121	1,8859	8,7079	1,2197
83	VzMin	[pp+perm+pp fondazioni] {SEISMIC 1-}	-1,3351	0,5150	-4,6059	1,8859	8,7079	1,2197
83	TxMax	[1,3*pp+perm+1,3*pp fondazioni] {1,5*neve} (1,5*0,6*vento)	-0,9050	0,0321	-0,1463	2,7437	17,2182	0,0930
83	TxMin	[pp+perm+pp fondazioni] {SEISMIC 1-}	-1,3351	0,5150	4,6121	0,8929	8,7079	1,2197
83	MyMax	[1,3*pp+perm+1,3*pp fondazioni] {1,5*neve} (1,5*0,6*vento)	-0,9050	0,0321	-0,1463	2,7437	17,2182	0,0930
83	MyMin	[pp+perm+pp fondazioni] {SEISMIC 1-}	-1,3351	0,5150	4,6121	1,8859	2,6114	1,1109
83	MzMax	[pp+perm+pp fondazioni] {SEISMIC 1+}	-1,3351	0,5150	4,6121	1,8859	8,7079	1,2197
83	MzMin	[pp+perm+pp fondazioni] {SEISMIC 1-}	-1,3351	0,5150	4,6121	1,8859	8,7079	-1,1498
84	NxMax	[pp+perm+pp fondazioni] {SEISMIC 1+}	1,2113	0,8137	-6,8262	1,8859	10,6891	1,1107
84	NxMin	[pp+perm+pp fondazioni] {SEISMIC 1-}	-1,8504	0,8137	-6,8262	1,8859	10,6891	1,1107
84	VyMax	[pp+perm+pp fondazioni] {SEISMIC 1+}	-1,8504	0,8137	-6,8262	1,8859	10,6891	1,1107
84	VyMin	[pp+perm+pp fondazioni] {SEISMIC 1-}	-1,8504	-0,7885	-6,8262	1,8859	10,6891	1,1107
84	VzMax	[pp+perm+pp fondazioni] {SEISMIC 1+}	-1,8504	0,8137	3,1975	1,8859	10,6891	1,1107
84	VzMin	[pp+perm+pp fondazioni] {SEISMIC 1-}	-1,8504	0,8137	-6,8262	1,8859	10,6891	1,1107
84	TxMax	[1,3*pp+perm+1,3*pp fondazioni] {1,5*neve} (1,5*0,6*vento)	-0,9061	0,0277	-4,9477	2,7437	17,1832	0,0584
84	TxMin	[pp+perm+pp fondazioni] {SEISMIC 1-}	-1,8504	0,8137	-6,8262	0,8929	10,6891	1,1107
84	MyMax	[1,3*pp+perm+1,3*pp fondazioni] {1,5*neve} (1,5*0,6*vento)	-0,9061	0,0277	-4,9477	2,7437	17,1832	0,0584
84	MyMin	[pp+perm+pp fondazioni] {SEISMIC 1-}	-1,8504	0,8137	-6,8262	1,8859	-4,3700	0,6338
84	MzMax	[pp+perm+pp fondazioni] {SEISMIC 1+}	-1,8504	0,8137	-6,8262	1,8859	10,6891	1,1107
84	MzMin	[pp+perm+pp fondazioni] {SEISMIC 1-}	-1,8504	0,8137	-6,8262	1,8859	10,6891	-1,0727
85	NxMax	[pp+perm+pp fondazioni] {SEISMIC 1+}	2,0895	1,4443	-9,6862	1,8859	13,9633	0,6371
85	NxMin	[pp+perm+pp fondazioni] {SEISMIC 1-}	-2,7300	1,4443	-9,6862	1,8859	13,9633	0,6371
85	VyMax	[pp+perm+pp fondazioni] {SEISMIC 1+}	-2,7300	1,4443	-9,6862	1,8859	13,9633	0,6371
85	VyMin	[pp+perm+pp fondazioni] {SEISMIC 1-}	-2,7300	-1,4210	-9,6862	1,8859	13,9633	0,6371
85	VzMax	[pp+perm+pp fondazioni] {SEISMIC 1+}	-2,7300	1,4443	0,3298	1,8859	13,9633	0,6371
85	VzMin	[1,3*pp+perm+1,3*pp fondazioni] {1,5*neve} (1,5*0,6*vento)	-0,9083	0,0267	-12,7226	2,7437	12,1073	0,0286
85	TxMax	[1,3*pp+perm+1,3*pp fondazioni] {1,5*neve} (1,5*0,6*vento)	-0,9083	0,0267	-12,7226	2,7437	12,1073	0,0286
85	TxMin	[pp+perm+pp fondazioni] {SEISMIC 1-}	-2,7300	1,4443	-9,6862	0,8929	13,9633	0,6371
85	MyMax	[pp+perm+pp fondazioni] {SEISMIC 1+}	-2,7300	1,4443	-9,6862	1,8859	13,9633	0,6371
85	MyMin	[pp+perm+pp fondazioni] {SEISMIC 1-}	-2,7300	1,4443	-9,6862	1,8859	-14,1566	-1,4884
85	MzMax	[pp+perm+pp fondazioni] {SEISMIC 1+}	-2,7300	1,4443	-9,6862	1,8859	-14,1566	1,4740
85	MzMin	[pp+perm+pp fondazioni] {SEISMIC 1-}	-2,7300	1,4443	-9,6862	1,8859	-14,1566	-1,4884
86	NxMax	[pp+perm+pp fondazioni] {SEISMIC 1+}	0,8038	1,0922	-8,9757	1,9356	3,4319	-0,3227
86	NxMin	[pp+perm+pp fondazioni] {SEISMIC 1-}	-0,9300	1,0922	-8,9757	1,9356	3,4319	-0,3227
86	VyMax	[pp+perm+pp fondazioni] {SEISMIC 1+}	-0,9300	1,0922	-8,9757	1,9356	3,4319	-0,3227
86	VyMin	[pp+perm+pp fondazioni] {SEISMIC 1-}	-0,9300	-1,0767	-8,9757	1,9356	3,4319	-0,3227
86	VzMax	[pp+perm+pp fondazioni] {SEISMIC 1+}	-0,9300	1,0922	0,7154	1,9356	3,4319	-0,3227
86	VzMin	[1,3*pp+perm+1,3*pp fondazioni] {1,5*neve} (1,5*0,6*vento)	0,0797	0,0295	-12,6993	0,3537	3,6654	-0,0994
86	TxMax	[pp+perm+pp fondazioni] {SEISMIC 1+}	-0,9300	1,0922	-8,9757	1,9356	3,4319	-0,3227
86	TxMin	[pp+perm+pp fondazioni] {SEISMIC 1-}	-0,9300	1,0922	-8,9757	-1,4989	3,4319	-0,3227

86	MyMax	[1,3*pp+perm+1,3*pp fondazioni] {1,5*neve} (1,5*0,6*vento)	0,0797	0,0295	-12,6993	0,3537	3,6654	-0,0994
86	MyMin	[1,3*pp+perm+pp fondazioni] {1,5*neve} (1,5*0,6*vento)	0,0797	0,0295	-12,6993	0,3537	-7,4788	-0,1250
86	MzMax	[pp+perm+pp fondazioni] {SEISMIC 1+}	-0,9300	1,0922	-8,9757	1,9356	-4,3686	1,1048
86	MzMin	[pp+perm+pp fondazioni] {SEISMIC 1-}	-0,9300	1,0922	-8,9757	1,9356	-4,3686	-1,1869
87	NxMax	[pp+perm+pp fondazioni] {SEISMIC 1+}	0,2568	0,9543	-4,9546	1,9356	7,7083	-0,7267
87	NxMin	[pp+perm+pp fondazioni] {SEISMIC 1-}	-0,3823	0,9543	-4,9546	1,9356	7,7083	-0,7267
87	VyMax	[pp+perm+pp fondazioni] {SEISMIC 1+}	-0,3823	0,9543	-4,9546	1,9356	7,7083	-0,7267
87	VyMin	[pp+perm+pp fondazioni] {SEISMIC 1-}	-0,3823	-0,9391	-4,9546	1,9356	7,7083	-0,7267
87	VzMax	[pp+perm+pp fondazioni] {SEISMIC 1+}	-0,3823	0,9543	3,3613	1,9356	7,7083	-0,7267
87	VzMin	[pp+perm+pp fondazioni] {SEISMIC 1-}	-0,3823	0,9543	-4,9546	1,9356	7,7083	-0,7267
87	TxMax	[pp+perm+pp fondazioni] {SEISMIC 1+}	-0,3823	0,9543	-4,9546	1,9356	7,7083	-0,7267
87	TxMin	[pp+perm+pp fondazioni] {SEISMIC 1-}	-0,3823	0,9543	-4,9546	-1,4989	7,7083	-0,7267
87	MyMax	[pp+perm+pp fondazioni] {SEISMIC 1+}	-0,3823	0,9543	-4,9546	1,9356	7,7083	-0,7267
87	MyMin	[pp+perm+pp fondazioni] {SEISMIC 1-}	-0,3823	0,9543	-4,9546	1,9356	-2,1473	-0,7267
87	MzMax	[pp+perm+pp fondazioni] {SEISMIC 1+}	-0,3823	0,9543	-4,9546	1,9356	7,7083	0,6711
87	MzMin	[pp+perm+pp fondazioni] {SEISMIC 1-}	-0,3823	0,9543	-4,9546	1,9356	7,7083	-0,7267
88	NxMax	[pp+perm+pp fondazioni] {SEISMIC 1+}	0,2642	1,0672	6,5429	1,9356	8,6408	-1,5987
88	NxMin	[pp+perm+pp fondazioni] {SEISMIC 1-}	-0,3892	1,0672	6,5429	1,9356	8,6408	-1,5987
88	VyMax	[pp+perm+pp fondazioni] {SEISMIC 1+}	-0,3892	1,0672	6,5429	1,9356	8,6408	-1,5987
88	VyMin	[pp+perm+pp fondazioni] {SEISMIC 1-}	-0,3892	-1,0516	6,5429	1,9356	8,6408	-1,5987
88	VzMax	[1,3*pp+perm+pp fondazioni] {1,5*neve} (1,5*0,6*vento)	0,0839	0,0289	6,6008	0,3537	0,4220	-0,0499
88	VzMin	[pp+perm+pp fondazioni] {SEISMIC 1-}	-0,3892	1,0672	-1,3449	1,9356	8,6408	-1,5987
88	TxMax	[pp+perm+pp fondazioni] {SEISMIC 1+}	-0,3892	1,0672	6,5429	1,9356	8,6408	-1,5987
88	TxMin	[pp+perm+pp fondazioni] {SEISMIC 1-}	-0,3892	1,0672	6,5429	-1,4989	8,6408	-1,5987
88	MyMax	[pp+perm+pp fondazioni] {SEISMIC 1+}	-0,3892	1,0672	6,5429	1,9356	8,6408	-1,5987
88	MyMin	[pp+perm+pp fondazioni] {SEISMIC 1-}	-0,3892	1,0672	6,5429	1,9356	-7,5673	-1,5987
88	MzMax	[pp+perm+pp fondazioni] {SEISMIC 1+}	-0,3892	1,0672	6,5429	1,9356	8,6408	1,5567
88	MzMin	[pp+perm+pp fondazioni] {SEISMIC 1-}	-0,3892	1,0672	6,5429	1,9356	8,6408	-1,5987
89	NxMax	[pp+perm+pp fondazioni] {SEISMIC 1+}	2,4433	-2,7519	10,6234	9,7565	-11,8037	-0,1113
89	NxMin	[pp+perm+pp fondazioni] {SEISMIC 1-}	-3,5338	-2,7519	10,6234	9,7565	-11,8037	-0,1113
89	VyMax	[pp+perm+pp fondazioni] {SEISMIC 1+}	-3,5338	2,3177	10,6234	9,7565	-11,8037	-0,1113
89	VyMin	[pp+perm+pp fondazioni] {SEISMIC 1-}	-3,5338	-2,7519	10,6234	9,7565	-11,8037	-0,1113
89	VzMax	[1,3*pp+perm+pp fondazioni] {1,5*neve} (1,5*0,6*vento)	-1,2107	-0,5952	25,8399	1,9226	-3,2666	-0,0461
89	VzMin	[pp+perm+pp fondazioni] {SEISMIC 1-}	-3,5338	-2,7519	9,9885	9,7565	-11,8037	-0,1113
89	TxMax	[pp+perm+pp fondazioni] {SEISMIC 1+}	-3,5338	-2,7519	10,6234	9,7565	-11,8037	-0,1113
89	TxMin	[pp+perm+pp fondazioni] {SEISMIC 1-}	-3,5338	-2,7519	10,6234	-8,3256	-11,8037	-0,1113
89	MyMax	[pp+perm+pp fondazioni] {SEISMIC 1+}	-3,5338	-2,7519	10,6234	9,7565	15,3782	1,6115
89	MyMin	[pp+perm+pp fondazioni] {SEISMIC 1-}	-3,5338	-2,7519	10,6234	9,7565	-11,8037	-0,1113
89	MzMax	[pp+perm+pp fondazioni] {SEISMIC 1+}	-3,5338	-2,7519	10,6234	9,7565	15,3782	1,6115
89	MzMin	[pp+perm+pp fondazioni] {SEISMIC 1-}	-3,5338	-2,7519	10,6234	9,7565	15,3782	-1,3722
90	NxMax	[pp+perm+pp fondazioni] {SEISMIC 1+}	2,0340	-2,2142	9,2583	9,7565	15,3122	1,6101
90	NxMin	[pp+perm+pp fondazioni] {SEISMIC 1-}	-3,1210	-2,2142	9,2583	9,7565	15,3122	1,6101
90	VyMax	[pp+perm+pp fondazioni] {SEISMIC 1+}	-3,1210	1,7825	9,2583	9,7565	15,3122	1,6101
90	VyMin	[pp+perm+pp fondazioni] {SEISMIC 1-}	-3,1210	-2,2142	9,2583	9,7565	15,3122	1,6101
90	VzMax	[1,3*pp+perm+pp fondazioni] {1,5*neve} (1,5*0,6*vento)	-1,2066	-0,5920	18,1388	1,9226	12,8238	0,3258
90	VzMin	[pp+perm+pp fondazioni] {SEISMIC 1-}	-3,1210	-2,2142	5,2894	9,7565	15,3122	1,6101
90	TxMax	[pp+perm+pp fondazioni] {SEISMIC 1+}	-3,1210	-2,2142	9,2583	9,7565	15,3122	1,6101
90	TxMin	[pp+perm+pp fondazioni] {SEISMIC 1-}	-3,1210	-2,2142	9,2583	-8,3256	15,3122	1,6101

90	MyMax	[1,3*pp+perm+1,3*pp fondazioni] {1,5*neve} (1,5*0,6*vento)	-1,2066	-0,5920	18,1388	1,9226	24,2324	0,6958
90	MyMin	[pp+perm+pp fondazioni] {SEISMIC 1-}	-3,1210	-2,2142	9,2583	9,7565	-5,2082	1,6101
90	MzMax	[pp+perm+pp fondazioni] {SEISMIC 1+}	-3,1210	-2,2142	9,2583	9,7565	18,8195	2,9934
90	MzMin	[pp+perm+pp fondazioni] {SEISMIC 1-}	-3,1210	-2,2142	9,2583	9,7565	18,8195	-2,4844
91	NxMax	[pp+perm+pp fondazioni] {SEISMIC 1+}	0,1850	0,8472	-7,6112	-4,5682	9,9447	-1,1197
91	NxMin	[pp+perm+pp fondazioni] {SEISMIC 1-}	-0,5864	0,8472	-7,6112	-4,5682	9,9447	-1,1197
91	VyMax	[pp+perm+pp fondazioni] {SEISMIC 1+}	-0,5864	0,8472	-7,6112	-4,5682	9,9447	-1,1197
91	VyMin	[pp+perm+pp fondazioni] {SEISMIC 1-}	-0,5864	-0,6977	-7,6112	-4,5682	9,9447	-1,1197
91	VzMax	[pp+perm+pp fondazioni] {SEISMIC 1+}	-0,5864	0,8472	0,2395	-4,5682	9,9447	-1,1197
91	VzMin	[1,3*pp+perm+1,3*pp fondazioni] {1,5*neve} (1,5*0,6*vento)	-0,5649	0,2794	-9,8813	-2,8640	11,1764	-0,0561
91	TxMax	[pp+perm+pp fondazioni] {SEISMIC 1+}	-0,5864	0,8472	-7,6112	2,4438	9,9447	-1,1197
91	TxMin	[pp+perm+pp fondazioni] {SEISMIC 1-}	-0,5864	0,8472	-7,6112	-4,5682	9,9447	-1,1197
91	MyMax	[1,3*pp+perm+1,3*pp fondazioni] {1,5*neve} (1,5*0,6*vento)	-0,5649	0,2794	-9,8813	-2,8640	11,1764	-0,0561
91	MyMin	[pp+perm+pp fondazioni] {SEISMIC 1-}	-0,5864	0,8472	-7,6112	-4,5682	-7,4395	-1,7513
91	MzMax	[pp+perm+pp fondazioni] {SEISMIC 1+}	-0,5864	0,8472	-7,6112	-4,5682	9,4428	1,5689
91	MzMin	[pp+perm+pp fondazioni] {SEISMIC 1-}	-0,5864	0,8472	-7,6112	-4,5682	9,4428	-1,7513
92	NxMax	[pp+perm+pp fondazioni] {SEISMIC 1+}	0,1734	0,7752	4,4319	-4,5682	6,3693	0,5723
92	NxMin	[pp+perm+pp fondazioni] {SEISMIC 1-}	-0,5738	0,7752	4,4319	-4,5682	6,3693	0,5723
92	VyMax	[pp+perm+pp fondazioni] {SEISMIC 1+}	-0,5738	0,7752	4,4319	-4,5682	6,3693	0,5723
92	VyMin	[pp+perm+pp fondazioni] {SEISMIC 1-}	-0,5738	-0,6244	4,4319	-4,5682	6,3693	0,5723
92	VzMax	[pp+perm+pp fondazioni] {SEISMIC 1+}	-0,5738	0,7752	4,4319	-4,5682	6,3693	0,5723
92	VzMin	[pp+perm+pp fondazioni] {SEISMIC 1-}	-0,5738	0,7752	-4,1321	-4,5682	6,3693	0,5723
92	TxMax	[pp+perm+pp fondazioni] {SEISMIC 1+}	-0,5738	0,7752	4,4319	2,4438	6,3693	0,5723
92	TxMin	[pp+perm+pp fondazioni] {SEISMIC 1-}	-0,5738	0,7752	4,4319	-4,5682	6,3693	0,5723
92	MyMax	[1,3*pp+perm+1,3*pp fondazioni] {1,5*neve} (1,5*0,6*vento)	-0,5643	0,2813	0,1420	-2,8640	11,1694	-0,0564
92	MyMin	[pp+perm+pp fondazioni] {SEISMIC 1-}	-0,5738	0,7752	4,4319	-4,5682	-0,8201	-1,1206
92	MzMax	[pp+perm+pp fondazioni] {SEISMIC 1+}	-0,5738	0,7752	4,4319	-4,5682	9,9125	1,0819
92	MzMin	[pp+perm+pp fondazioni] {SEISMIC 1-}	-0,5738	0,7752	4,4319	-4,5682	9,9125	-1,1206
93	NxMax	[pp+perm+pp fondazioni] {SEISMIC 1+}	0,7843	1,1889	9,2905	-4,5682	4,1407	0,7873
93	NxMin	[pp+perm+pp fondazioni] {SEISMIC 1-}	-1,1841	1,1889	9,2905	-4,5682	4,1407	0,7873
93	VyMax	[pp+perm+pp fondazioni] {SEISMIC 1+}	-1,1841	1,1889	9,2905	-4,5682	4,1407	0,7873
93	VyMin	[pp+perm+pp fondazioni] {SEISMIC 1-}	-1,1841	-1,0336	9,2905	-4,5682	4,1407	0,7873
93	VzMax	[1,3*pp+perm+pp fondazioni] {1,5*neve} (1,5*0,6*vento)	-0,5642	0,2888	10,6817	-2,8640	0,6542	0,4919
93	VzMin	[pp+perm+pp fondazioni] {SEISMIC 1-}	-1,1841	1,1889	-0,9443	-4,5682	4,1407	0,7873
93	TxMax	[pp+perm+pp fondazioni] {SEISMIC 1+}	-1,1841	1,1889	9,2905	2,4438	4,1407	0,7873
93	TxMin	[pp+perm+pp fondazioni] {SEISMIC 1-}	-1,1841	1,1889	9,2905	-4,5682	4,1407	0,7873
93	MyMax	[1,3*pp+perm+1,3*pp fondazioni] {1,5*neve} (1,5*0,6*vento)	-0,5642	0,2888	10,6817	-2,8640	11,1058	0,2139
93	MyMin	[pp+perm+pp fondazioni] {SEISMIC 1-}	-1,1841	1,1889	9,2905	-4,5682	-3,3161	0,7873
93	MzMax	[pp+perm+pp fondazioni] {SEISMIC 1+}	-1,1841	1,1889	9,2905	-4,5682	4,1407	0,7873
93	MzMin	[pp+perm+pp fondazioni] {SEISMIC 1-}	-1,1841	1,1889	9,2905	-4,5682	4,1407	-0,5315
94	NxMax	[pp+perm+pp fondazioni] {SEISMIC 1+}	1,4294	1,7477	14,8444	-4,5682	-17,3419	2,4221
94	NxMin	[pp+perm+pp fondazioni] {SEISMIC 1-}	-1,8289	1,7477	14,8444	-4,5682	-17,3419	2,4221
94	VyMax	[pp+perm+pp fondazioni] {SEISMIC 1+}	-1,8289	1,7477	14,8444	-4,5682	-17,3419	2,4221
94	VyMin	[pp+perm+pp fondazioni] {SEISMIC 1-}	-1,8289	-1,5858	14,8444	-4,5682	-17,3419	2,4221
94	VzMax	[1,3*pp+perm+pp fondazioni] {1,5*neve} (1,5*0,6*vento)	-0,5647	0,2997	22,7401	-2,8640	-21,1220	0,7803
94	VzMin	[pp+perm+pp fondazioni] {SEISMIC 1-}	-1,8289	1,7477	2,6642	-4,5682	-17,3419	2,4221
94	TxMax	[pp+perm+pp fondazioni] {SEISMIC 1+}	-1,8289	1,7477	14,8444	2,4438	-17,3419	2,4221
94	TxMin	[pp+perm+pp fondazioni] {SEISMIC 1-}	-1,8289	1,7477	14,8444	-4,5682	-17,3419	2,4221

94	MyMax	[pp+perm+pp fondazioni] {SEISMIC 1+}	-1,8289	1,7477	14,8444	-4,5682	4,2023	0,7841
94	MyMin	[1,3*pp+perm+pp fondazioni] {1,5*neve} (1,5*0,6*vento)	-0,5647	0,2997	22,7401	-2,8640	-21,1220	0,7803
94	MzMax	[pp+perm+pp fondazioni] {SEISMIC 1+}	-1,8289	1,7477	14,8444	-4,5682	-17,3419	2,4221
94	MzMin	[pp+perm+pp fondazioni] {SEISMIC 1-}	-1,8289	1,7477	14,8444	-4,5682	-17,3419	-2,0106
95	NxMax	[1,3*pp+perm+1,3*pp fondazioni] {1,5*neve} (1,5*0,6*vento)	0,8524	-2,6923	-2,0104	-0,3473	1,0322	-1,6363
95	NxMin	[pp+perm+pp fondazioni] {SEISMIC 1-}	0,0309	-1,3254	-0,5435	-0,1471	0,0271	-0,2389
95	VyMax	[pp+perm+pp fondazioni] {SEISMIC 1+}	0,3993	-0,0349	-0,6079	-0,1471	0,2932	-0,5825
95	VyMin	[1,3*pp+perm+pp fondazioni] {1,5*neve} (1,5*0,6*vento)	0,8524	-2,6923	-2,0104	-0,3473	1,0322	-1,6363
95	VzMax	[pp+perm+pp fondazioni] {SEISMIC 1+}	0,3756	-1,3254	-0,4135	-0,1471	0,0271	-0,2389
95	VzMin	[1,3*pp+perm+1,3*pp fondazioni] {1,5*neve} (1,5*0,6*vento)	0,8524	-2,6923	-2,0104	-0,3473	1,0322	-1,6363
95	TxMax	[pp+perm+pp fondazioni] {SEISMIC 1+}	0,3993	-1,3254	-0,6079	-0,0363	0,2932	-0,5825
95	TxMin	[1,3*pp+perm+1,3*pp fondazioni] {1,5*neve} (1,5*0,6*vento)	0,8524	-2,6923	-2,0104	-0,3473	1,0322	-1,6363
95	MyMax	[1,3*pp+perm+1,3*pp fondazioni] {1,5*neve} (1,5*0,6*vento)	0,8524	-2,6923	-2,0104	-0,3473	1,0322	-1,6363
95	MyMin	[pp+perm+pp fondazioni] {SEISMIC 1-}	0,3756	-1,3254	-0,5435	-0,1471	-0,0219	-0,2389
95	MzMax	[pp+perm+pp fondazioni] {SEISMIC 1+}	0,3756	-1,3254	-0,5435	-0,1471	0,0271	0,1188
95	MzMin	[1,3*pp+perm+pp fondazioni] {1,5*neve} (1,5*0,6*vento)	0,8524	-2,6923	-2,0104	-0,3473	1,0322	-1,6363
98	NxMax	[1,3*pp+perm+1,3*pp fondazioni] {1,5*neve} (1,5*0,6*vento)	20,6819	0,0617	-1,2227	0,0039	1,3489	0,1630
98	NxMin	[pp+perm+pp fondazioni] {SEISMIC 1-}	4,6540	0,0718	-0,6184	0,0162	0,7005	0,3367
98	VyMax	[pp+perm+pp fondazioni] {SEISMIC 1+}	5,5364	0,0718	-0,6184	0,0162	0,7005	0,3367
98	VyMin	[pp+perm+pp fondazioni] {SEISMIC 1-}	5,5364	-0,0392	-0,6184	0,0162	0,7005	0,3367
98	VzMax	[pp+perm+pp fondazioni] {SEISMIC 1+}	5,5364	0,0718	0,2503	0,0162	-0,7111	-0,5966
98	VzMin	[1,3*pp+perm+1,3*pp fondazioni] {1,5*neve} (1,5*0,6*vento)	20,6819	0,0617	-1,2227	0,0039	1,3489	0,1630
98	TxMax	[pp+perm+pp fondazioni] {SEISMIC 1+}	5,5364	0,0718	-0,6184	0,0162	0,7005	0,3367
98	TxMin	[pp+perm+pp fondazioni] {SEISMIC 1-}	5,5364	0,0718	-0,6184	-0,0143	0,7005	0,3367
98	MyMax	[1,3*pp+perm+1,3*pp fondazioni] {1,5*neve} (1,5*0,6*vento)	20,6819	0,0617	-1,2227	0,0039	1,3489	0,1630
98	MyMin	[1,3*pp+perm+1,3*pp fondazioni] {1,5*neve} (1,5*0,6*vento)	20,6819	0,0617	-0,2904	0,0039	-2,7592	-0,1721
98	MzMax	[pp+perm+pp fondazioni] {SEISMIC 1+}	5,5364	0,0718	0,2503	0,0162	-0,7111	0,5046
98	MzMin	[pp+perm+pp fondazioni] {SEISMIC 1-}	5,5364	0,0718	0,2503	0,0162	-0,7111	-0,5966
99	NxMax	[1,3*pp+perm+1,3*pp fondazioni] {1,5*neve} (1,5*0,6*vento)	0,3665	1,8843	-1,4121	-0,0015	0,7347	0,9096
99	NxMin	[pp+perm+pp fondazioni] {SEISMIC 1-}	-0,0193	1,2160	-0,3088	-0,0395	0,0174	-0,2394
99	VyMax	[1,3*pp+perm+1,3*pp fondazioni] {1,5*neve} (1,5*0,6*vento)	0,3665	1,8843	-1,4121	-0,0015	0,7347	0,9096
99	VyMin	[pp+perm+pp fondazioni] {SEISMIC 1-}	0,1644	-0,2315	-0,3733	-0,0395	0,1743	0,5380
99	VzMax	[pp+perm+pp fondazioni] {SEISMIC 1+}	0,1407	1,2160	-0,2114	-0,0395	0,0174	-0,2394
99	VzMin	[1,3*pp+perm+1,3*pp fondazioni] {1,5*neve} (1,5*0,6*vento)	0,3665	1,8843	-1,4121	-0,0015	0,7347	0,9096
99	TxMax	[pp+perm+pp fondazioni] {SEISMIC 1+}	0,1644	1,2160	-0,3733	0,0390	0,1743	0,5380
99	TxMin	[pp+perm+pp fondazioni] {SEISMIC 1-}	0,1644	1,2160	-0,3733	-0,0395	0,1743	0,5380
99	MyMax	[1,3*pp+perm+1,3*pp fondazioni] {1,5*neve} (1,5*0,6*vento)	0,3665	1,8843	-1,4121	-0,0015	0,7347	0,9096
99	MyMin	[pp+perm+pp fondazioni] {SEISMIC 1-}	0,1407	1,2160	-0,3088	-0,0395	-0,0067	-0,2394
99	MzMax	[1,3*pp+perm+1,3*pp fondazioni] {1,5*neve} (1,5*0,6*vento)	0,3665	1,8843	-1,4121	-0,0015	0,7347	0,9096
99	MzMin	[pp+perm+pp fondazioni] {SEISMIC 1-}	0,1407	1,2160	-0,3088	-0,0395	0,0174	-0,2394
100	NxMax	[1,3*pp+perm+pp fondazioni] {1,5*neve} (1,5*0,6*vento)	10,4200	-0,5178	-11,0142	0,0066	0,0000	-0,4253
100	NxMin	[pp+perm+pp fondazioni] {SEISMIC 1-}	1,7970	-1,3433	-3,2115	0,0552	0,0000	-1,5136
100	VyMax	[pp+perm+pp fondazioni] {SEISMIC 1+}	3,6055	1,0907	-3,2115	0,0552	0,0000	-1,5136
100	VyMin	[pp+perm+pp fondazioni] {SEISMIC 1-}	3,6055	-1,3433	-3,2115	0,0552	0,0000	-1,5136
100	VzMax	[pp+perm+pp fondazioni] {SEISMIC 1+}	3,6055	-1,3433	-2,2723	0,0552	-5,8185	1,2391
100	VzMin	[1,3*pp+perm+pp fondazioni] {1,5*neve} (1,5*0,6*vento)	10,4200	-0,5178	-11,0142	0,0066	0,0000	-0,4253
100	TxMax	[pp+perm+pp fondazioni] {SEISMIC 1+}	3,6055	-1,3433	-3,2115	0,0552	0,0000	-1,5136
100	TxMin	[pp+perm+pp fondazioni] {SEISMIC 1-}	3,6055	-1,3433	-3,2115	-0,0523	0,0000	-1,5136

100	MyMax	[pp+perm+pp fondazioni] {SEISMIC 1+}	3,6055	-1,3433	-3,2115	0,0552	0,0000	-1,5136
100	MyMin	[1,3*pp+perm+pp fondazioni] {1,5*neve} (1,5*0,6*vento)	10,4200	-0,5178	-10,5231	0,0066	-20,7296	0,5715
100	MzMax	[pp+perm+pp fondazioni] {SEISMIC 1+}	3,6055	-1,3433	-3,2115	0,0552	0,0000	1,2754
100	MzMin	[pp+perm+pp fondazioni] {SEISMIC 1-}	3,6055	-1,3433	-3,2115	0,0552	0,0000	-1,5136
101	NxMax	[1,3*pp+perm+pp fondazioni] {1,5*neve} (1,5*0,6*vento)	13,5954	0,3329	10,3384	0,0309	-20,3740	0,5575
101	NxMin	[pp+perm+pp fondazioni] {SEISMIC 1-}	0,7882	0,7133	2,6397	0,0327	-5,4450	1,2220
101	VyMax	[pp+perm+pp fondazioni] {SEISMIC 1+}	6,2470	0,7133	2,6397	0,0327	-5,4450	1,2220
101	VyMin	[pp+perm+pp fondazioni] {SEISMIC 1-}	6,2470	-0,5763	2,6397	0,0327	-5,4450	1,2220
101	VzMax	[1,3*pp+perm+pp fondazioni] {1,5*neve} (1,5*0,6*vento)	13,5954	0,3329	10,8294	0,0309	0,0000	-0,0834
101	VzMin	[pp+perm+pp fondazioni] {SEISMIC 1-}	6,2470	0,7133	2,3690	0,0327	-5,4450	1,2220
101	TxMax	[pp+perm+pp fondazioni] {SEISMIC 1+}	6,2470	0,7133	2,6397	0,0327	-5,4450	1,2220
101	TxMin	[pp+perm+pp fondazioni] {SEISMIC 1-}	6,2470	0,7133	2,6397	-0,0136	-5,4450	1,2220
101	MyMax	[pp+perm+pp fondazioni] {SEISMIC 1+}	6,2470	0,7133	3,0175	0,0327	0,0000	-0,2038
101	MyMin	[1,3*pp+perm+pp fondazioni] {1,5*neve} (1,5*0,6*vento)	13,5954	0,3329	10,3384	0,0309	-20,3740	0,5575
101	MzMax	[pp+perm+pp fondazioni] {SEISMIC 1+}	6,2470	0,7133	2,6397	0,0327	-5,4450	1,2220
101	MzMin	[pp+perm+pp fondazioni] {SEISMIC 1-}	6,2470	0,7133	2,6397	0,0327	-5,4450	-0,9849
102	NxMax	[1,3*pp+perm+pp fondazioni] {1,5*neve} (1,5*0,6*vento)	8,4458	-0,7647	8,5092	-0,0842	-16,8529	-1,2394
102	NxMin	[pp+perm+pp fondazioni] {SEISMIC 1-}	-0,4612	-0,8327	2,1884	-0,0357	-4,5763	-1,3949
102	VyMax	[pp+perm+pp fondazioni] {SEISMIC 1+}	4,7900	0,4786	2,1884	-0,0357	-4,5763	-1,3949
102	VyMin	[pp+perm+pp fondazioni] {SEISMIC 1-}	4,7900	-0,8327	2,1884	-0,0357	-4,5763	-1,3949
102	VzMax	[1,3*pp+perm+1,3*pp fondazioni] {1,5*neve} (1,5*0,6*vento)	8,4458	-0,7647	9,0003	-0,0842	0,0000	0,2327
102	VzMin	[pp+perm+pp fondazioni] {SEISMIC 1-}	4,7900	-0,8327	1,9286	-0,0357	-4,5763	-1,3949
102	TxMax	[pp+perm+pp fondazioni] {SEISMIC 1+}	4,7900	-0,8327	2,1884	0,0024	-4,5763	-1,3949
102	TxMin	[1,3*pp+perm+1,3*pp fondazioni] {1,5*neve} (1,5*0,6*vento)	8,4458	-0,7647	8,5092	-0,0842	-16,8529	-1,2394
102	MyMax	[pp+perm+pp fondazioni] {SEISMIC 1+}	4,7900	-0,8327	2,5661	-0,0357	0,0000	0,2843
102	MyMin	[1,3*pp+perm+1,3*pp fondazioni] {1,5*neve} (1,5*0,6*vento)	8,4458	-0,7647	8,5092	-0,0842	-16,8529	-1,2394
102	MzMax	[pp+perm+pp fondazioni] {SEISMIC 1+}	4,7900	-0,8327	2,1884	-0,0357	-4,5763	0,8207
102	MzMin	[pp+perm+pp fondazioni] {SEISMIC 1-}	4,7900	-0,8327	2,1884	-0,0357	-4,5763	-1,3949
103	NxMax	[1,3*pp+perm+pp fondazioni] {1,5*neve} (1,5*0,6*vento)	3,7927	0,6760	-9,3267	0,2482	0,0000	0,1036
103	NxMin	[pp+perm+pp fondazioni] {SEISMIC 1-}	-1,7831	0,8185	-2,6642	0,1079	0,0000	0,1309
103	VyMax	[pp+perm+pp fondazioni] {SEISMIC 1+}	3,6961	0,8185	-2,6642	0,1079	0,0000	0,1309
103	VyMin	[pp+perm+pp fondazioni] {SEISMIC 1-}	3,6961	-0,5059	-2,6642	0,1079	0,0000	0,1309
103	VzMax	[pp+perm+pp fondazioni] {SEISMIC 1+}	3,6961	0,8185	-2,0000	0,1079	-4,7650	-1,4454
103	VzMin	[1,3*pp+perm+pp fondazioni] {1,5*neve} (1,5*0,6*vento)	3,7927	0,6760	-9,3267	0,2482	0,0000	0,1036
103	TxMax	[1,3*pp+perm+1,3*pp fondazioni] {1,5*neve} (1,5*0,6*vento)	3,7927	0,6760	-9,3267	0,2482	0,0000	0,1036
103	TxMin	[pp+perm+pp fondazioni] {SEISMIC 1-}	3,6961	0,8185	-2,6642	0,0306	0,0000	0,1309
103	MyMax	[pp+perm+pp fondazioni] {SEISMIC 1+}	3,6961	0,8185	-2,6642	0,1079	0,0000	0,1309
103	MyMin	[1,3*pp+perm+1,3*pp fondazioni] {1,5*neve} (1,5*0,6*vento)	3,7927	0,6760	-8,8356	0,2482	-17,4812	-1,1977
103	MzMax	[pp+perm+pp fondazioni] {SEISMIC 1+}	3,6961	0,8185	-2,2864	0,1079	-4,7650	0,8918
103	MzMin	[pp+perm+pp fondazioni] {SEISMIC 1-}	3,6961	0,8185	-2,2864	0,1079	-4,7650	-1,4454
109	NxMax	[1,3*pp+perm+1,3*pp fondazioni] {1,5*neve} (1,5*0,6*vento)	2,0898	-14,4614	5,8765	-0,0049	3,0949	3,7303
109	NxMin	[pp+perm+pp fondazioni] {SEISMIC 1-}	-0,0214	-4,5141	1,7858	0,1212	0,6374	0,6485
109	VyMax	[pp+perm+pp fondazioni] {SEISMIC 1+}	1,0823	-3,0236	1,7858	0,1212	0,6374	0,6485
109	VyMin	[1,3*pp+perm+1,3*pp fondazioni] {1,5*neve} (1,5*0,6*vento)	2,0790	-14,4614	5,8470	-0,0049	2,0190	1,0759
109	VzMax	[1,3*pp+perm+pp fondazioni] {1,5*neve} (1,5*0,6*vento)	2,0898	-14,4614	5,8765	-0,0049	3,0949	3,7303
109	VzMin	[pp+perm+pp fondazioni] {SEISMIC 1-}	1,0823	-4,5141	1,2387	0,1212	0,6374	0,6485
109	TxMax	[pp+perm+pp fondazioni] {SEISMIC 1+}	1,0823	-4,5141	1,7858	0,1212	0,6374	0,6485
109	TxMin	[pp+perm+pp fondazioni] {SEISMIC 1-}	1,0823	-4,5141	1,7858	-0,1115	0,6374	0,6485

109	MyMax	[1,3*pp+perm+pp fondazioni] {1,5*neve} (1,5*0,6*vento)	2,0898	-14,4614	5,8765	-0,0049	3,0949	3,7303
109	MyMin	[pp+perm+pp fondazioni] {SEISMIC 1-}	1,0823	-4,5141	1,7858	0,1212	0,4455	0,6485
109	MzMax	[1,3*pp+perm+1,3*pp fondazioni] {1,5*neve} (1,5*0,6*vento)	2,0898	-14,4614	5,8765	-0,0049	3,0949	3,7303
109	MzMin	[pp+perm+pp fondazioni] {SEISMIC 1-}	1,0823	-4,5141	1,7858	0,1212	0,6374	-0,1082
110	NxMax	[1,3*pp+perm+pp fondazioni] {1,5*neve} (1,5*0,6*vento)	0,7823	-1,1988	2,1527	-0,3462	2,0276	1,2793
110	NxMin	[pp+perm+pp fondazioni] {SEISMIC 1-}	-0,0490	-0,5371	0,5817	-0,1386	-0,0304	0,1653
110	VyMax	[pp+perm+pp fondazioni] {SEISMIC 1+}	0,4022	-0,0825	0,5817	-0,1386	-0,0304	0,1653
110	VyMin	[1,3*pp+perm+1,3*pp fondazioni] {1,5*neve} (1,5*0,6*vento)	0,7242	-1,1988	1,9948	-0,3462	-0,0046	0,1045
110	VzMax	[1,3*pp+perm+pp fondazioni] {1,5*neve} (1,5*0,6*vento)	0,7823	-1,1988	2,1527	-0,3462	2,0276	1,2793
110	VzMin	[pp+perm+pp fondazioni] {SEISMIC 1-}	0,4022	-0,5371	0,4109	-0,1386	-0,0304	0,1653
110	TxMax	[pp+perm+pp fondazioni] {SEISMIC 1+}	0,4022	-0,5371	0,5817	-0,0410	-0,0304	0,1653
110	TxMin	[1,3*pp+perm+pp fondazioni] {1,5*neve} (1,5*0,6*vento)	0,7242	-1,1988	1,9948	-0,3462	-0,0046	0,1045
110	MyMax	[1,3*pp+perm+pp fondazioni] {1,5*neve} (1,5*0,6*vento)	0,7823	-1,1988	2,1527	-0,3462	2,0276	1,2793
110	MyMin	[pp+perm+pp fondazioni] {SEISMIC 1-}	0,4022	-0,5371	0,5817	-0,1386	-0,0304	0,1653
110	MzMax	[1,3*pp+perm+1,3*pp fondazioni] {1,5*neve} (1,5*0,6*vento)	0,7823	-1,1988	2,1527	-0,3462	2,0276	1,2793
110	MzMin	[pp+perm+pp fondazioni] {SEISMIC 1-}	0,4022	-0,5371	0,5817	-0,1386	-0,0304	-0,1163
111	NxMax	[pp+perm+pp fondazioni] {SEISMIC 1+}	-2,5999	2,7105	-1,0717	0,1125	-0,4295	-0,3286
111	NxMin	[1,3*pp+perm+1,3*pp fondazioni] {1,5*neve} (1,5*0,6*vento)	-14,7404	5,1660	-3,9549	0,3666	2,4038	3,1678
111	VyMax	[1,3*pp+perm+pp fondazioni] {1,5*neve} (1,5*0,6*vento)	-14,7404	5,1660	-3,9549	0,3666	2,4038	3,1678
111	VyMin	[pp+perm+pp fondazioni] {SEISMIC 1-}	-5,6812	-0,0658	-1,1704	0,1125	0,6434	1,8349
111	VzMax	[pp+perm+pp fondazioni] {SEISMIC 1+}	-5,6448	2,7105	-0,7006	0,1125	-0,4295	-0,3286
111	VzMin	[1,3*pp+perm+1,3*pp fondazioni] {1,5*neve} (1,5*0,6*vento)	-14,7404	5,1660	-3,9549	0,3666	2,4038	3,1678
111	TxMax	[1,3*pp+perm+1,3*pp fondazioni] {1,5*neve} (1,5*0,6*vento)	-14,7404	5,1660	-3,9549	0,3666	2,4038	3,1678
111	TxMin	[pp+perm+pp fondazioni] {SEISMIC 1-}	-5,6812	2,7105	-1,1704	0,0657	0,6434	1,8349
111	MyMax	[1,3*pp+perm+1,3*pp fondazioni] {1,5*neve} (1,5*0,6*vento)	-14,7404	5,1660	-3,9549	0,3666	2,4038	3,1678
111	MyMin	[1,3*pp+perm+1,3*pp fondazioni] {1,5*neve} (1,5*0,6*vento)	-14,6931	5,1660	-3,8265	0,3666	-0,6950	-0,9467
111	MzMax	[1,3*pp+perm+pp fondazioni] {1,5*neve} (1,5*0,6*vento)	-14,7404	5,1660	-3,9549	0,3666	2,4038	3,1678
111	MzMin	[1,3*pp+perm+pp fondazioni] {1,5*neve} (1,5*0,6*vento)	-14,6931	5,1660	-3,8265	0,3666	-0,6950	-0,9467
112	NxMax	[pp+perm+pp fondazioni] {SEISMIC 1+}	-2,5510	0,8784	0,0875	0,0858	-0,4602	-0,9337
112	NxMin	[1,3*pp+perm+1,3*pp fondazioni] {1,5*neve} (1,5*0,6*vento)	-13,3263	0,1183	-0,6125	0,2109	-0,6684	-0,7161
112	VyMax	[pp+perm+pp fondazioni] {SEISMIC 1+}	-4,9946	0,8784	-0,2027	0,0858	-0,4528	-0,3038
112	VyMin	[pp+perm+pp fondazioni] {SEISMIC 1-}	-4,9946	-0,8440	-0,2027	0,0858	-0,4528	-0,3038
112	VzMax	[pp+perm+pp fondazioni] {SEISMIC 1+}	-4,9498	0,8784	0,0875	0,0858	-0,4602	-0,9337
112	VzMin	[1,3*pp+perm+1,3*pp fondazioni] {1,5*neve} (1,5*0,6*vento)	-13,3263	0,1183	-0,6125	0,2109	-0,6684	-0,7161
112	TxMax	[1,3*pp+perm+1,3*pp fondazioni] {1,5*neve} (1,5*0,6*vento)	-13,3263	0,1183	-0,6125	0,2109	-0,6684	-0,7161
112	TxMin	[pp+perm+pp fondazioni] {SEISMIC 1-}	-4,9946	0,8784	-0,2027	0,0196	-0,4528	-0,3038
112	MyMax	[pp+perm+pp fondazioni] {SEISMIC 1+}	-4,9946	0,8784	-0,2027	0,0858	-0,0828	-0,3038
112	MyMin	[1,3*pp+perm+1,3*pp fondazioni] {1,5*neve} (1,5*0,6*vento)	-13,2682	0,1183	-0,4546	0,2109	-1,1913	-0,8320
112	MzMax	[pp+perm+pp fondazioni] {SEISMIC 1+}	-4,9498	0,8784	0,0875	0,0858	-0,4602	0,5256
112	MzMin	[pp+perm+pp fondazioni] {SEISMIC 1-}	-4,9498	0,8784	0,0875	0,0858	-0,4602	-0,9337
113	NxMax	[pp+perm+pp fondazioni] {SEISMIC 1+}	-2,4339	0,1559	1,4892	-0,3518	0,5972	-0,9245
113	NxMin	[1,3*pp+perm+pp fondazioni] {1,5*neve} (1,5*0,6*vento)	-11,1427	0,0631	3,9828	-0,3693	1,1667	-0,9526
113	VyMax	[pp+perm+pp fondazioni] {SEISMIC 1+}	-3,9740	0,1559	1,4722	-0,3518	0,4157	-0,9180
113	VyMin	[pp+perm+pp fondazioni] {SEISMIC 1-}	-3,9740	-0,1225	1,4722	-0,3518	0,4157	-0,9180
113	VzMax	[1,3*pp+perm+pp fondazioni] {1,5*neve} (1,5*0,6*vento)	-11,1346	0,0631	4,0049	-0,3693	1,7133	-0,9612
113	VzMin	[pp+perm+pp fondazioni] {SEISMIC 1-}	-3,9740	0,1559	0,8043	-0,3518	0,4157	-0,9180
113	TxMax	[pp+perm+pp fondazioni] {SEISMIC 1+}	-3,9740	0,1559	1,4722	0,1693	0,4157	-0,9180
113	TxMin	[1,3*pp+perm+pp fondazioni] {1,5*neve} (1,5*0,6*vento)	-11,1427	0,0631	3,9828	-0,3693	1,1667	-0,9526

113	MyMax	[1,3*pp+perm+pp fondazioni] {1,5*neve} (1,5*0,6*vento)	-11,1346	0,0631	4,0049	-0,3693	1,7133	-0,9612
113	MyMin	[pp+perm+pp fondazioni] {SEISMIC 1-}	-3,9740	0,1559	1,4722	-0,3518	0,3423	-0,9180
113	MzMax	[pp+perm+pp fondazioni] {SEISMIC 1+}	-3,9677	0,1559	1,4892	-0,3518	0,5972	0,4583
113	MzMin	[1,3*pp+perm+1,3*pp fondazioni] {1,5*neve} (1,5*0,6*vento)	-11,1346	0,0631	4,0049	-0,3693	1,7133	-0,9612
114	NxMax	[pp+perm+pp fondazioni] {SEISMIC 1+}	-2,4862	0,3851	0,9295	-0,1314	0,3907	-1,0633
114	NxMin	[1,3*pp+perm+1,3*pp fondazioni] {1,5*neve} (1,5*0,6*vento)	-12,0092	0,6923	2,2482	-0,1852	-1,1496	-0,4696
114	VyMax	[1,3*pp+perm+1,3*pp fondazioni] {1,5*neve} (1,5*0,6*vento)	-12,0092	0,6923	2,2482	-0,1852	-1,1496	-0,4696
114	VyMin	[pp+perm+pp fondazioni] {SEISMIC 1-}	-4,3712	-0,0467	0,8081	-0,1314	-0,4816	-0,7004
114	VzMax	[1,3*pp+perm+1,3*pp fondazioni] {1,5*neve} (1,5*0,6*vento)	-11,9510	0,6923	2,4061	-0,1852	1,1310	-1,1481
114	VzMin	[pp+perm+pp fondazioni] {SEISMIC 1-}	-4,3712	0,3851	0,4650	-0,1314	-0,4816	-0,7004
114	TxMax	[pp+perm+pp fondazioni] {SEISMIC 1+}	-4,3712	0,3851	0,8081	0,0406	-0,4816	-0,7004
114	TxMin	[1,3*pp+perm+1,3*pp fondazioni] {1,5*neve} (1,5*0,6*vento)	-12,0092	0,6923	2,2482	-0,1852	-1,1496	-0,4696
114	MyMax	[1,3*pp+perm+1,3*pp fondazioni] {1,5*neve} (1,5*0,6*vento)	-11,9510	0,6923	2,4061	-0,1852	1,1310	-1,1481
114	MyMin	[1,3*pp+perm+1,3*pp fondazioni] {1,5*neve} (1,5*0,6*vento)	-12,0092	0,6923	2,2482	-0,1852	-1,1496	-0,4696
114	MzMax	[pp+perm+pp fondazioni] {SEISMIC 1+}	-4,3265	0,3851	0,9295	-0,1314	0,3907	0,5027
114	MzMin	[1,3*pp+perm+1,3*pp fondazioni] {1,5*neve} (1,5*0,6*vento)	-11,9510	0,6923	2,4061	-0,1852	1,1310	-1,1481
120	NxMax	[pp+perm+pp fondazioni] {SEISMIC 1+}	-0,1575	0,1460	-0,6391	-0,0015	0,2394	0,1237
120	NxMin	[1,3*pp+perm+pp fondazioni] {1,5*neve} (1,5*0,6*vento)	-1,1988	0,0099	-2,1221	-0,0032	0,5288	0,0216
120	VyMax	[pp+perm+pp fondazioni] {SEISMIC 1+}	-0,4621	0,1460	-0,6391	-0,0015	0,2394	0,1237
120	VyMin	[pp+perm+pp fondazioni] {SEISMIC 1-}	-0,4621	-0,1343	-0,6391	-0,0015	0,2394	0,1237
120	VzMax	[1,3*pp+perm+pp fondazioni] {1,5*neve} (1,5*0,6*vento)	-1,1988	0,0099	0,6520	-0,0032	-0,5738	0,0068
120	VzMin	[1,3*pp+perm+1,3*pp fondazioni] {1,5*neve} (1,5*0,6*vento)	-1,1988	0,0099	-2,1221	-0,0032	0,5288	0,0216
120	TxMax	[pp+perm+pp fondazioni] {SEISMIC 1+}	-0,4621	0,1460	-0,6391	-0,0005	0,2394	0,1237
120	TxMin	[1,3*pp+perm+1,3*pp fondazioni] {1,5*neve} (1,5*0,6*vento)	-1,1988	0,0099	-2,1221	-0,0032	0,5288	0,0216
120	MyMax	[1,3*pp+perm+1,3*pp fondazioni] {1,5*neve} (1,5*0,6*vento)	-1,1988	0,0099	-2,1221	-0,0032	0,5288	0,0216
120	MyMin	[1,3*pp+perm+1,3*pp fondazioni] {1,5*neve} (1,5*0,6*vento)	-1,1988	0,0099	0,0972	-0,0032	-0,6862	0,0098
120	MzMax	[pp+perm+pp fondazioni] {SEISMIC 1+}	-0,4621	0,1460	-0,6391	-0,0015	0,2394	0,1237
120	MzMin	[pp+perm+pp fondazioni] {SEISMIC 1-}	-0,4621	0,1460	-0,6391	-0,0015	0,2394	-0,1076
121	NxMax	[pp+perm+pp fondazioni] {SEISMIC 1+}	-3,0521	0,1589	-1,1708	-0,0002	0,5569	0,1379
121	NxMin	[1,3*pp+perm+pp fondazioni] {1,5*neve} (1,5*0,6*vento)	-13,2626	0,0601	-3,9148	-0,0003	1,4662	0,0729
121	VyMax	[pp+perm+pp fondazioni] {SEISMIC 1+}	-3,8660	0,1589	-1,1708	-0,0002	0,5569	0,1379
121	VyMin	[pp+perm+pp fondazioni] {SEISMIC 1-}	-3,8660	-0,1207	-1,1708	-0,0002	0,5569	0,1379
121	VzMax	[1,3*pp+perm+pp fondazioni] {1,5*neve} (1,5*0,6*vento)	-13,2626	0,0601	1,5531	-0,0003	-0,3050	-0,0173
121	VzMin	[1,3*pp+perm+1,3*pp fondazioni] {1,5*neve} (1,5*0,6*vento)	-13,2626	0,0601	-3,9148	-0,0003	1,4662	0,0729
121	TxMax	[pp+perm+pp fondazioni] {SEISMIC 1+}	-3,8660	0,1589	-1,1708	0,0002	0,5569	0,1379
121	TxMin	[1,3*pp+perm+1,3*pp fondazioni] {1,5*neve} (1,5*0,6*vento)	-13,2626	0,0601	-3,9148	-0,0003	1,4662	0,0729
121	MyMax	[1,3*pp+perm+1,3*pp fondazioni] {1,5*neve} (1,5*0,6*vento)	-13,2626	0,0601	-3,9148	-0,0003	1,4662	0,0729
121	MyMin	[1,3*pp+perm+1,3*pp fondazioni] {1,5*neve} (1,5*0,6*vento)	-13,2626	0,0601	-0,0873	-0,0003	-0,6349	0,0097
121	MzMax	[pp+perm+pp fondazioni] {SEISMIC 1+}	-3,8660	0,1589	-1,1708	-0,0002	0,5569	0,1379
121	MzMin	[pp+perm+pp fondazioni] {SEISMIC 1-}	-3,8660	0,1589	0,5163	-0,0002	-0,2709	-0,1005
122	NxMax	[pp+perm+pp fondazioni] {SEISMIC 1+}	-0,9773	-0,2482	-1,0435	0,0018	0,4211	-0,2064
122	NxMin	[1,3*pp+perm+pp fondazioni] {1,5*neve} (1,5*0,6*vento)	-5,0477	-0,1717	-3,4883	0,0025	0,9324	-0,1625
122	VyMax	[pp+perm+pp fondazioni] {SEISMIC 1+}	-1,6331	0,1648	-1,0435	0,0018	0,4211	-0,2064
122	VyMin	[pp+perm+pp fondazioni] {SEISMIC 1-}	-1,6331	-0,2482	-1,0435	0,0018	0,4211	-0,2064
122	VzMax	[1,3*pp+perm+pp fondazioni] {1,5*neve} (1,5*0,6*vento)	-5,0477	-0,1717	1,9796	0,0025	-0,1992	0,0950
122	VzMin	[1,3*pp+perm+1,3*pp fondazioni] {1,5*neve} (1,5*0,6*vento)	-5,0477	-0,1717	-3,4883	0,0025	0,9324	-0,1625
122	TxMax	[1,3*pp+perm+pp fondazioni] {1,5*neve} (1,5*0,6*vento)	-5,0477	-0,1717	-3,4883	0,0025	0,9324	-0,1625
122	TxMin	[pp+perm+pp fondazioni] {SEISMIC 1-}	-1,6331	-0,2482	-1,0435	0,0002	0,4211	-0,2064

122	MyMax	[1,3*pp+perm+1,3*pp fondazioni] {1,5*neve} (1,5*0,6*vento)	-5,0477	-0,1717	-3,4883	0,0025	0,9324	-0,1625
122	MyMin	[1,3*pp+perm+1,3*pp fondazioni] {1,5*neve} (1,5*0,6*vento)	-5,0477	-0,1717	-0,2076	0,0025	-0,7308	-0,0080
122	MzMax	[pp+perm+pp fondazioni] {SEISMIC 1+}	-1,6331	-0,2482	0,6141	0,0018	-0,2159	0,1660
122	MzMin	[pp+perm+pp fondazioni] {SEISMIC 1-}	-1,6331	-0,2482	-1,0435	0,0018	0,4211	-0,2064
123	NxMax	[1,3*pp+perm+1,3*pp fondazioni] {1,5*neve} (1,5*0,6*vento)	0,5741	-0,2472	-2,9714	0,0071	0,4166	-0,2032
123	NxMin	[pp+perm+pp fondazioni] {SEISMIC 1-}	-0,2217	-0,2273	-0,8923	0,0024	0,2894	-0,1798
123	VyMax	[pp+perm+pp fondazioni] {SEISMIC 1+}	0,5258	0,1034	-0,8923	0,0024	0,2894	-0,1798
123	VyMin	[1,3*pp+perm+pp fondazioni] {1,5*neve} (1,5*0,6*vento)	0,5741	-0,2472	-2,9714	0,0071	0,4166	-0,2032
123	VzMax	[1,3*pp+perm+pp fondazioni] {1,5*neve} (1,5*0,6*vento)	0,5741	-0,2472	2,4965	0,0071	0,0604	0,1676
123	VzMin	[1,3*pp+perm+1,3*pp fondazioni] {1,5*neve} (1,5*0,6*vento)	0,5741	-0,2472	-2,9714	0,0071	0,4166	-0,2032
123	TxMax	[1,3*pp+perm+1,3*pp fondazioni] {1,5*neve} (1,5*0,6*vento)	0,5741	-0,2472	-2,9714	0,0071	0,4166	-0,2032
123	TxMin	[pp+perm+pp fondazioni] {SEISMIC 1-}	0,5258	-0,2273	-0,8923	0,0014	0,2894	-0,1798
123	MyMax	[1,3*pp+perm+1,3*pp fondazioni] {1,5*neve} (1,5*0,6*vento)	0,5741	-0,2472	-2,9714	0,0071	0,4166	-0,2032
123	MyMin	[1,3*pp+perm+1,3*pp fondazioni] {1,5*neve} (1,5*0,6*vento)	0,5741	-0,2472	-0,2374	0,0071	-0,7867	-0,0178
123	MzMax	[1,3*pp+perm+pp fondazioni] {1,5*neve} (1,5*0,6*vento)	0,5741	-0,2472	2,4965	0,0071	0,0604	0,1676
123	MzMin	[1,3*pp+perm+pp fondazioni] {1,5*neve} (1,5*0,6*vento)	0,5741	-0,2472	-2,9714	0,0071	0,4166	-0,2032
124	NxMax	[pp+perm+pp fondazioni] {SEISMIC 1+}	-0,1095	-0,1414	-0,6546	0,0021	0,2965	-0,0876
124	NxMin	[1,3*pp+perm+pp fondazioni] {1,5*neve} (1,5*0,6*vento)	-0,6293	-0,2135	-1,7589	0,0058	0,3284	-0,1198
124	VyMax	[pp+perm+pp fondazioni] {SEISMIC 1+}	-0,1956	0,0303	-0,6546	0,0021	0,2965	-0,0876
124	VyMin	[1,3*pp+perm+pp fondazioni] {1,5*neve} (1,5*0,6*vento)	-0,6293	-0,2135	-1,7589	0,0058	0,3284	-0,1198
124	VzMax	[1,3*pp+perm+pp fondazioni] {1,5*neve} (1,5*0,6*vento)	-0,6293	-0,2135	1,0152	0,0058	-0,2294	0,2005
124	VzMin	[1,3*pp+perm+1,3*pp fondazioni] {1,5*neve} (1,5*0,6*vento)	-0,6293	-0,2135	-1,7589	0,0058	0,3284	-0,1198
124	TxMax	[1,3*pp+perm+1,3*pp fondazioni] {1,5*neve} (1,5*0,6*vento)	-0,6293	-0,2135	-1,7589	0,0058	0,3284	-0,1198
124	TxMin	[pp+perm+pp fondazioni] {SEISMIC 1-}	-0,1956	-0,1414	-0,6546	0,0010	0,2965	-0,0876
124	MyMax	[1,3*pp+perm+1,3*pp fondazioni] {1,5*neve} (1,5*0,6*vento)	-0,6293	-0,2135	-1,7589	0,0058	0,3284	-0,1198
124	MyMin	[1,3*pp+perm+1,3*pp fondazioni] {1,5*neve} (1,5*0,6*vento)	-0,6293	-0,2135	-0,0945	0,0058	-0,5056	0,0724
124	MzMax	[1,3*pp+perm+pp fondazioni] {1,5*neve} (1,5*0,6*vento)	-0,6293	-0,2135	1,0152	0,0058	-0,2294	0,2005
124	MzMin	[1,3*pp+perm+pp fondazioni] {1,5*neve} (1,5*0,6*vento)	-0,6293	-0,2135	-1,7589	0,0058	0,3284	-0,1198
130	NxMax	[pp+perm+pp fondazioni] {SEISMIC 1+}	-0,0793	0,0794	-0,1297	0,0045	-0,2795	-0,0726
130	NxMin	[1,3*pp+perm+1,3*pp fondazioni] {1,5*neve} (1,5*0,6*vento)	-1,2280	0,0138	-0,4455	0,0126	-0,7239	-0,0042
130	VyMax	[pp+perm+pp fondazioni] {SEISMIC 1+}	-0,5428	0,0794	-0,1297	0,0045	-0,2795	-0,0726
130	VyMin	[pp+perm+pp fondazioni] {SEISMIC 1-}	-0,5428	-0,0737	-0,1297	0,0045	-0,2795	-0,0726
130	VzMax	[1,3*pp+perm+pp fondazioni] {1,5*neve} (1,5*0,6*vento)	-1,2280	0,0138	3,0684	0,0126	1,7679	-0,0305
130	VzMin	[1,3*pp+perm+1,3*pp fondazioni] {1,5*neve} (1,5*0,6*vento)	-1,2280	0,0138	-0,4455	0,0126	-0,7239	-0,0042
130	TxMax	[1,3*pp+perm+1,3*pp fondazioni] {1,5*neve} (1,5*0,6*vento)	-1,2280	0,0138	-0,4455	0,0126	-0,7239	-0,0042
130	TxMin	[pp+perm+pp fondazioni] {SEISMIC 1-}	-0,5428	0,0794	-0,1297	0,0020	-0,2795	-0,0726
130	MyMax	[1,3*pp+perm+pp fondazioni] {1,5*neve} (1,5*0,6*vento)	-1,2280	0,0138	3,0684	0,0126	1,7679	-0,0305
130	MyMin	[1,3*pp+perm+pp fondazioni] {1,5*neve} (1,5*0,6*vento)	-1,2280	0,0138	-0,0941	0,0126	-0,7752	-0,0069
130	MzMax	[pp+perm+pp fondazioni] {SEISMIC 1+}	-0,5428	0,0794	-0,1297	0,0045	-0,2795	0,0681
130	MzMin	[pp+perm+pp fondazioni] {SEISMIC 1-}	-0,5428	0,0794	0,8261	0,0045	0,5083	-0,0834
131	NxMax	[pp+perm+pp fondazioni] {SEISMIC 1+}	-0,7138	-0,0978	-0,3693	0,0015	-0,3789	-0,0916
131	NxMin	[1,3*pp+perm+1,3*pp fondazioni] {1,5*neve} (1,5*0,6*vento)	-7,6548	-0,0872	-1,5298	0,0013	-0,8186	-0,0924
131	VyMax	[pp+perm+pp fondazioni] {SEISMIC 1+}	-3,1346	0,0507	-0,3693	0,0015	-0,3789	-0,0916
131	VyMin	[pp+perm+pp fondazioni] {SEISMIC 1-}	-3,1346	-0,0978	-0,3693	0,0015	-0,3789	-0,0916
131	VzMax	[1,3*pp+perm+pp fondazioni] {1,5*neve} (1,5*0,6*vento)	-7,6548	-0,0872	5,3962	0,0013	2,8545	0,0733
131	VzMin	[1,3*pp+perm+1,3*pp fondazioni] {1,5*neve} (1,5*0,6*vento)	-7,6548	-0,0872	-1,5298	0,0013	-0,8186	-0,0924
131	TxMax	[pp+perm+pp fondazioni] {SEISMIC 1+}	-3,1346	-0,0978	-0,3693	0,0015	-0,3789	-0,0916
131	TxMin	[pp+perm+pp fondazioni] {SEISMIC 1-}	-3,1346	-0,0978	-0,3693	-0,0009	-0,3789	-0,0916

131	MyMax	[1,3*pp+perm+pp fondazioni] {1,5*neve} (1,5*0,6*vento)	-7,6548	-0,0872	5,3962	0,0013	2,8545	0,0733
131	MyMin	[1,3*pp+perm+pp fondazioni] {1,5*neve} (1,5*0,6*vento)	-7,6548	-0,0872	-0,1446	0,0013	-1,1367	-0,0593
131	MzMax	[pp+perm+pp fondazioni] {SEISMIC 1+}	-3,1346	-0,0978	1,3942	0,0015	0,7809	0,0953
131	MzMin	[1,3*pp+perm+1,3*pp fondazioni] {1,5*neve} (1,5*0,6*vento)	-7,6548	-0,0872	-1,5298	0,0013	-0,8186	-0,0924
132	NxMax	[pp+perm+pp fondazioni] {SEISMIC 1+}	-0,3388	0,1175	-0,4914	-0,0041	-0,2727	0,1110
132	NxMin	[1,3*pp+perm+1,3*pp fondazioni] {1,5*neve} (1,5*0,6*vento)	-3,7618	0,0646	-1,8999	-0,0132	-0,3998	0,0691
132	VyMax	[pp+perm+pp fondazioni] {SEISMIC 1+}	-1,5455	0,1175	-0,4914	-0,0041	-0,2727	0,1110
132	VyMin	[pp+perm+pp fondazioni] {SEISMIC 1-}	-1,5455	-0,0818	-0,4914	-0,0041	-0,2727	0,1110
132	VzMax	[1,3*pp+perm+pp fondazioni] {1,5*neve} (1,5*0,6*vento)	-3,7618	0,0646	5,0261	-0,0132	2,5700	-0,0536
132	VzMin	[1,3*pp+perm+1,3*pp fondazioni] {1,5*neve} (1,5*0,6*vento)	-3,7618	0,0646	-1,8999	-0,0132	-0,3998	0,0691
132	TxMax	[pp+perm+pp fondazioni] {SEISMIC 1+}	-1,5455	0,1175	-0,4914	-0,0029	-0,2727	0,1110
132	TxMin	[1,3*pp+perm+pp fondazioni] {1,5*neve} (1,5*0,6*vento)	-3,7618	0,0646	-1,8999	-0,0132	-0,3998	0,0691
132	MyMax	[1,3*pp+perm+pp fondazioni] {1,5*neve} (1,5*0,6*vento)	-3,7618	0,0646	5,0261	-0,0132	2,5700	-0,0536
132	MyMin	[1,3*pp+perm+pp fondazioni] {1,5*neve} (1,5*0,6*vento)	-3,7618	0,0646	0,1779	-0,0132	-0,8906	0,0323
132	MzMax	[pp+perm+pp fondazioni] {SEISMIC 1+}	-1,5455	0,1175	-0,4914	-0,0041	-0,2727	0,1110
132	MzMin	[pp+perm+pp fondazioni] {SEISMIC 1-}	-1,5455	0,1175	1,3154	-0,0041	0,7371	-0,1132
133	NxMax	[pp+perm+pp fondazioni] {SEISMIC 1+}	0,2785	0,1198	-0,6158	-0,0025	-0,1532	0,1176
133	NxMin	[pp+perm+pp fondazioni] {SEISMIC 1-}	-0,3285	0,1198	-0,6158	-0,0025	-0,1532	0,1176
133	VyMax	[1,3*pp+perm+1,3*pp fondazioni] {1,5*neve} (1,5*0,6*vento)	-0,0886	0,1538	-2,3144	-0,0084	0,0516	0,1669
133	VyMin	[pp+perm+pp fondazioni] {SEISMIC 1-}	-0,3285	-0,0361	-0,6158	-0,0025	-0,1532	0,1176
133	VzMax	[1,3*pp+perm+1,3*pp fondazioni] {1,5*neve} (1,5*0,6*vento)	-0,0886	0,1538	4,6116	-0,0084	2,2340	-0,1253
133	VzMin	[1,3*pp+perm+pp fondazioni] {1,5*neve} (1,5*0,6*vento)	-0,0886	0,1538	-2,3144	-0,0084	0,0516	0,1669
133	TxMax	[pp+perm+pp fondazioni] {SEISMIC 1+}	-0,3285	0,1198	-0,6158	-0,0021	-0,1532	0,1176
133	TxMin	[1,3*pp+perm+1,3*pp fondazioni] {1,5*neve} (1,5*0,6*vento)	-0,0886	0,1538	-2,3144	-0,0084	0,0516	0,1669
133	MyMax	[1,3*pp+perm+1,3*pp fondazioni] {1,5*neve} (1,5*0,6*vento)	-0,0886	0,1538	4,6116	-0,0084	2,2340	-0,1253
133	MyMin	[1,3*pp+perm+1,3*pp fondazioni] {1,5*neve} (1,5*0,6*vento)	-0,0886	0,1538	-0,2366	-0,0084	-0,6754	0,0792
133	MzMax	[1,3*pp+perm+1,3*pp fondazioni] {1,5*neve} (1,5*0,6*vento)	-0,0886	0,1538	-2,3144	-0,0084	0,0516	0,1669
133	MzMin	[1,3*pp+perm+1,3*pp fondazioni] {1,5*neve} (1,5*0,6*vento)	-0,0886	0,1538	4,6116	-0,0084	2,2340	-0,1253
134	NxMax	[pp+perm+pp fondazioni] {SEISMIC 1+}	-0,0301	0,0835	-0,3332	-0,0019	-0,2575	0,0976
134	NxMin	[1,3*pp+perm+1,3*pp fondazioni] {1,5*neve} (1,5*0,6*vento)	-0,4795	0,2013	-0,7935	-0,0066	-0,2876	0,2153
134	VyMax	[1,3*pp+perm+1,3*pp fondazioni] {1,5*neve} (1,5*0,6*vento)	-0,4795	0,2013	-0,7935	-0,0066	-0,2876	0,2153
134	VyMin	[pp+perm+pp fondazioni] {SEISMIC 1-}	-0,1837	0,0255	-0,3332	-0,0019	-0,2575	0,0976
134	VzMax	[1,3*pp+perm+1,3*pp fondazioni] {1,5*neve} (1,5*0,6*vento)	-0,4795	0,2013	2,7204	-0,0066	1,5430	-0,1671
134	VzMin	[1,3*pp+perm+pp fondazioni] {1,5*neve} (1,5*0,6*vento)	-0,4795	0,2013	-0,7935	-0,0066	-0,2876	0,2153
134	TxMax	[pp+perm+pp fondazioni] {SEISMIC 1+}	-0,1837	0,0835	-0,3332	-0,0017	-0,2575	0,0976
134	TxMin	[1,3*pp+perm+1,3*pp fondazioni] {1,5*neve} (1,5*0,6*vento)	-0,4795	0,2013	-0,7935	-0,0066	-0,2876	0,2153
134	MyMax	[1,3*pp+perm+1,3*pp fondazioni] {1,5*neve} (1,5*0,6*vento)	-0,4795	0,2013	2,7204	-0,0066	1,5430	-0,1671
134	MyMin	[1,3*pp+perm+1,3*pp fondazioni] {1,5*neve} (1,5*0,6*vento)	-0,4795	0,2013	-0,0907	-0,0066	-0,4556	0,1388
134	MzMax	[1,3*pp+perm+1,3*pp fondazioni] {1,5*neve} (1,5*0,6*vento)	-0,4795	0,2013	-0,7935	-0,0066	-0,2876	0,2153
134	MzMin	[1,3*pp+perm+1,3*pp fondazioni] {1,5*neve} (1,5*0,6*vento)	-0,4795	0,2013	2,7204	-0,0066	1,5430	-0,1671
140	NxMax	[pp+perm+pp fondazioni] {SEISMIC 1+}	-0,1192	-0,0899	-0,7662	-0,0059	0,4709	-0,0852
140	NxMin	[1,3*pp+perm+1,3*pp fondazioni] {1,5*neve} (1,5*0,6*vento)	-1,3010	-0,0529	-2,8646	-0,0189	1,6620	-0,0402
140	VyMax	[pp+perm+pp fondazioni] {SEISMIC 1+}	-0,5354	0,0637	-0,7662	-0,0059	0,4709	-0,0852
140	VyMin	[pp+perm+pp fondazioni] {SEISMIC 1-}	-0,5354	-0,0899	-0,7662	-0,0059	0,4709	-0,0852
140	VzMax	[1,3*pp+perm+pp fondazioni] {1,5*neve} (1,5*0,6*vento)	-1,3010	-0,0529	0,6493	-0,0189	-0,4426	0,0603
140	VzMin	[1,3*pp+perm+1,3*pp fondazioni] {1,5*neve} (1,5*0,6*vento)	-1,3010	-0,0529	-2,8646	-0,0189	1,6620	-0,0402
140	TxMax	[pp+perm+pp fondazioni] {SEISMIC 1+}	-0,5354	-0,0899	-0,7662	-0,0041	0,4709	-0,0852
140	TxMin	[1,3*pp+perm+pp fondazioni] {1,5*neve} (1,5*0,6*vento)	-1,3010	-0,0529	-2,8646	-0,0189	1,6620	-0,0402

140	MyMax	[1,3*pp+perm+1,3*pp fondazioni] {1,5*neve} (1,5*0,6*vento)	-1,3010	-0,0529	-2,8646	-0,0189	1,6620	-0,0402
140	MyMin	[1,3*pp+perm+pp fondazioni] {1,5*neve} (1,5*0,6*vento)	-1,3010	-0,0529	-0,0535	-0,0189	-0,5558	0,0402
140	MzMax	[pp+perm+pp fondazioni] {SEISMIC 1+}	-0,5354	-0,0899	0,1840	-0,0059	-0,2029	0,0873
140	MzMin	[pp+perm+pp fondazioni] {SEISMIC 1-}	-0,5354	-0,0899	-0,7662	-0,0059	0,4709	-0,0852
141	NxMax	[pp+perm+pp fondazioni] {SEISMIC 1+}	-1,1546	0,0873	-1,2763	-0,0032	0,6914	0,0878
141	NxMin	[1,3*pp+perm+1,3*pp fondazioni] {1,5*neve} (1,5*0,6*vento)	-5,3062	0,0420	-4,9210	-0,0084	2,5180	0,0397
141	VyMax	[pp+perm+pp fondazioni] {SEISMIC 1+}	-1,4336	0,0873	-1,2763	-0,0032	0,6914	0,0878
141	VyMin	[pp+perm+pp fondazioni] {SEISMIC 1-}	-1,4336	-0,0637	-1,2763	-0,0032	0,6914	0,0878
141	VzMax	[1,3*pp+perm+pp fondazioni] {1,5*neve} (1,5*0,6*vento)	-5,3062	0,0420	2,0050	-0,0084	-0,2521	-0,0400
141	VzMin	[1,3*pp+perm+1,3*pp fondazioni] {1,5*neve} (1,5*0,6*vento)	-5,3062	0,0420	-4,9210	-0,0084	2,5180	0,0397
141	TxMax	[pp+perm+pp fondazioni] {SEISMIC 1+}	-1,4336	0,0873	-1,2763	-0,0013	0,6914	0,0878
141	TxMin	[1,3*pp+perm+pp fondazioni] {1,5*neve} (1,5*0,6*vento)	-5,3062	0,0420	-4,9210	-0,0084	2,5180	0,0397
141	MyMax	[1,3*pp+perm+1,3*pp fondazioni] {1,5*neve} (1,5*0,6*vento)	-5,3062	0,0420	-4,9210	-0,0084	2,5180	0,0397
141	MyMin	[1,3*pp+perm+1,3*pp fondazioni] {1,5*neve} (1,5*0,6*vento)	-5,3062	0,0420	-0,0728	-0,0084	-0,8028	-0,0161
141	MzMax	[pp+perm+pp fondazioni] {SEISMIC 1+}	-1,4336	0,0873	-1,2763	-0,0032	0,6914	0,0878
141	MzMin	[pp+perm+pp fondazioni] {SEISMIC 1-}	-1,4336	0,0873	0,5091	-0,0032	-0,2443	-0,0808
142	NxMax	[pp+perm+pp fondazioni] {SEISMIC 1+}	-0,5983	-0,1213	-1,2635	0,0019	0,6913	-0,1190
142	NxMin	[1,3*pp+perm+1,3*pp fondazioni] {1,5*neve} (1,5*0,6*vento)	-3,1688	-0,0462	-4,8625	0,0050	2,4380	-0,0565
142	VyMax	[pp+perm+pp fondazioni] {SEISMIC 1+}	-0,9605	0,0984	-1,2635	0,0019	0,6913	-0,1190
142	VyMin	[pp+perm+pp fondazioni] {SEISMIC 1-}	-0,9605	-0,1213	-1,2635	0,0019	0,6913	-0,1190
142	VzMax	[1,3*pp+perm+pp fondazioni] {1,5*neve} (1,5*0,6*vento)	-3,1688	-0,0462	2,0635	0,0050	-0,2211	0,0313
142	VzMin	[1,3*pp+perm+1,3*pp fondazioni] {1,5*neve} (1,5*0,6*vento)	-3,1688	-0,0462	-4,8625	0,0050	2,4380	-0,0565
142	TxMax	[1,3*pp+perm+1,3*pp fondazioni] {1,5*neve} (1,5*0,6*vento)	-3,1688	-0,0462	-4,8625	0,0050	2,4380	-0,0565
142	TxMin	[pp+perm+pp fondazioni] {SEISMIC 1-}	-0,9605	-0,1213	-1,2635	0,0007	0,6913	-0,1190
142	MyMax	[1,3*pp+perm+1,3*pp fondazioni] {1,5*neve} (1,5*0,6*vento)	-3,1688	-0,0462	-4,8625	0,0050	2,4380	-0,0565
142	MyMin	[1,3*pp+perm+1,3*pp fondazioni] {1,5*neve} (1,5*0,6*vento)	-3,1688	-0,0462	-0,0143	0,0050	-0,8051	0,0049
142	MzMax	[pp+perm+pp fondazioni] {SEISMIC 1+}	-0,9605	-0,1213	0,5288	0,0019	-0,2200	0,1143
142	MzMin	[pp+perm+pp fondazioni] {SEISMIC 1-}	-0,9605	-0,1213	-1,2635	0,0019	0,6913	-0,1190
143	NxMax	[pp+perm+pp fondazioni] {SEISMIC 1+}	0,1719	-0,1094	-1,2191	-0,0003	0,6512	-0,1103
143	NxMin	[pp+perm+pp fondazioni] {SEISMIC 1-}	-0,2356	-0,1094	-1,2191	-0,0003	0,6512	-0,1103
143	VyMax	[pp+perm+pp fondazioni] {SEISMIC 1+}	-0,2356	0,0655	-1,2191	-0,0003	0,6512	-0,1103
143	VyMin	[pp+perm+pp fondazioni] {SEISMIC 1-}	-0,2356	-0,1094	-1,2191	-0,0003	0,6512	-0,1103
143	VzMax	[1,3*pp+perm+pp fondazioni] {1,5*neve} (1,5*0,6*vento)	-0,1158	-0,0856	2,2337	-0,0001	-0,0976	0,0554
143	VzMin	[1,3*pp+perm+1,3*pp fondazioni] {1,5*neve} (1,5*0,6*vento)	-0,1158	-0,0856	-4,6923	-0,0001	2,2381	-0,1072
143	TxMax	[pp+perm+pp fondazioni] {SEISMIC 1+}	-0,2356	-0,1094	-1,2191	0,0002	0,6512	-0,1103
143	TxMin	[pp+perm+pp fondazioni] {SEISMIC 1-}	-0,2356	-0,1094	-1,2191	-0,0003	0,6512	-0,1103
143	MyMax	[1,3*pp+perm+1,3*pp fondazioni] {1,5*neve} (1,5*0,6*vento)	-0,1158	-0,0856	-4,6923	-0,0001	2,2381	-0,1072
143	MyMin	[1,3*pp+perm+1,3*pp fondazioni] {1,5*neve} (1,5*0,6*vento)	-0,1158	-0,0856	0,1559	-0,0001	-0,7786	0,0066
143	MzMax	[pp+perm+pp fondazioni] {SEISMIC 1+}	-0,2356	-0,1094	0,5749	-0,0003	-0,1757	0,0997
143	MzMin	[pp+perm+pp fondazioni] {SEISMIC 1-}	-0,2356	-0,1094	-1,2191	-0,0003	0,6512	-0,1103
144	NxMax	[pp+perm+pp fondazioni] {SEISMIC 1+}	-0,1366	-0,0480	-0,8792	-0,0007	0,5566	-0,0441
144	NxMin	[1,3*pp+perm+1,3*pp fondazioni] {1,5*neve} (1,5*0,6*vento)	-0,9217	-0,0678	-2,9758	-0,0019	1,6553	-0,0985
144	VyMax	[pp+perm+pp fondazioni] {SEISMIC 1+}	-0,3113	0,0135	-0,8792	-0,0007	0,5566	-0,0441
144	VyMin	[1,3*pp+perm+pp fondazioni] {1,5*neve} (1,5*0,6*vento)	-0,9217	-0,0678	-2,9758	-0,0019	1,6553	-0,0985
144	VzMax	[1,3*pp+perm+pp fondazioni] {1,5*neve} (1,5*0,6*vento)	-0,9217	-0,0678	0,5381	-0,0019	-0,6605	0,0304
144	VzMin	[1,3*pp+perm+1,3*pp fondazioni] {1,5*neve} (1,5*0,6*vento)	-0,9217	-0,0678	-2,9758	-0,0019	1,6553	-0,0985
144	TxMax	[pp+perm+pp fondazioni] {SEISMIC 1+}	-0,3113	-0,0480	-0,8792	-0,0004	0,5566	-0,0441
144	TxMin	[1,3*pp+perm+pp fondazioni] {1,5*neve} (1,5*0,6*vento)	-0,9217	-0,0678	-2,9758	-0,0019	1,6553	-0,0985

144	MyMax	[1,3*pp+perm+1,3*pp fondazioni] {1,5*neve} (1,5*0,6*vento)	-0,9217	-0,0678	-2,9758	-0,0019	1,6553	-0,0985
144	MyMin	[1,3*pp+perm+1,3*pp fondazioni] {1,5*neve} (1,5*0,6*vento)	-0,9217	-0,0678	-0,1647	-0,0019	-0,7315	0,0046
144	MzMax	[pp+perm+pp fondazioni] {SEISMIC 1+}	-0,3113	-0,0480	0,2406	-0,0007	-0,3323	0,0524
144	MzMin	[1,3*pp+perm+pp fondazioni] {1,5*neve} (1,5*0,6*vento)	-0,9217	-0,0678	-2,9758	-0,0019	1,6553	-0,0985
150	NxMax	[pp+perm+pp fondazioni] {SEISMIC 1+}	-0,2099	0,1290	-0,2067	0,0052	-0,2161	0,1196
150	NxMin	[1,3*pp+perm+1,3*pp fondazioni] {1,5*neve} (1,5*0,6*vento)	-1,2522	0,0649	-0,6992	0,0169	-0,4753	0,0510
150	VyMax	[pp+perm+pp fondazioni] {SEISMIC 1+}	-0,4220	0,1290	-0,2067	0,0052	-0,2161	0,1196
150	VyMin	[pp+perm+pp fondazioni] {SEISMIC 1-}	-0,4220	-0,0941	-0,2067	0,0052	-0,2161	0,1196
150	VzMax	[1,3*pp+perm+1,3*pp fondazioni] {1,5*neve} (1,5*0,6*vento)	-1,2522	0,0649	2,9072	0,0169	1,6775	-0,0756
150	VzMin	[1,3*pp+perm+pp fondazioni] {1,5*neve} (1,5*0,6*vento)	-1,2522	0,0649	-0,6992	0,0169	-0,4753	0,0510
150	TxMax	[1,3*pp+perm+pp fondazioni] {1,5*neve} (1,5*0,6*vento)	-1,2522	0,0649	-0,6992	0,0169	-0,4753	0,0510
150	TxMin	[pp+perm+pp fondazioni] {SEISMIC 1-}	-0,4220	0,1290	-0,2067	0,0035	-0,2161	0,1196
150	MyMax	[1,3*pp+perm+1,3*pp fondazioni] {1,5*neve} (1,5*0,6*vento)	-1,2522	0,0649	2,9072	0,0169	1,6775	-0,0756
150	MyMin	[1,3*pp+perm+1,3*pp fondazioni] {1,5*neve} (1,5*0,6*vento)	-1,2522	0,0649	0,0221	0,0169	-0,6073	0,0257
150	MzMax	[pp+perm+pp fondazioni] {SEISMIC 1+}	-0,4220	0,1290	-0,2067	0,0052	-0,2161	0,1196
150	MzMin	[pp+perm+pp fondazioni] {SEISMIC 1-}	-0,4220	0,1290	0,7806	0,0052	0,4824	-0,1325
151	NxMax	[pp+perm+pp fondazioni] {SEISMIC 1+}	-0,2237	-0,1280	-0,5126	0,0030	-0,2671	-0,1242
151	NxMin	[1,3*pp+perm+1,3*pp fondazioni] {1,5*neve} (1,5*0,6*vento)	-4,2792	-0,0446	-2,0138	0,0068	-0,3495	-0,0570
151	VyMax	[pp+perm+pp fondazioni] {SEISMIC 1+}	-1,8731	0,1063	-0,5126	0,0030	-0,2671	-0,1242
151	VyMin	[pp+perm+pp fondazioni] {SEISMIC 1-}	-1,8731	-0,1280	-0,5126	0,0030	-0,2671	-0,1242
151	VzMax	[1,3*pp+perm+1,3*pp fondazioni] {1,5*neve} (1,5*0,6*vento)	-4,2792	-0,0446	5,0944	0,0068	2,6541	0,0300
151	VzMin	[1,3*pp+perm+pp fondazioni] {1,5*neve} (1,5*0,6*vento)	-4,2792	-0,0446	-2,0138	0,0068	-0,3495	-0,0570
151	TxMax	[1,3*pp+perm+pp fondazioni] {1,5*neve} (1,5*0,6*vento)	-4,2792	-0,0446	-2,0138	0,0068	-0,3495	-0,0570
151	TxMin	[pp+perm+pp fondazioni] {SEISMIC 1-}	-1,8731	-0,1280	-0,5126	0,0005	-0,2671	-0,1242
151	MyMax	[1,3*pp+perm+1,3*pp fondazioni] {1,5*neve} (1,5*0,6*vento)	-4,2792	-0,0446	5,0944	0,0068	2,6541	0,0300
151	MyMin	[1,3*pp+perm+pp fondazioni] {1,5*neve} (1,5*0,6*vento)	-4,2792	-0,0446	0,1187	0,0068	-0,9038	-0,0309
151	MzMax	[pp+perm+pp fondazioni] {SEISMIC 1+}	-1,8731	-0,1280	1,3122	0,0030	0,7229	0,1260
151	MzMin	[pp+perm+pp fondazioni] {SEISMIC 1-}	-1,8731	-0,1280	-0,5126	0,0030	-0,2671	-0,1242
152	NxMax	[pp+perm+pp fondazioni] {SEISMIC 1+}	-0,2248	0,1391	-0,5348	-0,0024	-0,2327	0,1299
152	NxMin	[1,3*pp+perm+1,3*pp fondazioni] {1,5*neve} (1,5*0,6*vento)	-2,7347	0,0305	-2,0875	-0,0057	-0,2686	0,0190
152	VyMax	[pp+perm+pp fondazioni] {SEISMIC 1+}	-1,1238	0,1391	-0,5348	-0,0024	-0,2327	0,1299
152	VyMin	[pp+perm+pp fondazioni] {SEISMIC 1-}	-1,1238	-0,1219	-0,5348	-0,0024	-0,2327	0,1299
152	VzMax	[1,3*pp+perm+1,3*pp fondazioni] {1,5*neve} (1,5*0,6*vento)	-2,7347	0,0305	5,0208	-0,0057	2,5913	-0,0404
152	VzMin	[1,3*pp+perm+pp fondazioni] {1,5*neve} (1,5*0,6*vento)	-2,7347	0,0305	-2,0875	-0,0057	-0,2686	0,0190
152	TxMax	[pp+perm+pp fondazioni] {SEISMIC 1+}	-1,1238	0,1391	-0,5348	-0,0006	-0,2327	0,1299
152	TxMin	[1,3*pp+perm+1,3*pp fondazioni] {1,5*neve} (1,5*0,6*vento)	-2,7347	0,0305	-2,0875	-0,0057	-0,2686	0,0190
152	MyMax	[1,3*pp+perm+1,3*pp fondazioni] {1,5*neve} (1,5*0,6*vento)	-2,7347	0,0305	5,0208	-0,0057	2,5913	-0,0404
152	MyMin	[1,3*pp+perm+1,3*pp fondazioni] {1,5*neve} (1,5*0,6*vento)	-2,7347	0,0305	0,0450	-0,0057	-0,8661	0,0012
152	MzMax	[pp+perm+pp fondazioni] {SEISMIC 1+}	-1,1238	0,1391	-0,5348	-0,0024	-0,2327	0,1299
152	MzMin	[pp+perm+pp fondazioni] {SEISMIC 1-}	-1,1238	0,1391	1,2961	-0,0024	0,7259	-0,1415
153	NxMax	[pp+perm+pp fondazioni] {SEISMIC 1+}	0,0011	0,1381	-0,5802	-0,0004	-0,1777	0,1298
153	NxMin	[1,3*pp+perm+1,3*pp fondazioni] {1,5*neve} (1,5*0,6*vento)	-0,2073	0,0469	-2,2529	-0,0002	-0,0951	0,0386
153	VyMax	[pp+perm+pp fondazioni] {SEISMIC 1+}	-0,1064	0,1381	-0,5802	-0,0004	-0,1777	0,1298
153	VyMin	[pp+perm+pp fondazioni] {SEISMIC 1-}	-0,1064	-0,1127	-0,5802	-0,0004	-0,1777	0,1298
153	VzMax	[1,3*pp+perm+1,3*pp fondazioni] {1,5*neve} (1,5*0,6*vento)	-0,2073	0,0469	4,8553	-0,0002	2,4423	-0,0529
153	VzMin	[1,3*pp+perm+pp fondazioni] {1,5*neve} (1,5*0,6*vento)	-0,2073	0,0469	-2,2529	-0,0002	-0,0951	0,0386
153	TxMax	[pp+perm+pp fondazioni] {SEISMIC 1+}	-0,1064	0,1381	-0,5802	0,0004	-0,1777	0,1298
153	TxMin	[pp+perm+pp fondazioni] {SEISMIC 1-}	-0,1064	0,1381	-0,5802	-0,0004	-0,1777	0,1298

153	MyMax	[1,3*pp+perm+1,3*pp fondazioni] {1,5*neve} (1,5*0,6*vento)	-0,2073	0,0469	4,8553	-0,0002	2,4423	-0,0529
153	MyMin	[1,3*pp+perm+1,3*pp fondazioni] {1,5*neve} (1,5*0,6*vento)	-0,2073	0,0469	-0,1204	-0,0002	-0,7893	0,0111
153	MzMax	[pp+perm+pp fondazioni] {SEISMIC 1+}	-0,1064	0,1381	-0,5802	-0,0004	-0,1777	0,1298
153	MzMin	[pp+perm+pp fondazioni] {SEISMIC 1-}	-0,1064	0,1381	1,2565	-0,0004	0,7036	-0,1403
154	NxMax	[pp+perm+pp fondazioni] {SEISMIC 1+}	-0,1868	0,1151	-0,2284	0,0005	-0,3343	0,1094
154	NxMin	[1,3*pp+perm+1,3*pp fondazioni] {1,5*neve} (1,5*0,6*vento)	-0,9178	0,0156	-0,4833	0,0008	-0,6675	0,0134
154	VyMax	[pp+perm+pp fondazioni] {SEISMIC 1+}	-0,2647	0,1151	-0,2284	0,0005	-0,3343	0,1094
154	VyMin	[pp+perm+pp fondazioni] {SEISMIC 1-}	-0,2647	-0,1057	-0,2284	0,0005	-0,3343	0,1094
154	VzMax	[1,3*pp+perm+1,3*pp fondazioni] {1,5*neve} (1,5*0,6*vento)	-0,9178	0,0156	3,1231	0,0008	1,9063	-0,0171
154	VzMin	[1,3*pp+perm+pp fondazioni] {1,5*neve} (1,5*0,6*vento)	-0,9178	0,0156	-0,4833	0,0008	-0,6675	0,0134
154	TxMax	[1,3*pp+perm+pp fondazioni] {1,5*neve} (1,5*0,6*vento)	-0,9178	0,0156	-0,4833	0,0008	-0,6675	0,0134
154	TxMin	[pp+perm+pp fondazioni] {SEISMIC 1-}	-0,2647	0,1151	-0,2284	0,0000	-0,3343	0,1094
154	MyMax	[1,3*pp+perm+1,3*pp fondazioni] {1,5*neve} (1,5*0,6*vento)	-0,9178	0,0156	3,1231	0,0008	1,9063	-0,0171
154	MyMin	[1,3*pp+perm+1,3*pp fondazioni] {1,5*neve} (1,5*0,6*vento)	-0,9178	0,0156	-0,1227	0,0008	-0,7266	0,0104
154	MzMax	[pp+perm+pp fondazioni] {SEISMIC 1+}	-0,2647	0,1151	-0,2284	0,0005	-0,3343	0,1094
154	MzMin	[pp+perm+pp fondazioni] {SEISMIC 1-}	-0,2647	0,1151	0,9145	0,0005	0,6253	-0,1157
160	NxMax	[pp+perm+pp fondazioni] {SEISMIC 1+}	-0,2126	-0,1190	-0,7887	-0,0053	0,4861	-0,1202
160	NxMin	[1,3*pp+perm+1,3*pp fondazioni] {1,5*neve} (1,5*0,6*vento)	-1,1190	-0,1254	-2,9365	-0,0186	1,6955	-0,1202
160	VyMax	[pp+perm+pp fondazioni] {SEISMIC 1+}	-0,3521	0,0546	-0,7887	-0,0053	0,4861	-0,1202
160	VyMin	[1,3*pp+perm+1,3*pp fondazioni] {1,5*neve} (1,5*0,6*vento)	-1,1190	-0,1254	-2,9365	-0,0186	1,6955	-0,1202
160	VzMax	[1,3*pp+perm+pp fondazioni] {1,5*neve} (1,5*0,6*vento)	-1,1190	-0,1254	0,6236	-0,0186	-0,5306	0,1212
160	VzMin	[1,3*pp+perm+1,3*pp fondazioni] {1,5*neve} (1,5*0,6*vento)	-1,1190	-0,1254	-2,9365	-0,0186	1,6955	-0,1202
160	TxMax	[pp+perm+pp fondazioni] {SEISMIC 1+}	-0,3521	-0,1190	-0,7887	-0,0043	0,4861	-0,1202
160	TxMin	[1,3*pp+perm+1,3*pp fondazioni] {1,5*neve} (1,5*0,6*vento)	-1,1190	-0,1254	-2,9365	-0,0186	1,6955	-0,1202
160	MyMax	[1,3*pp+perm+1,3*pp fondazioni] {1,5*neve} (1,5*0,6*vento)	-1,1190	-0,1254	-2,9365	-0,0186	1,6955	-0,1202
160	MyMin	[1,3*pp+perm+1,3*pp fondazioni] {1,5*neve} (1,5*0,6*vento)	-1,1190	-0,1254	-0,0884	-0,0186	-0,6336	0,0729
160	MzMax	[1,3*pp+perm+1,3*pp fondazioni] {1,5*neve} (1,5*0,6*vento)	-1,1190	-0,1254	0,6236	-0,0186	-0,5306	0,1212
160	MzMin	[pp+perm+pp fondazioni] {SEISMIC 1-}	-0,3521	-0,1190	-0,7887	-0,0053	0,4861	-0,1202
161	NxMax	[pp+perm+pp fondazioni] {SEISMIC 1+}	-0,7689	-0,0941	-1,3394	-0,0032	0,7458	-0,0941
161	NxMin	[1,3*pp+perm+1,3*pp fondazioni] {1,5*neve} (1,5*0,6*vento)	-4,6943	-0,0092	-5,1552	-0,0093	2,7218	-0,0036
161	VyMax	[pp+perm+pp fondazioni] {SEISMIC 1+}	-1,5234	0,0893	-1,3394	-0,0032	0,7458	-0,0941
161	VyMin	[pp+perm+pp fondazioni] {SEISMIC 1-}	-1,5234	-0,0941	-1,3394	-0,0032	0,7458	-0,0941
161	VzMax	[1,3*pp+perm+1,3*pp fondazioni] {1,5*neve} (1,5*0,6*vento)	-4,6943	-0,0092	1,8619	-0,0093	-0,4480	0,0141
161	VzMin	[1,3*pp+perm+pp fondazioni] {1,5*neve} (1,5*0,6*vento)	-4,6943	-0,0092	-5,1552	-0,0093	2,7218	-0,0036
161	TxMax	[pp+perm+pp fondazioni] {SEISMIC 1+}	-1,5234	-0,0941	-1,3394	-0,0016	0,7458	-0,0941
161	TxMin	[1,3*pp+perm+1,3*pp fondazioni] {1,5*neve} (1,5*0,6*vento)	-4,6943	-0,0092	-5,1552	-0,0093	2,7218	-0,0036
161	MyMax	[1,3*pp+perm+pp fondazioni] {1,5*neve} (1,5*0,6*vento)	-4,6943	-0,0092	-5,1552	-0,0093	2,7218	-0,0036
161	MyMin	[1,3*pp+perm+1,3*pp fondazioni] {1,5*neve} (1,5*0,6*vento)	-4,6943	-0,0092	-0,2432	-0,0093	-0,9154	0,0088
161	MzMax	[pp+perm+pp fondazioni] {SEISMIC 1+}	-1,5234	-0,0941	0,4841	-0,0032	-0,3039	0,0909
161	MzMin	[pp+perm+pp fondazioni] {SEISMIC 1-}	-1,5234	-0,0941	-1,3394	-0,0032	0,7458	-0,0941
162	NxMax	[pp+perm+pp fondazioni] {SEISMIC 1+}	-0,6250	-0,1433	-1,2892	0,0018	0,7314	-0,1384
162	NxMin	[1,3*pp+perm+1,3*pp fondazioni] {1,5*neve} (1,5*0,6*vento)	-2,6650	-0,1043	-4,9887	0,0046	2,6110	-0,0833
162	VyMax	[pp+perm+pp fondazioni] {SEISMIC 1+}	-0,6852	0,0892	-1,2892	0,0018	0,7314	-0,1384
162	VyMin	[pp+perm+pp fondazioni] {SEISMIC 1-}	-0,6852	-0,1433	-1,2892	0,0018	0,7314	-0,1384
162	VzMax	[1,3*pp+perm+1,3*pp fondazioni] {1,5*neve} (1,5*0,6*vento)	-2,6650	-0,1043	2,0285	0,0046	-0,2381	0,1175
162	VzMin	[1,3*pp+perm+pp fondazioni] {1,5*neve} (1,5*0,6*vento)	-2,6650	-0,1043	-4,9887	0,0046	2,6110	-0,0833
162	TxMax	[1,3*pp+perm+pp fondazioni] {1,5*neve} (1,5*0,6*vento)	-2,6650	-0,1043	-4,9887	0,0046	2,6110	-0,0833
162	TxMin	[pp+perm+pp fondazioni] {SEISMIC 1-}	-0,6852	-0,1433	-1,2892	0,0005	0,7314	-0,1384

162	MyMax	[1,3*pp+perm+pp fondazioni] {1,5*neve} (1,5*0,6*vento)	-2,6650	-0,1043	-4,9887	0,0046	2,6110	-0,0833
162	MyMin	[1,3*pp+perm+1,3*pp fondazioni] {1,5*neve} (1,5*0,6*vento)	-2,6650	-0,1043	-0,0767	0,0046	-0,8017	0,0573
162	MzMax	[pp+perm+pp fondazioni] {SEISMIC 1+}	-0,6852	-0,1433	0,5195	0,0018	-0,2214	0,1386
162	MzMin	[pp+perm+pp fondazioni] {SEISMIC 1-}	-0,6852	-0,1433	-1,2892	0,0018	0,7314	-0,1384
163	NxMax	[1,3*pp+perm+pp fondazioni] {1,5*neve} (1,5*0,6*vento)	0,2117	-0,1388	-4,7713	0,0000	2,4314	-0,1131
163	NxMin	[pp+perm+pp fondazioni] {SEISMIC 1-}	-0,0157	-0,1354	-1,2328	-0,0005	0,7002	-0,1284
163	VyMax	[pp+perm+pp fondazioni] {SEISMIC 1+}	0,1205	0,0642	-1,2328	-0,0005	0,7002	-0,1284
163	VyMin	[1,3*pp+perm+1,3*pp fondazioni] {1,5*neve} (1,5*0,6*vento)	0,2117	-0,1388	-4,7713	0,0000	2,4314	-0,1131
163	VzMax	[1,3*pp+perm+pp fondazioni] {1,5*neve} (1,5*0,6*vento)	0,2117	-0,1388	2,2458	0,0000	0,0007	0,1541
163	VzMin	[1,3*pp+perm+1,3*pp fondazioni] {1,5*neve} (1,5*0,6*vento)	0,2117	-0,1388	-4,7713	0,0000	2,4314	-0,1131
163	TxMax	[pp+perm+pp fondazioni] {SEISMIC 1+}	0,1205	-0,1354	-1,2328	0,0004	0,7002	-0,1284
163	TxMin	[pp+perm+pp fondazioni] {SEISMIC 1-}	0,1205	-0,1354	-1,2328	-0,0005	0,7002	-0,1284
163	MyMax	[1,3*pp+perm+1,3*pp fondazioni] {1,5*neve} (1,5*0,6*vento)	0,2117	-0,1388	-4,7713	0,0000	2,4314	-0,1131
163	MyMin	[1,3*pp+perm+1,3*pp fondazioni] {1,5*neve} (1,5*0,6*vento)	0,2117	-0,1388	0,1407	0,0000	-0,6884	0,0739
163	MzMax	[1,3*pp+perm+1,3*pp fondazioni] {1,5*neve} (1,5*0,6*vento)	0,2117	-0,1388	2,2458	0,0000	0,0007	0,1541
163	MzMin	[pp+perm+pp fondazioni] {SEISMIC 1-}	0,1205	-0,1354	-1,2328	-0,0005	0,7002	-0,1284
164	NxMax	[pp+perm+pp fondazioni] {SEISMIC 1+}	-0,2512	-0,0976	-0,9330	-0,0014	0,6457	-0,0950
164	NxMin	[1,3*pp+perm+1,3*pp fondazioni] {1,5*neve} (1,5*0,6*vento)	-1,2371	-0,0626	-3,2013	-0,0046	1,9876	-0,0540
164	VyMax	[pp+perm+pp fondazioni] {SEISMIC 1+}	-0,3651	0,0655	-0,9330	-0,0014	0,6457	-0,0950
164	VyMin	[pp+perm+pp fondazioni] {SEISMIC 1-}	-0,3651	-0,0976	-0,9330	-0,0014	0,6457	-0,0950
164	VzMax	[1,3*pp+perm+pp fondazioni] {1,5*neve} (1,5*0,6*vento)	-1,2371	-0,0626	0,3589	-0,0046	-0,7482	0,0665
164	VzMin	[1,3*pp+perm+1,3*pp fondazioni] {1,5*neve} (1,5*0,6*vento)	-1,2371	-0,0626	-3,2013	-0,0046	1,9876	-0,0540
164	TxMax	[pp+perm+pp fondazioni] {SEISMIC 1+}	-0,3651	-0,0976	-0,9330	-0,0010	0,6457	-0,0950
164	TxMin	[1,3*pp+perm+1,3*pp fondazioni] {1,5*neve} (1,5*0,6*vento)	-1,2371	-0,0626	-3,2013	-0,0046	1,9876	-0,0540
164	MyMax	[1,3*pp+perm+1,3*pp fondazioni] {1,5*neve} (1,5*0,6*vento)	-1,2371	-0,0626	-3,2013	-0,0046	1,9876	-0,0540
164	MyMin	[1,3*pp+perm+1,3*pp fondazioni] {1,5*neve} (1,5*0,6*vento)	-1,2371	-0,0626	0,0028	-0,0046	-0,7830	0,0544
164	MzMax	[pp+perm+pp fondazioni] {SEISMIC 1+}	-0,3651	-0,0976	0,1948	-0,0014	-0,3477	0,0966
164	MzMin	[pp+perm+pp fondazioni] {SEISMIC 1-}	-0,3651	-0,0976	-0,9330	-0,0014	0,6457	-0,0950
170	NxMax	[pp+perm+pp fondazioni] {SEISMIC 1+}	-0,1834	0,1297	-0,3503	0,0013	-0,2120	0,1085
170	NxMin	[1,3*pp+perm+1,3*pp fondazioni] {1,5*neve} (1,5*0,6*vento)	-1,0510	0,1018	-1,2147	0,0036	-0,4564	0,0830
170	VyMax	[pp+perm+pp fondazioni] {SEISMIC 1+}	-0,3452	0,1297	-0,3503	0,0013	-0,2120	0,1085
170	VyMin	[pp+perm+pp fondazioni] {SEISMIC 1-}	-0,3452	-0,0828	-0,3503	0,0013	-0,2120	0,1085
170	VzMax	[1,3*pp+perm+pp fondazioni] {1,5*neve} (1,5*0,6*vento)	-1,0510	0,1018	2,3454	0,0036	0,6319	-0,1129
170	VzMin	[1,3*pp+perm+1,3*pp fondazioni] {1,5*neve} (1,5*0,6*vento)	-1,0510	0,1018	-1,2147	0,0036	-0,4564	0,0830
170	TxMax	[1,3*pp+perm+1,3*pp fondazioni] {1,5*neve} (1,5*0,6*vento)	-1,0510	0,1018	-1,2147	0,0036	-0,4564	0,0830
170	TxMin	[pp+perm+pp fondazioni] {SEISMIC 1-}	-0,3452	0,1297	-0,3503	0,0007	-0,2120	0,1085
170	MyMax	[1,3*pp+perm+pp fondazioni] {1,5*neve} (1,5*0,6*vento)	-1,0510	0,1018	2,3454	0,0036	0,6319	-0,1129
170	MyMin	[1,3*pp+perm+pp fondazioni] {1,5*neve} (1,5*0,6*vento)	-1,0510	0,1018	-0,1467	0,0036	-0,8495	0,0242
170	MzMax	[pp+perm+pp fondazioni] {SEISMIC 1+}	-0,3452	0,1297	-0,3503	0,0013	-0,2120	0,1085
170	MzMin	[pp+perm+pp fondazioni] {SEISMIC 1-}	-0,3452	0,1297	0,6531	0,0013	0,2427	-0,1414
171	NxMax	[pp+perm+pp fondazioni] {SEISMIC 1+}	-0,8969	0,1126	-0,7008	0,0009	-0,2163	0,0927
171	NxMin	[1,3*pp+perm+1,3*pp fondazioni] {1,5*neve} (1,5*0,6*vento)	-7,4187	0,0331	-2,6699	0,0024	-0,0978	0,0208
171	VyMax	[pp+perm+pp fondazioni] {SEISMIC 1+}	-2,7865	0,1126	-0,7008	0,0009	-0,2163	0,0927
171	VyMin	[pp+perm+pp fondazioni] {SEISMIC 1-}	-2,7865	-0,1008	-0,7008	0,0009	-0,2163	0,0927
171	VzMax	[1,3*pp+perm+pp fondazioni] {1,5*neve} (1,5*0,6*vento)	-7,4187	0,0331	4,3472	0,0024	1,5167	-0,0429
171	VzMin	[1,3*pp+perm+1,3*pp fondazioni] {1,5*neve} (1,5*0,6*vento)	-7,4187	0,0331	-2,6699	0,0024	-0,0978	0,0208
171	TxMax	[1,3*pp+perm+1,3*pp fondazioni] {1,5*neve} (1,5*0,6*vento)	-7,4187	0,0331	-2,6699	0,0024	-0,0978	0,0208
171	TxMin	[pp+perm+pp fondazioni] {SEISMIC 1-}	-2,7865	0,1126	-0,7008	0,0001	-0,2163	0,0927

171	MyMax	[1,3*pp+perm+pp fondazioni] {1,5*neve} (1,5*0,6*vento)	-7,4187	0,0331	4,3472	0,0024	1,5167	-0,0429
171	MyMin	[1,3*pp+perm+pp fondazioni] {1,5*neve} (1,5*0,6*vento)	-7,4187	0,0331	0,1370	0,0024	-1,0730	-0,0047
171	MzMax	[pp+perm+pp fondazioni] {SEISMIC 1+}	-2,7865	0,1126	1,1548	0,0009	0,4778	0,1078
171	MzMin	[pp+perm+pp fondazioni] {SEISMIC 1-}	-2,7865	0,1126	1,1548	0,0009	0,4778	-0,1244
172	NxMax	[pp+perm+pp fondazioni] {SEISMIC 1+}	-0,5239	0,1849	-0,7651	0,0008	-0,1767	0,1477
172	NxMin	[1,3*pp+perm+1,3*pp fondazioni] {1,5*neve} (1,5*0,6*vento)	-3,2028	0,1717	-2,9243	0,0015	-0,0529	0,0820
172	VyMax	[pp+perm+pp fondazioni] {SEISMIC 1+}	-1,0697	0,1849	-0,7651	0,0008	-0,1767	0,1477
172	VyMin	[pp+perm+pp fondazioni] {SEISMIC 1-}	-1,0697	-0,1035	-0,7651	0,0008	-0,1767	0,1477
172	VzMax	[1,3*pp+perm+pp fondazioni] {1,5*neve} (1,5*0,6*vento)	-3,2028	0,1717	4,0928	0,0015	1,0718	-0,2485
172	VzMin	[1,3*pp+perm+1,3*pp fondazioni] {1,5*neve} (1,5*0,6*vento)	-3,2028	0,1717	-2,9243	0,0015	-0,0529	0,0820
172	TxMax	[1,3*pp+perm+1,3*pp fondazioni] {1,5*neve} (1,5*0,6*vento)	-3,2028	0,1717	-2,9243	0,0015	-0,0529	0,0820
172	TxMin	[pp+perm+pp fondazioni] {SEISMIC 1-}	-1,0697	0,1849	-0,7651	-0,0003	-0,1767	0,1477
172	MyMax	[1,3*pp+perm+pp fondazioni] {1,5*neve} (1,5*0,6*vento)	-3,2028	0,1717	4,0928	0,0015	1,0718	-0,2485
172	MyMin	[1,3*pp+perm+1,3*pp fondazioni] {1,5*neve} (1,5*0,6*vento)	-3,2028	0,1717	-0,1175	0,0015	-1,2240	-0,0502
172	MzMax	[pp+perm+pp fondazioni] {SEISMIC 1+}	-1,0697	0,1849	-0,7651	0,0008	-0,1767	0,1477
172	MzMin	[1,3*pp+perm+1,3*pp fondazioni] {1,5*neve} (1,5*0,6*vento)	-3,2028	0,1717	4,0928	0,0015	1,0718	-0,2485
173	NxMax	[1,3*pp+perm+pp fondazioni] {1,5*neve} (1,5*0,6*vento)	0,9445	0,1893	-3,2058	-0,0019	0,0815	0,0946
173	NxMin	[pp+perm+pp fondazioni] {SEISMIC 1-}	-0,0280	0,1570	-0,8536	-0,0009	-0,1377	0,1251
173	VyMax	[1,3*pp+perm+1,3*pp fondazioni] {1,5*neve} (1,5*0,6*vento)	0,9445	0,1893	-3,2058	-0,0019	0,0815	0,0946
173	VyMin	[pp+perm+pp fondazioni] {SEISMIC 1-}	0,5170	-0,0672	-0,8536	-0,0009	-0,1377	0,1251
173	VzMax	[1,3*pp+perm+1,3*pp fondazioni] {1,5*neve} (1,5*0,6*vento)	0,9445	0,1893	3,8113	-0,0019	0,6643	-0,2698
173	VzMin	[1,3*pp+perm+pp fondazioni] {1,5*neve} (1,5*0,6*vento)	0,9445	0,1893	-3,2058	-0,0019	0,0815	0,0946
173	TxMax	[pp+perm+pp fondazioni] {SEISMIC 1+}	0,5170	0,1570	-0,8536	0,0000	-0,1377	0,1251
173	TxMin	[1,3*pp+perm+pp fondazioni] {1,5*neve} (1,5*0,6*vento)	0,9445	0,1893	-3,2058	-0,0019	0,0815	0,0946
173	MyMax	[1,3*pp+perm+1,3*pp fondazioni] {1,5*neve} (1,5*0,6*vento)	0,9445	0,1893	3,8113	-0,0019	0,6643	-0,2698
173	MyMin	[1,3*pp+perm+1,3*pp fondazioni] {1,5*neve} (1,5*0,6*vento)	0,9445	0,1893	0,3027	-0,0019	-1,3156	-0,0876
173	MzMax	[pp+perm+pp fondazioni] {SEISMIC 1+}	0,5170	0,1570	-0,8536	-0,0009	-0,1377	0,1251
173	MzMin	[1,3*pp+perm+1,3*pp fondazioni] {1,5*neve} (1,5*0,6*vento)	0,9445	0,1893	3,8113	-0,0019	0,6643	-0,2698
174	NxMax	[pp+perm+pp fondazioni] {SEISMIC 1+}	-0,4095	0,0606	-0,4373	-0,0005	-0,3270	0,0698
174	NxMin	[1,3*pp+perm+1,3*pp fondazioni] {1,5*neve} (1,5*0,6*vento)	-1,8364	0,0503	-1,1174	-0,0017	-0,5999	0,0380
174	VyMax	[pp+perm+pp fondazioni] {SEISMIC 1+}	-0,5171	0,0606	-0,4373	-0,0005	-0,3270	0,0698
174	VyMin	[pp+perm+pp fondazioni] {SEISMIC 1-}	-0,5171	-0,0390	-0,4373	-0,0005	-0,3270	0,0698
174	VzMax	[1,3*pp+perm+pp fondazioni] {1,5*neve} (1,5*0,6*vento)	-1,8364	0,0503	2,4427	-0,0017	0,6756	-0,0588
174	VzMin	[1,3*pp+perm+1,3*pp fondazioni] {1,5*neve} (1,5*0,6*vento)	-1,8364	0,0503	-1,1174	-0,0017	-0,5999	0,0380
174	TxMax	[pp+perm+pp fondazioni] {SEISMIC 1+}	-0,5171	0,0606	-0,4373	-0,0004	-0,3270	0,0698
174	TxMin	[1,3*pp+perm+1,3*pp fondazioni] {1,5*neve} (1,5*0,6*vento)	-1,8364	0,0503	-1,1174	-0,0017	-0,5999	0,0380
174	MyMax	[1,3*pp+perm+pp fondazioni] {1,5*neve} (1,5*0,6*vento)	-1,8364	0,0503	2,4427	-0,0017	0,6756	-0,0588
174	MyMin	[1,3*pp+perm+pp fondazioni] {1,5*neve} (1,5*0,6*vento)	-1,8364	0,0503	-0,0494	-0,0017	-0,9368	0,0090
174	MzMax	[pp+perm+pp fondazioni] {SEISMIC 1+}	-0,5171	0,0606	-0,4373	-0,0005	-0,3270	0,0698
174	MzMin	[1,3*pp+perm+1,3*pp fondazioni] {1,5*neve} (1,5*0,6*vento)	-1,8364	0,0503	2,4427	-0,0017	0,6756	-0,0588
175	NxMax	[1,3*pp+perm+1,3*pp fondazioni] {1,5*neve} (1,5*0,6*vento)	1,6485	5,5785	4,0606	-0,0803	1,8680	-0,8739
175	NxMin	[pp+perm+pp fondazioni] {SEISMIC 1-}	-0,2584	2,8192	1,1252	-0,1531	0,2826	0,4534
175	VyMax	[1,3*pp+perm+pp fondazioni] {1,5*neve} (1,5*0,6*vento)	1,6376	5,5785	4,0311	-0,0803	1,1254	0,1500
175	VyMin	[pp+perm+pp fondazioni] {SEISMIC 1-}	0,9516	0,2480	1,1252	-0,1531	0,2826	0,4534
175	VzMax	[1,3*pp+perm+pp fondazioni] {1,5*neve} (1,5*0,6*vento)	1,6485	5,5785	4,0606	-0,0803	1,8680	-0,8739
175	VzMin	[pp+perm+pp fondazioni] {SEISMIC 1-}	0,9516	2,8192	0,4928	-0,1531	0,2826	0,4534
175	TxMax	[pp+perm+pp fondazioni] {SEISMIC 1+}	0,9516	2,8192	1,1252	0,1132	0,2826	0,4534
175	TxMin	[pp+perm+pp fondazioni] {SEISMIC 1-}	0,9516	2,8192	1,1252	-0,1531	0,2826	0,4534

175	MyMax	[1,3*pp+perm+pp fondazioni] {1,5*neve} (1,5*0,6*vento)	1,6485	5,5785	4,0606	-0,0803	1,8680	-0,8739
175	MyMin	[pp+perm+pp fondazioni] {SEISMIC 1-}	0,9516	2,8192	1,1252	-0,1531	0,1990	0,4534
175	MzMax	[pp+perm+pp fondazioni] {SEISMIC 1+}	0,9516	2,8192	1,1252	-0,1531	0,2826	0,4534
175	MzMin	[pp+perm+pp fondazioni] {SEISMIC 1-}	0,9600	2,8192	1,1480	-0,1531	0,4676	-0,9062
176	NxMax	[1,3*pp+perm+pp fondazioni] {1,5*neve} (1,5*0,6*vento)	0,4338	-0,0293	1,1891	0,1485	1,1032	-0,0143
176	NxMin	[pp+perm+pp fondazioni] {SEISMIC 1-}	-0,1151	-0,2107	0,2589	0,1089	0,0301	-0,1919
176	VyMax	[pp+perm+pp fondazioni] {SEISMIC 1+}	0,2495	0,2082	0,2589	0,1089	0,0301	-0,1919
176	VyMin	[pp+perm+pp fondazioni] {SEISMIC 1-}	0,2495	-0,2107	0,2589	0,1089	0,0301	-0,1919
176	VzMax	[1,3*pp+perm+1,3*pp fondazioni] {1,5*neve} (1,5*0,6*vento)	0,4338	-0,0293	1,1891	0,1485	1,1032	-0,0143
176	VzMin	[pp+perm+pp fondazioni] {SEISMIC 1-}	0,2495	-0,2107	0,0889	0,1089	0,0301	-0,1919
176	TxMax	[1,3*pp+perm+1,3*pp fondazioni] {1,5*neve} (1,5*0,6*vento)	0,3756	-0,0293	1,0312	0,1485	0,0152	-0,0429
176	TxMin	[pp+perm+pp fondazioni] {SEISMIC 1-}	0,2495	-0,2107	0,2589	-0,0276	0,0301	-0,1919
176	MyMax	[1,3*pp+perm+1,3*pp fondazioni] {1,5*neve} (1,5*0,6*vento)	0,4338	-0,0293	1,1891	0,1485	1,1032	-0,0143
176	MyMin	[pp+perm+pp fondazioni] {SEISMIC 1-}	0,2495	-0,2107	0,2589	0,1089	-0,0209	-0,1919
176	MzMax	[pp+perm+pp fondazioni] {SEISMIC 1+}	0,2942	-0,2107	0,3803	0,1089	0,2960	0,2775
176	MzMin	[pp+perm+pp fondazioni] {SEISMIC 1-}	0,2942	-0,2107	0,3803	0,1089	0,2960	-0,3017
177	NxMax	[pp+perm+pp fondazioni] {SEISMIC 1+}	-3,7118	-1,8730	-1,0365	-0,1015	-0,5802	0,2396
177	NxMin	[1,3*pp+perm+1,3*pp fondazioni] {1,5*neve} (1,5*0,6*vento)	-20,3292	-0,8333	-4,2556	-0,1343	1,8057	-0,3101
177	VyMax	[pp+perm+pp fondazioni] {SEISMIC 1+}	-6,3000	1,3745	-1,1352	-0,1015	0,2858	-1,2566
177	VyMin	[pp+perm+pp fondazioni] {SEISMIC 1-}	-6,3000	-1,8730	-1,1352	-0,1015	0,2858	-1,2566
177	VzMax	[pp+perm+pp fondazioni] {SEISMIC 1+}	-6,2637	-1,8730	-0,5412	-0,1015	-0,5802	0,2396
177	VzMin	[1,3*pp+perm+1,3*pp fondazioni] {1,5*neve} (1,5*0,6*vento)	-20,3292	-0,8333	-4,2556	-0,1343	1,8057	-0,3101
177	TxMax	[pp+perm+pp fondazioni] {SEISMIC 1+}	-6,3000	-1,8730	-1,1352	0,0253	0,2858	-1,2566
177	TxMin	[1,3*pp+perm+1,3*pp fondazioni] {1,5*neve} (1,5*0,6*vento)	-20,3292	-0,8333	-4,2556	-0,1343	1,8057	-0,3101
177	MyMax	[1,3*pp+perm+1,3*pp fondazioni] {1,5*neve} (1,5*0,6*vento)	-20,3292	-0,8333	-4,2556	-0,1343	1,8057	-0,3101
177	MyMin	[1,3*pp+perm+1,3*pp fondazioni] {1,5*neve} (1,5*0,6*vento)	-20,2819	-0,8333	-4,1273	-0,1343	-1,5326	0,3536
177	MzMax	[pp+perm+pp fondazioni] {SEISMIC 1+}	-6,3000	-1,8730	-1,1352	-0,1015	0,2858	1,0565
177	MzMin	[pp+perm+pp fondazioni] {SEISMIC 1-}	-6,3000	-1,8730	-1,1352	-0,1015	0,2858	-1,2566
178	NxMax	[pp+perm+pp fondazioni] {SEISMIC 1+}	-3,9027	1,0327	0,1082	-0,0410	-0,6394	-0,7956
178	NxMin	[1,3*pp+perm+1,3*pp fondazioni] {1,5*neve} (1,5*0,6*vento)	-19,1628	0,4526	-0,4052	-0,1060	-1,5814	0,3707
178	VyMax	[pp+perm+pp fondazioni] {SEISMIC 1+}	-5,6033	1,0327	-0,0666	-0,0410	-0,6520	0,2184
178	VyMin	[pp+perm+pp fondazioni] {SEISMIC 1-}	-5,6033	-0,8051	-0,0666	-0,0410	-0,6520	0,2184
178	VzMax	[pp+perm+pp fondazioni] {SEISMIC 1+}	-5,5585	1,0327	0,1082	-0,0410	-0,6394	-0,7956
178	VzMin	[1,3*pp+perm+1,3*pp fondazioni] {1,5*neve} (1,5*0,6*vento)	-19,1628	0,4526	-0,4052	-0,1060	-1,5814	0,3707
178	TxMax	[pp+perm+pp fondazioni] {SEISMIC 1+}	-5,6033	1,0327	-0,0666	-0,0176	-0,6520	0,2184
178	TxMin	[1,3*pp+perm+1,3*pp fondazioni] {1,5*neve} (1,5*0,6*vento)	-19,1628	0,4526	-0,4052	-0,1060	-1,5814	0,3707
178	MyMax	[pp+perm+pp fondazioni] {SEISMIC 1+}	-5,5585	1,0327	0,1082	-0,0410	-0,2634	-0,7956
178	MyMin	[1,3*pp+perm+1,3*pp fondazioni] {1,5*neve} (1,5*0,6*vento)	-19,1047	0,4526	-0,2473	-0,1060	-1,9011	-0,0728
178	MzMax	[pp+perm+pp fondazioni] {SEISMIC 1+}	-5,5585	1,0327	0,1082	-0,0410	-0,6394	0,7717
178	MzMin	[pp+perm+pp fondazioni] {SEISMIC 1-}	-5,5585	1,0327	0,1082	-0,0410	-0,6394	-0,7956
179	NxMax	[pp+perm+pp fondazioni] {SEISMIC 1+}	-4,1945	-0,1265	1,9210	0,3223	0,8824	0,8712
179	NxMin	[1,3*pp+perm+pp fondazioni] {1,5*neve} (1,5*0,6*vento)	-17,5242	-0,0603	6,4043	0,0193	2,3518	0,0718
179	VyMax	[pp+perm+pp fondazioni] {SEISMIC 1+}	-4,5991	0,0912	1,9041	0,3223	0,7002	0,8701
179	VyMin	[pp+perm+pp fondazioni] {SEISMIC 1-}	-4,5991	-0,1265	1,9041	0,3223	0,7002	0,8701
179	VzMax	[1,3*pp+perm+pp fondazioni] {1,5*neve} (1,5*0,6*vento)	-17,5160	-0,0603	6,4263	0,0193	3,2297	0,0801
179	VzMin	[pp+perm+pp fondazioni] {SEISMIC 1-}	-4,5991	-0,1265	1,2923	0,3223	0,7002	0,8701
179	TxMax	[pp+perm+pp fondazioni] {SEISMIC 1+}	-4,5991	-0,1265	1,9041	0,3223	0,7002	0,8701
179	TxMin	[pp+perm+pp fondazioni] {SEISMIC 1-}	-4,5991	-0,1265	1,9041	-0,3071	0,7002	0,8701

179	MyMax	[1,3*pp+perm+pp fondazioni] {1,5*neve} (1,5*0,6*vento)	-17,5160	-0,0603	6,4263	0,0193	3,2297	0,0801
179	MyMin	[pp+perm+pp fondazioni] {SEISMIC 1-}	-4,5991	-0,1265	1,9041	0,3223	0,5541	0,8701
179	MzMax	[pp+perm+pp fondazioni] {SEISMIC 1+}	-4,5928	-0,1265	1,9210	0,3223	0,8824	0,8712
179	MzMin	[pp+perm+pp fondazioni] {SEISMIC 1-}	-4,5991	-0,1265	1,9041	0,3223	0,7002	-0,8145
180	NxMax	[pp+perm+pp fondazioni] {SEISMIC 1+}	-4,0490	-0,4560	1,3984	-0,0987	0,6949	0,9892
180	NxMin	[1,3*pp+perm+1,3*pp fondazioni] {1,5*neve} (1,5*0,6*vento)	-17,8182	-0,2100	4,4058	-0,0104	-1,9728	-0,1073
180	VyMax	[pp+perm+pp fondazioni] {SEISMIC 1+}	-4,8546	0,3294	1,2769	-0,0987	-0,7137	-0,6038
180	VyMin	[pp+perm+pp fondazioni] {SEISMIC 1-}	-4,8546	-0,4560	1,2769	-0,0987	-0,7137	-0,6038
180	VzMax	[1,3*pp+perm+1,3*pp fondazioni] {1,5*neve} (1,5*0,6*vento)	-17,7601	-0,2100	4,5637	-0,0104	2,4222	0,0986
180	VzMin	[pp+perm+pp fondazioni] {SEISMIC 1-}	-4,8546	-0,4560	0,8793	-0,0987	-0,7137	-0,6038
180	TxMax	[pp+perm+pp fondazioni] {SEISMIC 1+}	-4,8546	-0,4560	1,2769	0,0955	-0,7137	-0,6038
180	TxMin	[pp+perm+pp fondazioni] {SEISMIC 1-}	-4,8546	-0,4560	1,2769	-0,0987	-0,7137	-0,6038
180	MyMax	[1,3*pp+perm+1,3*pp fondazioni] {1,5*neve} (1,5*0,6*vento)	-17,7601	-0,2100	4,5637	-0,0104	2,4222	0,0986
180	MyMin	[1,3*pp+perm+1,3*pp fondazioni] {1,5*neve} (1,5*0,6*vento)	-17,8182	-0,2100	4,4058	-0,0104	-1,9728	-0,1073
180	MzMax	[pp+perm+pp fondazioni] {SEISMIC 1+}	-4,8098	-0,4560	1,3984	-0,0987	0,6949	0,9892
180	MzMin	[pp+perm+pp fondazioni] {SEISMIC 1-}	-4,8098	-0,4560	1,3984	-0,0987	0,6949	-0,9151
181	NxMax	[1,3*pp+perm+1,3*pp fondazioni] {1,5*neve} (1,5*0,6*vento)	5,6269	2,2756	15,4578	0,1311	8,2954	-0,3483
181	NxMin	[pp+perm+pp fondazioni] {SEISMIC 1-}	0,4388	1,5901	4,0885	0,2755	1,4152	0,4352
181	VyMax	[1,3*pp+perm+1,3*pp fondazioni] {1,5*neve} (1,5*0,6*vento)	5,6160	2,2756	15,4282	0,1311	5,4609	0,0693
181	VyMin	[pp+perm+pp fondazioni] {SEISMIC 1-}	2,3283	-0,3623	4,0885	0,2755	1,4152	0,4352
181	VzMax	[1,3*pp+perm+pp fondazioni] {1,5*neve} (1,5*0,6*vento)	5,6269	2,2756	15,4578	0,1311	8,2954	-0,3483
181	VzMin	[pp+perm+pp fondazioni] {SEISMIC 1-}	2,3283	1,5901	3,5365	0,2755	1,4152	0,4352
181	TxMax	[pp+perm+pp fondazioni] {SEISMIC 1+}	2,3283	1,5901	4,0885	0,2755	1,4152	0,4352
181	TxMin	[pp+perm+pp fondazioni] {SEISMIC 1-}	2,3283	1,5901	4,0885	-0,2024	1,4152	0,4352
181	MyMax	[1,3*pp+perm+pp fondazioni] {1,5*neve} (1,5*0,6*vento)	5,6269	2,2756	15,4578	0,1311	8,2954	-0,3483
181	MyMin	[pp+perm+pp fondazioni] {SEISMIC 1-}	2,3283	1,5901	4,0885	0,2755	1,3557	0,4352
181	MzMax	[pp+perm+pp fondazioni] {SEISMIC 1+}	2,3283	1,5901	4,0885	0,2755	1,4152	0,4352
181	MzMin	[pp+perm+pp fondazioni] {SEISMIC 1-}	2,3283	1,5901	4,0885	0,2755	1,4152	-0,4088
182	NxMax	[1,3*pp+perm+pp fondazioni] {1,5*neve} (1,5*0,6*vento)	2,1714	-0,0730	5,7022	0,1123	5,4887	0,0405
182	NxMin	[pp+perm+pp fondazioni] {SEISMIC 1-}	0,1830	-0,1737	1,4680	0,0750	-0,0500	-0,1860
182	VyMax	[pp+perm+pp fondazioni] {SEISMIC 1+}	0,8578	0,1412	1,4680	0,0750	-0,0500	-0,1860
182	VyMin	[pp+perm+pp fondazioni] {SEISMIC 1-}	0,8578	-0,1737	1,4680	0,0750	-0,0500	-0,1860
182	VzMax	[1,3*pp+perm+1,3*pp fondazioni] {1,5*neve} (1,5*0,6*vento)	2,1714	-0,0730	5,7022	0,1123	5,4887	0,0405
182	VzMin	[pp+perm+pp fondazioni] {SEISMIC 1-}	0,8578	-0,1737	1,2655	0,0750	-0,0500	-0,1860
182	TxMax	[1,3*pp+perm+1,3*pp fondazioni] {1,5*neve} (1,5*0,6*vento)	2,1132	-0,0730	5,5443	0,1123	-0,0221	-0,0310
182	TxMin	[pp+perm+pp fondazioni] {SEISMIC 1-}	0,8578	-0,1737	1,4680	-0,0137	-0,0500	-0,1860
182	MyMax	[1,3*pp+perm+1,3*pp fondazioni] {1,5*neve} (1,5*0,6*vento)	2,1714	-0,0730	5,7022	0,1123	5,4887	0,0405
182	MyMin	[pp+perm+pp fondazioni] {SEISMIC 1-}	0,8578	-0,1737	1,4680	0,0750	-0,0500	-0,1860
182	MzMax	[pp+perm+pp fondazioni] {SEISMIC 1+}	0,9025	-0,1737	1,5894	0,0750	1,4487	0,2248
182	MzMin	[pp+perm+pp fondazioni] {SEISMIC 1-}	0,9025	-0,1737	1,5894	0,0750	1,4487	-0,2115
183	NxMax	[pp+perm+pp fondazioni] {SEISMIC 1+}	-8,9798	-1,1619	-2,7563	-0,0782	-0,7140	0,1114
183	NxMin	[1,3*pp+perm+1,3*pp fondazioni] {1,5*neve} (1,5*0,6*vento)	-43,0983	-0,3309	-11,4137	-0,0489	7,3984	-0,0238
183	VyMax	[pp+perm+pp fondazioni] {SEISMIC 1+}	-12,8259	0,9697	-2,8550	-0,0782	1,8400	-0,8318
183	VyMin	[pp+perm+pp fondazioni] {SEISMIC 1-}	-12,8259	-1,1619	-2,8550	-0,0782	1,8400	-0,8318
183	VzMax	[pp+perm+pp fondazioni] {SEISMIC 1+}	-12,7896	-1,1619	-2,5703	-0,0782	-0,7140	0,1114
183	VzMin	[1,3*pp+perm+1,3*pp fondazioni] {1,5*neve} (1,5*0,6*vento)	-43,0983	-0,3309	-11,4137	-0,0489	7,3984	-0,0238
183	TxMax	[pp+perm+pp fondazioni] {SEISMIC 1+}	-12,8259	-1,1619	-2,8550	0,0521	1,8400	-0,8318
183	TxMin	[pp+perm+pp fondazioni] {SEISMIC 1-}	-12,8259	-1,1619	-2,8550	-0,0782	1,8400	-0,8318

183	MyMax	[1,3*pp+perm+1,3*pp fondazioni] {1,5*neve} (1,5*0,6*vento)	-43,0983	-0,3309	-11,4137	-0,0489	7,3984	-0,0238
183	MyMin	[1,3*pp+perm+1,3*pp fondazioni] {1,5*neve} (1,5*0,6*vento)	-43,0510	-0,3309	-11,2854	-0,0489	-1,6410	0,2398
183	MzMax	[pp+perm+pp fondazioni] {SEISMIC 1+}	-12,8259	-1,1619	-2,8550	-0,0782	1,8400	0,8075
183	MzMin	[pp+perm+pp fondazioni] {SEISMIC 1-}	-12,8259	-1,1619	-2,8550	-0,0782	1,8400	-0,8318
184	NxMax	[pp+perm+pp fondazioni] {SEISMIC 1+}	-8,7301	1,0630	-0,4446	-0,0295	-1,1003	-0,7644
184	NxMin	[1,3*pp+perm+1,3*pp fondazioni] {1,5*neve} (1,5*0,6*vento)	-39,5293	0,2621	-2,0445	-0,0020	-1,6073	0,2255
184	VyMax	[pp+perm+pp fondazioni] {SEISMIC 1+}	-11,3170	1,0630	-0,5661	-0,0295	-0,7904	0,2820
184	VyMin	[pp+perm+pp fondazioni] {SEISMIC 1-}	-11,3170	-0,9298	-0,5661	-0,0295	-0,7904	0,2820
184	VzMax	[pp+perm+pp fondazioni] {SEISMIC 1+}	-11,2723	1,0630	-0,2542	-0,0295	-1,1003	-0,7644
184	VzMin	[1,3*pp+perm+pp fondazioni] {1,5*neve} (1,5*0,6*vento)	-39,5293	0,2621	-2,0445	-0,0020	-1,6073	0,2255
184	TxMax	[pp+perm+pp fondazioni] {SEISMIC 1+}	-11,3170	1,0630	-0,5661	0,0290	-0,7904	0,2820
184	TxMin	[pp+perm+pp fondazioni] {SEISMIC 1-}	-11,3170	1,0630	-0,5661	-0,0295	-0,7904	0,2820
184	MyMax	[pp+perm+pp fondazioni] {SEISMIC 1+}	-11,3170	1,0630	-0,5661	-0,0295	-0,1567	0,2820
184	MyMin	[1,3*pp+perm+pp fondazioni] {1,5*neve} (1,5*0,6*vento)	-39,4712	0,2621	-1,8866	-0,0020	-3,5335	-0,0314
184	MzMax	[pp+perm+pp fondazioni] {SEISMIC 1+}	-11,2723	1,0630	-0,4446	-0,0295	-1,1003	0,7517
184	MzMin	[pp+perm+pp fondazioni] {SEISMIC 1-}	-11,2723	1,0630	-0,4446	-0,0295	-1,1003	-0,7644
185	NxMax	[pp+perm+pp fondazioni] {SEISMIC 1+}	-8,3068	-0,1435	3,5227	-0,3451	1,2985	-0,9469
185	NxMin	[1,3*pp+perm+1,3*pp fondazioni] {1,5*neve} (1,5*0,6*vento)	-33,7514	-0,2073	12,1713	-0,0796	3,2542	-0,3254
185	VyMax	[pp+perm+pp fondazioni] {SEISMIC 1+}	-8,8682	0,0290	3,5057	-0,3451	0,9283	-0,9593
185	VyMin	[1,3*pp+perm+1,3*pp fondazioni] {1,5*neve} (1,5*0,6*vento)	-33,7514	-0,2073	12,1713	-0,0796	3,2542	-0,3254
185	VzMax	[1,3*pp+perm+1,3*pp fondazioni] {1,5*neve} (1,5*0,6*vento)	-33,7433	-0,2073	12,1933	-0,0796	4,9214	-0,2971
185	VzMin	[pp+perm+pp fondazioni] {SEISMIC 1-}	-8,8682	-0,1435	2,6707	-0,3451	0,9283	-0,9593
185	TxMax	[pp+perm+pp fondazioni] {SEISMIC 1+}	-8,8682	-0,1435	3,5057	0,3037	0,9283	-0,9593
185	TxMin	[pp+perm+pp fondazioni] {SEISMIC 1-}	-8,8682	-0,1435	3,5057	-0,3451	0,9283	-0,9593
185	MyMax	[1,3*pp+perm+1,3*pp fondazioni] {1,5*neve} (1,5*0,6*vento)	-33,7433	-0,2073	12,1933	-0,0796	4,9214	-0,2971
185	MyMin	[pp+perm+pp fondazioni] {SEISMIC 1-}	-8,8682	-0,1435	3,5057	-0,3451	0,7848	-0,9593
185	MzMax	[pp+perm+pp fondazioni] {SEISMIC 1+}	-8,8620	-0,1435	3,5227	-0,3451	1,2985	0,7921
185	MzMin	[pp+perm+pp fondazioni] {SEISMIC 1-}	-8,8682	-0,1435	3,5057	-0,3451	0,9283	-0,9593
186	NxMax	[pp+perm+pp fondazioni] {SEISMIC 1+}	-8,5075	0,4835	2,1032	-0,1094	0,8689	-1,0441
186	NxMin	[1,3*pp+perm+pp fondazioni] {1,5*neve} (1,5*0,6*vento)	-36,0308	0,2349	6,7613	-0,0086	-3,4916	-0,0483
186	VyMax	[pp+perm+pp fondazioni] {SEISMIC 1+}	-9,8166	0,4835	1,9817	-0,1094	-1,1761	-0,5823
186	VyMin	[pp+perm+pp fondazioni] {SEISMIC 1-}	-9,8166	-0,3639	1,9817	-0,1094	-1,1761	-0,5823
186	VzMax	[1,3*pp+perm+1,3*pp fondazioni] {1,5*neve} (1,5*0,6*vento)	-35,9727	0,2349	6,9192	-0,0086	3,2118	-0,2785
186	VzMin	[pp+perm+pp fondazioni] {SEISMIC 1-}	-9,8166	0,4835	1,3856	-0,1094	-1,1761	-0,5823
186	TxMax	[pp+perm+pp fondazioni] {SEISMIC 1+}	-9,8166	0,4835	1,9817	0,1057	-1,1761	-0,5823
186	TxMin	[pp+perm+pp fondazioni] {SEISMIC 1-}	-9,8166	0,4835	1,9817	-0,1094	-1,1761	-0,5823
186	MyMax	[1,3*pp+perm+1,3*pp fondazioni] {1,5*neve} (1,5*0,6*vento)	-35,9727	0,2349	6,9192	-0,0086	3,2118	-0,2785
186	MyMin	[1,3*pp+perm+1,3*pp fondazioni] {1,5*neve} (1,5*0,6*vento)	-36,0308	0,2349	6,7613	-0,0086	-3,4916	-0,0483
186	MzMax	[pp+perm+pp fondazioni] {SEISMIC 1+}	-9,7718	0,4835	2,1032	-0,1094	0,8689	0,9018
186	MzMin	[pp+perm+pp fondazioni] {SEISMIC 1-}	-9,7718	0,4835	2,1032	-0,1094	0,8689	-1,0441
187	NxMax	[1,3*pp+perm+1,3*pp fondazioni] {1,5*neve} (1,5*0,6*vento)	1,8948	1,0758	5,2348	-0,0101	2,3621	-0,2135
187	NxMin	[pp+perm+pp fondazioni] {SEISMIC 1-}	-0,1079	1,7241	1,4118	-0,1264	0,3474	-0,4127
187	VyMax	[pp+perm+pp fondazioni] {SEISMIC 1+}	0,9161	1,7241	1,4118	-0,1264	0,3474	-0,4127
187	VyMin	[pp+perm+pp fondazioni] {SEISMIC 1-}	0,9161	-1,2101	1,4118	-0,1264	0,3474	-0,4127
187	VzMax	[1,3*pp+perm+pp fondazioni] {1,5*neve} (1,5*0,6*vento)	1,8948	1,0758	5,2348	-0,0101	2,3621	-0,2135
187	VzMin	[pp+perm+pp fondazioni] {SEISMIC 1-}	0,9161	1,7241	0,8278	-0,1264	0,3474	-0,4127
187	TxMax	[pp+perm+pp fondazioni] {SEISMIC 1+}	0,9161	1,7241	1,4118	0,1203	0,3474	-0,4127
187	TxMin	[pp+perm+pp fondazioni] {SEISMIC 1-}	0,9161	1,7241	1,4118	-0,1264	0,3474	-0,4127

187	MyMax	[1,3*pp+perm+pp fondazioni] {1,5*neve} (1,5*0,6*vento)	1,8948	1,0758	5,2348	-0,0101	2,3621	-0,2135
187	MyMin	[pp+perm+pp fondazioni] {SEISMIC 1-}	0,9161	1,7241	1,4118	-0,1264	0,2874	-0,4127
187	MzMax	[pp+perm+pp fondazioni] {SEISMIC 1+}	0,9245	1,7241	1,4346	-0,1264	0,6079	0,6138
187	MzMin	[pp+perm+pp fondazioni] {SEISMIC 1-}	0,9245	1,7241	1,4346	-0,1264	0,6079	-0,7182
188	NxMax	[1,3*pp+perm+pp fondazioni] {1,5*neve} (1,5*0,6*vento)	0,4136	0,0488	1,4640	0,0275	1,3766	-0,0481
188	NxMin	[pp+perm+pp fondazioni] {SEISMIC 1-}	-0,0788	0,2311	0,3568	0,0797	0,0258	-0,1798
188	VyMax	[pp+perm+pp fondazioni] {SEISMIC 1+}	0,1984	0,2311	0,3568	0,0797	0,0258	-0,1798
188	VyMin	[pp+perm+pp fondazioni] {SEISMIC 1-}	0,1984	-0,2084	0,3568	0,0797	0,0258	-0,1798
188	VzMax	[1,3*pp+perm+pp fondazioni] {1,5*neve} (1,5*0,6*vento)	0,4136	0,0488	1,4640	0,0275	1,3766	-0,0481
188	VzMin	[pp+perm+pp fondazioni] {SEISMIC 1-}	0,1984	0,2311	0,1446	0,0797	0,0258	-0,1798
188	TxMax	[pp+perm+pp fondazioni] {SEISMIC 1+}	0,1984	0,2311	0,3568	0,0797	0,0258	-0,1798
188	TxMin	[pp+perm+pp fondazioni] {SEISMIC 1-}	0,1984	0,2311	0,3568	-0,0667	0,0258	-0,1798
188	MyMax	[1,3*pp+perm+pp fondazioni] {1,5*neve} (1,5*0,6*vento)	0,4136	0,0488	1,4640	0,0275	1,3766	-0,0481
188	MyMin	[pp+perm+pp fondazioni] {SEISMIC 1-}	0,1984	0,2311	0,3568	0,0797	-0,0157	-0,1798
188	MzMax	[pp+perm+pp fondazioni] {SEISMIC 1+}	0,2431	0,2311	0,4783	0,0797	0,3936	0,2769
188	MzMin	[pp+perm+pp fondazioni] {SEISMIC 1-}	0,2431	0,2311	0,4783	0,0797	0,3936	-0,3007
189	NxMax	[pp+perm+pp fondazioni] {SEISMIC 1+}	-3,0963	-1,7186	-0,9774	-0,0766	-0,5850	0,1755
189	NxMin	[1,3*pp+perm+1,3*pp fondazioni] {1,5*neve} (1,5*0,6*vento)	-17,6507	-0,3050	-4,4458	-0,0266	2,0854	-0,1046
189	VyMax	[pp+perm+pp fondazioni] {SEISMIC 1+}	-5,3943	1,5711	-1,0761	-0,0766	0,3365	-1,1968
189	VyMin	[pp+perm+pp fondazioni] {SEISMIC 1-}	-5,3943	-1,7186	-1,0761	-0,0766	0,3365	-1,1968
189	VzMax	[pp+perm+pp fondazioni] {SEISMIC 1+}	-5,3579	-1,7186	-0,6917	-0,0766	-0,5850	0,1755
189	VzMin	[1,3*pp+perm+1,3*pp fondazioni] {1,5*neve} (1,5*0,6*vento)	-17,6507	-0,3050	-4,4458	-0,0266	2,0854	-0,1046
189	TxMax	[pp+perm+pp fondazioni] {SEISMIC 1+}	-5,3943	-1,7186	-1,0761	0,0646	0,3365	-1,1968
189	TxMin	[pp+perm+pp fondazioni] {SEISMIC 1-}	-5,3943	-1,7186	-1,0761	-0,0766	0,3365	-1,1968
189	MyMax	[1,3*pp+perm+1,3*pp fondazioni] {1,5*neve} (1,5*0,6*vento)	-17,6507	-0,3050	-4,4458	-0,0266	2,0854	-0,1046
189	MyMin	[1,3*pp+perm+1,3*pp fondazioni] {1,5*neve} (1,5*0,6*vento)	-17,6034	-0,3050	-4,3174	-0,0266	-1,4043	0,1383
189	MzMax	[pp+perm+pp fondazioni] {SEISMIC 1+}	-5,3943	-1,7186	-1,0761	-0,0766	0,3365	1,1487
189	MzMin	[pp+perm+pp fondazioni] {SEISMIC 1-}	-5,3943	-1,7186	-1,0761	-0,0766	0,3365	-1,1968
190	NxMax	[pp+perm+pp fondazioni] {SEISMIC 1+}	-3,1771	0,9390	0,1214	-0,0216	-0,5869	0,7914
190	NxMin	[1,3*pp+perm+1,3*pp fondazioni] {1,5*neve} (1,5*0,6*vento)	-16,2406	0,1292	-0,3958	-0,0348	-1,4257	0,1543
190	VyMax	[pp+perm+pp fondazioni] {SEISMIC 1+}	-4,6891	0,9390	-0,0779	-0,0216	-0,6463	0,1471
190	VyMin	[pp+perm+pp fondazioni] {SEISMIC 1-}	-4,6891	-0,8764	-0,0779	-0,0216	-0,6463	0,1471
190	VzMax	[pp+perm+pp fondazioni] {SEISMIC 1+}	-4,6444	0,9390	0,1214	-0,0216	-0,5869	0,7914
190	VzMin	[1,3*pp+perm+1,3*pp fondazioni] {1,5*neve} (1,5*0,6*vento)	-16,2406	0,1292	-0,3958	-0,0348	-1,4257	0,1543
190	TxMax	[pp+perm+pp fondazioni] {SEISMIC 1+}	-4,6891	0,9390	-0,0779	0,0045	-0,6463	0,1471
190	TxMin	[1,3*pp+perm+pp fondazioni] {1,5*neve} (1,5*0,6*vento)	-16,2406	0,1292	-0,3958	-0,0348	-1,4257	0,1543
190	MyMax	[pp+perm+pp fondazioni] {SEISMIC 1+}	-4,6891	0,9390	-0,0779	-0,0216	-0,2040	0,1471
190	MyMin	[1,3*pp+perm+1,3*pp fondazioni] {1,5*neve} (1,5*0,6*vento)	-16,1825	0,1292	-0,2379	-0,0348	-1,7362	0,0277
190	MzMax	[pp+perm+pp fondazioni] {SEISMIC 1+}	-4,6444	0,9390	0,1214	-0,0216	-0,5869	0,7914
190	MzMin	[pp+perm+pp fondazioni] {SEISMIC 1-}	-4,6444	0,9390	0,1214	-0,0216	-0,5869	-0,7767
191	NxMax	[pp+perm+pp fondazioni] {SEISMIC 1+}	-3,3502	0,1950	1,5343	-0,3224	0,7890	0,8378
191	NxMin	[1,3*pp+perm+1,3*pp fondazioni] {1,5*neve} (1,5*0,6*vento)	-14,4233	0,0415	5,1631	-0,0074	2,2511	0,0168
191	VyMax	[pp+perm+pp fondazioni] {SEISMIC 1+}	-3,7216	0,1950	1,5173	-0,3224	0,6500	0,8468
191	VyMin	[pp+perm+pp fondazioni] {SEISMIC 1-}	-3,7216	-0,1777	1,5173	-0,3224	0,6500	0,8468
191	VzMax	[1,3*pp+perm+pp fondazioni] {1,5*neve} (1,5*0,6*vento)	-14,4151	0,0415	5,1852	-0,0074	2,9592	0,0111
191	VzMin	[pp+perm+pp fondazioni] {SEISMIC 1-}	-3,7216	0,1950	0,9938	-0,3224	0,6500	0,8468
191	TxMax	[pp+perm+pp fondazioni] {SEISMIC 1+}	-3,7216	0,1950	1,5173	0,3163	0,6500	0,8468
191	TxMin	[pp+perm+pp fondazioni] {SEISMIC 1-}	-3,7216	0,1950	1,5173	-0,3224	0,6500	0,8468

191	MyMax	[1,3*pp+perm+pp fondazioni] {1,5*neve} (1,5*0,6*vento)	-14,4151	0,0415	5,1852	-0,0074	2,9592	0,0111
191	MyMin	[pp+perm+pp fondazioni] {SEISMIC 1-}	-3,7216	0,1950	1,5173	-0,3224	0,5397	0,8468
191	MzMax	[pp+perm+pp fondazioni] {SEISMIC 1+}	-3,7216	0,1950	1,5173	-0,3224	0,6500	0,8468
191	MzMin	[pp+perm+pp fondazioni] {SEISMIC 1-}	-3,7216	0,1950	1,5173	-0,3224	0,6500	-0,8419
192	NxMax	[pp+perm+pp fondazioni] {SEISMIC 1+}	-3,2458	0,3906	1,2953	-0,1017	0,6334	-0,9443
192	NxMin	[1,3*pp+perm+pp fondazioni] {1,5*neve} (1,5*0,6*vento)	-14,7561	0,0376	4,0180	-0,0193	-1,7549	0,0400
192	VyMax	[pp+perm+pp fondazioni] {SEISMIC 1+}	-3,9543	0,3906	1,1738	-0,1017	-0,6472	0,6139
192	VyMin	[pp+perm+pp fondazioni] {SEISMIC 1-}	-3,9543	-0,3697	1,1738	-0,1017	-0,6472	0,6139
192	VzMax	[1,3*pp+perm+1,3*pp fondazioni] {1,5*neve} (1,5*0,6*vento)	-14,6980	0,0376	4,1759	-0,0193	2,2601	0,0032
192	VzMin	[pp+perm+pp fondazioni] {SEISMIC 1-}	-3,9543	0,3906	0,7573	-0,1017	-0,6472	0,6139
192	TxMax	[pp+perm+pp fondazioni] {SEISMIC 1+}	-3,9543	0,3906	1,1738	0,0913	-0,6472	0,6139
192	TxMin	[pp+perm+pp fondazioni] {SEISMIC 1-}	-3,9543	0,3906	1,1738	-0,1017	-0,6472	0,6139
192	MyMax	[1,3*pp+perm+1,3*pp fondazioni] {1,5*neve} (1,5*0,6*vento)	-14,6980	0,0376	4,1759	-0,0193	2,2601	0,0032
192	MyMin	[1,3*pp+perm+1,3*pp fondazioni] {1,5*neve} (1,5*0,6*vento)	-14,7561	0,0376	4,0180	-0,0193	-1,7549	0,0400
192	MzMax	[pp+perm+pp fondazioni] {SEISMIC 1+}	-3,9096	0,3906	1,2953	-0,1017	0,6334	0,9436
192	MzMin	[pp+perm+pp fondazioni] {SEISMIC 1-}	-3,9096	0,3906	1,2953	-0,1017	0,6334	-0,9443
193	NxMax	[1,3*pp+perm+1,3*pp fondazioni] {1,5*neve} (1,5*0,6*vento)	5,7766	-0,2819	15,2355	-0,0163	8,1505	0,0105
193	NxMin	[pp+perm+pp fondazioni] {SEISMIC 1-}	0,6290	-0,9839	3,9025	-0,2478	1,4094	-0,4166
193	VyMax	[pp+perm+pp fondazioni] {SEISMIC 1+}	2,2012	0,8557	3,9025	-0,2478	1,4094	-0,4166
193	VyMin	[pp+perm+pp fondazioni] {SEISMIC 1-}	2,2012	-0,9839	3,9025	-0,2478	1,4094	-0,4166
193	VzMax	[1,3*pp+perm+pp fondazioni] {1,5*neve} (1,5*0,6*vento)	5,7766	-0,2819	15,2355	-0,0163	8,1505	0,0105
193	VzMin	[pp+perm+pp fondazioni] {SEISMIC 1-}	2,2012	-0,9839	3,5434	-0,2478	1,4094	-0,4166
193	TxMax	[pp+perm+pp fondazioni] {SEISMIC 1+}	2,2012	-0,9839	3,9025	0,2362	1,4094	-0,4166
193	TxMin	[pp+perm+pp fondazioni] {SEISMIC 1-}	2,2012	-0,9839	3,9025	-0,2478	1,4094	-0,4166
193	MyMax	[1,3*pp+perm+pp fondazioni] {1,5*neve} (1,5*0,6*vento)	5,7766	-0,2819	15,2355	-0,0163	8,1505	0,0105
193	MyMin	[pp+perm+pp fondazioni] {SEISMIC 1-}	2,2012	-0,9839	3,9025	-0,2478	1,2852	-0,4166
193	MzMax	[pp+perm+pp fondazioni] {SEISMIC 1+}	2,2012	-0,9839	3,9025	-0,2478	1,4094	0,3973
193	MzMin	[pp+perm+pp fondazioni] {SEISMIC 1-}	2,2012	-0,9839	3,9025	-0,2478	1,4094	-0,4166
194	NxMax	[1,3*pp+perm+pp fondazioni] {1,5*neve} (1,5*0,6*vento)	2,2565	0,1332	5,5757	-0,0190	5,3779	-0,0761
194	NxMin	[pp+perm+pp fondazioni] {SEISMIC 1-}	0,2219	0,2186	1,3705	-0,0527	-0,0450	0,2048
194	VyMax	[pp+perm+pp fondazioni] {SEISMIC 1+}	0,8575	0,2186	1,3705	-0,0527	-0,0450	0,2048
194	VyMin	[pp+perm+pp fondazioni] {SEISMIC 1-}	0,8575	-0,1514	1,3705	-0,0527	-0,0450	0,2048
194	VzMax	[1,3*pp+perm+pp fondazioni] {1,5*neve} (1,5*0,6*vento)	2,2565	0,1332	5,5757	-0,0190	5,3779	-0,0761
194	VzMin	[pp+perm+pp fondazioni] {SEISMIC 1-}	0,8575	0,2186	1,2730	-0,0527	-0,0450	0,2048
194	TxMax	[pp+perm+pp fondazioni] {SEISMIC 1+}	0,8575	0,2186	1,3705	0,0426	-0,0450	0,2048
194	TxMin	[pp+perm+pp fondazioni] {SEISMIC 1-}	0,8575	0,2186	1,3705	-0,0527	-0,0450	0,2048
194	MyMax	[1,3*pp+perm+pp fondazioni] {1,5*neve} (1,5*0,6*vento)	2,2565	0,1332	5,5757	-0,0190	5,3779	-0,0761
194	MyMin	[pp+perm+pp fondazioni] {SEISMIC 1-}	0,8575	0,2186	1,3705	-0,0527	-0,0450	0,2048
194	MzMax	[pp+perm+pp fondazioni] {SEISMIC 1+}	0,8575	0,2186	1,3705	-0,0527	-0,0450	0,2048
194	MzMin	[pp+perm+pp fondazioni] {SEISMIC 1-}	0,9023	0,2186	1,4920	-0,0527	1,3582	-0,2319
195	NxMax	[pp+perm+pp fondazioni] {SEISMIC 1+}	-9,9877	-1,0850	-2,8526	0,0743	-0,5601	0,0686
195	NxMin	[1,3*pp+perm+1,3*pp fondazioni] {1,5*neve} (1,5*0,6*vento)	-46,3477	-0,0754	-11,4378	0,0208	7,2442	-0,0090
195	VyMax	[pp+perm+pp fondazioni] {SEISMIC 1+}	-13,4348	1,0480	-2,9513	0,0743	1,7513	-0,8104
195	VyMin	[pp+perm+pp fondazioni] {SEISMIC 1-}	-13,4348	-1,0850	-2,9513	0,0743	1,7513	-0,8104
195	VzMax	[pp+perm+pp fondazioni] {SEISMIC 1+}	-13,3984	-1,0850	-2,4518	0,0743	-0,5601	0,0686
195	VzMin	[1,3*pp+perm+1,3*pp fondazioni] {1,5*neve} (1,5*0,6*vento)	-46,3477	-0,0754	-11,4378	0,0208	7,2442	-0,0090
195	TxMax	[pp+perm+pp fondazioni] {SEISMIC 1+}	-13,4348	-1,0850	-2,9513	0,0743	1,7513	-0,8104
195	TxMin	[pp+perm+pp fondazioni] {SEISMIC 1-}	-13,4348	-1,0850	-2,9513	-0,0623	1,7513	-0,8104

195	MyMax	[1,3*pp+perm+1,3*pp fondazioni] {1,5*neve} (1,5*0,6*vento)	-46,3477	-0,0754	-11,4378	0,0208	7,2442	-0,0090
195	MyMin	[1,3*pp+perm+1,3*pp fondazioni] {1,5*neve} (1,5*0,6*vento)	-46,3004	-0,0754	-11,3095	0,0208	-1,8144	0,0511
195	MzMax	[pp+perm+pp fondazioni] {SEISMIC 1+}	-13,4348	-1,0850	-2,9513	0,0743	1,7513	0,8079
195	MzMin	[pp+perm+pp fondazioni] {SEISMIC 1-}	-13,4348	-1,0850	-2,9513	0,0743	1,7513	-0,8104
196	NxMax	[pp+perm+pp fondazioni] {SEISMIC 1+}	-9,5736	0,9917	-0,3683	0,0314	-1,0399	0,7794
196	NxMin	[1,3*pp+perm+1,3*pp fondazioni] {1,5*neve} (1,5*0,6*vento)	-42,7144	-0,0056	-1,9635	0,0079	-1,7853	0,1015
196	VyMax	[pp+perm+pp fondazioni] {SEISMIC 1+}	-12,0665	0,9917	-0,4897	0,0314	-0,6200	0,2486
196	VyMin	[pp+perm+pp fondazioni] {SEISMIC 1-}	-12,0665	-0,9902	-0,4897	0,0314	-0,6200	0,2486
196	VzMax	[pp+perm+pp fondazioni] {SEISMIC 1+}	-12,0218	0,9917	-0,2807	0,0314	-1,0399	0,7794
196	VzMin	[1,3*pp+perm+1,3*pp fondazioni] {1,5*neve} (1,5*0,6*vento)	-42,7144	-0,0056	-1,9635	0,0079	-1,7853	0,1015
196	TxMax	[pp+perm+pp fondazioni] {SEISMIC 1+}	-12,0665	0,9917	-0,4897	0,0314	-0,6200	0,2486
196	TxMin	[pp+perm+pp fondazioni] {SEISMIC 1-}	-12,0665	0,9917	-0,4897	-0,0272	-0,6200	0,2486
196	MyMax	[pp+perm+pp fondazioni] {SEISMIC 1+}	-12,0665	0,9917	-0,4897	0,0314	-0,4242	0,2486
196	MyMin	[1,3*pp+perm+pp fondazioni] {1,5*neve} (1,5*0,6*vento)	-42,6563	-0,0056	-1,8056	0,0079	-3,6322	0,1070
196	MzMax	[pp+perm+pp fondazioni] {SEISMIC 1+}	-12,0218	0,9917	-0,3683	0,0314	-1,0399	0,7794
196	MzMin	[pp+perm+pp fondazioni] {SEISMIC 1-}	-12,0218	0,9917	-0,3683	0,0314	-1,0399	-0,7277
197	NxMax	[pp+perm+pp fondazioni] {SEISMIC 1+}	-8,9432	0,2166	3,6284	-0,3341	1,4738	-0,9003
197	NxMin	[1,3*pp+perm+1,3*pp fondazioni] {1,5*neve} (1,5*0,6*vento)	-36,8374	0,0941	13,2290	-0,0377	3,4972	-0,1778
197	VyMax	[pp+perm+pp fondazioni] {SEISMIC 1+}	-9,7879	0,2166	3,6114	-0,3341	1,0483	-0,9031
197	VyMin	[pp+perm+pp fondazioni] {SEISMIC 1-}	-9,7879	-0,1698	3,6114	-0,3341	1,0483	-0,9031
197	VzMax	[1,3*pp+perm+1,3*pp fondazioni] {1,5*neve} (1,5*0,6*vento)	-36,8292	0,0941	13,2511	-0,0377	5,3092	-0,1906
197	VzMin	[pp+perm+pp fondazioni] {SEISMIC 1-}	-9,7879	0,2166	3,0995	-0,3341	1,0483	-0,9031
197	TxMax	[pp+perm+pp fondazioni] {SEISMIC 1+}	-9,7879	0,2166	3,6114	0,3129	1,0483	-0,9031
197	TxMin	[pp+perm+pp fondazioni] {SEISMIC 1-}	-9,7879	0,2166	3,6114	-0,3341	1,0483	-0,9031
197	MyMax	[1,3*pp+perm+1,3*pp fondazioni] {1,5*neve} (1,5*0,6*vento)	-36,8292	0,0941	13,2511	-0,0377	5,3092	-0,1906
197	MyMin	[pp+perm+pp fondazioni] {SEISMIC 1-}	-9,7879	0,2166	3,6114	-0,3341	0,7874	-0,9031
197	MzMax	[pp+perm+pp fondazioni] {SEISMIC 1+}	-9,7879	0,2166	3,6114	-0,3341	1,0483	0,8089
197	MzMin	[pp+perm+pp fondazioni] {SEISMIC 1-}	-9,7879	0,2166	3,6114	-0,3341	1,0483	-0,9031
198	NxMax	[pp+perm+pp fondazioni] {SEISMIC 1+}	-9,1843	0,5302	2,0335	-0,1122	1,0008	-1,0181
198	NxMin	[1,3*pp+perm+pp fondazioni] {1,5*neve} (1,5*0,6*vento)	-39,1548	0,4134	7,1636	-0,0161	-3,6060	0,1800
198	VyMax	[pp+perm+pp fondazioni] {SEISMIC 1+}	-10,7091	0,5302	1,9120	-0,1122	-1,1009	0,6211
198	VyMin	[pp+perm+pp fondazioni] {SEISMIC 1-}	-10,7091	-0,3185	1,9120	-0,1122	-1,1009	0,6211
198	VzMax	[1,3*pp+perm+1,3*pp fondazioni] {1,5*neve} (1,5*0,6*vento)	-39,0966	0,4134	7,3215	-0,0161	3,4916	-0,2251
198	VzMin	[pp+perm+pp fondazioni] {SEISMIC 1-}	-10,7091	0,5302	1,6586	-0,1122	-1,1009	0,6211
198	TxMax	[pp+perm+pp fondazioni] {SEISMIC 1+}	-10,7091	0,5302	1,9120	0,1031	-1,1009	0,6211
198	TxMin	[pp+perm+pp fondazioni] {SEISMIC 1-}	-10,7091	0,5302	1,9120	-0,1122	-1,1009	0,6211
198	MyMax	[1,3*pp+perm+1,3*pp fondazioni] {1,5*neve} (1,5*0,6*vento)	-39,0966	0,4134	7,3215	-0,0161	3,4916	-0,2251
198	MyMin	[1,3*pp+perm+1,3*pp fondazioni] {1,5*neve} (1,5*0,6*vento)	-39,1548	0,4134	7,1636	-0,0161	-3,6060	0,1800
198	MzMax	[pp+perm+pp fondazioni] {SEISMIC 1+}	-10,6644	0,5302	2,0335	-0,1122	1,0008	0,8999
198	MzMin	[pp+perm+pp fondazioni] {SEISMIC 1-}	-10,6644	0,5302	2,0335	-0,1122	1,0008	-1,0181
199	NxMax	[1,3*pp+perm+1,3*pp fondazioni] {1,5*neve} (1,5*0,6*vento)	2,0179	-2,6564	6,2582	-0,0383	2,9870	0,4685
199	NxMin	[pp+perm+pp fondazioni] {SEISMIC 1-}	0,0001	-2,5060	1,6239	-0,1060	0,4624	-0,4406
199	VyMax	[pp+perm+pp fondazioni] {SEISMIC 1+}	0,8790	1,1509	1,6239	-0,1060	0,4624	-0,4406
199	VyMin	[1,3*pp+perm+1,3*pp fondazioni] {1,5*neve} (1,5*0,6*vento)	2,0070	-2,6564	6,2286	-0,0383	1,8410	-0,0190
199	VzMax	[1,3*pp+perm+pp fondazioni] {1,5*neve} (1,5*0,6*vento)	2,0179	-2,6564	6,2582	-0,0383	2,9870	0,4685
199	VzMin	[pp+perm+pp fondazioni] {SEISMIC 1-}	0,8790	-2,5060	1,1326	-0,1060	0,4624	-0,4406
199	TxMax	[pp+perm+pp fondazioni] {SEISMIC 1+}	0,8790	-2,5060	1,6239	0,0877	0,4624	-0,4406
199	TxMin	[pp+perm+pp fondazioni] {SEISMIC 1-}	0,8790	-2,5060	1,6239	-0,1060	0,4624	-0,4406

199	MyMax	[1,3*pp+perm+pp fondazioni] {1,5*neve} (1,5*0,6*vento)	2,0179	-2,6564	6,2582	-0,0383	2,9870	0,4685
199	MyMin	[pp+perm+pp fondazioni] {SEISMIC 1-}	0,8790	-2,5060	1,6239	-0,1060	0,3962	-0,4406
199	MzMax	[pp+perm+pp fondazioni] {SEISMIC 1+}	0,8874	-2,5060	1,6466	-0,1060	0,7616	0,8927
199	MzMin	[pp+perm+pp fondazioni] {SEISMIC 1-}	0,8874	-2,5060	1,6466	-0,1060	0,7616	-0,6485
200	NxMax	[1,3*pp+perm+1,3*pp fondazioni] {1,5*neve} (1,5*0,6*vento)	0,4804	0,0680	1,9615	-0,0653	1,8353	-0,0019
200	NxMin	[pp+perm+pp fondazioni] {SEISMIC 1-}	-0,0385	0,2385	0,4699	-0,0909	-0,0191	0,1899
200	VyMax	[pp+perm+pp fondazioni] {SEISMIC 1+}	0,1981	0,2385	0,4699	-0,0909	-0,0191	0,1899
200	VyMin	[pp+perm+pp fondazioni] {SEISMIC 1-}	0,1981	-0,2024	0,4699	-0,0909	-0,0191	0,1899
200	VzMax	[1,3*pp+perm+1,3*pp fondazioni] {1,5*neve} (1,5*0,6*vento)	0,4804	0,0680	1,9615	-0,0653	1,8353	-0,0019
200	VzMin	[pp+perm+pp fondazioni] {SEISMIC 1-}	0,1981	0,2385	0,2852	-0,0909	-0,0191	0,1899
200	TxMax	[pp+perm+pp fondazioni] {SEISMIC 1+}	0,1981	0,2385	0,4699	0,0573	-0,0191	0,1899
200	TxMin	[pp+perm+pp fondazioni] {SEISMIC 1-}	0,1981	0,2385	0,4699	-0,0909	-0,0191	0,1899
200	MyMax	[1,3*pp+perm+1,3*pp fondazioni] {1,5*neve} (1,5*0,6*vento)	0,4804	0,0680	1,9615	-0,0653	1,8353	-0,0019
200	MyMin	[pp+perm+pp fondazioni] {SEISMIC 1-}	0,1981	0,2385	0,4699	-0,0909	-0,0191	0,1899
200	MzMax	[pp+perm+pp fondazioni] {SEISMIC 1+}	0,2429	0,2385	0,5914	-0,0909	0,5029	0,3176
200	MzMin	[pp+perm+pp fondazioni] {SEISMIC 1-}	0,2429	0,2385	0,5914	-0,0909	0,5029	-0,3162
201	NxMax	[pp+perm+pp fondazioni] {SEISMIC 1+}	-4,9964	1,7295	-1,0319	0,1132	-0,6592	-0,1935
201	NxMin	[1,3*pp+perm+1,3*pp fondazioni] {1,5*neve} (1,5*0,6*vento)	-24,9754	0,4573	-4,7280	0,1688	1,8326	0,2335
201	VyMax	[pp+perm+pp fondazioni] {SEISMIC 1+}	-7,1202	1,7295	-1,1306	0,1132	0,2640	1,1873
201	VyMin	[pp+perm+pp fondazioni] {SEISMIC 1-}	-7,1202	-1,4846	-1,1306	0,1132	0,2640	1,1873
201	VzMax	[pp+perm+pp fondazioni] {SEISMIC 1+}	-7,0838	1,7295	-0,7849	0,1132	-0,6592	-0,1935
201	VzMin	[1,3*pp+perm+1,3*pp fondazioni] {1,5*neve} (1,5*0,6*vento)	-24,9754	0,4573	-4,7280	0,1688	1,8326	0,2335
201	TxMax	[1,3*pp+perm+1,3*pp fondazioni] {1,5*neve} (1,5*0,6*vento)	-24,9754	0,4573	-4,7280	0,1688	1,8326	0,2335
201	TxMin	[pp+perm+pp fondazioni] {SEISMIC 1-}	-7,1202	1,7295	-1,1306	-0,0282	0,2640	1,1873
201	MyMax	[1,3*pp+perm+1,3*pp fondazioni] {1,5*neve} (1,5*0,6*vento)	-24,9754	0,4573	-4,7280	0,1688	1,8326	0,2335
201	MyMin	[1,3*pp+perm+1,3*pp fondazioni] {1,5*neve} (1,5*0,6*vento)	-24,9282	0,4573	-4,5997	0,1688	-1,8819	-0,1307
201	MzMax	[pp+perm+pp fondazioni] {SEISMIC 1+}	-7,1202	1,7295	-1,1306	0,1132	0,2640	1,1873
201	MzMin	[pp+perm+pp fondazioni] {SEISMIC 1-}	-7,1202	1,7295	-1,1306	0,1132	0,2640	-1,0598
202	NxMax	[pp+perm+pp fondazioni] {SEISMIC 1+}	-5,0024	-0,9026	0,2429	0,0334	-0,5428	0,7837
202	NxMin	[1,3*pp+perm+1,3*pp fondazioni] {1,5*neve} (1,5*0,6*vento)	-23,4753	-0,0806	0,1432	0,0780	-1,9236	-0,0594
202	VyMax	[pp+perm+pp fondazioni] {SEISMIC 1+}	-6,4411	0,8641	0,1214	0,0334	-0,7142	-0,1037
202	VyMin	[pp+perm+pp fondazioni] {SEISMIC 1-}	-6,4411	-0,9026	0,1214	0,0334	-0,7142	-0,1037
202	VzMax	[1,3*pp+perm+pp fondazioni] {1,5*neve} (1,5*0,6*vento)	-23,4171	-0,0806	0,3011	0,0780	-1,7059	0,0196
202	VzMin	[pp+perm+pp fondazioni] {SEISMIC 1-}	-6,4411	-0,9026	0,0607	0,0334	-0,7142	-0,1037
202	TxMax	[1,3*pp+perm+1,3*pp fondazioni] {1,5*neve} (1,5*0,6*vento)	-23,4753	-0,0806	0,1432	0,0780	-1,9236	-0,0594
202	TxMin	[pp+perm+pp fondazioni] {SEISMIC 1-}	-6,4411	-0,9026	0,1214	0,0068	-0,7142	-0,1037
202	MyMax	[pp+perm+pp fondazioni] {SEISMIC 1+}	-6,3964	-0,9026	0,2429	0,0334	-0,2510	0,7837
202	MyMin	[1,3*pp+perm+pp fondazioni] {1,5*neve} (1,5*0,6*vento)	-23,4753	-0,0806	0,1432	0,0780	-1,9236	-0,0594
202	MzMax	[pp+perm+pp fondazioni] {SEISMIC 1+}	-6,3964	-0,9026	0,2429	0,0334	-0,5428	0,7837
202	MzMin	[pp+perm+pp fondazioni] {SEISMIC 1-}	-6,3964	-0,9026	0,2429	0,0334	-0,5428	-0,7741
203	NxMax	[pp+perm+pp fondazioni] {SEISMIC 1+}	-5,0207	0,1008	1,9708	-0,3474	1,2207	-0,9831
203	NxMin	[1,3*pp+perm+pp fondazioni] {1,5*neve} (1,5*0,6*vento)	-21,3784	0,0530	7,1125	-0,1242	3,7304	-0,4515
203	VyMax	[pp+perm+pp fondazioni] {SEISMIC 1+}	-5,4785	0,1008	1,9538	-0,3474	1,0061	-0,9858
203	VyMin	[pp+perm+pp fondazioni] {SEISMIC 1-}	-5,4785	-0,0654	1,9538	-0,3474	1,0061	-0,9858
203	VzMax	[1,3*pp+perm+1,3*pp fondazioni] {1,5*neve} (1,5*0,6*vento)	-21,3703	0,0530	7,1345	-0,1242	4,7053	-0,4587
203	VzMin	[pp+perm+pp fondazioni] {SEISMIC 1-}	-5,4785	0,1008	1,5180	-0,3474	1,0061	-0,9858
203	TxMax	[pp+perm+pp fondazioni] {SEISMIC 1+}	-5,4785	0,1008	1,9538	0,2833	1,0061	-0,9858
203	TxMin	[pp+perm+pp fondazioni] {SEISMIC 1-}	-5,4785	0,1008	1,9538	-0,3474	1,0061	-0,9858

203	MyMax	[1,3*pp+perm+1,3*pp fondazioni] {1,5*neve} (1,5*0,6*vento)	-21,3703	0,0530	7,1345	-0,1242	4,7053	-0,4587
203	MyMin	[pp+perm+pp fondazioni] {SEISMIC 1-}	-5,4785	0,1008	1,9538	-0,3474	0,9053	-0,9858
203	MzMax	[pp+perm+pp fondazioni] {SEISMIC 1+}	-5,4785	0,1008	1,9538	-0,3474	1,0061	0,7499
203	MzMin	[pp+perm+pp fondazioni] {SEISMIC 1-}	-5,4785	0,1008	1,9538	-0,3474	1,0061	-0,9858
204	NxMax	[pp+perm+pp fondazioni] {SEISMIC 1+}	-4,9823	0,5813	1,6207	-0,1144	0,9937	-1,1017
204	NxMin	[1,3*pp+perm+1,3*pp fondazioni] {1,5*neve} (1,5*0,6*vento)	-21,8408	0,6523	5,5303	-0,0736	-1,7537	0,1388
204	VyMax	[1,3*pp+perm+1,3*pp fondazioni] {1,5*neve} (1,5*0,6*vento)	-21,8408	0,6523	5,5303	-0,0736	-1,7537	0,1388
204	VyMin	[pp+perm+pp fondazioni] {SEISMIC 1-}	-5,7167	-0,2356	1,4992	-0,1144	-0,5998	0,6163
204	VzMax	[1,3*pp+perm+1,3*pp fondazioni] {1,5*neve} (1,5*0,6*vento)	-21,7827	0,6523	5,6882	-0,0736	3,7433	-0,5005
204	VzMin	[pp+perm+pp fondazioni] {SEISMIC 1-}	-5,7167	0,5813	1,1700	-0,1144	-0,5998	0,6163
204	TxMax	[pp+perm+pp fondazioni] {SEISMIC 1+}	-5,7167	0,5813	1,4992	0,0779	-0,5998	0,6163
204	TxMin	[pp+perm+pp fondazioni] {SEISMIC 1-}	-5,7167	0,5813	1,4992	-0,1144	-0,5998	0,6163
204	MyMax	[1,3*pp+perm+1,3*pp fondazioni] {1,5*neve} (1,5*0,6*vento)	-21,7827	0,6523	5,6882	-0,0736	3,7433	-0,5005
204	MyMin	[1,3*pp+perm+1,3*pp fondazioni] {1,5*neve} (1,5*0,6*vento)	-21,8408	0,6523	5,5303	-0,0736	-1,7537	0,1388
204	MzMax	[pp+perm+pp fondazioni] {SEISMIC 1+}	-5,6719	0,5813	1,6207	-0,1144	0,9937	0,8371
204	MzMin	[pp+perm+pp fondazioni] {SEISMIC 1-}	-5,6719	0,5813	1,6207	-0,1144	0,9937	-1,1017
205	NxMax	[1,3*pp+perm+1,3*pp fondazioni] {1,5*neve} (1,5*0,6*vento)	2,5088	8,4697	6,4211	0,8496	3,3886	-3,0635
205	NxMin	[pp+perm+pp fondazioni] {SEISMIC 1-}	0,1438	2,8808	1,7749	0,4110	0,6497	-0,7276
205	VyMax	[1,3*pp+perm+1,3*pp fondazioni] {1,5*neve} (1,5*0,6*vento)	2,4979	8,4697	6,3915	0,8496	2,2127	-1,5090
205	VyMin	[pp+perm+pp fondazioni] {SEISMIC 1-}	1,0996	1,3312	1,7749	0,4110	0,6497	-0,7276
205	VzMax	[1,3*pp+perm+pp fondazioni] {1,5*neve} (1,5*0,6*vento)	2,5088	8,4697	6,4211	0,8496	3,3886	-3,0635
205	VzMin	[pp+perm+pp fondazioni] {SEISMIC 1-}	1,0996	2,8808	1,4311	0,4110	0,6497	-0,7276
205	TxMax	[1,3*pp+perm+1,3*pp fondazioni] {1,5*neve} (1,5*0,6*vento)	2,4979	8,4697	6,3915	0,8496	2,2127	-1,5090
205	TxMin	[pp+perm+pp fondazioni] {SEISMIC 1-}	1,0996	2,8808	1,7749	0,0062	0,6497	-0,7276
205	MyMax	[1,3*pp+perm+pp fondazioni] {1,5*neve} (1,5*0,6*vento)	2,5088	8,4697	6,4211	0,8496	3,3886	-3,0635
205	MyMin	[pp+perm+pp fondazioni] {SEISMIC 1-}	1,0996	2,8808	1,7749	0,4110	0,5040	-0,7276
205	MzMax	[pp+perm+pp fondazioni] {SEISMIC 1+}	1,0996	2,8808	1,7749	0,4110	0,6497	-0,0175
205	MzMin	[1,3*pp+perm+1,3*pp fondazioni] {1,5*neve} (1,5*0,6*vento)	2,5088	8,4697	6,4211	0,8496	3,3886	-3,0635
206	NxMax	[1,3*pp+perm+1,3*pp fondazioni] {1,5*neve} (1,5*0,6*vento)	0,9643	1,0510	2,3236	0,4158	2,2104	-1,3035
206	NxMin	[pp+perm+pp fondazioni] {SEISMIC 1-}	0,0305	0,4283	0,5832	0,1432	0,0262	-0,2032
206	VyMax	[1,3*pp+perm+1,3*pp fondazioni] {1,5*neve} (1,5*0,6*vento)	0,9061	1,0510	2,1657	0,4158	0,0107	-0,2735
206	VyMin	[pp+perm+pp fondazioni] {SEISMIC 1-}	0,4064	0,1003	0,5832	0,1432	0,0262	-0,2032
206	VzMax	[1,3*pp+perm+pp fondazioni] {1,5*neve} (1,5*0,6*vento)	0,9643	1,0510	2,3236	0,4158	2,2104	-1,3035
206	VzMin	[pp+perm+pp fondazioni] {SEISMIC 1-}	0,4064	0,4283	0,4673	0,1432	0,0262	-0,2032
206	TxMax	[1,3*pp+perm+pp fondazioni] {1,5*neve} (1,5*0,6*vento)	0,9061	1,0510	2,1657	0,4158	0,0107	-0,2735
206	TxMin	[pp+perm+pp fondazioni] {SEISMIC 1-}	0,4064	0,4283	0,5832	0,0663	0,0262	-0,2032
206	MyMax	[1,3*pp+perm+pp fondazioni] {1,5*neve} (1,5*0,6*vento)	0,9643	1,0510	2,3236	0,4158	2,2104	-1,3035
206	MyMin	[pp+perm+pp fondazioni] {SEISMIC 1-}	0,4064	0,4283	0,5832	0,1432	-0,0215	-0,2032
206	MzMax	[pp+perm+pp fondazioni] {SEISMIC 1+}	0,4064	0,4283	0,5832	0,1432	0,0262	0,0704
206	MzMin	[1,3*pp+perm+1,3*pp fondazioni] {1,5*neve} (1,5*0,6*vento)	0,9643	1,0510	2,3236	0,4158	2,2104	-1,3035
207	NxMax	[pp+perm+pp fondazioni] {SEISMIC 1+}	-4,7337	-1,8549	-0,9498	-0,2342	-0,5224	0,2679
207	NxMin	[1,3*pp+perm+1,3*pp fondazioni] {1,5*neve} (1,5*0,6*vento)	-22,7012	-3,9543	-3,9386	-0,7937	1,9253	-2,2056
207	VyMax	[pp+perm+pp fondazioni] {SEISMIC 1+}	-7,5464	-0,0949	-1,0485	-0,2342	0,3977	-1,2390
207	VyMin	[1,3*pp+perm+pp fondazioni] {1,5*neve} (1,5*0,6*vento)	-22,7012	-3,9543	-3,9386	-0,7937	1,9253	-2,2056
207	VzMax	[pp+perm+pp fondazioni] {SEISMIC 1+}	-7,5100	-1,8549	-0,7248	-0,2342	-0,5224	0,2679
207	VzMin	[1,3*pp+perm+1,3*pp fondazioni] {1,5*neve} (1,5*0,6*vento)	-22,7012	-3,9543	-3,9386	-0,7937	1,9253	-2,2056
207	TxMax	[pp+perm+pp fondazioni] {SEISMIC 1+}	-7,5464	-1,8549	-1,0485	-0,1517	0,3977	-1,2390
207	TxMin	[1,3*pp+perm+1,3*pp fondazioni] {1,5*neve} (1,5*0,6*vento)	-22,7012	-3,9543	-3,9386	-0,7937	1,9253	-2,2056

207	MyMax	[1,3*pp+perm+1,3*pp fondazioni] {1,5*neve} (1,5*0,6*vento)	-22,7012	-3,9543	-3,9386	-0,7937	1,9253	-2,2056
207	MyMin	[1,3*pp+perm+1,3*pp fondazioni] {1,5*neve} (1,5*0,6*vento)	-22,6539	-3,9543	-3,8103	-0,7937	-1,1605	0,9438
207	MzMax	[1,3*pp+perm+pp fondazioni] {1,5*neve} (1,5*0,6*vento)	-22,6539	-3,9543	-3,8103	-0,7937	-1,1605	0,9438
207	MzMin	[1,3*pp+perm+pp fondazioni] {1,5*neve} (1,5*0,6*vento)	-22,7012	-3,9543	-3,9386	-0,7937	1,9253	-2,2056
208	NxMax	[pp+perm+pp fondazioni] {SEISMIC 1+}	-4,5673	-1,0632	0,2150	-0,1171	-0,4071	0,9884
208	NxMin	[1,3*pp+perm+1,3*pp fondazioni] {1,5*neve} (1,5*0,6*vento)	-21,0783	-0,7515	-0,0290	-0,2946	-1,1380	0,4952
208	VyMax	[pp+perm+pp fondazioni] {SEISMIC 1+}	-6,8933	0,7071	0,0935	-0,1171	-0,5466	0,3048
208	VyMin	[pp+perm+pp fondazioni] {SEISMIC 1-}	-6,8933	-1,0632	0,0935	-0,1171	-0,5466	0,3048
208	VzMax	[1,3*pp+perm+1,3*pp fondazioni]	-7,4203	-0,2315	0,2196	-0,0943	-0,3675	0,3866
208	VzMin	[pp+perm+pp fondazioni] {1,5*neve} (1,5*0,6*vento)	-19,3525	-0,6980	-0,0432	-0,2728	-1,0214	0,4583
208	TxMax	[pp+perm+pp fondazioni] {SEISMIC 1+}	-6,8933	-1,0632	0,0935	-0,0280	-0,5466	0,3048
208	TxMin	[1,3*pp+perm+1,3*pp fondazioni] {1,5*neve} (1,5*0,6*vento)	-21,0783	-0,7515	-0,0290	-0,2946	-1,1380	0,4952
208	MyMax	[pp+perm+pp fondazioni] {SEISMIC 1+}	-6,8486	-1,0632	0,2150	-0,1171	-0,1583	0,9884
208	MyMin	[1,3*pp+perm+1,3*pp fondazioni] {1,5*neve} (1,5*0,6*vento)	-21,0666	-0,7515	0,0026	-0,2946	-1,1406	0,6425
208	MzMax	[1,3*pp+perm+pp fondazioni] {1,5*neve} (1,5*0,6*vento)	-21,0201	-0,7515	0,1289	-0,2946	-1,0891	1,2316
208	MzMin	[pp+perm+pp fondazioni] {SEISMIC 1-}	-6,8486	-1,0632	0,2150	-0,1171	-0,4071	-0,3936
209	NxMax	[pp+perm+pp fondazioni] {SEISMIC 1+}	-4,2981	0,1409	2,0063	0,4522	1,0793	1,2578
209	NxMin	[1,3*pp+perm+pp fondazioni] {1,5*neve} (1,5*0,6*vento)	-18,5756	0,1404	6,0725	0,7320	2,5925	2,1653
209	VyMax	[pp+perm+pp fondazioni] {SEISMIC 1+}	-5,8938	0,1409	1,9893	0,4522	0,8208	1,2676
209	VyMin	[pp+perm+pp fondazioni] {SEISMIC 1-}	-5,8938	-0,0595	1,9893	0,4522	0,8208	1,2676
209	VzMax	[1,3*pp+perm+1,3*pp fondazioni] {1,5*neve} (1,5*0,6*vento)	-18,5674	0,1404	6,0946	0,7320	3,4251	2,1461
209	VzMin	[pp+perm+pp fondazioni] {SEISMIC 1-}	-5,8938	0,1409	1,3322	0,4522	0,8208	1,2676
209	TxMax	[1,3*pp+perm+1,3*pp fondazioni] {1,5*neve} (1,5*0,6*vento)	-18,5756	0,1404	6,0725	0,7320	2,5925	2,1653
209	TxMin	[pp+perm+pp fondazioni] {SEISMIC 1-}	-5,8938	0,1409	1,9893	-0,0881	0,8208	1,2676
209	MyMax	[1,3*pp+perm+1,3*pp fondazioni] {1,5*neve} (1,5*0,6*vento)	-18,5674	0,1404	6,0946	0,7320	3,4251	2,1461
209	MyMin	[pp+perm+pp fondazioni] {SEISMIC 1-}	-5,8938	0,1409	1,9893	0,4522	0,6832	1,2676
209	MzMax	[1,3*pp+perm+pp fondazioni] {1,5*neve} (1,5*0,6*vento)	-18,5756	0,1404	6,0725	0,7320	2,5925	2,1653
209	MzMin	[pp+perm+pp fondazioni] {SEISMIC 1-}	-5,8876	0,1409	2,0063	0,4522	1,0793	-0,1989
210	NxMax	[pp+perm+pp fondazioni] {SEISMIC 1+}	-4,3976	-0,6836	1,2714	0,1838	0,8115	1,3906
210	NxMin	[1,3*pp+perm+1,3*pp fondazioni] {1,5*neve} (1,5*0,6*vento)	-19,5252	-1,6960	3,6399	0,3596	-1,0606	0,7031
210	VyMax	[pp+perm+pp fondazioni] {SEISMIC 1+}	-6,2759	-0,1616	1,1499	0,1838	-0,4317	0,7360
210	VyMin	[1,3*pp+perm+1,3*pp fondazioni] {1,5*neve} (1,5*0,6*vento)	-19,5252	-1,6960	3,6399	0,3596	-1,0606	0,7031
210	VzMax	[1,3*pp+perm+pp fondazioni] {1,5*neve} (1,5*0,6*vento)	-19,4670	-1,6960	3,7978	0,3596	2,5838	2,3652
210	VzMin	[pp+perm+pp fondazioni] {SEISMIC 1-}	-6,2759	-0,6836	0,8224	0,1838	-0,4317	0,7360
210	TxMax	[1,3*pp+perm+1,3*pp fondazioni] {1,5*neve} (1,5*0,6*vento)	-19,5252	-1,6960	3,6399	0,3596	-1,0606	0,7031
210	TxMin	[pp+perm+pp fondazioni] {SEISMIC 1-}	-6,2759	-0,6836	1,1499	-0,0091	-0,4317	0,7360
210	MyMax	[1,3*pp+perm+pp fondazioni] {1,5*neve} (1,5*0,6*vento)	-19,4670	-1,6960	3,7978	0,3596	2,5838	2,3652
210	MyMin	[1,3*pp+perm+pp fondazioni] {1,5*neve} (1,5*0,6*vento)	-19,5252	-1,6960	3,6399	0,3596	-1,0606	0,7031
210	MzMax	[1,3*pp+perm+1,3*pp fondazioni] {1,5*neve} (1,5*0,6*vento)	-19,4670	-1,6960	3,7978	0,3596	2,5838	2,3652
210	MzMin	[pp+perm+pp fondazioni] {SEISMIC 1-}	-6,2759	-0,6836	1,1499	0,1838	-0,4317	-0,3968
213	NxMax	[pp+perm+pp fondazioni] {SEISMIC 1+}	0,1977	0,1664	-0,3011	0,0020	0,0982	0,1378
213	NxMin	[pp+perm+pp fondazioni] {SEISMIC 1-}	-0,2318	0,1664	-0,3011	0,0020	0,0982	0,1378
213	VyMax	[pp+perm+pp fondazioni] {SEISMIC 1+}	-0,2318	0,1664	-0,3011	0,0020	0,0982	0,1378
213	VyMin	[pp+perm+pp fondazioni] {SEISMIC 1-}	-0,2318	-0,1238	-0,3011	0,0020	0,0982	0,1378
213	VzMax	[1,3*pp+perm+pp fondazioni] {1,5*neve} (1,5*0,6*vento)	-0,1659	0,0754	1,3983	0,0024	0,3790	-0,0574
213	VzMin	[1,3*pp+perm+1,3*pp fondazioni] {1,5*neve} (1,5*0,6*vento)	-0,1659	0,0754	-0,9608	0,0024	0,0508	0,0557
213	TxMax	[1,3*pp+perm+1,3*pp fondazioni] {1,5*neve} (1,5*0,6*vento)	-0,1659	0,0754	-0,9608	0,0024	0,0508	0,0557
213	TxMin	[pp+perm+pp fondazioni] {SEISMIC 1-}	-0,2318	0,1664	-0,3011	-0,0008	0,0982	0,1378

213	MyMax	[1,3*pp+perm+pp fondazioni] {1,5*neve} (1,5*0,6*vento)	-0,1659	0,0754	1,3983	0,0024	0,3790	-0,0574
213	MyMin	[1,3*pp+perm+pp fondazioni] {1,5*neve} (1,5*0,6*vento)	-0,1659	0,0754	-0,0171	0,0024	-0,2425	0,0105
213	MzMax	[pp+perm+pp fondazioni] {SEISMIC 1+}	-0,2318	0,1664	-0,3011	0,0020	0,0982	0,1378
213	MzMin	[pp+perm+pp fondazioni] {SEISMIC 1-}	-0,2318	0,1664	0,4222	0,0020	0,1282	-0,1118
214	NxMax	[pp+perm+pp fondazioni] {SEISMIC 1+}	0,3751	0,1675	-0,6302	0,0033	0,1613	0,1439
214	NxMin	[pp+perm+pp fondazioni] {1,5*neve} (1,5*0,6*vento)	-0,1269	0,0360	-2,0378	0,0052	0,2194	0,0373
214	VyMax	[pp+perm+pp fondazioni] {SEISMIC 1+}	0,3751	0,1675	-0,6302	0,0033	0,1613	0,1439
214	VyMin	[pp+perm+pp fondazioni] {SEISMIC 1-}	0,3751	-0,1429	-0,6302	0,0033	0,1613	0,1439
214	VzMax	[1,3*pp+perm+pp fondazioni] {1,5*neve} (1,5*0,6*vento)	-0,0819	0,0397	2,8703	0,0056	0,7469	-0,0186
214	VzMin	[1,3*pp+perm+1,3*pp fondazioni] {1,5*neve} (1,5*0,6*vento)	-0,0819	0,0397	-2,1825	0,0056	0,2311	0,0409
214	TxMax	[1,3*pp+perm+1,3*pp fondazioni] {1,5*neve} (1,5*0,6*vento)	-0,0819	0,0397	-2,1825	0,0056	0,2311	0,0409
214	TxMin	[pp+perm+pp fondazioni] {SEISMIC 1-}	0,3751	0,1675	-0,6302	-0,0005	0,1613	0,1439
214	MyMax	[1,3*pp+perm+pp fondazioni] {1,5*neve} (1,5*0,6*vento)	-0,0819	0,0397	2,8703	0,0056	0,7469	-0,0186
214	MyMin	[1,3*pp+perm+pp fondazioni] {1,5*neve} (1,5*0,6*vento)	-0,0819	0,0397	-0,1614	0,0056	-0,4721	0,0171
214	MzMax	[pp+perm+pp fondazioni] {SEISMIC 1+}	0,3751	0,1675	-0,6302	0,0033	0,1613	0,1439
214	MzMin	[pp+perm+pp fondazioni] {SEISMIC 1-}	0,3751	0,1675	-0,6302	0,0033	0,1613	-0,1192
215	NxMax	[pp+perm+pp fondazioni] {SEISMIC 1+}	0,1429	0,2205	-0,7166	0,0041	0,2031	0,1930
215	NxMin	[1,3*pp+perm+pp fondazioni] {1,5*neve} (1,5*0,6*vento)	-0,4556	0,0208	-2,4688	0,0111	0,2512	0,0682
215	VyMax	[pp+perm+pp fondazioni] {SEISMIC 1+}	-0,2413	0,2205	-0,7166	0,0041	0,2031	0,1930
215	VyMin	[pp+perm+pp fondazioni] {SEISMIC 1-}	-0,2413	-0,2118	-0,7166	0,0041	0,2031	0,1930
215	VzMax	[1,3*pp+perm+pp fondazioni] {1,5*neve} (1,5*0,6*vento)	-0,4556	0,0208	2,9991	0,0111	0,6489	0,0370
215	VzMin	[1,3*pp+perm+1,3*pp fondazioni] {1,5*neve} (1,5*0,6*vento)	-0,4556	0,0208	-2,4688	0,0111	0,2512	0,0682
215	TxMax	[1,3*pp+perm+1,3*pp fondazioni] {1,5*neve} (1,5*0,6*vento)	-0,4556	0,0208	-2,4688	0,0111	0,2512	0,0682
215	TxMin	[pp+perm+pp fondazioni] {SEISMIC 1-}	-0,2413	0,2205	-0,7166	0,0014	0,2031	0,1930
215	MyMax	[1,3*pp+perm+pp fondazioni] {1,5*neve} (1,5*0,6*vento)	-0,4556	0,0208	2,9991	0,0111	0,6489	0,0370
215	MyMin	[1,3*pp+perm+1,3*pp fondazioni] {1,5*neve} (1,5*0,6*vento)	-0,4556	0,0208	0,2652	0,0111	-0,5752	0,0526
215	MzMax	[pp+perm+pp fondazioni] {SEISMIC 1+}	-0,2413	0,2205	-0,7166	0,0041	0,2031	0,1930
215	MzMin	[pp+perm+pp fondazioni] {SEISMIC 1-}	-0,2413	0,2205	-0,7166	0,0041	0,2031	-0,1606
216	NxMax	[pp+perm+pp fondazioni] {SEISMIC 1+}	0,4757	-0,1808	-0,7666	0,0026	0,2334	0,1498
216	NxMin	[pp+perm+pp fondazioni] {SEISMIC 1-}	-0,3159	-0,1808	-0,7666	0,0026	0,2334	0,1498
216	VyMax	[pp+perm+pp fondazioni] {SEISMIC 1+}	0,4757	0,1605	-0,7666	0,0026	0,2334	0,1498
216	VyMin	[pp+perm+pp fondazioni] {SEISMIC 1-}	0,4757	-0,1808	-0,7666	0,0026	0,2334	0,1498
216	VzMax	[1,3*pp+perm+pp fondazioni] {1,5*neve} (1,5*0,6*vento)	0,3180	-0,0303	2,8898	0,0046	0,4744	0,0995
216	VzMin	[1,3*pp+perm+1,3*pp fondazioni] {1,5*neve} (1,5*0,6*vento)	0,3180	-0,0303	-2,5781	0,0046	0,2407	0,0540
216	TxMax	[1,3*pp+perm+1,3*pp fondazioni] {1,5*neve} (1,5*0,6*vento)	0,3180	-0,0303	-2,5781	0,0046	0,2407	0,0540
216	TxMin	[pp+perm+pp fondazioni] {SEISMIC 1-}	0,4757	-0,1808	-0,7666	0,0002	0,2334	0,1498
216	MyMax	[1,3*pp+perm+pp fondazioni] {1,5*neve} (1,5*0,6*vento)	0,3180	-0,0303	2,8898	0,0046	0,4744	0,0995
216	MyMin	[1,3*pp+perm+pp fondazioni] {1,5*neve} (1,5*0,6*vento)	0,3180	-0,0303	0,1558	0,0046	-0,6677	0,0767
216	MzMax	[pp+perm+pp fondazioni] {SEISMIC 1+}	0,4757	-0,1808	-0,7666	0,0026	0,2334	0,1498
216	MzMin	[pp+perm+pp fondazioni] {SEISMIC 1-}	0,4757	-0,1808	-0,7666	0,0026	0,2334	-0,1259
217	NxMax	[pp+perm+pp fondazioni] {SEISMIC 1+}	-0,1351	-0,1301	-0,6476	0,0020	0,2968	-0,0755
217	NxMin	[1,3*pp+perm+pp fondazioni] {1,5*neve} (1,5*0,6*vento)	-0,8184	-0,1685	-1,7214	0,0037	0,3156	-0,0663
217	VyMax	[pp+perm+pp fondazioni] {SEISMIC 1+}	-0,2769	0,0398	-0,6476	0,0020	0,2968	-0,0755
217	VyMin	[1,3*pp+perm+pp fondazioni] {1,5*neve} (1,5*0,6*vento)	-0,8184	-0,1685	-1,7214	0,0037	0,3156	-0,0663
217	VzMax	[1,3*pp+perm+pp fondazioni] {1,5*neve} (1,5*0,6*vento)	-0,8184	-0,1685	1,0527	0,0037	-0,1859	0,1865
217	VzMin	[1,3*pp+perm+1,3*pp fondazioni] {1,5*neve} (1,5*0,6*vento)	-0,8184	-0,1685	-1,7214	0,0037	0,3156	-0,0663
217	TxMax	[1,3*pp+perm+pp fondazioni] {1,5*neve} (1,5*0,6*vento)	-0,8184	-0,1685	-1,7214	0,0037	0,3156	-0,0663
217	TxMin	[pp+perm+pp fondazioni] {SEISMIC 1-}	-0,2769	-0,1301	-0,6476	0,0003	0,2968	-0,0755

217	MyMax	[1,3*pp+perm+1,3*pp fondazioni] {1,5*neve} (1,5*0,6*vento)	-0,8184	-0,1685	-1,7214	0,0037	0,3156	-0,0663
217	MyMin	[1,3*pp+perm+1,3*pp fondazioni] {1,5*neve} (1,5*0,6*vento)	-0,8184	-0,1685	-0,0569	0,0037	-0,4847	0,0854
217	MzMax	[1,3*pp+perm+pp fondazioni] {1,5*neve} (1,5*0,6*vento)	-0,8184	-0,1685	1,0527	0,0037	-0,1859	0,1865
217	MzMin	[pp+perm+pp fondazioni] {SEISMIC 1-}	-0,2769	-0,1301	-0,6476	0,0020	0,2968	-0,0755
219	NxMax	[pp+perm+pp fondazioni] {SEISMIC 1+}	0,4330	-0,0872	-0,4045	-0,0034	0,2298	-0,0838
219	NxMin	[pp+perm+pp fondazioni] {SEISMIC 1-}	-0,5551	-0,0872	-0,4045	-0,0034	0,2298	-0,0838
219	VyMax	[pp+perm+pp fondazioni] {SEISMIC 1+}	-0,5551	0,0617	-0,4045	-0,0034	0,2298	-0,0838
219	VyMin	[pp+perm+pp fondazioni] {SEISMIC 1-}	-0,5551	-0,0872	-0,4045	-0,0034	0,2298	-0,0838
219	VzMax	[1,3*pp+perm+1,3*pp fondazioni] {1,5*neve} (1,5*0,6*vento)	-0,3602	-0,0472	1,7800	-0,0113	0,9128	0,0278
219	VzMin	[1,3*pp+perm+pp fondazioni] {1,5*neve} (1,5*0,6*vento)	-0,3602	-0,0472	-1,2082	-0,0113	0,3697	-0,0618
219	TxMax	[pp+perm+pp fondazioni] {SEISMIC 1+}	-0,5551	-0,0872	-0,4045	-0,0026	0,2298	-0,0838
219	TxMin	[1,3*pp+perm+pp fondazioni] {1,5*neve} (1,5*0,6*vento)	-0,3602	-0,0472	-1,2082	-0,0113	0,3697	-0,0618
219	MyMax	[1,3*pp+perm+1,3*pp fondazioni] {1,5*neve} (1,5*0,6*vento)	-0,3602	-0,0472	1,7800	-0,0113	0,9128	0,0278
219	MyMin	[1,3*pp+perm+1,3*pp fondazioni] {1,5*neve} (1,5*0,6*vento)	-0,3602	-0,0472	-0,0129	-0,0113	-0,0944	-0,0260
219	MzMax	[pp+perm+pp fondazioni] {SEISMIC 1+}	-0,5551	-0,0872	0,5420	-0,0034	0,3147	0,0827
219	MzMin	[pp+perm+pp fondazioni] {SEISMIC 1-}	-0,5551	-0,0872	-0,4045	-0,0034	0,2298	-0,0838
220	NxMax	[pp+perm+pp fondazioni] {SEISMIC 1+}	1,1669	0,0798	-0,7794	-0,0027	0,3547	-0,0697
220	NxMin	[pp+perm+pp fondazioni] {SEISMIC 1-}	-1,0564	0,0798	-0,7794	-0,0027	0,3547	-0,0697
220	VyMax	[pp+perm+pp fondazioni] {SEISMIC 1+}	1,1669	0,0798	-0,7794	-0,0027	0,3547	-0,0697
220	VyMin	[pp+perm+pp fondazioni] {SEISMIC 1-}	1,1669	-0,0740	-0,7794	-0,0027	0,3547	-0,0697
220	VzMax	[1,3*pp+perm+pp fondazioni] {1,5*neve} (1,5*0,6*vento)	-0,4159	0,0139	3,6492	-0,0084	1,5701	-0,0238
220	VzMin	[1,3*pp+perm+1,3*pp fondazioni] {1,5*neve} (1,5*0,6*vento)	-0,4159	0,0139	-2,7511	-0,0084	0,7170	0,0026
220	TxMax	[pp+perm+pp fondazioni] {SEISMIC 1+}	1,1669	0,0798	-0,7794	-0,0018	0,3547	-0,0697
220	TxMin	[1,3*pp+perm+pp fondazioni] {1,5*neve} (1,5*0,6*vento)	-0,4159	0,0139	-2,7511	-0,0084	0,7170	0,0026
220	MyMax	[1,3*pp+perm+pp fondazioni] {1,5*neve} (1,5*0,6*vento)	-0,4159	0,0139	3,6492	-0,0084	1,5701	-0,0238
220	MyMin	[1,3*pp+perm+pp fondazioni] {1,5*neve} (1,5*0,6*vento)	-0,4159	0,0139	-0,1910	-0,0084	-0,4010	-0,0080
220	MzMax	[pp+perm+pp fondazioni] {SEISMIC 1+}	1,1669	0,0798	0,9949	-0,0027	0,4856	0,0715
220	MzMin	[pp+perm+pp fondazioni] {SEISMIC 1-}	1,1669	0,0798	0,9949	-0,0027	0,4856	-0,0831
221	NxMax	[pp+perm+pp fondazioni] {SEISMIC 1+}	0,6126	0,1310	-0,7859	-0,0017	0,3062	0,1219
221	NxMin	[pp+perm+pp fondazioni] {SEISMIC 1-}	-0,6643	0,1310	-0,7859	-0,0017	0,3062	0,1219
221	VyMax	[pp+perm+pp fondazioni] {SEISMIC 1+}	-0,6643	0,1310	-0,7859	-0,0017	0,3062	0,1219
221	VyMin	[pp+perm+pp fondazioni] {SEISMIC 1-}	-0,6643	-0,0982	-0,7859	-0,0017	0,3062	0,1219
221	VzMax	[1,3*pp+perm+pp fondazioni] {1,5*neve} (1,5*0,6*vento)	-0,4027	0,0631	4,0707	-0,0041	1,7879	-0,0633
221	VzMin	[1,3*pp+perm+1,3*pp fondazioni] {1,5*neve} (1,5*0,6*vento)	-0,4027	0,0631	-2,8553	-0,0041	0,6333	0,0566
221	TxMax	[pp+perm+pp fondazioni] {SEISMIC 1+}	-0,6643	0,1310	-0,7859	-0,0007	0,3062	0,1219
221	TxMin	[1,3*pp+perm+1,3*pp fondazioni] {1,5*neve} (1,5*0,6*vento)	-0,4027	0,0631	-2,8553	-0,0041	0,6333	0,0566
221	MyMax	[1,3*pp+perm+pp fondazioni] {1,5*neve} (1,5*0,6*vento)	-0,4027	0,0631	4,0707	-0,0041	1,7879	-0,0633
221	MyMin	[1,3*pp+perm+pp fondazioni] {1,5*neve} (1,5*0,6*vento)	-0,4027	0,0631	-0,0849	-0,0041	-0,4840	0,0086
221	MzMax	[pp+perm+pp fondazioni] {SEISMIC 1+}	-0,6643	0,1310	-0,7859	-0,0017	0,3062	0,1219
221	MzMin	[pp+perm+pp fondazioni] {SEISMIC 1-}	-0,6643	0,1310	1,0888	-0,0017	0,5503	-0,1274
222	NxMax	[pp+perm+pp fondazioni] {SEISMIC 1+}	0,3321	0,1312	-0,7372	-0,0026	0,2453	0,1259
222	NxMin	[pp+perm+pp fondazioni] {SEISMIC 1-}	-0,3238	0,1312	-0,7372	-0,0026	0,2453	0,1259
222	VyMax	[pp+perm+pp fondazioni] {SEISMIC 1+}	0,3321	0,1312	-0,7372	-0,0026	0,2453	0,1259
222	VyMin	[pp+perm+pp fondazioni] {SEISMIC 1-}	0,3321	-0,0653	-0,7372	-0,0026	0,2453	0,1259
222	VzMax	[1,3*pp+perm+1,3*pp fondazioni] {1,5*neve} (1,5*0,6*vento)	0,0283	0,1231	4,2040	-0,0086	1,9025	-0,1150
222	VzMin	[1,3*pp+perm+pp fondazioni] {1,5*neve} (1,5*0,6*vento)	0,0283	0,1231	-2,7220	-0,0086	0,4947	0,1189
222	TxMax	[pp+perm+pp fondazioni] {SEISMIC 1+}	0,3321	0,1312	-0,7372	-0,0021	0,2453	0,1259
222	TxMin	[1,3*pp+perm+1,3*pp fondazioni] {1,5*neve} (1,5*0,6*vento)	0,0283	0,1231	-2,7220	-0,0086	0,4947	0,1189

222	MyMax	[1,3*pp+perm+1,3*pp fondazioni] {1,5*neve} (1,5*0,6*vento)	0,0283	0,1231	4,2040	-0,0086	1,9025	-0,1150
222	MyMin	[1,3*pp+perm+1,3*pp fondazioni] {1,5*neve} (1,5*0,6*vento)	0,0283	0,1231	0,0484	-0,0086	-0,5213	0,0253
222	MzMax	[pp+perm+pp fondazioni] {SEISMIC 1+}	0,3321	0,1312	-0,7372	-0,0026	0,2453	0,1259
222	MzMin	[pp+perm+pp fondazioni] {SEISMIC 1-}	0,3321	0,1312	1,1154	-0,0026	0,5839	-0,1237
223	NxMax	[pp+perm+pp fondazioni] {SEISMIC 1+}	-0,0395	0,0911	-0,3464	-0,0024	-0,2472	0,1027
223	NxMin	[1,3*pp+perm+1,3*pp fondazioni] {1,5*neve} (1,5*0,6*vento)	-0,6109	0,2026	-0,8348	-0,0085	-0,2407	0,2089
223	VyMax	[1,3*pp+perm+1,3*pp fondazioni] {1,5*neve} (1,5*0,6*vento)	-0,6109	0,2026	-0,8348	-0,0085	-0,2407	0,2089
223	VyMin	[pp+perm+pp fondazioni] {SEISMIC 1-}	-0,2492	0,0184	-0,3464	-0,0024	-0,2472	0,1027
223	VzMax	[1,3*pp+perm+1,3*pp fondazioni] {1,5*neve} (1,5*0,6*vento)	-0,6109	0,2026	2,6791	-0,0085	1,5113	-0,1761
223	VzMin	[1,3*pp+perm+pp fondazioni] {1,5*neve} (1,5*0,6*vento)	-0,6109	0,2026	-0,8348	-0,0085	-0,2407	0,2089
223	TxMax	[pp+perm+pp fondazioni] {SEISMIC 1+}	-0,2492	0,0911	-0,3464	-0,0022	-0,2472	0,1027
223	TxMin	[1,3*pp+perm+1,3*pp fondazioni] {1,5*neve} (1,5*0,6*vento)	-0,6109	0,2026	-0,8348	-0,0085	-0,2407	0,2089
223	MyMax	[1,3*pp+perm+1,3*pp fondazioni] {1,5*neve} (1,5*0,6*vento)	-0,6109	0,2026	2,6791	-0,0085	1,5113	-0,1761
223	MyMin	[1,3*pp+perm+1,3*pp fondazioni] {1,5*neve} (1,5*0,6*vento)	-0,6109	0,2026	-0,1321	-0,0085	-0,4244	0,1319
223	MzMax	[1,3*pp+perm+1,3*pp fondazioni] {1,5*neve} (1,5*0,6*vento)	-0,6109	0,2026	-0,8348	-0,0085	-0,2407	0,2089
223	MzMin	[1,3*pp+perm+1,3*pp fondazioni] {1,5*neve} (1,5*0,6*vento)	-0,6109	0,2026	2,6791	-0,0085	1,5113	-0,1761
225	NxMax	[pp+perm+pp fondazioni] {SEISMIC 1+}	0,5367	0,0921	-0,6653	0,0030	0,3456	0,0936
225	NxMin	[pp+perm+pp fondazioni] {SEISMIC 1-}	-0,8369	0,0921	-0,6653	0,0030	0,3456	0,0936
225	VyMax	[pp+perm+pp fondazioni] {SEISMIC 1+}	-0,8369	0,0921	-0,6653	0,0030	0,3456	0,0936
225	VyMin	[pp+perm+pp fondazioni] {SEISMIC 1-}	-0,8369	-0,0713	-0,6653	0,0030	0,3456	0,0936
225	VzMax	[1,3*pp+perm+1,3*pp fondazioni] {1,5*neve} (1,5*0,6*vento)	-0,6972	0,0387	0,6213	0,0082	-0,5287	-0,0266
225	VzMin	[1,3*pp+perm+pp fondazioni] {1,5*neve} (1,5*0,6*vento)	-0,6972	0,0387	-2,3670	0,0082	1,1297	0,0470
225	TxMax	[1,3*pp+perm+pp fondazioni] {1,5*neve} (1,5*0,6*vento)	-0,6972	0,0387	-2,3670	0,0082	1,1297	0,0470
225	TxMin	[pp+perm+pp fondazioni] {SEISMIC 1-}	-0,8369	0,0921	-0,6653	0,0012	0,3456	0,0936
225	MyMax	[1,3*pp+perm+pp fondazioni] {1,5*neve} (1,5*0,6*vento)	-0,6972	0,0387	-2,3670	0,0082	1,1297	0,0470
225	MyMin	[1,3*pp+perm+pp fondazioni] {1,5*neve} (1,5*0,6*vento)	-0,6972	0,0387	0,0236	0,0082	-0,6512	-0,0119
225	MzMax	[pp+perm+pp fondazioni] {SEISMIC 1+}	-0,8369	0,0921	-0,6653	0,0030	0,3456	0,0936
225	MzMin	[pp+perm+pp fondazioni] {SEISMIC 1-}	-0,8369	0,0921	0,2053	0,0030	-0,2458	-0,0842
226	NxMax	[pp+perm+pp fondazioni] {SEISMIC 1+}	0,1971	-0,0889	-1,1780	0,0017	0,5824	-0,0882
226	NxMin	[1,3*pp+perm+1,3*pp fondazioni] {1,5*neve} (1,5*0,6*vento)	-2,2063	-0,0263	-4,3358	0,0030	1,9642	-0,0215
226	VyMax	[pp+perm+pp fondazioni] {SEISMIC 1+}	-1,1298	0,0756	-1,1780	0,0017	0,5824	-0,0882
226	VyMin	[pp+perm+pp fondazioni] {SEISMIC 1-}	-1,1298	-0,0889	-1,1780	0,0017	0,5824	-0,0882
226	VzMax	[1,3*pp+perm+1,3*pp fondazioni] {1,5*neve} (1,5*0,6*vento)	-2,2063	-0,0263	2,0645	0,0030	-0,1936	0,0286
226	VzMin	[1,3*pp+perm+pp fondazioni] {1,5*neve} (1,5*0,6*vento)	-2,2063	-0,0263	-4,3358	0,0030	1,9642	-0,0215
226	TxMax	[1,3*pp+perm+1,3*pp fondazioni] {1,5*neve} (1,5*0,6*vento)	-2,2063	-0,0263	-4,3358	0,0030	1,9642	-0,0215
226	TxMin	[pp+perm+pp fondazioni] {SEISMIC 1-}	-1,1298	-0,0889	-1,1780	-0,0002	0,5824	-0,0882
226	MyMax	[1,3*pp+perm+pp fondazioni] {1,5*neve} (1,5*0,6*vento)	-2,2063	-0,0263	-4,3358	0,0030	1,9642	-0,0215
226	MyMin	[1,3*pp+perm+pp fondazioni] {1,5*neve} (1,5*0,6*vento)	-2,2063	-0,0263	0,1444	0,0030	-0,8231	0,0136
226	MzMax	[pp+perm+pp fondazioni] {SEISMIC 1+}	-1,1298	-0,0889	0,5761	0,0017	-0,2755	0,0840
226	MzMin	[pp+perm+pp fondazioni] {SEISMIC 1-}	-1,1298	-0,0889	-1,1780	0,0017	0,5824	-0,0882
227	NxMax	[pp+perm+pp fondazioni] {SEISMIC 1+}	0,2999	0,1301	-1,2056	-0,0021	0,5926	0,1243
227	NxMin	[1,3*pp+perm+1,3*pp fondazioni] {1,5*neve} (1,5*0,6*vento)	-1,1177	0,0179	-4,5733	-0,0052	2,0259	0,0169
227	VyMax	[pp+perm+pp fondazioni] {SEISMIC 1+}	-0,7601	0,1301	-1,2056	-0,0021	0,5926	0,1243
227	VyMin	[pp+perm+pp fondazioni] {SEISMIC 1-}	-0,7601	-0,1194	-1,2056	-0,0021	0,5926	0,1243
227	VzMax	[1,3*pp+perm+1,3*pp fondazioni] {1,5*neve} (1,5*0,6*vento)	-1,1177	0,0179	2,3527	-0,0052	-0,0837	-0,0171
227	VzMin	[1,3*pp+perm+pp fondazioni] {1,5*neve} (1,5*0,6*vento)	-1,1177	0,0179	-4,5733	-0,0052	2,0259	0,0169
227	TxMax	[pp+perm+pp fondazioni] {SEISMIC 1+}	-0,7601	0,1301	-1,2056	-0,0008	0,5926	0,1243
227	TxMin	[1,3*pp+perm+pp fondazioni] {1,5*neve} (1,5*0,6*vento)	-1,1177	0,0179	-4,5733	-0,0052	2,0259	0,0169

227	MyMax	[1,3*pp+perm+pp fondazioni] {1,5*neve} (1,5*0,6*vento)	-1,1177	0,0179	-4,5733	-0,0052	2,0259	0,0169
227	MyMin	[1,3*pp+perm+pp fondazioni] {1,5*neve} (1,5*0,6*vento)	-1,1177	0,0179	0,2749	-0,0052	-0,8325	-0,0069
227	MzMax	[pp+perm+pp fondazioni] {SEISMIC 1+}	-0,7601	0,1301	-1,2056	-0,0021	0,5926	0,1243
227	MzMin	[pp+perm+pp fondazioni] {SEISMIC 1-}	-0,7601	0,1301	0,6213	-0,0021	-0,2086	-0,1260
228	NxMax	[pp+perm+pp fondazioni] {SEISMIC 1+}	0,2984	0,1052	-1,1766	-0,0004	0,5839	-0,1000
228	NxMin	[pp+perm+pp fondazioni] {SEISMIC 1-}	-0,1455	0,1052	-1,1766	-0,0004	0,5839	-0,1000
228	VyMax	[pp+perm+pp fondazioni] {SEISMIC 1+}	0,2984	0,1052	-1,1766	-0,0004	0,5839	-0,1000
228	VyMin	[pp+perm+pp fondazioni] {SEISMIC 1-}	0,2984	-0,1032	-1,1766	-0,0004	0,5839	-0,1000
228	VzMax	[1,3*pp+perm+pp fondazioni] {1,5*neve} (1,5*0,6*vento)	0,2900	0,0014	2,3982	-0,0006	-0,0243	-0,0133
228	VzMin	[1,3*pp+perm+1,3*pp fondazioni] {1,5*neve} (1,5*0,6*vento)	0,2900	0,0014	-4,5277	-0,0006	1,9987	-0,0106
228	TxMax	[pp+perm+pp fondazioni] {SEISMIC 1+}	0,2984	0,1052	-1,1766	0,0000	0,5839	-0,1000
228	TxMin	[1,3*pp+perm+pp fondazioni] {1,5*neve} (1,5*0,6*vento)	0,2900	0,0014	-4,5277	-0,0006	1,9987	-0,0106
228	MyMax	[1,3*pp+perm+1,3*pp fondazioni] {1,5*neve} (1,5*0,6*vento)	0,2900	0,0014	-4,5277	-0,0006	1,9987	-0,0106
228	MyMin	[1,3*pp+perm+1,3*pp fondazioni] {1,5*neve} (1,5*0,6*vento)	0,2900	0,0014	0,3204	-0,0006	-0,7991	-0,0125
228	MzMax	[pp+perm+pp fondazioni] {SEISMIC 1+}	0,2984	0,1052	0,6188	-0,0004	-0,1623	0,0985
228	MzMin	[pp+perm+pp fondazioni] {SEISMIC 1-}	0,2984	0,1052	0,6188	-0,0004	-0,1623	-0,1068
229	NxMax	[pp+perm+pp fondazioni] {SEISMIC 1+}	-0,1031	-0,0515	-0,8754	-0,0002	0,5494	-0,0530
229	NxMin	[1,3*pp+perm+1,3*pp fondazioni] {1,5*neve} (1,5*0,6*vento)	-0,7805	-0,0645	-2,9559	0,0000	1,6251	-0,0915
229	VyMax	[pp+perm+pp fondazioni] {SEISMIC 1+}	-0,2704	0,0188	-0,8754	-0,0002	0,5494	-0,0530
229	VyMin	[1,3*pp+perm+pp fondazioni] {1,5*neve} (1,5*0,6*vento)	-0,7805	-0,0645	-2,9559	0,0000	1,6251	-0,0915
229	VzMax	[1,3*pp+perm+pp fondazioni] {1,5*neve} (1,5*0,6*vento)	-0,7805	-0,0645	0,5580	0,0000	-0,6529	0,0311
229	VzMin	[1,3*pp+perm+1,3*pp fondazioni] {1,5*neve} (1,5*0,6*vento)	-0,7805	-0,0645	-2,9559	0,0000	1,6251	-0,0915
229	TxMax	[pp+perm+pp fondazioni] {SEISMIC 1+}	-0,2704	-0,0515	-0,8754	0,0001	0,5494	-0,0530
229	TxMin	[pp+perm+pp fondazioni] {SEISMIC 1-}	-0,2704	-0,0515	-0,8754	-0,0002	0,5494	-0,0530
229	MyMax	[1,3*pp+perm+1,3*pp fondazioni] {1,5*neve} (1,5*0,6*vento)	-0,7805	-0,0645	-2,9559	0,0000	1,6251	-0,0915
229	MyMin	[1,3*pp+perm+1,3*pp fondazioni] {1,5*neve} (1,5*0,6*vento)	-0,7805	-0,0645	-0,1448	0,0000	-0,7314	0,0066
229	MzMax	[pp+perm+pp fondazioni] {SEISMIC 1+}	-0,2704	-0,0515	0,2473	-0,0002	-0,3325	0,0570
229	MzMin	[1,3*pp+perm+pp fondazioni] {1,5*neve} (1,5*0,6*vento)	-0,7805	-0,0645	-2,9559	0,0000	1,6251	-0,0915
231	NxMax	[pp+perm+pp fondazioni] {SEISMIC 1+}	0,7889	-0,1333	-0,1679	-0,0042	-0,2584	-0,1245
231	NxMin	[pp+perm+pp fondazioni] {SEISMIC 1-}	-1,1277	-0,1333	-0,1679	-0,0042	-0,2584	-0,1245
231	VyMax	[pp+perm+pp fondazioni] {SEISMIC 1+}	-1,1277	0,1158	-0,1679	-0,0042	-0,2584	-0,1245
231	VyMin	[pp+perm+pp fondazioni] {SEISMIC 1-}	-1,1277	-0,1333	-0,1679	-0,0042	-0,2584	-0,1245
231	VzMax	[1,3*pp+perm+pp fondazioni] {1,5*neve} (1,5*0,6*vento)	-0,7596	-0,0396	2,6266	-0,0098	1,5630	0,0398
231	VzMin	[1,3*pp+perm+1,3*pp fondazioni] {1,5*neve} (1,5*0,6*vento)	-0,7596	-0,0396	-0,4403	-0,0098	-0,5686	-0,0375
231	TxMax	[pp+perm+pp fondazioni] {SEISMIC 1+}	-1,1277	-0,1333	-0,1679	-0,0010	-0,2584	-0,1245
231	TxMin	[1,3*pp+perm+1,3*pp fondazioni] {1,5*neve} (1,5*0,6*vento)	-0,7596	-0,0396	-0,4403	-0,0098	-0,5686	-0,0375
231	MyMax	[1,3*pp+perm+1,3*pp fondazioni] {1,5*neve} (1,5*0,6*vento)	-0,7596	-0,0396	2,6266	-0,0098	1,5630	0,0398
231	MyMin	[1,3*pp+perm+pp fondazioni] {1,5*neve} (1,5*0,6*vento)	-0,7596	-0,0396	-0,1336	-0,0098	-0,6246	-0,0297
231	MzMax	[pp+perm+pp fondazioni] {SEISMIC 1+}	-1,1277	-0,1333	0,7424	-0,0042	0,4815	0,1360
231	MzMin	[pp+perm+pp fondazioni] {SEISMIC 1-}	-1,1277	-0,1333	-0,1679	-0,0042	-0,2584	-0,1245
232	NxMax	[pp+perm+pp fondazioni] {SEISMIC 1+}	2,4268	0,1342	-0,5288	-0,0024	-0,3115	0,1226
232	NxMin	[pp+perm+pp fondazioni] {SEISMIC 1-}	-2,9567	0,1342	-0,5288	-0,0024	-0,3115	0,1226
232	VyMax	[pp+perm+pp fondazioni] {SEISMIC 1+}	-2,9567	0,1342	-0,5288	-0,0024	-0,3115	0,1226
232	VyMin	[pp+perm+pp fondazioni] {SEISMIC 1-}	-2,9567	-0,1051	-0,5288	-0,0024	-0,3115	0,1226
232	VzMax	[1,3*pp+perm+pp fondazioni] {1,5*neve} (1,5*0,6*vento)	-1,2031	0,0533	4,7493	-0,0030	2,5290	-0,0660
232	VzMin	[1,3*pp+perm+1,3*pp fondazioni] {1,5*neve} (1,5*0,6*vento)	-1,2031	0,0533	-1,8194	-0,0030	-0,3276	0,0379
232	TxMax	[pp+perm+pp fondazioni] {SEISMIC 1+}	-2,9567	0,1342	-0,5288	0,0008	-0,3115	0,1226
232	TxMin	[1,3*pp+perm+1,3*pp fondazioni] {1,5*neve} (1,5*0,6*vento)	-1,2031	0,0533	-1,8194	-0,0030	-0,3276	0,0379

232	MyMax	[1,3*pp+perm+pp fondazioni] {1,5*neve} (1,5*0,6*vento)	-1,2031	0,0533	4,7493	-0,0030	2,5290	-0,0660
232	MyMin	[1,3*pp+perm+pp fondazioni] {1,5*neve} (1,5*0,6*vento)	-1,2031	0,0533	0,1512	-0,0030	-0,8156	0,0067
232	MzMax	[pp+perm+pp fondazioni] {SEISMIC 1+}	-2,9567	0,1342	-0,5288	-0,0024	-0,3115	0,1226
232	MzMin	[pp+perm+pp fondazioni] {SEISMIC 1-}	-2,9567	0,1342	1,2890	-0,0024	0,7483	-0,1397
233	NxMax	[pp+perm+pp fondazioni] {SEISMIC 1+}	0,9694	0,1364	-0,5790	0,0025	-0,2313	-0,1354
233	NxMin	[pp+perm+pp fondazioni] {SEISMIC 1-}	-1,2861	0,1364	-0,5790	0,0025	-0,2313	-0,1354
233	VyMax	[pp+perm+pp fondazioni] {SEISMIC 1+}	-1,2861	0,1364	-0,5790	0,0025	-0,2313	-0,1354
233	VyMin	[pp+perm+pp fondazioni] {SEISMIC 1-}	-1,2861	-0,1359	-0,5790	0,0025	-0,2313	-0,1354
233	VzMax	[1,3*pp+perm+pp fondazioni] {1,5*neve} (1,5*0,6*vento)	-0,7568	-0,0019	4,9664	0,0064	2,5946	-0,0171
233	VzMin	[1,3*pp+perm+1,3*pp fondazioni] {1,5*neve} (1,5*0,6*vento)	-0,7568	-0,0019	-2,1419	0,0064	-0,1593	-0,0208
233	TxMax	[1,3*pp+perm+pp fondazioni] {1,5*neve} (1,5*0,6*vento)	-0,7568	-0,0019	-2,1419	0,0064	-0,1593	-0,0208
233	TxMin	[pp+perm+pp fondazioni] {SEISMIC 1-}	-1,2861	0,1364	-0,5790	0,0008	-0,2313	-0,1354
233	MyMax	[1,3*pp+perm+pp fondazioni] {1,5*neve} (1,5*0,6*vento)	-0,7568	-0,0019	4,9664	0,0064	2,5946	-0,0171
233	MyMin	[1,3*pp+perm+pp fondazioni] {1,5*neve} (1,5*0,6*vento)	-0,7568	-0,0019	-0,0094	0,0064	-0,7886	-0,0197
233	MzMax	[pp+perm+pp fondazioni] {SEISMIC 1+}	-1,2861	0,1364	1,3107	0,0025	0,7557	0,1299
233	MzMin	[pp+perm+pp fondazioni] {SEISMIC 1-}	-1,2861	0,1364	1,3107	0,0025	0,7557	-0,1403
234	NxMax	[1,3*pp+perm+pp fondazioni] {1,5*neve} (1,5*0,6*vento)	0,2122	-0,0117	-2,2648	-0,0004	-0,0418	-0,0230
234	NxMin	[pp+perm+pp fondazioni] {SEISMIC 1-}	0,0203	-0,1328	-0,5928	-0,0005	-0,1715	-0,1303
234	VyMax	[pp+perm+pp fondazioni] {SEISMIC 1+}	0,1015	0,1283	-0,5928	-0,0005	-0,1715	-0,1303
234	VyMin	[pp+perm+pp fondazioni] {SEISMIC 1-}	0,1015	-0,1328	-0,5928	-0,0005	-0,1715	-0,1303
234	VzMax	[1,3*pp+perm+1,3*pp fondazioni] {1,5*neve} (1,5*0,6*vento)	0,2122	-0,0117	4,8434	-0,0004	2,4724	-0,0002
234	VzMin	[1,3*pp+perm+pp fondazioni] {1,5*neve} (1,5*0,6*vento)	0,2122	-0,0117	-2,2648	-0,0004	-0,0418	-0,0230
234	TxMax	[pp+perm+pp fondazioni] {SEISMIC 1+}	0,1015	-0,1328	-0,5928	0,0003	-0,1715	-0,1303
234	TxMin	[pp+perm+pp fondazioni] {SEISMIC 1-}	0,1015	-0,1328	-0,5928	-0,0005	-0,1715	-0,1303
234	MyMax	[1,3*pp+perm+1,3*pp fondazioni] {1,5*neve} (1,5*0,6*vento)	0,2122	-0,0117	4,8434	-0,0004	2,4724	-0,0002
234	MyMin	[1,3*pp+perm+pp fondazioni] {1,5*neve} (1,5*0,6*vento)	0,2122	-0,0117	-0,1323	-0,0004	-0,7430	-0,0162
234	MzMax	[pp+perm+pp fondazioni] {SEISMIC 1+}	0,1015	-0,1328	1,2623	-0,0005	0,7210	0,1294
234	MzMin	[pp+perm+pp fondazioni] {SEISMIC 1-}	0,1015	-0,1328	1,2623	-0,0005	0,7210	-0,1313
235	NxMax	[pp+perm+pp fondazioni] {SEISMIC 1+}	-0,1410	0,1199	-0,2313	-0,0005	-0,3352	0,1140
235	NxMin	[1,3*pp+perm+1,3*pp fondazioni] {1,5*neve} (1,5*0,6*vento)	-0,8227	0,0179	-0,4839	-0,0015	-0,6611	0,0156
235	VyMax	[pp+perm+pp fondazioni] {SEISMIC 1+}	-0,2552	0,1199	-0,2313	-0,0005	-0,3352	0,1140
235	VyMin	[pp+perm+pp fondazioni] {SEISMIC 1-}	-0,2552	-0,1091	-0,2313	-0,0005	-0,3352	0,1140
235	VzMax	[1,3*pp+perm+1,3*pp fondazioni] {1,5*neve} (1,5*0,6*vento)	-0,8227	0,0179	3,1225	-0,0015	1,9115	-0,0193
235	VzMin	[1,3*pp+perm+pp fondazioni] {1,5*neve} (1,5*0,6*vento)	-0,8227	0,0179	-0,4839	-0,0015	-0,6611	0,0156
235	TxMax	[pp+perm+pp fondazioni] {SEISMIC 1+}	-0,2552	0,1199	-0,2313	-0,0002	-0,3352	0,1140
235	TxMin	[1,3*pp+perm+1,3*pp fondazioni] {1,5*neve} (1,5*0,6*vento)	-0,8227	0,0179	-0,4839	-0,0015	-0,6611	0,0156
235	MyMax	[1,3*pp+perm+1,3*pp fondazioni] {1,5*neve} (1,5*0,6*vento)	-0,8227	0,0179	3,1225	-0,0015	1,9115	-0,0193
235	MyMin	[1,3*pp+perm+1,3*pp fondazioni] {1,5*neve} (1,5*0,6*vento)	-0,8227	0,0179	-0,1233	-0,0015	-0,7203	0,0121
235	MzMax	[pp+perm+pp fondazioni] {SEISMIC 1+}	-0,2552	0,1199	-0,2313	-0,0005	-0,3352	0,1140
235	MzMin	[pp+perm+pp fondazioni] {SEISMIC 1-}	-0,2552	0,1199	0,9170	-0,0005	0,6294	-0,1204
237	NxMax	[pp+perm+pp fondazioni] {SEISMIC 1+}	0,9003	0,1184	-0,7065	0,0107	0,4504	0,1159
237	NxMin	[pp+perm+pp fondazioni] {SEISMIC 1-}	-1,2762	0,1184	-0,7065	0,0107	0,4504	0,1159
237	VyMax	[pp+perm+pp fondazioni] {SEISMIC 1+}	-1,2762	0,1184	-0,7065	0,0107	0,4504	0,1159
237	VyMin	[pp+perm+pp fondazioni] {SEISMIC 1-}	-1,2762	-0,1032	-0,7065	0,0107	0,4504	0,1159
237	VzMax	[1,3*pp+perm+pp fondazioni] {1,5*neve} (1,5*0,6*vento)	-0,8080	0,0391	0,4266	0,0358	-0,5663	-0,0353
237	VzMin	[1,3*pp+perm+1,3*pp fondazioni] {1,5*neve} (1,5*0,6*vento)	-0,8080	0,0391	-2,6009	0,0358	1,5264	0,0399
237	TxMax	[1,3*pp+perm+1,3*pp fondazioni] {1,5*neve} (1,5*0,6*vento)	-0,8080	0,0391	-2,6009	0,0358	1,5264	0,0399
237	TxMin	[pp+perm+pp fondazioni] {SEISMIC 1-}	-1,2762	0,1184	-0,7065	0,0072	0,4504	0,1159

237	MyMax	[1,3*pp+perm+1,3*pp fondazioni] {1,5*neve} (1,5*0,6*vento)	-0,8080	0,0391	-2,6009	0,0358	1,5264	0,0399
237	MyMin	[1,3*pp+perm+1,3*pp fondazioni] {1,5*neve} (1,5*0,6*vento)	-0,8080	0,0391	0,1239	0,0358	-0,6193	-0,0277
237	MzMax	[pp+perm+pp fondazioni] {SEISMIC 1+}	-1,2762	0,1184	-0,7065	0,0107	0,4504	0,1159
237	MzMin	[pp+perm+pp fondazioni] {SEISMIC 1-}	-1,2762	0,1184	0,1222	0,0107	-0,2237	-0,1132
238	NxMax	[pp+perm+pp fondazioni] {SEISMIC 1+}	1,7277	-0,1320	-1,2131	0,0084	0,6988	-0,1327
238	NxMin	[pp+perm+pp fondazioni] {SEISMIC 1-}	-2,1790	-0,1320	-1,2131	0,0084	0,6988	-0,1327
238	VyMax	[pp+perm+pp fondazioni] {SEISMIC 1+}	-2,1790	0,0864	-1,2131	0,0084	0,6988	-0,1327
238	VyMin	[pp+perm+pp fondazioni] {SEISMIC 1-}	-2,1790	-0,1320	-1,2131	0,0084	0,6988	-0,1327
238	VzMax	[1,3*pp+perm+pp fondazioni] {1,5*neve} (1,5*0,6*vento)	-0,9617	-0,0876	1,6829	0,0264	-0,4322	0,0715
238	VzMin	[1,3*pp+perm+1,3*pp fondazioni] {1,5*neve} (1,5*0,6*vento)	-0,9617	-0,0876	-4,8017	0,0264	2,5696	-0,0971
238	TxMax	[1,3*pp+perm+1,3*pp fondazioni] {1,5*neve} (1,5*0,6*vento)	-0,9617	-0,0876	-4,8017	0,0264	2,5696	-0,0971
238	TxMin	[pp+perm+pp fondazioni] {SEISMIC 1-}	-2,1790	-0,1320	-1,2131	0,0046	0,6988	-0,1327
238	MyMax	[1,3*pp+perm+1,3*pp fondazioni] {1,5*neve} (1,5*0,6*vento)	-0,9617	-0,0876	-4,8017	0,0264	2,5696	-0,0971
238	MyMin	[1,3*pp+perm+1,3*pp fondazioni] {1,5*neve} (1,5*0,6*vento)	-0,9617	-0,0876	-0,2625	0,0264	-0,8423	0,0209
238	MzMax	[pp+perm+pp fondazioni] {SEISMIC 1+}	-2,1790	-0,1320	0,3940	0,0084	-0,2216	0,1225
238	MzMin	[pp+perm+pp fondazioni] {SEISMIC 1-}	-2,1790	-0,1320	-1,2131	0,0084	0,6988	-0,1327
239	NxMax	[pp+perm+pp fondazioni] {SEISMIC 1+}	0,5857	-0,1364	-1,2784	-0,0016	0,7441	-0,1397
239	NxMin	[pp+perm+pp fondazioni] {SEISMIC 1-}	-0,9974	-0,1364	-1,2784	-0,0016	0,7441	-0,1397
239	VyMax	[pp+perm+pp fondazioni] {SEISMIC 1+}	-0,9974	0,1272	-1,2784	-0,0016	0,7441	-0,1397
239	VyMin	[pp+perm+pp fondazioni] {SEISMIC 1-}	-0,9974	-0,1364	-1,2784	-0,0016	0,7441	-0,1397
239	VzMax	[1,3*pp+perm+pp fondazioni] {1,5*neve} (1,5*0,6*vento)	-0,9015	-0,0213	1,9945	-0,0024	-0,2471	0,0017
239	VzMin	[1,3*pp+perm+1,3*pp fondazioni] {1,5*neve} (1,5*0,6*vento)	-0,9015	-0,0213	-5,0227	-0,0024	2,6675	-0,0393
239	TxMax	[pp+perm+pp fondazioni] {SEISMIC 1+}	-0,9974	-0,1364	-1,2784	0,0002	0,7441	-0,1397
239	TxMin	[1,3*pp+perm+1,3*pp fondazioni] {1,5*neve} (1,5*0,6*vento)	-0,9015	-0,0213	-5,0227	-0,0024	2,6675	-0,0393
239	MyMax	[1,3*pp+perm+1,3*pp fondazioni] {1,5*neve} (1,5*0,6*vento)	-0,9015	-0,0213	-5,0227	-0,0024	2,6675	-0,0393
239	MyMin	[1,3*pp+perm+1,3*pp fondazioni] {1,5*neve} (1,5*0,6*vento)	-0,9015	-0,0213	-0,1107	-0,0024	-0,7911	-0,0106
239	MzMax	[pp+perm+pp fondazioni] {SEISMIC 1+}	-0,9974	-0,1364	0,4918	-0,0016	-0,1881	0,1240
239	MzMin	[pp+perm+pp fondazioni] {SEISMIC 1-}	-0,9974	-0,1364	-1,2784	-0,0016	0,7441	-0,1397
240	NxMax	[1,3*pp+perm+pp fondazioni] {1,5*neve} (1,5*0,6*vento)	0,5144	0,0173	-4,8291	-0,0056	2,4943	-0,0025
240	NxMin	[pp+perm+pp fondazioni] {SEISMIC 1-}	0,0245	0,1188	-1,2492	-0,0016	0,7210	-0,1130
240	VyMax	[pp+perm+pp fondazioni] {SEISMIC 1+}	0,2484	0,1188	-1,2492	-0,0016	0,7210	-0,1130
240	VyMin	[pp+perm+pp fondazioni] {SEISMIC 1-}	0,2484	-0,1091	-1,2492	-0,0016	0,7210	-0,1130
240	VzMax	[1,3*pp+perm+pp fondazioni] {1,5*neve} (1,5*0,6*vento)	0,5144	0,0173	2,1881	-0,0056	-0,0476	-0,0358
240	VzMin	[1,3*pp+perm+1,3*pp fondazioni] {1,5*neve} (1,5*0,6*vento)	0,5144	0,0173	-4,8291	-0,0056	2,4943	-0,0025
240	TxMax	[pp+perm+pp fondazioni] {SEISMIC 1+}	0,2484	0,1188	-1,2492	-0,0012	0,7210	-0,1130
240	TxMin	[1,3*pp+perm+1,3*pp fondazioni] {1,5*neve} (1,5*0,6*vento)	0,5144	0,0173	-4,8291	-0,0056	2,4943	-0,0025
240	MyMax	[1,3*pp+perm+1,3*pp fondazioni] {1,5*neve} (1,5*0,6*vento)	0,5144	0,0173	-4,8291	-0,0056	2,4943	-0,0025
240	MyMin	[1,3*pp+perm+1,3*pp fondazioni] {1,5*neve} (1,5*0,6*vento)	0,5144	0,0173	0,0829	-0,0056	-0,7034	-0,0258
240	MzMax	[pp+perm+pp fondazioni] {SEISMIC 1+}	0,2484	0,1188	-1,2492	-0,0016	0,7210	0,1115
240	MzMin	[pp+perm+pp fondazioni] {SEISMIC 1-}	0,2484	0,1188	0,5633	-0,0016	-0,1547	-0,1184
241	NxMax	[pp+perm+pp fondazioni] {SEISMIC 1+}	-0,1973	-0,0961	-0,9363	-0,0012	0,6497	-0,0962
241	NxMin	[1,3*pp+perm+1,3*pp fondazioni] {1,5*neve} (1,5*0,6*vento)	-1,1486	-0,0356	-3,2069	-0,0041	1,9944	-0,0378
241	VyMax	[pp+perm+pp fondazioni] {SEISMIC 1+}	-0,3647	0,0776	-0,9363	-0,0012	0,6497	-0,0962
241	VyMin	[pp+perm+pp fondazioni] {SEISMIC 1-}	-0,3647	-0,0961	-0,9363	-0,0012	0,6497	-0,0962
241	VzMax	[1,3*pp+perm+pp fondazioni] {1,5*neve} (1,5*0,6*vento)	-1,1486	-0,0356	0,3532	-0,0041	-0,7522	0,0307
241	VzMin	[1,3*pp+perm+1,3*pp fondazioni] {1,5*neve} (1,5*0,6*vento)	-1,1486	-0,0356	-3,2069	-0,0041	1,9944	-0,0378
241	TxMax	[pp+perm+pp fondazioni] {SEISMIC 1+}	-0,3647	-0,0961	-0,9363	-0,0008	0,6497	-0,0962
241	TxMin	[1,3*pp+perm+1,3*pp fondazioni] {1,5*neve} (1,5*0,6*vento)	-1,1486	-0,0356	-3,2069	-0,0041	1,9944	-0,0378

241	MyMax	[1,3*pp+perm+1,3*pp fondazioni] {1,5*neve} (1,5*0,6*vento)	-1,1486	-0,0356	-3,2069	-0,0041	1,9944	-0,0378
241	MyMin	[1,3*pp+perm+1,3*pp fondazioni] {1,5*neve} (1,5*0,6*vento)	-1,1486	-0,0356	-0,0028	-0,0041	-0,7859	0,0238
241	MzMax	[pp+perm+pp fondazioni] {SEISMIC 1+}	-0,3647	-0,0961	0,1956	-0,0012	-0,3501	0,0926
241	MzMin	[pp+perm+pp fondazioni] {SEISMIC 1-}	-0,3647	-0,0961	-0,9363	-0,0012	0,6497	-0,0962
243	NxMax	[pp+perm+pp fondazioni] {SEISMIC 1+}	-0,0539	-0,1667	-0,2512	-0,0019	-0,1620	-0,1460
243	NxMin	[1,3*pp+perm+1,3*pp fondazioni] {1,5*neve} (1,5*0,6*vento)	-2,6923	-0,1051	-0,9357	-0,0064	-0,3283	-0,1010
243	VyMax	[pp+perm+pp fondazioni] {SEISMIC 1+}	-1,3064	0,1160	-0,2512	-0,0019	-0,1620	-0,1460
243	VyMin	[pp+perm+pp fondazioni] {SEISMIC 1-}	-1,3064	-0,1667	-0,2512	-0,0019	-0,1620	-0,1460
243	VzMax	[1,3*pp+perm+1,3*pp fondazioni] {1,5*neve} (1,5*0,6*vento)	-2,6923	-0,1051	2,0918	-0,0064	0,7844	0,1013
243	VzMin	[1,3*pp+perm+pp fondazioni] {1,5*neve} (1,5*0,6*vento)	-2,6923	-0,1051	-0,9357	-0,0064	-0,3283	-0,1010
243	TxMax	[pp+perm+pp fondazioni] {SEISMIC 1+}	-1,3064	-0,1667	-0,2512	-0,0001	-0,1620	-0,1460
243	TxMin	[1,3*pp+perm+pp fondazioni] {1,5*neve} (1,5*0,6*vento)	-2,6923	-0,1051	-0,9357	-0,0064	-0,3283	-0,1010
243	MyMax	[1,3*pp+perm+1,3*pp fondazioni] {1,5*neve} (1,5*0,6*vento)	-2,6923	-0,1051	2,0918	-0,0064	0,7844	0,1013
243	MyMin	[1,3*pp+perm+1,3*pp fondazioni] {1,5*neve} (1,5*0,6*vento)	-2,6923	-0,1051	-0,0275	-0,0064	-0,6064	-0,0403
243	MzMax	[pp+perm+pp fondazioni] {SEISMIC 1+}	-1,3064	-0,1667	0,5721	-0,0019	0,2490	0,1751
243	MzMin	[pp+perm+pp fondazioni] {SEISMIC 1-}	-1,3064	-0,1667	-0,2512	-0,0019	-0,1620	-0,1460
244	NxMax	[pp+perm+pp fondazioni] {SEISMIC 1+}	0,2829	-0,1568	-0,6229	-0,0016	-0,0993	-0,1231
244	NxMin	[1,3*pp+perm+1,3*pp fondazioni] {1,5*neve} (1,5*0,6*vento)	-3,4602	-0,0661	-2,6352	-0,0055	-0,0026	0,0026
244	VyMax	[pp+perm+pp fondazioni] {SEISMIC 1+}	-2,0168	0,1222	-0,6229	-0,0016	-0,0993	-0,1231
244	VyMin	[pp+perm+pp fondazioni] {SEISMIC 1-}	-2,0168	-0,1568	-0,6229	-0,0016	-0,0993	-0,1231
244	VzMax	[1,3*pp+perm+1,3*pp fondazioni] {1,5*neve} (1,5*0,6*vento)	-3,4602	-0,0661	3,8493	-0,0055	1,1660	0,1299
244	VzMin	[1,3*pp+perm+pp fondazioni] {1,5*neve} (1,5*0,6*vento)	-3,4602	-0,0661	-2,6352	-0,0055	-0,0026	0,0026
244	TxMax	[pp+perm+pp fondazioni] {SEISMIC 1+}	-2,0168	-0,1568	-0,6229	0,0001	-0,0993	-0,1231
244	TxMin	[1,3*pp+perm+pp fondazioni] {1,5*neve} (1,5*0,6*vento)	-3,4602	-0,0661	-2,6352	-0,0055	-0,0026	0,0026
244	MyMax	[1,3*pp+perm+1,3*pp fondazioni] {1,5*neve} (1,5*0,6*vento)	-3,4602	-0,0661	3,8493	-0,0055	1,1660	0,1299
244	MyMin	[1,3*pp+perm+1,3*pp fondazioni] {1,5*neve} (1,5*0,6*vento)	-3,4602	-0,0661	-0,0414	-0,0055	-1,0331	0,0535
244	MzMax	[pp+perm+pp fondazioni] {SEISMIC 1+}	-2,0168	-0,1568	0,9623	-0,0016	0,3367	0,1788
244	MzMin	[pp+perm+pp fondazioni] {SEISMIC 1-}	-2,0168	-0,1568	-0,6229	-0,0016	-0,0993	-0,1231
245	NxMax	[pp+perm+pp fondazioni] {SEISMIC 1+}	-0,0004	-0,2030	-0,7636	-0,0013	-0,1103	-0,1519
245	NxMin	[1,3*pp+perm+1,3*pp fondazioni] {1,5*neve} (1,5*0,6*vento)	-1,4219	-0,1460	-3,0859	-0,0040	-0,0040	-0,0129
245	VyMax	[pp+perm+pp fondazioni] {SEISMIC 1+}	-0,6902	0,1273	-0,7636	-0,0013	-0,1103	-0,1519
245	VyMin	[pp+perm+pp fondazioni] {SEISMIC 1-}	-0,6902	-0,2030	-0,7636	-0,0013	-0,1103	-0,1519
245	VzMax	[1,3*pp+perm+1,3*pp fondazioni] {1,5*neve} (1,5*0,6*vento)	-1,4219	-0,1460	3,9312	-0,0040	0,8095	0,2681
245	VzMin	[1,3*pp+perm+pp fondazioni] {1,5*neve} (1,5*0,6*vento)	-1,4219	-0,1460	-3,0859	-0,0040	-0,0040	-0,0129
245	TxMax	[pp+perm+pp fondazioni] {SEISMIC 1+}	-0,6902	-0,2030	-0,7636	-0,0002	-0,1103	-0,1519
245	TxMin	[1,3*pp+perm+pp fondazioni] {1,5*neve} (1,5*0,6*vento)	-1,4219	-0,1460	-3,0859	-0,0040	-0,0040	-0,0129
245	MyMax	[1,3*pp+perm+1,3*pp fondazioni] {1,5*neve} (1,5*0,6*vento)	-1,4219	-0,1460	3,9312	-0,0040	0,8095	0,2681
245	MyMin	[1,3*pp+perm+1,3*pp fondazioni] {1,5*neve} (1,5*0,6*vento)	-1,4219	-0,1460	-0,2791	-0,0040	-1,2996	0,0995
245	MzMax	[1,3*pp+perm+1,3*pp fondazioni] {1,5*neve} (1,5*0,6*vento)	-1,4219	-0,1460	3,9312	-0,0040	0,8095	0,2681
245	MzMin	[pp+perm+pp fondazioni] {SEISMIC 1-}	-0,6902	-0,2030	-0,7636	-0,0013	-0,1103	-0,1519
246	NxMax	[1,3*pp+perm+pp fondazioni] {1,5*neve} (1,5*0,6*vento)	1,1828	-0,1517	-3,2361	0,0000	0,0601	-0,0274
246	NxMin	[pp+perm+pp fondazioni] {SEISMIC 1-}	0,0579	-0,1713	-0,8542	-0,0008	-0,1326	-0,1282
246	VyMax	[pp+perm+pp fondazioni] {SEISMIC 1+}	0,5584	0,0934	-0,8542	-0,0008	-0,1326	-0,1282
246	VyMin	[pp+perm+pp fondazioni] {SEISMIC 1-}	0,5584	-0,1713	-0,8542	-0,0008	-0,1326	-0,1282
246	VzMax	[1,3*pp+perm+pp fondazioni] {1,5*neve} (1,5*0,6*vento)	1,1828	-0,1517	3,7810	0,0000	0,5846	0,2646
246	VzMin	[1,3*pp+perm+1,3*pp fondazioni] {1,5*neve} (1,5*0,6*vento)	1,1828	-0,1517	-3,2361	0,0000	0,0601	-0,0274
246	TxMax	[pp+perm+pp fondazioni] {SEISMIC 1+}	0,5584	-0,1713	-0,8542	0,0003	-0,1326	-0,1282
246	TxMin	[pp+perm+pp fondazioni] {SEISMIC 1-}	0,5584	-0,1713	-0,8542	-0,0008	-0,1326	-0,1282

246	MyMax	[1,3*pp+perm+pp fondazioni] {1,5*neve} (1,5*0,6*vento)	1,1828	-0,1517	3,7810	0,0000	0,5846	0,2646
246	MyMin	[1,3*pp+perm+1,3*pp fondazioni] {1,5*neve} (1,5*0,6*vento)	1,1828	-0,1517	0,2725	0,0000	-1,3661	0,1186
246	MzMax	[1,3*pp+perm+pp fondazioni] {1,5*neve} (1,5*0,6*vento)	1,1828	-0,1517	3,7810	0,0000	0,5846	0,2646
246	MzMin	[pp+perm+pp fondazioni] {SEISMIC 1-}	0,5584	-0,1713	-0,8542	-0,0008	-0,1326	-0,1282
247	NxMax	[pp+perm+pp fondazioni] {SEISMIC 1+}	-0,3508	-0,0606	-0,4410	-0,0006	-0,3305	0,0683
247	NxMin	[1,3*pp+perm+1,3*pp fondazioni] {1,5*neve} (1,5*0,6*vento)	-1,6816	-0,0157	-1,1198	-0,0004	-0,6055	0,0126
247	VyMax	[pp+perm+pp fondazioni] {SEISMIC 1+}	-0,4924	0,0502	-0,4410	-0,0006	-0,3305	0,0683
247	VyMin	[pp+perm+pp fondazioni] {SEISMIC 1-}	-0,4924	-0,0606	-0,4410	-0,0006	-0,3305	0,0683
247	VzMax	[1,3*pp+perm+pp fondazioni] {1,5*neve} (1,5*0,6*vento)	-1,6816	-0,0157	2,4403	-0,0004	0,6655	0,0429
247	VzMin	[1,3*pp+perm+1,3*pp fondazioni] {1,5*neve} (1,5*0,6*vento)	-1,6816	-0,0157	-1,1198	-0,0004	-0,6055	0,0126
247	TxMax	[pp+perm+pp fondazioni] {SEISMIC 1+}	-0,4924	-0,0606	-0,4410	0,0000	-0,3305	0,0683
247	TxMin	[pp+perm+pp fondazioni] {SEISMIC 1-}	-0,4924	-0,0606	-0,4410	-0,0006	-0,3305	0,0683
247	MyMax	[1,3*pp+perm+pp fondazioni] {1,5*neve} (1,5*0,6*vento)	-1,6816	-0,0157	2,4403	-0,0004	0,6655	0,0429
247	MyMin	[1,3*pp+perm+1,3*pp fondazioni] {1,5*neve} (1,5*0,6*vento)	-1,6816	-0,0157	-0,0518	-0,0004	-0,9438	0,0217
247	MzMax	[pp+perm+pp fondazioni] {SEISMIC 1+}	-0,4924	-0,0606	-0,4410	-0,0006	-0,3305	0,0683
247	MzMin	[pp+perm+pp fondazioni] {SEISMIC 1-}	-0,4924	-0,0606	-0,4410	-0,0006	-0,3305	-0,0644
248	NxMax	[1,3*pp+perm+pp fondazioni] {1,5*neve} (1,5*0,6*vento)	1,2537	0,2478	-3,0709	0,1990	1,3074	0,3560
248	NxMin	[pp+perm+pp fondazioni] {SEISMIC 1-}	-0,1829	-0,4961	-0,9216	0,1603	0,2750	0,4988
248	VyMax	[pp+perm+1,3*pp fondazioni] {1,5*neve} (1,5*0,6*vento)	1,1579	0,2877	-2,8398	0,1842	1,2059	0,3440
248	VyMin	[pp+perm+pp fondazioni] {SEISMIC 1-}	0,8143	-0,4961	-0,9425	0,1603	0,4191	0,5036
248	VzMax	[pp+perm+pp fondazioni] {SEISMIC 1+}	0,8066	-0,4961	-0,5774	0,1603	0,2750	0,4988
248	VzMin	[1,3*pp+perm+1,3*pp fondazioni] {1,5*neve} (1,5*0,6*vento)	1,2537	0,2478	-3,0709	0,1990	1,3074	0,3560
248	TxMax	[1,3*pp+perm+1,3*pp fondazioni] {1,5*neve} (1,5*0,6*vento)	1,2537	0,2478	-3,0709	0,1990	1,3074	0,3560
248	TxMin	[pp+perm+pp fondazioni] {SEISMIC 1-}	0,8143	-0,4961	-0,9425	-0,0618	0,4191	0,5036
248	MyMax	[1,3*pp+perm+1,3*pp fondazioni] {1,5*neve} (1,5*0,6*vento)	1,2537	0,2478	-3,0709	0,1990	1,3074	0,3560
248	MyMin	[pp+perm+pp fondazioni] {SEISMIC 1-}	0,8066	-0,4961	-0,9216	0,1603	0,1451	0,4988
248	MzMax	[pp+perm+pp fondazioni] {SEISMIC 1+}	0,8143	-0,4961	-0,9425	0,1603	0,4191	0,5036
248	MzMin	[pp+perm+pp fondazioni] {SEISMIC 1-}	0,8143	-0,4961	-0,9425	0,1603	0,4191	-0,4239
249	NxMax	[1,3*pp+perm+pp fondazioni] {1,5*neve} (1,5*0,6*vento)	0,4521	0,1659	-1,0094	0,0067	0,7911	0,1996
249	NxMin	[pp+perm+pp fondazioni] {SEISMIC 1-}	-0,1034	0,2510	-0,2506	-0,0277	0,0289	0,1551
249	VyMax	[pp+perm+pp fondazioni] {SEISMIC 1+}	0,3327	0,2510	-0,3535	-0,0277	0,2558	0,3252
249	VyMin	[pp+perm+pp fondazioni] {SEISMIC 1-}	0,3327	-0,2169	-0,3535	-0,0277	0,2558	0,3252
249	VzMax	[pp+perm+pp fondazioni] {SEISMIC 1+}	0,2948	0,2510	-0,1458	-0,0277	0,0289	0,1551
249	VzMin	[1,3*pp+perm+1,3*pp fondazioni] {1,5*neve} (1,5*0,6*vento)	0,4521	0,1659	-1,0094	0,0067	0,7911	0,1996
249	TxMax	[pp+perm+pp fondazioni] {SEISMIC 1+}	0,3327	0,2510	-0,3535	0,0238	0,2558	0,3252
249	TxMin	[pp+perm+pp fondazioni] {SEISMIC 1-}	0,3327	0,2510	-0,3535	-0,0277	0,2558	0,3252
249	MyMax	[1,3*pp+perm+1,3*pp fondazioni] {1,5*neve} (1,5*0,6*vento)	0,4521	0,1659	-1,0094	0,0067	0,7911	0,1996
249	MyMin	[pp+perm+pp fondazioni] {SEISMIC 1-}	0,2948	0,2510	-0,2506	-0,0277	-0,0242	0,1551
249	MzMax	[pp+perm+pp fondazioni] {SEISMIC 1+}	0,3327	0,2510	-0,3535	-0,0277	0,2558	0,3252
249	MzMin	[pp+perm+pp fondazioni] {SEISMIC 1-}	0,3327	0,2510	-0,3535	-0,0277	0,2558	-0,2646
252	NxMax	[pp+perm+pp fondazioni] {SEISMIC 1+}	-2,2587	-1,3824	0,6889	-0,0885	-0,4696	-0,0852
252	NxMin	[1,3*pp+perm+1,3*pp fondazioni] {1,5*neve} (1,5*0,6*vento)	-13,4160	-0,8929	2,7045	-0,2748	1,2155	0,6273
252	VyMax	[pp+perm+pp fondazioni] {SEISMIC 1+}	-5,2865	1,0651	0,6889	-0,0885	-0,4696	-0,0852
252	VyMin	[pp+perm+pp fondazioni] {SEISMIC 1-}	-5,2865	-1,3824	0,6889	-0,0885	-0,4696	-0,0852
252	VzMax	[1,3*pp+perm+pp fondazioni] {1,5*neve} (1,5*0,6*vento)	-13,4160	-0,8929	2,7045	-0,2748	1,2155	0,6273
252	VzMin	[pp+perm+pp fondazioni] {SEISMIC 1-}	-5,2865	-1,3824	0,3996	-0,0885	-0,4696	-0,0852
252	TxMax	[pp+perm+pp fondazioni] {SEISMIC 1+}	-5,2865	-1,3824	0,6889	-0,0387	-0,4696	-0,0852
252	TxMin	[1,3*pp+perm+pp fondazioni] {1,5*neve} (1,5*0,6*vento)	-13,3679	-0,8929	2,5738	-0,2748	-0,9249	-0,0969

252	MyMax	[1,3*pp+perm+pp fondazioni] {1,5*neve} (1,5*0,6*vento)	-13,4160	-0,8929	2,7045	-0,2748	1,2155	0,6273
252	MyMin	[1,3*pp+perm+pp fondazioni] {1,5*neve} (1,5*0,6*vento)	-13,3679	-0,8929	2,5738	-0,2748	-0,9249	-0,0969
252	MzMax	[pp+perm+pp fondazioni] {SEISMIC 1+}	-5,3235	-1,3824	0,7895	-0,0885	0,2394	1,0716
252	MzMin	[pp+perm+pp fondazioni] {SEISMIC 1-}	-5,3235	-1,3824	0,7895	-0,0885	0,2394	-0,8353
255	NxMax	[pp+perm+pp fondazioni] {SEISMIC 1+}	-2,3412	-0,9996	-0,1554	-0,0591	-0,4364	-0,8008
255	NxMin	[1,3*pp+perm+1,3*pp fondazioni] {1,5*neve} (1,5*0,6*vento)	-12,4951	-0,4373	0,2643	-0,1204	-0,9333	0,0326
255	VyMax	[pp+perm+pp fondazioni] {SEISMIC 1+}	-4,7224	0,7807	-0,1554	-0,0591	-0,4364	-0,8008
255	VyMin	[pp+perm+pp fondazioni] {SEISMIC 1-}	-4,7224	-0,9996	-0,1554	-0,0591	-0,4364	-0,8008
255	VzMax	[1,3*pp+perm+pp fondazioni] {1,5*neve} (1,5*0,6*vento)	-12,4951	-0,4373	0,2643	-0,1204	-0,9333	0,0326
255	VzMin	[pp+perm+pp fondazioni] {SEISMIC 1-}	-4,7224	-0,9996	-0,1554	-0,0591	-0,4364	-0,8008
255	TxMax	[pp+perm+pp fondazioni] {SEISMIC 1+}	-4,7224	-0,9996	-0,1554	0,0026	-0,4364	-0,8008
255	TxMin	[1,3*pp+perm+pp fondazioni] {1,5*neve} (1,5*0,6*vento)	-12,4370	-0,4373	0,1064	-0,1204	-1,1150	-0,3959
255	MyMax	[pp+perm+pp fondazioni] {SEISMIC 1+}	-4,7224	-0,9996	-0,1554	-0,0591	-0,1650	-0,8008
255	MyMin	[1,3*pp+perm+pp fondazioni] {1,5*neve} (1,5*0,6*vento)	-12,4370	-0,4373	0,1064	-0,1204	-1,1150	-0,3959
255	MzMax	[pp+perm+pp fondazioni] {SEISMIC 1+}	-4,7224	-0,9996	-0,1554	-0,0591	-0,4364	0,6259
255	MzMin	[pp+perm+pp fondazioni] {SEISMIC 1-}	-4,7224	-0,9996	-0,1554	-0,0591	-0,4364	-0,8008
258	NxMax	[pp+perm+pp fondazioni] {SEISMIC 1+}	-2,4421	0,1560	-1,5313	0,3357	0,5972	-0,9292
258	NxMin	[1,3*pp+perm+1,3*pp fondazioni] {1,5*neve} (1,5*0,6*vento)	-11,0794	0,0631	-4,1547	0,3425	1,2041	-0,9788
258	VyMax	[pp+perm+pp fondazioni] {SEISMIC 1+}	-3,9288	0,1560	-1,5313	0,3357	0,5972	-0,9292
258	VyMin	[pp+perm+pp fondazioni] {SEISMIC 1-}	-3,9288	-0,1226	-1,5313	0,3357	0,5972	-0,9292
258	VzMax	[pp+perm+pp fondazioni] {SEISMIC 1+}	-3,9343	0,1560	-0,8475	0,3357	0,4265	-0,9341
258	VzMin	[1,3*pp+perm+1,3*pp fondazioni] {1,5*neve} (1,5*0,6*vento)	-11,0722	0,0631	-4,1744	0,3425	1,7133	-0,9711
258	TxMax	[1,3*pp+perm+pp fondazioni] {1,5*neve} (1,5*0,6*vento)	-11,0722	0,0631	-4,1744	0,3425	1,7133	-0,9711
258	TxMin	[pp+perm+pp fondazioni] {SEISMIC 1-}	-3,9288	0,1560	-1,5313	-0,1721	0,5972	-0,9292
258	MyMax	[1,3*pp+perm+1,3*pp fondazioni] {1,5*neve} (1,5*0,6*vento)	-11,0722	0,0631	-4,1744	0,3425	1,7133	-0,9711
258	MyMin	[pp+perm+pp fondazioni] {SEISMIC 1-}	-3,9343	0,1560	-1,5162	0,3357	0,3544	-0,9341
258	MzMax	[pp+perm+pp fondazioni] {SEISMIC 1+}	-3,9343	0,1560	-1,5162	0,3357	0,4265	0,4568
258	MzMin	[1,3*pp+perm+1,3*pp fondazioni] {1,5*neve} (1,5*0,6*vento)	-11,0794	0,0631	-4,1547	0,3425	1,2041	-0,9788
259	NxMax	[pp+perm+pp fondazioni] {SEISMIC 1+}	-2,3898	-0,4515	-0,9480	0,1073	0,4238	-1,0189
259	NxMin	[1,3*pp+perm+pp fondazioni] {1,5*neve} (1,5*0,6*vento)	-11,5744	-0,7553	-2,3233	0,1271	-1,1236	-0,2472
259	VyMax	[pp+perm+pp fondazioni] {SEISMIC 1+}	-4,1948	0,0728	-0,9480	0,1073	0,4238	-1,0189
259	VyMin	[1,3*pp+perm+1,3*pp fondazioni] {1,5*neve} (1,5*0,6*vento)	-11,5162	-0,7553	-2,4812	0,1271	1,2305	-0,9874
259	VzMax	[pp+perm+pp fondazioni] {SEISMIC 1+}	-4,2395	-0,4515	-0,4830	0,1073	-0,4683	-0,6276
259	VzMin	[1,3*pp+perm+1,3*pp fondazioni] {1,5*neve} (1,5*0,6*vento)	-11,5162	-0,7553	-2,4812	0,1271	1,2305	-0,9874
259	TxMax	[1,3*pp+perm+pp fondazioni] {1,5*neve} (1,5*0,6*vento)	-11,5162	-0,7553	-2,4812	0,1271	1,2305	-0,9874
259	TxMin	[pp+perm+pp fondazioni] {SEISMIC 1-}	-4,1948	-0,4515	-0,9480	-0,0504	0,4238	-1,0189
259	MyMax	[1,3*pp+perm+1,3*pp fondazioni] {1,5*neve} (1,5*0,6*vento)	-11,5162	-0,7553	-2,4812	0,1271	1,2305	-0,9874
259	MyMin	[1,3*pp+perm+1,3*pp fondazioni] {1,5*neve} (1,5*0,6*vento)	-11,5744	-0,7553	-2,3233	0,1271	-1,1236	-0,2472
259	MzMax	[pp+perm+pp fondazioni] {SEISMIC 1+}	-4,1948	-0,4515	-0,9480	0,1073	0,4238	0,5402
259	MzMin	[pp+perm+pp fondazioni] {SEISMIC 1-}	-4,1948	-0,4515	-0,9480	0,1073	0,4238	-1,0189
262	NxMax	[1,3*pp+perm+pp fondazioni] {1,5*neve} (1,5*0,6*vento)	2,7639	0,5283	-7,9333	-0,1105	3,4679	0,2278
262	NxMin	[pp+perm+pp fondazioni] {SEISMIC 1-}	0,1166	1,8768	-2,1621	-0,1476	0,5720	0,5831
262	VyMax	[pp+perm+pp fondazioni] {SEISMIC 1+}	1,2052	1,8768	-2,1831	-0,1476	0,9212	0,8931
262	VyMin	[pp+perm+pp fondazioni] {SEISMIC 1-}	1,2052	-1,5992	-2,1831	-0,1476	0,9212	0,8931
262	VzMax	[pp+perm+pp fondazioni] {SEISMIC 1+}	1,1975	1,8768	-1,6570	-0,1476	0,5720	0,5831
262	VzMin	[1,3*pp+perm+1,3*pp fondazioni] {1,5*neve} (1,5*0,6*vento)	2,7639	0,5283	-7,9333	-0,1105	3,4679	0,2278
262	TxMax	[pp+perm+pp fondazioni] {SEISMIC 1+}	1,2052	1,8768	-2,1831	0,0824	0,9212	0,8931
262	TxMin	[pp+perm+pp fondazioni] {SEISMIC 1-}	1,2052	1,8768	-2,1831	-0,1476	0,9212	0,8931

262	MyMax	[1,3*pp+perm+1,3*pp fondazioni] {1,5*neve} (1,5*0,6*vento)	2,7639	0,5283	-7,9333	-0,1105	3,4679	0,2278
262	MyMin	[pp+perm+pp fondazioni] {SEISMIC 1-}	1,1975	1,8768	-2,1621	-0,1476	0,5108	0,5831
262	MzMax	[pp+perm+pp fondazioni] {SEISMIC 1+}	1,2052	1,8768	-2,1831	-0,1476	0,9212	0,8931
262	MzMin	[pp+perm+pp fondazioni] {SEISMIC 1-}	1,2052	1,8768	-2,1831	-0,1476	0,9212	-0,7864
263	NxMax	[1,3*pp+perm+pp fondazioni] {1,5*neve} (1,5*0,6*vento)	0,8352	0,1942	-2,6221	-0,0328	2,1192	0,1446
263	NxMin	[pp+perm+pp fondazioni] {SEISMIC 1-}	0,0327	0,3406	-0,6966	-0,0776	-0,0220	-0,1851
263	VyMax	[pp+perm+pp fondazioni] {SEISMIC 1+}	0,3737	0,3406	-0,7996	-0,0776	0,5996	0,4290
263	VyMin	[pp+perm+pp fondazioni] {SEISMIC 1-}	0,3737	-0,2526	-0,7996	-0,0776	0,5996	0,4290
263	VzMax	[pp+perm+pp fondazioni] {SEISMIC 1+}	0,3358	0,3406	-0,5009	-0,0776	-0,0220	-0,1851
263	VzMin	[1,3*pp+perm+1,3*pp fondazioni] {1,5*neve} (1,5*0,6*vento)	0,8352	0,1942	-2,6221	-0,0328	2,1192	0,1446
263	TxMax	[pp+perm+pp fondazioni] {SEISMIC 1+}	0,3737	0,3406	-0,7996	0,0606	0,5996	0,4290
263	TxMin	[pp+perm+pp fondazioni] {SEISMIC 1-}	0,3737	0,3406	-0,7996	-0,0776	0,5996	0,4290
263	MyMax	[1,3*pp+perm+1,3*pp fondazioni] {1,5*neve} (1,5*0,6*vento)	0,8352	0,1942	-2,6221	-0,0328	2,1192	0,1446
263	MyMin	[pp+perm+pp fondazioni] {SEISMIC 1-}	0,3358	0,3406	-0,6966	-0,0776	-0,0220	-0,1851
263	MzMax	[pp+perm+pp fondazioni] {SEISMIC 1+}	0,3737	0,3406	-0,7996	-0,0776	0,5996	0,4290
263	MzMin	[pp+perm+pp fondazioni] {SEISMIC 1-}	0,3737	0,3406	-0,7996	-0,0776	0,5996	-0,3639
266	NxMax	[pp+perm+pp fondazioni] {SEISMIC 1+}	-4,4039	-1,7383	1,4051	0,0815	-0,7461	0,1878
266	NxMin	[1,3*pp+perm+1,3*pp fondazioni] {1,5*neve} (1,5*0,6*vento)	-22,8188	-0,0896	6,3303	0,0347	3,3978	0,1101
266	VyMax	[pp+perm+pp fondazioni] {SEISMIC 1+}	-6,9079	1,7215	1,4051	0,0815	-0,7461	0,1878
266	VyMin	[pp+perm+pp fondazioni] {SEISMIC 1-}	-6,9079	-1,7383	1,4051	0,0815	-0,7461	0,1878
266	VzMax	[1,3*pp+perm+pp fondazioni] {1,5*neve} (1,5*0,6*vento)	-22,8188	-0,0896	6,3303	0,0347	3,3978	0,1101
266	VzMin	[pp+perm+pp fondazioni] {SEISMIC 1-}	-6,9079	-1,7383	1,3220	0,0815	-0,7461	0,1878
266	TxMax	[pp+perm+pp fondazioni] {SEISMIC 1+}	-6,9079	-1,7383	1,4051	0,0815	-0,7461	0,1878
266	TxMin	[pp+perm+pp fondazioni] {SEISMIC 1-}	-6,9079	-1,7383	1,4051	-0,0589	-0,7461	0,1878
266	MyMax	[1,3*pp+perm+pp fondazioni] {1,5*neve} (1,5*0,6*vento)	-22,8188	-0,0896	6,3303	0,0347	3,3978	0,1101
266	MyMin	[1,3*pp+perm+pp fondazioni] {1,5*neve} (1,5*0,6*vento)	-22,7707	-0,0896	6,1996	0,0347	-1,6833	0,0374
266	MzMax	[pp+perm+pp fondazioni] {SEISMIC 1+}	-6,9449	-1,7383	1,5056	0,0815	0,8973	1,2570
266	MzMin	[pp+perm+pp fondazioni] {SEISMIC 1-}	-6,9449	-1,7383	1,5056	0,0815	0,8973	-1,2223
269	NxMax	[pp+perm+pp fondazioni] {SEISMIC 1+}	-4,3584	-0,9454	0,1347	0,0198	-0,7489	-0,8042
269	NxMin	[1,3*pp+perm+1,3*pp fondazioni] {1,5*neve} (1,5*0,6*vento)	-20,7075	-0,1426	0,7206	0,0200	-1,6623	0,0528
269	VyMax	[pp+perm+pp fondazioni] {SEISMIC 1+}	-5,9325	0,8820	0,1347	0,0198	-0,7489	-0,8042
269	VyMin	[pp+perm+pp fondazioni] {SEISMIC 1-}	-5,9325	-0,9454	0,1347	0,0198	-0,7489	-0,8042
269	VzMax	[1,3*pp+perm+pp fondazioni] {1,5*neve} (1,5*0,6*vento)	-20,7075	-0,1426	0,7206	0,0200	-1,6623	0,0528
269	VzMin	[pp+perm+pp fondazioni] {SEISMIC 1-}	-5,9325	-0,9454	-0,1099	0,0198	-0,7489	-0,8042
269	TxMax	[1,3*pp+perm+pp fondazioni] {1,5*neve} (1,5*0,6*vento)	-20,6493	-0,1426	0,5627	0,0200	-2,2911	-0,0869
269	TxMin	[pp+perm+pp fondazioni] {SEISMIC 1-}	-5,9325	-0,9454	0,1347	-0,0089	-0,7489	-0,8042
269	MyMax	[pp+perm+pp fondazioni] {SEISMIC 1+}	-5,9773	-0,9454	0,2562	0,0198	-0,1644	0,1669
269	MyMin	[1,3*pp+perm+pp fondazioni] {1,5*neve} (1,5*0,6*vento)	-20,6493	-0,1426	0,5627	0,0200	-2,2911	-0,0869
269	MzMax	[pp+perm+pp fondazioni] {SEISMIC 1+}	-5,9325	-0,9454	0,1347	0,0198	-0,7489	0,7686
269	MzMin	[pp+perm+pp fondazioni] {SEISMIC 1-}	-5,9325	-0,9454	0,1347	0,0198	-0,7489	-0,8042
272	NxMax	[pp+perm+pp fondazioni] {SEISMIC 1+}	-4,2165	-0,1277	-1,9550	-0,3227	0,8824	0,8705
272	NxMin	[1,3*pp+perm+1,3*pp fondazioni] {1,5*neve} (1,5*0,6*vento)	-17,5069	-0,0603	-6,4511	-0,0372	2,4397	0,0808
272	VyMax	[pp+perm+pp fondazioni] {SEISMIC 1+}	-4,5667	0,0924	-1,9550	-0,3227	0,8824	0,8705
272	VyMin	[pp+perm+pp fondazioni] {SEISMIC 1-}	-4,5667	-0,1277	-1,9550	-0,3227	0,8824	0,8705
272	VzMax	[pp+perm+pp fondazioni] {SEISMIC 1+}	-4,5722	-0,1277	-1,2712	-0,3227	0,6567	0,8705
272	VzMin	[1,3*pp+perm+1,3*pp fondazioni] {1,5*neve} (1,5*0,6*vento)	-17,4996	-0,0603	-6,4708	-0,0372	3,2297	0,0735
272	TxMax	[pp+perm+pp fondazioni] {SEISMIC 1+}	-4,5667	-0,1277	-1,9550	0,2950	0,8824	0,8705
272	TxMin	[pp+perm+pp fondazioni] {SEISMIC 1-}	-4,5667	-0,1277	-1,9550	-0,3227	0,8824	0,8705

272	MyMax	[1,3*pp+perm+1,3*pp fondazioni] {1,5*neve} (1,5*0,6*vento)	-17,4996	-0,0603	-6,4708	-0,0372	3,2297	0,0735
272	MyMin	[pp+perm+pp fondazioni] {SEISMIC 1-}	-4,5722	-0,1277	-1,9398	-0,3227	0,6429	0,8705
272	MzMax	[pp+perm+pp fondazioni] {SEISMIC 1+}	-4,5722	-0,1277	-1,9398	-0,3227	0,6567	0,8705
272	MzMin	[pp+perm+pp fondazioni] {SEISMIC 1-}	-4,5667	-0,1277	-1,9550	-0,3227	0,8824	-0,8146
273	NxMax	[pp+perm+pp fondazioni] {SEISMIC 1+}	-4,3083	0,4884	-1,5359	-0,0933	0,6506	0,9910
273	NxMin	[1,3*pp+perm+pp fondazioni] {1,5*neve} (1,5*0,6*vento)	-18,5658	0,1472	-4,6503	-0,0043	-2,2572	-0,0752
273	VyMax	[pp+perm+pp fondazioni] {SEISMIC 1+}	-4,9539	0,4884	-1,5359	-0,0933	0,6506	0,9910
273	VyMin	[pp+perm+pp fondazioni] {SEISMIC 1-}	-4,9539	-0,4003	-1,5359	-0,0933	0,6506	0,9910
273	VzMax	[pp+perm+pp fondazioni] {SEISMIC 1+}	-4,9987	0,4884	-0,8615	-0,0933	-0,7953	-0,5804
273	VzMin	[1,3*pp+perm+1,3*pp fondazioni] {1,5*neve} (1,5*0,6*vento)	-18,5076	0,1472	-4,8082	-0,0043	2,3774	0,0691
273	TxMax	[pp+perm+pp fondazioni] {SEISMIC 1+}	-4,9539	0,4884	-1,5359	0,0868	0,6506	0,9910
273	TxMin	[pp+perm+pp fondazioni] {SEISMIC 1-}	-4,9539	0,4884	-1,5359	-0,0933	0,6506	0,9910
273	MyMax	[1,3*pp+perm+1,3*pp fondazioni] {1,5*neve} (1,5*0,6*vento)	-18,5076	0,1472	-4,8082	-0,0043	2,3774	0,0691
273	MyMin	[1,3*pp+perm+1,3*pp fondazioni] {1,5*neve} (1,5*0,6*vento)	-18,5658	0,1472	-4,6503	-0,0043	-2,2572	-0,0752
273	MzMax	[pp+perm+pp fondazioni] {SEISMIC 1+}	-4,9539	0,4884	-1,5359	-0,0933	0,6506	0,9910
273	MzMin	[pp+perm+pp fondazioni] {SEISMIC 1-}	-4,9539	0,4884	-1,5359	-0,0933	0,6506	-0,9371
276	NxMax	[1,3*pp+perm+pp fondazioni] {1,5*neve} (1,5*0,6*vento)	4,2953	2,1274	-11,5296	0,2948	5,1852	0,7710
276	NxMin	[pp+perm+pp fondazioni] {SEISMIC 1-}	0,1961	0,7320	-3,0679	0,3273	0,8673	0,6698
276	VyMax	[1,3*pp+perm+1,3*pp fondazioni] {1,5*neve} (1,5*0,6*vento)	4,2953	2,1274	-11,5296	0,2948	5,1852	0,7710
276	VyMin	[pp+perm+pp fondazioni] {SEISMIC 1-}	1,8961	0,4893	-3,0888	0,3273	1,3249	0,7546
276	VzMax	[pp+perm+pp fondazioni] {SEISMIC 1+}	1,8884	0,7320	-2,5130	0,3273	0,8673	0,6698
276	VzMin	[1,3*pp+perm+1,3*pp fondazioni] {1,5*neve} (1,5*0,6*vento)	4,2953	2,1274	-11,5296	0,2948	5,1852	0,7710
276	TxMax	[pp+perm+pp fondazioni] {SEISMIC 1+}	1,8961	0,7320	-3,0888	0,3273	1,3249	0,7546
276	TxMin	[pp+perm+pp fondazioni] {SEISMIC 1-}	1,8961	0,7320	-3,0888	-0,1650	1,3249	0,7546
276	MyMax	[1,3*pp+perm+1,3*pp fondazioni] {1,5*neve} (1,5*0,6*vento)	4,2953	2,1274	-11,5296	0,2948	5,1852	0,7710
276	MyMin	[pp+perm+pp fondazioni] {SEISMIC 1-}	1,8884	0,7320	-3,0679	0,3273	0,7629	0,6698
276	MzMax	[1,3*pp+perm+1,3*pp fondazioni] {1,5*neve} (1,5*0,6*vento)	4,2953	2,1274	-11,5296	0,2948	5,1852	0,7710
276	MzMin	[pp+perm+pp fondazioni] {SEISMIC 1-}	1,8884	0,7320	-3,0679	0,3273	0,8673	-0,4488
277	NxMax	[1,3*pp+perm+pp fondazioni] {1,5*neve} (1,5*0,6*vento)	1,5632	0,3370	-3,9955	0,1526	3,2562	0,3567
277	NxMin	[pp+perm+pp fondazioni] {SEISMIC 1-}	0,0801	0,2774	-1,0304	0,1067	-0,0406	0,2107
277	VyMax	[1,3*pp+perm+1,3*pp fondazioni] {1,5*neve} (1,5*0,6*vento)	1,5632	0,3370	-3,9955	0,1526	3,2562	0,3567
277	VyMin	[pp+perm+pp fondazioni] {SEISMIC 1-}	0,6974	-0,0993	-1,1334	0,1067	0,8583	0,4230
277	VzMax	[pp+perm+pp fondazioni] {SEISMIC 1+}	0,6595	0,2774	-0,8437	0,1067	-0,0406	0,2107
277	VzMin	[1,3*pp+perm+pp fondazioni] {1,5*neve} (1,5*0,6*vento)	1,5632	0,3370	-3,9955	0,1526	3,2562	0,3567
277	TxMax	[1,3*pp+perm+pp fondazioni] {1,5*neve} (1,5*0,6*vento)	1,5632	0,3370	-3,9955	0,1526	3,2562	0,3567
277	TxMin	[pp+perm+pp fondazioni] {SEISMIC 1-}	0,6974	0,2774	-1,1334	-0,0214	0,8583	0,4230
277	MyMax	[1,3*pp+perm+pp fondazioni] {1,5*neve} (1,5*0,6*vento)	1,5632	0,3370	-3,9955	0,1526	3,2562	0,3567
277	MyMin	[pp+perm+pp fondazioni] {SEISMIC 1-}	0,6595	0,2774	-1,0304	0,1067	-0,0406	0,2107
277	MzMax	[pp+perm+pp fondazioni] {SEISMIC 1+}	0,6974	0,2774	-1,1334	0,1067	0,8583	0,4230
277	MzMin	[pp+perm+pp fondazioni] {SEISMIC 1-}	0,6974	0,2774	-1,1334	0,1067	0,8583	-0,2317
280	NxMax	[pp+perm+pp fondazioni] {SEISMIC 1+}	-8,7017	-1,5315	2,3078	-0,1129	-0,8953	-0,1464
280	NxMin	[1,3*pp+perm+1,3*pp fondazioni] {1,5*neve} (1,5*0,6*vento)	-41,3082	-0,8303	9,6013	-0,1163	5,4422	0,5248
280	VyMax	[pp+perm+pp fondazioni] {SEISMIC 1+}	-12,1193	1,0683	2,3078	-0,1129	-0,8953	-0,1464
280	VyMin	[pp+perm+pp fondazioni] {SEISMIC 1-}	-12,1193	-1,5315	2,3078	-0,1129	-0,8953	-0,1464
280	VzMax	[1,3*pp+perm+pp fondazioni] {1,5*neve} (1,5*0,6*vento)	-41,3082	-0,8303	9,6013	-0,1163	5,4422	0,5248
280	VzMin	[pp+perm+pp fondazioni] {SEISMIC 1-}	-12,1193	-1,5315	2,0580	-0,1129	-0,8953	-0,1464
280	TxMax	[pp+perm+pp fondazioni] {SEISMIC 1+}	-12,1193	-1,5315	2,3078	0,0475	-0,8953	-0,1464
280	TxMin	[1,3*pp+perm+pp fondazioni] {1,5*neve} (1,5*0,6*vento)	-41,2600	-0,8303	9,4706	-0,1163	-2,2918	-0,1485

280	MyMax	[1,3*pp+perm+pp fondazioni] {1,5*neve} (1,5*0,6*vento)	-41,3082	-0,8303	9,6013	-0,1163	5,4422	0,5248
280	MyMin	[1,3*pp+perm+pp fondazioni] {1,5*neve} (1,5*0,6*vento)	-41,2600	-0,8303	9,4706	-0,1163	-2,2918	-0,1485
280	MzMax	[pp+perm+pp fondazioni] {SEISMIC 1+}	-12,1564	-1,5315	2,4083	-0,1129	1,3407	1,1151
280	MzMin	[pp+perm+pp fondazioni] {SEISMIC 1-}	-12,1564	-1,5315	2,4083	-0,1129	1,3407	-0,8296
283	NxMax	[pp+perm+pp fondazioni] {SEISMIC 1+}	-8,5925	-1,0155	0,2746	-0,0218	-1,1082	-0,8096
283	NxMin	[1,3*pp+perm+pp fondazioni] {1,5*neve} (1,5*0,6*vento)	-38,3149	-0,1152	1,3437	-0,0112	-2,2968	-0,0244
283	VyMax	[pp+perm+pp fondazioni] {SEISMIC 1+}	-10,7693	0,9607	0,2746	-0,0218	-1,1082	-0,8096
283	VyMin	[pp+perm+pp fondazioni] {SEISMIC 1-}	-10,7693	-1,0155	0,2746	-0,0218	-1,1082	-0,8096
283	VzMax	[1,3*pp+perm+pp fondazioni] {1,5*neve} (1,5*0,6*vento)	-38,3149	-0,1152	1,3437	-0,0112	-2,2968	-0,0244
283	VzMin	[pp+perm+pp fondazioni] {SEISMIC 1-}	-10,7693	-1,0155	0,0656	-0,0218	-1,1082	-0,8096
283	TxMax	[pp+perm+pp fondazioni] {SEISMIC 1+}	-10,7693	-1,0155	0,2746	0,0145	-1,1082	-0,8096
283	TxMin	[pp+perm+pp fondazioni] {SEISMIC 1-}	-10,7693	-1,0155	0,2746	-0,0218	-1,1082	-0,8096
283	MyMax	[pp+perm+pp fondazioni] {SEISMIC 1+}	-10,8140	-1,0155	0,3961	-0,0218	-0,3043	-0,2257
283	MyMin	[1,3*pp+perm+pp fondazioni] {1,5*neve} (1,5*0,6*vento)	-38,2568	-0,1152	1,1858	-0,0112	-3,5363	-0,1372
283	MzMax	[pp+perm+pp fondazioni] {SEISMIC 1+}	-10,7693	-1,0155	0,2746	-0,0218	-1,1082	0,7341
283	MzMin	[pp+perm+pp fondazioni] {SEISMIC 1-}	-10,7693	-1,0155	0,2746	-0,0218	-1,1082	-0,8096
286	NxMax	[pp+perm+pp fondazioni] {SEISMIC 1+}	-8,4149	-0,1491	-3,6852	0,3538	1,2985	-0,9435
286	NxMin	[1,3*pp+perm+1,3*pp fondazioni] {1,5*neve} (1,5*0,6*vento)	-33,5980	-0,2073	-12,5877	0,1321	3,3810	-0,2524
286	VyMax	[pp+perm+pp fondazioni] {SEISMIC 1+}	-8,6804	0,0346	-3,6852	0,3538	1,2985	-0,9435
286	VyMin	[1,3*pp+perm+pp fondazioni] {1,5*neve} (1,5*0,6*vento)	-33,5908	-0,2073	-12,6074	0,1321	4,9214	-0,2777
286	VzMax	[pp+perm+pp fondazioni] {SEISMIC 1+}	-8,6860	-0,1491	-2,7095	0,3538	0,9346	-0,9313
286	VzMin	[1,3*pp+perm+pp fondazioni] {1,5*neve} (1,5*0,6*vento)	-33,5908	-0,2073	-12,6074	0,1321	4,9214	-0,2777
286	TxMax	[pp+perm+pp fondazioni] {SEISMIC 1+}	-8,6804	-0,1491	-3,6852	0,3538	1,2985	-0,9435
286	TxMin	[pp+perm+pp fondazioni] {SEISMIC 1-}	-8,6804	-0,1491	-3,6852	-0,2848	1,2985	-0,9435
286	MyMax	[1,3*pp+perm+pp fondazioni] {1,5*neve} (1,5*0,6*vento)	-33,5908	-0,2073	-12,6074	0,1321	4,9214	-0,2777
286	MyMin	[pp+perm+pp fondazioni] {SEISMIC 1-}	-8,6860	-0,1491	-3,6700	0,3538	0,8441	-0,9313
286	MzMax	[pp+perm+pp fondazioni] {SEISMIC 1+}	-8,6860	-0,1491	-3,6700	0,3538	0,9346	0,8007
286	MzMin	[pp+perm+pp fondazioni] {SEISMIC 1-}	-8,6804	-0,1491	-3,6852	0,3538	1,2985	-0,9435
287	NxMax	[pp+perm+pp fondazioni] {SEISMIC 1+}	-8,4990	-0,5809	-2,2083	0,1244	0,9089	-1,0928
287	NxMin	[1,3*pp+perm+1,3*pp fondazioni] {1,5*neve} (1,5*0,6*vento)	-35,3531	-0,3769	-7,0498	0,0761	-3,5607	0,0061
287	VyMax	[pp+perm+pp fondazioni] {SEISMIC 1+}	-9,4259	0,3817	-2,2083	0,1244	0,9089	-1,0928
287	VyMin	[pp+perm+pp fondazioni] {SEISMIC 1-}	-9,4259	-0,5809	-2,2083	0,1244	0,9089	-1,0928
287	VzMax	[pp+perm+pp fondazioni] {SEISMIC 1+}	-9,4707	-0,5809	-1,4158	0,1244	-1,1984	0,5495
287	VzMin	[1,3*pp+perm+1,3*pp fondazioni] {1,5*neve} (1,5*0,6*vento)	-35,2949	-0,3769	-7,2077	0,0761	3,4256	-0,3632
287	TxMax	[pp+perm+pp fondazioni] {SEISMIC 1+}	-9,4259	-0,5809	-2,2083	0,1244	0,9089	-1,0928
287	TxMin	[pp+perm+pp fondazioni] {SEISMIC 1-}	-9,4259	-0,5809	-2,2083	-0,0839	0,9089	-1,0928
287	MyMax	[1,3*pp+perm+1,3*pp fondazioni] {1,5*neve} (1,5*0,6*vento)	-35,2949	-0,3769	-7,2077	0,0761	3,4256	-0,3632
287	MyMin	[1,3*pp+perm+1,3*pp fondazioni] {1,5*neve} (1,5*0,6*vento)	-35,3531	-0,3769	-7,0498	0,0761	-3,5607	0,0061
287	MzMax	[pp+perm+pp fondazioni] {SEISMIC 1+}	-9,4259	-0,5809	-2,2083	0,1244	0,9089	0,9009
287	MzMin	[pp+perm+pp fondazioni] {SEISMIC 1-}	-9,4259	-0,5809	-2,2083	0,1244	0,9089	-1,0928
290	NxMax	[1,3*pp+perm+pp fondazioni] {1,5*neve} (1,5*0,6*vento)	1,7698	-0,9408	-4,8013	-0,0439	1,7384	-0,1249
290	NxMin	[pp+perm+pp fondazioni] {SEISMIC 1-}	-0,0565	-2,8388	-1,2438	-0,1246	0,2390	0,5709
290	VyMax	[pp+perm+pp fondazioni] {SEISMIC 1+}	0,8295	2,4747	-1,2648	-0,1246	0,4059	-1,0098
290	VyMin	[pp+perm+pp fondazioni] {SEISMIC 1-}	0,8295	-2,8388	-1,2648	-0,1246	0,4059	-1,0098
290	VzMax	[pp+perm+pp fondazioni] {SEISMIC 1+}	0,8218	-2,8388	-0,8215	-0,1246	0,2390	0,5709
290	VzMin	[1,3*pp+perm+1,3*pp fondazioni] {1,5*neve} (1,5*0,6*vento)	1,7698	-0,9408	-4,8013	-0,0439	1,7384	-0,1249
290	TxMax	[pp+perm+pp fondazioni] {SEISMIC 1+}	0,8295	-2,8388	-1,2648	0,1015	0,4059	-1,0098
290	TxMin	[pp+perm+pp fondazioni] {SEISMIC 1-}	0,8295	-2,8388	-1,2648	-0,1246	0,4059	-1,0098

290	MyMax	[1,3*pp+perm+1,3*pp fondazioni] {1,5*neve} (1,5*0,6*vento)	1,7698	-0,9408	-4,8013	-0,0439	1,7384	-0,1249
290	MyMin	[pp+perm+pp fondazioni] {SEISMIC 1-}	0,8218	-2,8388	-1,2438	-0,1246	0,1828	0,5709
290	MzMax	[pp+perm+pp fondazioni] {SEISMIC 1+}	0,8295	-2,8388	-1,2648	-0,1246	0,4059	0,9736
290	MzMin	[pp+perm+pp fondazioni] {SEISMIC 1-}	0,8295	-2,8388	-1,2648	-0,1246	0,4059	-1,0098
291	NxMax	[1,3*pp+perm+pp fondazioni] {1,5*neve} (1,5*0,6*vento)	0,3426	0,0624	-1,1570	-0,0419	0,9127	0,0248
291	NxMin	[pp+perm+pp fondazioni] {SEISMIC 1-}	-0,0509	0,3634	-0,2460	-0,1044	0,0172	-0,1918
291	VyMax	[pp+perm+pp fondazioni] {SEISMIC 1+}	0,1915	0,3634	-0,3489	-0,1044	0,2345	0,4355
291	VyMin	[pp+perm+pp fondazioni] {SEISMIC 1-}	0,1915	-0,3247	-0,3489	-0,1044	0,2345	0,4355
291	VzMax	[pp+perm+pp fondazioni] {SEISMIC 1+}	0,1536	0,3634	-0,1433	-0,1044	0,0172	-0,1918
291	VzMin	[1,3*pp+perm+pp fondazioni] {1,5*neve} (1,5*0,6*vento)	0,3426	0,0624	-1,1570	-0,0419	0,9127	0,0248
291	TxMax	[pp+perm+pp fondazioni] {SEISMIC 1+}	0,1915	0,3634	-0,3489	0,0855	0,2345	0,4355
291	TxMin	[pp+perm+pp fondazioni] {SEISMIC 1-}	0,1915	0,3634	-0,3489	-0,1044	0,2345	0,4355
291	MyMax	[1,3*pp+perm+pp fondazioni] {1,5*neve} (1,5*0,6*vento)	0,3426	0,0624	-1,1570	-0,0419	0,9127	0,0248
291	MyMin	[pp+perm+pp fondazioni] {SEISMIC 1-}	0,1536	0,3634	-0,2460	-0,1044	-0,0131	-0,1918
291	MzMax	[pp+perm+pp fondazioni] {SEISMIC 1+}	0,1915	0,3634	-0,3489	-0,1044	0,2345	0,4355
291	MzMin	[pp+perm+pp fondazioni] {SEISMIC 1-}	0,1915	0,3634	-0,3489	-0,1044	0,2345	-0,4146
294	NxMax	[pp+perm+pp fondazioni] {SEISMIC 1+}	-3,3570	1,9438	1,0174	0,0986	-0,7092	0,2436
294	NxMin	[1,3*pp+perm+1,3*pp fondazioni] {1,5*neve} (1,5*0,6*vento)	-18,0779	0,2824	4,6160	0,0417	1,9033	-0,1020
294	VyMax	[pp+perm+pp fondazioni] {SEISMIC 1+}	-5,3258	1,9438	1,0174	0,0986	-0,7092	0,2436
294	VyMin	[pp+perm+pp fondazioni] {SEISMIC 1-}	-5,3258	-1,8369	1,0174	0,0986	-0,7092	0,2436
294	VzMax	[1,3*pp+perm+pp fondazioni] {1,5*neve} (1,5*0,6*vento)	-18,0779	0,2824	4,6160	0,0417	1,9033	-0,1020
294	VzMin	[pp+perm+pp fondazioni] {SEISMIC 1-}	-5,3258	1,9438	0,7518	0,0986	-0,7092	0,2436
294	TxMax	[pp+perm+pp fondazioni] {SEISMIC 1+}	-5,3258	1,9438	1,0174	0,0986	-0,7092	0,2436
294	TxMin	[pp+perm+pp fondazioni] {SEISMIC 1-}	-5,3258	1,9438	1,0174	-0,0796	-0,7092	0,2436
294	MyMax	[1,3*pp+perm+pp fondazioni] {1,5*neve} (1,5*0,6*vento)	-18,0779	0,2824	4,6160	0,0417	1,9033	-0,1020
294	MyMin	[1,3*pp+perm+pp fondazioni] {1,5*neve} (1,5*0,6*vento)	-18,0298	0,2824	4,4854	0,0417	-1,7874	0,1271
294	MzMax	[pp+perm+pp fondazioni] {SEISMIC 1+}	-5,3628	1,9438	1,1179	0,0986	0,3439	1,3133
294	MzMin	[pp+perm+pp fondazioni] {SEISMIC 1-}	-5,3628	1,9438	1,1179	0,0986	0,3439	-1,3457
297	NxMax	[pp+perm+pp fondazioni] {SEISMIC 1+}	-3,3891	-0,9044	-0,1779	0,0267	-0,6526	0,7996
297	NxMin	[1,3*pp+perm+pp fondazioni] {1,5*neve} (1,5*0,6*vento)	-16,4949	-0,0785	0,2609	0,0177	-1,8017	0,1143
297	VyMax	[pp+perm+pp fondazioni] {SEISMIC 1+}	-4,5707	0,8679	-0,1779	0,0267	-0,6526	0,7996
297	VyMin	[pp+perm+pp fondazioni] {SEISMIC 1-}	-4,5707	-0,9044	-0,1779	0,0267	-0,6526	0,7996
297	VzMax	[1,3*pp+perm+pp fondazioni] {1,5*neve} (1,5*0,6*vento)	-16,4949	-0,0785	0,2609	0,0177	-1,8017	0,1143
297	VzMin	[pp+perm+pp fondazioni] {SEISMIC 1-}	-4,5707	-0,9044	-0,1779	0,0267	-0,6526	0,7996
297	TxMax	[pp+perm+pp fondazioni] {SEISMIC 1+}	-4,5707	-0,9044	-0,1779	0,0267	-0,6526	0,7996
297	TxMin	[pp+perm+pp fondazioni] {SEISMIC 1-}	-4,5707	-0,9044	-0,1779	-0,0199	-0,6526	0,7996
297	MyMax	[pp+perm+pp fondazioni] {SEISMIC 1+}	-4,6155	-0,9044	0,0756	0,0267	-0,2580	0,1612
297	MyMin	[1,3*pp+perm+pp fondazioni] {1,5*neve} (1,5*0,6*vento)	-16,4368	-0,0785	0,1030	0,0177	-1,9800	0,0374
297	MzMax	[pp+perm+pp fondazioni] {SEISMIC 1+}	-4,5707	-0,9044	-0,1779	0,0267	-0,6526	0,7996
297	MzMin	[pp+perm+pp fondazioni] {SEISMIC 1-}	-4,5707	-0,9044	-0,1779	0,0267	-0,6526	-0,7849
300	NxMax	[pp+perm+pp fondazioni] {SEISMIC 1+}	-3,4564	0,1968	-1,6340	-0,3111	0,7890	-0,8429
300	NxMin	[1,3*pp+perm+1,3*pp fondazioni] {1,5*neve} (1,5*0,6*vento)	-14,3418	0,0415	-5,3843	-0,0129	2,2997	-0,0014
300	VyMax	[pp+perm+pp fondazioni] {SEISMIC 1+}	-3,5719	0,1968	-1,6340	-0,3111	0,7890	-0,8429
300	VyMin	[pp+perm+pp fondazioni] {SEISMIC 1-}	-3,5719	-0,1795	-1,6340	-0,3111	0,7890	-0,8429
300	VzMax	[pp+perm+pp fondazioni] {SEISMIC 1+}	-3,5775	0,1968	-0,9968	-0,3111	0,6278	-0,8364
300	VzMin	[1,3*pp+perm+1,3*pp fondazioni] {1,5*neve} (1,5*0,6*vento)	-14,3345	0,0415	-5,4040	-0,0129	2,9592	0,0037
300	TxMax	[pp+perm+pp fondazioni] {SEISMIC 1+}	-3,5719	0,1968	-1,6340	0,3048	0,7890	-0,8429
300	TxMin	[pp+perm+pp fondazioni] {SEISMIC 1-}	-3,5719	0,1968	-1,6340	-0,3111	0,7890	-0,8429

300	MyMax	[1,3*pp+perm+1,3*pp fondazioni] {1,5*neve} (1,5*0,6*vento)	-14,3345	0,0415	-5,4040	-0,0129	2,9592	0,0037
300	MyMin	[pp+perm+pp fondazioni] {SEISMIC 1-}	-3,5775	0,1968	-1,6189	-0,3111	0,5862	-0,8364
300	MzMax	[pp+perm+pp fondazioni] {SEISMIC 1+}	-3,5719	0,1968	-1,6340	-0,3111	0,7890	0,8408
300	MzMin	[pp+perm+pp fondazioni] {SEISMIC 1-}	-3,5719	0,1968	-1,6340	-0,3111	0,7890	-0,8429
301	NxMax	[pp+perm+pp fondazioni] {SEISMIC 1+}	-3,4052	-0,4554	-1,3972	-0,0908	0,6103	0,9775
301	NxMin	[1,3*pp+perm+1,3*pp fondazioni] {1,5*neve} (1,5*0,6*vento)	-14,8374	-0,0007	-4,2772	-0,0052	-1,9820	0,0187
301	VyMax	[pp+perm+pp fondazioni] {SEISMIC 1+}	-3,7975	0,4500	-1,3972	-0,0908	0,6103	0,9775
301	VyMin	[pp+perm+pp fondazioni] {SEISMIC 1-}	-3,7975	-0,4554	-1,3972	-0,0908	0,6103	0,9775
301	VzMax	[pp+perm+pp fondazioni] {SEISMIC 1+}	-3,8422	-0,4554	-0,7799	-0,0908	-0,7063	0,5753
301	VzMin	[1,3*pp+perm+1,3*pp fondazioni] {1,5*neve} (1,5*0,6*vento)	-14,7792	-0,0007	-4,4351	-0,0052	2,2870	0,0179
301	TxMax	[pp+perm+pp fondazioni] {SEISMIC 1+}	-3,7975	-0,4554	-1,3972	0,0875	0,6103	0,9775
301	TxMin	[pp+perm+pp fondazioni] {SEISMIC 1-}	-3,7975	-0,4554	-1,3972	-0,0908	0,6103	0,9775
301	MyMax	[1,3*pp+perm+1,3*pp fondazioni] {1,5*neve} (1,5*0,6*vento)	-14,7792	-0,0007	-4,4351	-0,0052	2,2870	0,0179
301	MyMin	[1,3*pp+perm+1,3*pp fondazioni] {1,5*neve} (1,5*0,6*vento)	-14,8374	-0,0007	-4,2772	-0,0052	-1,9820	0,0187
301	MzMax	[pp+perm+pp fondazioni] {SEISMIC 1+}	-3,7975	-0,4554	-1,3972	-0,0908	0,6103	0,9775
301	MzMin	[pp+perm+pp fondazioni] {SEISMIC 1-}	-3,7975	-0,4554	-1,3972	-0,0908	0,6103	-0,9746
304	NxMax	[1,3*pp+perm+pp fondazioni] {1,5*neve} (1,5*0,6*vento)	5,1088	-0,1929	-14,0503	0,0387	6,3968	-0,0112
304	NxMin	[pp+perm+pp fondazioni] {SEISMIC 1-}	0,5316	-0,5844	-3,7597	0,2693	1,0695	0,5129
304	VyMax	[pp+perm+pp fondazioni] {SEISMIC 1+}	1,9825	0,5428	-3,7806	0,2693	1,6931	0,4263
304	VyMin	[pp+perm+pp fondazioni] {SEISMIC 1-}	1,9825	-0,5844	-3,7806	0,2693	1,6931	0,4263
304	VzMax	[pp+perm+pp fondazioni] {SEISMIC 1+}	1,9748	-0,5844	-3,1669	0,2693	1,0695	0,5129
304	VzMin	[1,3*pp+perm+1,3*pp fondazioni] {1,5*neve} (1,5*0,6*vento)	5,1088	-0,1929	-14,0503	0,0387	6,3968	-0,0112
304	TxMax	[pp+perm+pp fondazioni] {SEISMIC 1+}	1,9825	-0,5844	-3,7806	0,2693	1,6931	0,4263
304	TxMin	[pp+perm+pp fondazioni] {SEISMIC 1-}	1,9825	-0,5844	-3,7806	-0,2425	1,6931	0,4263
304	MyMax	[1,3*pp+perm+1,3*pp fondazioni] {1,5*neve} (1,5*0,6*vento)	5,1088	-0,1929	-14,0503	0,0387	6,3968	-0,0112
304	MyMin	[pp+perm+pp fondazioni] {SEISMIC 1-}	1,9748	-0,5844	-3,7597	0,2693	0,9930	0,5129
304	MzMax	[pp+perm+pp fondazioni] {SEISMIC 1+}	1,9748	-0,5844	-3,7597	0,2693	1,0695	0,5129
304	MzMin	[pp+perm+pp fondazioni] {SEISMIC 1-}	1,9748	-0,5844	-3,7597	0,2693	1,0695	-0,4893
305	NxMax	[1,3*pp+perm+pp fondazioni] {1,5*neve} (1,5*0,6*vento)	1,9299	0,0484	-5,0120	-0,0408	4,0735	0,0253
305	NxMin	[pp+perm+pp fondazioni] {SEISMIC 1-}	0,1810	0,1839	-1,3457	-0,0710	-0,0489	-0,2098
305	VyMax	[pp+perm+pp fondazioni] {SEISMIC 1+}	0,7874	0,1839	-1,4487	-0,0710	1,1119	0,2827
305	VyMin	[pp+perm+pp fondazioni] {SEISMIC 1-}	0,7874	-0,1468	-1,4487	-0,0710	1,1119	0,2827
305	VzMax	[pp+perm+pp fondazioni] {SEISMIC 1+}	0,7495	0,1839	-1,0861	-0,0710	-0,0489	-0,2098
305	VzMin	[1,3*pp+perm+pp fondazioni] {1,5*neve} (1,5*0,6*vento)	1,9299	0,0484	-5,0120	-0,0408	4,0735	0,0253
305	TxMax	[pp+perm+pp fondazioni] {SEISMIC 1+}	0,7874	0,1839	-1,4487	0,0549	1,1119	0,2827
305	TxMin	[pp+perm+pp fondazioni] {SEISMIC 1-}	0,7874	0,1839	-1,4487	-0,0710	1,1119	0,2827
305	MyMax	[1,3*pp+perm+pp fondazioni] {1,5*neve} (1,5*0,6*vento)	1,9299	0,0484	-5,0120	-0,0408	4,0735	0,0253
305	MyMin	[pp+perm+pp fondazioni] {SEISMIC 1-}	0,7495	0,1839	-1,3457	-0,0710	-0,0489	-0,2098
305	MzMax	[pp+perm+pp fondazioni] {SEISMIC 1+}	0,7874	0,1839	-1,4487	-0,0710	1,1119	0,2827
305	MzMin	[pp+perm+pp fondazioni] {SEISMIC 1-}	0,7874	0,1839	-1,4487	-0,0710	1,1119	-0,2583
308	NxMax	[pp+perm+pp fondazioni] {SEISMIC 1+}	-10,3623	-1,1151	2,6676	-0,1055	-1,0465	-0,0935
308	NxMin	[1,3*pp+perm+1,3*pp fondazioni] {1,5*neve} (1,5*0,6*vento)	-45,7392	-0,0742	11,0663	-0,0655	6,3883	0,0238
308	VyMax	[pp+perm+pp fondazioni] {SEISMIC 1+}	-12,7079	1,0522	2,6676	-0,1055	-1,0465	-0,0935
308	VyMin	[pp+perm+pp fondazioni] {SEISMIC 1-}	-12,7079	-1,1151	2,6676	-0,1055	-1,0465	-0,0935
308	VzMax	[1,3*pp+perm+pp fondazioni] {1,5*neve} (1,5*0,6*vento)	-45,7392	-0,0742	11,0663	-0,0655	6,3883	0,0238
308	VzMin	[pp+perm+pp fondazioni] {SEISMIC 1-}	-12,7079	-1,1151	2,4561	-0,1055	-1,0465	-0,0935
308	TxMax	[pp+perm+pp fondazioni] {SEISMIC 1+}	-12,7079	-1,1151	2,6676	0,0704	-1,0465	-0,0935
308	TxMin	[pp+perm+pp fondazioni] {SEISMIC 1-}	-12,7079	-1,1151	2,6676	-0,1055	-1,0465	-0,0935

308	MyMax	[1,3*pp+perm+pp fondazioni] {1,5*neve} (1,5*0,6*vento)	-45,7392	-0,0742	11,0663	-0,0655	6,3883	0,0238
308	MyMin	[1,3*pp+perm+pp fondazioni] {1,5*neve} (1,5*0,6*vento)	-45,6910	-0,0742	10,9357	-0,0655	-2,5339	-0,0364
308	MzMax	[pp+perm+pp fondazioni] {SEISMIC 1+}	-12,7449	-1,1151	2,7681	-0,1055	1,8446	0,8434
308	MzMin	[pp+perm+pp fondazioni] {SEISMIC 1-}	-12,7449	-1,1151	2,7681	-0,1055	1,8446	-0,8157
311	NxMax	[pp+perm+pp fondazioni] {SEISMIC 1+}	-10,0005	1,0189	0,4409	-0,0213	-1,1801	0,7508
311	NxMin	[1,3*pp+perm+pp fondazioni] {1,5*neve} (1,5*0,6*vento)	-42,2568	0,0705	1,5555	-0,0076	-2,5277	-0,0387
311	VyMax	[pp+perm+pp fondazioni] {SEISMIC 1+}	-11,3591	1,0189	0,4409	-0,0213	-1,1801	0,7508
311	VyMin	[pp+perm+pp fondazioni] {SEISMIC 1-}	-11,3591	-0,9868	0,4409	-0,0213	-1,1801	0,7508
311	VzMax	[1,3*pp+perm+pp fondazioni] {1,5*neve} (1,5*0,6*vento)	-42,2568	0,0705	1,5555	-0,0076	-2,5277	-0,0387
311	VzMin	[pp+perm+pp fondazioni] {SEISMIC 1-}	-11,3591	1,0189	0,0112	-0,0213	-1,1801	0,7508
311	TxMax	[pp+perm+pp fondazioni] {SEISMIC 1+}	-11,3591	1,0189	0,4409	0,0163	-1,1801	0,7508
311	TxMin	[pp+perm+pp fondazioni] {SEISMIC 1-}	-11,3591	1,0189	0,4409	-0,0213	-1,1801	0,7508
311	MyMax	[pp+perm+pp fondazioni] {SEISMIC 1+}	-11,4039	1,0189	0,5624	-0,0213	-0,2882	-0,2631
311	MyMin	[1,3*pp+perm+pp fondazioni] {1,5*neve} (1,5*0,6*vento)	-42,1986	0,0705	1,3976	-0,0076	-3,9748	0,0303
311	MzMax	[pp+perm+pp fondazioni] {SEISMIC 1+}	-11,3591	1,0189	0,4409	-0,0213	-1,1801	0,7508
311	MzMin	[pp+perm+pp fondazioni] {SEISMIC 1-}	-11,3591	1,0189	0,4409	-0,0213	-1,1801	-0,7414
314	NxMax	[pp+perm+pp fondazioni] {SEISMIC 1+}	-9,1618	0,2185	-3,9708	0,3392	1,4738	-0,8987
314	NxMin	[1,3*pp+perm+1,3*pp fondazioni] {1,5*neve} (1,5*0,6*vento)	-36,6328	0,0941	-13,7844	0,0950	3,6225	-0,1811
314	VyMax	[pp+perm+pp fondazioni] {SEISMIC 1+}	-9,4645	0,2185	-3,9708	0,3392	1,4738	-0,8987
314	VyMin	[pp+perm+pp fondazioni] {SEISMIC 1-}	-9,4645	-0,1716	-3,9708	0,3392	1,4738	-0,8987
314	VzMax	[pp+perm+pp fondazioni] {SEISMIC 1+}	-9,4701	0,2185	-3,0265	0,3392	0,9895	-0,8956
314	VzMin	[1,3*pp+perm+pp fondazioni] {1,5*neve} (1,5*0,6*vento)	-36,6255	0,0941	-13,8041	0,0950	5,3092	-0,1695
314	TxMax	[pp+perm+pp fondazioni] {SEISMIC 1+}	-9,4645	0,2185	-3,9708	0,3392	1,4738	-0,8987
314	TxMin	[pp+perm+pp fondazioni] {SEISMIC 1-}	-9,4645	0,2185	-3,9708	-0,2901	1,4738	-0,8987
314	MyMax	[1,3*pp+perm+pp fondazioni] {1,5*neve} (1,5*0,6*vento)	-36,6255	0,0941	-13,8041	0,0950	5,3092	-0,1695
314	MyMin	[pp+perm+pp fondazioni] {SEISMIC 1-}	-9,4701	0,2185	-3,9556	0,3392	0,9113	-0,8956
314	MzMax	[pp+perm+pp fondazioni] {SEISMIC 1+}	-9,4645	0,2185	-3,9708	0,3392	1,4738	0,8084
314	MzMin	[pp+perm+pp fondazioni] {SEISMIC 1-}	-9,4645	0,2185	-3,9708	0,3392	1,4738	-0,8987
315	NxMax	[pp+perm+pp fondazioni] {SEISMIC 1+}	-9,6569	-0,5597	-2,3862	0,1153	1,0353	-1,0326
315	NxMin	[1,3*pp+perm+1,3*pp fondazioni] {1,5*neve} (1,5*0,6*vento)	-38,8284	-0,2317	-7,6688	0,0521	-3,9656	0,0499
315	VyMax	[pp+perm+pp fondazioni] {SEISMIC 1+}	-10,0263	0,4407	-2,3862	0,1153	1,0353	-1,0326
315	VyMin	[pp+perm+pp fondazioni] {SEISMIC 1-}	-10,0263	-0,5597	-2,3862	0,1153	1,0353	-1,0326
315	VzMax	[pp+perm+pp fondazioni] {SEISMIC 1+}	-10,0710	-0,5597	-1,5507	0,1153	-1,2438	0,5433
315	VzMin	[1,3*pp+perm+1,3*pp fondazioni] {1,5*neve} (1,5*0,6*vento)	-38,7702	-0,2317	-7,8266	0,0521	3,6272	-0,1772
315	TxMax	[pp+perm+pp fondazioni] {SEISMIC 1+}	-10,0263	-0,5597	-2,3862	0,1153	1,0353	-1,0326
315	TxMin	[pp+perm+pp fondazioni] {SEISMIC 1-}	-10,0263	-0,5597	-2,3862	-0,0890	1,0353	-1,0326
315	MyMax	[1,3*pp+perm+1,3*pp fondazioni] {1,5*neve} (1,5*0,6*vento)	-38,7702	-0,2317	-7,8266	0,0521	3,6272	-0,1772
315	MyMin	[1,3*pp+perm+1,3*pp fondazioni] {1,5*neve} (1,5*0,6*vento)	-38,8284	-0,2317	-7,6688	0,0521	-3,9656	0,0499
315	MzMax	[pp+perm+pp fondazioni] {SEISMIC 1+}	-10,0263	-0,5597	-2,3862	0,1153	1,0353	0,9372
315	MzMin	[pp+perm+pp fondazioni] {SEISMIC 1-}	-10,0263	-0,5597	-2,3862	0,1153	1,0353	-1,0326
318	NxMax	[pp+perm+pp fondazioni] {SEISMIC 1+}	-0,5065	-1,0562	2,7340	-0,2174	-1,5104	-0,3166
318	NxMin	[1,3*pp+perm+1,3*pp fondazioni] {1,5*neve} (1,5*0,6*vento)	-5,4493	-0,2703	10,2714	-0,1603	-3,0641	-0,1266
318	VyMax	[pp+perm+pp fondazioni] {SEISMIC 1+}	-2,1833	0,9075	2,7340	-0,2174	-1,5104	-0,3166
318	VyMin	[pp+perm+pp fondazioni] {SEISMIC 1-}	-2,1833	-1,0562	2,7340	-0,2174	-1,5104	-0,3166
318	VzMax	[1,3*pp+perm+pp fondazioni] {1,5*neve} (1,5*0,6*vento)	-5,4493	-0,2703	10,2714	-0,1603	-3,0641	-0,1266
318	VzMin	[pp+perm+pp fondazioni] {SEISMIC 1-}	-2,1833	-1,0562	2,4809	-0,2174	-1,5104	-0,3166
318	TxMax	[pp+perm+pp fondazioni] {SEISMIC 1+}	-2,1833	-1,0562	2,7340	0,1353	-1,5104	-0,3166
318	TxMin	[pp+perm+pp fondazioni] {SEISMIC 1-}	-2,1833	-1,0562	2,7340	-0,2174	-1,5104	-0,3166

318	MyMax	[pp+perm+pp fondazioni] {SEISMIC 1+}	-2,1910	-1,0562	2,7550	-0,2174	-0,4697	-0,4639
318	MyMin	[1,3*pp+perm+pp fondazioni] {1,5*neve} (1,5*0,6*vento)	-5,4392	-0,2703	10,2441	-0,1603	-4,7973	-0,1723
318	MzMax	[pp+perm+pp fondazioni] {SEISMIC 1+}	-2,1910	-1,0562	2,7550	-0,2174	-1,0585	0,4025
318	MzMin	[pp+perm+pp fondazioni] {SEISMIC 1-}	-2,1910	-1,0562	2,7550	-0,2174	-1,0585	-0,4639
319	NxMax	[pp+perm+pp fondazioni] {SEISMIC 1+}	-0,5670	-1,5875	3,6339	-0,1503	-1,0291	-0,2119
319	NxMin	[1,3*pp+perm+1,3*pp fondazioni] {1,5*neve} (1,5*0,6*vento)	-6,9803	-2,7688	14,3659	-0,2708	1,3552	0,7660
319	VyMax	[pp+perm+pp fondazioni] {SEISMIC 1+}	-2,7659	0,1562	3,6339	-0,1503	-1,0291	-0,2119
319	VyMin	[1,3*pp+perm+pp fondazioni] {1,5*neve} (1,5*0,6*vento)	-6,9619	-2,7688	14,3159	-0,2708	-3,0989	-0,0939
319	VzMax	[1,3*pp+perm+pp fondazioni] {1,5*neve} (1,5*0,6*vento)	-6,9803	-2,7688	14,3659	-0,2708	1,3552	0,7660
319	VzMin	[pp+perm+pp fondazioni] {SEISMIC 1-}	-2,7659	-1,5875	3,2950	-0,1503	-1,0291	-0,2119
319	TxMax	[pp+perm+pp fondazioni] {SEISMIC 1+}	-2,7659	-1,5875	3,6339	0,0096	-1,0291	-0,2119
319	TxMin	[1,3*pp+perm+1,3*pp fondazioni] {1,5*neve} (1,5*0,6*vento)	-6,9619	-2,7688	14,3159	-0,2708	-3,0989	-0,0939
319	MyMax	[1,3*pp+perm+pp fondazioni] {1,5*neve} (1,5*0,6*vento)	-6,9803	-2,7688	14,3659	-0,2708	1,3552	0,7660
319	MyMin	[1,3*pp+perm+pp fondazioni] {1,5*neve} (1,5*0,6*vento)	-6,9619	-2,7688	14,3159	-0,2708	-3,0989	-0,0939
319	MzMax	[1,3*pp+perm+pp fondazioni] {1,5*neve} (1,5*0,6*vento)	-6,9803	-2,7688	14,3659	-0,2708	1,3552	0,7660
319	MzMin	[pp+perm+pp fondazioni] {SEISMIC 1-}	-2,7659	-1,5875	3,6339	-0,1503	-1,0291	-0,2119
322	NxMax	[pp+perm+pp fondazioni] {SEISMIC 1+}	-5,1446	-1,0613	0,6888	-0,0997	-1,3892	-0,1770
322	NxMin	[1,3*pp+perm+1,3*pp fondazioni] {1,5*neve} (1,5*0,6*vento)	-24,9470	-0,3321	3,3684	-0,2234	-2,0381	-0,0121
322	VyMax	[pp+perm+pp fondazioni] {SEISMIC 1+}	-6,9130	0,8800	0,6888	-0,0997	-1,3892	-0,1770
322	VyMin	[pp+perm+pp fondazioni] {SEISMIC 1-}	-6,9130	-1,0613	0,6888	-0,0997	-1,3892	-0,1770
322	VzMax	[1,3*pp+perm+pp fondazioni] {1,5*neve} (1,5*0,6*vento)	-24,9470	-0,3321	3,3684	-0,2234	-2,0381	-0,0121
322	VzMin	[pp+perm+pp fondazioni] {SEISMIC 1-}	-6,9130	-1,0613	0,4755	-0,0997	-1,3892	-0,1770
322	TxMax	[pp+perm+pp fondazioni] {SEISMIC 1+}	-6,9130	-1,0613	0,6888	-0,0160	-1,3892	-0,1770
322	TxMin	[1,3*pp+perm+1,3*pp fondazioni] {1,5*neve} (1,5*0,6*vento)	-24,8988	-0,3321	3,2377	-0,2234	-4,7170	-0,2814
322	MyMax	[pp+perm+pp fondazioni] {SEISMIC 1+}	-6,9500	-1,0613	0,7893	-0,0997	-0,6198	-0,7699
322	MyMin	[1,3*pp+perm+pp fondazioni] {1,5*neve} (1,5*0,6*vento)	-24,8988	-0,3321	3,2377	-0,2234	-4,7170	-0,2814
322	MzMax	[pp+perm+pp fondazioni] {SEISMIC 1+}	-6,9500	-1,0613	0,7893	-0,0997	-0,8016	0,7691
322	MzMin	[pp+perm+pp fondazioni] {SEISMIC 1-}	-6,9500	-1,0613	0,7893	-0,0997	-0,8016	-0,7699
325	NxMax	[pp+perm+pp fondazioni] {SEISMIC 1+}	-5,1070	1,0545	-0,6162	-0,0524	-0,8946	-0,7388
325	NxMin	[1,3*pp+perm+1,3*pp fondazioni] {1,5*neve} (1,5*0,6*vento)	-23,2599	0,1883	-1,5726	-0,0562	-4,7322	-0,2353
325	VyMax	[pp+perm+pp fondazioni] {SEISMIC 1+}	-6,1812	1,0545	-0,6162	-0,0524	-0,8946	-0,7388
325	VyMin	[pp+perm+pp fondazioni] {SEISMIC 1-}	-6,1812	-0,9568	-0,6162	-0,0524	-0,8946	-0,7388
325	VzMax	[pp+perm+pp fondazioni] {SEISMIC 1+}	-6,2259	1,0545	-0,3794	-0,0524	-1,4369	-0,3503
325	VzMin	[1,3*pp+perm+pp fondazioni] {1,5*neve} (1,5*0,6*vento)	-23,2017	0,1883	-1,7305	-0,0562	-3,1137	-0,0508
325	TxMax	[pp+perm+pp fondazioni] {SEISMIC 1+}	-6,1812	1,0545	-0,6162	0,0235	-0,8946	-0,7388
325	TxMin	[1,3*pp+perm+1,3*pp fondazioni] {1,5*neve} (1,5*0,6*vento)	-23,2017	0,1883	-1,7305	-0,0562	-3,1137	-0,0508
325	MyMax	[pp+perm+pp fondazioni] {SEISMIC 1+}	-6,1812	1,0545	-0,6162	-0,0524	-0,5859	-0,7388
325	MyMin	[1,3*pp+perm+pp fondazioni] {1,5*neve} (1,5*0,6*vento)	-23,2599	0,1883	-1,5726	-0,0562	-4,7322	-0,2353
325	MzMax	[pp+perm+pp fondazioni] {SEISMIC 1+}	-6,1812	1,0545	-0,6162	-0,0524	-0,8946	0,7091
325	MzMin	[pp+perm+pp fondazioni] {SEISMIC 1-}	-6,1812	1,0545	-0,6162	-0,0524	-0,8946	-0,7388
328	NxMax	[pp+perm+pp fondazioni] {SEISMIC 1+}	-4,9470	0,1070	-2,3421	0,3758	1,2207	-0,9725
328	NxMin	[1,3*pp+perm+1,3*pp fondazioni] {1,5*neve} (1,5*0,6*vento)	-20,8997	0,0530	-8,4121	0,2030	3,6755	-0,4362
328	VyMax	[pp+perm+pp fondazioni] {SEISMIC 1+}	-5,3130	0,1070	-2,3421	0,3758	1,2207	-0,9725
328	VyMin	[pp+perm+pp fondazioni] {SEISMIC 1-}	-5,3130	-0,0716	-2,3421	0,3758	1,2207	-0,9725
328	VzMax	[pp+perm+pp fondazioni] {SEISMIC 1+}	-5,3186	0,1070	-1,7808	0,3758	0,9565	-0,9692
328	VzMin	[1,3*pp+perm+pp fondazioni] {1,5*neve} (1,5*0,6*vento)	-20,8924	0,0530	-8,4318	0,2030	4,7053	-0,4297
328	TxMax	[pp+perm+pp fondazioni] {SEISMIC 1+}	-5,3130	0,1070	-2,3421	0,3758	1,2207	-0,9725
328	TxMin	[pp+perm+pp fondazioni] {SEISMIC 1-}	-5,3130	0,1070	-2,3421	-0,2684	1,2207	-0,9725

328	MyMax	[1,3*pp+perm+pp fondazioni] {1,5*neve} (1,5*0,6*vento)	-20,8924	0,0530	-8,4318	0,2030	4,7053	-0,4297
328	MyMin	[pp+perm+pp fondazioni] {SEISMIC 1-}	-5,3186	0,1070	-2,3270	0,3758	0,9283	-0,9692
328	MzMax	[pp+perm+pp fondazioni] {SEISMIC 1+}	-5,3130	0,1070	-2,3421	0,3758	1,2207	0,7478
328	MzMin	[pp+perm+pp fondazioni] {SEISMIC 1-}	-5,3130	0,1070	-2,3421	0,3758	1,2207	-0,9725
329	NxMax	[pp+perm+pp fondazioni] {SEISMIC 1+}	-4,9994	-0,6399	-1,9940	0,1420	0,9542	-1,1005
329	NxMin	[1,3*pp+perm+pp fondazioni] {1,5*neve} (1,5*0,6*vento)	-21,4856	-0,4801	-6,8788	0,1266	-3,1421	0,0255
329	VyMax	[pp+perm+pp fondazioni] {SEISMIC 1+}	-5,4785	0,3941	-1,9940	0,1420	0,9542	-1,1005
329	VyMin	[pp+perm+pp fondazioni] {SEISMIC 1-}	-5,4785	-0,6399	-1,9940	0,1420	0,9542	-1,1005
329	VzMax	[pp+perm+pp fondazioni] {SEISMIC 1+}	-5,5232	-0,6399	-1,4548	0,1420	-0,9450	0,5038
329	VzMin	[1,3*pp+perm+1,3*pp fondazioni] {1,5*neve} (1,5*0,6*vento)	-21,4274	-0,4801	-7,0367	0,1266	3,6765	-0,4450
329	TxMax	[pp+perm+pp fondazioni] {SEISMIC 1+}	-5,4785	-0,6399	-1,9940	0,1420	0,9542	-1,1005
329	TxMin	[pp+perm+pp fondazioni] {SEISMIC 1-}	-5,4785	-0,6399	-1,9940	-0,0767	0,9542	-1,1005
329	MyMax	[1,3*pp+perm+1,3*pp fondazioni] {1,5*neve} (1,5*0,6*vento)	-21,4274	-0,4801	-7,0367	0,1266	3,6765	-0,4450
329	MyMin	[1,3*pp+perm+1,3*pp fondazioni] {1,5*neve} (1,5*0,6*vento)	-21,4856	-0,4801	-6,8788	0,1266	-3,1421	0,0255
329	MzMax	[pp+perm+pp fondazioni] {SEISMIC 1+}	-5,4785	-0,6399	-1,9940	0,1420	0,9542	0,8680
329	MzMin	[pp+perm+pp fondazioni] {SEISMIC 1-}	-5,4785	-0,6399	-1,9940	0,1420	0,9542	-1,1005
332	NxMax	[pp+perm+pp fondazioni] {SEISMIC 1+}	0,2064	1,2736	3,1546	0,2319	-1,5442	0,2829
332	NxMin	[1,3*pp+perm+1,3*pp fondazioni] {1,5*neve} (1,5*0,6*vento)	-2,9656	1,7983	9,2763	0,2240	-2,6233	-0,1107
332	VyMax	[1,3*pp+perm+1,3*pp fondazioni] {1,5*neve} (1,5*0,6*vento)	-2,9556	1,7983	9,2491	0,2240	-4,1884	0,1932
332	VyMin	[pp+perm+pp fondazioni] {SEISMIC 1-}	-1,7883	-0,4014	3,1546	0,2319	-1,5442	0,2829
332	VzMax	[1,3*pp+perm+pp fondazioni] {1,5*neve} (1,5*0,6*vento)	-2,9656	1,7983	9,2763	0,2240	-2,6233	-0,1107
332	VzMin	[pp+perm+pp fondazioni] {SEISMIC 1-}	-1,7883	1,2736	2,1194	0,2319	-1,5442	0,2829
332	TxMax	[pp+perm+pp fondazioni] {SEISMIC 1+}	-1,7883	1,2736	3,1546	0,2319	-1,5442	0,2829
332	TxMin	[pp+perm+pp fondazioni] {SEISMIC 1-}	-1,7883	1,2736	3,1546	-0,1249	-1,5442	0,2829
332	MyMax	[pp+perm+pp fondazioni] {SEISMIC 1+}	-1,7960	1,2736	3,1755	0,2319	-0,3857	-0,4101
332	MyMin	[1,3*pp+perm+pp fondazioni] {1,5*neve} (1,5*0,6*vento)	-2,9556	1,7983	9,2491	0,2240	-4,1884	0,1932
332	MzMax	[pp+perm+pp fondazioni] {SEISMIC 1+}	-1,7960	1,2736	3,1755	0,2319	-1,0689	0,3462
332	MzMin	[pp+perm+pp fondazioni] {SEISMIC 1-}	-1,7960	1,2736	3,1755	0,2319	-1,0689	-0,4101
333	NxMax	[pp+perm+pp fondazioni] {SEISMIC 1+}	0,0602	1,6018	4,0281	0,2754	-1,0442	0,2393
333	NxMin	[1,3*pp+perm+1,3*pp fondazioni] {1,5*neve} (1,5*0,6*vento)	-4,3765	5,2585	12,9156	0,8350	1,3769	-1,3805
333	VyMax	[1,3*pp+perm+1,3*pp fondazioni] {1,5*neve} (1,5*0,6*vento)	-4,3581	5,2585	12,8656	0,8350	-2,6267	0,2528
333	VyMin	[pp+perm+pp fondazioni] {SEISMIC 1-}	-2,3161	1,0044	4,0281	0,2754	-1,0442	0,2393
333	VzMax	[1,3*pp+perm+pp fondazioni] {1,5*neve} (1,5*0,6*vento)	-4,3765	5,2585	12,9156	0,8350	1,3769	-1,3805
333	VzMin	[pp+perm+pp fondazioni] {SEISMIC 1-}	-2,3161	1,6018	2,9758	0,2754	-1,0442	0,2393
333	TxMax	[1,3*pp+perm+1,3*pp fondazioni] {1,5*neve} (1,5*0,6*vento)	-4,3581	5,2585	12,8656	0,8350	-2,6267	0,2528
333	TxMin	[pp+perm+pp fondazioni] {SEISMIC 1-}	-2,3161	1,6018	4,0281	0,1269	-1,0442	0,2393
333	MyMax	[1,3*pp+perm+pp fondazioni] {1,5*neve} (1,5*0,6*vento)	-4,3765	5,2585	12,9156	0,8350	1,3769	-1,3805
333	MyMin	[1,3*pp+perm+pp fondazioni] {1,5*neve} (1,5*0,6*vento)	-4,3581	5,2585	12,8656	0,8350	-2,6267	0,2528
333	MzMax	[1,3*pp+perm+1,3*pp fondazioni] {1,5*neve} (1,5*0,6*vento)	-4,3581	5,2585	12,8656	0,8350	-2,6267	0,2528
333	MzMin	[1,3*pp+perm+1,3*pp fondazioni] {1,5*neve} (1,5*0,6*vento)	-4,3765	5,2585	12,9156	0,8350	1,3769	-1,3805
336	NxMax	[pp+perm+pp fondazioni] {SEISMIC 1+}	-4,5491	1,2946	0,4739	0,1725	-1,2715	0,2922
336	NxMin	[1,3*pp+perm+1,3*pp fondazioni] {1,5*neve} (1,5*0,6*vento)	-22,0594	2,0611	2,4795	0,6556	-1,8221	-0,8302
336	VyMax	[1,3*pp+perm+1,3*pp fondazioni] {1,5*neve} (1,5*0,6*vento)	-22,0113	2,0611	2,3488	0,6556	-3,7801	0,8414
336	VyMin	[pp+perm+pp fondazioni] {SEISMIC 1-}	-7,3730	-0,2956	0,4739	0,1725	-1,2715	0,2922
336	VzMax	[1,3*pp+perm+pp fondazioni] {1,5*neve} (1,5*0,6*vento)	-22,0594	2,0611	2,4795	0,6556	-1,8221	-0,8302
336	VzMin	[pp+perm+pp fondazioni] {SEISMIC 1-}	-7,3730	1,2946	0,4110	0,1725	-1,2715	0,2922
336	TxMax	[1,3*pp+perm+1,3*pp fondazioni] {1,5*neve} (1,5*0,6*vento)	-22,0113	2,0611	2,3488	0,6556	-3,7801	0,8414
336	TxMin	[pp+perm+pp fondazioni] {SEISMIC 1-}	-7,3730	1,2946	0,4739	0,1424	-1,2715	0,2922

336	MyMax	[pp+perm+pp fondazioni] {SEISMIC 1+}	-7,4100	1,2946	0,5744	0,1725	-0,5490	-0,8923
336	MyMin	[1,3*pp+perm+pp fondazioni] {1,5*neve} (1,5*0,6*vento)	-22,0113	2,0611	2,3488	0,6556	-3,7801	0,8414
336	MzMax	[1,3*pp+perm+1,3*pp fondazioni] {1,5*neve} (1,5*0,6*vento)	-22,0113	2,0611	2,3488	0,6556	-3,7801	0,8414
336	MzMin	[pp+perm+pp fondazioni] {SEISMIC 1-}	-7,4100	1,2946	0,5744	0,1725	-0,8512	-0,8923
339	NxMax	[pp+perm+pp fondazioni] {SEISMIC 1+}	-4,4037	1,0730	-0,5925	0,1001	-0,7744	0,8921
339	NxMin	[1,3*pp+perm+1,3*pp fondazioni] {1,5*neve} (1,5*0,6*vento)	-20,5156	0,6392	-1,2897	0,1687	-3,7643	0,3763
339	VyMax	[pp+perm+pp fondazioni] {SEISMIC 1+}	-6,7251	1,0730	-0,5925	0,1001	-0,7744	0,8921
339	VyMin	[pp+perm+pp fondazioni] {SEISMIC 1-}	-6,7251	-0,7647	-0,5925	0,1001	-0,7744	0,8921
339	VzMax	[pp+perm+pp fondazioni] {SEISMIC 1+}	-6,7699	1,0730	-0,3360	0,1001	-1,2954	0,3493
339	VzMin	[1,3*pp+perm+1,3*pp fondazioni] {1,5*neve} (1,5*0,6*vento)	-20,4574	0,6392	-1,4476	0,1687	-2,4230	1,0027
339	TxMax	[1,3*pp+perm+1,3*pp fondazioni] {1,5*neve} (1,5*0,6*vento)	-20,4574	0,6392	-1,4476	0,1687	-2,4230	1,0027
339	TxMin	[pp+perm+pp fondazioni] {SEISMIC 1-}	-6,7251	1,0730	-0,5925	-0,0168	-0,7744	0,8921
339	MyMax	[pp+perm+pp fondazioni] {SEISMIC 1+}	-6,7251	1,0730	-0,5925	0,1001	-0,5063	0,8921
339	MyMin	[1,3*pp+perm+1,3*pp fondazioni] {1,5*neve} (1,5*0,6*vento)	-20,5156	0,6392	-1,2897	0,1687	-3,7643	0,3763
339	MzMax	[1,3*pp+perm+1,3*pp fondazioni] {1,5*neve} (1,5*0,6*vento)	-20,4574	0,6392	-1,4476	0,1687	-2,4230	1,0027
339	MzMin	[pp+perm+pp fondazioni] {SEISMIC 1-}	-6,7251	1,0730	-0,5925	0,1001	-0,7744	-0,4176
342	NxMax	[pp+perm+pp fondazioni] {SEISMIC 1+}	-4,1837	0,1425	-2,3802	-0,4738	1,0793	1,2500
342	NxMin	[1,3*pp+perm+1,3*pp fondazioni] {1,5*neve} (1,5*0,6*vento)	-18,0919	0,1404	-7,3856	-0,8350	2,5208	2,0910
342	VyMax	[pp+perm+pp fondazioni] {SEISMIC 1+}	-5,7450	0,1425	-2,3802	-0,4738	1,0793	1,2500
342	VyMin	[pp+perm+pp fondazioni] {SEISMIC 1-}	-5,7450	-0,0611	-2,3802	-0,4738	1,0793	1,2500
342	VzMax	[pp+perm+pp fondazioni] {SEISMIC 1+}	-5,7506	0,1425	-1,6578	-0,4738	0,7990	1,2408
342	VzMin	[1,3*pp+perm+pp fondazioni] {1,5*neve} (1,5*0,6*vento)	-18,0847	0,1404	-7,4053	-0,8350	3,4251	2,1082
342	TxMax	[pp+perm+pp fondazioni] {SEISMIC 1+}	-5,7450	0,1425	-2,3802	0,0640	1,0793	1,2500
342	TxMin	[1,3*pp+perm+1,3*pp fondazioni] {1,5*neve} (1,5*0,6*vento)	-18,0847	0,1404	-7,4053	-0,8350	3,4251	2,1082
342	MyMax	[1,3*pp+perm+pp fondazioni] {1,5*neve} (1,5*0,6*vento)	-18,0847	0,1404	-7,4053	-0,8350	3,4251	2,1082
342	MyMin	[pp+perm+pp fondazioni] {SEISMIC 1-}	-5,7506	0,1425	-2,3650	-0,4738	0,6681	1,2408
342	MzMax	[1,3*pp+perm+1,3*pp fondazioni] {1,5*neve} (1,5*0,6*vento)	-18,0847	0,1404	-7,4053	-0,8350	3,4251	2,1082
342	MzMin	[pp+perm+pp fondazioni] {SEISMIC 1-}	-5,7506	0,1425	-2,3650	-0,4738	0,7990	-0,2087
343	NxMax	[pp+perm+pp fondazioni] {SEISMIC 1+}	-4,2585	0,8108	-1,6439	-0,2067	0,7916	1,3888
343	NxMin	[1,3*pp+perm+pp fondazioni] {1,5*neve} (1,5*0,6*vento)	-19,0083	1,8220	-4,9432	-0,4383	-2,4026	0,4972
343	VyMax	[1,3*pp+perm+1,3*pp fondazioni] {1,5*neve} (1,5*0,6*vento)	-18,9501	1,8220	-5,1011	-0,4383	2,5191	2,2828
343	VyMin	[pp+perm+pp fondazioni] {SEISMIC 1-}	-6,1007	0,1138	-1,6439	-0,2067	0,7916	1,3888
343	VzMax	[pp+perm+pp fondazioni] {SEISMIC 1+}	-6,1454	0,8108	-1,1489	-0,2067	-0,7991	0,6188
343	VzMin	[1,3*pp+perm+1,3*pp fondazioni] {1,5*neve} (1,5*0,6*vento)	-18,9501	1,8220	-5,1011	-0,4383	2,5191	2,2828
343	TxMax	[pp+perm+pp fondazioni] {SEISMIC 1+}	-6,1007	0,8108	-1,6439	-0,0031	0,7916	1,3888
343	TxMin	[1,3*pp+perm+1,3*pp fondazioni] {1,5*neve} (1,5*0,6*vento)	-18,9501	1,8220	-5,1011	-0,4383	2,5191	2,2828
343	MyMax	[1,3*pp+perm+1,3*pp fondazioni] {1,5*neve} (1,5*0,6*vento)	-18,9501	1,8220	-5,1011	-0,4383	2,5191	2,2828
343	MyMin	[1,3*pp+perm+1,3*pp fondazioni] {1,5*neve} (1,5*0,6*vento)	-19,0083	1,8220	-4,9432	-0,4383	-2,4026	0,4972
343	MzMax	[1,3*pp+perm+1,3*pp fondazioni] {1,5*neve} (1,5*0,6*vento)	-18,9501	1,8220	-5,1011	-0,4383	2,5191	2,2828
343	MzMin	[pp+perm+pp fondazioni] {SEISMIC 1-}	-6,1454	0,8108	-1,5224	-0,2067	-0,7991	-0,3938

Sollecitazioni aste globali di calcolo critiche del progetto SLV

	Asta	Nx [kN]	Vy [kN]	Vz [kN]	Tx [kNm]	My [kNm]	Mz [kNm]	Combinazione
NxMax	11	41,2991	0,0189	-0,6386	-0,0002	0,6591	0,0484	[1,3*pp+perm+1,3*pp fondazioni] {1,5*neve} (1,5*0,6*vento)
NxMin	6	-78,0647	0,5573	-1,6629	-1,5791	1,7344	1,3017	[1,3*pp+perm+1,3*pp fondazioni] {1,5*neve} (1,5*0,6*vento)

VyMax	144	2,4979	8,4697	6,3915	0,8496	2,2127	-1,5090	[1,3*pp+perm+1,3*pp fondazioni] {1,5*neve} (1,5*0,6*vento)
VyMin	78	2,0790	-14,4614	5,8470	-0,0049	2,0190	1,0759	[1,3*pp+perm+1,3*pp fondazioni] {1,5*neve} (1,5*0,6*vento)
VzMax	65	-1,2107	-0,5952	25,8399	1,9226	-3,2666	-0,0461	[1,3*pp+perm+pp fondazioni] {1,5*neve} (1,5*0,6*vento)
VzMin	54	-1,1452	0,3225	-23,4593	0,5560	4,4857	-0,0409	[1,3*pp+perm+1,3*pp fondazioni] {1,5*neve} (1,5*0,6*vento)
TxMax	65	-3,5338	-2,7519	10,6234	9,7565	-11,8037	-0,1113	[pp+perm+pp fondazioni] {SEISMIC 1+}
TxMin	65	-3,5338	-2,7519	10,6234	-8,3256	-11,8037	-0,1113	[pp+perm+pp fondazioni] {SEISMIC 1-}
MyMax	66	-1,2066	-0,5920	18,1388	1,9226	24,2324	0,6958	[1,3*pp+perm+1,3*pp fondazioni] {1,5*neve} (1,5*0,6*vento)
MyMin	6	-30,7570	6,2801	-7,7075	-1,6584	-22,2809	20,3964	[pp+perm+pp fondazioni] {SEISMIC 1-}
MzMax	6	-30,7570	6,2801	-7,7075	-1,6584	24,0854	20,3964	[pp+perm+pp fondazioni] {SEISMIC 1+}
MzMin	6	-30,7570	6,2801	-7,7075	-1,6584	24,0854	-19,8600	[pp+perm+pp fondazioni] {SEISMIC 1-}

Sollecitazioni risultanti negli elementi aste (min e max critici) per SLD

Asta	Valore	Combinazione	Nx [kN]	Vy [kN]	Vz [kN]	Tx [kNm]	My [kNm]	Mz [kNm]
2	NxMax	[pp+perm+pp fondazioni] {SEISMIC 1+}	0,0923	-0,1196	-2,1579	0,0000	0,6767	-0,0159
2	NxMin	[pp+perm+pp fondazioni] {SEISMIC 1-}	-0,0924	-0,1196	-2,1579	0,0000	0,6767	-0,0159
2	VyMax	[pp+perm+pp fondazioni] {SEISMIC 1+}	-0,0924	0,1183	-2,1579	0,0000	0,6767	-0,0159
2	VyMin	[pp+perm+pp fondazioni] {SEISMIC 1-}	-0,0924	-0,1196	-2,1579	0,0000	0,6767	-0,0159
2	VzMax	[pp+perm+pp fondazioni] {SEISMIC 1+}	-0,0924	-0,1196	-1,3165	0,0000	0,6767	-0,0159
2	VzMin	[1,3*pp+perm+1,3*pp fondazioni] {1,5*neve} (1,5*0,6*vento)	-0,0010	-0,0020	-4,6798	0,0000	1,1323	-0,0002
2	TxMax	[pp+perm+pp fondazioni] {SEISMIC 1+}	-0,0924	-0,1196	-2,1579	0,0000	0,6767	-0,0159
2	TxMin	[pp+perm+pp fondazioni] {SEISMIC 1+}	-0,0924	-0,1196	-2,1579	0,0000	0,6767	-0,0159
2	MyMax	[1,3*pp+perm+1,3*pp fondazioni] {1,5*neve} (1,5*0,6*vento)	-0,0010	-0,0020	-4,6798	0,0000	1,1323	-0,0002
2	MyMin	[1,3*pp+perm+pp fondazioni] {1,5*neve} (1,5*0,6*vento)	-0,0010	-0,0020	-4,6798	0,0000	-2,7292	0,0013
2	MzMax	[pp+perm+pp fondazioni] {SEISMIC 1+}	-0,0924	-0,1196	-2,1579	0,0000	-1,0497	0,0798
2	MzMin	[pp+perm+pp fondazioni] {SEISMIC 1-}	-0,0924	-0,1196	-2,1579	0,0000	-1,0497	-0,0789
3	NxMax	[pp+perm+pp fondazioni] {SEISMIC 1+}	-15,4945	-1,5632	2,2648	-0,0122	-0,1845	0,1647
3	NxMin	[1,3*pp+perm+1,3*pp fondazioni] {1,5*neve} (1,5*0,6*vento)	-68,7063	-0,4301	1,1847	-0,0062	-3,8446	-1,1665
3	VyMax	[pp+perm+pp fondazioni] {SEISMIC 1+}	-22,0611	1,2753	2,2648	-0,0122	-7,3186	-4,9910
3	VyMin	[pp+perm+pp fondazioni] {SEISMIC 1-}	-22,0611	-1,5632	2,2648	-0,0122	-7,3186	-4,9910
3	VzMax	[pp+perm+pp fondazioni] {SEISMIC 1+}	-22,0611	-1,5632	2,2648	-0,0122	-7,3186	-4,9910
3	VzMin	[pp+perm+pp fondazioni] {SEISMIC 1-}	-22,0611	-1,5632	-1,4463	-0,0122	-7,3186	-4,9910
3	TxMax	[pp+perm+pp fondazioni] {SEISMIC 1+}	-22,0611	-1,5632	2,2648	0,0091	-7,3186	-4,9910
3	TxMin	[pp+perm+pp fondazioni] {SEISMIC 1-}	-22,0611	-1,5632	2,2648	-0,0122	-7,3186	-4,9910
3	MyMax	[pp+perm+pp fondazioni] {SEISMIC 1+}	-22,0611	-1,5632	2,2648	-0,0122	4,6365	-4,9910
3	MyMin	[pp+perm+pp fondazioni] {SEISMIC 1-}	-22,0611	-1,5632	2,2648	-0,0122	-7,3186	-4,9910
3	MzMax	[pp+perm+pp fondazioni] {SEISMIC 1+}	-22,0611	-1,5632	2,2648	-0,0122	-7,3186	4,1808
3	MzMin	[pp+perm+pp fondazioni] {SEISMIC 1-}	-22,0611	-1,5632	2,2648	-0,0122	-7,3186	-4,9910
4	NxMax	[pp+perm+pp fondazioni] {SEISMIC 1+}	-16,0177	-1,4138	1,2601	-0,0413	-0,1247	0,1215
4	NxMin	[1,3*pp+perm+1,3*pp fondazioni] {1,5*neve} (1,5*0,6*vento)	-70,8635	0,2370	1,0845	-0,0418	-3,6046	0,7688
4	VyMax	[pp+perm+pp fondazioni] {SEISMIC 1+}	-22,3940	1,4122	1,2601	-0,0413	-4,0941	-4,5698
4	VyMin	[pp+perm+pp fondazioni] {SEISMIC 1-}	-22,3940	-1,4138	1,2601	-0,0413	-4,0941	-4,5698
4	VzMax	[pp+perm+pp fondazioni] {SEISMIC 1+}	-22,3940	-1,4138	1,2601	-0,0413	-4,0941	-4,5698
4	VzMin	[pp+perm+pp fondazioni] {SEISMIC 1-}	-22,3940	-1,4138	-0,4534	-0,0413	-4,0941	-4,5698
4	TxMax	[pp+perm+pp fondazioni] {SEISMIC 1+}	-22,3940	-1,4138	1,2601	0,0199	-4,0941	-4,5698
4	TxMin	[1,3*pp+perm+1,3*pp fondazioni] {1,5*neve} (1,5*0,6*vento)	-70,8635	0,2370	1,0845	-0,0418	-3,6046	0,7688
4	MyMax	[pp+perm+pp fondazioni] {SEISMIC 1+}	-22,3940	-1,4138	1,2601	-0,0413	1,4031	-4,5698

4	MyMin	[pp+perm+pp fondazioni] {SEISMIC 1-}	-22,3940	-1,4138	1,2601	-0,0413	-4,0941	-4,5698
4	MzMax	[pp+perm+pp fondazioni] {SEISMIC 1+}	-22,3940	-1,4138	1,2601	-0,0413	-4,0941	4,5687
4	MzMin	[pp+perm+pp fondazioni] {SEISMIC 1-}	-22,3940	-1,4138	1,2601	-0,0413	-4,0941	-4,5698
5	NxMax	[pp+perm+pp fondazioni] {SEISMIC 1+}	-7,8601	-1,6102	0,9390	-0,0197	-0,1219	0,2315
5	NxMin	[1,3*pp+perm+1,3*pp fondazioni] {1,5*neve} (1,5*0,6*vento)	-37,9788	-0,9087	-0,1424	0,0033	0,3342	-2,3148
5	VyMax	[pp+perm+pp fondazioni] {SEISMIC 1+}	-14,3021	0,8636	0,9390	-0,0197	-3,0793	-5,0525
5	VyMin	[pp+perm+pp fondazioni] {SEISMIC 1-}	-14,3021	-1,6102	0,9390	-0,0197	-3,0793	-5,0525
5	VzMax	[pp+perm+pp fondazioni] {SEISMIC 1+}	-14,3021	-1,6102	0,9390	-0,0197	-3,0793	-5,0525
5	VzMin	[pp+perm+pp fondazioni] {SEISMIC 1-}	-14,3021	-1,6102	-0,8250	-0,0197	-3,0793	-5,0525
5	TxMax	[pp+perm+pp fondazioni] {SEISMIC 1+}	-14,3021	-1,6102	0,9390	0,0144	-3,0793	-5,0525
5	TxMin	[pp+perm+pp fondazioni] {SEISMIC 1-}	-14,3021	-1,6102	0,9390	-0,0197	-3,0793	-5,0525
5	MyMax	[pp+perm+pp fondazioni] {SEISMIC 1+}	-14,3021	-1,6102	0,9390	-0,0197	2,6100	-5,0525
5	MyMin	[pp+perm+pp fondazioni] {SEISMIC 1-}	-14,3021	-1,6102	0,9390	-0,0197	-3,0793	-5,0525
5	MzMax	[pp+perm+pp fondazioni] {SEISMIC 1+}	-14,3021	-1,6102	0,9390	-0,0197	-3,0793	2,9506
5	MzMin	[pp+perm+pp fondazioni] {SEISMIC 1-}	-14,3021	-1,6102	0,9390	-0,0197	-3,0793	-5,0525
6	NxMax	[pp+perm+pp fondazioni] {SEISMIC 1+}	-11,8938	-1,0118	-1,9532	-0,0125	0,2175	-0,1580
6	NxMin	[1,3*pp+perm+1,3*pp fondazioni] {1,5*neve} (1,5*0,6*vento)	-54,9823	-0,0589	-0,6310	-0,0098	2,2287	-0,3084
6	VyMax	[pp+perm+pp fondazioni] {SEISMIC 1+}	-18,3826	0,9708	-1,9532	-0,0125	6,3700	-3,3381
6	VyMin	[pp+perm+pp fondazioni] {SEISMIC 1-}	-18,3826	-1,0118	-1,9532	-0,0125	6,3700	-3,3381
6	VzMax	[pp+perm+pp fondazioni] {SEISMIC 1+}	-18,3826	-1,0118	1,4970	-0,0125	6,3700	-3,3381
6	VzMin	[pp+perm+pp fondazioni] {SEISMIC 1-}	-18,3826	-1,0118	-1,9532	-0,0125	6,3700	-3,3381
6	TxMax	[pp+perm+pp fondazioni] {SEISMIC 1+}	-18,3826	-1,0118	-1,9532	0,0078	6,3700	-3,3381
6	TxMin	[pp+perm+pp fondazioni] {SEISMIC 1-}	-18,3826	-1,0118	-1,9532	-0,0125	6,3700	-3,3381
6	MyMax	[pp+perm+pp fondazioni] {SEISMIC 1+}	-18,3826	-1,0118	-1,9532	-0,0125	6,3700	-3,3381
6	MyMin	[pp+perm+pp fondazioni] {SEISMIC 1-}	-18,3826	-1,0118	-1,9532	-0,0125	-4,7683	-3,3381
6	MzMax	[pp+perm+pp fondazioni] {SEISMIC 1+}	-18,3826	-1,0118	-1,9532	-0,0125	6,3700	3,1326
6	MzMin	[pp+perm+pp fondazioni] {SEISMIC 1-}	-18,3826	-1,0118	-1,9532	-0,0125	6,3700	-3,3381
7	NxMax	[pp+perm+pp fondazioni] {SEISMIC 1+}	-15,0346	2,2525	-3,0402	-0,8355	-1,1791	-0,4165
7	NxMin	[1,3*pp+perm+1,3*pp fondazioni] {1,5*neve} (1,5*0,6*vento)	-78,0647	0,5573	-1,6629	-1,5791	1,7344	1,3017
7	VyMax	[pp+perm+pp fondazioni] {SEISMIC 1+}	-30,1547	2,2525	-3,0402	-0,8355	8,9044	7,2285
7	VyMin	[pp+perm+pp fondazioni] {SEISMIC 1-}	-30,1547	-2,0067	-3,0402	-0,8355	8,9044	7,2285
7	VzMax	[pp+perm+pp fondazioni] {SEISMIC 1+}	-30,1547	2,2525	1,8803	-0,8355	8,9044	7,2285
7	VzMin	[pp+perm+pp fondazioni] {SEISMIC 1-}	-30,1547	2,2525	-3,0402	-0,8355	8,9044	7,2285
7	TxMax	[pp+perm+pp fondazioni] {SEISMIC 1+}	-30,1547	2,2525	-3,0402	0,0372	8,9044	7,2285
7	TxMin	[1,3*pp+perm+1,3*pp fondazioni] {1,5*neve} (1,5*0,6*vento)	-78,0647	0,5573	-1,6629	-1,5791	1,7344	1,3017
7	MyMax	[pp+perm+pp fondazioni] {SEISMIC 1+}	-30,1547	2,2525	-3,0402	-0,8355	8,9044	7,2285
7	MyMin	[pp+perm+pp fondazioni] {SEISMIC 1-}	-30,1547	2,2525	-3,0402	-0,8355	-7,0999	7,2285
7	MzMax	[pp+perm+pp fondazioni] {SEISMIC 1+}	-30,1547	2,2525	-3,0402	-0,8355	8,9044	7,2285
7	MzMin	[pp+perm+pp fondazioni] {SEISMIC 1-}	-30,1547	2,2525	-3,0402	-0,8355	8,9044	-6,6920
8	NxMax	[pp+perm+pp fondazioni] {SEISMIC 1+}	-8,1193	1,0029	-1,7977	0,0348	0,2062	0,0537
8	NxMin	[1,3*pp+perm+1,3*pp fondazioni] {1,5*neve} (1,5*0,6*vento)	-38,9980	-0,1145	-0,9432	0,0509	3,2411	-0,2528
8	VyMax	[pp+perm+pp fondazioni] {SEISMIC 1+}	-15,0355	1,0029	-1,7977	0,0348	5,8687	3,2079
8	VyMin	[pp+perm+pp fondazioni] {SEISMIC 1-}	-15,0355	-0,9017	-1,7977	0,0348	5,8687	3,2079
8	VzMax	[pp+perm+pp fondazioni] {SEISMIC 1+}	-15,0355	1,0029	1,1375	0,0348	5,8687	3,2079
8	VzMin	[pp+perm+pp fondazioni] {SEISMIC 1-}	-15,0355	1,0029	-1,7977	0,0348	5,8687	3,2079
8	TxMax	[1,3*pp+perm+1,3*pp fondazioni] {1,5*neve} (1,5*0,6*vento)	-38,9980	-0,1145	-0,9432	0,0509	3,2411	-0,2528
8	TxMin	[pp+perm+pp fondazioni] {SEISMIC 1-}	-15,0355	1,0029	-1,7977	-0,0061	5,8687	3,2079
8	MyMax	[pp+perm+pp fondazioni] {SEISMIC 1+}	-15,0355	1,0029	-1,7977	0,0348	5,8687	3,2079

8	MyMin	[pp+perm+pp fondazioni] {SEISMIC 1-}	-15,0355	1,0029	-1,7977	0,0348	-3,6062	3,2079
8	MzMax	[pp+perm+pp fondazioni] {SEISMIC 1+}	-15,0355	1,0029	-1,7977	0,0348	5,8687	3,2079
8	MzMin	[pp+perm+pp fondazioni] {SEISMIC 1-}	-15,0355	1,0029	-1,7977	0,0348	5,8687	-2,8491
9	NxMax	[pp+perm+pp fondazioni] {SEISMIC 1+}	-5,9189	1,6467	1,1831	0,0591	-0,1098	0,1605
9	NxMin	[1,3*pp+perm+pp fondazioni] {1,5*neve} (1,5*0,6*vento)	-30,2225	1,2130	0,5978	0,0464	-1,9226	3,9543
9	VyMax	[pp+perm+pp fondazioni] {SEISMIC 1+}	-12,4318	1,6467	1,1831	0,0591	-3,8362	5,3474
9	VyMin	[pp+perm+pp fondazioni] {SEISMIC 1-}	-12,4318	-0,5544	1,1831	0,0591	-3,8362	5,3474
9	VzMax	[pp+perm+pp fondazioni] {SEISMIC 1+}	-12,4318	1,6467	1,1831	0,0591	-3,8362	5,3474
9	VzMin	[pp+perm+pp fondazioni] {SEISMIC 1-}	-12,4318	1,6467	-0,7470	0,0591	-3,8362	5,3474
9	TxMax	[pp+perm+pp fondazioni] {SEISMIC 1+}	-12,4318	1,6467	1,1831	0,0591	-3,8362	5,3474
9	TxMin	[pp+perm+pp fondazioni] {SEISMIC 1-}	-12,4318	1,6467	1,1831	-0,0268	-3,8362	5,3474
9	MyMax	[pp+perm+pp fondazioni] {SEISMIC 1+}	-12,4318	1,6467	1,1831	0,0591	2,4053	5,3474
9	MyMin	[pp+perm+pp fondazioni] {SEISMIC 1-}	-12,4318	1,6467	1,1831	0,0591	-3,8362	5,3474
9	MzMax	[pp+perm+pp fondazioni] {SEISMIC 1+}	-12,4318	1,6467	1,1831	0,0591	-3,8362	5,3474
9	MzMin	[pp+perm+pp fondazioni] {SEISMIC 1-}	-12,4318	1,6467	1,1831	0,0591	-3,8362	-1,7865
10	NxMax	[pp+perm+pp fondazioni] {1,5*neve} (1,5*0,6*vento)	1,0234	0,8447	9,9192	-0,0649	-0,1071	0,0885
10	NxMin	[pp+perm+pp fondazioni] {SEISMIC 1-}	-0,5249	0,5796	3,3826	-0,0669	-0,1906	0,0935
10	VyMax	[1,3*pp+perm+pp fondazioni] {1,5*neve} (1,5*0,6*vento)	1,0216	0,9310	10,8443	-0,0729	-0,1298	0,0968
10	VyMin	[pp+perm+pp fondazioni] {SEISMIC 1-}	-0,5249	-0,0041	3,3826	-0,0669	-0,1906	0,0935
10	VzMax	[1,3*pp+perm+pp fondazioni] {1,5*neve} (1,5*0,6*vento)	1,0216	0,9310	11,0484	-0,0729	8,6273	-0,6480
10	VzMin	[pp+perm+pp fondazioni] {SEISMIC 1-}	-0,5249	0,5796	2,7852	-0,0669	-0,1906	0,0935
10	TxMax	[pp+perm+pp fondazioni] {SEISMIC 1+}	-0,5249	0,5796	3,3826	0,0136	-0,1906	0,0935
10	TxMin	[1,3*pp+perm+1,3*pp fondazioni] {1,5*neve} (1,5*0,6*vento)	1,0216	0,9310	10,8443	-0,0729	-0,1298	0,0968
10	MyMax	[1,3*pp+perm+pp fondazioni] {1,5*neve} (1,5*0,6*vento)	1,0216	0,9310	11,0484	-0,0729	8,6273	-0,6480
10	MyMin	[pp+perm+pp fondazioni] {SEISMIC 1-}	-0,5249	0,5796	3,3826	-0,0669	-0,1906	0,0935
10	MzMax	[1,3*pp+perm+pp fondazioni] {1,5*neve} (1,5*0,6*vento)	1,0216	0,9310	10,8443	-0,0729	-0,1298	0,0968
10	MzMin	[1,3*pp+perm+pp fondazioni] {1,5*neve} (1,5*0,6*vento)	1,0216	0,9310	11,0484	-0,0729	8,6273	-0,6480
21	NxMax	[1,3*pp+perm+1,3*pp fondazioni] {1,5*neve} (1,5*0,6*vento)	36,5190	-0,0461	-0,6872	-0,0137	0,8363	-0,1789
21	NxMin	[pp+perm+pp fondazioni] {SEISMIC 1-}	9,3324	-0,0253	-0,4615	-0,0061	0,5150	-0,2202
21	VyMax	[pp+perm+pp fondazioni] {SEISMIC 1+}	9,4064	-0,0009	-0,4615	-0,0061	0,5150	-0,2202
21	VyMin	[1,3*pp+perm+pp fondazioni] {1,5*neve} (1,5*0,6*vento)	36,5190	-0,0461	-0,6872	-0,0137	0,8363	-0,1789
21	VzMax	[1,3*pp+perm+pp fondazioni]	12,1802	-0,0171	0,3937	-0,0051	0,1108	0,0293
21	VzMin	[1,3*pp+perm+1,3*pp fondazioni] {1,5*neve} (1,5*0,6*vento)	36,5190	-0,0461	-0,6872	-0,0137	0,8363	-0,1789
21	TxMax	[pp+perm+pp fondazioni] {SEISMIC 1+}	9,4064	-0,0253	-0,4615	-0,0018	0,5150	-0,2202
21	TxMin	[1,3*pp+perm+1,3*pp fondazioni] {1,5*neve} (1,5*0,6*vento)	36,5190	-0,0461	-0,6872	-0,0137	0,8363	-0,1789
21	MyMax	[1,3*pp+perm+1,3*pp fondazioni] {1,5*neve} (1,5*0,6*vento)	36,5190	-0,0461	-0,6872	-0,0137	0,8363	-0,1789
21	MyMin	[1,3*pp+perm+1,3*pp fondazioni] {1,5*neve} (1,5*0,6*vento)	36,5190	-0,0461	-0,0345	-0,0137	-0,5353	-0,0035
21	MzMax	[pp+perm+pp fondazioni] {SEISMIC 1+}	9,4064	-0,0253	0,3500	-0,0061	0,2143	0,1363
21	MzMin	[pp+perm+pp fondazioni] {SEISMIC 1-}	9,4064	-0,0253	-0,4615	-0,0061	0,5150	-0,2202
24	NxMax	[1,3*pp+perm+1,3*pp fondazioni] {1,5*neve} (1,5*0,6*vento)	41,2991	0,0189	-0,6386	-0,0002	0,6591	0,0484
24	NxMin	[pp+perm+pp fondazioni] {SEISMIC 1-}	9,5471	0,0171	-0,4368	-0,0029	0,4078	0,1810
24	VyMax	[1,3*pp+perm+1,3*pp fondazioni] {1,5*neve} (1,5*0,6*vento)	41,2991	0,0189	-0,6386	-0,0002	0,6591	0,0484
24	VyMin	[pp+perm+pp fondazioni] {SEISMIC 1-}	11,7175	-0,0094	-0,4368	-0,0029	0,4078	0,1810
24	VzMax	[1,3*pp+perm+pp fondazioni]	13,8220	0,0050	0,4128	-0,0004	0,1468	-0,0144
24	VzMin	[1,3*pp+perm+1,3*pp fondazioni] {1,5*neve} (1,5*0,6*vento)	41,2991	0,0189	-0,6386	-0,0002	0,6591	0,0484
24	TxMax	[pp+perm+pp fondazioni] {SEISMIC 1+}	11,7175	0,0171	-0,4368	0,0023	0,4078	0,1810
24	TxMin	[pp+perm+pp fondazioni] {SEISMIC 1-}	11,7175	0,0171	-0,4368	-0,0029	0,4078	0,1810
24	MyMax	[1,3*pp+perm+1,3*pp fondazioni] {1,5*neve} (1,5*0,6*vento)	41,2991	0,0189	-0,6386	-0,0002	0,6591	0,0484

24	MyMin	[1,3*pp+perm+1,3*pp fondazioni] {1,5*neve} (1,5*0,6*vento)	41,2991	0,0189	0,0141	-0,0002	-0,5277	-0,0235
24	MzMax	[pp+perm+pp fondazioni] {SEISMIC 1+}	11,7175	0,0171	-0,4368	-0,0029	0,4078	0,1810
24	MzMin	[pp+perm+pp fondazioni] {SEISMIC 1-}	11,7175	0,0171	-0,4368	-0,0029	0,4078	-0,1613
27	NxMax	[1,3*pp+perm+1,3*pp fondazioni] {1,5*neve} (1,5*0,6*vento)	15,4251	-0,0174	-0,5437	-0,0055	0,2504	-0,0778
27	NxMin	[pp+perm+pp fondazioni] {SEISMIC 1-}	3,6871	-0,0208	-0,4098	-0,0047	0,3227	-0,1796
27	VyMax	[pp+perm+pp fondazioni] {SEISMIC 1+}	3,8823	0,0096	-0,4098	-0,0047	0,3227	-0,1796
27	VyMin	[pp+perm+pp fondazioni] {SEISMIC 1-}	3,8823	-0,0208	-0,4098	-0,0047	0,3227	-0,1796
27	VzMax	[1,3*pp+perm+pp fondazioni]	4,9201	-0,0073	0,4428	-0,0023	0,1778	0,0108
27	VzMin	[1,3*pp+perm+1,3*pp fondazioni] {1,5*neve} (1,5*0,6*vento)	15,4251	-0,0174	-0,5437	-0,0055	0,2504	-0,0778
27	TxMax	[pp+perm+pp fondazioni] {SEISMIC 1+}	3,8823	-0,0208	-0,4098	0,0013	0,3227	-0,1796
27	TxMin	[1,3*pp+perm+pp fondazioni] {1,5*neve} (1,5*0,6*vento)	15,4251	-0,0174	-0,5437	-0,0055	0,2504	-0,0778
27	MyMax	[pp+perm+pp fondazioni] {SEISMIC 1+}	3,8823	-0,0208	-0,4098	-0,0047	0,3227	-0,1796
27	MyMin	[1,3*pp+perm+1,3*pp fondazioni] {1,5*neve} (1,5*0,6*vento)	15,4251	-0,0174	0,0157	-0,0055	-0,6096	-0,0213
27	MzMax	[pp+perm+pp fondazioni] {SEISMIC 1+}	3,8823	-0,0208	-0,4098	-0,0047	0,3227	0,1354
27	MzMin	[pp+perm+pp fondazioni] {SEISMIC 1-}	3,8823	-0,0208	-0,4098	-0,0047	0,3227	-0,1796
28	NxMax	[1,3*pp+perm+pp fondazioni] {1,5*neve} (1,5*0,6*vento)	11,3558	0,4337	-8,7316	-0,0580	0,0000	0,5095
28	NxMin	[pp+perm+pp fondazioni] {SEISMIC 1-}	2,6839	0,3996	-2,4285	-0,0413	0,0000	0,2558
28	VyMax	[1,3*pp+perm+pp fondazioni] {1,5*neve} (1,5*0,6*vento)	11,3558	0,4337	-8,7316	-0,0580	0,0000	0,5095
28	VyMin	[pp+perm+pp fondazioni] {SEISMIC 1-}	3,2940	-0,1594	-2,4285	-0,0413	0,0000	0,2558
28	VzMax	[pp+perm+pp fondazioni] {SEISMIC 1+}	3,2940	0,3996	-1,9185	-0,0413	-4,2599	-0,5057
28	VzMin	[1,3*pp+perm+1,3*pp fondazioni] {1,5*neve} (1,5*0,6*vento)	11,3558	0,4337	-8,7316	-0,0580	0,0000	0,5095
28	TxMax	[pp+perm+pp fondazioni] {SEISMIC 1+}	3,2940	0,3996	-2,4285	0,0077	0,0000	0,2558
28	TxMin	[1,3*pp+perm+pp fondazioni] {1,5*neve} (1,5*0,6*vento)	11,3558	0,4337	-8,7316	-0,0580	0,0000	0,5095
28	MyMax	[pp+perm+pp fondazioni] {SEISMIC 1+}	3,2940	0,3996	-2,4285	-0,0413	0,0000	0,2558
28	MyMin	[1,3*pp+perm+1,3*pp fondazioni] {1,5*neve} (1,5*0,6*vento)	11,3558	0,4337	-8,2469	-0,0580	-16,1295	-0,3147
28	MzMax	[1,3*pp+perm+1,3*pp fondazioni] {1,5*neve} (1,5*0,6*vento)	11,3558	0,4337	-8,7316	-0,0580	0,0000	0,5095
28	MzMin	[pp+perm+pp fondazioni] {SEISMIC 1-}	3,2940	0,3996	-2,0556	-0,0413	-4,2599	-0,5057
29	NxMax	[1,3*pp+perm+pp fondazioni] {1,5*neve} (1,5*0,6*vento)	9,9577	0,0037	8,1362	0,0018	-16,3506	-0,3333
29	NxMin	[pp+perm+pp fondazioni] {SEISMIC 1-}	1,8542	0,4942	2,0214	-0,0314	-4,3147	-0,5388
29	VyMax	[pp+perm+pp fondazioni] {SEISMIC 1+}	3,4509	0,4942	2,0214	-0,0314	-4,3147	-0,5388
29	VyMin	[pp+perm+pp fondazioni] {SEISMIC 1-}	3,4509	-0,4829	2,0214	-0,0314	-4,3147	-0,5388
29	VzMax	[1,3*pp+perm+1,3*pp fondazioni] {1,5*neve} (1,5*0,6*vento)	9,9577	0,0037	8,6336	0,0018	0,0000	-0,3406
29	VzMin	[pp+perm+pp fondazioni] {SEISMIC 1-}	3,4509	0,4942	1,8858	-0,0314	-4,3147	-0,5388
29	TxMax	[pp+perm+pp fondazioni] {SEISMIC 1+}	3,4509	0,4942	2,0214	0,0313	-4,3147	-0,5388
29	TxMin	[pp+perm+pp fondazioni] {SEISMIC 1-}	3,4509	0,4942	2,0214	-0,0314	-4,3147	-0,5388
29	MyMax	[pp+perm+pp fondazioni] {SEISMIC 1+}	3,4509	0,4942	2,4040	-0,0314	0,0000	-0,6100
29	MyMin	[1,3*pp+perm+1,3*pp fondazioni] {1,5*neve} (1,5*0,6*vento)	9,9577	0,0037	8,1362	0,0018	-16,3506	-0,3333
29	MzMax	[pp+perm+pp fondazioni] {SEISMIC 1+}	3,4509	0,4942	2,4040	-0,0314	0,0000	0,4147
29	MzMin	[pp+perm+pp fondazioni] {SEISMIC 1-}	3,4509	0,4942	2,4040	-0,0314	0,0000	-0,6100
30	NxMax	[1,3*pp+perm+pp fondazioni] {1,5*neve} (1,5*0,6*vento)	4,5789	0,0179	-8,5971	0,0233	0,0000	0,1299
30	NxMin	[pp+perm+pp fondazioni] {SEISMIC 1-}	0,3876	0,2567	-2,4413	0,0289	0,0000	0,1266
30	VyMax	[pp+perm+pp fondazioni] {SEISMIC 1+}	1,7259	0,2567	-2,4413	0,0289	0,0000	0,1266
30	VyMin	[pp+perm+pp fondazioni] {SEISMIC 1-}	1,7259	-0,2424	-2,4413	0,0289	0,0000	0,1266
30	VzMax	[pp+perm+pp fondazioni] {SEISMIC 1+}	1,7259	0,2567	-1,8797	0,0289	-4,2843	0,4174
30	VzMin	[1,3*pp+perm+pp fondazioni] {1,5*neve} (1,5*0,6*vento)	4,5789	0,0179	-8,5971	0,0233	0,0000	0,1299
30	TxMax	[pp+perm+pp fondazioni] {SEISMIC 1+}	1,7259	0,2567	-2,4413	0,0289	0,0000	0,1266
30	TxMin	[pp+perm+pp fondazioni] {SEISMIC 1-}	1,7259	0,2567	-2,4413	-0,0154	0,0000	0,1266
30	MyMax	[pp+perm+pp fondazioni] {SEISMIC 1+}	1,7259	0,2567	-2,4413	0,0289	0,0000	0,1266

30	MyMin	[1,3*pp+perm+pp fondazioni] {1,5*neve} (1,5*0,6*vento)	4,5789	0,0179	-8,1124	0,0233	-15,8741	0,0959
30	MzMax	[pp+perm+pp fondazioni] {SEISMIC 1+}	1,7259	0,2567	-2,0685	0,0289	-4,2843	0,4174
30	MzMin	[pp+perm+pp fondazioni] {SEISMIC 1-}	1,7259	0,2567	-2,0685	0,0289	-4,2843	-0,3624
31	NxMax	[1,3*pp+perm+pp fondazioni] {1,5*neve} (1,5*0,6*vento)	3,3730	0,0733	7,9731	0,0177	-16,0325	0,1044
31	NxMin	[pp+perm+pp fondazioni] {SEISMIC 1-}	-1,3961	0,2898	2,0094	0,0452	-4,2913	0,4410
31	VyMax	[pp+perm+pp fondazioni] {SEISMIC 1+}	3,0497	0,2898	2,0094	0,0452	-4,2913	0,4410
31	VyMin	[pp+perm+pp fondazioni] {SEISMIC 1-}	3,0497	-0,2464	2,0094	0,0452	-4,2913	0,4410
31	VzMax	[1,3*pp+perm+pp fondazioni] {1,5*neve} (1,5*0,6*vento)	3,3730	0,0733	8,4705	0,0177	0,0000	-0,0385
31	VzMin	[pp+perm+pp fondazioni] {SEISMIC 1-}	3,0497	0,2898	1,8462	0,0452	-4,2913	0,4410
31	TxMax	[pp+perm+pp fondazioni] {SEISMIC 1+}	3,0497	0,2898	2,0094	0,0452	-4,2913	0,4410
31	TxMin	[pp+perm+pp fondazioni] {SEISMIC 1-}	3,0497	0,2898	2,0094	-0,0354	-4,2913	0,4410
31	MyMax	[pp+perm+pp fondazioni] {SEISMIC 1+}	3,0497	0,2898	2,3920	0,0452	0,0000	-0,1261
31	MyMin	[1,3*pp+perm+pp fondazioni] {1,5*neve} (1,5*0,6*vento)	3,3730	0,0733	7,9731	0,0177	-16,0325	0,1044
31	MzMax	[pp+perm+pp fondazioni] {SEISMIC 1+}	3,0497	0,2898	2,0094	0,0452	-4,2913	0,4410
31	MzMin	[pp+perm+pp fondazioni] {SEISMIC 1-}	3,0497	0,2898	2,0094	0,0452	-4,2913	-0,3805
34	NxMax	[1,3*pp+perm+pp fondazioni] {1,5*neve} (1,5*0,6*vento)	18,7080	-0,1092	-0,3874	-0,0318	-0,1413	-0,4095
34	NxMin	[pp+perm+pp fondazioni] {SEISMIC 1-}	4,2015	-0,0410	-0,3692	-0,0109	0,2085	-0,2624
34	VyMax	[pp+perm+pp fondazioni] {SEISMIC 1+}	5,2563	-0,0200	-0,3692	-0,0109	0,2085	-0,2624
34	VyMin	[1,3*pp+perm+pp fondazioni] {1,5*neve} (1,5*0,6*vento)	18,7080	-0,1092	-0,3874	-0,0318	-0,1413	-0,4095
34	VzMax	[1,3*pp+perm+pp fondazioni] {1,5*neve} (1,5*0,6*vento)	18,7080	-0,1092	0,5450	-0,0318	0,2866	0,1834
34	VzMin	[1,3*pp+perm+1,3*pp fondazioni]	6,1476	-0,0396	-0,4340	-0,0115	0,1640	-0,1445
34	TxMax	[pp+perm+pp fondazioni] {SEISMIC 1+}	5,2563	-0,0410	-0,3692	-0,0068	0,2085	-0,2624
34	TxMin	[1,3*pp+perm+1,3*pp fondazioni] {1,5*neve} (1,5*0,6*vento)	18,7080	-0,1092	-0,3874	-0,0318	-0,1413	-0,4095
34	MyMax	[pp+perm+pp fondazioni] {SEISMIC 1+}	5,2563	-0,0410	0,4186	-0,0109	0,3699	0,1539
34	MyMin	[1,3*pp+perm+1,3*pp fondazioni] {1,5*neve} (1,5*0,6*vento)	18,7080	-0,1092	-0,0144	-0,0318	-0,5777	-0,1724
34	MzMax	[1,3*pp+perm+pp fondazioni] {1,5*neve} (1,5*0,6*vento)	18,7080	-0,1092	0,5450	-0,0318	0,2866	0,1834
34	MzMin	[1,3*pp+perm+pp fondazioni] {1,5*neve} (1,5*0,6*vento)	18,7080	-0,1092	-0,3874	-0,0318	-0,1413	-0,4095
35	NxMax	[1,3*pp+perm+pp fondazioni] {1,5*neve} (1,5*0,6*vento)	14,4386	-0,6669	9,2145	-0,0314	-17,9680	-0,6880
35	NxMin	[pp+perm+pp fondazioni] {SEISMIC 1-}	2,9974	-0,4093	2,4262	-0,0383	-4,9641	-0,4948
35	VyMax	[pp+perm+pp fondazioni] {SEISMIC 1+}	4,7146	0,0220	2,4262	-0,0383	-4,9641	-0,4948
35	VyMin	[1,3*pp+perm+1,3*pp fondazioni] {1,5*neve} (1,5*0,6*vento)	14,4386	-0,6669	9,2145	-0,0314	-17,9680	-0,6880
35	VzMax	[1,3*pp+perm+pp fondazioni] {1,5*neve} (1,5*0,6*vento)	14,4386	-0,6669	9,6992	-0,0314	0,0000	0,5791
35	VzMin	[pp+perm+pp fondazioni] {SEISMIC 1-}	4,7146	-0,4093	2,1485	-0,0383	-4,9641	-0,4948
35	TxMax	[pp+perm+pp fondazioni] {SEISMIC 1+}	4,7146	-0,4093	2,4262	0,0229	-4,9641	-0,4948
35	TxMin	[pp+perm+pp fondazioni] {SEISMIC 1-}	4,7146	-0,4093	2,4262	-0,0383	-4,9641	-0,4948
35	MyMax	[pp+perm+pp fondazioni] {SEISMIC 1+}	4,7146	-0,4093	2,7991	-0,0383	0,0000	0,2847
35	MyMin	[1,3*pp+perm+pp fondazioni] {1,5*neve} (1,5*0,6*vento)	14,4386	-0,6669	9,2145	-0,0314	-17,9680	-0,6880
35	MzMax	[1,3*pp+perm+1,3*pp fondazioni] {1,5*neve} (1,5*0,6*vento)	14,4386	-0,6669	9,6992	-0,0314	0,0000	0,5791
35	MzMin	[1,3*pp+perm+1,3*pp fondazioni] {1,5*neve} (1,5*0,6*vento)	14,4386	-0,6669	9,2145	-0,0314	-17,9680	-0,6880
36	NxMax	[1,3*pp+perm+pp fondazioni] {1,5*neve} (1,5*0,6*vento)	1,6341	-0,3804	2,5327	-0,0493	-5,2726	-0,5659
36	NxMin	[pp+perm+pp fondazioni] {SEISMIC 1-}	-0,7622	-0,3498	0,7019	-0,0257	-1,6878	-0,5277
36	VyMax	[pp+perm+pp fondazioni] {SEISMIC 1+}	1,2060	0,1376	0,7019	-0,0257	-1,6878	-0,5277
36	VyMin	[1,3*pp+perm+pp fondazioni] {1,5*neve} (1,5*0,6*vento)	1,6341	-0,3804	2,5327	-0,0493	-5,2726	-0,5659
36	VzMax	[1,3*pp+perm+pp fondazioni] {1,5*neve} (1,5*0,6*vento)	1,6341	-0,3804	3,0174	-0,0493	0,0000	0,1570
36	VzMin	[pp+perm+pp fondazioni] {SEISMIC 1-}	1,2060	-0,3498	0,2259	-0,0257	-1,6878	-0,5277
36	TxMax	[pp+perm+pp fondazioni] {SEISMIC 1+}	1,2060	-0,3498	0,7019	-0,0039	-1,6878	-0,5277
36	TxMin	[1,3*pp+perm+pp fondazioni] {1,5*neve} (1,5*0,6*vento)	1,6341	-0,3804	2,5327	-0,0493	-5,2726	-0,5659
36	MyMax	[pp+perm+pp fondazioni] {SEISMIC 1+}	1,2060	-0,3498	1,0748	-0,0257	0,0000	0,1376

36	MyMin	[1,3*pp+perm+pp fondazioni] {1,5*neve} (1,5*0,6*vento)	1,6341	-0,3804	2,5327	-0,0493	-5,2726	-0,5659
36	MzMax	[pp+perm+pp fondazioni] {SEISMIC 1+}	1,2060	-0,3498	0,7019	-0,0257	-1,6878	0,2209
36	MzMin	[1,3*pp+perm+pp fondazioni] {1,5*neve} (1,5*0,6*vento)	1,6341	-0,3804	2,5327	-0,0493	-5,2726	-0,5659
37	NxMax	[1,3*pp+perm+pp fondazioni] {1,5*neve} (1,5*0,6*vento)	0,9070	-0,0122	-20,4174	0,0934	8,7479	-0,5972
37	NxMin	[pp+perm+pp fondazioni] {SEISMIC 1-}	-0,2458	-0,9570	-5,7042	0,0529	2,8621	-0,4418
37	VyMax	[pp+perm+pp fondazioni] {SEISMIC 1+}	0,3344	0,8723	-5,7042	0,0529	2,8621	-0,4418
37	VyMin	[pp+perm+pp fondazioni] {SEISMIC 1-}	0,3344	-0,9570	-5,7042	0,0529	2,8621	-0,4418
37	VzMax	[pp+perm+pp fondazioni] {SEISMIC 1+}	0,3344	-0,9570	-5,0376	0,0529	-1,5154	-0,5476
37	VzMin	[1,3*pp+perm+1,3*pp fondazioni] {1,5*neve} (1,5*0,6*vento)	0,9070	-0,0122	-20,4174	0,0934	8,7479	-0,5972
37	TxMax	[1,3*pp+perm+1,3*pp fondazioni] {1,5*neve} (1,5*0,6*vento)	0,9070	-0,0122	-20,4174	0,0934	8,7479	-0,5972
37	TxMin	[pp+perm+pp fondazioni] {SEISMIC 1-}	0,3344	-0,9570	-5,7042	0,0039	2,8621	-0,4418
37	MyMax	[1,3*pp+perm+1,3*pp fondazioni] {1,5*neve} (1,5*0,6*vento)	0,9070	-0,0122	-20,4174	0,0934	8,7479	-0,5972
37	MyMin	[1,3*pp+perm+1,3*pp fondazioni] {1,5*neve} (1,5*0,6*vento)	0,9070	-0,0122	-20,2388	0,0934	-5,4818	-0,5886
37	MzMax	[pp+perm+pp fondazioni] {SEISMIC 1+}	0,3344	-0,9570	-5,5668	0,0529	-1,5154	0,2302
37	MzMin	[1,3*pp+perm+1,3*pp fondazioni] {1,5*neve} (1,5*0,6*vento)	0,9070	-0,0122	-20,4174	0,0934	8,7479	-0,5972
40	NxMax	[1,3*pp+perm+pp fondazioni] {1,5*neve} (1,5*0,6*vento)	12,7006	0,1192	-0,5777	0,0167	0,5843	0,3257
40	NxMin	[pp+perm+pp fondazioni] {SEISMIC 1-}	3,0638	0,0392	-0,4144	0,0057	0,3947	0,2349
40	VyMax	[1,3*pp+perm+1,3*pp fondazioni] {1,5*neve} (1,5*0,6*vento)	12,7006	0,1192	-0,5777	0,0167	0,5843	0,3257
40	VyMin	[pp+perm+pp fondazioni] {SEISMIC 1-}	4,2828	0,0246	-0,4144	0,0057	0,3947	0,2349
40	VzMax	[1,3*pp+perm+pp fondazioni]	4,7753	0,0415	0,4273	0,0057	0,2071	-0,1105
40	VzMin	[1,3*pp+perm+1,3*pp fondazioni] {1,5*neve} (1,5*0,6*vento)	12,7006	0,1192	-0,5777	0,0167	0,5843	0,3257
40	TxMax	[1,3*pp+perm+1,3*pp fondazioni] {1,5*neve} (1,5*0,6*vento)	12,7006	0,1192	-0,5777	0,0167	0,5843	0,3257
40	TxMin	[pp+perm+pp fondazioni] {SEISMIC 1-}	4,2828	0,0392	-0,4144	0,0031	0,3947	0,2349
40	MyMax	[1,3*pp+perm+1,3*pp fondazioni] {1,5*neve} (1,5*0,6*vento)	12,7006	0,1192	-0,5777	0,0167	0,5843	0,3257
40	MyMin	[1,3*pp+perm+1,3*pp fondazioni] {1,5*neve} (1,5*0,6*vento)	12,7006	0,1192	-0,0183	0,0167	-0,3866	-0,0627
40	MzMax	[1,3*pp+perm+1,3*pp fondazioni] {1,5*neve} (1,5*0,6*vento)	12,7006	0,1192	-0,5777	0,0167	0,5843	0,3257
40	MzMin	[1,3*pp+perm+1,3*pp fondazioni] {1,5*neve} (1,5*0,6*vento)	12,7006	0,1192	0,3547	0,0167	-0,0213	-0,3216
41	NxMax	[pp+perm+pp fondazioni] {SEISMIC 1+}	1,4556	0,9547	-6,6378	-0,0089	0,0000	0,0591
41	NxMin	[pp+perm+pp fondazioni] {SEISMIC 1-}	-0,3633	0,9547	-6,6378	-0,0089	0,0000	0,0591
41	VyMax	[pp+perm+pp fondazioni] {SEISMIC 1+}	1,4556	0,9547	-6,6378	-0,0089	0,0000	0,0591
41	VyMin	[pp+perm+pp fondazioni] {SEISMIC 1-}	1,4556	-0,5185	-6,6378	-0,0089	0,0000	0,0591
41	VzMax	[pp+perm+pp fondazioni] {SEISMIC 1+}	1,4556	0,9547	-5,8306	-0,0089	-2,9671	-0,3712
41	VzMin	[1,3*pp+perm+pp fondazioni] {1,5*neve} (1,5*0,6*vento)	1,2130	0,5978	-22,6903	0,0261	0,0000	0,0464
41	TxMax	[pp+perm+pp fondazioni] {1,5*neve} (1,5*0,6*vento)	1,0491	0,5323	-20,8068	0,0275	0,0000	0,0415
41	TxMin	[pp+perm+pp fondazioni] {SEISMIC 1-}	1,4556	0,9547	-6,6378	-0,0089	0,0000	0,0591
41	MyMax	[pp+perm+pp fondazioni] {SEISMIC 1+}	1,4556	0,9547	-6,6378	-0,0089	0,0000	0,0591
41	MyMin	[1,3*pp+perm+pp fondazioni] {1,5*neve} (1,5*0,6*vento)	1,2130	0,5978	-22,5755	0,0261	-10,1848	-0,2226
41	MzMax	[pp+perm+pp fondazioni] {SEISMIC 1+}	1,4556	0,9547	-6,5495	-0,0089	-2,9671	0,2073
41	MzMin	[pp+perm+pp fondazioni] {SEISMIC 1-}	1,4556	0,9547	-6,5495	-0,0089	-2,9671	-0,3712
42	NxMax	[1,3*pp+perm+1,3*pp fondazioni] {1,5*neve} (1,5*0,6*vento)	20,9595	0,2922	-6,9553	-0,0196	-6,7952	-0,1489
42	NxMin	[pp+perm+pp fondazioni] {SEISMIC 1-}	5,4976	0,1439	-1,8406	-0,0173	-1,9848	-0,3233
42	VyMax	[1,3*pp+perm+pp fondazioni] {1,5*neve} (1,5*0,6*vento)	20,9595	0,2922	-6,9553	-0,0196	-6,7952	-0,1489
42	VyMin	[pp+perm+pp fondazioni] {SEISMIC 1-}	5,8411	0,0199	-1,8406	-0,0173	-1,9848	-0,3233
42	VzMax	[pp+perm+pp fondazioni] {SEISMIC 1+}	5,8411	0,1439	-1,4918	-0,0173	-4,5212	-0,4722
42	VzMin	[1,3*pp+perm+1,3*pp fondazioni] {1,5*neve} (1,5*0,6*vento)	20,9595	0,2922	-6,9553	-0,0196	-6,7952	-0,1489
42	TxMax	[pp+perm+pp fondazioni] {SEISMIC 1+}	5,8411	0,1439	-1,8406	0,0047	-1,9848	-0,3233
42	TxMin	[1,3*pp+perm+pp fondazioni] {1,5*neve} (1,5*0,6*vento)	20,9595	0,2922	-6,9553	-0,0196	-6,7952	-0,1489
42	MyMax	[pp+perm+pp fondazioni] {SEISMIC 1+}	5,8411	0,1439	-1,8406	-0,0173	-1,8482	-0,3233

42	MyMin	[1,3*pp+perm+1,3*pp fondazioni] {1,5*neve} (1,5*0,6*vento)	20,9595	0,2922	-6,5726	-0,0196	-16,9411	-0,5872
42	MzMax	[pp+perm+pp fondazioni] {SEISMIC 1+}	5,8411	0,1439	-1,8406	-0,0173	-1,9848	0,2080
42	MzMin	[1,3*pp+perm+1,3*pp fondazioni] {1,5*neve} (1,5*0,6*vento)	20,9595	0,2922	-6,5726	-0,0196	-16,9411	-0,5872
45	NxMax	[pp+perm+pp fondazioni] {SEISMIC 1+}	-6,5322	-1,0215	0,9213	-0,0336	0,2045	0,1323
45	NxMin	[1,3*pp+perm+1,3*pp fondazioni] {1,5*neve} (1,5*0,6*vento)	-31,9496	-0,4950	0,5126	-0,0642	-1,1070	-1,1394
45	VyMax	[pp+perm+pp fondazioni] {SEISMIC 1+}	-12,4394	0,6592	0,9213	-0,0336	-2,6871	-3,0229
45	VyMin	[pp+perm+pp fondazioni] {SEISMIC 1-}	-12,4394	-1,0215	0,9213	-0,0336	-2,6871	-3,0229
45	VzMax	[pp+perm+pp fondazioni] {SEISMIC 1+}	-12,4394	-1,0215	0,9213	-0,0336	-2,6871	-3,0229
45	VzMin	[pp+perm+pp fondazioni] {SEISMIC 1-}	-12,4394	-1,0215	-0,8204	-0,0336	-2,6871	-3,0229
45	TxMax	[pp+perm+pp fondazioni] {SEISMIC 1+}	-12,4394	-1,0215	0,9213	0,0037	-2,6871	-3,0229
45	TxMin	[1,3*pp+perm+pp fondazioni] {1,5*neve} (1,5*0,6*vento)	-31,9496	-0,4950	0,5126	-0,0642	-1,1070	-1,1394
45	MyMax	[pp+perm+pp fondazioni] {SEISMIC 1+}	-12,4394	-1,0215	0,9213	-0,0336	2,6517	-3,0229
45	MyMin	[pp+perm+pp fondazioni] {SEISMIC 1-}	-12,4394	-1,0215	0,9213	-0,0336	-2,6871	-3,0229
45	MzMax	[pp+perm+pp fondazioni] {SEISMIC 1+}	-12,4394	-1,0215	0,9213	-0,0336	-2,6871	2,0994
45	MzMin	[pp+perm+pp fondazioni] {SEISMIC 1-}	-12,4394	-1,0215	0,9213	-0,0336	-2,6871	-3,0229
49	NxMax	[1,3*pp+perm+1,3*pp fondazioni] {1,5*neve} (1,5*0,6*vento)	20,2663	-0,2628	-1,1827	-0,0513	1,5245	-0,3173
49	NxMin	[pp+perm+pp fondazioni] {SEISMIC 1-}	5,0738	-0,0723	-0,5781	-0,0158	0,6412	-0,2128
49	VyMax	[pp+perm+pp fondazioni] {SEISMIC 1+}	6,1462	-0,0544	-0,5781	-0,0158	0,6412	-0,2128
49	VyMin	[1,3*pp+perm+pp fondazioni] {1,5*neve} (1,5*0,6*vento)	20,2663	-0,2628	-1,1827	-0,0513	1,5245	-0,3173
49	VzMax	[1,3*pp+perm+pp fondazioni]	7,2930	-0,0824	0,2148	-0,0163	-0,6169	0,3471
49	VzMin	[1,3*pp+perm+1,3*pp fondazioni] {1,5*neve} (1,5*0,6*vento)	20,2663	-0,2628	-1,1827	-0,0513	1,5245	-0,3173
49	TxMax	[pp+perm+pp fondazioni] {SEISMIC 1+}	6,1462	-0,0723	-0,5781	-0,0092	0,6412	-0,2128
49	TxMin	[1,3*pp+perm+1,3*pp fondazioni] {1,5*neve} (1,5*0,6*vento)	20,2663	-0,2628	-1,1827	-0,0513	1,5245	-0,3173
49	MyMax	[1,3*pp+perm+1,3*pp fondazioni] {1,5*neve} (1,5*0,6*vento)	20,2663	-0,2628	-1,1827	-0,0513	1,5245	-0,3173
49	MyMin	[1,3*pp+perm+1,3*pp fondazioni] {1,5*neve} (1,5*0,6*vento)	20,2663	-0,2628	-0,2504	-0,0513	-2,3662	1,1095
49	MzMax	[1,3*pp+perm+1,3*pp fondazioni] {1,5*neve} (1,5*0,6*vento)	20,2663	-0,2628	-0,2504	-0,0513	-2,3662	1,1095
49	MzMin	[1,3*pp+perm+pp fondazioni] {1,5*neve} (1,5*0,6*vento)	20,2663	-0,2628	-1,1827	-0,0513	1,5245	-0,3173
50	NxMax	[pp+perm+pp fondazioni] {SEISMIC 1+}	-0,0860	-0,5877	6,6764	1,2075	-6,3371	-0,9378
50	NxMin	[1,3*pp+perm+1,3*pp fondazioni] {1,5*neve} (1,5*0,6*vento)	-0,7011	-0,1673	16,2350	1,0142	-13,2227	-0,3323
50	VyMax	[pp+perm+pp fondazioni] {SEISMIC 1+}	-0,6499	0,4908	6,6764	1,2075	-6,3371	-0,9378
50	VyMin	[pp+perm+pp fondazioni] {SEISMIC 1-}	-0,6499	-0,5877	6,6764	1,2075	-6,3371	-0,9378
50	VzMax	[1,3*pp+perm+pp fondazioni] {1,5*neve} (1,5*0,6*vento)	-0,7011	-0,1673	16,2350	1,0142	-13,3931	-0,3323
50	VzMin	[pp+perm+pp fondazioni] {SEISMIC 1-}	-0,6499	-0,5877	3,1084	1,2075	-6,3371	-0,9378
50	TxMax	[pp+perm+pp fondazioni] {SEISMIC 1+}	-0,6499	-0,5877	6,6764	1,2075	-6,3371	-0,9378
50	TxMin	[pp+perm+pp fondazioni] {SEISMIC 1-}	-0,6499	-0,5877	6,6764	-0,8278	-6,3371	-0,9378
50	MyMax	[pp+perm+pp fondazioni] {SEISMIC 1+}	-0,6499	-0,5877	6,6764	1,2075	2,7295	-0,4020
50	MyMin	[1,3*pp+perm+pp fondazioni] {1,5*neve} (1,5*0,6*vento)	-0,7011	-0,1673	16,2350	1,0142	-13,3931	-0,3323
50	MzMax	[pp+perm+pp fondazioni] {SEISMIC 1+}	-0,6499	-0,5877	6,6764	1,2075	-6,3371	0,7410
50	MzMin	[pp+perm+pp fondazioni] {SEISMIC 1-}	-0,6499	-0,5877	6,6764	1,2075	-6,3371	-0,9378
51	NxMax	[pp+perm+pp fondazioni] {SEISMIC 1+}	-0,2848	-0,4126	2,9595	1,2075	2,7301	-0,4035
51	NxMin	[1,3*pp+perm+1,3*pp fondazioni] {1,5*neve} (1,5*0,6*vento)	-0,6993	-0,1623	5,0527	1,0142	2,3974	-0,1714
51	VyMax	[pp+perm+pp fondazioni] {SEISMIC 1+}	-0,4500	0,3190	2,9595	1,2075	2,7301	-0,4035
51	VyMin	[pp+perm+pp fondazioni] {SEISMIC 1-}	-0,4500	-0,4126	2,9595	1,2075	2,7301	-0,4035
51	VzMax	[1,3*pp+perm+pp fondazioni] {1,5*neve} (1,5*0,6*vento)	-0,6993	-0,1623	5,0527	1,0142	2,2270	-0,1714
51	VzMin	[pp+perm+pp fondazioni] {SEISMIC 1-}	-0,4500	-0,4126	-0,0195	1,2075	2,7301	-0,4035
51	TxMax	[pp+perm+pp fondazioni] {SEISMIC 1+}	-0,4500	-0,4126	2,9595	1,2075	2,7301	-0,4035
51	TxMin	[pp+perm+pp fondazioni] {SEISMIC 1-}	-0,4500	-0,4126	2,9595	-0,8278	2,7301	-0,4035
51	MyMax	[1,3*pp+perm+1,3*pp fondazioni] {1,5*neve} (1,5*0,6*vento)	-0,6993	-0,1623	5,0527	1,0142	7,2607	-0,0152

51	MyMin	[pp+perm+pp fondazioni] {SEISMIC 1-}	-0,4500	-0,4126	2,9595	1,2075	0,0464	-0,4035
51	MzMax	[pp+perm+pp fondazioni] {SEISMIC 1+}	-0,4500	-0,4126	2,9595	1,2075	2,7301	0,2999
51	MzMin	[pp+perm+pp fondazioni] {SEISMIC 1-}	-0,4500	-0,4126	2,9595	1,2075	2,7301	-0,4035
52	NxMax	[pp+perm+pp fondazioni] {SEISMIC 1+}	-0,1578	-0,3679	-3,3549	1,2075	3,1232	-0,0706
52	NxMin	[1,3*pp+perm+1,3*pp fondazioni] {1,5*neve} (1,5*0,6*vento)	-0,6981	-0,1598	-6,2212	1,0142	7,2836	-0,0154
52	VyMax	[pp+perm+pp fondazioni] {SEISMIC 1+}	-0,5766	0,2761	-3,3549	1,2075	3,1232	-0,0706
52	VyMin	[pp+perm+pp fondazioni] {SEISMIC 1-}	-0,5766	-0,3679	-3,3549	1,2075	3,1232	-0,0706
52	VzMax	[pp+perm+pp fondazioni] {SEISMIC 1+}	-0,5766	-0,3679	-0,5792	1,2075	3,1232	-0,0706
52	VzMin	[1,3*pp+perm+1,3*pp fondazioni] {1,5*neve} (1,5*0,6*vento)	-0,6981	-0,1598	-6,2212	1,0142	7,2836	-0,0154
52	TxMax	[pp+perm+pp fondazioni] {SEISMIC 1+}	-0,5766	-0,3679	-3,3549	1,2075	3,1232	-0,0706
52	TxMin	[pp+perm+pp fondazioni] {SEISMIC 1-}	-0,5766	-0,3679	-3,3549	-0,8278	3,1232	-0,0706
52	MyMax	[1,3*pp+perm+1,3*pp fondazioni] {1,5*neve} (1,5*0,6*vento)	-0,6981	-0,1598	-6,2212	1,0142	7,2836	-0,0154
52	MyMin	[pp+perm+pp fondazioni] {SEISMIC 1-}	-0,5766	-0,3679	-3,3549	1,2075	-0,4780	0,3153
52	MzMax	[pp+perm+pp fondazioni] {SEISMIC 1+}	-0,5766	-0,3679	-3,3549	1,2075	2,3120	0,3153
52	MzMin	[pp+perm+pp fondazioni] {SEISMIC 1-}	-0,5766	-0,3679	-3,3549	1,2075	2,3120	-0,2406
53	NxMax	[pp+perm+pp fondazioni] {SEISMIC 1+}	0,0700	-0,4839	-7,1469	1,2075	2,3241	0,3138
53	NxMin	[pp+perm+pp fondazioni] {SEISMIC 1-}	-0,8046	-0,4839	-7,1469	1,2075	2,3241	0,3138
53	VyMax	[pp+perm+pp fondazioni] {SEISMIC 1+}	-0,8046	0,3923	-7,1469	1,2075	2,3241	0,3138
53	VyMin	[pp+perm+pp fondazioni] {SEISMIC 1-}	-0,8046	-0,4839	-7,1469	1,2075	2,3241	0,3138
53	VzMax	[pp+perm+pp fondazioni] {SEISMIC 1+}	-0,8046	-0,4839	-4,0597	1,2075	2,3241	0,3138
53	VzMin	[1,3*pp+perm+1,3*pp fondazioni] {1,5*neve} (1,5*0,6*vento)	-0,6976	-0,1602	-18,0906	1,0142	1,3430	0,1383
53	TxMax	[pp+perm+pp fondazioni] {SEISMIC 1+}	-0,8046	-0,4839	-7,1469	1,2075	2,3241	0,3138
53	TxMin	[pp+perm+pp fondazioni] {SEISMIC 1-}	-0,8046	-0,4839	-7,1469	-0,8278	2,3241	0,3138
53	MyMax	[pp+perm+pp fondazioni] {SEISMIC 1+}	-0,8046	-0,4839	-7,1469	1,2075	2,3241	0,3138
53	MyMin	[1,3*pp+perm+pp fondazioni] {1,5*neve} (1,5*0,6*vento)	-0,6976	-0,1602	-18,0906	1,0142	-16,2396	0,2924
53	MzMax	[pp+perm+pp fondazioni] {SEISMIC 1+}	-0,8046	-0,4839	-7,1469	1,2075	-7,2276	0,7395
53	MzMin	[pp+perm+pp fondazioni] {SEISMIC 1-}	-0,8046	-0,4839	-7,1469	1,2075	-7,2276	-0,5767
54	NxMax	[pp+perm+pp fondazioni] {SEISMIC 1+}	-0,1283	0,5723	8,1766	1,8049	-6,4505	0,7265
54	NxMin	[1,3*pp+perm+1,3*pp fondazioni] {1,5*neve} (1,5*0,6*vento)	-0,8298	0,0708	20,5988	2,2001	-16,3567	0,1323
54	VyMax	[pp+perm+pp fondazioni] {SEISMIC 1+}	-0,5609	0,5723	8,1766	1,8049	-6,4505	0,7265
54	VyMin	[pp+perm+pp fondazioni] {SEISMIC 1-}	-0,5609	-0,5218	8,1766	1,8049	-6,4505	0,7265
54	VzMax	[1,3*pp+perm+pp fondazioni] {1,5*neve} (1,5*0,6*vento)	-0,8298	0,0708	20,5988	2,2001	-16,5271	0,1323
54	VzMin	[pp+perm+pp fondazioni] {SEISMIC 1-}	-0,5609	0,5723	4,6110	1,8049	-6,4505	0,7265
54	TxMax	[1,3*pp+perm+pp fondazioni] {1,5*neve} (1,5*0,6*vento)	-0,8298	0,0708	20,5988	2,2001	-16,5271	0,1323
54	TxMin	[pp+perm+pp fondazioni] {SEISMIC 1-}	-0,5609	0,5723	8,1766	0,3278	-6,4505	0,7265
54	MyMax	[1,3*pp+perm+1,3*pp fondazioni] {1,5*neve} (1,5*0,6*vento)	-0,8298	0,0708	20,5988	2,2001	3,4696	0,0642
54	MyMin	[1,3*pp+perm+pp fondazioni] {1,5*neve} (1,5*0,6*vento)	-0,8298	0,0708	20,5988	2,2001	-16,5271	0,1323
54	MzMax	[pp+perm+pp fondazioni] {SEISMIC 1+}	-0,5609	0,5723	8,1766	1,8049	-6,4505	0,7265
54	MzMin	[pp+perm+pp fondazioni] {SEISMIC 1-}	-0,5609	0,5723	8,1766	1,8049	-6,4505	-0,6300
55	NxMax	[pp+perm+pp fondazioni] {SEISMIC 1+}	-0,2898	0,3861	4,3811	1,8049	2,4423	0,1870
55	NxMin	[1,3*pp+perm+1,3*pp fondazioni] {1,5*neve} (1,5*0,6*vento)	-0,8308	0,0697	9,1058	2,2001	3,4033	0,0642
55	VyMax	[pp+perm+pp fondazioni] {SEISMIC 1+}	-0,4011	0,3861	4,3811	1,8049	2,4423	0,1870
55	VyMin	[pp+perm+pp fondazioni] {SEISMIC 1-}	-0,4011	-0,3358	4,3811	1,8049	2,4423	0,1870
55	VzMax	[1,3*pp+perm+pp fondazioni] {1,5*neve} (1,5*0,6*vento)	-0,8308	0,0697	9,1058	2,2001	3,2329	0,0642
55	VzMin	[pp+perm+pp fondazioni] {SEISMIC 1-}	-0,4011	0,3861	1,1276	1,8049	2,4423	0,1870
55	TxMax	[1,3*pp+perm+pp fondazioni] {1,5*neve} (1,5*0,6*vento)	-0,8308	0,0697	9,1058	2,2001	3,2329	0,0642
55	TxMin	[pp+perm+pp fondazioni] {SEISMIC 1-}	-0,4011	0,3861	4,3811	0,3278	2,4423	0,1870
55	MyMax	[1,3*pp+perm+1,3*pp fondazioni] {1,5*neve} (1,5*0,6*vento)	-0,8308	0,0697	9,1058	2,2001	12,1676	-0,0029

55	MyMin	[pp+perm+pp fondazioni] {SEISMIC 1-}	-0,4011	0,3861	4,3811	1,8049	1,3172	0,1870
55	MzMax	[pp+perm+pp fondazioni] {SEISMIC 1+}	-0,4011	0,3861	4,3811	1,8049	5,6280	0,1936
55	MzMin	[pp+perm+pp fondazioni] {SEISMIC 1-}	-0,4011	0,3861	4,3811	1,8049	5,6280	-0,1940
56	NxMax	[pp+perm+pp fondazioni] {SEISMIC 1+}	-0,0846	0,2678	-2,3123	1,8049	5,6390	-0,1933
56	NxMin	[1,3*pp+perm+1,3*pp fondazioni] {1,5*neve} (1,5*0,6*vento)	-0,8326	0,0699	-1,6949	2,2001	12,1542	-0,0028
56	VyMax	[pp+perm+pp fondazioni] {SEISMIC 1+}	-0,6087	0,2678	-2,3123	1,8049	5,6390	-0,1933
56	VyMin	[pp+perm+pp fondazioni] {SEISMIC 1-}	-0,6087	-0,2168	-2,3123	1,8049	5,6390	-0,1933
56	VzMax	[pp+perm+pp fondazioni] {SEISMIC 1+}	-0,6087	0,2678	0,6955	1,8049	5,6390	-0,1933
56	VzMin	[pp+perm+pp fondazioni] {SEISMIC 1-}	-0,6087	0,2678	-2,3123	1,8049	5,6390	-0,1933
56	TxMax	[1,3*pp+perm+pp fondazioni] {1,5*neve} (1,5*0,6*vento)	-0,8326	0,0699	-1,6949	2,2001	11,9838	-0,0028
56	TxMin	[pp+perm+pp fondazioni] {SEISMIC 1-}	-0,6087	0,2678	-2,3123	0,3278	5,6390	-0,1933
56	MyMax	[1,3*pp+perm+1,3*pp fondazioni] {1,5*neve} (1,5*0,6*vento)	-0,8326	0,0699	-1,6949	2,2001	12,1542	-0,0028
56	MyMin	[pp+perm+pp fondazioni] {SEISMIC 1-}	-0,6087	0,2678	-2,3123	1,8049	1,2768	-0,4120
56	MzMax	[pp+perm+pp fondazioni] {SEISMIC 1+}	-0,6087	0,2678	-2,3123	1,8049	6,2415	0,3626
56	MzMin	[pp+perm+pp fondazioni] {SEISMIC 1-}	-0,6087	0,2678	-2,3123	1,8049	6,2415	-0,4120
57	NxMax	[pp+perm+pp fondazioni] {SEISMIC 1+}	0,1445	0,3112	-6,0502	1,8049	6,2942	-0,4120
57	NxMin	[pp+perm+pp fondazioni] {SEISMIC 1-}	-0,8409	0,3112	-6,0502	1,8049	6,2942	-0,4120
57	VyMax	[pp+perm+pp fondazioni] {SEISMIC 1+}	-0,8409	0,3112	-6,0502	1,8049	6,2942	-0,4120
57	VyMin	[pp+perm+pp fondazioni] {SEISMIC 1-}	-0,8409	-0,2587	-6,0502	1,8049	6,2942	-0,4120
57	VzMax	[pp+perm+pp fondazioni] {SEISMIC 1+}	-0,8409	0,3112	-3,3357	1,8049	6,2942	-0,4120
57	VzMin	[1,3*pp+perm+1,3*pp fondazioni] {1,5*neve} (1,5*0,6*vento)	-0,8352	0,0715	-12,9358	2,2001	10,5910	-0,0700
57	TxMax	[1,3*pp+perm+pp fondazioni] {1,5*neve} (1,5*0,6*vento)	-0,8352	0,0715	-12,9358	2,2001	10,4206	-0,0700
57	TxMin	[pp+perm+pp fondazioni] {SEISMIC 1-}	-0,8409	0,3112	-6,0502	0,3278	6,2942	-0,4120
57	MyMax	[1,3*pp+perm+1,3*pp fondazioni] {1,5*neve} (1,5*0,6*vento)	-0,8352	0,0715	-12,9358	2,2001	10,5910	-0,0700
57	MyMin	[pp+perm+pp fondazioni] {SEISMIC 1-}	-0,8409	0,3112	-6,0502	1,8049	-4,3931	-0,6439
57	MzMax	[pp+perm+pp fondazioni] {SEISMIC 1+}	-0,8409	0,3112	-6,0502	1,8049	-4,3931	0,5440
57	MzMin	[pp+perm+pp fondazioni] {SEISMIC 1-}	-0,8409	0,3112	-6,0502	1,8049	-4,3931	-0,6439
58	NxMax	[pp+perm+pp fondazioni] {1,5*neve} (1,5*0,6*vento)	0,1388	-0,0008	12,1609	1,5116	-7,4209	-0,1313
58	NxMin	[pp+perm+pp fondazioni] {SEISMIC 1-}	-0,2189	-0,4941	5,8931	1,5980	-4,0177	-0,7613
58	VyMax	[pp+perm+pp fondazioni] {SEISMIC 1+}	-0,2189	0,4739	5,8931	1,5980	-4,0177	-0,7613
58	VyMin	[pp+perm+pp fondazioni] {SEISMIC 1-}	-0,2189	-0,4941	5,8931	1,5980	-4,0177	-0,7613
58	VzMax	[1,3*pp+perm+pp fondazioni] {1,5*neve} (1,5*0,6*vento)	0,1250	-0,0039	13,4274	1,6563	-8,0135	-0,1466
58	VzMin	[pp+perm+pp fondazioni] {SEISMIC 1-}	-0,2189	-0,4941	2,5505	1,5980	-4,0177	-0,7613
58	TxMax	[1,3*pp+perm+1,3*pp fondazioni] {1,5*neve} (1,5*0,6*vento)	0,1250	-0,0039	13,4274	1,6563	-7,8431	-0,1466
58	TxMin	[pp+perm+pp fondazioni] {SEISMIC 1-}	-0,2189	-0,4941	5,8931	-0,6331	-4,0177	-0,7613
58	MyMax	[1,3*pp+perm+1,3*pp fondazioni] {1,5*neve} (1,5*0,6*vento)	0,1250	-0,0039	13,4274	1,6563	5,0807	-0,1429
58	MyMin	[1,3*pp+perm+pp fondazioni] {1,5*neve} (1,5*0,6*vento)	0,1250	-0,0039	13,4274	1,6563	-8,0135	-0,1466
58	MzMax	[pp+perm+pp fondazioni] {SEISMIC 1+}	-0,2189	-0,4941	5,8931	1,5980	-4,0177	0,6597
58	MzMin	[pp+perm+pp fondazioni] {SEISMIC 1-}	-0,2189	-0,4941	5,8931	1,5980	-4,0177	-0,7613
59	NxMax	[pp+perm+pp fondazioni] {SEISMIC 1+}	0,2961	-0,3475	2,0049	1,5980	3,7137	-0,3446
59	NxMin	[pp+perm+pp fondazioni] {SEISMIC 1-}	-0,3891	-0,3475	2,0049	1,5980	3,7137	-0,3446
59	VyMax	[pp+perm+pp fondazioni] {SEISMIC 1+}	-0,3891	0,3276	2,0049	1,5980	3,7137	-0,3446
59	VyMin	[pp+perm+pp fondazioni] {SEISMIC 1-}	-0,3891	-0,3475	2,0049	1,5980	3,7137	-0,3446
59	VzMax	[1,3*pp+perm+pp fondazioni] {1,5*neve} (1,5*0,6*vento)	0,1229	-0,0022	2,6589	1,6563	4,8982	-0,1429
59	VzMin	[pp+perm+pp fondazioni] {SEISMIC 1-}	-0,3891	-0,3475	-1,0359	1,5980	3,7137	-0,3446
59	TxMax	[1,3*pp+perm+1,3*pp fondazioni] {1,5*neve} (1,5*0,6*vento)	0,1229	-0,0022	2,6589	1,6563	5,0686	-0,1429
59	TxMin	[pp+perm+pp fondazioni] {SEISMIC 1-}	-0,3891	-0,3475	2,0049	-0,6331	3,7137	-0,3446
59	MyMax	[1,3*pp+perm+1,3*pp fondazioni] {1,5*neve} (1,5*0,6*vento)	0,1229	-0,0022	2,6589	1,6563	7,6278	-0,1408

59	MyMin	[pp+perm+pp fondazioni] {SEISMIC 1-}	-0,3891	-0,3475	2,0049	1,5980	1,6029	-0,3446
59	MzMax	[pp+perm+pp fondazioni] {SEISMIC 1+}	-0,3891	-0,3475	2,0049	1,5980	3,7137	0,2624
59	MzMin	[pp+perm+pp fondazioni] {SEISMIC 1-}	-0,3891	-0,3475	2,0049	1,5980	3,7137	-0,3446
60	NxMax	[pp+perm+pp fondazioni] {SEISMIC 1+}	0,4978	-0,3636	-5,0731	1,5980	3,5886	-0,1467
60	NxMin	[pp+perm+pp fondazioni] {SEISMIC 1-}	-0,5918	-0,3636	-5,0731	1,5980	3,5886	-0,1467
60	VyMax	[pp+perm+pp fondazioni] {SEISMIC 1+}	-0,5918	0,3426	-5,0731	1,5980	3,5886	-0,1467
60	VyMin	[pp+perm+pp fondazioni] {SEISMIC 1-}	-0,5918	-0,3636	-5,0731	1,5980	3,5886	-0,1467
60	VzMax	[pp+perm+pp fondazioni] {SEISMIC 1+}	-0,5918	-0,3636	-1,7690	1,5980	3,5886	-0,1467
60	VzMin	[1,3*pp+perm+1,3*pp fondazioni] {1,5*neve} (1,5*0,6*vento)	0,1209	-0,0026	-8,2221	1,6563	7,6570	-0,1410
60	TxMax	[1,3*pp+perm+1,3*pp fondazioni] {1,5*neve} (1,5*0,6*vento)	0,1209	-0,0026	-8,2221	1,6563	7,6570	-0,1410
60	TxMin	[pp+perm+pp fondazioni] {SEISMIC 1-}	-0,5918	-0,3636	-5,0731	-0,6331	3,5886	-0,1467
60	MyMax	[1,3*pp+perm+1,3*pp fondazioni] {1,5*neve} (1,5*0,6*vento)	0,1209	-0,0026	-8,2221	1,6563	7,6570	-0,1410
60	MyMin	[pp+perm+pp fondazioni] {SEISMIC 1-}	-0,5918	-0,3636	-5,0731	1,5980	-2,0803	-0,3541
60	MzMax	[pp+perm+pp fondazioni] {SEISMIC 1+}	-0,5918	-0,3636	-5,0731	1,5980	-2,0803	0,3111
60	MzMin	[pp+perm+pp fondazioni] {SEISMIC 1-}	-0,5918	-0,3636	-5,0731	1,5980	-2,0803	-0,3541
61	NxMax	[pp+perm+pp fondazioni] {SEISMIC 1+}	0,7102	-0,5155	-9,6566	1,5980	-2,0551	-0,3528
61	NxMin	[pp+perm+pp fondazioni] {SEISMIC 1-}	-0,8053	-0,5155	-9,6566	1,5980	-2,0551	-0,3528
61	VyMax	[pp+perm+pp fondazioni] {SEISMIC 1+}	-0,8053	0,4912	-9,6566	1,5980	-2,0551	-0,3528
61	VyMin	[pp+perm+pp fondazioni] {SEISMIC 1-}	-0,8053	-0,5155	-9,6566	1,5980	-2,0551	-0,3528
61	VzMax	[pp+perm+pp fondazioni] {SEISMIC 1+}	-0,8053	-0,5155	-5,7583	1,5980	-2,0551	-0,3528
61	VzMin	[1,3*pp+perm+1,3*pp fondazioni] {1,5*neve} (1,5*0,6*vento)	0,1190	-0,0066	-19,7770	1,6563	-0,2077	-0,1388
61	TxMax	[1,3*pp+perm+1,3*pp fondazioni] {1,5*neve} (1,5*0,6*vento)	0,1190	-0,0066	-19,7770	1,6563	-0,2077	-0,1388
61	TxMin	[pp+perm+pp fondazioni] {SEISMIC 1-}	-0,8053	-0,5155	-9,6566	-0,6331	-2,0551	-0,3528
61	MyMax	[pp+perm+pp fondazioni] {SEISMIC 1+}	-0,8053	-0,5155	-9,6566	1,5980	1,8097	-0,3528
61	MyMin	[1,3*pp+perm+pp fondazioni] {1,5*neve} (1,5*0,6*vento)	0,1190	-0,0066	-19,7770	1,6563	-19,4135	-0,1325
61	MzMax	[pp+perm+pp fondazioni] {SEISMIC 1+}	-0,8053	-0,5155	-9,6566	1,5980	-11,3110	0,7614
61	MzMin	[pp+perm+pp fondazioni] {SEISMIC 1-}	-0,8053	-0,5155	-9,6566	1,5980	-11,3110	-0,7811
62	NxMax	[pp+perm+pp fondazioni] {SEISMIC 1+}	0,1960	0,5630	5,7819	-0,4211	4,7864	0,7582
62	NxMin	[pp+perm+pp fondazioni] {SEISMIC 1-}	-0,6994	0,5630	5,7819	-0,4211	4,7864	0,7582
62	VyMax	[pp+perm+pp fondazioni] {SEISMIC 1+}	-0,6994	0,5630	5,7819	-0,4211	4,7864	0,7582
62	VyMin	[pp+perm+pp fondazioni] {SEISMIC 1-}	-0,6994	-0,5563	5,7819	-0,4211	4,7864	0,7582
62	VzMax	[1,3*pp+perm+pp fondazioni] {1,5*neve} (1,5*0,6*vento)	-0,6861	0,0102	12,9967	-1,1166	-1,7070	0,0180
62	VzMin	[pp+perm+pp fondazioni] {SEISMIC 1-}	-0,6994	0,5630	2,3261	-0,4211	4,7864	0,7582
62	TxMax	[pp+perm+pp fondazioni] {SEISMIC 1+}	-0,6994	0,5630	5,7819	0,0476	4,7864	0,7582
62	TxMin	[1,3*pp+perm+1,3*pp fondazioni] {1,5*neve} (1,5*0,6*vento)	-0,6861	0,0102	12,9967	-1,1166	-1,4900	0,0180
62	MyMax	[1,3*pp+perm+1,3*pp fondazioni] {1,5*neve} (1,5*0,6*vento)	-0,6861	0,0102	12,9967	-1,1166	12,6244	0,0069
62	MyMin	[pp+perm+pp fondazioni] {SEISMIC 1-}	-0,6994	0,5630	5,7819	-0,4211	-4,4012	0,7582
62	MzMax	[pp+perm+pp fondazioni] {SEISMIC 1+}	-0,6994	0,5630	5,7819	-0,4211	4,7864	0,7582
62	MzMin	[pp+perm+pp fondazioni] {SEISMIC 1-}	-0,6994	0,5630	5,7819	-0,4211	4,7864	-0,7523
63	NxMax	[pp+perm+pp fondazioni] {SEISMIC 1+}	-0,0013	0,3375	3,3957	-0,4211	7,2298	-0,3648
63	NxMin	[1,3*pp+perm+1,3*pp fondazioni] {1,5*neve} (1,5*0,6*vento)	-0,6803	0,0084	5,0576	-1,1166	12,3337	0,0070
63	VyMax	[pp+perm+pp fondazioni] {SEISMIC 1+}	-0,4985	0,3375	3,3957	-0,4211	7,2298	-0,3648
63	VyMin	[pp+perm+pp fondazioni] {SEISMIC 1-}	-0,4985	-0,3321	3,3957	-0,4211	7,2298	-0,3648
63	VzMax	[1,3*pp+perm+pp fondazioni] {1,5*neve} (1,5*0,6*vento)	-0,6803	0,0084	5,0576	-1,1166	12,1167	0,0070
63	VzMin	[pp+perm+pp fondazioni] {SEISMIC 1-}	-0,4985	0,3375	-0,1759	-0,4211	7,2298	-0,3648
63	TxMax	[pp+perm+pp fondazioni] {SEISMIC 1+}	-0,4985	0,3375	3,3957	0,0476	7,2298	-0,3648
63	TxMin	[1,3*pp+perm+1,3*pp fondazioni] {1,5*neve} (1,5*0,6*vento)	-0,6803	0,0084	5,0576	-1,1166	12,3337	0,0070
63	MyMax	[1,3*pp+perm+1,3*pp fondazioni] {1,5*neve} (1,5*0,6*vento)	-0,6803	0,0084	5,0576	-1,1166	17,8262	-0,0021

63	MyMin	[pp+perm+pp fondazioni] {SEISMIC 1-}	-0,4985	0,3375	3,3957	-0,4211	1,7796	-0,3648
63	MzMax	[pp+perm+pp fondazioni] {SEISMIC 1+}	-0,4985	0,3375	3,3957	-0,4211	7,2298	0,3636
63	MzMin	[pp+perm+pp fondazioni] {SEISMIC 1-}	-0,4985	0,3375	3,3957	-0,4211	7,2298	-0,3648
64	NxMax	[pp+perm+pp fondazioni] {SEISMIC 1+}	0,0225	0,2408	1,8503	-0,4211	7,0302	-0,3291
64	NxMin	[1,3*pp+perm+1,3*pp fondazioni] {1,5*neve} (1,5*0,6*vento)	-0,6752	0,0079	-0,0507	-1,1166	17,7165	-0,0020
64	VyMax	[pp+perm+pp fondazioni] {SEISMIC 1+}	-0,5195	0,2408	1,8503	-0,4211	7,0302	-0,3291
64	VyMin	[pp+perm+pp fondazioni] {SEISMIC 1-}	-0,5195	-0,2359	1,8503	-0,4211	7,0302	-0,3291
64	VzMax	[pp+perm+pp fondazioni] {SEISMIC 1+}	-0,5195	0,2408	1,8503	-0,4211	7,0302	-0,3291
64	VzMin	[pp+perm+pp fondazioni] {SEISMIC 1-}	-0,5195	0,2408	-1,8024	-0,4211	7,0302	-0,3291
64	TxMax	[pp+perm+pp fondazioni] {SEISMIC 1+}	-0,5195	0,2408	1,8503	0,0476	7,0302	-0,3291
64	TxMin	[1,3*pp+perm+1,3*pp fondazioni] {1,5*neve} (1,5*0,6*vento)	-0,6752	0,0079	-0,0507	-1,1166	17,7165	-0,0020
64	MyMax	[1,3*pp+perm+1,3*pp fondazioni] {1,5*neve} (1,5*0,6*vento)	-0,6752	0,0079	-0,0507	-1,1166	17,7165	-0,0020
64	MyMin	[pp+perm+pp fondazioni] {SEISMIC 1-}	-0,5195	0,2408	1,8503	-0,4211	5,0650	-0,3619
64	MzMax	[pp+perm+pp fondazioni] {SEISMIC 1+}	-0,5195	0,2408	1,8503	-0,4211	7,4316	0,3496
64	MzMin	[pp+perm+pp fondazioni] {SEISMIC 1-}	-0,5195	0,2408	1,8503	-0,4211	7,4316	-0,3619
65	NxMax	[pp+perm+pp fondazioni] {SEISMIC 1+}	0,2559	0,3062	-3,5881	-0,4211	7,4693	-0,3621
65	NxMin	[pp+perm+pp fondazioni] {SEISMIC 1-}	-0,7508	0,3062	-3,5881	-0,4211	7,4693	-0,3621
65	VyMax	[pp+perm+pp fondazioni] {SEISMIC 1+}	-0,7508	0,3062	-3,5881	-0,4211	7,4693	-0,3621
65	VyMin	[pp+perm+pp fondazioni] {SEISMIC 1-}	-0,7508	-0,3011	-3,5881	-0,4211	7,4693	-0,3621
65	VzMax	[pp+perm+pp fondazioni] {SEISMIC 1+}	-0,7508	0,3062	0,3315	-0,4211	7,4693	-0,3621
65	VzMin	[1,3*pp+perm+1,3*pp fondazioni] {1,5*neve} (1,5*0,6*vento)	-0,6711	0,0087	-5,1374	-1,1166	17,7679	-0,0106
65	TxMax	[pp+perm+pp fondazioni] {SEISMIC 1+}	-0,7508	0,3062	-3,5881	0,0476	7,4693	-0,3621
65	TxMin	[1,3*pp+perm+1,3*pp fondazioni] {1,5*neve} (1,5*0,6*vento)	-0,6711	0,0087	-5,1374	-1,1166	17,7679	-0,0106
65	MyMax	[1,3*pp+perm+1,3*pp fondazioni] {1,5*neve} (1,5*0,6*vento)	-0,6711	0,0087	-5,1374	-1,1166	17,7679	-0,0106
65	MyMin	[pp+perm+pp fondazioni] {SEISMIC 1-}	-0,7508	0,3062	-3,5881	-0,4211	1,2155	-0,4165
65	MzMax	[pp+perm+pp fondazioni] {SEISMIC 1+}	-0,7508	0,3062	-3,5881	-0,4211	7,8253	0,3986
65	MzMin	[pp+perm+pp fondazioni] {SEISMIC 1-}	-0,7508	0,3062	-3,5881	-0,4211	7,8253	-0,4165
66	NxMax	[pp+perm+pp fondazioni] {SEISMIC 1+}	0,5308	0,5211	-6,2245	-0,4211	7,9525	-0,4176
66	NxMin	[pp+perm+pp fondazioni] {SEISMIC 1-}	-1,0240	0,5211	-6,2245	-0,4211	7,9525	-0,4176
66	VyMax	[pp+perm+pp fondazioni] {SEISMIC 1+}	-1,0240	0,5211	-6,2245	-0,4211	7,9525	-0,4176
66	VyMin	[pp+perm+pp fondazioni] {SEISMIC 1-}	-1,0240	-0,5153	-6,2245	-0,4211	7,9525	-0,4176
66	VzMax	[pp+perm+pp fondazioni] {SEISMIC 1+}	-1,0240	0,5211	-2,3231	-0,4211	7,9525	-0,4176
66	VzMin	[1,3*pp+perm+1,3*pp fondazioni] {1,5*neve} (1,5*0,6*vento)	-0,6677	0,0104	-13,0022	-1,1166	12,4749	-0,0199
66	TxMax	[pp+perm+pp fondazioni] {SEISMIC 1+}	-1,0240	0,5211	-6,2245	0,0476	7,9525	-0,4176
66	TxMin	[1,3*pp+perm+1,3*pp fondazioni] {1,5*neve} (1,5*0,6*vento)	-0,6677	0,0104	-13,0022	-1,1166	12,4749	-0,0199
66	MyMax	[1,3*pp+perm+1,3*pp fondazioni] {1,5*neve} (1,5*0,6*vento)	-0,6677	0,0104	-13,0022	-1,1166	12,4749	-0,0199
66	MyMin	[pp+perm+pp fondazioni] {SEISMIC 1-}	-1,0240	0,5211	-6,2245	-0,4211	-5,4702	-0,7071
66	MzMax	[pp+perm+pp fondazioni] {SEISMIC 1+}	-1,0240	0,5211	-6,2245	-0,4211	-5,4702	0,6830
66	MzMin	[pp+perm+pp fondazioni] {SEISMIC 1-}	-1,0240	0,5211	-6,2245	-0,4211	-5,4702	-0,7071
67	NxMax	[pp+perm+pp fondazioni] {SEISMIC 1+}	-0,1644	0,5414	5,6896	-0,5934	3,9912	0,8770
67	NxMin	[1,3*pp+perm+pp fondazioni] {1,5*neve} (1,5*0,6*vento)	-1,3183	0,1052	13,7715	-0,4948	-0,6278	0,2019
67	VyMax	[pp+perm+pp fondazioni] {SEISMIC 1+}	-0,7855	0,5414	5,6896	-0,5934	3,9912	0,8770
67	VyMin	[pp+perm+pp fondazioni] {SEISMIC 1-}	-0,7855	-0,4959	5,6896	-0,5934	3,9912	0,8770
67	VzMax	[1,3*pp+perm+pp fondazioni] {1,5*neve} (1,5*0,6*vento)	-1,3183	0,1052	13,7715	-0,4948	-0,6278	0,2019
67	VzMin	[pp+perm+pp fondazioni] {SEISMIC 1-}	-0,7855	0,5414	3,1204	-0,5934	3,9912	0,8770
67	TxMax	[pp+perm+pp fondazioni] {SEISMIC 1+}	-0,7855	0,5414	5,6896	0,1949	3,9912	0,8770
67	TxMin	[pp+perm+pp fondazioni] {SEISMIC 1-}	-0,7855	0,5414	5,6896	-0,5934	3,9912	0,8770
67	MyMax	[1,3*pp+perm+1,3*pp fondazioni] {1,5*neve} (1,5*0,6*vento)	-1,3183	0,1052	13,7715	-0,4948	14,5450	0,0877

67	MyMin	[pp+perm+pp fondazioni] {SEISMIC 1-}	-0,7855	0,5414	5,6896	-0,5934	-2,8204	0,8770
67	MzMax	[pp+perm+pp fondazioni] {SEISMIC 1+}	-0,7855	0,5414	5,6896	-0,5934	3,9912	0,8770
67	MzMin	[pp+perm+pp fondazioni] {SEISMIC 1-}	-0,7855	0,5414	5,6896	-0,5934	3,9912	-0,7893
68	NxMax	[pp+perm+pp fondazioni] {SEISMIC 1+}	0,0578	0,3440	3,0070	-0,5934	7,2874	0,4994
68	NxMin	[1,3*pp+perm+1,3*pp fondazioni] {1,5*neve} (1,5*0,6*vento)	-1,3220	0,1068	4,7657	-0,4948	14,2392	0,0879
68	VyMax	[pp+perm+pp fondazioni] {SEISMIC 1+}	-1,0097	0,3440	3,0070	-0,5934	7,2874	0,4994
68	VyMin	[pp+perm+pp fondazioni] {SEISMIC 1-}	-1,0097	-0,2969	3,0070	-0,5934	7,2874	0,4994
68	VzMax	[1,3*pp+perm+pp fondazioni] {1,5*neve} (1,5*0,6*vento)	-1,3220	0,1068	4,7657	-0,4948	14,0222	0,0879
68	VzMin	[pp+perm+pp fondazioni] {SEISMIC 1-}	-1,0097	0,3440	0,1418	-0,5934	7,2874	0,4994
68	TxMax	[pp+perm+pp fondazioni] {SEISMIC 1+}	-1,0097	0,3440	3,0070	0,1949	7,2874	0,4994
68	TxMin	[pp+perm+pp fondazioni] {SEISMIC 1-}	-1,0097	0,3440	3,0070	-0,5934	7,2874	0,4994
68	MyMax	[1,3*pp+perm+1,3*pp fondazioni] {1,5*neve} (1,5*0,6*vento)	-1,3220	0,1068	4,7657	-0,4948	19,4148	-0,0281
68	MyMin	[pp+perm+pp fondazioni] {SEISMIC 1-}	-1,0097	0,3440	3,0070	-0,5934	3,2726	0,4994
68	MzMax	[pp+perm+pp fondazioni] {SEISMIC 1+}	-1,0097	0,3440	3,0070	-0,5934	7,2874	0,4994
68	MzMin	[pp+perm+pp fondazioni] {SEISMIC 1-}	-1,0097	0,3440	3,0070	-0,5934	7,2874	-0,4609
69	NxMax	[pp+perm+pp fondazioni] {SEISMIC 1+}	0,2849	0,3152	-2,1390	-0,5934	7,4366	-0,3303
69	NxMin	[1,3*pp+perm+1,3*pp fondazioni] {1,5*neve} (1,5*0,6*vento)	-1,3273	0,1112	-1,3583	-0,4948	19,3122	-0,0279
69	VyMax	[pp+perm+pp fondazioni] {SEISMIC 1+}	-1,2398	0,3152	-2,1390	-0,5934	7,4366	-0,3303
69	VyMin	[pp+perm+pp fondazioni] {SEISMIC 1-}	-1,2398	-0,2653	-2,1390	-0,5934	7,4366	-0,3303
69	VzMax	[pp+perm+pp fondazioni] {SEISMIC 1+}	-1,2398	0,3152	1,1750	-0,5934	7,4366	-0,3303
69	VzMin	[pp+perm+pp fondazioni] {SEISMIC 1-}	-1,2398	0,3152	-2,1390	-0,5934	7,4366	-0,3303
69	TxMax	[pp+perm+pp fondazioni] {SEISMIC 1+}	-1,2398	0,3152	-2,1390	0,1949	7,4366	-0,3303
69	TxMin	[pp+perm+pp fondazioni] {SEISMIC 1-}	-1,2398	0,3152	-2,1390	-0,5934	7,4366	-0,3303
69	MyMax	[1,3*pp+perm+1,3*pp fondazioni] {1,5*neve} (1,5*0,6*vento)	-1,3273	0,1112	-1,3583	-0,4948	19,3122	-0,0279
69	MyMin	[pp+perm+pp fondazioni] {SEISMIC 1-}	-1,2398	0,3152	-2,1390	-0,5934	5,1087	-0,3009
69	MzMax	[pp+perm+pp fondazioni] {SEISMIC 1+}	-1,2398	0,3152	-2,1390	-0,5934	7,4366	0,3176
69	MzMin	[pp+perm+pp fondazioni] {SEISMIC 1-}	-1,2398	0,3152	-2,1390	-0,5934	7,4366	-0,3303
70	NxMax	[pp+perm+pp fondazioni] {SEISMIC 1+}	0,5136	0,3945	-4,8316	-0,5934	7,8351	-0,3012
70	NxMin	[pp+perm+pp fondazioni] {SEISMIC 1-}	-1,4729	0,3945	-4,8316	-0,5934	7,8351	-0,3012
70	VyMax	[pp+perm+pp fondazioni] {SEISMIC 1+}	-1,4729	0,3945	-4,8316	-0,5934	7,8351	-0,3012
70	VyMin	[pp+perm+pp fondazioni] {SEISMIC 1-}	-1,4729	-0,3409	-4,8316	-0,5934	7,8351	-0,3012
70	VzMax	[pp+perm+pp fondazioni] {SEISMIC 1+}	-1,4729	0,3945	-0,7708	-0,5934	7,8351	-0,3012
70	VzMin	[1,3*pp+perm+1,3*pp fondazioni] {1,5*neve} (1,5*0,6*vento)	-1,3342	0,1177	-7,6510	-0,4948	17,9616	-0,1485
70	TxMax	[pp+perm+pp fondazioni] {SEISMIC 1+}	-1,4729	0,3945	-4,8316	0,1949	7,8351	-0,3012
70	TxMin	[pp+perm+pp fondazioni] {SEISMIC 1-}	-1,4729	0,3945	-4,8316	-0,5934	7,8351	-0,3012
70	MyMax	[1,3*pp+perm+1,3*pp fondazioni] {1,5*neve} (1,5*0,6*vento)	-1,3342	0,1177	-7,6510	-0,4948	17,9616	-0,1485
70	MyMin	[pp+perm+pp fondazioni] {SEISMIC 1-}	-1,4729	0,3945	-4,8316	-0,5934	-0,0743	-0,5184
70	MzMax	[pp+perm+pp fondazioni] {SEISMIC 1+}	-1,4729	0,3945	-4,8316	-0,5934	6,9972	0,3935
70	MzMin	[pp+perm+pp fondazioni] {SEISMIC 1-}	-1,4729	0,3945	-4,8316	-0,5934	6,9972	-0,5184
71	NxMax	[pp+perm+pp fondazioni] {SEISMIC 1+}	0,7437	0,6207	-8,6116	-0,5934	7,1340	-0,5196
71	NxMin	[pp+perm+pp fondazioni] {SEISMIC 1-}	-1,7084	0,6207	-8,6116	-0,5934	7,1340	-0,5196
71	VyMax	[pp+perm+pp fondazioni] {SEISMIC 1+}	-1,7084	0,6207	-8,6116	-0,5934	7,1340	-0,5196
71	VyMin	[pp+perm+pp fondazioni] {SEISMIC 1-}	-1,7084	-0,5638	-8,6116	-0,5934	7,1340	-0,5196
71	VzMax	[pp+perm+pp fondazioni] {SEISMIC 1+}	-1,7084	0,6207	-4,0224	-0,5934	7,1340	-0,5196
71	VzMin	[1,3*pp+perm+1,3*pp fondazioni] {1,5*neve} (1,5*0,6*vento)	-1,3429	0,1240	-16,8903	-0,4948	9,9406	-0,2766
71	TxMax	[pp+perm+pp fondazioni] {SEISMIC 1+}	-1,7084	0,6207	-8,6116	0,1949	7,1340	-0,5196
71	TxMin	[pp+perm+pp fondazioni] {SEISMIC 1-}	-1,7084	0,6207	-8,6116	-0,5934	7,1340	-0,5196
71	MyMax	[1,3*pp+perm+1,3*pp fondazioni] {1,5*neve} (1,5*0,6*vento)	-1,3429	0,1240	-16,8903	-0,4948	9,9406	-0,2766

71	MyMin	[pp+perm+pp fondazioni] {SEISMIC 1-}	-1,7084	0,6207	-8,6116	-0,5934	-9,3407	-0,9691
71	MzMax	[pp+perm+pp fondazioni] {SEISMIC 1+}	-1,7084	0,6207	-8,6116	-0,5934	-9,3407	0,7822
71	MzMin	[pp+perm+pp fondazioni] {SEISMIC 1-}	-1,7084	0,6207	-8,6116	-0,5934	-9,3407	-0,9691
72	NxMax	[pp+perm+pp fondazioni] {SEISMIC 1+}	0,5287	-0,5842	6,2271	-1,0518	-3,0411	-0,6251
72	NxMin	[pp+perm+pp fondazioni] {SEISMIC 1-}	-0,5881	-0,5842	6,2271	-1,0518	-3,0411	-0,6251
72	VyMax	[pp+perm+pp fondazioni] {SEISMIC 1+}	-0,5881	0,5376	6,2271	-1,0518	-3,0411	-0,6251
72	VyMin	[pp+perm+pp fondazioni] {SEISMIC 1-}	-0,5881	-0,5842	6,2271	-1,0518	-3,0411	-0,6251
72	VzMax	[1,3*pp+perm+pp fondazioni] {1,5*neve} (1,5*0,6*vento)	0,2161	-0,0702	13,3167	-1,2460	-0,3970	-0,1420
72	VzMin	[pp+perm+pp fondazioni] {SEISMIC 1-}	-0,5881	-0,5842	3,9684	-1,0518	-3,0411	-0,6251
72	TxMax	[pp+perm+pp fondazioni] {SEISMIC 1+}	-0,5881	-0,5842	6,2271	-0,1103	-3,0411	-0,6251
72	TxMin	[1,3*pp+perm+pp fondazioni] {1,5*neve} (1,5*0,6*vento)	0,2161	-0,0702	13,3167	-1,2460	-0,3970	-0,1420
72	MyMax	[1,3*pp+perm+1,3*pp fondazioni] {1,5*neve} (1,5*0,6*vento)	0,2161	-0,0702	13,3167	-1,2460	12,8301	-0,0732
72	MyMin	[pp+perm+pp fondazioni] {SEISMIC 1-}	-0,5881	-0,5842	6,2271	-1,0518	-3,0411	-0,6251
72	MzMax	[pp+perm+pp fondazioni] {SEISMIC 1+}	-0,5881	-0,5842	6,2271	-1,0518	-3,0411	0,5307
72	MzMin	[pp+perm+pp fondazioni] {SEISMIC 1-}	-0,5881	-0,5842	6,2271	-1,0518	-3,0411	-0,6251
73	NxMax	[pp+perm+pp fondazioni] {SEISMIC 1+}	0,3270	-0,3751	3,2396	-1,0518	6,3425	-0,3355
73	NxMin	[pp+perm+pp fondazioni] {SEISMIC 1-}	-0,3844	-0,3751	3,2396	-1,0518	6,3425	-0,3355
73	VyMax	[pp+perm+pp fondazioni] {SEISMIC 1+}	-0,3844	0,3317	3,2396	-1,0518	6,3425	-0,3355
73	VyMin	[pp+perm+pp fondazioni] {SEISMIC 1-}	-0,3844	-0,3751	3,2396	-1,0518	6,3425	-0,3355
73	VzMax	[1,3*pp+perm+pp fondazioni] {1,5*neve} (1,5*0,6*vento)	0,2185	-0,0676	5,3911	-1,2460	12,3615	-0,0733
73	VzMin	[pp+perm+pp fondazioni] {SEISMIC 1-}	-0,3844	-0,3751	1,1446	-1,0518	6,3425	-0,3355
73	TxMax	[pp+perm+pp fondazioni] {SEISMIC 1+}	-0,3844	-0,3751	3,2396	-0,1103	6,3425	-0,3355
73	TxMin	[1,3*pp+perm+pp fondazioni] {1,5*neve} (1,5*0,6*vento)	0,2185	-0,0676	5,3911	-1,2460	12,3615	-0,0733
73	MyMax	[1,3*pp+perm+1,3*pp fondazioni] {1,5*neve} (1,5*0,6*vento)	0,2185	-0,0676	5,3911	-1,2460	17,8215	-0,0071
73	MyMin	[pp+perm+pp fondazioni] {SEISMIC 1-}	-0,3844	-0,3751	3,2396	-1,0518	2,6577	-0,3355
73	MzMax	[pp+perm+pp fondazioni] {SEISMIC 1+}	-0,3844	-0,3751	3,2396	-1,0518	7,7092	0,4101
73	MzMin	[pp+perm+pp fondazioni] {SEISMIC 1-}	-0,3844	-0,3751	3,2396	-1,0518	7,7092	-0,4164
74	NxMax	[pp+perm+pp fondazioni] {1,5*neve} (1,5*0,6*vento)	0,2295	-0,0604	0,8811	-1,0717	15,6755	-0,0062
74	NxMin	[pp+perm+pp fondazioni] {SEISMIC 1-}	-0,2604	-0,2090	1,5381	-1,0518	7,6464	-0,4158
74	VyMax	[pp+perm+pp fondazioni] {SEISMIC 1+}	-0,2604	0,1677	1,5381	-1,0518	7,6464	-0,4158
74	VyMin	[pp+perm+pp fondazioni] {SEISMIC 1-}	-0,2604	-0,2090	1,5381	-1,0518	7,6464	-0,4158
74	VzMax	[pp+perm+pp fondazioni] {SEISMIC 1+}	-0,2604	-0,2090	1,5381	-1,0518	7,6464	-0,4158
74	VzMin	[pp+perm+pp fondazioni] {SEISMIC 1-}	-0,2604	-0,2090	-0,4834	-1,0518	7,6464	-0,4158
74	TxMax	[pp+perm+pp fondazioni] {SEISMIC 1+}	-0,2604	-0,2090	1,5381	-0,1103	7,6464	-0,4158
74	TxMin	[1,3*pp+perm+pp fondazioni] {1,5*neve} (1,5*0,6*vento)	0,2212	-0,0666	1,0393	-1,2460	17,4757	-0,0072
74	MyMax	[1,3*pp+perm+1,3*pp fondazioni] {1,5*neve} (1,5*0,6*vento)	0,2212	-0,0666	1,0393	-1,2460	18,6709	0,0581
74	MyMin	[pp+perm+pp fondazioni] {SEISMIC 1-}	-0,2604	-0,2090	1,5381	-1,0518	5,5330	-0,4158
74	MzMax	[pp+perm+pp fondazioni] {SEISMIC 1+}	-0,2604	-0,2090	1,5381	-1,0518	8,0021	0,4946
74	MzMin	[pp+perm+pp fondazioni] {SEISMIC 1-}	-0,2604	-0,2090	1,5381	-1,0518	8,0021	-0,4605
75	NxMax	[pp+perm+pp fondazioni] {1,5*neve} (1,5*0,6*vento)	0,2321	-0,0613	-1,6674	-1,0717	16,5211	0,0529
75	NxMin	[pp+perm+pp fondazioni] {SEISMIC 1-}	-0,2594	-0,2028	-1,7379	-1,0518	7,9957	0,4946
75	VyMax	[pp+perm+pp fondazioni] {SEISMIC 1+}	-0,2594	0,1623	-1,7379	-1,0518	7,9957	0,4946
75	VyMin	[pp+perm+pp fondazioni] {SEISMIC 1-}	-0,2594	-0,2028	-1,7379	-1,0518	7,9957	0,4946
75	VzMax	[pp+perm+pp fondazioni] {SEISMIC 1+}	-0,2594	-0,2028	0,4433	-1,0518	7,9957	0,4946
75	VzMin	[1,3*pp+perm+1,3*pp fondazioni] {1,5*neve} (1,5*0,6*vento)	0,2240	-0,0673	-1,8616	-1,2460	18,6516	0,0580
75	TxMax	[pp+perm+pp fondazioni] {SEISMIC 1+}	-0,2594	-0,2028	-1,7379	-0,1103	7,9957	0,4946
75	TxMin	[1,3*pp+perm+pp fondazioni] {1,5*neve} (1,5*0,6*vento)	0,2240	-0,0673	-1,8616	-1,2460	18,4749	0,0580
75	MyMax	[1,3*pp+perm+1,3*pp fondazioni] {1,5*neve} (1,5*0,6*vento)	0,2240	-0,0673	-1,8616	-1,2460	18,6516	0,0580

75	MyMin	[pp+perm+pp fondazioni] {SEISMIC 1-}	-0,2594	-0,2028	-1,7379	-1,0518	5,0984	0,4617
75	MzMax	[pp+perm+pp fondazioni] {SEISMIC 1+}	-0,2594	-0,2028	-1,7379	-1,0518	7,9957	0,4946
75	MzMin	[pp+perm+pp fondazioni] {SEISMIC 1-}	-0,2594	-0,2028	-1,7379	-1,0518	7,9957	-0,4606
76	NxMax	[pp+perm+pp fondazioni] {SEISMIC 1+}	0,3407	-0,3639	-3,3856	-1,0518	7,8907	0,4621
76	NxMin	[pp+perm+pp fondazioni] {SEISMIC 1-}	-0,3925	-0,3639	-3,3856	-1,0518	7,8907	0,4621
76	VyMax	[pp+perm+pp fondazioni] {SEISMIC 1+}	-0,3925	0,3236	-3,3856	-1,0518	7,8907	0,4621
76	VyMin	[pp+perm+pp fondazioni] {SEISMIC 1-}	-0,3925	-0,3639	-3,3856	-1,0518	7,8907	0,4621
76	VzMax	[pp+perm+pp fondazioni] {SEISMIC 1+}	-0,3925	-0,3639	-0,9379	-1,0518	7,8907	0,4621
76	VzMin	[1,3*pp+perm+1,3*pp fondazioni] {1,5*neve} (1,5*0,6*vento)	0,2271	-0,0691	-5,6012	-1,2460	16,9541	0,1239
76	TxMax	[pp+perm+pp fondazioni] {SEISMIC 1+}	-0,3925	-0,3639	-3,3856	-0,1103	7,8907	0,4621
76	TxMin	[1,3*pp+perm+pp fondazioni] {1,5*neve} (1,5*0,6*vento)	0,2271	-0,0691	-5,6012	-1,2460	16,7775	0,1239
76	MyMax	[1,3*pp+perm+1,3*pp fondazioni] {1,5*neve} (1,5*0,6*vento)	0,2271	-0,0691	-5,6012	-1,2460	16,9541	0,1239
76	MyMin	[pp+perm+pp fondazioni] {SEISMIC 1-}	-0,3925	-0,3639	-3,3856	-1,0518	2,0782	0,3910
76	MzMax	[pp+perm+pp fondazioni] {SEISMIC 1+}	-0,3925	-0,3639	-3,3856	-1,0518	7,8907	0,4621
76	MzMin	[pp+perm+pp fondazioni] {SEISMIC 1-}	-0,3925	-0,3639	-3,3856	-1,0518	7,8907	-0,3885
77	NxMax	[pp+perm+pp fondazioni] {SEISMIC 1+}	0,5418	-0,5599	-5,9781	-1,0518	6,8283	0,3921
77	NxMin	[pp+perm+pp fondazioni] {SEISMIC 1-}	-0,5918	-0,5599	-5,9781	-1,0518	6,8283	0,3921
77	VyMax	[pp+perm+pp fondazioni] {SEISMIC 1+}	-0,5918	0,5197	-5,9781	-1,0518	6,8283	0,3921
77	VyMin	[pp+perm+pp fondazioni] {SEISMIC 1-}	-0,5918	-0,5599	-5,9781	-1,0518	6,8283	0,3921
77	VzMax	[pp+perm+pp fondazioni] {SEISMIC 1+}	-0,5918	-0,5599	-3,5306	-1,0518	6,8283	0,3921
77	VzMin	[1,3*pp+perm+1,3*pp fondazioni] {1,5*neve} (1,5*0,6*vento)	0,2305	-0,0705	-12,2088	-1,2460	11,7065	0,1918
77	TxMax	[pp+perm+pp fondazioni] {SEISMIC 1+}	-0,5918	-0,5599	-5,9781	-0,1103	6,8283	0,3921
77	TxMin	[1,3*pp+perm+pp fondazioni] {1,5*neve} (1,5*0,6*vento)	0,2305	-0,0705	-12,2088	-1,2460	11,5299	0,1918
77	MyMax	[1,3*pp+perm+1,3*pp fondazioni] {1,5*neve} (1,5*0,6*vento)	0,2305	-0,0705	-12,2088	-1,2460	11,7065	0,1918
77	MyMin	[pp+perm+pp fondazioni] {SEISMIC 1-}	-0,5918	-0,5599	-5,9781	-1,0518	-3,5396	0,6400
77	MzMax	[pp+perm+pp fondazioni] {SEISMIC 1+}	-0,5918	-0,5599	-5,9781	-1,0518	-3,5396	0,6400
77	MzMin	[pp+perm+pp fondazioni] {SEISMIC 1-}	-0,5918	-0,5599	-5,9781	-1,0518	-3,5396	-0,4874
78	NxMax	[pp+perm+pp fondazioni] {SEISMIC 1+}	-0,1993	0,8545	-9,7534	-1,0118	2,7084	-0,0823
78	NxMin	[1,3*pp+perm+1,3*pp fondazioni] {1,5*neve} (1,5*0,6*vento)	-1,1452	0,3225	-23,4593	0,5560	4,4857	-0,0409
78	VyMax	[pp+perm+pp fondazioni] {SEISMIC 1+}	-0,8339	0,8545	-9,7534	-1,0118	2,7084	-0,0823
78	VyMin	[pp+perm+pp fondazioni] {SEISMIC 1-}	-0,8339	-0,6414	-9,7534	-1,0118	2,7084	-0,0823
78	VzMax	[pp+perm+pp fondazioni] {SEISMIC 1+}	-0,8339	0,8545	-5,7644	-1,0118	2,7084	-0,0823
78	VzMin	[1,3*pp+perm+1,3*pp fondazioni] {1,5*neve} (1,5*0,6*vento)	-1,1452	0,3225	-23,4593	0,5560	4,4857	-0,0409
78	TxMax	[pp+perm+pp fondazioni] {1,5*neve} (1,5*0,6*vento)	-0,9902	0,2906	-21,1316	0,6535	3,6906	-0,0395
78	TxMin	[pp+perm+pp fondazioni] {SEISMIC 1-}	-0,8339	0,8545	-9,7534	-1,0118	2,7084	-0,0823
78	MyMax	[1,3*pp+perm+1,3*pp fondazioni] {1,5*neve} (1,5*0,6*vento)	-1,1452	0,3225	-23,4593	0,5560	4,4857	-0,0409
78	MyMin	[1,3*pp+perm+pp fondazioni] {1,5*neve} (1,5*0,6*vento)	-1,1452	0,3225	-23,4593	0,5560	-15,9838	-0,3204
78	MzMax	[pp+perm+pp fondazioni] {SEISMIC 1+}	-0,8339	0,8545	-9,7534	-1,0118	-5,8020	0,5232
78	MzMin	[pp+perm+pp fondazioni] {SEISMIC 1-}	-0,8339	0,8545	-9,7534	-1,0118	-5,8020	-0,7171
79	NxMax	[pp+perm+pp fondazioni] {SEISMIC 1+}	-0,4078	0,6274	-6,7156	-1,0118	8,4656	0,5684
79	NxMin	[1,3*pp+perm+1,3*pp fondazioni] {1,5*neve} (1,5*0,6*vento)	-1,1484	0,3188	-14,3829	0,5560	16,8927	0,2353
79	VyMax	[pp+perm+pp fondazioni] {SEISMIC 1+}	-0,6279	0,6274	-6,7156	-1,0118	8,4656	0,5684
79	VyMin	[pp+perm+pp fondazioni] {SEISMIC 1-}	-0,6279	-0,4165	-6,7156	-1,0118	8,4656	0,5684
79	VzMax	[pp+perm+pp fondazioni] {SEISMIC 1+}	-0,6279	0,6274	-2,9616	-1,0118	8,4656	0,5684
79	VzMin	[1,3*pp+perm+1,3*pp fondazioni] {1,5*neve} (1,5*0,6*vento)	-1,1484	0,3188	-14,3829	0,5560	16,8927	0,2353
79	TxMax	[pp+perm+pp fondazioni] {1,5*neve} (1,5*0,6*vento)	-0,9930	0,2871	-12,9313	0,6535	14,8426	0,2093
79	TxMin	[pp+perm+pp fondazioni] {SEISMIC 1-}	-0,6279	0,6274	-6,7156	-1,0118	8,4656	0,5684
79	MyMax	[1,3*pp+perm+1,3*pp fondazioni] {1,5*neve} (1,5*0,6*vento)	-1,1484	0,3188	-14,3829	0,5560	16,8927	0,2353

79	MyMin	[pp+perm+pp fondazioni] {SEISMIC 1-}	-0,6279	0,6274	-6,7156	-1,0118	2,5815	-0,0824
79	MzMax	[pp+perm+pp fondazioni] {SEISMIC 1+}	-0,6279	0,6274	-6,7156	-1,0118	8,4656	0,5684
79	MzMin	[pp+perm+pp fondazioni] {SEISMIC 1-}	-0,6279	0,6274	-6,7156	-1,0118	8,4656	-0,3951
80	NxMax	[pp+perm+pp fondazioni] {SEISMIC 1+}	-0,4143	0,4886	-3,7544	-1,0118	11,6987	0,9115
80	NxMin	[1,3*pp+perm+1,3*pp fondazioni] {1,5*neve} (1,5*0,6*vento)	-1,1525	0,3168	-5,9417	0,5560	22,0355	0,5098
80	VyMax	[pp+perm+pp fondazioni] {SEISMIC 1+}	-0,6247	0,4886	-3,7544	-1,0118	11,6987	0,9115
80	VyMin	[pp+perm+pp fondazioni] {SEISMIC 1-}	-0,6247	-0,2790	-3,7544	-1,0118	11,6987	0,9115
80	VzMax	[pp+perm+pp fondazioni] {SEISMIC 1+}	-0,6247	0,4886	-0,1022	-1,0118	11,6987	0,9115
80	VzMin	[1,3*pp+perm+1,3*pp fondazioni] {1,5*neve} (1,5*0,6*vento)	-1,1525	0,3168	-5,9417	0,5560	22,0355	0,5098
80	TxMax	[pp+perm+pp fondazioni] {1,5*neve} (1,5*0,6*vento)	-0,9967	0,2854	-5,3632	0,6535	19,4805	0,4565
80	TxMin	[pp+perm+pp fondazioni] {SEISMIC 1-}	-0,6247	0,4886	-3,7544	-1,0118	11,6987	0,9115
80	MyMax	[1,3*pp+perm+1,3*pp fondazioni] {1,5*neve} (1,5*0,6*vento)	-1,1525	0,3168	-5,9417	0,5560	22,0355	0,5098
80	MyMin	[pp+perm+pp fondazioni] {SEISMIC 1-}	-0,6247	0,4886	-3,7544	-1,0118	5,2042	0,5689
80	MzMax	[pp+perm+pp fondazioni] {SEISMIC 1+}	-0,6247	0,4886	-3,7544	-1,0118	11,6987	0,9115
80	MzMin	[pp+perm+pp fondazioni] {SEISMIC 1-}	-0,6247	0,4886	-3,7544	-1,0118	11,6987	-0,5565
81	NxMax	[pp+perm+pp fondazioni] {SEISMIC 1+}	0,2621	0,5356	5,9461	1,5625	3,6994	0,6864
81	NxMin	[1,3*pp+perm+1,3*pp fondazioni] {1,5*neve} (1,5*0,6*vento)	-0,9062	0,0463	11,3964	2,7437	0,4272	0,1854
81	VyMax	[pp+perm+pp fondazioni] {SEISMIC 1+}	-0,9016	0,5356	5,9461	1,5625	3,6994	0,6864
81	VyMin	[pp+perm+pp fondazioni] {SEISMIC 1-}	-0,9016	-0,4940	5,9461	1,5625	3,6994	0,6864
81	VzMax	[1,3*pp+perm+pp fondazioni] {1,5*neve} (1,5*0,6*vento)	-0,9062	0,0463	11,3964	2,7437	0,2103	0,1854
81	VzMin	[pp+perm+pp fondazioni] {SEISMIC 1-}	-0,9016	0,5356	2,9507	1,5625	3,6994	0,6864
81	TxMax	[1,3*pp+perm+1,3*pp fondazioni] {1,5*neve} (1,5*0,6*vento)	-0,9062	0,0463	11,3964	2,7437	0,4272	0,1854
81	TxMin	[pp+perm+pp fondazioni] {SEISMIC 1-}	-0,9016	0,5356	5,9461	1,2163	3,6994	0,6864
81	MyMax	[1,3*pp+perm+1,3*pp fondazioni] {1,5*neve} (1,5*0,6*vento)	-0,9062	0,0463	11,3964	2,7437	12,8037	0,1351
81	MyMin	[pp+perm+pp fondazioni] {SEISMIC 1-}	-0,9016	0,5356	5,9461	1,5625	-3,6874	0,6864
81	MzMax	[pp+perm+pp fondazioni] {SEISMIC 1+}	-0,9016	0,5356	5,9461	1,5625	3,6994	0,6864
81	MzMin	[pp+perm+pp fondazioni] {SEISMIC 1-}	-0,9016	0,5356	5,9461	1,5625	3,6994	-0,5331
82	NxMax	[pp+perm+pp fondazioni] {SEISMIC 1+}	0,0573	0,3044	3,3364	1,5625	6,9239	0,4347
82	NxMin	[1,3*pp+perm+1,3*pp fondazioni] {1,5*neve} (1,5*0,6*vento)	-0,9051	0,0388	4,3874	2,7437	12,5389	0,1351
82	VyMax	[pp+perm+pp fondazioni] {SEISMIC 1+}	-0,6958	0,3044	3,3364	1,5625	6,9239	0,4347
82	VyMin	[pp+perm+pp fondazioni] {SEISMIC 1-}	-0,6958	-0,2691	3,3364	1,5625	6,9239	0,4347
82	VzMax	[1,3*pp+perm+pp fondazioni] {1,5*neve} (1,5*0,6*vento)	-0,9051	0,0388	4,3874	2,7437	12,3219	0,1351
82	VzMin	[pp+perm+pp fondazioni] {SEISMIC 1-}	-0,6958	0,3044	0,1860	1,5625	6,9239	0,4347
82	TxMax	[1,3*pp+perm+1,3*pp fondazioni] {1,5*neve} (1,5*0,6*vento)	-0,9051	0,0388	4,3874	2,7437	12,5389	0,1351
82	TxMin	[pp+perm+pp fondazioni] {SEISMIC 1-}	-0,6958	0,3044	3,3364	1,2163	6,9239	0,4347
82	MyMax	[1,3*pp+perm+1,3*pp fondazioni] {1,5*neve} (1,5*0,6*vento)	-0,9051	0,0388	4,3874	2,7437	17,3036	0,0929
82	MyMin	[pp+perm+pp fondazioni] {SEISMIC 1-}	-0,6958	0,3044	3,3364	1,5625	2,5550	0,4347
82	MzMax	[pp+perm+pp fondazioni] {SEISMIC 1+}	-0,6958	0,3044	3,3364	1,5625	7,3755	0,4451
82	MzMin	[pp+perm+pp fondazioni] {SEISMIC 1-}	-0,6958	0,3044	3,3364	1,5625	7,3755	-0,3754
83	NxMax	[pp+perm+pp fondazioni] {SEISMIC 1+}	0,0318	0,1876	1,5939	1,5625	7,3397	0,4445
83	NxMin	[1,3*pp+perm+1,3*pp fondazioni] {1,5*neve} (1,5*0,6*vento)	-0,9050	0,0321	-0,1463	2,7437	17,2182	0,0930
83	VyMax	[pp+perm+pp fondazioni] {SEISMIC 1+}	-0,6702	0,1876	1,5939	1,5625	7,3397	0,4445
83	VyMin	[pp+perm+pp fondazioni] {SEISMIC 1-}	-0,6702	-0,1582	1,5939	1,5625	7,3397	0,4445
83	VzMax	[pp+perm+pp fondazioni] {SEISMIC 1+}	-0,6702	0,1876	1,5939	1,5625	7,3397	0,4445
83	VzMin	[pp+perm+pp fondazioni] {SEISMIC 1-}	-0,6702	0,1876	-1,5878	1,5625	7,3397	0,4445
83	TxMax	[1,3*pp+perm+1,3*pp fondazioni] {1,5*neve} (1,5*0,6*vento)	-0,9050	0,0321	-0,1463	2,7437	17,2182	0,0930
83	TxMin	[pp+perm+pp fondazioni] {SEISMIC 1-}	-0,6702	0,1876	1,5939	1,2163	7,3397	0,4445
83	MyMax	[1,3*pp+perm+1,3*pp fondazioni] {1,5*neve} (1,5*0,6*vento)	-0,9050	0,0321	-0,1463	2,7437	17,2182	0,0930

83	MyMin	[pp+perm+pp fondazioni] {SEISMIC 1-}	-0,6702	0,1876	1,5939	1,5625	5,2374	0,3960
83	MzMax	[pp+perm+pp fondazioni] {SEISMIC 1+}	-0,6702	0,1876	1,5939	1,5625	7,3397	0,4445
83	MzMin	[pp+perm+pp fondazioni] {SEISMIC 1-}	-0,6702	0,1876	1,5939	1,5625	7,3397	-0,3746
84	NxMax	[pp+perm+pp fondazioni] {SEISMIC 1+}	0,2090	0,2900	-3,5443	1,5625	8,0534	0,3960
84	NxMin	[1,3*pp+perm+1,3*pp fondazioni] {1,5*neve} (1,5*0,6*vento)	-0,9061	0,0277	-4,9477	2,7437	17,1832	0,0584
84	VyMax	[pp+perm+pp fondazioni] {SEISMIC 1+}	-0,8481	0,2900	-3,5443	1,5625	8,0534	0,3960
84	VyMin	[pp+perm+pp fondazioni] {SEISMIC 1-}	-0,8481	-0,2648	-3,5443	1,5625	8,0534	0,3960
84	VzMax	[pp+perm+pp fondazioni] {SEISMIC 1+}	-0,8481	0,2900	-0,0845	1,5625	8,0534	0,3960
84	VzMin	[1,3*pp+perm+1,3*pp fondazioni] {1,5*neve} (1,5*0,6*vento)	-0,9061	0,0277	-4,9477	2,7437	17,1832	0,0584
84	TxMax	[1,3*pp+perm+1,3*pp fondazioni] {1,5*neve} (1,5*0,6*vento)	-0,9061	0,0277	-4,9477	2,7437	17,1832	0,0584
84	TxMin	[pp+perm+pp fondazioni] {SEISMIC 1-}	-0,8481	0,2900	-3,5443	1,2163	8,0534	0,3960
84	MyMax	[1,3*pp+perm+1,3*pp fondazioni] {1,5*neve} (1,5*0,6*vento)	-0,9061	0,0277	-4,9477	2,7437	17,1832	0,0584
84	MyMin	[pp+perm+pp fondazioni] {SEISMIC 1-}	-0,8481	0,2900	-3,5443	1,5625	1,5652	0,2224
84	MzMax	[pp+perm+pp fondazioni] {SEISMIC 1+}	-0,8481	0,2900	-3,5443	1,5625	8,0534	0,3960
84	MzMin	[pp+perm+pp fondazioni] {SEISMIC 1-}	-0,8481	0,2900	-3,5443	1,5625	8,0534	-0,3579
85	NxMax	[pp+perm+pp fondazioni] {SEISMIC 1+}	0,5117	0,5073	-6,4068	1,5625	7,9624	0,2236
85	NxMin	[pp+perm+pp fondazioni] {SEISMIC 1-}	-1,1522	0,5073	-6,4068	1,5625	7,9624	0,2236
85	VyMax	[pp+perm+pp fondazioni] {SEISMIC 1+}	-1,1522	0,5073	-6,4068	1,5625	7,9624	0,2236
85	VyMin	[pp+perm+pp fondazioni] {SEISMIC 1-}	-1,1522	-0,4840	-6,4068	1,5625	7,9624	0,2236
85	VzMax	[pp+perm+pp fondazioni] {SEISMIC 1+}	-1,1522	0,5073	-2,9496	1,5625	7,9624	0,2236
85	VzMin	[1,3*pp+perm+1,3*pp fondazioni] {1,5*neve} (1,5*0,6*vento)	-0,9083	0,0267	-12,7226	2,7437	12,1073	0,0286
85	TxMax	[1,3*pp+perm+1,3*pp fondazioni] {1,5*neve} (1,5*0,6*vento)	-0,9083	0,0267	-12,7226	2,7437	12,1073	0,0286
85	TxMin	[pp+perm+pp fondazioni] {SEISMIC 1-}	-1,1522	0,5073	-6,4068	1,2163	7,9624	0,2236
85	MyMax	[1,3*pp+perm+1,3*pp fondazioni] {1,5*neve} (1,5*0,6*vento)	-0,9083	0,0267	-12,7226	2,7437	12,1073	0,0286
85	MyMin	[pp+perm+pp fondazioni] {SEISMIC 1-}	-1,1522	0,5073	-6,4068	1,5625	-5,0703	-0,5210
85	MzMax	[pp+perm+pp fondazioni] {SEISMIC 1+}	-1,1522	0,5073	-6,4068	1,5625	-5,0703	0,5066
85	MzMin	[pp+perm+pp fondazioni] {SEISMIC 1-}	-1,1522	0,5073	-6,4068	1,5625	-5,0703	-0,5210
86	NxMax	[pp+perm+pp fondazioni] {SEISMIC 1+}	0,2370	0,3825	-5,8047	0,8112	2,5541	-0,1339
86	NxMin	[pp+perm+pp fondazioni] {SEISMIC 1-}	-0,3631	0,3825	-5,8047	0,8112	2,5541	-0,1339
86	VyMax	[pp+perm+pp fondazioni] {SEISMIC 1+}	-0,3631	0,3825	-5,8047	0,8112	2,5541	-0,1339
86	VyMin	[pp+perm+pp fondazioni] {SEISMIC 1-}	-0,3631	-0,3670	-5,8047	0,8112	2,5541	-0,1339
86	VzMax	[pp+perm+pp fondazioni] {SEISMIC 1+}	-0,3631	0,3825	-2,4556	0,8112	2,5541	-0,1339
86	VzMin	[1,3*pp+perm+1,3*pp fondazioni] {1,5*neve} (1,5*0,6*vento)	0,0797	0,0295	-12,6993	0,3537	3,6654	-0,0994
86	TxMax	[pp+perm+pp fondazioni] {SEISMIC 1+}	-0,3631	0,3825	-5,8047	0,8112	2,5541	-0,1339
86	TxMin	[pp+perm+pp fondazioni] {SEISMIC 1-}	-0,3631	0,3825	-5,8047	-0,3745	2,5541	-0,1339
86	MyMax	[1,3*pp+perm+1,3*pp fondazioni] {1,5*neve} (1,5*0,6*vento)	0,0797	0,0295	-12,6993	0,3537	3,6654	-0,0994
86	MyMin	[1,3*pp+perm+pp fondazioni] {1,5*neve} (1,5*0,6*vento)	0,0797	0,0295	-12,6993	0,3537	-7,4788	-0,1250
86	MzMax	[pp+perm+pp fondazioni] {SEISMIC 1+}	-0,3631	0,3825	-5,8047	0,8112	-2,4843	0,3556
86	MzMin	[pp+perm+pp fondazioni] {SEISMIC 1-}	-0,3631	0,3825	-5,8047	0,8112	-2,4843	-0,4377
87	NxMax	[pp+perm+pp fondazioni] {1,5*neve} (1,5*0,6*vento)	0,1006	0,0261	-2,7838	0,2882	5,4383	-0,0665
87	NxMin	[pp+perm+pp fondazioni] {SEISMIC 1-}	-0,1737	0,3357	-2,2338	0,8112	4,4831	-0,2705
87	VyMax	[pp+perm+pp fondazioni] {SEISMIC 1+}	-0,1737	0,3357	-2,2338	0,8112	4,4831	-0,2705
87	VyMin	[pp+perm+pp fondazioni] {SEISMIC 1-}	-0,1737	-0,3206	-2,2338	0,8112	4,4831	-0,2705
87	VzMax	[pp+perm+pp fondazioni] {SEISMIC 1+}	-0,1737	0,3357	0,6404	0,8112	4,4831	-0,2705
87	VzMin	[1,3*pp+perm+1,3*pp fondazioni] {1,5*neve} (1,5*0,6*vento)	0,0818	0,0284	-3,0228	0,3537	6,2724	-0,0748
87	TxMax	[pp+perm+pp fondazioni] {SEISMIC 1+}	-0,1737	0,3357	-2,2338	0,8112	4,4831	-0,2705
87	TxMin	[pp+perm+pp fondazioni] {SEISMIC 1-}	-0,1737	0,3357	-2,2338	-0,3745	4,4831	-0,2705
87	MyMax	[1,3*pp+perm+1,3*pp fondazioni] {1,5*neve} (1,5*0,6*vento)	0,0818	0,0284	-3,0228	0,3537	6,2724	-0,0748

87	MyMin	[pp+perm+pp fondazioni] {SEISMIC 1-}	-0,1737	0,3357	-2,2338	0,8112	1,0779	-0,2705
87	MzMax	[pp+perm+pp fondazioni] {SEISMIC 1+}	-0,1737	0,3357	-2,2338	0,8112	4,4831	0,2149
87	MzMin	[pp+perm+pp fondazioni] {SEISMIC 1-}	-0,1737	0,3357	-2,2338	0,8112	4,4831	-0,2705
88	NxMax	[pp+perm+pp fondazioni] {1,5*neve} (1,5*0,6*vento)	0,1027	0,0265	5,8211	0,2882	0,3991	-0,0436
88	NxMin	[pp+perm+pp fondazioni] {SEISMIC 1-}	-0,1753	0,3747	3,9621	0,8112	3,3373	-0,5681
88	VyMax	[pp+perm+pp fondazioni] {SEISMIC 1+}	-0,1753	0,3747	3,9621	0,8112	3,3373	-0,5681
88	VyMin	[pp+perm+pp fondazioni] {SEISMIC 1-}	-0,1753	-0,3591	3,9621	0,8112	3,3373	-0,5681
88	VzMax	[1,3*pp+perm+pp fondazioni] {1,5*neve} (1,5*0,6*vento)	0,0839	0,0289	6,6008	0,3537	0,4220	-0,0499
88	VzMin	[pp+perm+pp fondazioni] {SEISMIC 1-}	-0,1753	0,3747	1,2359	0,8112	3,3373	-0,5681
88	TxMax	[pp+perm+pp fondazioni] {SEISMIC 1+}	-0,1753	0,3747	3,9621	0,8112	3,3373	-0,5681
88	TxMin	[pp+perm+pp fondazioni] {SEISMIC 1-}	-0,1753	0,3747	3,9621	-0,3745	3,3373	-0,5681
88	MyMax	[1,3*pp+perm+1,3*pp fondazioni] {1,5*neve} (1,5*0,6*vento)	0,0839	0,0289	6,6008	0,3537	6,2808	-0,0749
88	MyMin	[pp+perm+pp fondazioni] {SEISMIC 1-}	-0,1753	0,3747	3,9621	0,8112	-2,2638	-0,5681
88	MzMax	[pp+perm+pp fondazioni] {SEISMIC 1+}	-0,1753	0,3747	3,9621	0,8112	3,3373	0,5260
88	MzMin	[pp+perm+pp fondazioni] {SEISMIC 1-}	-0,1753	0,3747	3,9621	0,8112	3,3373	-0,5681
89	NxMax	[pp+perm+pp fondazioni] {SEISMIC 1+}	0,4865	-1,0921	10,4163	3,8362	-4,9659	-0,0489
89	NxMin	[pp+perm+pp fondazioni] {SEISMIC 1-}	-1,5769	-1,0921	10,4163	3,8362	-4,9659	-0,0489
89	VyMax	[pp+perm+pp fondazioni] {SEISMIC 1+}	-1,5769	0,6579	10,4163	3,8362	-4,9659	-0,0489
89	VyMin	[pp+perm+pp fondazioni] {SEISMIC 1-}	-1,5769	-1,0921	10,4163	3,8362	-4,9659	-0,0489
89	VzMax	[1,3*pp+perm+pp fondazioni] {1,5*neve} (1,5*0,6*vento)	-1,2107	-0,5952	25,8399	1,9226	-3,2666	-0,0461
89	VzMin	[pp+perm+pp fondazioni] {SEISMIC 1-}	-1,5769	-1,0921	10,1955	3,8362	-4,9659	-0,0489
89	TxMax	[pp+perm+pp fondazioni] {SEISMIC 1+}	-1,5769	-1,0921	10,4163	3,8362	-4,9659	-0,0489
89	TxMin	[pp+perm+pp fondazioni] {SEISMIC 1-}	-1,5769	-1,0921	10,4163	-2,4053	-4,9659	-0,0489
89	MyMax	[1,3*pp+perm+1,3*pp fondazioni] {1,5*neve} (1,5*0,6*vento)	-1,2107	-0,5952	25,8399	1,9226	12,9551	0,3259
89	MyMin	[pp+perm+pp fondazioni] {SEISMIC 1-}	-1,5769	-1,0921	10,4163	3,8362	-4,9659	-0,0489
89	MzMax	[pp+perm+pp fondazioni] {SEISMIC 1+}	-1,5769	-1,0921	10,4163	3,8362	8,6352	0,6346
89	MzMin	[pp+perm+pp fondazioni] {SEISMIC 1-}	-1,5769	-1,0921	10,4163	3,8362	8,6352	-0,3953
90	NxMax	[pp+perm+pp fondazioni] {SEISMIC 1+}	0,3463	-0,9058	7,9592	3,8362	8,5938	0,6341
90	NxMin	[pp+perm+pp fondazioni] {SEISMIC 1-}	-1,4333	-0,9058	7,9592	3,8362	8,5938	0,6341
90	VyMax	[pp+perm+pp fondazioni] {SEISMIC 1+}	-1,4333	0,4741	7,9592	3,8362	8,5938	0,6341
90	VyMin	[pp+perm+pp fondazioni] {SEISMIC 1-}	-1,4333	-0,9058	7,9592	3,8362	8,5938	0,6341
90	VzMax	[1,3*pp+perm+pp fondazioni] {1,5*neve} (1,5*0,6*vento)	-1,2066	-0,5920	18,1388	1,9226	12,8238	0,3258
90	VzMin	[pp+perm+pp fondazioni] {SEISMIC 1-}	-1,4333	-0,9058	6,5886	3,8362	8,5938	0,6341
90	TxMax	[pp+perm+pp fondazioni] {SEISMIC 1+}	-1,4333	-0,9058	7,9592	3,8362	8,5938	0,6341
90	TxMin	[pp+perm+pp fondazioni] {SEISMIC 1-}	-1,4333	-0,9058	7,9592	-2,4053	8,5938	0,6341
90	MyMax	[1,3*pp+perm+1,3*pp fondazioni] {1,5*neve} (1,5*0,6*vento)	-1,2066	-0,5920	18,1388	1,9226	24,2324	0,6958
90	MyMin	[pp+perm+pp fondazioni] {SEISMIC 1-}	-1,4333	-0,9058	7,9592	3,8362	1,5102	0,6341
90	MzMax	[pp+perm+pp fondazioni] {SEISMIC 1+}	-1,4333	-0,9058	7,9592	3,8362	12,7813	1,2000
90	MzMin	[pp+perm+pp fondazioni] {SEISMIC 1-}	-1,4333	-0,9058	7,9592	3,8362	12,7813	-0,6910
91	NxMax	[pp+perm+pp fondazioni] {SEISMIC 1+}	-0,0666	0,3417	-5,0427	-2,2724	6,4142	-0,4002
91	NxMin	[1,3*pp+perm+1,3*pp fondazioni] {1,5*neve} (1,5*0,6*vento)	-0,5649	0,2794	-9,8813	-2,8640	11,1764	-0,0561
91	VyMax	[pp+perm+pp fondazioni] {SEISMIC 1+}	-0,3348	0,3417	-5,0427	-2,2724	6,4142	-0,4002
91	VyMin	[pp+perm+pp fondazioni] {SEISMIC 1-}	-0,3348	-0,1921	-5,0427	-2,2724	6,4142	-0,4002
91	VzMax	[pp+perm+pp fondazioni] {SEISMIC 1+}	-0,3348	0,3417	-2,3290	-2,2724	6,4142	-0,4002
91	VzMin	[1,3*pp+perm+1,3*pp fondazioni] {1,5*neve} (1,5*0,6*vento)	-0,5649	0,2794	-9,8813	-2,8640	11,1764	-0,0561
91	TxMax	[pp+perm+pp fondazioni] {SEISMIC 1+}	-0,3348	0,3417	-5,0427	0,1481	6,4142	-0,4002
91	TxMin	[1,3*pp+perm+1,3*pp fondazioni] {1,5*neve} (1,5*0,6*vento)	-0,5649	0,2794	-9,8813	-2,8640	11,1764	-0,0561
91	MyMax	[1,3*pp+perm+1,3*pp fondazioni] {1,5*neve} (1,5*0,6*vento)	-0,5649	0,2794	-9,8813	-2,8640	11,1764	-0,0561

91	MyMin	[pp+perm+pp fondazioni] {SEISMIC 1-}	-0,3348	0,3417	-5,0427	-2,2724	-1,9165	-0,6662
91	MzMax	[pp+perm+pp fondazioni] {SEISMIC 1+}	-0,3348	0,3417	-5,0427	-2,2724	3,9198	0,4838
91	MzMin	[pp+perm+pp fondazioni] {SEISMIC 1-}	-0,3348	0,3417	-5,0427	-2,2724	3,9198	-0,6662
92	NxMax	[pp+perm+pp fondazioni] {SEISMIC 1+}	-0,0712	0,3173	1,6303	-2,2724	5,0810	0,2326
92	NxMin	[1,3*pp+perm+1,3*pp fondazioni] {1,5*neve} (1,5*0,6*vento)	-0,5643	0,2813	0,1420	-2,8640	11,0327	0,2143
92	VyMax	[pp+perm+pp fondazioni] {SEISMIC 1+}	-0,3292	0,3173	1,6303	-2,2724	5,0810	0,2326
92	VyMin	[pp+perm+pp fondazioni] {SEISMIC 1-}	-0,3292	-0,1665	1,6303	-2,2724	5,0810	0,2326
92	VzMax	[pp+perm+pp fondazioni] {SEISMIC 1+}	-0,3292	0,3173	1,6303	-2,2724	5,0810	0,2326
92	VzMin	[pp+perm+pp fondazioni] {SEISMIC 1-}	-0,3292	0,3173	-1,3305	-2,2724	5,0810	0,2326
92	TxMax	[pp+perm+pp fondazioni] {SEISMIC 1+}	-0,3292	0,3173	1,6303	0,1481	5,0810	0,2326
92	TxMin	[1,3*pp+perm+1,3*pp fondazioni] {1,5*neve} (1,5*0,6*vento)	-0,5643	0,2813	0,1420	-2,8640	11,0327	0,2143
92	MyMax	[1,3*pp+perm+1,3*pp fondazioni] {1,5*neve} (1,5*0,6*vento)	-0,5643	0,2813	0,1420	-2,8640	11,1694	-0,0564
92	MyMin	[pp+perm+pp fondazioni] {SEISMIC 1-}	-0,3292	0,3173	1,6303	-2,2724	2,6913	-0,4006
92	MzMax	[pp+perm+pp fondazioni] {SEISMIC 1+}	-0,3292	0,3173	1,6303	-2,2724	6,4011	0,3619
92	MzMin	[pp+perm+pp fondazioni] {SEISMIC 1-}	-0,3292	0,3173	1,6303	-2,2724	6,4011	-0,4006
93	NxMax	[pp+perm+pp fondazioni] {SEISMIC 1+}	0,1400	0,4616	5,9422	-2,2724	1,7016	0,3558
93	NxMin	[1,3*pp+perm+1,3*pp fondazioni] {1,5*neve} (1,5*0,6*vento)	-0,5642	0,2888	10,6817	-2,8640	0,8246	0,4919
93	VyMax	[pp+perm+pp fondazioni] {SEISMIC 1+}	-0,5397	0,4616	5,9422	-2,2724	1,7016	0,3558
93	VyMin	[pp+perm+pp fondazioni] {SEISMIC 1-}	-0,5397	-0,3063	5,9422	-2,2724	1,7016	0,3558
93	VzMax	[1,3*pp+perm+pp fondazioni] {1,5*neve} (1,5*0,6*vento)	-0,5642	0,2888	10,6817	-2,8640	0,6542	0,4919
93	VzMin	[pp+perm+pp fondazioni] {SEISMIC 1-}	-0,5397	0,4616	2,4040	-2,2724	1,7016	0,3558
93	TxMax	[pp+perm+pp fondazioni] {SEISMIC 1+}	-0,5397	0,4616	5,9422	0,1481	1,7016	0,3558
93	TxMin	[1,3*pp+perm+1,3*pp fondazioni] {1,5*neve} (1,5*0,6*vento)	-0,5642	0,2888	10,6817	-2,8640	0,8246	0,4919
93	MyMax	[1,3*pp+perm+1,3*pp fondazioni] {1,5*neve} (1,5*0,6*vento)	-0,5642	0,2888	10,6817	-2,8640	11,1058	0,2139
93	MyMin	[pp+perm+pp fondazioni] {SEISMIC 1-}	-0,5397	0,4616	5,9422	-2,2724	-0,8770	0,3558
93	MzMax	[1,3*pp+perm+1,3*pp fondazioni] {1,5*neve} (1,5*0,6*vento)	-0,5642	0,2888	10,6817	-2,8640	0,8246	0,4919
93	MzMin	[pp+perm+pp fondazioni] {SEISMIC 1-}	-0,5397	0,4616	5,9422	-2,2724	5,1124	-0,1266
94	NxMax	[pp+perm+pp fondazioni] {SEISMIC 1+}	0,3630	0,6566	10,8594	-2,2724	-11,2124	0,9715
94	NxMin	[pp+perm+pp fondazioni] {SEISMIC 1-}	-0,7626	0,6566	10,8594	-2,2724	-11,2124	0,9715
94	VyMax	[pp+perm+pp fondazioni] {SEISMIC 1+}	-0,7626	0,6566	10,8594	-2,2724	-11,2124	0,9715
94	VyMin	[pp+perm+pp fondazioni] {SEISMIC 1-}	-0,7626	-0,4948	10,8594	-2,2724	-11,2124	0,9715
94	VzMax	[1,3*pp+perm+pp fondazioni] {1,5*neve} (1,5*0,6*vento)	-0,5647	0,2997	22,7401	-2,8640	-21,1220	0,7803
94	VzMin	[pp+perm+pp fondazioni] {SEISMIC 1-}	-0,7626	0,6566	6,6492	-2,2724	-11,2124	0,9715
94	TxMax	[pp+perm+pp fondazioni] {SEISMIC 1+}	-0,7626	0,6566	10,8594	0,1481	-11,2124	0,9715
94	TxMin	[1,3*pp+perm+1,3*pp fondazioni] {1,5*neve} (1,5*0,6*vento)	-0,5647	0,2997	22,7401	-2,8640	-20,9516	0,7803
94	MyMax	[pp+perm+pp fondazioni] {SEISMIC 1+}	-0,7626	0,6566	10,8594	-2,2724	1,7493	0,3547
94	MyMin	[1,3*pp+perm+pp fondazioni] {1,5*neve} (1,5*0,6*vento)	-0,5647	0,2997	22,7401	-2,8640	-21,1220	0,7803
94	MzMax	[pp+perm+pp fondazioni] {SEISMIC 1+}	-0,7626	0,6566	10,8594	-2,2724	-11,2124	0,9715
94	MzMin	[pp+perm+pp fondazioni] {SEISMIC 1-}	-0,7626	0,6566	10,8594	-2,2724	-11,2124	-0,5601
95	NxMax	[1,3*pp+perm+1,3*pp fondazioni] {1,5*neve} (1,5*0,6*vento)	0,8524	-2,6923	-2,0104	-0,3473	1,0322	-1,6363
95	NxMin	[pp+perm+pp fondazioni] {SEISMIC 1-}	0,1438	-0,9036	-0,5012	-0,1108	0,0110	-0,1218
95	VyMax	[pp+perm+pp fondazioni] {SEISMIC 1+}	0,2865	-0,4568	-0,5656	-0,1108	0,2770	-0,4724
95	VyMin	[1,3*pp+perm+pp fondazioni] {1,5*neve} (1,5*0,6*vento)	0,8524	-2,6923	-2,0104	-0,3473	1,0322	-1,6363
95	VzMax	[pp+perm+pp fondazioni] {SEISMIC 1+}	0,2627	-0,9036	-0,4558	-0,1108	0,0110	-0,1218
95	VzMin	[1,3*pp+perm+1,3*pp fondazioni] {1,5*neve} (1,5*0,6*vento)	0,8524	-2,6923	-2,0104	-0,3473	1,0322	-1,6363
95	TxMax	[pp+perm+pp fondazioni] {SEISMIC 1+}	0,2865	-0,9036	-0,5656	-0,0726	0,2770	-0,4724
95	TxMin	[1,3*pp+perm+1,3*pp fondazioni] {1,5*neve} (1,5*0,6*vento)	0,8524	-2,6923	-2,0104	-0,3473	1,0322	-1,6363
95	MyMax	[1,3*pp+perm+1,3*pp fondazioni] {1,5*neve} (1,5*0,6*vento)	0,8524	-2,6923	-2,0104	-0,3473	1,0322	-1,6363

95	MyMin	[pp+perm+pp fondazioni] {SEISMIC 1-}	0,2627	-0,9036	-0,5012	-0,1108	-0,0059	-0,1218
95	MzMax	[pp+perm+pp fondazioni] {SEISMIC 1+}	0,2627	-0,9036	-0,5012	-0,1108	0,0110	0,0018
95	MzMin	[1,3*pp+perm+pp fondazioni] {1,5*neve} (1,5*0,6*vento)	0,8524	-2,6923	-2,0104	-0,3473	1,0322	-1,6363
98	NxMax	[1,3*pp+perm+1,3*pp fondazioni] {1,5*neve} (1,5*0,6*vento)	20,6819	0,0617	-1,2227	0,0039	1,3489	0,1630
98	NxMin	[pp+perm+pp fondazioni] {SEISMIC 1-}	4,9427	0,0354	-0,5688	0,0062	0,5717	0,1444
98	VyMax	[1,3*pp+perm+1,3*pp fondazioni] {1,5*neve} (1,5*0,6*vento)	20,6819	0,0617	-1,2227	0,0039	1,3489	0,1630
98	VyMin	[pp+perm+pp fondazioni] {SEISMIC 1-}	5,2476	-0,0029	-0,5688	0,0062	0,5717	0,1444
98	VzMax	[1,3*pp+perm+pp fondazioni]	6,6238	0,0212	0,2269	0,0012	-0,6444	-0,0598
98	VzMin	[1,3*pp+perm+1,3*pp fondazioni] {1,5*neve} (1,5*0,6*vento)	20,6819	0,0617	-1,2227	0,0039	1,3489	0,1630
98	TxMax	[pp+perm+pp fondazioni] {SEISMIC 1+}	5,2476	0,0354	-0,5688	0,0062	0,5717	0,1444
98	TxMin	[pp+perm+pp fondazioni] {SEISMIC 1-}	5,2476	0,0354	-0,5688	-0,0043	0,5717	0,1444
98	MyMax	[1,3*pp+perm+1,3*pp fondazioni] {1,5*neve} (1,5*0,6*vento)	20,6819	0,0617	-1,2227	0,0039	1,3489	0,1630
98	MyMin	[1,3*pp+perm+1,3*pp fondazioni] {1,5*neve} (1,5*0,6*vento)	20,6819	0,0617	-0,2904	0,0039	-2,7592	-0,1721
98	MzMax	[1,3*pp+perm+1,3*pp fondazioni] {1,5*neve} (1,5*0,6*vento)	20,6819	0,0617	-1,2227	0,0039	1,3489	0,1630
98	MzMin	[pp+perm+pp fondazioni] {SEISMIC 1-}	5,2476	0,0354	0,2007	0,0062	-0,5701	-0,2361
99	NxMax	[1,3*pp+perm+1,3*pp fondazioni] {1,5*neve} (1,5*0,6*vento)	0,3665	1,8843	-1,4121	-0,0015	0,7347	0,9096
99	NxMin	[pp+perm+pp fondazioni] {SEISMIC 1-}	0,0331	0,7450	-0,2770	-0,0138	0,0095	-0,0950
99	VyMax	[1,3*pp+perm+1,3*pp fondazioni] {1,5*neve} (1,5*0,6*vento)	0,3665	1,8843	-1,4121	-0,0015	0,7347	0,9096
99	VyMin	[pp+perm+pp fondazioni] {SEISMIC 1-}	0,1120	0,2394	-0,3415	-0,0138	0,1633	0,3424
99	VzMax	[pp+perm+pp fondazioni] {SEISMIC 1+}	0,0883	0,7450	-0,2432	-0,0138	0,0095	-0,0950
99	VzMin	[1,3*pp+perm+1,3*pp fondazioni] {1,5*neve} (1,5*0,6*vento)	0,3665	1,8843	-1,4121	-0,0015	0,7347	0,9096
99	TxMax	[pp+perm+pp fondazioni] {SEISMIC 1+}	0,1120	0,7450	-0,3415	0,0133	0,1633	0,3424
99	TxMin	[pp+perm+pp fondazioni] {SEISMIC 1-}	0,1120	0,7450	-0,3415	-0,0138	0,1633	0,3424
99	MyMax	[1,3*pp+perm+1,3*pp fondazioni] {1,5*neve} (1,5*0,6*vento)	0,3665	1,8843	-1,4121	-0,0015	0,7347	0,9096
99	MyMin	[pp+perm+pp fondazioni] {SEISMIC 1-}	0,0883	0,7450	-0,2770	-0,0138	0,0011	-0,0950
99	MzMax	[1,3*pp+perm+1,3*pp fondazioni] {1,5*neve} (1,5*0,6*vento)	0,3665	1,8843	-1,4121	-0,0015	0,7347	0,9096
99	MzMin	[pp+perm+pp fondazioni] {SEISMIC 1-}	0,0883	0,7450	-0,2770	-0,0138	0,0095	-0,0950
100	NxMax	[1,3*pp+perm+pp fondazioni] {1,5*neve} (1,5*0,6*vento)	10,4200	-0,5178	-11,0142	0,0066	0,0000	-0,4253
100	NxMin	[pp+perm+pp fondazioni] {SEISMIC 1-}	2,3891	-0,5464	-3,0277	0,0200	0,0000	-0,6004
100	VyMax	[pp+perm+pp fondazioni] {SEISMIC 1+}	3,0134	0,2937	-3,0277	0,0200	0,0000	-0,6004
100	VyMin	[pp+perm+pp fondazioni] {SEISMIC 1-}	3,0134	-0,5464	-3,0277	0,0200	0,0000	-0,6004
100	VzMax	[pp+perm+pp fondazioni] {SEISMIC 1+}	3,0134	-0,5464	-2,4561	0,0200	-5,4647	0,5090
100	VzMin	[1,3*pp+perm+pp fondazioni] {1,5*neve} (1,5*0,6*vento)	10,4200	-0,5178	-11,0142	0,0066	0,0000	-0,4253
100	TxMax	[pp+perm+pp fondazioni] {SEISMIC 1+}	3,0134	-0,5464	-3,0277	0,0200	0,0000	-0,6004
100	TxMin	[pp+perm+pp fondazioni] {SEISMIC 1-}	3,0134	-0,5464	-3,0277	-0,0171	0,0000	-0,6004
100	MyMax	[pp+perm+pp fondazioni] {SEISMIC 1+}	3,0134	-0,5464	-3,0277	0,0200	0,0000	-0,6004
100	MyMin	[1,3*pp+perm+pp fondazioni] {1,5*neve} (1,5*0,6*vento)	10,4200	-0,5178	-10,5231	0,0066	-20,7296	0,5715
100	MzMax	[1,3*pp+perm+1,3*pp fondazioni] {1,5*neve} (1,5*0,6*vento)	10,4200	-0,5178	-10,5231	0,0066	-20,7296	0,5715
100	MzMin	[pp+perm+pp fondazioni] {SEISMIC 1-}	3,0134	-0,5464	-3,0277	0,0200	0,0000	-0,6004
101	NxMax	[1,3*pp+perm+pp fondazioni] {1,5*neve} (1,5*0,6*vento)	13,5954	0,3329	10,3384	0,0309	-20,3740	0,5575
101	NxMin	[pp+perm+pp fondazioni] {SEISMIC 1-}	2,5755	0,2911	2,5511	0,0176	-5,2744	0,4994
101	VyMax	[1,3*pp+perm+1,3*pp fondazioni] {1,5*neve} (1,5*0,6*vento)	13,5954	0,3329	10,3384	0,0309	-20,3740	0,5575
101	VyMin	[pp+perm+pp fondazioni] {SEISMIC 1-}	4,4596	-0,1541	2,5511	0,0176	-5,2744	0,4994
101	VzMax	[1,3*pp+perm+pp fondazioni] {1,5*neve} (1,5*0,6*vento)	13,5954	0,3329	10,8294	0,0309	0,0000	-0,0834
101	VzMin	[pp+perm+pp fondazioni] {SEISMIC 1-}	4,4596	0,2911	2,4576	0,0176	-5,2744	0,4994
101	TxMax	[1,3*pp+perm+1,3*pp fondazioni] {1,5*neve} (1,5*0,6*vento)	13,5954	0,3329	10,3384	0,0309	-20,3740	0,5575
101	TxMin	[pp+perm+pp fondazioni] {SEISMIC 1-}	4,4596	0,2911	2,5511	0,0016	-5,2744	0,4994
101	MyMax	[pp+perm+pp fondazioni] {SEISMIC 1+}	4,4596	0,2911	2,9288	0,0176	0,0000	-0,0792

101	MyMin	[1,3*pp+perm+pp fondazioni] {1,5*neve} (1,5*0,6*vento)	13,5954	0,3329	10,3384	0,0309	-20,3740	0,5575
101	MzMax	[1,3*pp+perm+1,3*pp fondazioni] {1,5*neve} (1,5*0,6*vento)	13,5954	0,3329	10,3384	0,0309	-20,3740	0,5575
101	MzMin	[pp+perm+pp fondazioni] {SEISMIC 1-}	4,4596	0,2911	2,5511	0,0176	-5,2744	-0,2623
102	NxMax	[1,3*pp+perm+pp fondazioni] {1,5*neve} (1,5*0,6*vento)	8,4458	-0,7647	8,5092	-0,0842	-16,8529	-1,2394
102	NxMin	[pp+perm+pp fondazioni] {SEISMIC 1-}	1,2582	-0,4034	2,1034	-0,0232	-4,4126	-0,6695
102	VyMax	[pp+perm+pp fondazioni] {SEISMIC 1+}	3,0706	0,0493	2,1034	-0,0232	-4,4126	-0,6695
102	VyMin	[1,3*pp+perm+1,3*pp fondazioni] {1,5*neve} (1,5*0,6*vento)	8,4458	-0,7647	8,5092	-0,0842	-16,8529	-1,2394
102	VzMax	[1,3*pp+perm+1,3*pp fondazioni] {1,5*neve} (1,5*0,6*vento)	8,4458	-0,7647	9,0003	-0,0842	0,0000	0,2327
102	VzMin	[pp+perm+pp fondazioni] {SEISMIC 1-}	3,0706	-0,4034	2,0136	-0,0232	-4,4126	-0,6695
102	TxMax	[pp+perm+pp fondazioni] {SEISMIC 1+}	3,0706	-0,4034	2,1034	-0,0101	-4,4126	-0,6695
102	TxMin	[1,3*pp+perm+1,3*pp fondazioni] {1,5*neve} (1,5*0,6*vento)	8,4458	-0,7647	8,5092	-0,0842	-16,8529	-1,2394
102	MyMax	[pp+perm+pp fondazioni] {SEISMIC 1+}	3,0706	-0,4034	2,4811	-0,0232	0,0000	0,1334
102	MyMin	[1,3*pp+perm+1,3*pp fondazioni] {1,5*neve} (1,5*0,6*vento)	8,4458	-0,7647	8,5092	-0,0842	-16,8529	-1,2394
102	MzMax	[1,3*pp+perm+1,3*pp fondazioni] {1,5*neve} (1,5*0,6*vento)	8,4458	-0,7647	9,0003	-0,0842	0,0000	0,2327
102	MzMin	[1,3*pp+perm+1,3*pp fondazioni] {1,5*neve} (1,5*0,6*vento)	8,4458	-0,7647	8,5092	-0,0842	-16,8529	-1,2394
103	NxMax	[1,3*pp+perm+pp fondazioni] {1,5*neve} (1,5*0,6*vento)	3,7927	0,6760	-9,3267	0,2482	0,0000	0,1036
103	NxMin	[pp+perm+pp fondazioni] {SEISMIC 1-}	0,0074	0,3849	-2,5705	0,0826	0,0000	0,0610
103	VyMax	[1,3*pp+perm+pp fondazioni] {1,5*neve} (1,5*0,6*vento)	3,7927	0,6760	-9,3267	0,2482	0,0000	0,1036
103	VyMin	[pp+perm+pp fondazioni] {SEISMIC 1-}	1,9057	-0,0722	-2,5705	0,0826	0,0000	0,0610
103	VzMax	[pp+perm+pp fondazioni] {SEISMIC 1+}	1,9057	0,3849	-2,0937	0,0826	-4,5845	-0,6802
103	VzMin	[1,3*pp+perm+pp fondazioni] {1,5*neve} (1,5*0,6*vento)	3,7927	0,6760	-9,3267	0,2482	0,0000	0,1036
103	TxMax	[1,3*pp+perm+1,3*pp fondazioni] {1,5*neve} (1,5*0,6*vento)	3,7927	0,6760	-9,3267	0,2482	0,0000	0,1036
103	TxMin	[pp+perm+pp fondazioni] {SEISMIC 1-}	1,9057	0,3849	-2,5705	0,0559	0,0000	0,0610
103	MyMax	[pp+perm+pp fondazioni] {SEISMIC 1+}	1,9057	0,3849	-2,5705	0,0826	0,0000	0,0610
103	MyMin	[1,3*pp+perm+1,3*pp fondazioni] {1,5*neve} (1,5*0,6*vento)	3,7927	0,6760	-8,8356	0,2482	-17,4812	-1,1977
103	MzMax	[pp+perm+pp fondazioni] {SEISMIC 1+}	1,9057	0,3849	-2,1927	0,0826	-4,5845	0,1266
103	MzMin	[1,3*pp+perm+pp fondazioni] {1,5*neve} (1,5*0,6*vento)	3,7927	0,6760	-8,8356	0,2482	-17,4812	-1,1977
109	NxMax	[1,3*pp+perm+1,3*pp fondazioni] {1,5*neve} (1,5*0,6*vento)	2,0898	-14,4614	5,8765	-0,0049	3,0949	3,7303
109	NxMin	[pp+perm+pp fondazioni] {SEISMIC 1-}	0,3399	-4,0266	1,6067	0,0450	0,5746	0,4007
109	VyMax	[pp+perm+pp fondazioni] {SEISMIC 1+}	0,7210	-3,5111	1,6067	0,0450	0,5746	0,4007
109	VyMin	[1,3*pp+perm+1,3*pp fondazioni] {1,5*neve} (1,5*0,6*vento)	2,0790	-14,4614	5,8470	-0,0049	2,0190	1,0759
109	VzMax	[1,3*pp+perm+pp fondazioni] {1,5*neve} (1,5*0,6*vento)	2,0898	-14,4614	5,8765	-0,0049	3,0949	3,7303
109	VzMin	[pp+perm+pp fondazioni] {SEISMIC 1-}	0,7210	-4,0266	1,4178	0,0450	0,5746	0,4007
109	TxMax	[pp+perm+pp fondazioni] {SEISMIC 1+}	0,7210	-4,0266	1,6067	0,0450	0,5746	0,4007
109	TxMin	[pp+perm+pp fondazioni] {SEISMIC 1-}	0,7210	-4,0266	1,6067	-0,0354	0,5746	0,4007
109	MyMax	[1,3*pp+perm+pp fondazioni] {1,5*neve} (1,5*0,6*vento)	2,0898	-14,4614	5,8765	-0,0049	3,0949	3,7303
109	MyMin	[pp+perm+pp fondazioni] {SEISMIC 1-}	0,7210	-4,0266	1,6067	0,0450	0,5083	0,4007
109	MzMax	[1,3*pp+perm+1,3*pp fondazioni] {1,5*neve} (1,5*0,6*vento)	2,0898	-14,4614	5,8765	-0,0049	3,0949	3,7303
109	MzMin	[pp+perm+pp fondazioni] {SEISMIC 1-}	0,7210	-4,0266	1,6067	0,0450	0,5746	0,1395
110	NxMax	[1,3*pp+perm+pp fondazioni] {1,5*neve} (1,5*0,6*vento)	0,7823	-1,1988	2,1527	-0,3462	2,0276	1,2793
110	NxMin	[pp+perm+pp fondazioni] {SEISMIC 1-}	0,0987	-0,3887	0,5258	-0,1067	-0,0117	0,0732
110	VyMax	[pp+perm+pp fondazioni] {SEISMIC 1+}	0,2545	-0,2309	0,5258	-0,1067	-0,0117	0,0732
110	VyMin	[1,3*pp+perm+1,3*pp fondazioni] {1,5*neve} (1,5*0,6*vento)	0,7242	-1,1988	1,9948	-0,3462	-0,0046	0,1045
110	VzMax	[1,3*pp+perm+pp fondazioni] {1,5*neve} (1,5*0,6*vento)	0,7823	-1,1988	2,1527	-0,3462	2,0276	1,2793
110	VzMin	[pp+perm+pp fondazioni] {SEISMIC 1-}	0,2545	-0,3887	0,4669	-0,1067	-0,0117	0,0732
110	TxMax	[pp+perm+pp fondazioni] {SEISMIC 1+}	0,2545	-0,3887	0,5258	-0,0730	-0,0117	0,0732
110	TxMin	[1,3*pp+perm+pp fondazioni] {1,5*neve} (1,5*0,6*vento)	0,7242	-1,1988	1,9948	-0,3462	-0,0046	0,1045
110	MyMax	[1,3*pp+perm+pp fondazioni] {1,5*neve} (1,5*0,6*vento)	0,7823	-1,1988	2,1527	-0,3462	2,0276	1,2793

110	MyMin	[pp+perm+pp fondazioni] {SEISMIC 1-}	0,2545	-0,3887	0,5258	-0,1067	-0,0117	0,0732
110	MzMax	[1,3*pp+perm+1,3*pp fondazioni] {1,5*neve} (1,5*0,6*vento)	0,7823	-1,1988	2,1527	-0,3462	2,0276	1,2793
110	MzMin	[pp+perm+pp fondazioni] {SEISMIC 1-}	0,2545	-0,3887	0,5258	-0,1067	-0,0117	-0,0242
111	NxMax	[pp+perm+pp fondazioni] {SEISMIC 1+}	-3,5965	1,8016	-0,9502	0,0972	-0,3281	-0,2723
111	NxMin	[1,3*pp+perm+1,3*pp fondazioni] {1,5*neve} (1,5*0,6*vento)	-14,7404	5,1660	-3,9549	0,3666	2,4038	3,1678
111	VyMax	[1,3*pp+perm+pp fondazioni] {1,5*neve} (1,5*0,6*vento)	-14,7404	5,1660	-3,9549	0,3666	2,4038	3,1678
111	VyMin	[pp+perm+pp fondazioni] {SEISMIC 1-}	-4,6846	0,8431	-1,0489	0,0972	0,5302	1,1643
111	VzMax	[pp+perm+pp fondazioni] {SEISMIC 1+}	-4,6483	1,8016	-0,8221	0,0972	-0,3281	-0,2723
111	VzMin	[1,3*pp+perm+1,3*pp fondazioni] {1,5*neve} (1,5*0,6*vento)	-14,7404	5,1660	-3,9549	0,3666	2,4038	3,1678
111	TxMax	[1,3*pp+perm+1,3*pp fondazioni] {1,5*neve} (1,5*0,6*vento)	-14,7404	5,1660	-3,9549	0,3666	2,4038	3,1678
111	TxMin	[pp+perm+pp fondazioni] {SEISMIC 1-}	-4,6846	1,8016	-1,0489	0,0810	0,5302	1,1643
111	MyMax	[1,3*pp+perm+1,3*pp fondazioni] {1,5*neve} (1,5*0,6*vento)	-14,7404	5,1660	-3,9549	0,3666	2,4038	3,1678
111	MyMin	[1,3*pp+perm+1,3*pp fondazioni] {1,5*neve} (1,5*0,6*vento)	-14,6931	5,1660	-3,8265	0,3666	-0,6950	-0,9467
111	MzMax	[1,3*pp+perm+pp fondazioni] {1,5*neve} (1,5*0,6*vento)	-14,7404	5,1660	-3,9549	0,3666	2,4038	3,1678
111	MzMin	[1,3*pp+perm+pp fondazioni] {1,5*neve} (1,5*0,6*vento)	-14,6931	5,1660	-3,8265	0,3666	-0,6950	-0,9467
112	NxMax	[pp+perm+pp fondazioni] {SEISMIC 1+}	-3,3361	0,3146	0,0322	0,0641	-0,3712	-0,4561
112	NxMin	[1,3*pp+perm+1,3*pp fondazioni] {1,5*neve} (1,5*0,6*vento)	-13,3263	0,1183	-0,6125	0,2109	-0,6684	-0,7161
112	VyMax	[pp+perm+pp fondazioni] {SEISMIC 1+}	-4,2095	0,3146	-0,1475	0,0641	-0,3316	-0,2275
112	VyMin	[pp+perm+pp fondazioni] {SEISMIC 1-}	-4,2095	-0,2803	-0,1475	0,0641	-0,3316	-0,2275
112	VzMax	[pp+perm+pp fondazioni] {SEISMIC 1+}	-4,1647	0,3146	0,0322	0,0641	-0,3712	-0,4561
112	VzMin	[1,3*pp+perm+1,3*pp fondazioni] {1,5*neve} (1,5*0,6*vento)	-13,3263	0,1183	-0,6125	0,2109	-0,6684	-0,7161
112	TxMax	[1,3*pp+perm+1,3*pp fondazioni] {1,5*neve} (1,5*0,6*vento)	-13,3263	0,1183	-0,6125	0,2109	-0,6684	-0,7161
112	TxMin	[pp+perm+pp fondazioni] {SEISMIC 1-}	-4,2095	0,3146	-0,1475	0,0412	-0,3316	-0,2275
112	MyMax	[pp+perm+pp fondazioni] {SEISMIC 1+}	-4,2095	0,3146	-0,1475	0,0641	-0,2040	-0,2275
112	MyMin	[1,3*pp+perm+1,3*pp fondazioni] {1,5*neve} (1,5*0,6*vento)	-13,2682	0,1183	-0,4546	0,2109	-1,1913	-0,8320
112	MzMax	[pp+perm+pp fondazioni] {SEISMIC 1+}	-4,1647	0,3146	0,0322	0,0641	-0,3712	0,0480
112	MzMin	[1,3*pp+perm+1,3*pp fondazioni] {1,5*neve} (1,5*0,6*vento)	-13,2682	0,1183	-0,4546	0,2109	-1,1913	-0,8320
113	NxMax	[pp+perm+pp fondazioni] {SEISMIC 1+}	-2,9359	0,0648	1,2706	-0,1812	0,5571	-0,4720
113	NxMin	[1,3*pp+perm+pp fondazioni] {1,5*neve} (1,5*0,6*vento)	-11,1427	0,0631	3,9828	-0,3693	1,1667	-0,9526
113	VyMax	[pp+perm+pp fondazioni] {SEISMIC 1+}	-3,4720	0,0648	1,2536	-0,1812	0,3916	-0,4683
113	VyMin	[pp+perm+pp fondazioni] {SEISMIC 1-}	-3,4720	-0,0314	1,2536	-0,1812	0,3916	-0,4683
113	VzMax	[1,3*pp+perm+pp fondazioni] {1,5*neve} (1,5*0,6*vento)	-11,1346	0,0631	4,0049	-0,3693	1,7133	-0,9612
113	VzMin	[pp+perm+pp fondazioni] {SEISMIC 1-}	-3,4720	0,0648	1,0229	-0,1812	0,3916	-0,4683
113	TxMax	[pp+perm+pp fondazioni] {SEISMIC 1+}	-3,4720	0,0648	1,2536	-0,0012	0,3916	-0,4683
113	TxMin	[1,3*pp+perm+pp fondazioni] {1,5*neve} (1,5*0,6*vento)	-11,1427	0,0631	3,9828	-0,3693	1,1667	-0,9526
113	MyMax	[1,3*pp+perm+pp fondazioni] {1,5*neve} (1,5*0,6*vento)	-11,1346	0,0631	4,0049	-0,3693	1,7133	-0,9612
113	MyMin	[pp+perm+pp fondazioni] {SEISMIC 1-}	-3,4720	0,0648	1,2536	-0,1812	0,3663	-0,4683
113	MzMax	[pp+perm+pp fondazioni] {SEISMIC 1+}	-3,4720	0,0648	1,2536	-0,1812	0,3916	0,0066
113	MzMin	[1,3*pp+perm+1,3*pp fondazioni] {1,5*neve} (1,5*0,6*vento)	-11,1346	0,0631	4,0049	-0,3693	1,7133	-0,9612
114	NxMax	[pp+perm+pp fondazioni] {SEISMIC 1+}	-3,0885	0,2438	0,8172	-0,0751	0,3769	-0,5508
114	NxMin	[1,3*pp+perm+1,3*pp fondazioni] {1,5*neve} (1,5*0,6*vento)	-12,0092	0,6923	2,2482	-0,1852	-1,1496	-0,4696
114	VyMax	[1,3*pp+perm+1,3*pp fondazioni] {1,5*neve} (1,5*0,6*vento)	-12,0092	0,6923	2,2482	-0,1852	-1,1496	-0,4696
114	VyMin	[pp+perm+pp fondazioni] {SEISMIC 1-}	-3,7689	0,0946	0,6958	-0,0751	-0,3717	-0,3169
114	VzMax	[1,3*pp+perm+1,3*pp fondazioni] {1,5*neve} (1,5*0,6*vento)	-11,9510	0,6923	2,4061	-0,1852	1,1310	-1,1481
114	VzMin	[pp+perm+pp fondazioni] {SEISMIC 1-}	-3,7689	0,2438	0,5773	-0,0751	-0,3717	-0,3169
114	TxMax	[pp+perm+pp fondazioni] {SEISMIC 1+}	-3,7689	0,2438	0,6958	-0,0157	-0,3717	-0,3169
114	TxMin	[1,3*pp+perm+1,3*pp fondazioni] {1,5*neve} (1,5*0,6*vento)	-12,0092	0,6923	2,2482	-0,1852	-1,1496	-0,4696
114	MyMax	[1,3*pp+perm+1,3*pp fondazioni] {1,5*neve} (1,5*0,6*vento)	-11,9510	0,6923	2,4061	-0,1852	1,1310	-1,1481

114	MyMin	[1,3*pp+perm+1,3*pp fondazioni] {1,5*neve} (1,5*0,6*vento)	-12,0092	0,6923	2,2482	-0,1852	-1,1496	-0,4696
114	MzMax	[pp+perm+pp fondazioni] {SEISMIC 1+}	-3,7689	0,2438	0,6958	-0,0751	-0,3717	0,0880
114	MzMin	[1,3*pp+perm+1,3*pp fondazioni] {1,5*neve} (1,5*0,6*vento)	-11,9510	0,6923	2,4061	-0,1852	1,1310	-1,1481
120	NxMax	[pp+perm+pp fondazioni] {SEISMIC 1+}	-0,2571	0,0543	-0,5656	-0,0011	0,1718	0,0481
120	NxMin	[1,3*pp+perm+pp fondazioni] {1,5*neve} (1,5*0,6*vento)	-1,1988	0,0099	-2,1221	-0,0032	0,5288	0,0216
120	VyMax	[pp+perm+pp fondazioni] {SEISMIC 1+}	-0,3624	0,0543	-0,5656	-0,0011	0,1718	0,0481
120	VyMin	[pp+perm+pp fondazioni] {SEISMIC 1-}	-0,3624	-0,0427	-0,5656	-0,0011	0,1718	0,0481
120	VzMax	[1,3*pp+perm+pp fondazioni] {1,5*neve} (1,5*0,6*vento)	-1,1988	0,0099	0,6520	-0,0032	-0,5738	0,0068
120	VzMin	[1,3*pp+perm+1,3*pp fondazioni] {1,5*neve} (1,5*0,6*vento)	-1,1988	0,0099	-2,1221	-0,0032	0,5288	0,0216
120	TxMax	[pp+perm+pp fondazioni] {SEISMIC 1+}	-0,3624	0,0543	-0,5656	-0,0008	0,1718	0,0481
120	TxMin	[1,3*pp+perm+1,3*pp fondazioni] {1,5*neve} (1,5*0,6*vento)	-1,1988	0,0099	-2,1221	-0,0032	0,5288	0,0216
120	MyMax	[1,3*pp+perm+1,3*pp fondazioni] {1,5*neve} (1,5*0,6*vento)	-1,1988	0,0099	-2,1221	-0,0032	0,5288	0,0216
120	MyMin	[1,3*pp+perm+1,3*pp fondazioni] {1,5*neve} (1,5*0,6*vento)	-1,1988	0,0099	0,0972	-0,0032	-0,6862	0,0098
120	MzMax	[pp+perm+pp fondazioni] {SEISMIC 1+}	-0,3624	0,0543	-0,5656	-0,0011	0,1718	0,0481
120	MzMin	[pp+perm+pp fondazioni] {SEISMIC 1-}	-0,3624	0,0543	0,1618	-0,0011	-0,1892	-0,0334
121	NxMax	[pp+perm+pp fondazioni] {SEISMIC 1+}	-3,3186	0,0674	-1,0237	-0,0001	0,4381	0,0619
121	NxMin	[1,3*pp+perm+pp fondazioni] {1,5*neve} (1,5*0,6*vento)	-13,2626	0,0601	-3,9148	-0,0003	1,4662	0,0729
121	VyMax	[pp+perm+pp fondazioni] {SEISMIC 1+}	-3,5996	0,0674	-1,0237	-0,0001	0,4381	0,0619
121	VyMin	[pp+perm+pp fondazioni] {SEISMIC 1-}	-3,5996	-0,0292	-1,0237	-0,0001	0,4381	0,0619
121	VzMax	[1,3*pp+perm+pp fondazioni] {1,5*neve} (1,5*0,6*vento)	-13,2626	0,0601	1,5531	-0,0003	-0,3050	-0,0173
121	VzMin	[1,3*pp+perm+1,3*pp fondazioni] {1,5*neve} (1,5*0,6*vento)	-13,2626	0,0601	-3,9148	-0,0003	1,4662	0,0729
121	TxMax	[pp+perm+pp fondazioni] {SEISMIC 1+}	-3,5996	0,0674	-1,0237	0,0001	0,4381	0,0619
121	TxMin	[1,3*pp+perm+1,3*pp fondazioni] {1,5*neve} (1,5*0,6*vento)	-13,2626	0,0601	-3,9148	-0,0003	1,4662	0,0729
121	MyMax	[1,3*pp+perm+1,3*pp fondazioni] {1,5*neve} (1,5*0,6*vento)	-13,2626	0,0601	-3,9148	-0,0003	1,4662	0,0729
121	MyMin	[1,3*pp+perm+1,3*pp fondazioni] {1,5*neve} (1,5*0,6*vento)	-13,2626	0,0601	-0,0873	-0,0003	-0,6349	0,0097
121	MzMax	[1,3*pp+perm+1,3*pp fondazioni] {1,5*neve} (1,5*0,6*vento)	-13,2626	0,0601	-3,9148	-0,0003	1,4662	0,0729
121	MzMin	[pp+perm+pp fondazioni] {SEISMIC 1-}	-3,5996	0,0674	0,3692	-0,0001	-0,1691	-0,0393
122	NxMax	[pp+perm+pp fondazioni] {SEISMIC 1+}	-1,1920	-0,1130	-0,9061	0,0013	0,2999	-0,0971
122	NxMin	[1,3*pp+perm+pp fondazioni] {1,5*neve} (1,5*0,6*vento)	-5,0477	-0,1717	-3,4883	0,0025	0,9324	-0,1625
122	VyMax	[pp+perm+pp fondazioni] {SEISMIC 1+}	-1,4184	0,0296	-0,9061	0,0013	0,2999	-0,0971
122	VyMin	[1,3*pp+perm+pp fondazioni] {1,5*neve} (1,5*0,6*vento)	-5,0477	-0,1717	-3,4883	0,0025	0,9324	-0,1625
122	VzMax	[1,3*pp+perm+pp fondazioni] {1,5*neve} (1,5*0,6*vento)	-5,0477	-0,1717	1,9796	0,0025	-0,1992	0,0950
122	VzMin	[1,3*pp+perm+1,3*pp fondazioni] {1,5*neve} (1,5*0,6*vento)	-5,0477	-0,1717	-3,4883	0,0025	0,9324	-0,1625
122	TxMax	[1,3*pp+perm+pp fondazioni] {1,5*neve} (1,5*0,6*vento)	-5,0477	-0,1717	-3,4883	0,0025	0,9324	-0,1625
122	TxMin	[pp+perm+pp fondazioni] {SEISMIC 1-}	-1,4184	-0,1130	-0,9061	0,0007	0,2999	-0,0971
122	MyMax	[1,3*pp+perm+1,3*pp fondazioni] {1,5*neve} (1,5*0,6*vento)	-5,0477	-0,1717	-3,4883	0,0025	0,9324	-0,1625
122	MyMin	[1,3*pp+perm+1,3*pp fondazioni] {1,5*neve} (1,5*0,6*vento)	-5,0477	-0,1717	-0,2076	0,0025	-0,7308	-0,0080
122	MzMax	[1,3*pp+perm+pp fondazioni] {1,5*neve} (1,5*0,6*vento)	-5,0477	-0,1717	1,9796	0,0025	-0,1992	0,0950
122	MzMin	[1,3*pp+perm+pp fondazioni] {1,5*neve} (1,5*0,6*vento)	-5,0477	-0,1717	-3,4883	0,0025	0,9324	-0,1625
123	NxMax	[1,3*pp+perm+1,3*pp fondazioni] {1,5*neve} (1,5*0,6*vento)	0,5741	-0,2472	-2,9714	0,0071	0,4166	-0,2032
123	NxMin	[pp+perm+pp fondazioni] {SEISMIC 1-}	0,0230	-0,1191	-0,7650	0,0021	0,1665	-0,0949
123	VyMax	[pp+perm+pp fondazioni] {SEISMIC 1+}	0,2811	-0,0048	-0,7650	0,0021	0,1665	-0,0949
123	VyMin	[1,3*pp+perm+pp fondazioni] {1,5*neve} (1,5*0,6*vento)	0,5741	-0,2472	-2,9714	0,0071	0,4166	-0,2032
123	VzMax	[1,3*pp+perm+pp fondazioni] {1,5*neve} (1,5*0,6*vento)	0,5741	-0,2472	2,4965	0,0071	0,0604	0,1676
123	VzMin	[1,3*pp+perm+1,3*pp fondazioni] {1,5*neve} (1,5*0,6*vento)	0,5741	-0,2472	-2,9714	0,0071	0,4166	-0,2032
123	TxMax	[1,3*pp+perm+1,3*pp fondazioni] {1,5*neve} (1,5*0,6*vento)	0,5741	-0,2472	-2,9714	0,0071	0,4166	-0,2032
123	TxMin	[pp+perm+pp fondazioni] {SEISMIC 1-}	0,2811	-0,1191	-0,7650	0,0017	0,1665	-0,0949
123	MyMax	[1,3*pp+perm+1,3*pp fondazioni] {1,5*neve} (1,5*0,6*vento)	0,5741	-0,2472	-2,9714	0,0071	0,4166	-0,2032

123	MyMin	[1,3*pp+perm+1,3*pp fondazioni] {1,5*neve} (1,5*0,6*vento)	0,5741	-0,2472	-0,2374	0,0071	-0,7867	-0,0178
123	MzMax	[1,3*pp+perm+pp fondazioni] {1,5*neve} (1,5*0,6*vento)	0,5741	-0,2472	2,4965	0,0071	0,0604	0,1676
123	MzMin	[1,3*pp+perm+pp fondazioni] {1,5*neve} (1,5*0,6*vento)	0,5741	-0,2472	-2,9714	0,0071	0,4166	-0,2032
124	NxMax	[pp+perm+pp fondazioni] {SEISMIC 1+}	-0,1375	-0,0852	-0,5048	0,0018	0,1557	-0,0502
124	NxMin	[1,3*pp+perm+pp fondazioni] {1,5*neve} (1,5*0,6*vento)	-0,6293	-0,2135	-1,7589	0,0058	0,3284	-0,1198
124	VyMax	[pp+perm+pp fondazioni] {SEISMIC 1+}	-0,1675	-0,0259	-0,5048	0,0018	0,1557	-0,0502
124	VyMin	[1,3*pp+perm+pp fondazioni] {1,5*neve} (1,5*0,6*vento)	-0,6293	-0,2135	-1,7589	0,0058	0,3284	-0,1198
124	VzMax	[1,3*pp+perm+pp fondazioni] {1,5*neve} (1,5*0,6*vento)	-0,6293	-0,2135	1,0152	0,0058	-0,2294	0,2005
124	VzMin	[1,3*pp+perm+1,3*pp fondazioni] {1,5*neve} (1,5*0,6*vento)	-0,6293	-0,2135	-1,7589	0,0058	0,3284	-0,1198
124	TxMax	[1,3*pp+perm+1,3*pp fondazioni] {1,5*neve} (1,5*0,6*vento)	-0,6293	-0,2135	-1,7589	0,0058	0,3284	-0,1198
124	TxMin	[pp+perm+pp fondazioni] {SEISMIC 1-}	-0,1675	-0,0852	-0,5048	0,0014	0,1557	-0,0502
124	MyMax	[1,3*pp+perm+1,3*pp fondazioni] {1,5*neve} (1,5*0,6*vento)	-0,6293	-0,2135	-1,7589	0,0058	0,3284	-0,1198
124	MyMin	[1,3*pp+perm+1,3*pp fondazioni] {1,5*neve} (1,5*0,6*vento)	-0,6293	-0,2135	-0,0945	0,0058	-0,5056	0,0724
124	MzMax	[1,3*pp+perm+pp fondazioni] {1,5*neve} (1,5*0,6*vento)	-0,6293	-0,2135	1,0152	0,0058	-0,2294	0,2005
124	MzMin	[1,3*pp+perm+pp fondazioni] {1,5*neve} (1,5*0,6*vento)	-0,6293	-0,2135	-1,7589	0,0058	0,3284	-0,1198
130	NxMax	[pp+perm+pp fondazioni] {SEISMIC 1+}	-0,2310	0,0293	-0,0863	0,0037	-0,2335	-0,0265
130	NxMin	[1,3*pp+perm+1,3*pp fondazioni] {1,5*neve} (1,5*0,6*vento)	-1,2280	0,0138	-0,4455	0,0126	-0,7239	-0,0042
130	VyMax	[pp+perm+pp fondazioni] {SEISMIC 1+}	-0,3911	0,0293	-0,0863	0,0037	-0,2335	-0,0265
130	VyMin	[pp+perm+pp fondazioni] {SEISMIC 1-}	-0,3911	-0,0236	-0,0863	0,0037	-0,2335	-0,0265
130	VzMax	[1,3*pp+perm+pp fondazioni] {1,5*neve} (1,5*0,6*vento)	-1,2280	0,0138	3,0684	0,0126	1,7679	-0,0305
130	VzMin	[1,3*pp+perm+1,3*pp fondazioni] {1,5*neve} (1,5*0,6*vento)	-1,2280	0,0138	-0,4455	0,0126	-0,7239	-0,0042
130	TxMax	[1,3*pp+perm+1,3*pp fondazioni] {1,5*neve} (1,5*0,6*vento)	-1,2280	0,0138	-0,4455	0,0126	-0,7239	-0,0042
130	TxMin	[pp+perm+pp fondazioni] {SEISMIC 1-}	-0,3911	0,0293	-0,0863	0,0028	-0,2335	-0,0265
130	MyMax	[1,3*pp+perm+pp fondazioni] {1,5*neve} (1,5*0,6*vento)	-1,2280	0,0138	3,0684	0,0126	1,7679	-0,0305
130	MyMin	[1,3*pp+perm+pp fondazioni] {1,5*neve} (1,5*0,6*vento)	-1,2280	0,0138	-0,0941	0,0126	-0,7752	-0,0069
130	MzMax	[pp+perm+pp fondazioni] {SEISMIC 1+}	-0,3911	0,0293	-0,0863	0,0037	-0,2335	0,0220
130	MzMin	[pp+perm+pp fondazioni] {SEISMIC 1-}	-0,3911	0,0293	0,7826	0,0037	0,4716	-0,0338
131	NxMax	[pp+perm+pp fondazioni] {SEISMIC 1+}	-1,5065	-0,0492	-0,3053	0,0007	-0,3004	-0,0482
131	NxMin	[1,3*pp+perm+1,3*pp fondazioni] {1,5*neve} (1,5*0,6*vento)	-7,6548	-0,0872	-1,5298	0,0013	-0,8186	-0,0924
131	VyMax	[pp+perm+pp fondazioni] {SEISMIC 1+}	-2,3420	0,0021	-0,3053	0,0007	-0,3004	-0,0482
131	VyMin	[1,3*pp+perm+1,3*pp fondazioni] {1,5*neve} (1,5*0,6*vento)	-7,6548	-0,0872	-1,5298	0,0013	-0,8186	-0,0924
131	VzMax	[1,3*pp+perm+pp fondazioni] {1,5*neve} (1,5*0,6*vento)	-7,6548	-0,0872	5,3962	0,0013	2,8545	0,0733
131	VzMin	[1,3*pp+perm+1,3*pp fondazioni] {1,5*neve} (1,5*0,6*vento)	-7,6548	-0,0872	-1,5298	0,0013	-0,8186	-0,0924
131	TxMax	[1,3*pp+perm+1,3*pp fondazioni] {1,5*neve} (1,5*0,6*vento)	-7,6548	-0,0872	-1,5298	0,0013	-0,8186	-0,0924
131	TxMin	[pp+perm+pp fondazioni] {SEISMIC 1-}	-2,3420	-0,0492	-0,3053	-0,0001	-0,3004	-0,0482
131	MyMax	[1,3*pp+perm+pp fondazioni] {1,5*neve} (1,5*0,6*vento)	-7,6548	-0,0872	5,3962	0,0013	2,8545	0,0733
131	MyMin	[1,3*pp+perm+pp fondazioni] {1,5*neve} (1,5*0,6*vento)	-7,6548	-0,0872	-0,1446	0,0013	-1,1367	-0,0593
131	MzMax	[1,3*pp+perm+1,3*pp fondazioni] {1,5*neve} (1,5*0,6*vento)	-7,6548	-0,0872	5,3962	0,0013	2,8545	0,0733
131	MzMin	[1,3*pp+perm+1,3*pp fondazioni] {1,5*neve} (1,5*0,6*vento)	-7,6548	-0,0872	-1,5298	0,0013	-0,8186	-0,0924
132	NxMax	[pp+perm+pp fondazioni] {SEISMIC 1+}	-0,7339	0,0523	-0,4132	-0,0037	-0,1889	0,0508
132	NxMin	[1,3*pp+perm+1,3*pp fondazioni] {1,5*neve} (1,5*0,6*vento)	-3,7618	0,0646	-1,8999	-0,0132	-0,3998	0,0691
132	VyMax	[1,3*pp+perm+1,3*pp fondazioni] {1,5*neve} (1,5*0,6*vento)	-3,7618	0,0646	-1,8999	-0,0132	-0,3998	0,0691
132	VyMin	[pp+perm+pp fondazioni] {SEISMIC 1-}	-1,1504	-0,0166	-0,4132	-0,0037	-0,1889	0,0508
132	VzMax	[1,3*pp+perm+pp fondazioni] {1,5*neve} (1,5*0,6*vento)	-3,7618	0,0646	5,0261	-0,0132	2,5700	-0,0536
132	VzMin	[1,3*pp+perm+1,3*pp fondazioni] {1,5*neve} (1,5*0,6*vento)	-3,7618	0,0646	-1,8999	-0,0132	-0,3998	0,0691
132	TxMax	[pp+perm+pp fondazioni] {SEISMIC 1+}	-1,1504	0,0523	-0,4132	-0,0033	-0,1889	0,0508
132	TxMin	[1,3*pp+perm+pp fondazioni] {1,5*neve} (1,5*0,6*vento)	-3,7618	0,0646	-1,8999	-0,0132	-0,3998	0,0691
132	MyMax	[1,3*pp+perm+pp fondazioni] {1,5*neve} (1,5*0,6*vento)	-3,7618	0,0646	5,0261	-0,0132	2,5700	-0,0536

132	MyMin	[1,3*pp+perm+pp fondazioni] {1,5*neve} (1,5*0,6*vento)	-3,7618	0,0646	0,1779	-0,0132	-0,8906	0,0323
132	MzMax	[1,3*pp+perm+1,3*pp fondazioni] {1,5*neve} (1,5*0,6*vento)	-3,7618	0,0646	-1,8999	-0,0132	-0,3998	0,0691
132	MzMin	[1,3*pp+perm+1,3*pp fondazioni] {1,5*neve} (1,5*0,6*vento)	-3,7618	0,0646	5,0261	-0,0132	2,5700	-0,0536
133	NxMax	[pp+perm+pp fondazioni] {SEISMIC 1+}	0,0798	0,0687	-0,5294	-0,0024	-0,0676	0,0703
133	NxMin	[pp+perm+pp fondazioni] {SEISMIC 1-}	-0,1298	0,0687	-0,5294	-0,0024	-0,0676	0,0703
133	VyMax	[1,3*pp+perm+1,3*pp fondazioni] {1,5*neve} (1,5*0,6*vento)	-0,0886	0,1538	-2,3144	-0,0084	0,0516	0,1669
133	VyMin	[pp+perm+pp fondazioni] {SEISMIC 1-}	-0,1298	0,0149	-0,5294	-0,0024	-0,0676	0,0703
133	VzMax	[1,3*pp+perm+1,3*pp fondazioni] {1,5*neve} (1,5*0,6*vento)	-0,0886	0,1538	4,6116	-0,0084	2,2340	-0,1253
133	VzMin	[1,3*pp+perm+pp fondazioni] {1,5*neve} (1,5*0,6*vento)	-0,0886	0,1538	-2,3144	-0,0084	0,0516	0,1669
133	TxMax	[pp+perm+pp fondazioni] {SEISMIC 1+}	-0,1298	0,0687	-0,5294	-0,0022	-0,0676	0,0703
133	TxMin	[1,3*pp+perm+1,3*pp fondazioni] {1,5*neve} (1,5*0,6*vento)	-0,0886	0,1538	-2,3144	-0,0084	0,0516	0,1669
133	MyMax	[1,3*pp+perm+1,3*pp fondazioni] {1,5*neve} (1,5*0,6*vento)	-0,0886	0,1538	4,6116	-0,0084	2,2340	-0,1253
133	MyMin	[1,3*pp+perm+1,3*pp fondazioni] {1,5*neve} (1,5*0,6*vento)	-0,0886	0,1538	-0,2366	-0,0084	-0,6754	0,0792
133	MzMax	[1,3*pp+perm+1,3*pp fondazioni] {1,5*neve} (1,5*0,6*vento)	-0,0886	0,1538	-2,3144	-0,0084	0,0516	0,1669
133	MzMin	[1,3*pp+perm+1,3*pp fondazioni] {1,5*neve} (1,5*0,6*vento)	-0,0886	0,1538	4,6116	-0,0084	2,2340	-0,1253
134	NxMax	[pp+perm+pp fondazioni] {SEISMIC 1+}	-0,0803	0,0645	-0,2199	-0,0019	-0,1465	0,0719
134	NxMin	[1,3*pp+perm+1,3*pp fondazioni] {1,5*neve} (1,5*0,6*vento)	-0,4795	0,2013	-0,7935	-0,0066	-0,2876	0,2153
134	VyMax	[1,3*pp+perm+1,3*pp fondazioni] {1,5*neve} (1,5*0,6*vento)	-0,4795	0,2013	-0,7935	-0,0066	-0,2876	0,2153
134	VyMin	[pp+perm+pp fondazioni] {SEISMIC 1-}	-0,1334	0,0445	-0,2199	-0,0019	-0,1465	0,0719
134	VzMax	[1,3*pp+perm+1,3*pp fondazioni] {1,5*neve} (1,5*0,6*vento)	-0,4795	0,2013	2,7204	-0,0066	1,5430	-0,1671
134	VzMin	[1,3*pp+perm+pp fondazioni] {1,5*neve} (1,5*0,6*vento)	-0,4795	0,2013	-0,7935	-0,0066	-0,2876	0,2153
134	TxMax	[pp+perm+pp fondazioni] {SEISMIC 1+}	-0,1334	0,0645	-0,2199	-0,0018	-0,1465	0,0719
134	TxMin	[1,3*pp+perm+1,3*pp fondazioni] {1,5*neve} (1,5*0,6*vento)	-0,4795	0,2013	-0,7935	-0,0066	-0,2876	0,2153
134	MyMax	[1,3*pp+perm+1,3*pp fondazioni] {1,5*neve} (1,5*0,6*vento)	-0,4795	0,2013	2,7204	-0,0066	1,5430	-0,1671
134	MyMin	[1,3*pp+perm+1,3*pp fondazioni] {1,5*neve} (1,5*0,6*vento)	-0,4795	0,2013	-0,0907	-0,0066	-0,4556	0,1388
134	MzMax	[1,3*pp+perm+1,3*pp fondazioni] {1,5*neve} (1,5*0,6*vento)	-0,4795	0,2013	-0,7935	-0,0066	-0,2876	0,2153
134	MzMin	[1,3*pp+perm+1,3*pp fondazioni] {1,5*neve} (1,5*0,6*vento)	-0,4795	0,2013	2,7204	-0,0066	1,5430	-0,1671
140	NxMax	[pp+perm+pp fondazioni] {SEISMIC 1+}	-0,2555	-0,0397	-0,7246	-0,0053	0,4393	-0,0357
140	NxMin	[1,3*pp+perm+1,3*pp fondazioni] {1,5*neve} (1,5*0,6*vento)	-1,3010	-0,0529	-2,8646	-0,0189	1,6620	-0,0402
140	VyMax	[pp+perm+pp fondazioni] {SEISMIC 1+}	-0,3991	0,0135	-0,7246	-0,0053	0,4393	-0,0357
140	VyMin	[1,3*pp+perm+pp fondazioni] {1,5*neve} (1,5*0,6*vento)	-1,3010	-0,0529	-2,8646	-0,0189	1,6620	-0,0402
140	VzMax	[1,3*pp+perm+pp fondazioni] {1,5*neve} (1,5*0,6*vento)	-1,3010	-0,0529	0,6493	-0,0189	-0,4426	0,0603
140	VzMin	[1,3*pp+perm+1,3*pp fondazioni] {1,5*neve} (1,5*0,6*vento)	-1,3010	-0,0529	-2,8646	-0,0189	1,6620	-0,0402
140	TxMax	[pp+perm+pp fondazioni] {SEISMIC 1+}	-0,3991	-0,0397	-0,7246	-0,0047	0,4393	-0,0357
140	TxMin	[1,3*pp+perm+pp fondazioni] {1,5*neve} (1,5*0,6*vento)	-1,3010	-0,0529	-2,8646	-0,0189	1,6620	-0,0402
140	MyMax	[1,3*pp+perm+1,3*pp fondazioni] {1,5*neve} (1,5*0,6*vento)	-1,3010	-0,0529	-2,8646	-0,0189	1,6620	-0,0402
140	MyMin	[1,3*pp+perm+pp fondazioni] {1,5*neve} (1,5*0,6*vento)	-1,3010	-0,0529	-0,0535	-0,0189	-0,5558	0,0402
140	MzMax	[1,3*pp+perm+pp fondazioni] {1,5*neve} (1,5*0,6*vento)	-1,3010	-0,0529	0,6493	-0,0189	-0,4426	0,0603
140	MzMin	[1,3*pp+perm+pp fondazioni] {1,5*neve} (1,5*0,6*vento)	-1,3010	-0,0529	-2,8646	-0,0189	1,6620	-0,0402
141	NxMax	[pp+perm+pp fondazioni] {SEISMIC 1+}	-1,2459	0,0379	-1,2051	-0,0026	0,6468	0,0378
141	NxMin	[1,3*pp+perm+1,3*pp fondazioni] {1,5*neve} (1,5*0,6*vento)	-5,3062	0,0420	-4,9210	-0,0084	2,5180	0,0397
141	VyMax	[1,3*pp+perm+1,3*pp fondazioni] {1,5*neve} (1,5*0,6*vento)	-5,3062	0,0420	-4,9210	-0,0084	2,5180	0,0397
141	VyMin	[pp+perm+pp fondazioni] {SEISMIC 1-}	-1,3422	-0,0143	-1,2051	-0,0026	0,6468	0,0378
141	VzMax	[1,3*pp+perm+pp fondazioni] {1,5*neve} (1,5*0,6*vento)	-5,3062	0,0420	2,0050	-0,0084	-0,2521	-0,0400
141	VzMin	[1,3*pp+perm+1,3*pp fondazioni] {1,5*neve} (1,5*0,6*vento)	-5,3062	0,0420	-4,9210	-0,0084	2,5180	0,0397
141	TxMax	[pp+perm+pp fondazioni] {SEISMIC 1+}	-1,3422	0,0379	-1,2051	-0,0019	0,6468	0,0378
141	TxMin	[1,3*pp+perm+pp fondazioni] {1,5*neve} (1,5*0,6*vento)	-5,3062	0,0420	-4,9210	-0,0084	2,5180	0,0397
141	MyMax	[1,3*pp+perm+1,3*pp fondazioni] {1,5*neve} (1,5*0,6*vento)	-5,3062	0,0420	-4,9210	-0,0084	2,5180	0,0397

141	MyMin	[1,3*pp+perm+1,3*pp fondazioni] {1,5*neve} (1,5*0,6*vento)	-5,3062	0,0420	-0,0728	-0,0084	-0,8028	-0,0161
141	MzMax	[1,3*pp+perm+1,3*pp fondazioni] {1,5*neve} (1,5*0,6*vento)	-5,3062	0,0420	-4,9210	-0,0084	2,5180	0,0397
141	MzMin	[1,3*pp+perm+1,3*pp fondazioni] {1,5*neve} (1,5*0,6*vento)	-5,3062	0,0420	2,0050	-0,0084	-0,2521	-0,0400
142	NxMax	[pp+perm+pp fondazioni] {SEISMIC 1+}	-0,7169	-0,0494	-1,1901	0,0015	0,6324	-0,0504
142	NxMin	[1,3*pp+perm+1,3*pp fondazioni] {1,5*neve} (1,5*0,6*vento)	-3,1688	-0,0462	-4,8625	0,0050	2,4380	-0,0565
142	VyMax	[pp+perm+pp fondazioni] {SEISMIC 1+}	-0,8419	0,0265	-1,1901	0,0015	0,6324	-0,0504
142	VyMin	[pp+perm+pp fondazioni] {SEISMIC 1-}	-0,8419	-0,0494	-1,1901	0,0015	0,6324	-0,0504
142	VzMax	[1,3*pp+perm+pp fondazioni] {1,5*neve} (1,5*0,6*vento)	-3,1688	-0,0462	2,0635	0,0050	-0,2211	0,0313
142	VzMin	[1,3*pp+perm+1,3*pp fondazioni] {1,5*neve} (1,5*0,6*vento)	-3,1688	-0,0462	-4,8625	0,0050	2,4380	-0,0565
142	TxMax	[1,3*pp+perm+1,3*pp fondazioni] {1,5*neve} (1,5*0,6*vento)	-3,1688	-0,0462	-4,8625	0,0050	2,4380	-0,0565
142	TxMin	[pp+perm+pp fondazioni] {SEISMIC 1-}	-0,8419	-0,0494	-1,1901	0,0011	0,6324	-0,0504
142	MyMax	[1,3*pp+perm+1,3*pp fondazioni] {1,5*neve} (1,5*0,6*vento)	-3,1688	-0,0462	-4,8625	0,0050	2,4380	-0,0565
142	MyMin	[1,3*pp+perm+1,3*pp fondazioni] {1,5*neve} (1,5*0,6*vento)	-3,1688	-0,0462	-0,0143	0,0050	-0,8051	0,0049
142	MzMax	[pp+perm+pp fondazioni] {SEISMIC 1+}	-0,8419	-0,0494	0,4553	0,0015	-0,1392	0,0445
142	MzMin	[1,3*pp+perm+1,3*pp fondazioni] {1,5*neve} (1,5*0,6*vento)	-3,1688	-0,0462	-4,8625	0,0050	2,4380	-0,0565
143	NxMax	[pp+perm+pp fondazioni] {SEISMIC 1+}	0,0385	-0,0521	-1,1451	-0,0001	0,5837	-0,0562
143	NxMin	[1,3*pp+perm+1,3*pp fondazioni] {1,5*neve} (1,5*0,6*vento)	-0,1158	-0,0856	-4,6923	-0,0001	2,2381	-0,1072
143	VyMax	[pp+perm+pp fondazioni] {SEISMIC 1+}	-0,1022	0,0083	-1,1451	-0,0001	0,5837	-0,0562
143	VyMin	[1,3*pp+perm+1,3*pp fondazioni] {1,5*neve} (1,5*0,6*vento)	-0,1158	-0,0856	-4,6923	-0,0001	2,2381	-0,1072
143	VzMax	[1,3*pp+perm+pp fondazioni] {1,5*neve} (1,5*0,6*vento)	-0,1158	-0,0856	2,2337	-0,0001	-0,0976	0,0554
143	VzMin	[1,3*pp+perm+1,3*pp fondazioni] {1,5*neve} (1,5*0,6*vento)	-0,1158	-0,0856	-4,6923	-0,0001	2,2381	-0,1072
143	TxMax	[pp+perm+pp fondazioni] {SEISMIC 1+}	-0,1022	-0,0521	-1,1451	0,0000	0,5837	-0,0562
143	TxMin	[pp+perm+pp fondazioni] {SEISMIC 1-}	-0,1022	-0,0521	-1,1451	-0,0001	0,5837	-0,0562
143	MyMax	[1,3*pp+perm+1,3*pp fondazioni] {1,5*neve} (1,5*0,6*vento)	-0,1158	-0,0856	-4,6923	-0,0001	2,2381	-0,1072
143	MyMin	[1,3*pp+perm+1,3*pp fondazioni] {1,5*neve} (1,5*0,6*vento)	-0,1158	-0,0856	0,1559	-0,0001	-0,7786	0,0066
143	MzMax	[1,3*pp+perm+1,3*pp fondazioni] {1,5*neve} (1,5*0,6*vento)	-0,1158	-0,0856	2,2337	-0,0001	-0,0976	0,0554
143	MzMin	[1,3*pp+perm+1,3*pp fondazioni] {1,5*neve} (1,5*0,6*vento)	-0,1158	-0,0856	-4,6923	-0,0001	2,2381	-0,1072
144	NxMax	[pp+perm+pp fondazioni] {SEISMIC 1+}	-0,1937	-0,0279	-0,7821	-0,0006	0,4664	-0,0319
144	NxMin	[1,3*pp+perm+1,3*pp fondazioni] {1,5*neve} (1,5*0,6*vento)	-0,9217	-0,0678	-2,9758	-0,0019	1,6553	-0,0985
144	VyMax	[pp+perm+pp fondazioni] {SEISMIC 1+}	-0,2541	-0,0066	-0,7821	-0,0006	0,4664	-0,0319
144	VyMin	[1,3*pp+perm+pp fondazioni] {1,5*neve} (1,5*0,6*vento)	-0,9217	-0,0678	-2,9758	-0,0019	1,6553	-0,0985
144	VzMax	[1,3*pp+perm+pp fondazioni] {1,5*neve} (1,5*0,6*vento)	-0,9217	-0,0678	0,5381	-0,0019	-0,6605	0,0304
144	VzMin	[1,3*pp+perm+1,3*pp fondazioni] {1,5*neve} (1,5*0,6*vento)	-0,9217	-0,0678	-2,9758	-0,0019	1,6553	-0,0985
144	TxMax	[pp+perm+pp fondazioni] {SEISMIC 1+}	-0,2541	-0,0279	-0,7821	-0,0005	0,4664	-0,0319
144	TxMin	[1,3*pp+perm+pp fondazioni] {1,5*neve} (1,5*0,6*vento)	-0,9217	-0,0678	-2,9758	-0,0019	1,6553	-0,0985
144	MyMax	[1,3*pp+perm+1,3*pp fondazioni] {1,5*neve} (1,5*0,6*vento)	-0,9217	-0,0678	-2,9758	-0,0019	1,6553	-0,0985
144	MyMin	[1,3*pp+perm+1,3*pp fondazioni] {1,5*neve} (1,5*0,6*vento)	-0,9217	-0,0678	-0,1647	-0,0019	-0,7315	0,0046
144	MzMax	[1,3*pp+perm+pp fondazioni] {1,5*neve} (1,5*0,6*vento)	-0,9217	-0,0678	0,5381	-0,0019	-0,6605	0,0304
144	MzMin	[1,3*pp+perm+pp fondazioni] {1,5*neve} (1,5*0,6*vento)	-0,9217	-0,0678	-2,9758	-0,0019	1,6553	-0,0985
150	NxMax	[pp+perm+pp fondazioni] {SEISMIC 1+}	-0,2793	0,0560	-0,1600	0,0047	-0,1653	0,0503
150	NxMin	[1,3*pp+perm+1,3*pp fondazioni] {1,5*neve} (1,5*0,6*vento)	-1,2522	0,0649	-0,6992	0,0169	-0,4753	0,0510
150	VyMax	[1,3*pp+perm+1,3*pp fondazioni] {1,5*neve} (1,5*0,6*vento)	-1,2522	0,0649	-0,6992	0,0169	-0,4753	0,0510
150	VyMin	[pp+perm+pp fondazioni] {SEISMIC 1-}	-0,3525	-0,0211	-0,1600	0,0047	-0,1653	0,0503
150	VzMax	[1,3*pp+perm+1,3*pp fondazioni] {1,5*neve} (1,5*0,6*vento)	-1,2522	0,0649	2,9072	0,0169	1,6775	-0,0756
150	VzMin	[1,3*pp+perm+pp fondazioni] {1,5*neve} (1,5*0,6*vento)	-1,2522	0,0649	-0,6992	0,0169	-0,4753	0,0510
150	TxMax	[1,3*pp+perm+pp fondazioni] {1,5*neve} (1,5*0,6*vento)	-1,2522	0,0649	-0,6992	0,0169	-0,4753	0,0510
150	TxMin	[pp+perm+pp fondazioni] {SEISMIC 1-}	-0,3525	0,0560	-0,1600	0,0041	-0,1653	0,0503
150	MyMax	[1,3*pp+perm+1,3*pp fondazioni] {1,5*neve} (1,5*0,6*vento)	-1,2522	0,0649	2,9072	0,0169	1,6775	-0,0756

150	MyMin	[1,3*pp+perm+1,3*pp fondazioni] {1,5*neve} (1,5*0,6*vento)	-1,2522	0,0649	0,0221	0,0169	-0,6073	0,0257
150	MzMax	[1,3*pp+perm+1,3*pp fondazioni] {1,5*neve} (1,5*0,6*vento)	-1,2522	0,0649	-0,6992	0,0169	-0,4753	0,0510
150	MzMin	[1,3*pp+perm+1,3*pp fondazioni] {1,5*neve} (1,5*0,6*vento)	-1,2522	0,0649	2,9072	0,0169	1,6775	-0,0756
151	NxMax	[pp+perm+pp fondazioni] {SEISMIC 1+}	-0,7638	-0,0513	-0,4420	0,0022	-0,1764	-0,0522
151	NxMin	[1,3*pp+perm+1,3*pp fondazioni] {1,5*neve} (1,5*0,6*vento)	-4,2792	-0,0446	-2,0138	0,0068	-0,3495	-0,0570
151	VyMax	[pp+perm+pp fondazioni] {SEISMIC 1+}	-1,3331	0,0296	-0,4420	0,0022	-0,1764	-0,0522
151	VyMin	[pp+perm+pp fondazioni] {SEISMIC 1-}	-1,3331	-0,0513	-0,4420	0,0022	-0,1764	-0,0522
151	VzMax	[1,3*pp+perm+1,3*pp fondazioni] {1,5*neve} (1,5*0,6*vento)	-4,2792	-0,0446	5,0944	0,0068	2,6541	0,0300
151	VzMin	[1,3*pp+perm+pp fondazioni] {1,5*neve} (1,5*0,6*vento)	-4,2792	-0,0446	-2,0138	0,0068	-0,3495	-0,0570
151	TxMax	[1,3*pp+perm+pp fondazioni] {1,5*neve} (1,5*0,6*vento)	-4,2792	-0,0446	-2,0138	0,0068	-0,3495	-0,0570
151	TxMin	[pp+perm+pp fondazioni] {SEISMIC 1-}	-1,3331	-0,0513	-0,4420	0,0013	-0,1764	-0,0522
151	MyMax	[1,3*pp+perm+1,3*pp fondazioni] {1,5*neve} (1,5*0,6*vento)	-4,2792	-0,0446	5,0944	0,0068	2,6541	0,0300
151	MyMin	[1,3*pp+perm+pp fondazioni] {1,5*neve} (1,5*0,6*vento)	-4,2792	-0,0446	0,1187	0,0068	-0,9038	-0,0309
151	MzMax	[pp+perm+pp fondazioni] {SEISMIC 1+}	-1,3331	-0,0513	1,2416	0,0022	0,6758	0,0480
151	MzMin	[1,3*pp+perm+pp fondazioni] {1,5*neve} (1,5*0,6*vento)	-4,2792	-0,0446	-2,0138	0,0068	-0,3495	-0,0570
152	NxMax	[pp+perm+pp fondazioni] {SEISMIC 1+}	-0,5192	0,0537	-0,4622	-0,0018	-0,1510	0,0484
152	NxMin	[1,3*pp+perm+1,3*pp fondazioni] {1,5*neve} (1,5*0,6*vento)	-2,7347	0,0305	-2,0875	-0,0057	-0,2686	0,0190
152	VyMax	[pp+perm+pp fondazioni] {SEISMIC 1+}	-0,8295	0,0537	-0,4622	-0,0018	-0,1510	0,0484
152	VyMin	[pp+perm+pp fondazioni] {SEISMIC 1-}	-0,8295	-0,0365	-0,4622	-0,0018	-0,1510	0,0484
152	VzMax	[1,3*pp+perm+1,3*pp fondazioni] {1,5*neve} (1,5*0,6*vento)	-2,7347	0,0305	5,0208	-0,0057	2,5913	-0,0404
152	VzMin	[1,3*pp+perm+pp fondazioni] {1,5*neve} (1,5*0,6*vento)	-2,7347	0,0305	-2,0875	-0,0057	-0,2686	0,0190
152	TxMax	[pp+perm+pp fondazioni] {SEISMIC 1+}	-0,8295	0,0537	-0,4622	-0,0012	-0,1510	0,0484
152	TxMin	[1,3*pp+perm+1,3*pp fondazioni] {1,5*neve} (1,5*0,6*vento)	-2,7347	0,0305	-2,0875	-0,0057	-0,2686	0,0190
152	MyMax	[1,3*pp+perm+1,3*pp fondazioni] {1,5*neve} (1,5*0,6*vento)	-2,7347	0,0305	5,0208	-0,0057	2,5913	-0,0404
152	MyMin	[1,3*pp+perm+1,3*pp fondazioni] {1,5*neve} (1,5*0,6*vento)	-2,7347	0,0305	0,0450	-0,0057	-0,8661	0,0012
152	MzMax	[pp+perm+pp fondazioni] {SEISMIC 1+}	-0,8295	0,0537	-0,4622	-0,0018	-0,1510	0,0484
152	MzMin	[pp+perm+pp fondazioni] {SEISMIC 1-}	-0,8295	0,0537	1,2235	-0,0018	0,6660	-0,0563
153	NxMax	[pp+perm+pp fondazioni] {SEISMIC 1+}	-0,0341	0,0560	-0,5057	-0,0002	-0,1028	0,0516
153	NxMin	[1,3*pp+perm+1,3*pp fondazioni] {1,5*neve} (1,5*0,6*vento)	-0,2073	0,0469	-2,2529	-0,0002	-0,0951	0,0386
153	VyMax	[pp+perm+pp fondazioni] {SEISMIC 1+}	-0,0712	0,0560	-0,5057	-0,0002	-0,1028	0,0516
153	VyMin	[pp+perm+pp fondazioni] {SEISMIC 1-}	-0,0712	-0,0306	-0,5057	-0,0002	-0,1028	0,0516
153	VzMax	[1,3*pp+perm+1,3*pp fondazioni] {1,5*neve} (1,5*0,6*vento)	-0,2073	0,0469	4,8553	-0,0002	2,4423	-0,0529
153	VzMin	[1,3*pp+perm+pp fondazioni] {1,5*neve} (1,5*0,6*vento)	-0,2073	0,0469	-2,2529	-0,0002	-0,0951	0,0386
153	TxMax	[pp+perm+pp fondazioni] {SEISMIC 1+}	-0,0712	0,0560	-0,5057	0,0001	-0,1028	0,0516
153	TxMin	[1,3*pp+perm+1,3*pp fondazioni] {1,5*neve} (1,5*0,6*vento)	-0,2073	0,0469	-2,2529	-0,0002	-0,0951	0,0386
153	MyMax	[1,3*pp+perm+1,3*pp fondazioni] {1,5*neve} (1,5*0,6*vento)	-0,2073	0,0469	4,8553	-0,0002	2,4423	-0,0529
153	MyMin	[1,3*pp+perm+1,3*pp fondazioni] {1,5*neve} (1,5*0,6*vento)	-0,2073	0,0469	-0,1204	-0,0002	-0,7893	0,0111
153	MzMax	[pp+perm+pp fondazioni] {SEISMIC 1+}	-0,0712	0,0560	-0,5057	-0,0002	-0,1028	0,0516
153	MzMin	[pp+perm+pp fondazioni] {SEISMIC 1-}	-0,0712	0,0560	1,1820	-0,0002	0,6332	-0,0579
154	NxMax	[pp+perm+pp fondazioni] {SEISMIC 1+}	-0,2123	0,0428	-0,1308	0,0003	-0,2390	0,0403
154	NxMin	[1,3*pp+perm+1,3*pp fondazioni] {1,5*neve} (1,5*0,6*vento)	-0,9178	0,0156	-0,4833	0,0008	-0,6675	0,0134
154	VyMax	[pp+perm+pp fondazioni] {SEISMIC 1+}	-0,2392	0,0428	-0,1308	0,0003	-0,2390	0,0403
154	VyMin	[pp+perm+pp fondazioni] {SEISMIC 1-}	-0,2392	-0,0334	-0,1308	0,0003	-0,2390	0,0403
154	VzMax	[1,3*pp+perm+1,3*pp fondazioni] {1,5*neve} (1,5*0,6*vento)	-0,9178	0,0156	3,1231	0,0008	1,9063	-0,0171
154	VzMin	[1,3*pp+perm+pp fondazioni] {1,5*neve} (1,5*0,6*vento)	-0,9178	0,0156	-0,4833	0,0008	-0,6675	0,0134
154	TxMax	[1,3*pp+perm+pp fondazioni] {1,5*neve} (1,5*0,6*vento)	-0,9178	0,0156	-0,4833	0,0008	-0,6675	0,0134
154	TxMin	[pp+perm+pp fondazioni] {SEISMIC 1-}	-0,2392	0,0428	-0,1308	0,0002	-0,2390	0,0403
154	MyMax	[1,3*pp+perm+1,3*pp fondazioni] {1,5*neve} (1,5*0,6*vento)	-0,9178	0,0156	3,1231	0,0008	1,9063	-0,0171

154	MyMin	[1,3*pp+perm+1,3*pp fondazioni] {1,5*neve} (1,5*0,6*vento)	-0,9178	0,0156	-0,1227	0,0008	-0,7266	0,0104
154	MzMax	[pp+perm+pp fondazioni] {SEISMIC 1+}	-0,2392	0,0428	-0,1308	0,0003	-0,2390	0,0403
154	MzMin	[pp+perm+pp fondazioni] {SEISMIC 1-}	-0,2392	0,0428	0,8169	0,0003	0,5303	-0,0434
160	NxMax	[pp+perm+pp fondazioni] {SEISMIC 1+}	-0,2582	-0,0622	-0,7421	-0,0050	0,4467	-0,0622
160	NxMin	[1,3*pp+perm+1,3*pp fondazioni] {1,5*neve} (1,5*0,6*vento)	-1,1190	-0,1254	-2,9365	-0,0186	1,6955	-0,1202
160	VyMax	[pp+perm+pp fondazioni] {SEISMIC 1+}	-0,3064	-0,0022	-0,7421	-0,0050	0,4467	-0,0622
160	VyMin	[1,3*pp+perm+1,3*pp fondazioni] {1,5*neve} (1,5*0,6*vento)	-1,1190	-0,1254	-2,9365	-0,0186	1,6955	-0,1202
160	VzMax	[1,3*pp+perm+pp fondazioni] {1,5*neve} (1,5*0,6*vento)	-1,1190	-0,1254	0,6236	-0,0186	-0,5306	0,1212
160	VzMin	[1,3*pp+perm+1,3*pp fondazioni] {1,5*neve} (1,5*0,6*vento)	-1,1190	-0,1254	-2,9365	-0,0186	1,6955	-0,1202
160	TxMax	[pp+perm+pp fondazioni] {SEISMIC 1+}	-0,3064	-0,0622	-0,7421	-0,0046	0,4467	-0,0622
160	TxMin	[1,3*pp+perm+1,3*pp fondazioni] {1,5*neve} (1,5*0,6*vento)	-1,1190	-0,1254	-2,9365	-0,0186	1,6955	-0,1202
160	MyMax	[1,3*pp+perm+1,3*pp fondazioni] {1,5*neve} (1,5*0,6*vento)	-1,1190	-0,1254	-2,9365	-0,0186	1,6955	-0,1202
160	MyMin	[1,3*pp+perm+1,3*pp fondazioni] {1,5*neve} (1,5*0,6*vento)	-1,1190	-0,1254	-0,0884	-0,0186	-0,6336	0,0729
160	MzMax	[1,3*pp+perm+1,3*pp fondazioni] {1,5*neve} (1,5*0,6*vento)	-1,1190	-0,1254	0,6236	-0,0186	-0,5306	0,1212
160	MzMin	[1,3*pp+perm+1,3*pp fondazioni] {1,5*neve} (1,5*0,6*vento)	-1,1190	-0,1254	-2,9365	-0,0186	1,6955	-0,1202
161	NxMax	[pp+perm+pp fondazioni] {SEISMIC 1+}	-1,0159	-0,0340	-1,2625	-0,0026	0,6953	-0,0335
161	NxMin	[1,3*pp+perm+1,3*pp fondazioni] {1,5*neve} (1,5*0,6*vento)	-4,6943	-0,0092	-5,1552	-0,0093	2,7218	-0,0036
161	VyMax	[pp+perm+pp fondazioni] {SEISMIC 1+}	-1,2764	0,0293	-1,2625	-0,0026	0,6953	-0,0335
161	VyMin	[pp+perm+pp fondazioni] {SEISMIC 1-}	-1,2764	-0,0340	-1,2625	-0,0026	0,6953	-0,0335
161	VzMax	[1,3*pp+perm+1,3*pp fondazioni] {1,5*neve} (1,5*0,6*vento)	-4,6943	-0,0092	1,8619	-0,0093	-0,4480	0,0141
161	VzMin	[1,3*pp+perm+pp fondazioni] {1,5*neve} (1,5*0,6*vento)	-4,6943	-0,0092	-5,1552	-0,0093	2,7218	-0,0036
161	TxMax	[pp+perm+pp fondazioni] {SEISMIC 1+}	-1,2764	-0,0340	-1,2625	-0,0021	0,6953	-0,0335
161	TxMin	[1,3*pp+perm+1,3*pp fondazioni] {1,5*neve} (1,5*0,6*vento)	-4,6943	-0,0092	-5,1552	-0,0093	2,7218	-0,0036
161	MyMax	[1,3*pp+perm+pp fondazioni] {1,5*neve} (1,5*0,6*vento)	-4,6943	-0,0092	-5,1552	-0,0093	2,7218	-0,0036
161	MyMin	[1,3*pp+perm+1,3*pp fondazioni] {1,5*neve} (1,5*0,6*vento)	-4,6943	-0,0092	-0,2432	-0,0093	-0,9154	0,0088
161	MzMax	[pp+perm+pp fondazioni] {SEISMIC 1+}	-1,2764	-0,0340	0,4072	-0,0026	-0,2061	0,0333
161	MzMin	[pp+perm+pp fondazioni] {SEISMIC 1-}	-1,2764	-0,0340	-1,2625	-0,0026	0,6953	-0,0335
162	NxMax	[pp+perm+pp fondazioni] {SEISMIC 1+}	-0,6447	-0,0672	-1,2171	0,0014	0,6716	-0,0624
162	NxMin	[1,3*pp+perm+1,3*pp fondazioni] {1,5*neve} (1,5*0,6*vento)	-2,6650	-0,1043	-4,9887	0,0046	2,6110	-0,0833
162	VyMax	[pp+perm+pp fondazioni] {SEISMIC 1+}	-0,6655	0,0131	-1,2171	0,0014	0,6716	-0,0624
162	VyMin	[1,3*pp+perm+1,3*pp fondazioni] {1,5*neve} (1,5*0,6*vento)	-2,6650	-0,1043	-4,9887	0,0046	2,6110	-0,0833
162	VzMax	[1,3*pp+perm+1,3*pp fondazioni] {1,5*neve} (1,5*0,6*vento)	-2,6650	-0,1043	2,0285	0,0046	-0,2381	0,1175
162	VzMin	[1,3*pp+perm+pp fondazioni] {1,5*neve} (1,5*0,6*vento)	-2,6650	-0,1043	-4,9887	0,0046	2,6110	-0,0833
162	TxMax	[1,3*pp+perm+pp fondazioni] {1,5*neve} (1,5*0,6*vento)	-2,6650	-0,1043	-4,9887	0,0046	2,6110	-0,0833
162	TxMin	[pp+perm+pp fondazioni] {SEISMIC 1-}	-0,6655	-0,0672	-1,2171	0,0009	0,6716	-0,0624
162	MyMax	[1,3*pp+perm+pp fondazioni] {1,5*neve} (1,5*0,6*vento)	-2,6650	-0,1043	-4,9887	0,0046	2,6110	-0,0833
162	MyMin	[1,3*pp+perm+1,3*pp fondazioni] {1,5*neve} (1,5*0,6*vento)	-2,6650	-0,1043	-0,0767	0,0046	-0,8017	0,0573
162	MzMax	[1,3*pp+perm+1,3*pp fondazioni] {1,5*neve} (1,5*0,6*vento)	-2,6650	-0,1043	2,0285	0,0046	-0,2381	0,1175
162	MzMin	[1,3*pp+perm+1,3*pp fondazioni] {1,5*neve} (1,5*0,6*vento)	-2,6650	-0,1043	-4,9887	0,0046	2,6110	-0,0833
163	NxMax	[1,3*pp+perm+pp fondazioni] {1,5*neve} (1,5*0,6*vento)	0,2117	-0,1388	-4,7713	0,0000	2,4314	-0,1131
163	NxMin	[pp+perm+pp fondazioni] {SEISMIC 1-}	0,0289	-0,0701	-1,1612	-0,0002	0,6307	-0,0638
163	VyMax	[pp+perm+pp fondazioni] {SEISMIC 1+}	0,0759	-0,0012	-1,1612	-0,0002	0,6307	-0,0638
163	VyMin	[1,3*pp+perm+1,3*pp fondazioni] {1,5*neve} (1,5*0,6*vento)	0,2117	-0,1388	-4,7713	0,0000	2,4314	-0,1131
163	VzMax	[1,3*pp+perm+pp fondazioni] {1,5*neve} (1,5*0,6*vento)	0,2117	-0,1388	2,2458	0,0000	0,0007	0,1541
163	VzMin	[1,3*pp+perm+1,3*pp fondazioni] {1,5*neve} (1,5*0,6*vento)	0,2117	-0,1388	-4,7713	0,0000	2,4314	-0,1131
163	TxMax	[pp+perm+pp fondazioni] {SEISMIC 1+}	0,0759	-0,0701	-1,1612	0,0001	0,6307	-0,0638
163	TxMin	[pp+perm+pp fondazioni] {SEISMIC 1-}	0,0759	-0,0701	-1,1612	-0,0002	0,6307	-0,0638
163	MyMax	[1,3*pp+perm+1,3*pp fondazioni] {1,5*neve} (1,5*0,6*vento)	0,2117	-0,1388	-4,7713	0,0000	2,4314	-0,1131

163	MyMin	[1,3*pp+perm+1,3*pp fondazioni] {1,5*neve} (1,5*0,6*vento)	0,2117	-0,1388	0,1407	0,0000	-0,6884	0,0739
163	MzMax	[1,3*pp+perm+1,3*pp fondazioni] {1,5*neve} (1,5*0,6*vento)	0,2117	-0,1388	2,2458	0,0000	0,0007	0,1541
163	MzMin	[1,3*pp+perm+1,3*pp fondazioni] {1,5*neve} (1,5*0,6*vento)	0,2117	-0,1388	-4,7713	0,0000	2,4314	-0,1131
164	NxMax	[pp+perm+pp fondazioni] {SEISMIC 1+}	-0,2885	-0,0442	-0,8368	-0,0012	0,5514	-0,0422
164	NxMin	[1,3*pp+perm+1,3*pp fondazioni] {1,5*neve} (1,5*0,6*vento)	-1,2371	-0,0626	-3,2013	-0,0046	1,9876	-0,0540
164	VyMax	[pp+perm+pp fondazioni] {SEISMIC 1+}	-0,3278	0,0121	-0,8368	-0,0012	0,5514	-0,0422
164	VyMin	[1,3*pp+perm+1,3*pp fondazioni] {1,5*neve} (1,5*0,6*vento)	-1,2371	-0,0626	-3,2013	-0,0046	1,9876	-0,0540
164	VzMax	[1,3*pp+perm+pp fondazioni] {1,5*neve} (1,5*0,6*vento)	-1,2371	-0,0626	0,3589	-0,0046	-0,7482	0,0665
164	VzMin	[1,3*pp+perm+1,3*pp fondazioni] {1,5*neve} (1,5*0,6*vento)	-1,2371	-0,0626	-3,2013	-0,0046	1,9876	-0,0540
164	TxMax	[pp+perm+pp fondazioni] {SEISMIC 1+}	-0,3278	-0,0442	-0,8368	-0,0011	0,5514	-0,0422
164	TxMin	[1,3*pp+perm+1,3*pp fondazioni] {1,5*neve} (1,5*0,6*vento)	-1,2371	-0,0626	-3,2013	-0,0046	1,9876	-0,0540
164	MyMax	[1,3*pp+perm+1,3*pp fondazioni] {1,5*neve} (1,5*0,6*vento)	-1,2371	-0,0626	-3,2013	-0,0046	1,9876	-0,0540
164	MyMin	[1,3*pp+perm+1,3*pp fondazioni] {1,5*neve} (1,5*0,6*vento)	-1,2371	-0,0626	0,0028	-0,0046	-0,7830	0,0544
164	MzMax	[1,3*pp+perm+1,3*pp fondazioni] {1,5*neve} (1,5*0,6*vento)	-1,2371	-0,0626	0,3589	-0,0046	-0,7482	0,0665
164	MzMin	[1,3*pp+perm+1,3*pp fondazioni] {1,5*neve} (1,5*0,6*vento)	-1,2371	-0,0626	-3,2013	-0,0046	1,9876	-0,0540
170	NxMax	[pp+perm+pp fondazioni] {SEISMIC 1+}	-0,2363	0,0602	-0,2948	0,0011	-0,1604	0,0499
170	NxMin	[1,3*pp+perm+1,3*pp fondazioni] {1,5*neve} (1,5*0,6*vento)	-1,0510	0,1018	-1,2147	0,0036	-0,4564	0,0830
170	VyMax	[1,3*pp+perm+pp fondazioni] {1,5*neve} (1,5*0,6*vento)	-1,0510	0,1018	-1,2147	0,0036	-0,4564	0,0830
170	VyMin	[pp+perm+pp fondazioni] {SEISMIC 1-}	-0,2923	-0,0133	-0,2948	0,0011	-0,1604	0,0499
170	VzMax	[1,3*pp+perm+pp fondazioni] {1,5*neve} (1,5*0,6*vento)	-1,0510	0,1018	2,3454	0,0036	0,6319	-0,1129
170	VzMin	[1,3*pp+perm+1,3*pp fondazioni] {1,5*neve} (1,5*0,6*vento)	-1,0510	0,1018	-1,2147	0,0036	-0,4564	0,0830
170	TxMax	[1,3*pp+perm+1,3*pp fondazioni] {1,5*neve} (1,5*0,6*vento)	-1,0510	0,1018	-1,2147	0,0036	-0,4564	0,0830
170	TxMin	[pp+perm+pp fondazioni] {SEISMIC 1-}	-0,2923	0,0602	-0,2948	0,0009	-0,1604	0,0499
170	MyMax	[1,3*pp+perm+pp fondazioni] {1,5*neve} (1,5*0,6*vento)	-1,0510	0,1018	2,3454	0,0036	0,6319	-0,1129
170	MyMin	[1,3*pp+perm+pp fondazioni] {1,5*neve} (1,5*0,6*vento)	-1,0510	0,1018	-0,1467	0,0036	-0,8495	0,0242
170	MzMax	[1,3*pp+perm+1,3*pp fondazioni] {1,5*neve} (1,5*0,6*vento)	-1,0510	0,1018	-1,2147	0,0036	-0,4564	0,0830
170	MzMin	[1,3*pp+perm+pp fondazioni] {1,5*neve} (1,5*0,6*vento)	-1,0510	0,1018	2,3454	0,0036	0,6319	-0,1129
171	NxMax	[pp+perm+pp fondazioni] {SEISMIC 1+}	-1,5156	0,0428	-0,6133	0,0007	-0,1175	0,0340
171	NxMin	[1,3*pp+perm+1,3*pp fondazioni] {1,5*neve} (1,5*0,6*vento)	-7,4187	0,0331	-2,6699	0,0024	-0,0978	0,0208
171	VyMax	[pp+perm+pp fondazioni] {SEISMIC 1+}	-2,1678	0,0428	-0,6133	0,0007	-0,1175	0,0340
171	VyMin	[pp+perm+pp fondazioni] {SEISMIC 1-}	-2,1678	-0,0310	-0,6133	0,0007	-0,1175	0,0340
171	VzMax	[1,3*pp+perm+pp fondazioni] {1,5*neve} (1,5*0,6*vento)	-7,4187	0,0331	4,3472	0,0024	1,5167	-0,0429
171	VzMin	[1,3*pp+perm+1,3*pp fondazioni] {1,5*neve} (1,5*0,6*vento)	-7,4187	0,0331	-2,6699	0,0024	-0,0978	0,0208
171	TxMax	[1,3*pp+perm+1,3*pp fondazioni] {1,5*neve} (1,5*0,6*vento)	-7,4187	0,0331	-2,6699	0,0024	-0,0978	0,0208
171	TxMin	[pp+perm+pp fondazioni] {SEISMIC 1-}	-2,1678	0,0428	-0,6133	0,0004	-0,1175	0,0340
171	MyMax	[1,3*pp+perm+pp fondazioni] {1,5*neve} (1,5*0,6*vento)	-7,4187	0,0331	4,3472	0,0024	1,5167	-0,0429
171	MyMin	[1,3*pp+perm+pp fondazioni] {1,5*neve} (1,5*0,6*vento)	-7,4187	0,0331	0,1370	0,0024	-1,0730	-0,0047
171	MzMax	[pp+perm+pp fondazioni] {SEISMIC 1+}	-2,1678	0,0428	-0,6133	0,0007	-0,1175	0,0340
171	MzMin	[pp+perm+pp fondazioni] {SEISMIC 1-}	-2,1678	0,0428	1,0673	0,0007	0,4082	-0,0484
172	NxMax	[pp+perm+pp fondazioni] {SEISMIC 1+}	-0,7026	0,0905	-0,6771	0,0004	-0,0958	0,0634
172	NxMin	[1,3*pp+perm+1,3*pp fondazioni] {1,5*neve} (1,5*0,6*vento)	-3,2028	0,1717	-2,9243	0,0015	-0,0529	0,0820
172	VyMax	[1,3*pp+perm+1,3*pp fondazioni] {1,5*neve} (1,5*0,6*vento)	-3,2028	0,1717	-2,9243	0,0015	-0,0529	0,0820
172	VyMin	[pp+perm+pp fondazioni] {SEISMIC 1-}	-0,8910	-0,0092	-0,6771	0,0004	-0,0958	0,0634
172	VzMax	[1,3*pp+perm+pp fondazioni] {1,5*neve} (1,5*0,6*vento)	-3,2028	0,1717	4,0928	0,0015	1,0718	-0,2485
172	VzMin	[1,3*pp+perm+1,3*pp fondazioni] {1,5*neve} (1,5*0,6*vento)	-3,2028	0,1717	-2,9243	0,0015	-0,0529	0,0820
172	TxMax	[1,3*pp+perm+1,3*pp fondazioni] {1,5*neve} (1,5*0,6*vento)	-3,2028	0,1717	-2,9243	0,0015	-0,0529	0,0820
172	TxMin	[pp+perm+pp fondazioni] {SEISMIC 1-}	-0,8910	0,0905	-0,6771	0,0000	-0,0958	0,0634
172	MyMax	[1,3*pp+perm+pp fondazioni] {1,5*neve} (1,5*0,6*vento)	-3,2028	0,1717	4,0928	0,0015	1,0718	-0,2485

172	MyMin	[1,3*pp+perm+1,3*pp fondazioni] {1,5*neve} (1,5*0,6*vento)	-3,2028	0,1717	-0,1175	0,0015	-1,2240	-0,0502
172	MzMax	[1,3*pp+perm+1,3*pp fondazioni] {1,5*neve} (1,5*0,6*vento)	-3,2028	0,1717	-2,9243	0,0015	-0,0529	0,0820
172	MzMin	[1,3*pp+perm+1,3*pp fondazioni] {1,5*neve} (1,5*0,6*vento)	-3,2028	0,1717	4,0928	0,0015	1,0718	-0,2485
173	NxMax	[1,3*pp+perm+pp fondazioni] {1,5*neve} (1,5*0,6*vento)	0,9445	0,1893	-3,2058	-0,0019	0,0815	0,0946
173	NxMin	[pp+perm+pp fondazioni] {SEISMIC 1-}	0,1504	0,0836	-0,7538	-0,0006	-0,0602	0,0574
173	VyMax	[1,3*pp+perm+1,3*pp fondazioni] {1,5*neve} (1,5*0,6*vento)	0,9445	0,1893	-3,2058	-0,0019	0,0815	0,0946
173	VyMin	[pp+perm+pp fondazioni] {SEISMIC 1-}	0,3386	0,0062	-0,7538	-0,0006	-0,0602	0,0574
173	VzMax	[1,3*pp+perm+1,3*pp fondazioni] {1,5*neve} (1,5*0,6*vento)	0,9445	0,1893	3,8113	-0,0019	0,6643	-0,2698
173	VzMin	[1,3*pp+perm+pp fondazioni] {1,5*neve} (1,5*0,6*vento)	0,9445	0,1893	-3,2058	-0,0019	0,0815	0,0946
173	TxMax	[pp+perm+pp fondazioni] {SEISMIC 1+}	0,3386	0,0836	-0,7538	-0,0003	-0,0602	0,0574
173	TxMin	[1,3*pp+perm+pp fondazioni] {1,5*neve} (1,5*0,6*vento)	0,9445	0,1893	-3,2058	-0,0019	0,0815	0,0946
173	MyMax	[1,3*pp+perm+1,3*pp fondazioni] {1,5*neve} (1,5*0,6*vento)	0,9445	0,1893	3,8113	-0,0019	0,6643	-0,2698
173	MyMin	[1,3*pp+perm+1,3*pp fondazioni] {1,5*neve} (1,5*0,6*vento)	0,9445	0,1893	0,3027	-0,0019	-1,3156	-0,0876
173	MzMax	[1,3*pp+perm+1,3*pp fondazioni] {1,5*neve} (1,5*0,6*vento)	0,9445	0,1893	-3,2058	-0,0019	0,0815	0,0946
173	MzMin	[1,3*pp+perm+1,3*pp fondazioni] {1,5*neve} (1,5*0,6*vento)	0,9445	0,1893	3,8113	-0,0019	0,6643	-0,2698
174	NxMax	[pp+perm+pp fondazioni] {SEISMIC 1+}	-0,4447	0,0280	-0,3084	-0,0005	-0,2237	0,0292
174	NxMin	[1,3*pp+perm+1,3*pp fondazioni] {1,5*neve} (1,5*0,6*vento)	-1,8364	0,0503	-1,1174	-0,0017	-0,5999	0,0380
174	VyMax	[1,3*pp+perm+1,3*pp fondazioni] {1,5*neve} (1,5*0,6*vento)	-1,8364	0,0503	-1,1174	-0,0017	-0,5999	0,0380
174	VyMin	[pp+perm+pp fondazioni] {SEISMIC 1-}	-0,4819	-0,0064	-0,3084	-0,0005	-0,2237	0,0292
174	VzMax	[1,3*pp+perm+pp fondazioni] {1,5*neve} (1,5*0,6*vento)	-1,8364	0,0503	2,4427	-0,0017	0,6756	-0,0588
174	VzMin	[1,3*pp+perm+1,3*pp fondazioni] {1,5*neve} (1,5*0,6*vento)	-1,8364	0,0503	-1,1174	-0,0017	-0,5999	0,0380
174	TxMax	[pp+perm+pp fondazioni] {SEISMIC 1+}	-0,4819	0,0280	-0,3084	-0,0005	-0,2237	0,0292
174	TxMin	[1,3*pp+perm+1,3*pp fondazioni] {1,5*neve} (1,5*0,6*vento)	-1,8364	0,0503	-1,1174	-0,0017	-0,5999	0,0380
174	MyMax	[1,3*pp+perm+pp fondazioni] {1,5*neve} (1,5*0,6*vento)	-1,8364	0,0503	2,4427	-0,0017	0,6756	-0,0588
174	MyMin	[1,3*pp+perm+pp fondazioni] {1,5*neve} (1,5*0,6*vento)	-1,8364	0,0503	-0,0494	-0,0017	-0,9368	0,0090
174	MzMax	[1,3*pp+perm+1,3*pp fondazioni] {1,5*neve} (1,5*0,6*vento)	-1,8364	0,0503	-1,1174	-0,0017	-0,5999	0,0380
174	MzMin	[1,3*pp+perm+1,3*pp fondazioni] {1,5*neve} (1,5*0,6*vento)	-1,8364	0,0503	2,4427	-0,0017	0,6756	-0,0588
175	NxMax	[1,3*pp+perm+1,3*pp fondazioni] {1,5*neve} (1,5*0,6*vento)	1,6485	5,5785	4,0606	-0,0803	1,8680	-0,8739
175	NxMin	[pp+perm+pp fondazioni] {SEISMIC 1-}	0,1378	1,9776	0,9182	-0,0660	0,2552	0,1760
175	VyMax	[1,3*pp+perm+pp fondazioni] {1,5*neve} (1,5*0,6*vento)	1,6376	5,5785	4,0311	-0,0803	1,1254	0,1500
175	VyMin	[pp+perm+pp fondazioni] {SEISMIC 1-}	0,5554	1,0896	0,9182	-0,0660	0,2552	0,1760
175	VzMax	[1,3*pp+perm+pp fondazioni] {1,5*neve} (1,5*0,6*vento)	1,6485	5,5785	4,0606	-0,0803	1,8680	-0,8739
175	VzMin	[pp+perm+pp fondazioni] {SEISMIC 1-}	0,5554	1,9776	0,6999	-0,0660	0,2552	0,1760
175	TxMax	[pp+perm+pp fondazioni] {SEISMIC 1+}	0,5554	1,9776	0,9182	0,0260	0,2552	0,1760
175	TxMin	[1,3*pp+perm+1,3*pp fondazioni] {1,5*neve} (1,5*0,6*vento)	1,6376	5,5785	4,0311	-0,0803	1,1254	0,1500
175	MyMax	[1,3*pp+perm+pp fondazioni] {1,5*neve} (1,5*0,6*vento)	1,6485	5,5785	4,0606	-0,0803	1,8680	-0,8739
175	MyMin	[pp+perm+pp fondazioni] {SEISMIC 1-}	0,5554	1,9776	0,9182	-0,0660	0,2264	0,1760
175	MzMax	[pp+perm+pp fondazioni] {SEISMIC 1+}	0,5554	1,9776	0,9182	-0,0660	0,2552	0,1760
175	MzMin	[1,3*pp+perm+pp fondazioni] {1,5*neve} (1,5*0,6*vento)	1,6485	5,5785	4,0606	-0,0803	1,8680	-0,8739
176	NxMax	[1,3*pp+perm+pp fondazioni] {1,5*neve} (1,5*0,6*vento)	0,4338	-0,0293	1,1891	0,1485	1,1032	-0,0143
176	NxMin	[pp+perm+pp fondazioni] {SEISMIC 1-}	0,0043	-0,0741	0,2032	0,0642	0,0134	-0,0750
176	VyMax	[pp+perm+pp fondazioni] {SEISMIC 1+}	0,1301	0,0716	0,2032	0,0642	0,0134	-0,0750
176	VyMin	[pp+perm+pp fondazioni] {SEISMIC 1-}	0,1301	-0,0741	0,2032	0,0642	0,0134	-0,0750
176	VzMax	[1,3*pp+perm+1,3*pp fondazioni] {1,5*neve} (1,5*0,6*vento)	0,4338	-0,0293	1,1891	0,1485	1,1032	-0,0143
176	VzMin	[pp+perm+pp fondazioni] {SEISMIC 1-}	0,1301	-0,0741	0,1445	0,0642	0,0134	-0,0750
176	TxMax	[1,3*pp+perm+1,3*pp fondazioni] {1,5*neve} (1,5*0,6*vento)	0,3756	-0,0293	1,0312	0,1485	0,0152	-0,0429
176	TxMin	[pp+perm+pp fondazioni] {SEISMIC 1-}	0,1301	-0,0741	0,2032	0,0171	0,0134	-0,0750
176	MyMax	[1,3*pp+perm+1,3*pp fondazioni] {1,5*neve} (1,5*0,6*vento)	0,4338	-0,0293	1,1891	0,1485	1,1032	-0,0143

176	MyMin	[pp+perm+pp fondazioni] {SEISMIC 1-}	0,1301	-0,0741	0,2032	0,0642	-0,0042	-0,0750
176	MzMax	[pp+perm+pp fondazioni] {SEISMIC 1+}	0,1749	-0,0741	0,3247	0,0642	0,2557	0,0880
176	MzMin	[pp+perm+pp fondazioni] {SEISMIC 1-}	0,1749	-0,0741	0,3247	0,0642	0,2557	-0,1121
177	NxMax	[pp+perm+pp fondazioni] {SEISMIC 1+}	-4,5473	-0,8099	-0,8743	-0,0600	-0,5008	0,1472
177	NxMin	[1,3*pp+perm+1,3*pp fondazioni] {1,5*neve} (1,5*0,6*vento)	-20,3292	-0,8333	-4,2556	-0,1343	1,8057	-0,3101
177	VyMax	[pp+perm+pp fondazioni] {SEISMIC 1+}	-5,4645	0,3113	-0,9730	-0,0600	0,2353	-0,4994
177	VyMin	[1,3*pp+perm+pp fondazioni] {1,5*neve} (1,5*0,6*vento)	-20,3292	-0,8333	-4,2556	-0,1343	1,8057	-0,3101
177	VzMax	[pp+perm+pp fondazioni] {SEISMIC 1+}	-5,4282	-0,8099	-0,7034	-0,0600	-0,5008	0,1472
177	VzMin	[1,3*pp+perm+1,3*pp fondazioni] {1,5*neve} (1,5*0,6*vento)	-20,3292	-0,8333	-4,2556	-0,1343	1,8057	-0,3101
177	TxMax	[pp+perm+pp fondazioni] {SEISMIC 1+}	-5,4645	-0,8099	-0,9730	-0,0162	0,2353	-0,4994
177	TxMin	[1,3*pp+perm+1,3*pp fondazioni] {1,5*neve} (1,5*0,6*vento)	-20,3292	-0,8333	-4,2556	-0,1343	1,8057	-0,3101
177	MyMax	[1,3*pp+perm+1,3*pp fondazioni] {1,5*neve} (1,5*0,6*vento)	-20,3292	-0,8333	-4,2556	-0,1343	1,8057	-0,3101
177	MyMin	[1,3*pp+perm+1,3*pp fondazioni] {1,5*neve} (1,5*0,6*vento)	-20,2819	-0,8333	-4,1273	-0,1343	-1,5326	0,3536
177	MzMax	[1,3*pp+perm+pp fondazioni] {1,5*neve} (1,5*0,6*vento)	-20,2819	-0,8333	-4,1273	-0,1343	-1,5326	0,3536
177	MzMin	[pp+perm+pp fondazioni] {SEISMIC 1-}	-5,4645	-0,8099	-0,9730	-0,0600	0,2353	-0,4994
178	NxMax	[pp+perm+pp fondazioni] {SEISMIC 1+}	-4,4448	0,4312	0,0907	-0,0334	-0,5163	-0,2826
178	NxMin	[1,3*pp+perm+1,3*pp fondazioni] {1,5*neve} (1,5*0,6*vento)	-19,1628	0,4526	-0,4052	-0,1060	-1,5814	0,3707
178	VyMax	[1,3*pp+perm+1,3*pp fondazioni] {1,5*neve} (1,5*0,6*vento)	-19,1628	0,4526	-0,4052	-0,1060	-1,5814	0,3707
178	VyMin	[pp+perm+pp fondazioni] {SEISMIC 1-}	-5,0612	-0,2036	-0,0491	-0,0334	-0,5340	0,1406
178	VzMax	[1,3*pp+perm+pp fondazioni]	-6,1498	0,1479	0,1060	-0,0381	-0,5868	-0,0155
178	VzMin	[1,3*pp+perm+1,3*pp fondazioni] {1,5*neve} (1,5*0,6*vento)	-19,1628	0,4526	-0,4052	-0,1060	-1,5814	0,3707
178	TxMax	[pp+perm+pp fondazioni] {SEISMIC 1+}	-5,0612	0,4312	-0,0491	-0,0252	-0,5340	0,1406
178	TxMin	[1,3*pp+perm+1,3*pp fondazioni] {1,5*neve} (1,5*0,6*vento)	-19,1628	0,4526	-0,4052	-0,1060	-1,5814	0,3707
178	MyMax	[pp+perm+pp fondazioni] {SEISMIC 1+}	-5,0164	0,4312	0,0907	-0,0334	-0,3865	-0,2826
178	MyMin	[1,3*pp+perm+1,3*pp fondazioni] {1,5*neve} (1,5*0,6*vento)	-19,1047	0,4526	-0,2473	-0,1060	-1,9011	-0,0728
178	MzMax	[1,3*pp+perm+1,3*pp fondazioni] {1,5*neve} (1,5*0,6*vento)	-19,1628	0,4526	-0,4052	-0,1060	-1,5814	0,3707
178	MzMin	[pp+perm+pp fondazioni] {SEISMIC 1-}	-5,0164	0,4312	0,0907	-0,0334	-0,5163	-0,2826
179	NxMax	[pp+perm+pp fondazioni] {SEISMIC 1+}	-4,3247	-0,0553	1,7207	0,1163	0,8592	0,3208
179	NxMin	[1,3*pp+perm+pp fondazioni] {1,5*neve} (1,5*0,6*vento)	-17,5242	-0,0603	6,4043	0,0193	2,3518	0,0718
179	VyMax	[pp+perm+pp fondazioni] {SEISMIC 1+}	-4,4688	0,0200	1,7038	0,1163	0,6524	0,3188
179	VyMin	[1,3*pp+perm+1,3*pp fondazioni] {1,5*neve} (1,5*0,6*vento)	-17,5242	-0,0603	6,4043	0,0193	2,3518	0,0718
179	VzMax	[1,3*pp+perm+pp fondazioni] {1,5*neve} (1,5*0,6*vento)	-17,5160	-0,0603	6,4263	0,0193	3,2297	0,0801
179	VzMin	[pp+perm+pp fondazioni] {SEISMIC 1-}	-4,4688	-0,0553	1,4925	0,1163	0,6524	0,3188
179	TxMax	[pp+perm+pp fondazioni] {SEISMIC 1+}	-4,4688	-0,0553	1,7038	0,1163	0,6524	0,3188
179	TxMin	[pp+perm+pp fondazioni] {SEISMIC 1-}	-4,4688	-0,0553	1,7038	-0,1011	0,6524	0,3188
179	MyMax	[1,3*pp+perm+pp fondazioni] {1,5*neve} (1,5*0,6*vento)	-17,5160	-0,0603	6,4263	0,0193	3,2297	0,0801
179	MyMin	[pp+perm+pp fondazioni] {SEISMIC 1-}	-4,4688	-0,0553	1,7038	0,1163	0,6019	0,3188
179	MzMax	[pp+perm+pp fondazioni] {SEISMIC 1+}	-4,4626	-0,0553	1,7207	0,1163	0,8592	0,3208
179	MzMin	[pp+perm+pp fondazioni] {SEISMIC 1-}	-4,4688	-0,0553	1,7038	0,1163	0,6524	-0,2632
180	NxMax	[pp+perm+pp fondazioni] {SEISMIC 1+}	-4,2981	-0,1989	1,2682	-0,0352	0,6628	0,3660
180	NxMin	[1,3*pp+perm+1,3*pp fondazioni] {1,5*neve} (1,5*0,6*vento)	-17,8182	-0,2100	4,4058	-0,0104	-1,9728	-0,1073
180	VyMax	[pp+perm+pp fondazioni] {SEISMIC 1+}	-4,6055	0,0724	1,1467	-0,0352	-0,5542	-0,2249
180	VyMin	[1,3*pp+perm+1,3*pp fondazioni] {1,5*neve} (1,5*0,6*vento)	-17,8182	-0,2100	4,4058	-0,0104	-1,9728	-0,1073
180	VzMax	[1,3*pp+perm+1,3*pp fondazioni] {1,5*neve} (1,5*0,6*vento)	-17,7601	-0,2100	4,5637	-0,0104	2,4222	0,0986
180	VzMin	[pp+perm+pp fondazioni] {SEISMIC 1-}	-4,6055	-0,1989	1,0095	-0,0352	-0,5542	-0,2249
180	TxMax	[pp+perm+pp fondazioni] {SEISMIC 1+}	-4,6055	-0,1989	1,1467	0,0320	-0,5542	-0,2249
180	TxMin	[pp+perm+pp fondazioni] {SEISMIC 1-}	-4,6055	-0,1989	1,1467	-0,0352	-0,5542	-0,2249
180	MyMax	[1,3*pp+perm+1,3*pp fondazioni] {1,5*neve} (1,5*0,6*vento)	-17,7601	-0,2100	4,5637	-0,0104	2,4222	0,0986

180	MyMin	[1,3*pp+perm+1,3*pp fondazioni] {1,5*neve} (1,5*0,6*vento)	-17,8182	-0,2100	4,4058	-0,0104	-1,9728	-0,1073
180	MzMax	[pp+perm+pp fondazioni] {SEISMIC 1+}	-4,5608	-0,1989	1,2682	-0,0352	0,6628	0,3660
180	MzMin	[pp+perm+pp fondazioni] {SEISMIC 1-}	-4,5608	-0,1989	1,2682	-0,0352	0,6628	-0,2919
181	NxMax	[1,3*pp+perm+1,3*pp fondazioni] {1,5*neve} (1,5*0,6*vento)	5,6269	2,2756	15,4578	0,1311	8,2954	-0,3483
181	NxMin	[pp+perm+pp fondazioni] {SEISMIC 1-}	1,0574	0,9512	3,9078	0,1190	1,3957	0,1589
181	VyMax	[1,3*pp+perm+1,3*pp fondazioni] {1,5*neve} (1,5*0,6*vento)	5,6160	2,2756	15,4282	0,1311	5,4609	0,0693
181	VyMin	[pp+perm+pp fondazioni] {SEISMIC 1-}	1,7096	0,2766	3,9078	0,1190	1,3957	0,1589
181	VzMax	[1,3*pp+perm+pp fondazioni] {1,5*neve} (1,5*0,6*vento)	5,6269	2,2756	15,4578	0,1311	8,2954	-0,3483
181	VzMin	[pp+perm+pp fondazioni] {SEISMIC 1-}	1,7096	0,9512	3,7173	0,1190	1,3957	0,1589
181	TxMax	[1,3*pp+perm+1,3*pp fondazioni] {1,5*neve} (1,5*0,6*vento)	5,6160	2,2756	15,4282	0,1311	5,4609	0,0693
181	TxMin	[pp+perm+pp fondazioni] {SEISMIC 1-}	1,7096	0,9512	3,9078	-0,0460	1,3957	0,1589
181	MyMax	[1,3*pp+perm+pp fondazioni] {1,5*neve} (1,5*0,6*vento)	5,6269	2,2756	15,4578	0,1311	8,2954	-0,3483
181	MyMin	[pp+perm+pp fondazioni] {SEISMIC 1-}	1,7096	0,9512	3,9078	0,1190	1,3752	0,1589
181	MzMax	[pp+perm+pp fondazioni] {SEISMIC 1+}	1,7096	0,9512	3,9078	0,1190	1,3957	0,1589
181	MzMin	[1,3*pp+perm+1,3*pp fondazioni] {1,5*neve} (1,5*0,6*vento)	5,6269	2,2756	15,4578	0,1311	8,2954	-0,3483
182	NxMax	[1,3*pp+perm+pp fondazioni] {1,5*neve} (1,5*0,6*vento)	2,1714	-0,0730	5,7022	0,1123	5,4887	0,0405
182	NxMin	[pp+perm+pp fondazioni] {SEISMIC 1-}	0,4040	-0,0712	1,4017	0,0460	-0,0212	-0,0703
182	VyMax	[pp+perm+pp fondazioni] {SEISMIC 1+}	0,6368	0,0387	1,4017	0,0460	-0,0212	-0,0703
182	VyMin	[1,3*pp+perm+pp fondazioni] {1,5*neve} (1,5*0,6*vento)	2,1132	-0,0730	5,5443	0,1123	-0,0221	-0,0310
182	VzMax	[1,3*pp+perm+1,3*pp fondazioni] {1,5*neve} (1,5*0,6*vento)	2,1714	-0,0730	5,7022	0,1123	5,4887	0,0405
182	VzMin	[pp+perm+pp fondazioni] {SEISMIC 1-}	0,6368	-0,0712	1,3318	0,0460	-0,0212	-0,0703
182	TxMax	[1,3*pp+perm+1,3*pp fondazioni] {1,5*neve} (1,5*0,6*vento)	2,1132	-0,0730	5,5443	0,1123	-0,0221	-0,0310
182	TxMin	[pp+perm+pp fondazioni] {SEISMIC 1-}	0,6368	-0,0712	1,4017	0,0154	-0,0212	-0,0703
182	MyMax	[1,3*pp+perm+1,3*pp fondazioni] {1,5*neve} (1,5*0,6*vento)	2,1714	-0,0730	5,7022	0,1123	5,4887	0,0405
182	MyMin	[1,3*pp+perm+1,3*pp fondazioni] {1,5*neve} (1,5*0,6*vento)	2,1132	-0,0730	5,5443	0,1123	-0,0221	-0,0310
182	MzMax	[pp+perm+pp fondazioni] {SEISMIC 1+}	0,6816	-0,0712	1,5231	0,0460	1,4122	0,0821
182	MzMin	[pp+perm+pp fondazioni] {SEISMIC 1-}	0,6368	-0,0712	1,4017	0,0460	-0,0212	-0,0703
183	NxMax	[pp+perm+pp fondazioni] {SEISMIC 1+}	-10,2272	-0,4642	-2,6954	-0,0355	-0,5624	0,0808
183	NxMin	[1,3*pp+perm+1,3*pp fondazioni] {1,5*neve} (1,5*0,6*vento)	-43,0983	-0,3309	-11,4137	-0,0489	7,3984	-0,0238
183	VyMax	[pp+perm+pp fondazioni] {SEISMIC 1+}	-11,5785	0,2720	-2,7941	-0,0355	1,7340	-0,2952
183	VyMin	[pp+perm+pp fondazioni] {SEISMIC 1-}	-11,5785	-0,4642	-2,7941	-0,0355	1,7340	-0,2952
183	VzMax	[pp+perm+pp fondazioni] {SEISMIC 1+}	-11,5422	-0,4642	-2,6312	-0,0355	-0,5624	0,0808
183	VzMin	[1,3*pp+perm+1,3*pp fondazioni] {1,5*neve} (1,5*0,6*vento)	-43,0983	-0,3309	-11,4137	-0,0489	7,3984	-0,0238
183	TxMax	[pp+perm+pp fondazioni] {SEISMIC 1+}	-11,5785	-0,4642	-2,7941	0,0095	1,7340	-0,2952
183	TxMin	[1,3*pp+perm+1,3*pp fondazioni] {1,5*neve} (1,5*0,6*vento)	-43,0983	-0,3309	-11,4137	-0,0489	7,3984	-0,0238
183	MyMax	[1,3*pp+perm+1,3*pp fondazioni] {1,5*neve} (1,5*0,6*vento)	-43,0983	-0,3309	-11,4137	-0,0489	7,3984	-0,0238
183	MyMin	[1,3*pp+perm+1,3*pp fondazioni] {1,5*neve} (1,5*0,6*vento)	-43,0510	-0,3309	-11,2854	-0,0489	-1,6410	0,2398
183	MzMax	[pp+perm+pp fondazioni] {SEISMIC 1+}	-11,5785	-0,4642	-2,7941	-0,0355	1,7340	0,2708
183	MzMin	[pp+perm+pp fondazioni] {SEISMIC 1-}	-11,5785	-0,4642	-2,7941	-0,0355	1,7340	-0,2952
184	NxMax	[pp+perm+pp fondazioni] {SEISMIC 1+}	-9,5624	0,4107	-0,3823	-0,0103	-0,9531	-0,2682
184	NxMin	[1,3*pp+perm+1,3*pp fondazioni] {1,5*neve} (1,5*0,6*vento)	-39,5293	0,2621	-2,0445	-0,0020	-1,6073	0,2255
184	VyMax	[pp+perm+pp fondazioni] {SEISMIC 1+}	-10,4846	0,4107	-0,5037	-0,0103	-0,5829	0,1359
184	VyMin	[pp+perm+pp fondazioni] {SEISMIC 1-}	-10,4846	-0,2775	-0,5037	-0,0103	-0,5829	0,1359
184	VzMax	[pp+perm+pp fondazioni] {SEISMIC 1+}	-10,4399	0,4107	-0,3166	-0,0103	-0,9531	-0,2682
184	VzMin	[1,3*pp+perm+pp fondazioni] {1,5*neve} (1,5*0,6*vento)	-39,5293	0,2621	-2,0445	-0,0020	-1,6073	0,2255
184	TxMax	[pp+perm+pp fondazioni] {SEISMIC 1+}	-10,4846	0,4107	-0,5037	0,0099	-0,5829	0,1359
184	TxMin	[pp+perm+pp fondazioni] {SEISMIC 1-}	-10,4846	0,4107	-0,5037	-0,0103	-0,5829	0,1359
184	MyMax	[pp+perm+pp fondazioni] {SEISMIC 1+}	-10,4846	0,4107	-0,5037	-0,0103	-0,3642	0,1359

184	MyMin	[1,3*pp+perm+pp fondazioni] {1,5*neve} (1,5*0,6*vento)	-39,4712	0,2621	-1,8866	-0,0020	-3,5335	-0,0314
184	MzMax	[pp+perm+pp fondazioni] {SEISMIC 1+}	-10,4399	0,4107	-0,3823	-0,0103	-0,9531	0,2555
184	MzMin	[pp+perm+pp fondazioni] {SEISMIC 1-}	-10,4399	0,4107	-0,3823	-0,0103	-0,9531	-0,2682
185	NxMax	[pp+perm+pp fondazioni] {SEISMIC 1+}	-8,4885	-0,0873	3,2493	-0,1327	1,2866	-0,3777
185	NxMin	[1,3*pp+perm+1,3*pp fondazioni] {1,5*neve} (1,5*0,6*vento)	-33,7514	-0,2073	12,1713	-0,0796	3,2542	-0,3254
185	VyMax	[pp+perm+pp fondazioni] {SEISMIC 1+}	-8,6864	-0,0272	3,2323	-0,1327	0,8813	-0,3872
185	VyMin	[1,3*pp+perm+1,3*pp fondazioni] {1,5*neve} (1,5*0,6*vento)	-33,7514	-0,2073	12,1713	-0,0796	3,2542	-0,3254
185	VzMax	[1,3*pp+perm+1,3*pp fondazioni] {1,5*neve} (1,5*0,6*vento)	-33,7433	-0,2073	12,1933	-0,0796	4,9214	-0,2971
185	VzMin	[pp+perm+pp fondazioni] {SEISMIC 1-}	-8,6864	-0,0873	2,9441	-0,1327	0,8813	-0,3872
185	TxMax	[pp+perm+pp fondazioni] {SEISMIC 1+}	-8,6864	-0,0873	3,2323	0,0914	0,8813	-0,3872
185	TxMin	[pp+perm+pp fondazioni] {SEISMIC 1-}	-8,6864	-0,0873	3,2323	-0,1327	0,8813	-0,3872
185	MyMax	[1,3*pp+perm+1,3*pp fondazioni] {1,5*neve} (1,5*0,6*vento)	-33,7433	-0,2073	12,1933	-0,0796	4,9214	-0,2971
185	MyMin	[pp+perm+pp fondazioni] {SEISMIC 1-}	-8,6864	-0,0873	3,2323	-0,1327	0,8317	-0,3872
185	MzMax	[pp+perm+pp fondazioni] {SEISMIC 1+}	-8,6802	-0,0873	3,2493	-0,1327	1,2866	0,2230
185	MzMin	[pp+perm+pp fondazioni] {SEISMIC 1-}	-8,6864	-0,0873	3,2323	-0,1327	0,8813	-0,3872
186	NxMax	[pp+perm+pp fondazioni] {SEISMIC 1+}	-8,9215	0,2061	1,9080	-0,0390	0,8534	-0,4072
186	NxMin	[1,3*pp+perm+pp fondazioni] {1,5*neve} (1,5*0,6*vento)	-36,0308	0,2349	6,7613	-0,0086	-3,4916	-0,0483
186	VyMax	[1,3*pp+perm+pp fondazioni] {1,5*neve} (1,5*0,6*vento)	-36,0308	0,2349	6,7613	-0,0086	-3,4916	-0,0483
186	VyMin	[pp+perm+pp fondazioni] {SEISMIC 1-}	-9,4026	-0,0865	1,7865	-0,0390	-0,9719	-0,2094
186	VzMax	[1,3*pp+perm+1,3*pp fondazioni] {1,5*neve} (1,5*0,6*vento)	-35,9727	0,2349	6,9192	-0,0086	3,2118	-0,2785
186	VzMin	[pp+perm+pp fondazioni] {SEISMIC 1-}	-9,4026	0,2061	1,5808	-0,0390	-0,9719	-0,2094
186	TxMax	[pp+perm+pp fondazioni] {SEISMIC 1+}	-9,4026	0,2061	1,7865	0,0353	-0,9719	-0,2094
186	TxMin	[pp+perm+pp fondazioni] {SEISMIC 1-}	-9,4026	0,2061	1,7865	-0,0390	-0,9719	-0,2094
186	MyMax	[1,3*pp+perm+1,3*pp fondazioni] {1,5*neve} (1,5*0,6*vento)	-35,9727	0,2349	6,9192	-0,0086	3,2118	-0,2785
186	MyMin	[1,3*pp+perm+1,3*pp fondazioni] {1,5*neve} (1,5*0,6*vento)	-36,0308	0,2349	6,7613	-0,0086	-3,4916	-0,0483
186	MzMax	[pp+perm+pp fondazioni] {SEISMIC 1+}	-9,3579	0,2061	1,9080	-0,0390	0,8534	0,2649
186	MzMin	[pp+perm+pp fondazioni] {SEISMIC 1-}	-9,3579	0,2061	1,9080	-0,0390	0,8534	-0,4072
187	NxMax	[1,3*pp+perm+1,3*pp fondazioni] {1,5*neve} (1,5*0,6*vento)	1,8948	1,0758	5,2348	-0,0101	2,3621	-0,2135
187	NxMin	[pp+perm+pp fondazioni] {SEISMIC 1-}	0,2273	0,7637	1,2206	-0,0456	0,3278	-0,1458
187	VyMax	[1,3*pp+perm+1,3*pp fondazioni] {1,5*neve} (1,5*0,6*vento)	1,8839	1,0758	5,2052	-0,0101	1,4039	-0,0161
187	VyMin	[pp+perm+pp fondazioni] {SEISMIC 1-}	0,5808	-0,2497	1,2206	-0,0456	0,3278	-0,1458
187	VzMax	[1,3*pp+perm+pp fondazioni] {1,5*neve} (1,5*0,6*vento)	1,8948	1,0758	5,2348	-0,0101	2,3621	-0,2135
187	VzMin	[pp+perm+pp fondazioni] {SEISMIC 1-}	0,5808	0,7637	1,0190	-0,0456	0,3278	-0,1458
187	TxMax	[pp+perm+pp fondazioni] {SEISMIC 1+}	0,5808	0,7637	1,2206	0,0396	0,3278	-0,1458
187	TxMin	[pp+perm+pp fondazioni] {SEISMIC 1-}	0,5808	0,7637	1,2206	-0,0456	0,3278	-0,1458
187	MyMax	[1,3*pp+perm+pp fondazioni] {1,5*neve} (1,5*0,6*vento)	1,8948	1,0758	5,2348	-0,0101	2,3621	-0,2135
187	MyMin	[pp+perm+pp fondazioni] {SEISMIC 1-}	0,5808	0,7637	1,2206	-0,0456	0,3071	-0,1458
187	MzMax	[pp+perm+pp fondazioni] {SEISMIC 1+}	0,5892	0,7637	1,2434	-0,0456	0,5537	0,1777
187	MzMin	[pp+perm+pp fondazioni] {SEISMIC 1-}	0,5892	0,7637	1,2434	-0,0456	0,5537	-0,2821
188	NxMax	[1,3*pp+perm+pp fondazioni] {1,5*neve} (1,5*0,6*vento)	0,4136	0,0488	1,4640	0,0275	1,3766	-0,0481
188	NxMin	[pp+perm+pp fondazioni] {SEISMIC 1-}	0,0119	0,0878	0,2873	0,0318	0,0122	-0,0627
188	VyMax	[pp+perm+pp fondazioni] {SEISMIC 1+}	0,1076	0,0878	0,2873	0,0318	0,0122	-0,0627
188	VyMin	[pp+perm+pp fondazioni] {SEISMIC 1-}	0,1076	-0,0650	0,2873	0,0318	0,0122	-0,0627
188	VzMax	[1,3*pp+perm+pp fondazioni] {1,5*neve} (1,5*0,6*vento)	0,4136	0,0488	1,4640	0,0275	1,3766	-0,0481
188	VzMin	[pp+perm+pp fondazioni] {SEISMIC 1-}	0,1076	0,0878	0,2140	0,0318	0,0122	-0,0627
188	TxMax	[pp+perm+pp fondazioni] {SEISMIC 1+}	0,1076	0,0878	0,2873	0,0318	0,0122	-0,0627
188	TxMin	[pp+perm+pp fondazioni] {SEISMIC 1-}	0,1076	0,0878	0,2873	-0,0188	0,0122	-0,0627
188	MyMax	[1,3*pp+perm+pp fondazioni] {1,5*neve} (1,5*0,6*vento)	0,4136	0,0488	1,4640	0,0275	1,3766	-0,0481

188	MyMin	[pp+perm+pp fondazioni] {SEISMIC 1-}	0,1076	0,0878	0,2873	0,0318	-0,0021	-0,0627
188	MzMax	[pp+perm+pp fondazioni] {SEISMIC 1+}	0,1524	0,0878	0,4088	0,0318	0,3390	0,0879
188	MzMin	[pp+perm+pp fondazioni] {SEISMIC 1-}	0,1524	0,0878	0,4088	0,0318	0,3390	-0,1117
189	NxMax	[pp+perm+pp fondazioni] {SEISMIC 1+}	-3,8368	-0,6416	-0,8839	-0,0304	-0,4767	0,0834
189	NxMin	[1,3*pp+perm+1,3*pp fondazioni] {1,5*neve} (1,5*0,6*vento)	-17,6507	-0,3050	-4,4458	-0,0266	2,0854	-0,1046
189	VyMax	[pp+perm+pp fondazioni] {SEISMIC 1+}	-4,6539	0,4941	-0,9826	-0,0304	0,3024	-0,4289
189	VyMin	[pp+perm+pp fondazioni] {SEISMIC 1-}	-4,6539	-0,6416	-0,9826	-0,0304	0,3024	-0,4289
189	VzMax	[pp+perm+pp fondazioni] {SEISMIC 1+}	-4,6175	-0,6416	-0,7853	-0,0304	-0,4767	0,0834
189	VzMin	[1,3*pp+perm+1,3*pp fondazioni] {1,5*neve} (1,5*0,6*vento)	-17,6507	-0,3050	-4,4458	-0,0266	2,0854	-0,1046
189	TxMax	[pp+perm+pp fondazioni] {SEISMIC 1+}	-4,6539	-0,6416	-0,9826	0,0183	0,3024	-0,4289
189	TxMin	[pp+perm+pp fondazioni] {SEISMIC 1-}	-4,6539	-0,6416	-0,9826	-0,0304	0,3024	-0,4289
189	MyMax	[1,3*pp+perm+1,3*pp fondazioni] {1,5*neve} (1,5*0,6*vento)	-17,6507	-0,3050	-4,4458	-0,0266	2,0854	-0,1046
189	MyMin	[1,3*pp+perm+1,3*pp fondazioni] {1,5*neve} (1,5*0,6*vento)	-17,6034	-0,3050	-4,3174	-0,0266	-1,4043	0,1383
189	MzMax	[pp+perm+pp fondazioni] {SEISMIC 1+}	-4,6539	-0,6416	-0,9826	-0,0304	0,3024	0,3808
189	MzMin	[pp+perm+pp fondazioni] {SEISMIC 1-}	-4,6539	-0,6416	-0,9826	-0,0304	0,3024	-0,4289
190	NxMax	[pp+perm+pp fondazioni] {SEISMIC 1+}	-3,6575	0,3449	0,0959	-0,0131	-0,4670	0,2782
190	NxMin	[1,3*pp+perm+1,3*pp fondazioni] {1,5*neve} (1,5*0,6*vento)	-16,2406	0,1292	-0,3958	-0,0348	-1,4257	0,1543
190	VyMax	[pp+perm+pp fondazioni] {SEISMIC 1+}	-4,2088	0,3449	-0,0524	-0,0131	-0,5015	0,0757
190	VyMin	[pp+perm+pp fondazioni] {SEISMIC 1-}	-4,2088	-0,2822	-0,0524	-0,0131	-0,5015	0,0757
190	VzMax	[1,3*pp+perm+pp fondazioni]	-5,0840	0,0407	0,1073	-0,0111	-0,5249	0,0096
190	VzMin	[1,3*pp+perm+1,3*pp fondazioni] {1,5*neve} (1,5*0,6*vento)	-16,2406	0,1292	-0,3958	-0,0348	-1,4257	0,1543
190	TxMax	[pp+perm+pp fondazioni] {SEISMIC 1+}	-4,2088	0,3449	-0,0524	-0,0040	-0,5015	0,0757
190	TxMin	[1,3*pp+perm+pp fondazioni] {1,5*neve} (1,5*0,6*vento)	-16,2406	0,1292	-0,3958	-0,0348	-1,4257	0,1543
190	MyMax	[pp+perm+pp fondazioni] {SEISMIC 1+}	-4,1640	0,3449	0,0959	-0,0131	-0,3406	0,2782
190	MyMin	[1,3*pp+perm+1,3*pp fondazioni] {1,5*neve} (1,5*0,6*vento)	-16,1825	0,1292	-0,2379	-0,0348	-1,7362	0,0277
190	MzMax	[pp+perm+pp fondazioni] {SEISMIC 1+}	-4,1640	0,3449	0,0959	-0,0131	-0,4670	0,2782
190	MzMin	[pp+perm+pp fondazioni] {SEISMIC 1-}	-4,1640	0,3449	0,0959	-0,0131	-0,4670	-0,2635
191	NxMax	[pp+perm+pp fondazioni] {SEISMIC 1+}	-3,4697	0,0731	1,3629	-0,1134	0,7751	0,2902
191	NxMin	[1,3*pp+perm+1,3*pp fondazioni] {1,5*neve} (1,5*0,6*vento)	-14,4233	0,0415	5,1631	-0,0074	2,2511	0,0168
191	VyMax	[pp+perm+pp fondazioni] {SEISMIC 1+}	-3,6020	0,0731	1,3459	-0,1134	0,6139	0,2941
191	VyMin	[pp+perm+pp fondazioni] {SEISMIC 1-}	-3,6020	-0,0557	1,3459	-0,1134	0,6139	0,2941
191	VzMax	[1,3*pp+perm+pp fondazioni] {1,5*neve} (1,5*0,6*vento)	-14,4151	0,0415	5,1852	-0,0074	2,9592	0,0111
191	VzMin	[pp+perm+pp fondazioni] {SEISMIC 1-}	-3,6020	0,0731	1,1652	-0,1134	0,6139	0,2941
191	TxMax	[pp+perm+pp fondazioni] {SEISMIC 1+}	-3,6020	0,0731	1,3459	0,1072	0,6139	0,2941
191	TxMin	[pp+perm+pp fondazioni] {SEISMIC 1-}	-3,6020	0,0731	1,3459	-0,1134	0,6139	0,2941
191	MyMax	[1,3*pp+perm+pp fondazioni] {1,5*neve} (1,5*0,6*vento)	-14,4151	0,0415	5,1852	-0,0074	2,9592	0,0111
191	MyMin	[pp+perm+pp fondazioni] {SEISMIC 1-}	-3,6020	0,0731	1,3459	-0,1134	0,5758	0,2941
191	MzMax	[pp+perm+pp fondazioni] {SEISMIC 1+}	-3,6020	0,0731	1,3459	-0,1134	0,6139	0,2941
191	MzMin	[pp+perm+pp fondazioni] {SEISMIC 1-}	-3,6020	0,0731	1,3459	-0,1134	0,6139	-0,2893
192	NxMax	[pp+perm+pp fondazioni] {SEISMIC 1+}	-3,4631	0,1418	1,1589	-0,0386	0,6096	-0,3264
192	NxMin	[1,3*pp+perm+pp fondazioni] {1,5*neve} (1,5*0,6*vento)	-14,7561	0,0376	4,0180	-0,0193	-1,7549	0,0400
192	VyMax	[pp+perm+pp fondazioni] {SEISMIC 1+}	-3,7370	0,1418	1,0374	-0,0386	-0,4910	0,2186
192	VyMin	[pp+perm+pp fondazioni] {SEISMIC 1-}	-3,7370	-0,1208	1,0374	-0,0386	-0,4910	0,2186
192	VzMax	[1,3*pp+perm+1,3*pp fondazioni] {1,5*neve} (1,5*0,6*vento)	-14,6980	0,0376	4,1759	-0,0193	2,2601	0,0032
192	VzMin	[pp+perm+pp fondazioni] {SEISMIC 1-}	-3,7370	0,1418	0,8937	-0,0386	-0,4910	0,2186
192	TxMax	[pp+perm+pp fondazioni] {SEISMIC 1+}	-3,7370	0,1418	1,0374	0,0281	-0,4910	0,2186
192	TxMin	[pp+perm+pp fondazioni] {SEISMIC 1-}	-3,7370	0,1418	1,0374	-0,0386	-0,4910	0,2186
192	MyMax	[1,3*pp+perm+1,3*pp fondazioni] {1,5*neve} (1,5*0,6*vento)	-14,6980	0,0376	4,1759	-0,0193	2,2601	0,0032

192	MyMin	[1,3*pp+perm+1,3*pp fondazioni] {1,5*neve} (1,5*0,6*vento)	-14,7561	0,0376	4,0180	-0,0193	-1,7549	0,0400
192	MzMax	[pp+perm+pp fondazioni] {SEISMIC 1+}	-3,6923	0,1418	1,1589	-0,0386	0,6096	0,3257
192	MzMin	[pp+perm+pp fondazioni] {SEISMIC 1-}	-3,6923	0,1418	1,1589	-0,0386	0,6096	-0,3264
193	NxMax	[1,3*pp+perm+1,3*pp fondazioni] {1,5*neve} (1,5*0,6*vento)	5,7766	-0,2819	15,2355	-0,0163	8,1505	0,0105
193	NxMin	[pp+perm+pp fondazioni] {SEISMIC 1-}	1,1438	-0,3820	3,7849	-0,0894	1,3687	-0,1501
193	VyMax	[pp+perm+pp fondazioni] {SEISMIC 1+}	1,6864	0,2538	3,7849	-0,0894	1,3687	-0,1501
193	VyMin	[pp+perm+pp fondazioni] {SEISMIC 1-}	1,6864	-0,3820	3,7849	-0,0894	1,3687	-0,1501
193	VzMax	[1,3*pp+perm+pp fondazioni] {1,5*neve} (1,5*0,6*vento)	5,7766	-0,2819	15,2355	-0,0163	8,1505	0,0105
193	VzMin	[pp+perm+pp fondazioni] {SEISMIC 1-}	1,6864	-0,3820	3,6609	-0,0894	1,3687	-0,1501
193	TxMax	[pp+perm+pp fondazioni] {SEISMIC 1+}	1,6864	-0,3820	3,7849	0,0778	1,3687	-0,1501
193	TxMin	[pp+perm+pp fondazioni] {SEISMIC 1-}	1,6864	-0,3820	3,7849	-0,0894	1,3687	-0,1501
193	MyMax	[1,3*pp+perm+pp fondazioni] {1,5*neve} (1,5*0,6*vento)	5,7766	-0,2819	15,2355	-0,0163	8,1505	0,0105
193	MyMin	[pp+perm+pp fondazioni] {SEISMIC 1-}	1,6864	-0,3820	3,7849	-0,0894	1,3259	-0,1501
193	MzMax	[pp+perm+pp fondazioni] {SEISMIC 1+}	1,6864	-0,3820	3,7849	-0,0894	1,3687	0,1308
193	MzMin	[pp+perm+pp fondazioni] {SEISMIC 1-}	1,6864	-0,3820	3,7849	-0,0894	1,3687	-0,1501
194	NxMax	[1,3*pp+perm+pp fondazioni] {1,5*neve} (1,5*0,6*vento)	2,2565	0,1332	5,5757	-0,0190	5,3779	-0,0761
194	NxMin	[pp+perm+pp fondazioni] {SEISMIC 1-}	0,4300	0,0982	1,3386	-0,0215	-0,0170	0,0799
194	VyMax	[1,3*pp+perm+pp fondazioni] {1,5*neve} (1,5*0,6*vento)	2,1983	0,1332	5,4178	-0,0190	-0,0089	0,0545
194	VyMin	[pp+perm+pp fondazioni] {SEISMIC 1-}	0,6494	-0,0309	1,3386	-0,0215	-0,0170	0,0799
194	VzMax	[1,3*pp+perm+pp fondazioni] {1,5*neve} (1,5*0,6*vento)	2,2565	0,1332	5,5757	-0,0190	5,3779	-0,0761
194	VzMin	[pp+perm+pp fondazioni] {SEISMIC 1-}	0,6494	0,0982	1,3049	-0,0215	-0,0170	0,0799
194	TxMax	[pp+perm+pp fondazioni] {SEISMIC 1+}	0,6494	0,0982	1,3386	0,0114	-0,0170	0,0799
194	TxMin	[pp+perm+pp fondazioni] {SEISMIC 1-}	0,6494	0,0982	1,3386	-0,0215	-0,0170	0,0799
194	MyMax	[1,3*pp+perm+pp fondazioni] {1,5*neve} (1,5*0,6*vento)	2,2565	0,1332	5,5757	-0,0190	5,3779	-0,0761
194	MyMin	[pp+perm+pp fondazioni] {SEISMIC 1-}	0,6494	0,0982	1,3386	-0,0215	-0,0170	0,0799
194	MzMax	[pp+perm+pp fondazioni] {SEISMIC 1+}	0,6494	0,0982	1,3386	-0,0215	-0,0170	0,0799
194	MzMin	[pp+perm+pp fondazioni] {SEISMIC 1-}	0,6942	0,0982	1,4601	-0,0215	1,3546	-0,0927
195	NxMax	[pp+perm+pp fondazioni] {SEISMIC 1+}	-11,1044	-0,3868	-2,7214	0,0295	-0,5402	0,0326
195	NxMin	[1,3*pp+perm+1,3*pp fondazioni] {1,5*neve} (1,5*0,6*vento)	-46,3477	-0,0754	-11,4378	0,0208	7,2442	-0,0090
195	VyMax	[pp+perm+pp fondazioni] {SEISMIC 1+}	-12,3180	0,3499	-2,8201	0,0295	1,6666	-0,2807
195	VyMin	[pp+perm+pp fondazioni] {SEISMIC 1-}	-12,3180	-0,3868	-2,8201	0,0295	1,6666	-0,2807
195	VzMax	[pp+perm+pp fondazioni] {SEISMIC 1+}	-12,2817	-0,3868	-2,5831	0,0295	-0,5402	0,0326
195	VzMin	[1,3*pp+perm+1,3*pp fondazioni] {1,5*neve} (1,5*0,6*vento)	-46,3477	-0,0754	-11,4378	0,0208	7,2442	-0,0090
195	TxMax	[pp+perm+pp fondazioni] {SEISMIC 1+}	-12,3180	-0,3868	-2,8201	0,0295	1,6666	-0,2807
195	TxMin	[pp+perm+pp fondazioni] {SEISMIC 1-}	-12,3180	-0,3868	-2,8201	-0,0176	1,6666	-0,2807
195	MyMax	[1,3*pp+perm+1,3*pp fondazioni] {1,5*neve} (1,5*0,6*vento)	-46,3477	-0,0754	-11,4378	0,0208	7,2442	-0,0090
195	MyMin	[1,3*pp+perm+1,3*pp fondazioni] {1,5*neve} (1,5*0,6*vento)	-46,3004	-0,0754	-11,3095	0,0208	-1,8144	0,0511
195	MzMax	[pp+perm+pp fondazioni] {SEISMIC 1+}	-12,3180	-0,3868	-2,8201	0,0295	1,6666	0,2781
195	MzMin	[pp+perm+pp fondazioni] {SEISMIC 1-}	-12,3180	-0,3868	-2,8201	0,0295	1,6666	-0,2807
196	NxMax	[pp+perm+pp fondazioni] {SEISMIC 1+}	-10,3752	0,3430	-0,3396	0,0122	-0,9480	0,2862
196	NxMin	[1,3*pp+perm+1,3*pp fondazioni] {1,5*neve} (1,5*0,6*vento)	-42,7144	-0,0056	-1,9635	0,0079	-1,7853	0,1015
196	VyMax	[pp+perm+pp fondazioni] {SEISMIC 1+}	-11,2649	0,3430	-0,4610	0,0122	-0,5559	0,1032
196	VyMin	[pp+perm+pp fondazioni] {SEISMIC 1-}	-11,2649	-0,3415	-0,4610	0,0122	-0,5559	0,1032
196	VzMax	[pp+perm+pp fondazioni] {SEISMIC 1+}	-11,2202	0,3430	-0,3093	0,0122	-0,9480	0,2862
196	VzMin	[1,3*pp+perm+1,3*pp fondazioni] {1,5*neve} (1,5*0,6*vento)	-42,7144	-0,0056	-1,9635	0,0079	-1,7853	0,1015
196	TxMax	[pp+perm+pp fondazioni] {SEISMIC 1+}	-11,2649	0,3430	-0,4610	0,0122	-0,5559	0,1032
196	TxMin	[pp+perm+pp fondazioni] {SEISMIC 1-}	-11,2649	0,3430	-0,4610	-0,0081	-0,5559	0,1032
196	MyMax	[pp+perm+pp fondazioni] {SEISMIC 1+}	-11,2649	0,3430	-0,4610	0,0122	-0,4883	0,1032

196	MyMin	[1,3*pp+perm+pp fondazioni] {1,5*neve} (1,5*0,6*vento)	-42,6563	-0,0056	-1,8056	0,0079	-3,6322	0,1070
196	MzMax	[pp+perm+pp fondazioni] {SEISMIC 1+}	-11,2202	0,3430	-0,3396	0,0122	-0,9480	0,2862
196	MzMin	[pp+perm+pp fondazioni] {SEISMIC 1-}	-11,2202	0,3430	-0,3396	0,0122	-0,9480	-0,2344
197	NxMax	[pp+perm+pp fondazioni] {SEISMIC 1+}	-9,2177	0,0902	3,4608	-0,1224	1,4112	-0,3439
197	NxMin	[1,3*pp+perm+1,3*pp fondazioni] {1,5*neve} (1,5*0,6*vento)	-36,8374	0,0941	13,2290	-0,0377	3,4972	-0,1778
197	VyMax	[1,3*pp+perm+1,3*pp fondazioni] {1,5*neve} (1,5*0,6*vento)	-36,8374	0,0941	13,2290	-0,0377	3,4972	-0,1778
197	VyMin	[pp+perm+pp fondazioni] {SEISMIC 1-}	-9,5134	-0,0433	3,4438	-0,1224	0,9628	-0,3428
197	VzMax	[1,3*pp+perm+1,3*pp fondazioni] {1,5*neve} (1,5*0,6*vento)	-36,8292	0,0941	13,2511	-0,0377	5,3092	-0,1906
197	VzMin	[pp+perm+pp fondazioni] {SEISMIC 1-}	-9,5134	0,0902	3,2671	-0,1224	0,9628	-0,3428
197	TxMax	[pp+perm+pp fondazioni] {SEISMIC 1+}	-9,5134	0,0902	3,4438	0,1011	0,9628	-0,3428
197	TxMin	[pp+perm+pp fondazioni] {SEISMIC 1-}	-9,5134	0,0902	3,4438	-0,1224	0,9628	-0,3428
197	MyMax	[1,3*pp+perm+1,3*pp fondazioni] {1,5*neve} (1,5*0,6*vento)	-36,8292	0,0941	13,2511	-0,0377	5,3092	-0,1906
197	MyMin	[pp+perm+pp fondazioni] {SEISMIC 1-}	-9,5134	0,0902	3,4438	-0,1224	0,8728	-0,3428
197	MzMax	[pp+perm+pp fondazioni] {SEISMIC 1+}	-9,5134	0,0902	3,4438	-0,1224	0,9628	0,2486
197	MzMin	[pp+perm+pp fondazioni] {SEISMIC 1-}	-9,5071	0,0902	3,4608	-0,1224	1,4112	-0,3439
198	NxMax	[pp+perm+pp fondazioni] {SEISMIC 1+}	-9,6689	0,2524	1,9505	-0,0417	0,9455	-0,3903
198	NxMin	[1,3*pp+perm+pp fondazioni] {1,5*neve} (1,5*0,6*vento)	-39,1548	0,4134	7,1636	-0,0161	-3,6060	0,1800
198	VyMax	[1,3*pp+perm+1,3*pp fondazioni] {1,5*neve} (1,5*0,6*vento)	-39,1548	0,4134	7,1636	-0,0161	-3,6060	0,1800
198	VyMin	[pp+perm+pp fondazioni] {SEISMIC 1-}	-10,2245	-0,0407	1,8291	-0,0417	-0,9646	0,2438
198	VzMax	[1,3*pp+perm+1,3*pp fondazioni] {1,5*neve} (1,5*0,6*vento)	-39,0966	0,4134	7,3215	-0,0161	3,4916	-0,2251
198	VzMin	[pp+perm+pp fondazioni] {SEISMIC 1-}	-10,2245	0,2524	1,7416	-0,0417	-0,9646	0,2438
198	TxMax	[pp+perm+pp fondazioni] {SEISMIC 1+}	-10,2245	0,2524	1,8291	0,0327	-0,9646	0,2438
198	TxMin	[pp+perm+pp fondazioni] {SEISMIC 1-}	-10,2245	0,2524	1,8291	-0,0417	-0,9646	0,2438
198	MyMax	[1,3*pp+perm+1,3*pp fondazioni] {1,5*neve} (1,5*0,6*vento)	-39,0966	0,4134	7,3215	-0,0161	3,4916	-0,2251
198	MyMin	[1,3*pp+perm+1,3*pp fondazioni] {1,5*neve} (1,5*0,6*vento)	-39,1548	0,4134	7,1636	-0,0161	-3,6060	0,1800
198	MzMax	[pp+perm+pp fondazioni] {SEISMIC 1+}	-10,1798	0,2524	1,9505	-0,0417	0,9455	0,2722
198	MzMin	[pp+perm+pp fondazioni] {SEISMIC 1-}	-10,1798	0,2524	1,9505	-0,0417	0,9455	-0,3903
199	NxMax	[1,3*pp+perm+1,3*pp fondazioni] {1,5*neve} (1,5*0,6*vento)	2,0179	-2,6564	6,2582	-0,0383	2,9870	0,4685
199	NxMin	[pp+perm+pp fondazioni] {SEISMIC 1-}	0,2878	-1,3088	1,4630	-0,0426	0,4407	-0,1536
199	VyMax	[pp+perm+pp fondazioni] {SEISMIC 1+}	0,5912	-0,0463	1,4630	-0,0426	0,4407	-0,1536
199	VyMin	[1,3*pp+perm+1,3*pp fondazioni] {1,5*neve} (1,5*0,6*vento)	2,0070	-2,6564	6,2286	-0,0383	1,8410	-0,0190
199	VzMax	[1,3*pp+perm+pp fondazioni] {1,5*neve} (1,5*0,6*vento)	2,0179	-2,6564	6,2582	-0,0383	2,9870	0,4685
199	VzMin	[pp+perm+pp fondazioni] {SEISMIC 1-}	0,5912	-1,3088	1,2934	-0,0426	0,4407	-0,1536
199	TxMax	[pp+perm+pp fondazioni] {SEISMIC 1+}	0,5912	-1,3088	1,4630	0,0243	0,4407	-0,1536
199	TxMin	[pp+perm+pp fondazioni] {SEISMIC 1-}	0,5912	-1,3088	1,4630	-0,0426	0,4407	-0,1536
199	MyMax	[1,3*pp+perm+pp fondazioni] {1,5*neve} (1,5*0,6*vento)	2,0179	-2,6564	6,2582	-0,0383	2,9870	0,4685
199	MyMin	[pp+perm+pp fondazioni] {SEISMIC 1-}	0,5912	-1,3088	1,4630	-0,0426	0,4179	-0,1536
199	MzMax	[1,3*pp+perm+1,3*pp fondazioni] {1,5*neve} (1,5*0,6*vento)	2,0179	-2,6564	6,2582	-0,0383	2,9870	0,4685
199	MzMin	[pp+perm+pp fondazioni] {SEISMIC 1-}	0,5912	-1,3088	1,4630	-0,0426	0,4407	-0,1536
200	NxMax	[1,3*pp+perm+1,3*pp fondazioni] {1,5*neve} (1,5*0,6*vento)	0,4804	0,0680	1,9615	-0,0653	1,8353	-0,0019
200	NxMin	[pp+perm+pp fondazioni] {SEISMIC 1-}	0,0390	0,0946	0,4095	-0,0424	-0,0079	0,0777
200	VyMax	[pp+perm+pp fondazioni] {SEISMIC 1+}	0,1207	0,0946	0,4095	-0,0424	-0,0079	0,0777
200	VyMin	[pp+perm+pp fondazioni] {SEISMIC 1-}	0,1207	-0,0585	0,4095	-0,0424	-0,0079	0,0777
200	VzMax	[1,3*pp+perm+1,3*pp fondazioni] {1,5*neve} (1,5*0,6*vento)	0,4804	0,0680	1,9615	-0,0653	1,8353	-0,0019
200	VzMin	[pp+perm+pp fondazioni] {SEISMIC 1-}	0,1207	0,0946	0,3457	-0,0424	-0,0079	0,0777
200	TxMax	[pp+perm+pp fondazioni] {SEISMIC 1+}	0,1207	0,0946	0,4095	0,0088	-0,0079	0,0777
200	TxMin	[1,3*pp+perm+pp fondazioni] {1,5*neve} (1,5*0,6*vento)	0,4222	0,0680	1,8036	-0,0653	-0,0096	0,0647
200	MyMax	[1,3*pp+perm+1,3*pp fondazioni] {1,5*neve} (1,5*0,6*vento)	0,4804	0,0680	1,9615	-0,0653	1,8353	-0,0019

200	MyMin	[1,3*pp+perm+1,3*pp fondazioni] {1,5*neve} (1,5*0,6*vento)	0,4222	0,0680	1,8036	-0,0653	-0,0096	0,0647
200	MzMax	[pp+perm+pp fondazioni] {SEISMIC 1+}	0,1654	0,0946	0,5309	-0,0424	0,4535	0,1102
200	MzMin	[pp+perm+pp fondazioni] {SEISMIC 1-}	0,1654	0,0946	0,5309	-0,0424	0,4535	-0,1088
201	NxMax	[pp+perm+pp fondazioni] {SEISMIC 1+}	-5,6799	0,6773	-0,9510	0,0669	-0,5780	-0,0890
201	NxMin	[1,3*pp+perm+1,3*pp fondazioni] {1,5*neve} (1,5*0,6*vento)	-24,9754	0,4573	-4,7280	0,1688	1,8326	0,2335
201	VyMax	[pp+perm+pp fondazioni] {SEISMIC 1+}	-6,4367	0,6773	-1,0497	0,0669	0,2401	0,4516
201	VyMin	[pp+perm+pp fondazioni] {SEISMIC 1-}	-6,4367	-0,4323	-1,0497	0,0669	0,2401	0,4516
201	VzMax	[pp+perm+pp fondazioni] {SEISMIC 1+}	-6,4004	0,6773	-0,8658	0,0669	-0,5780	-0,0890
201	VzMin	[1,3*pp+perm+1,3*pp fondazioni] {1,5*neve} (1,5*0,6*vento)	-24,9754	0,4573	-4,7280	0,1688	1,8326	0,2335
201	TxMax	[1,3*pp+perm+1,3*pp fondazioni] {1,5*neve} (1,5*0,6*vento)	-24,9754	0,4573	-4,7280	0,1688	1,8326	0,2335
201	TxMin	[pp+perm+pp fondazioni] {SEISMIC 1-}	-6,4367	0,6773	-1,0497	0,0181	0,2401	0,4516
201	MyMax	[1,3*pp+perm+1,3*pp fondazioni] {1,5*neve} (1,5*0,6*vento)	-24,9754	0,4573	-4,7280	0,1688	1,8326	0,2335
201	MyMin	[1,3*pp+perm+1,3*pp fondazioni] {1,5*neve} (1,5*0,6*vento)	-24,9282	0,4573	-4,5997	0,1688	-1,8819	-0,1307
201	MzMax	[pp+perm+pp fondazioni] {SEISMIC 1+}	-6,4367	0,6773	-1,0497	0,0669	0,2401	0,4516
201	MzMin	[pp+perm+pp fondazioni] {SEISMIC 1-}	-6,4367	0,6773	-1,0497	0,0669	0,2401	-0,3241
202	NxMax	[pp+perm+pp fondazioni] {SEISMIC 1+}	-5,4588	-0,3244	0,2230	0,0248	-0,4473	0,2739
202	NxMin	[1,3*pp+perm+1,3*pp fondazioni] {1,5*neve} (1,5*0,6*vento)	-23,4753	-0,0806	0,1432	0,0780	-1,9236	-0,0594
202	VyMax	[pp+perm+pp fondazioni] {SEISMIC 1+}	-5,9847	0,2859	0,1015	0,0248	-0,6039	-0,0450
202	VyMin	[pp+perm+pp fondazioni] {SEISMIC 1-}	-5,9847	-0,3244	0,1015	0,0248	-0,6039	-0,0450
202	VzMax	[1,3*pp+perm+pp fondazioni] {1,5*neve} (1,5*0,6*vento)	-23,4171	-0,0806	0,3011	0,0780	-1,7059	0,0196
202	VzMin	[pp+perm+pp fondazioni] {SEISMIC 1-}	-5,9847	-0,3244	0,0806	0,0248	-0,6039	-0,0450
202	TxMax	[1,3*pp+perm+1,3*pp fondazioni] {1,5*neve} (1,5*0,6*vento)	-23,4753	-0,0806	0,1432	0,0780	-1,9236	-0,0594
202	TxMin	[pp+perm+pp fondazioni] {SEISMIC 1-}	-5,9847	-0,3244	0,1015	0,0155	-0,6039	-0,0450
202	MyMax	[pp+perm+pp fondazioni] {SEISMIC 1+}	-5,9400	-0,3244	0,2230	0,0248	-0,3466	0,2739
202	MyMin	[1,3*pp+perm+pp fondazioni] {1,5*neve} (1,5*0,6*vento)	-23,4753	-0,0806	0,1432	0,0780	-1,9236	-0,0594
202	MzMax	[pp+perm+pp fondazioni] {SEISMIC 1+}	-5,9400	-0,3244	0,2230	0,0248	-0,4473	0,2739
202	MzMin	[pp+perm+pp fondazioni] {SEISMIC 1-}	-5,9400	-0,3244	0,2230	0,0248	-0,4473	-0,2643
203	NxMax	[pp+perm+pp fondazioni] {SEISMIC 1+}	-5,1685	0,0466	1,8281	-0,1410	1,2035	-0,4184
203	NxMin	[1,3*pp+perm+pp fondazioni] {1,5*neve} (1,5*0,6*vento)	-21,3784	0,0530	7,1125	-0,1242	3,7304	-0,4515
203	VyMax	[1,3*pp+perm+1,3*pp fondazioni] {1,5*neve} (1,5*0,6*vento)	-21,3784	0,0530	7,1125	-0,1242	3,7304	-0,4515
203	VyMin	[pp+perm+pp fondazioni] {SEISMIC 1-}	-5,3307	-0,0112	1,8111	-0,1410	0,9731	-0,4177
203	VzMax	[1,3*pp+perm+1,3*pp fondazioni] {1,5*neve} (1,5*0,6*vento)	-21,3703	0,0530	7,1345	-0,1242	4,7053	-0,4587
203	VzMin	[pp+perm+pp fondazioni] {SEISMIC 1-}	-5,3307	0,0466	1,6607	-0,1410	0,9731	-0,4177
203	TxMax	[pp+perm+pp fondazioni] {SEISMIC 1+}	-5,3307	0,0466	1,8111	0,0769	0,9731	-0,4177
203	TxMin	[pp+perm+pp fondazioni] {SEISMIC 1-}	-5,3307	0,0466	1,8111	-0,1410	0,9731	-0,4177
203	MyMax	[1,3*pp+perm+1,3*pp fondazioni] {1,5*neve} (1,5*0,6*vento)	-21,3703	0,0530	7,1345	-0,1242	4,7053	-0,4587
203	MyMin	[pp+perm+pp fondazioni] {SEISMIC 1-}	-5,3307	0,0466	1,8111	-0,1410	0,9383	-0,4177
203	MzMax	[pp+perm+pp fondazioni] {SEISMIC 1+}	-5,3307	0,0466	1,8111	-0,1410	0,9731	0,1819
203	MzMin	[1,3*pp+perm+1,3*pp fondazioni] {1,5*neve} (1,5*0,6*vento)	-21,3703	0,0530	7,1345	-0,1242	4,7053	-0,4587
204	NxMax	[pp+perm+pp fondazioni] {SEISMIC 1+}	-5,2081	0,3139	1,5129	-0,0515	0,9709	-0,4672
204	NxMin	[1,3*pp+perm+1,3*pp fondazioni] {1,5*neve} (1,5*0,6*vento)	-21,8408	0,6523	5,5303	-0,0736	-1,7537	0,1388
204	VyMax	[1,3*pp+perm+1,3*pp fondazioni] {1,5*neve} (1,5*0,6*vento)	-21,8408	0,6523	5,5303	-0,0736	-1,7537	0,1388
204	VyMin	[pp+perm+pp fondazioni] {SEISMIC 1-}	-5,4909	0,0318	1,3914	-0,0515	-0,4746	0,2372
204	VzMax	[1,3*pp+perm+1,3*pp fondazioni] {1,5*neve} (1,5*0,6*vento)	-21,7827	0,6523	5,6882	-0,0736	3,7433	-0,5005
204	VzMin	[pp+perm+pp fondazioni] {SEISMIC 1-}	-5,4909	0,3139	1,2778	-0,0515	-0,4746	0,2372
204	TxMax	[pp+perm+pp fondazioni] {SEISMIC 1+}	-5,4909	0,3139	1,3914	0,0150	-0,4746	0,2372
204	TxMin	[1,3*pp+perm+pp fondazioni] {1,5*neve} (1,5*0,6*vento)	-21,8408	0,6523	5,5303	-0,0736	-1,7537	0,1388
204	MyMax	[1,3*pp+perm+1,3*pp fondazioni] {1,5*neve} (1,5*0,6*vento)	-21,7827	0,6523	5,6882	-0,0736	3,7433	-0,5005

204	MyMin	[1,3*pp+perm+1,3*pp fondazioni] {1,5*neve} (1,5*0,6*vento)	-21,8408	0,6523	5,5303	-0,0736	-1,7537	0,1388
204	MzMax	[pp+perm+pp fondazioni] {SEISMIC 1+}	-5,4909	0,3139	1,3914	-0,0515	-0,4746	0,2372
204	MzMin	[1,3*pp+perm+1,3*pp fondazioni] {1,5*neve} (1,5*0,6*vento)	-21,7827	0,6523	5,6882	-0,0736	3,7433	-0,5005
205	NxMax	[1,3*pp+perm+1,3*pp fondazioni] {1,5*neve} (1,5*0,6*vento)	2,5088	8,4697	6,4211	0,8496	3,3886	-3,0635
205	NxMin	[pp+perm+pp fondazioni] {SEISMIC 1-}	0,4567	2,3739	1,6623	0,2785	0,6020	-0,4951
205	VyMax	[1,3*pp+perm+1,3*pp fondazioni] {1,5*neve} (1,5*0,6*vento)	2,4979	8,4697	6,3915	0,8496	2,2127	-1,5090
205	VyMin	[pp+perm+pp fondazioni] {SEISMIC 1-}	0,7866	1,8382	1,6623	0,2785	0,6020	-0,4951
205	VzMax	[1,3*pp+perm+pp fondazioni] {1,5*neve} (1,5*0,6*vento)	2,5088	8,4697	6,4211	0,8496	3,3886	-3,0635
205	VzMin	[pp+perm+pp fondazioni] {SEISMIC 1-}	0,7866	2,3739	1,5436	0,2785	0,6020	-0,4951
205	TxMax	[1,3*pp+perm+1,3*pp fondazioni] {1,5*neve} (1,5*0,6*vento)	2,4979	8,4697	6,3915	0,8496	2,2127	-1,5090
205	TxMin	[pp+perm+pp fondazioni] {SEISMIC 1-}	0,7866	2,3739	1,6623	0,1387	0,6020	-0,4951
205	MyMax	[1,3*pp+perm+pp fondazioni] {1,5*neve} (1,5*0,6*vento)	2,5088	8,4697	6,4211	0,8496	3,3886	-3,0635
205	MyMin	[pp+perm+pp fondazioni] {SEISMIC 1-}	0,7866	2,3739	1,6623	0,2785	0,5517	-0,4951
205	MzMax	[pp+perm+pp fondazioni] {SEISMIC 1+}	0,7866	2,3739	1,6623	0,2785	0,6020	-0,2500
205	MzMin	[1,3*pp+perm+1,3*pp fondazioni] {1,5*neve} (1,5*0,6*vento)	2,5088	8,4697	6,4211	0,8496	3,3886	-3,0635
206	NxMax	[1,3*pp+perm+1,3*pp fondazioni] {1,5*neve} (1,5*0,6*vento)	0,9643	1,0510	2,3236	0,4158	2,2104	-1,3035
206	NxMin	[pp+perm+pp fondazioni] {SEISMIC 1-}	0,1535	0,3215	0,5452	0,1180	0,0105	-0,1137
206	VyMax	[1,3*pp+perm+1,3*pp fondazioni] {1,5*neve} (1,5*0,6*vento)	0,9061	1,0510	2,1657	0,4158	0,0107	-0,2735
206	VyMin	[pp+perm+pp fondazioni] {SEISMIC 1-}	0,2833	0,2071	0,5452	0,1180	0,0105	-0,1137
206	VzMax	[1,3*pp+perm+pp fondazioni] {1,5*neve} (1,5*0,6*vento)	0,9643	1,0510	2,3236	0,4158	2,2104	-1,3035
206	VzMin	[pp+perm+pp fondazioni] {SEISMIC 1-}	0,2833	0,3215	0,5052	0,1180	0,0105	-0,1137
206	TxMax	[1,3*pp+perm+pp fondazioni] {1,5*neve} (1,5*0,6*vento)	0,9061	1,0510	2,1657	0,4158	0,0107	-0,2735
206	TxMin	[pp+perm+pp fondazioni] {SEISMIC 1-}	0,2833	0,3215	0,5452	0,0914	0,0105	-0,1137
206	MyMax	[1,3*pp+perm+pp fondazioni] {1,5*neve} (1,5*0,6*vento)	0,9643	1,0510	2,3236	0,4158	2,2104	-1,3035
206	MyMin	[pp+perm+pp fondazioni] {SEISMIC 1-}	0,2833	0,3215	0,5452	0,1180	-0,0059	-0,1137
206	MzMax	[pp+perm+pp fondazioni] {SEISMIC 1+}	0,2833	0,3215	0,5452	0,1180	0,0105	-0,0191
206	MzMin	[1,3*pp+perm+1,3*pp fondazioni] {1,5*neve} (1,5*0,6*vento)	0,9643	1,0510	2,3236	0,4158	2,2104	-1,3035
207	NxMax	[pp+perm+pp fondazioni] {SEISMIC 1+}	-5,6425	-1,2789	-0,8761	-0,2072	-0,4384	0,2435
207	NxMin	[1,3*pp+perm+1,3*pp fondazioni] {1,5*neve} (1,5*0,6*vento)	-22,7012	-3,9543	-3,9386	-0,7937	1,9253	-2,2056
207	VyMax	[pp+perm+pp fondazioni] {SEISMIC 1+}	-6,6376	-0,6710	-0,9748	-0,2072	0,3416	-0,7853
207	VyMin	[1,3*pp+perm+pp fondazioni] {1,5*neve} (1,5*0,6*vento)	-22,7012	-3,9543	-3,9386	-0,7937	1,9253	-2,2056
207	VzMax	[pp+perm+pp fondazioni] {SEISMIC 1+}	-6,6012	-1,2789	-0,7984	-0,2072	-0,4384	0,2435
207	VzMin	[1,3*pp+perm+1,3*pp fondazioni] {1,5*neve} (1,5*0,6*vento)	-22,7012	-3,9543	-3,9386	-0,7937	1,9253	-2,2056
207	TxMax	[pp+perm+pp fondazioni] {SEISMIC 1+}	-6,6376	-1,2789	-0,9748	-0,1787	0,3416	-0,7853
207	TxMin	[1,3*pp+perm+1,3*pp fondazioni] {1,5*neve} (1,5*0,6*vento)	-22,7012	-3,9543	-3,9386	-0,7937	1,9253	-2,2056
207	MyMax	[1,3*pp+perm+1,3*pp fondazioni] {1,5*neve} (1,5*0,6*vento)	-22,7012	-3,9543	-3,9386	-0,7937	1,9253	-2,2056
207	MyMin	[1,3*pp+perm+1,3*pp fondazioni] {1,5*neve} (1,5*0,6*vento)	-22,6539	-3,9543	-3,8103	-0,7937	-1,1605	0,9438
207	MzMax	[1,3*pp+perm+pp fondazioni] {1,5*neve} (1,5*0,6*vento)	-22,6539	-3,9543	-3,8103	-0,7937	-1,1605	0,9438
207	MzMin	[1,3*pp+perm+pp fondazioni] {1,5*neve} (1,5*0,6*vento)	-22,7012	-3,9543	-3,9386	-0,7937	1,9253	-2,2056
208	NxMax	[pp+perm+pp fondazioni] {SEISMIC 1+}	-5,3140	-0,4838	0,1848	-0,0880	-0,3256	0,5361
208	NxMin	[1,3*pp+perm+1,3*pp fondazioni] {1,5*neve} (1,5*0,6*vento)	-21,0783	-0,7515	-0,0290	-0,2946	-1,1380	0,4952
208	VyMax	[pp+perm+pp fondazioni] {SEISMIC 1+}	-6,1466	0,1276	0,0634	-0,0880	-0,4432	0,1857
208	VyMin	[1,3*pp+perm+pp fondazioni] {1,5*neve} (1,5*0,6*vento)	-21,0783	-0,7515	-0,0290	-0,2946	-1,1380	0,4952
208	VzMax	[1,3*pp+perm+1,3*pp fondazioni]	-7,4203	-0,2315	0,2196	-0,0943	-0,3675	0,3866
208	VzMin	[pp+perm+pp fondazioni] {1,5*neve} (1,5*0,6*vento)	-19,3525	-0,6980	-0,0432	-0,2728	-1,0214	0,4583
208	TxMax	[pp+perm+pp fondazioni] {SEISMIC 1+}	-6,1466	-0,4838	0,0634	-0,0572	-0,4432	0,1857
208	TxMin	[1,3*pp+perm+1,3*pp fondazioni] {1,5*neve} (1,5*0,6*vento)	-21,0783	-0,7515	-0,0290	-0,2946	-1,1380	0,4952
208	MyMax	[pp+perm+pp fondazioni] {SEISMIC 1+}	-6,1018	-0,4838	0,1848	-0,0880	-0,2397	0,5361

208	MyMin	[1,3*pp+perm+1,3*pp fondazioni] {1,5*neve} (1,5*0,6*vento)	-21,0666	-0,7515	0,0026	-0,2946	-1,1406	0,6425
208	MzMax	[1,3*pp+perm+pp fondazioni] {1,5*neve} (1,5*0,6*vento)	-21,0201	-0,7515	0,1289	-0,2946	-1,0891	1,2316
208	MzMin	[pp+perm+pp fondazioni] {SEISMIC 1-}	-6,1018	-0,4838	0,1848	-0,0880	-0,3256	0,0587
209	NxMax	[pp+perm+pp fondazioni] {SEISMIC 1+}	-4,8184	0,0753	1,7912	0,2754	1,0146	0,7811
209	NxMin	[1,3*pp+perm+pp fondazioni] {1,5*neve} (1,5*0,6*vento)	-18,5756	0,1404	6,0725	0,7320	2,5925	2,1653
209	VyMax	[1,3*pp+perm+pp fondazioni] {1,5*neve} (1,5*0,6*vento)	-18,5756	0,1404	6,0725	0,7320	2,5925	2,1653
209	VyMin	[pp+perm+pp fondazioni] {SEISMIC 1-}	-5,3736	0,0060	1,7742	0,2754	0,7757	0,7881
209	VzMax	[1,3*pp+perm+1,3*pp fondazioni] {1,5*neve} (1,5*0,6*vento)	-18,5674	0,1404	6,0946	0,7320	3,4251	2,1461
209	VzMin	[pp+perm+pp fondazioni] {SEISMIC 1-}	-5,3736	0,0753	1,5473	0,2754	0,7757	0,7881
209	TxMax	[1,3*pp+perm+1,3*pp fondazioni] {1,5*neve} (1,5*0,6*vento)	-18,5756	0,1404	6,0725	0,7320	2,5925	2,1653
209	TxMin	[pp+perm+pp fondazioni] {SEISMIC 1-}	-5,3736	0,0753	1,7742	0,0887	0,7757	0,7881
209	MyMax	[1,3*pp+perm+1,3*pp fondazioni] {1,5*neve} (1,5*0,6*vento)	-18,5674	0,1404	6,0946	0,7320	3,4251	2,1461
209	MyMin	[pp+perm+pp fondazioni] {SEISMIC 1-}	-5,3736	0,0753	1,7742	0,2754	0,7282	0,7881
209	MzMax	[1,3*pp+perm+pp fondazioni] {1,5*neve} (1,5*0,6*vento)	-18,5756	0,1404	6,0725	0,7320	2,5925	2,1653
209	MzMin	[pp+perm+pp fondazioni] {SEISMIC 1-}	-5,3673	0,0753	1,7912	0,2754	1,0146	0,2779
210	NxMax	[pp+perm+pp fondazioni] {SEISMIC 1+}	-4,9978	-0,5127	1,1641	0,1207	0,7712	0,8625
210	NxMin	[1,3*pp+perm+1,3*pp fondazioni] {1,5*neve} (1,5*0,6*vento)	-19,5252	-1,6960	3,6399	0,3596	-1,0606	0,7031
210	VyMax	[pp+perm+pp fondazioni] {SEISMIC 1+}	-5,6757	-0,3325	1,0427	0,1207	-0,3297	0,3653
210	VyMin	[1,3*pp+perm+1,3*pp fondazioni] {1,5*neve} (1,5*0,6*vento)	-19,5252	-1,6960	3,6399	0,3596	-1,0606	0,7031
210	VzMax	[1,3*pp+perm+pp fondazioni] {1,5*neve} (1,5*0,6*vento)	-19,4670	-1,6960	3,7978	0,3596	2,5838	2,3652
210	VzMin	[pp+perm+pp fondazioni] {SEISMIC 1-}	-5,6757	-0,5127	0,9296	0,1207	-0,3297	0,3653
210	TxMax	[1,3*pp+perm+1,3*pp fondazioni] {1,5*neve} (1,5*0,6*vento)	-19,5252	-1,6960	3,6399	0,3596	-1,0606	0,7031
210	TxMin	[pp+perm+pp fondazioni] {SEISMIC 1-}	-5,6757	-0,5127	1,0427	0,0541	-0,3297	0,3653
210	MyMax	[1,3*pp+perm+pp fondazioni] {1,5*neve} (1,5*0,6*vento)	-19,4670	-1,6960	3,7978	0,3596	2,5838	2,3652
210	MyMin	[1,3*pp+perm+pp fondazioni] {1,5*neve} (1,5*0,6*vento)	-19,5252	-1,6960	3,6399	0,3596	-1,0606	0,7031
210	MzMax	[1,3*pp+perm+1,3*pp fondazioni] {1,5*neve} (1,5*0,6*vento)	-19,4670	-1,6960	3,7978	0,3596	2,5838	2,3652
210	MzMin	[pp+perm+pp fondazioni] {SEISMIC 1-}	-5,6757	-0,5127	1,0427	0,1207	-0,3297	-0,0261
213	NxMax	[pp+perm+pp fondazioni] {SEISMIC 1+}	0,0571	0,0714	-0,2474	0,0011	0,0379	0,0580
213	NxMin	[1,3*pp+perm+1,3*pp fondazioni] {1,5*neve} (1,5*0,6*vento)	-0,1659	0,0754	-0,9608	0,0024	0,0508	0,0557
213	VyMax	[1,3*pp+perm+1,3*pp fondazioni] {1,5*neve} (1,5*0,6*vento)	-0,1659	0,0754	-0,9608	0,0024	0,0508	0,0557
213	VyMin	[pp+perm+pp fondazioni] {SEISMIC 1-}	-0,0912	-0,0288	-0,2474	0,0011	0,0379	0,0580
213	VzMax	[1,3*pp+perm+pp fondazioni] {1,5*neve} (1,5*0,6*vento)	-0,1659	0,0754	1,3983	0,0024	0,3790	-0,0574
213	VzMin	[1,3*pp+perm+1,3*pp fondazioni] {1,5*neve} (1,5*0,6*vento)	-0,1659	0,0754	-0,9608	0,0024	0,0508	0,0557
213	TxMax	[1,3*pp+perm+1,3*pp fondazioni] {1,5*neve} (1,5*0,6*vento)	-0,1659	0,0754	-0,9608	0,0024	0,0508	0,0557
213	TxMin	[pp+perm+pp fondazioni] {SEISMIC 1-}	-0,0912	0,0714	-0,2474	0,0001	0,0379	0,0580
213	MyMax	[1,3*pp+perm+pp fondazioni] {1,5*neve} (1,5*0,6*vento)	-0,1659	0,0754	1,3983	0,0024	0,3790	-0,0574
213	MyMin	[1,3*pp+perm+pp fondazioni] {1,5*neve} (1,5*0,6*vento)	-0,1659	0,0754	-0,0171	0,0024	-0,2425	0,0105
213	MzMax	[pp+perm+pp fondazioni] {SEISMIC 1+}	-0,0912	0,0714	-0,2474	0,0011	0,0379	0,0580
213	MzMin	[1,3*pp+perm+1,3*pp fondazioni] {1,5*neve} (1,5*0,6*vento)	-0,1659	0,0754	1,3983	0,0024	0,3790	-0,0574
214	NxMax	[pp+perm+pp fondazioni] {SEISMIC 1+}	0,2280	0,0659	-0,5334	0,0020	0,0811	0,0578
214	NxMin	[pp+perm+pp fondazioni] {1,5*neve} (1,5*0,6*vento)	-0,1269	0,0360	-2,0378	0,0052	0,2194	0,0373
214	VyMax	[pp+perm+pp fondazioni] {SEISMIC 1+}	0,2280	0,0659	-0,5334	0,0020	0,0811	0,0578
214	VyMin	[pp+perm+pp fondazioni] {SEISMIC 1-}	0,2280	-0,0413	-0,5334	0,0020	0,0811	0,0578
214	VzMax	[1,3*pp+perm+pp fondazioni] {1,5*neve} (1,5*0,6*vento)	-0,0819	0,0397	2,8703	0,0056	0,7469	-0,0186
214	VzMin	[1,3*pp+perm+1,3*pp fondazioni] {1,5*neve} (1,5*0,6*vento)	-0,0819	0,0397	-2,1825	0,0056	0,2311	0,0409
214	TxMax	[1,3*pp+perm+1,3*pp fondazioni] {1,5*neve} (1,5*0,6*vento)	-0,0819	0,0397	-2,1825	0,0056	0,2311	0,0409
214	TxMin	[pp+perm+pp fondazioni] {SEISMIC 1-}	0,2280	0,0659	-0,5334	0,0008	0,0811	0,0578
214	MyMax	[1,3*pp+perm+pp fondazioni] {1,5*neve} (1,5*0,6*vento)	-0,0819	0,0397	2,8703	0,0056	0,7469	-0,0186

214	MyMin	[1,3*pp+perm+pp fondazioni] {1,5*neve} (1,5*0,6*vento)	-0,0819	0,0397	-0,1614	0,0056	-0,4721	0,0171
214	MzMax	[pp+perm+pp fondazioni] {SEISMIC 1+}	0,2280	0,0659	-0,5334	0,0020	0,0811	0,0578
214	MzMin	[pp+perm+pp fondazioni] {SEISMIC 1-}	0,2280	0,0659	0,7159	0,0020	0,2102	-0,0412
215	NxMax	[pp+perm+pp fondazioni] {SEISMIC 1+}	0,0172	0,0790	-0,6110	0,0032	0,1030	0,0773
215	NxMin	[1,3*pp+perm+pp fondazioni] {1,5*neve} (1,5*0,6*vento)	-0,4556	0,0208	-2,4688	0,0111	0,2512	0,0682
215	VyMax	[pp+perm+pp fondazioni] {SEISMIC 1+}	-0,1156	0,0790	-0,6110	0,0032	0,1030	0,0773
215	VyMin	[pp+perm+pp fondazioni] {SEISMIC 1-}	-0,1156	-0,0703	-0,6110	0,0032	0,1030	0,0773
215	VzMax	[1,3*pp+perm+pp fondazioni] {1,5*neve} (1,5*0,6*vento)	-0,4556	0,0208	2,9991	0,0111	0,6489	0,0370
215	VzMin	[1,3*pp+perm+1,3*pp fondazioni] {1,5*neve} (1,5*0,6*vento)	-0,4556	0,0208	-2,4688	0,0111	0,2512	0,0682
215	TxMax	[1,3*pp+perm+1,3*pp fondazioni] {1,5*neve} (1,5*0,6*vento)	-0,4556	0,0208	-2,4688	0,0111	0,2512	0,0682
215	TxMin	[pp+perm+pp fondazioni] {SEISMIC 1-}	-0,1156	0,0790	-0,6110	0,0023	0,1030	0,0773
215	MyMax	[1,3*pp+perm+pp fondazioni] {1,5*neve} (1,5*0,6*vento)	-0,4556	0,0208	2,9991	0,0111	0,6489	0,0370
215	MyMin	[1,3*pp+perm+1,3*pp fondazioni] {1,5*neve} (1,5*0,6*vento)	-0,4556	0,0208	0,2652	0,0111	-0,5752	0,0526
215	MzMax	[pp+perm+pp fondazioni] {SEISMIC 1+}	-0,1156	0,0790	-0,6110	0,0032	0,1030	0,0773
215	MzMin	[pp+perm+pp fondazioni] {SEISMIC 1-}	-0,1156	0,0790	-0,6110	0,0032	0,1030	-0,0448
216	NxMax	[1,3*pp+perm+1,3*pp fondazioni] {1,5*neve} (1,5*0,6*vento)	0,3180	-0,0303	-2,5781	0,0046	0,2407	0,0540
216	NxMin	[pp+perm+pp fondazioni] {SEISMIC 1-}	-0,0567	-0,0691	-0,6516	0,0018	0,1160	0,0596
216	VyMax	[pp+perm+pp fondazioni] {SEISMIC 1+}	0,2166	0,0488	-0,6516	0,0018	0,1160	0,0596
216	VyMin	[pp+perm+pp fondazioni] {SEISMIC 1-}	0,2166	-0,0691	-0,6516	0,0018	0,1160	0,0596
216	VzMax	[1,3*pp+perm+pp fondazioni] {1,5*neve} (1,5*0,6*vento)	0,3180	-0,0303	2,8898	0,0046	0,4744	0,0995
216	VzMin	[1,3*pp+perm+1,3*pp fondazioni] {1,5*neve} (1,5*0,6*vento)	0,3180	-0,0303	-2,5781	0,0046	0,2407	0,0540
216	TxMax	[1,3*pp+perm+1,3*pp fondazioni] {1,5*neve} (1,5*0,6*vento)	0,3180	-0,0303	-2,5781	0,0046	0,2407	0,0540
216	TxMin	[pp+perm+pp fondazioni] {SEISMIC 1-}	0,2166	-0,0691	-0,6516	0,0010	0,1160	0,0596
216	MyMax	[1,3*pp+perm+pp fondazioni] {1,5*neve} (1,5*0,6*vento)	0,3180	-0,0303	2,8898	0,0046	0,4744	0,0995
216	MyMin	[1,3*pp+perm+pp fondazioni] {1,5*neve} (1,5*0,6*vento)	0,3180	-0,0303	0,1558	0,0046	-0,6677	0,0767
216	MzMax	[1,3*pp+perm+pp fondazioni] {1,5*neve} (1,5*0,6*vento)	0,3180	-0,0303	2,8898	0,0046	0,4744	0,0995
216	MzMin	[pp+perm+pp fondazioni] {SEISMIC 1-}	0,2166	-0,0691	-0,6516	0,0018	0,1160	-0,0357
217	NxMax	[pp+perm+pp fondazioni] {SEISMIC 1+}	-0,1815	-0,0745	-0,4958	0,0014	0,1537	-0,0377
217	NxMin	[1,3*pp+perm+pp fondazioni] {1,5*neve} (1,5*0,6*vento)	-0,8184	-0,1685	-1,7214	0,0037	0,3156	-0,0663
217	VyMax	[pp+perm+pp fondazioni] {SEISMIC 1+}	-0,2306	-0,0158	-0,4958	0,0014	0,1537	-0,0377
217	VyMin	[1,3*pp+perm+pp fondazioni] {1,5*neve} (1,5*0,6*vento)	-0,8184	-0,1685	-1,7214	0,0037	0,3156	-0,0663
217	VzMax	[1,3*pp+perm+pp fondazioni] {1,5*neve} (1,5*0,6*vento)	-0,8184	-0,1685	1,0527	0,0037	-0,1859	0,1865
217	VzMin	[1,3*pp+perm+1,3*pp fondazioni] {1,5*neve} (1,5*0,6*vento)	-0,8184	-0,1685	-1,7214	0,0037	0,3156	-0,0663
217	TxMax	[1,3*pp+perm+pp fondazioni] {1,5*neve} (1,5*0,6*vento)	-0,8184	-0,1685	-1,7214	0,0037	0,3156	-0,0663
217	TxMin	[pp+perm+pp fondazioni] {SEISMIC 1-}	-0,2306	-0,0745	-0,4958	0,0008	0,1537	-0,0377
217	MyMax	[1,3*pp+perm+1,3*pp fondazioni] {1,5*neve} (1,5*0,6*vento)	-0,8184	-0,1685	-1,7214	0,0037	0,3156	-0,0663
217	MyMin	[1,3*pp+perm+1,3*pp fondazioni] {1,5*neve} (1,5*0,6*vento)	-0,8184	-0,1685	-0,0569	0,0037	-0,4847	0,0854
217	MzMax	[1,3*pp+perm+pp fondazioni] {1,5*neve} (1,5*0,6*vento)	-0,8184	-0,1685	1,0527	0,0037	-0,1859	0,1865
217	MzMin	[1,3*pp+perm+pp fondazioni] {1,5*neve} (1,5*0,6*vento)	-0,8184	-0,1685	-1,7214	0,0037	0,3156	-0,0663
219	NxMax	[pp+perm+pp fondazioni] {SEISMIC 1+}	0,1098	-0,0385	-0,3265	-0,0031	0,1407	-0,0400
219	NxMin	[1,3*pp+perm+1,3*pp fondazioni] {1,5*neve} (1,5*0,6*vento)	-0,3602	-0,0472	-1,2082	-0,0113	0,3697	-0,0618
219	VyMax	[pp+perm+pp fondazioni] {SEISMIC 1+}	-0,2319	0,0130	-0,3265	-0,0031	0,1407	-0,0400
219	VyMin	[1,3*pp+perm+pp fondazioni] {1,5*neve} (1,5*0,6*vento)	-0,3602	-0,0472	-1,2082	-0,0113	0,3697	-0,0618
219	VzMax	[1,3*pp+perm+1,3*pp fondazioni] {1,5*neve} (1,5*0,6*vento)	-0,3602	-0,0472	1,7800	-0,0113	0,9128	0,0278
219	VzMin	[1,3*pp+perm+pp fondazioni] {1,5*neve} (1,5*0,6*vento)	-0,3602	-0,0472	-1,2082	-0,0113	0,3697	-0,0618
219	TxMax	[pp+perm+pp fondazioni] {SEISMIC 1+}	-0,2319	-0,0385	-0,3265	-0,0028	0,1407	-0,0400
219	TxMin	[1,3*pp+perm+pp fondazioni] {1,5*neve} (1,5*0,6*vento)	-0,3602	-0,0472	-1,2082	-0,0113	0,3697	-0,0618
219	MyMax	[1,3*pp+perm+1,3*pp fondazioni] {1,5*neve} (1,5*0,6*vento)	-0,3602	-0,0472	1,7800	-0,0113	0,9128	0,0278

219	MyMin	[1,3*pp+perm+1,3*pp fondazioni] {1,5*neve} (1,5*0,6*vento)	-0,3602	-0,0472	-0,0129	-0,0113	-0,0944	-0,0260
219	MzMax	[pp+perm+pp fondazioni] {SEISMIC 1+}	-0,2319	-0,0385	0,4640	-0,0031	0,2556	0,0334
219	MzMin	[1,3*pp+perm+pp fondazioni] {1,5*neve} (1,5*0,6*vento)	-0,3602	-0,0472	-1,2082	-0,0113	0,3697	-0,0618
220	NxMax	[pp+perm+pp fondazioni] {SEISMIC 1+}	0,4389	0,0295	-0,6742	-0,0024	0,2305	-0,0243
220	NxMin	[pp+perm+1,3*pp fondazioni] {1,5*neve} (1,5*0,6*vento)	-0,4325	0,0130	-2,5655	-0,0078	0,6674	0,0027
220	VyMax	[pp+perm+pp fondazioni] {SEISMIC 1+}	0,4389	0,0295	-0,6742	-0,0024	0,2305	-0,0243
220	VyMin	[pp+perm+pp fondazioni] {SEISMIC 1-}	0,4389	-0,0237	-0,6742	-0,0024	0,2305	-0,0243
220	VzMax	[1,3*pp+perm+pp fondazioni] {1,5*neve} (1,5*0,6*vento)	-0,4159	0,0139	3,6492	-0,0084	1,5701	-0,0238
220	VzMin	[1,3*pp+perm+1,3*pp fondazioni] {1,5*neve} (1,5*0,6*vento)	-0,4159	0,0139	-2,7511	-0,0084	0,7170	0,0026
220	TxMax	[pp+perm+pp fondazioni] {SEISMIC 1+}	0,4389	0,0295	-0,6742	-0,0021	0,2305	-0,0243
220	TxMin	[1,3*pp+perm+pp fondazioni] {1,5*neve} (1,5*0,6*vento)	-0,4159	0,0139	-2,7511	-0,0084	0,7170	0,0026
220	MyMax	[1,3*pp+perm+pp fondazioni] {1,5*neve} (1,5*0,6*vento)	-0,4159	0,0139	3,6492	-0,0084	1,5701	-0,0238
220	MyMin	[1,3*pp+perm+pp fondazioni] {1,5*neve} (1,5*0,6*vento)	-0,4159	0,0139	-0,1910	-0,0084	-0,4010	-0,0080
220	MzMax	[pp+perm+pp fondazioni] {SEISMIC 1+}	0,4389	0,0295	-0,6742	-0,0024	0,2305	0,0237
220	MzMin	[pp+perm+pp fondazioni] {SEISMIC 1-}	0,4389	0,0295	0,8898	-0,0024	0,4098	-0,0325
221	NxMax	[pp+perm+pp fondazioni] {SEISMIC 1+}	0,1945	0,0560	-0,6854	-0,0014	0,1959	0,0515
221	NxMin	[1,3*pp+perm+1,3*pp fondazioni] {1,5*neve} (1,5*0,6*vento)	-0,4027	0,0631	-2,8553	-0,0041	0,6333	0,0566
221	VyMax	[1,3*pp+perm+1,3*pp fondazioni] {1,5*neve} (1,5*0,6*vento)	-0,4027	0,0631	-2,8553	-0,0041	0,6333	0,0566
221	VyMin	[pp+perm+pp fondazioni] {SEISMIC 1-}	-0,2462	-0,0232	-0,6854	-0,0014	0,1959	0,0515
221	VzMax	[1,3*pp+perm+pp fondazioni] {1,5*neve} (1,5*0,6*vento)	-0,4027	0,0631	4,0707	-0,0041	1,7879	-0,0633
221	VzMin	[1,3*pp+perm+1,3*pp fondazioni] {1,5*neve} (1,5*0,6*vento)	-0,4027	0,0631	-2,8553	-0,0041	0,6333	0,0566
221	TxMax	[pp+perm+pp fondazioni] {SEISMIC 1+}	-0,2462	0,0560	-0,6854	-0,0010	0,1959	0,0515
221	TxMin	[1,3*pp+perm+1,3*pp fondazioni] {1,5*neve} (1,5*0,6*vento)	-0,4027	0,0631	-2,8553	-0,0041	0,6333	0,0566
221	MyMax	[1,3*pp+perm+pp fondazioni] {1,5*neve} (1,5*0,6*vento)	-0,4027	0,0631	4,0707	-0,0041	1,7879	-0,0633
221	MyMin	[1,3*pp+perm+pp fondazioni] {1,5*neve} (1,5*0,6*vento)	-0,4027	0,0631	-0,0849	-0,0041	-0,4840	0,0086
221	MzMax	[1,3*pp+perm+1,3*pp fondazioni] {1,5*neve} (1,5*0,6*vento)	-0,4027	0,0631	-2,8553	-0,0041	0,6333	0,0566
221	MzMin	[1,3*pp+perm+1,3*pp fondazioni] {1,5*neve} (1,5*0,6*vento)	-0,4027	0,0631	4,0707	-0,0041	1,7879	-0,0633
222	NxMax	[pp+perm+pp fondazioni] {SEISMIC 1+}	0,1174	0,0669	-0,6440	-0,0024	0,1494	0,0642
222	NxMin	[pp+perm+pp fondazioni] {SEISMIC 1-}	-0,1090	0,0669	-0,6440	-0,0024	0,1494	0,0642
222	VyMax	[1,3*pp+perm+1,3*pp fondazioni] {1,5*neve} (1,5*0,6*vento)	0,0283	0,1231	-2,7220	-0,0086	0,4947	0,1189
222	VyMin	[pp+perm+pp fondazioni] {SEISMIC 1-}	0,1174	-0,0010	-0,6440	-0,0024	0,1494	0,0642
222	VzMax	[1,3*pp+perm+1,3*pp fondazioni] {1,5*neve} (1,5*0,6*vento)	0,0283	0,1231	4,2040	-0,0086	1,9025	-0,1150
222	VzMin	[1,3*pp+perm+pp fondazioni] {1,5*neve} (1,5*0,6*vento)	0,0283	0,1231	-2,7220	-0,0086	0,4947	0,1189
222	TxMax	[pp+perm+pp fondazioni] {SEISMIC 1+}	0,1174	0,0669	-0,6440	-0,0022	0,1494	0,0642
222	TxMin	[1,3*pp+perm+1,3*pp fondazioni] {1,5*neve} (1,5*0,6*vento)	0,0283	0,1231	-2,7220	-0,0086	0,4947	0,1189
222	MyMax	[1,3*pp+perm+1,3*pp fondazioni] {1,5*neve} (1,5*0,6*vento)	0,0283	0,1231	4,2040	-0,0086	1,9025	-0,1150
222	MyMin	[1,3*pp+perm+1,3*pp fondazioni] {1,5*neve} (1,5*0,6*vento)	0,0283	0,1231	0,0484	-0,0086	-0,5213	0,0253
222	MzMax	[1,3*pp+perm+1,3*pp fondazioni] {1,5*neve} (1,5*0,6*vento)	0,0283	0,1231	-2,7220	-0,0086	0,4947	0,1189
222	MzMin	[1,3*pp+perm+1,3*pp fondazioni] {1,5*neve} (1,5*0,6*vento)	0,0283	0,1231	4,2040	-0,0086	1,9025	-0,1150
223	NxMax	[pp+perm+pp fondazioni] {SEISMIC 1+}	-0,1081	0,0674	-0,2318	-0,0023	-0,1346	0,0725
223	NxMin	[1,3*pp+perm+1,3*pp fondazioni] {1,5*neve} (1,5*0,6*vento)	-0,6109	0,2026	-0,8348	-0,0085	-0,2407	0,2089
223	VyMax	[1,3*pp+perm+1,3*pp fondazioni] {1,5*neve} (1,5*0,6*vento)	-0,6109	0,2026	-0,8348	-0,0085	-0,2407	0,2089
223	VyMin	[pp+perm+pp fondazioni] {SEISMIC 1-}	-0,1806	0,0422	-0,2318	-0,0023	-0,1346	0,0725
223	VzMax	[1,3*pp+perm+1,3*pp fondazioni] {1,5*neve} (1,5*0,6*vento)	-0,6109	0,2026	2,6791	-0,0085	1,5113	-0,1761
223	VzMin	[1,3*pp+perm+pp fondazioni] {1,5*neve} (1,5*0,6*vento)	-0,6109	0,2026	-0,8348	-0,0085	-0,2407	0,2089
223	TxMax	[pp+perm+pp fondazioni] {SEISMIC 1+}	-0,1806	0,0674	-0,2318	-0,0022	-0,1346	0,0725
223	TxMin	[1,3*pp+perm+1,3*pp fondazioni] {1,5*neve} (1,5*0,6*vento)	-0,6109	0,2026	-0,8348	-0,0085	-0,2407	0,2089
223	MyMax	[1,3*pp+perm+1,3*pp fondazioni] {1,5*neve} (1,5*0,6*vento)	-0,6109	0,2026	2,6791	-0,0085	1,5113	-0,1761

223	MyMin	[1,3*pp+perm+1,3*pp fondazioni] {1,5*neve} (1,5*0,6*vento)	-0,6109	0,2026	-0,1321	-0,0085	-0,4244	0,1319
223	MzMax	[1,3*pp+perm+1,3*pp fondazioni] {1,5*neve} (1,5*0,6*vento)	-0,6109	0,2026	-0,8348	-0,0085	-0,2407	0,2089
223	MzMin	[1,3*pp+perm+1,3*pp fondazioni] {1,5*neve} (1,5*0,6*vento)	-0,6109	0,2026	2,6791	-0,0085	1,5113	-0,1761
225	NxMax	[pp+perm+pp fondazioni] {SEISMIC 1+}	0,0878	0,0386	-0,6122	0,0024	0,3056	0,0408
225	NxMin	[1,3*pp+perm+1,3*pp fondazioni] {1,5*neve} (1,5*0,6*vento)	-0,6972	0,0387	-2,3670	0,0082	1,1297	0,0470
225	VyMax	[1,3*pp+perm+1,3*pp fondazioni] {1,5*neve} (1,5*0,6*vento)	-0,6972	0,0387	-2,3670	0,0082	1,1297	0,0470
225	VyMin	[pp+perm+pp fondazioni] {SEISMIC 1-}	-0,3880	-0,0179	-0,6122	0,0024	0,3056	0,0408
225	VzMax	[1,3*pp+perm+1,3*pp fondazioni] {1,5*neve} (1,5*0,6*vento)	-0,6972	0,0387	0,6213	0,0082	-0,5287	-0,0266
225	VzMin	[1,3*pp+perm+pp fondazioni] {1,5*neve} (1,5*0,6*vento)	-0,6972	0,0387	-2,3670	0,0082	1,1297	0,0470
225	TxMax	[1,3*pp+perm+pp fondazioni] {1,5*neve} (1,5*0,6*vento)	-0,6972	0,0387	-2,3670	0,0082	1,1297	0,0470
225	TxMin	[pp+perm+pp fondazioni] {SEISMIC 1-}	-0,3880	0,0386	-0,6122	0,0018	0,3056	0,0408
225	MyMax	[1,3*pp+perm+pp fondazioni] {1,5*neve} (1,5*0,6*vento)	-0,6972	0,0387	-2,3670	0,0082	1,1297	0,0470
225	MyMin	[1,3*pp+perm+pp fondazioni] {1,5*neve} (1,5*0,6*vento)	-0,6972	0,0387	0,0236	0,0082	-0,6512	-0,0119
225	MzMax	[1,3*pp+perm+1,3*pp fondazioni] {1,5*neve} (1,5*0,6*vento)	-0,6972	0,0387	-2,3670	0,0082	1,1297	0,0470
225	MzMin	[pp+perm+pp fondazioni] {SEISMIC 1-}	-0,3880	0,0386	0,1522	0,0024	-0,1848	-0,0336
226	NxMax	[pp+perm+pp fondazioni] {SEISMIC 1+}	-0,2369	-0,0351	-1,0794	0,0011	0,5163	-0,0339
226	NxMin	[1,3*pp+perm+1,3*pp fondazioni] {1,5*neve} (1,5*0,6*vento)	-2,2063	-0,0263	-4,3358	0,0030	1,9642	-0,0215
226	VyMax	[pp+perm+pp fondazioni] {SEISMIC 1+}	-0,6957	0,0218	-1,0794	0,0011	0,5163	-0,0339
226	VyMin	[pp+perm+pp fondazioni] {SEISMIC 1-}	-0,6957	-0,0351	-1,0794	0,0011	0,5163	-0,0339
226	VzMax	[1,3*pp+perm+1,3*pp fondazioni] {1,5*neve} (1,5*0,6*vento)	-2,2063	-0,0263	2,0645	0,0030	-0,1936	0,0286
226	VzMin	[1,3*pp+perm+pp fondazioni] {1,5*neve} (1,5*0,6*vento)	-2,2063	-0,0263	-4,3358	0,0030	1,9642	-0,0215
226	TxMax	[1,3*pp+perm+1,3*pp fondazioni] {1,5*neve} (1,5*0,6*vento)	-2,2063	-0,0263	-4,3358	0,0030	1,9642	-0,0215
226	TxMin	[pp+perm+pp fondazioni] {SEISMIC 1-}	-0,6957	-0,0351	-1,0794	0,0004	0,5163	-0,0339
226	MyMax	[1,3*pp+perm+pp fondazioni] {1,5*neve} (1,5*0,6*vento)	-2,2063	-0,0263	-4,3358	0,0030	1,9642	-0,0215
226	MyMin	[1,3*pp+perm+pp fondazioni] {1,5*neve} (1,5*0,6*vento)	-2,2063	-0,0263	0,1444	0,0030	-0,8231	0,0136
226	MzMax	[pp+perm+pp fondazioni] {SEISMIC 1+}	-0,6957	-0,0351	0,4776	0,0011	-0,1543	0,0339
226	MzMin	[pp+perm+pp fondazioni] {SEISMIC 1-}	-0,6957	-0,0351	-1,0794	0,0011	0,5163	-0,0339
227	NxMax	[pp+perm+pp fondazioni] {SEISMIC 1+}	-0,0472	0,0485	-1,1208	-0,0016	0,5269	0,0463
227	NxMin	[1,3*pp+perm+1,3*pp fondazioni] {1,5*neve} (1,5*0,6*vento)	-1,1177	0,0179	-4,5733	-0,0052	2,0259	0,0169
227	VyMax	[pp+perm+pp fondazioni] {SEISMIC 1+}	-0,4130	0,0485	-1,1208	-0,0016	0,5269	0,0463
227	VyMin	[pp+perm+pp fondazioni] {SEISMIC 1-}	-0,4130	-0,0377	-1,1208	-0,0016	0,5269	0,0463
227	VzMax	[1,3*pp+perm+1,3*pp fondazioni] {1,5*neve} (1,5*0,6*vento)	-1,1177	0,0179	2,3527	-0,0052	-0,0837	-0,0171
227	VzMin	[1,3*pp+perm+pp fondazioni] {1,5*neve} (1,5*0,6*vento)	-1,1177	0,0179	-4,5733	-0,0052	2,0259	0,0169
227	TxMax	[pp+perm+pp fondazioni] {SEISMIC 1+}	-0,4130	0,0485	-1,1208	-0,0012	0,5269	0,0463
227	TxMin	[1,3*pp+perm+pp fondazioni] {1,5*neve} (1,5*0,6*vento)	-1,1177	0,0179	-4,5733	-0,0052	2,0259	0,0169
227	MyMax	[1,3*pp+perm+pp fondazioni] {1,5*neve} (1,5*0,6*vento)	-1,1177	0,0179	-4,5733	-0,0052	2,0259	0,0169
227	MyMin	[1,3*pp+perm+pp fondazioni] {1,5*neve} (1,5*0,6*vento)	-1,1177	0,0179	0,2749	-0,0052	-0,8325	-0,0069
227	MzMax	[pp+perm+pp fondazioni] {SEISMIC 1+}	-0,4130	0,0485	-1,1208	-0,0016	0,5269	0,0463
227	MzMin	[pp+perm+pp fondazioni] {SEISMIC 1-}	-0,4130	0,0485	0,5365	-0,0016	-0,1131	-0,0469
228	NxMax	[1,3*pp+perm+pp fondazioni] {1,5*neve} (1,5*0,6*vento)	0,2900	0,0014	-4,5277	-0,0006	1,9987	-0,0106
228	NxMin	[pp+perm+pp fondazioni] {SEISMIC 1-}	-0,0002	0,0370	-1,1021	-0,0003	0,5187	-0,0360
228	VyMax	[pp+perm+pp fondazioni] {SEISMIC 1+}	0,1530	0,0370	-1,1021	-0,0003	0,5187	-0,0360
228	VyMin	[pp+perm+pp fondazioni] {SEISMIC 1-}	0,1530	-0,0350	-1,1021	-0,0003	0,5187	-0,0360
228	VzMax	[1,3*pp+perm+pp fondazioni] {1,5*neve} (1,5*0,6*vento)	0,2900	0,0014	2,3982	-0,0006	-0,0243	-0,0133
228	VzMin	[1,3*pp+perm+1,3*pp fondazioni] {1,5*neve} (1,5*0,6*vento)	0,2900	0,0014	-4,5277	-0,0006	1,9987	-0,0106
228	TxMax	[pp+perm+pp fondazioni] {SEISMIC 1+}	0,1530	0,0370	-1,1021	-0,0001	0,5187	-0,0360
228	TxMin	[1,3*pp+perm+pp fondazioni] {1,5*neve} (1,5*0,6*vento)	0,2900	0,0014	-4,5277	-0,0006	1,9987	-0,0106
228	MyMax	[1,3*pp+perm+1,3*pp fondazioni] {1,5*neve} (1,5*0,6*vento)	0,2900	0,0014	-4,5277	-0,0006	1,9987	-0,0106

228	MyMin	[1,3*pp+perm+1,3*pp fondazioni] {1,5*neve} (1,5*0,6*vento)	0,2900	0,0014	0,3204	-0,0006	-0,7991	-0,0125
228	MzMax	[pp+perm+pp fondazioni] {SEISMIC 1+}	0,1530	0,0370	-1,1021	-0,0003	0,5187	0,0315
228	MzMin	[pp+perm+pp fondazioni] {SEISMIC 1-}	0,1530	0,0370	0,5443	-0,0003	-0,0859	-0,0396
229	NxMax	[pp+perm+pp fondazioni] {SEISMIC 1+}	-0,1578	-0,0285	-0,7773	-0,0001	0,4587	-0,0338
229	NxMin	[1,3*pp+perm+1,3*pp fondazioni] {1,5*neve} (1,5*0,6*vento)	-0,7805	-0,0645	-2,9559	0,0000	1,6251	-0,0915
229	VyMax	[pp+perm+pp fondazioni] {SEISMIC 1+}	-0,2156	-0,0042	-0,7773	-0,0001	0,4587	-0,0338
229	VyMin	[1,3*pp+perm+pp fondazioni] {1,5*neve} (1,5*0,6*vento)	-0,7805	-0,0645	-2,9559	0,0000	1,6251	-0,0915
229	VzMax	[1,3*pp+perm+pp fondazioni] {1,5*neve} (1,5*0,6*vento)	-0,7805	-0,0645	0,5580	0,0000	-0,6529	0,0311
229	VzMin	[1,3*pp+perm+1,3*pp fondazioni] {1,5*neve} (1,5*0,6*vento)	-0,7805	-0,0645	-2,9559	0,0000	1,6251	-0,0915
229	TxMax	[pp+perm+1,3*pp fondazioni] {1,5*neve} (1,5*0,6*vento)	-0,7245	-0,0596	-2,7382	0,0000	1,5018	-0,0844
229	TxMin	[pp+perm+pp fondazioni] {SEISMIC 1-}	-0,2156	-0,0285	-0,7773	-0,0001	0,4587	-0,0338
229	MyMax	[1,3*pp+perm+1,3*pp fondazioni] {1,5*neve} (1,5*0,6*vento)	-0,7805	-0,0645	-2,9559	0,0000	1,6251	-0,0915
229	MyMin	[1,3*pp+perm+1,3*pp fondazioni] {1,5*neve} (1,5*0,6*vento)	-0,7805	-0,0645	-0,1448	0,0000	-0,7314	0,0066
229	MzMax	[1,3*pp+perm+pp fondazioni] {1,5*neve} (1,5*0,6*vento)	-0,7805	-0,0645	0,5580	0,0000	-0,6529	0,0311
229	MzMin	[1,3*pp+perm+pp fondazioni] {1,5*neve} (1,5*0,6*vento)	-0,7805	-0,0645	-2,9559	0,0000	1,6251	-0,0915
231	NxMax	[pp+perm+pp fondazioni] {SEISMIC 1+}	0,1626	-0,0517	-0,1079	-0,0032	-0,1944	-0,0488
231	NxMin	[1,3*pp+perm+1,3*pp fondazioni] {1,5*neve} (1,5*0,6*vento)	-0,7596	-0,0396	-0,4403	-0,0098	-0,5686	-0,0375
231	VyMax	[pp+perm+pp fondazioni] {SEISMIC 1+}	-0,5015	0,0343	-0,1079	-0,0032	-0,1944	-0,0488
231	VyMin	[pp+perm+pp fondazioni] {SEISMIC 1-}	-0,5015	-0,0517	-0,1079	-0,0032	-0,1944	-0,0488
231	VzMax	[1,3*pp+perm+pp fondazioni] {1,5*neve} (1,5*0,6*vento)	-0,7596	-0,0396	2,6266	-0,0098	1,5630	0,0398
231	VzMin	[1,3*pp+perm+1,3*pp fondazioni] {1,5*neve} (1,5*0,6*vento)	-0,7596	-0,0396	-0,4403	-0,0098	-0,5686	-0,0375
231	TxMax	[pp+perm+pp fondazioni] {SEISMIC 1+}	-0,5015	-0,0517	-0,1079	-0,0021	-0,1944	-0,0488
231	TxMin	[1,3*pp+perm+1,3*pp fondazioni] {1,5*neve} (1,5*0,6*vento)	-0,7596	-0,0396	-0,4403	-0,0098	-0,5686	-0,0375
231	MyMax	[1,3*pp+perm+1,3*pp fondazioni] {1,5*neve} (1,5*0,6*vento)	-0,7596	-0,0396	2,6266	-0,0098	1,5630	0,0398
231	MyMin	[1,3*pp+perm+pp fondazioni] {1,5*neve} (1,5*0,6*vento)	-0,7596	-0,0396	-0,1336	-0,0098	-0,6246	-0,0297
231	MzMax	[pp+perm+pp fondazioni] {SEISMIC 1+}	-0,5015	-0,0517	0,6824	-0,0032	0,4278	0,0523
231	MzMin	[pp+perm+pp fondazioni] {SEISMIC 1-}	-0,5015	-0,0517	-0,1079	-0,0032	-0,1944	-0,0488
232	NxMax	[pp+perm+pp fondazioni] {SEISMIC 1+}	0,6644	0,0559	-0,4219	-0,0014	-0,1853	0,0491
232	NxMin	[1,3*pp+perm+1,3*pp fondazioni] {1,5*neve} (1,5*0,6*vento)	-1,2031	0,0533	-1,8194	-0,0030	-0,3276	0,0379
232	VyMax	[pp+perm+pp fondazioni] {SEISMIC 1+}	-1,1943	0,0559	-0,4219	-0,0014	-0,1853	0,0491
232	VyMin	[pp+perm+pp fondazioni] {SEISMIC 1-}	-1,1943	-0,0268	-0,4219	-0,0014	-0,1853	0,0491
232	VzMax	[1,3*pp+perm+pp fondazioni] {1,5*neve} (1,5*0,6*vento)	-1,2031	0,0533	4,7493	-0,0030	2,5290	-0,0660
232	VzMin	[1,3*pp+perm+1,3*pp fondazioni] {1,5*neve} (1,5*0,6*vento)	-1,2031	0,0533	-1,8194	-0,0030	-0,3276	0,0379
232	TxMax	[pp+perm+pp fondazioni] {SEISMIC 1+}	-1,1943	0,0559	-0,4219	-0,0003	-0,1853	0,0491
232	TxMin	[1,3*pp+perm+1,3*pp fondazioni] {1,5*neve} (1,5*0,6*vento)	-1,2031	0,0533	-1,8194	-0,0030	-0,3276	0,0379
232	MyMax	[1,3*pp+perm+pp fondazioni] {1,5*neve} (1,5*0,6*vento)	-1,2031	0,0533	4,7493	-0,0030	2,5290	-0,0660
232	MyMin	[1,3*pp+perm+pp fondazioni] {1,5*neve} (1,5*0,6*vento)	-1,2031	0,0533	0,1512	-0,0030	-0,8156	0,0067
232	MzMax	[pp+perm+pp fondazioni] {SEISMIC 1+}	-1,1943	0,0559	-0,4219	-0,0014	-0,1853	0,0491
232	MzMin	[1,3*pp+perm+1,3*pp fondazioni] {1,5*neve} (1,5*0,6*vento)	-1,2031	0,0533	4,7493	-0,0030	2,5290	-0,0660
233	NxMax	[pp+perm+pp fondazioni] {SEISMIC 1+}	0,2309	0,0472	-0,4871	0,0020	-0,1315	-0,0499
233	NxMin	[1,3*pp+perm+1,3*pp fondazioni] {1,5*neve} (1,5*0,6*vento)	-0,7568	-0,0019	-2,1419	0,0064	-0,1593	-0,0208
233	VyMax	[pp+perm+pp fondazioni] {SEISMIC 1+}	-0,5476	0,0472	-0,4871	0,0020	-0,1315	-0,0499
233	VyMin	[pp+perm+pp fondazioni] {SEISMIC 1-}	-0,5476	-0,0468	-0,4871	0,0020	-0,1315	-0,0499
233	VzMax	[1,3*pp+perm+pp fondazioni] {1,5*neve} (1,5*0,6*vento)	-0,7568	-0,0019	4,9664	0,0064	2,5946	-0,0171
233	VzMin	[1,3*pp+perm+1,3*pp fondazioni] {1,5*neve} (1,5*0,6*vento)	-0,7568	-0,0019	-2,1419	0,0064	-0,1593	-0,0208
233	TxMax	[1,3*pp+perm+pp fondazioni] {1,5*neve} (1,5*0,6*vento)	-0,7568	-0,0019	-2,1419	0,0064	-0,1593	-0,0208
233	TxMin	[pp+perm+pp fondazioni] {SEISMIC 1-}	-0,5476	0,0472	-0,4871	0,0014	-0,1315	-0,0499
233	MyMax	[1,3*pp+perm+pp fondazioni] {1,5*neve} (1,5*0,6*vento)	-0,7568	-0,0019	4,9664	0,0064	2,5946	-0,0171

233	MyMin	[1,3*pp+perm+pp fondazioni] {1,5*neve} (1,5*0,6*vento)	-0,7568	-0,0019	-0,0094	0,0064	-0,7886	-0,0197
233	MzMax	[pp+perm+pp fondazioni] {SEISMIC 1+}	-0,5476	0,0472	1,2188	0,0020	0,6763	0,0415
233	MzMin	[pp+perm+pp fondazioni] {SEISMIC 1-}	-0,5476	0,0472	1,2188	0,0020	0,6763	-0,0519
234	NxMax	[1,3*pp+perm+pp fondazioni] {1,5*neve} (1,5*0,6*vento)	0,2122	-0,0117	-2,2648	-0,0004	-0,0418	-0,0230
234	NxMin	[pp+perm+pp fondazioni] {SEISMIC 1-}	0,0468	-0,0474	-0,5123	-0,0002	-0,0915	-0,0485
234	VyMax	[pp+perm+pp fondazioni] {SEISMIC 1+}	0,0750	0,0428	-0,5123	-0,0002	-0,0915	-0,0485
234	VyMin	[pp+perm+pp fondazioni] {SEISMIC 1-}	0,0750	-0,0474	-0,5123	-0,0002	-0,0915	-0,0485
234	VzMax	[1,3*pp+perm+1,3*pp fondazioni] {1,5*neve} (1,5*0,6*vento)	0,2122	-0,0117	4,8434	-0,0004	2,4724	-0,0002
234	VzMin	[1,3*pp+perm+pp fondazioni] {1,5*neve} (1,5*0,6*vento)	0,2122	-0,0117	-2,2648	-0,0004	-0,0418	-0,0230
234	TxMax	[pp+perm+pp fondazioni] {SEISMIC 1+}	0,0750	-0,0474	-0,5123	0,0001	-0,0915	-0,0485
234	TxMin	[1,3*pp+perm+1,3*pp fondazioni] {1,5*neve} (1,5*0,6*vento)	0,2122	-0,0117	-2,2648	-0,0004	-0,0418	-0,0230
234	MyMax	[1,3*pp+perm+1,3*pp fondazioni] {1,5*neve} (1,5*0,6*vento)	0,2122	-0,0117	4,8434	-0,0004	2,4724	-0,0002
234	MyMin	[1,3*pp+perm+pp fondazioni] {1,5*neve} (1,5*0,6*vento)	0,2122	-0,0117	-0,1323	-0,0004	-0,7430	-0,0162
234	MzMax	[pp+perm+pp fondazioni] {SEISMIC 1+}	0,0750	-0,0474	1,1818	-0,0002	0,6440	0,0441
234	MzMin	[pp+perm+pp fondazioni] {SEISMIC 1-}	0,0750	-0,0474	-0,5123	-0,0002	-0,0915	-0,0485
235	NxMax	[pp+perm+pp fondazioni] {SEISMIC 1+}	-0,1784	0,0449	-0,1319	-0,0004	-0,2382	0,0423
235	NxMin	[1,3*pp+perm+1,3*pp fondazioni] {1,5*neve} (1,5*0,6*vento)	-0,8227	0,0179	-0,4839	-0,0015	-0,6611	0,0156
235	VyMax	[pp+perm+pp fondazioni] {SEISMIC 1+}	-0,2178	0,0449	-0,1319	-0,0004	-0,2382	0,0423
235	VyMin	[pp+perm+pp fondazioni] {SEISMIC 1-}	-0,2178	-0,0341	-0,1319	-0,0004	-0,2382	0,0423
235	VzMax	[1,3*pp+perm+1,3*pp fondazioni] {1,5*neve} (1,5*0,6*vento)	-0,8227	0,0179	3,1225	-0,0015	1,9115	-0,0193
235	VzMin	[1,3*pp+perm+pp fondazioni] {1,5*neve} (1,5*0,6*vento)	-0,8227	0,0179	-0,4839	-0,0015	-0,6611	0,0156
235	TxMax	[pp+perm+pp fondazioni] {SEISMIC 1+}	-0,2178	0,0449	-0,1319	-0,0003	-0,2382	0,0423
235	TxMin	[1,3*pp+perm+1,3*pp fondazioni] {1,5*neve} (1,5*0,6*vento)	-0,8227	0,0179	-0,4839	-0,0015	-0,6611	0,0156
235	MyMax	[1,3*pp+perm+1,3*pp fondazioni] {1,5*neve} (1,5*0,6*vento)	-0,8227	0,0179	3,1225	-0,0015	1,9115	-0,0193
235	MyMin	[1,3*pp+perm+1,3*pp fondazioni] {1,5*neve} (1,5*0,6*vento)	-0,8227	0,0179	-0,1233	-0,0015	-0,7203	0,0121
235	MzMax	[pp+perm+pp fondazioni] {SEISMIC 1+}	-0,2178	0,0449	-0,1319	-0,0004	-0,2382	0,0423
235	MzMin	[pp+perm+pp fondazioni] {SEISMIC 1-}	-0,2178	0,0449	0,8177	-0,0004	0,5326	-0,0454
237	NxMax	[pp+perm+pp fondazioni] {SEISMIC 1+}	0,1897	0,0459	-0,6702	0,0095	0,4131	0,0452
237	NxMin	[1,3*pp+perm+1,3*pp fondazioni] {1,5*neve} (1,5*0,6*vento)	-0,8080	0,0391	-2,6009	0,0358	1,5264	0,0399
237	VyMax	[pp+perm+pp fondazioni] {SEISMIC 1+}	-0,5656	0,0459	-0,6702	0,0095	0,4131	0,0452
237	VyMin	[pp+perm+pp fondazioni] {SEISMIC 1-}	-0,5656	-0,0307	-0,6702	0,0095	0,4131	0,0452
237	VzMax	[1,3*pp+perm+pp fondazioni] {1,5*neve} (1,5*0,6*vento)	-0,8080	0,0391	0,4266	0,0358	-0,5663	-0,0353
237	VzMin	[1,3*pp+perm+1,3*pp fondazioni] {1,5*neve} (1,5*0,6*vento)	-0,8080	0,0391	-2,6009	0,0358	1,5264	0,0399
237	TxMax	[1,3*pp+perm+1,3*pp fondazioni] {1,5*neve} (1,5*0,6*vento)	-0,8080	0,0391	-2,6009	0,0358	1,5264	0,0399
237	TxMin	[pp+perm+pp fondazioni] {SEISMIC 1-}	-0,5656	0,0459	-0,6702	0,0084	0,4131	0,0452
237	MyMax	[1,3*pp+perm+1,3*pp fondazioni] {1,5*neve} (1,5*0,6*vento)	-0,8080	0,0391	-2,6009	0,0358	1,5264	0,0399
237	MyMin	[1,3*pp+perm+1,3*pp fondazioni] {1,5*neve} (1,5*0,6*vento)	-0,8080	0,0391	0,1239	0,0358	-0,6193	-0,0277
237	MzMax	[pp+perm+pp fondazioni] {SEISMIC 1+}	-0,5656	0,0459	-0,6702	0,0095	0,4131	0,0452
237	MzMin	[pp+perm+pp fondazioni] {SEISMIC 1-}	-0,5656	0,0459	0,0858	0,0095	-0,1880	-0,0435
238	NxMax	[pp+perm+pp fondazioni] {SEISMIC 1+}	0,4494	-0,0605	-1,1689	0,0072	0,6585	-0,0627
238	NxMin	[1,3*pp+perm+1,3*pp fondazioni] {1,5*neve} (1,5*0,6*vento)	-0,9617	-0,0876	-4,8017	0,0264	2,5696	-0,0971
238	VyMax	[pp+perm+pp fondazioni] {SEISMIC 1+}	-0,9007	0,0149	-1,1689	0,0072	0,6585	-0,0627
238	VyMin	[1,3*pp+perm+pp fondazioni] {1,5*neve} (1,5*0,6*vento)	-0,9617	-0,0876	-4,8017	0,0264	2,5696	-0,0971
238	VzMax	[1,3*pp+perm+pp fondazioni] {1,5*neve} (1,5*0,6*vento)	-0,9617	-0,0876	1,6829	0,0264	-0,4322	0,0715
238	VzMin	[1,3*pp+perm+1,3*pp fondazioni] {1,5*neve} (1,5*0,6*vento)	-0,9617	-0,0876	-4,8017	0,0264	2,5696	-0,0971
238	TxMax	[1,3*pp+perm+1,3*pp fondazioni] {1,5*neve} (1,5*0,6*vento)	-0,9617	-0,0876	-4,8017	0,0264	2,5696	-0,0971
238	TxMin	[pp+perm+pp fondazioni] {SEISMIC 1-}	-0,9007	-0,0605	-1,1689	0,0059	0,6585	-0,0627
238	MyMax	[1,3*pp+perm+1,3*pp fondazioni] {1,5*neve} (1,5*0,6*vento)	-0,9617	-0,0876	-4,8017	0,0264	2,5696	-0,0971

238	MyMin	[1,3*pp+perm+1,3*pp fondazioni] {1,5*neve} (1,5*0,6*vento)	-0,9617	-0,0876	-0,2625	0,0264	-0,8423	0,0209
238	MzMax	[1,3*pp+perm+pp fondazioni] {1,5*neve} (1,5*0,6*vento)	-0,9617	-0,0876	1,6829	0,0264	-0,4322	0,0715
238	MzMin	[1,3*pp+perm+pp fondazioni] {1,5*neve} (1,5*0,6*vento)	-0,9617	-0,0876	-4,8017	0,0264	2,5696	-0,0971
239	NxMax	[pp+perm+pp fondazioni] {SEISMIC 1+}	0,0674	-0,0501	-1,2190	-0,0010	0,6859	-0,0547
239	NxMin	[1,3*pp+perm+1,3*pp fondazioni] {1,5*neve} (1,5*0,6*vento)	-0,9015	-0,0213	-5,0227	-0,0024	2,6675	-0,0393
239	VyMax	[pp+perm+pp fondazioni] {SEISMIC 1+}	-0,4791	0,0409	-1,2190	-0,0010	0,6859	-0,0547
239	VyMin	[pp+perm+pp fondazioni] {SEISMIC 1-}	-0,4791	-0,0501	-1,2190	-0,0010	0,6859	-0,0547
239	VzMax	[1,3*pp+perm+pp fondazioni] {1,5*neve} (1,5*0,6*vento)	-0,9015	-0,0213	1,9945	-0,0024	-0,2471	0,0017
239	VzMin	[1,3*pp+perm+1,3*pp fondazioni] {1,5*neve} (1,5*0,6*vento)	-0,9015	-0,0213	-5,0227	-0,0024	2,6675	-0,0393
239	TxMax	[pp+perm+pp fondazioni] {SEISMIC 1+}	-0,4791	-0,0501	-1,2190	-0,0004	0,6859	-0,0547
239	TxMin	[1,3*pp+perm+1,3*pp fondazioni] {1,5*neve} (1,5*0,6*vento)	-0,9015	-0,0213	-5,0227	-0,0024	2,6675	-0,0393
239	MyMax	[1,3*pp+perm+1,3*pp fondazioni] {1,5*neve} (1,5*0,6*vento)	-0,9015	-0,0213	-5,0227	-0,0024	2,6675	-0,0393
239	MyMin	[1,3*pp+perm+1,3*pp fondazioni] {1,5*neve} (1,5*0,6*vento)	-0,9015	-0,0213	-0,1107	-0,0024	-0,7911	-0,0106
239	MzMax	[pp+perm+pp fondazioni] {SEISMIC 1+}	-0,4791	-0,0501	0,4323	-0,0010	-0,1317	0,0421
239	MzMin	[pp+perm+pp fondazioni] {SEISMIC 1-}	-0,4791	-0,0501	-1,2190	-0,0010	0,6859	-0,0547
240	NxMax	[1,3*pp+perm+pp fondazioni] {1,5*neve} (1,5*0,6*vento)	0,5144	0,0173	-4,8291	-0,0056	2,4943	-0,0025
240	NxMin	[pp+perm+pp fondazioni] {SEISMIC 1-}	0,0977	0,0442	-1,1759	-0,0015	0,6483	-0,0395
240	VyMax	[pp+perm+pp fondazioni] {SEISMIC 1+}	0,1752	0,0442	-1,1759	-0,0015	0,6483	-0,0395
240	VyMin	[pp+perm+pp fondazioni] {SEISMIC 1-}	0,1752	-0,0345	-1,1759	-0,0015	0,6483	-0,0395
240	VzMax	[1,3*pp+perm+pp fondazioni] {1,5*neve} (1,5*0,6*vento)	0,5144	0,0173	2,1881	-0,0056	-0,0476	-0,0358
240	VzMin	[1,3*pp+perm+1,3*pp fondazioni] {1,5*neve} (1,5*0,6*vento)	0,5144	0,0173	-4,8291	-0,0056	2,4943	-0,0025
240	TxMax	[pp+perm+pp fondazioni] {SEISMIC 1+}	0,1752	0,0442	-1,1759	-0,0013	0,6483	-0,0395
240	TxMin	[1,3*pp+perm+1,3*pp fondazioni] {1,5*neve} (1,5*0,6*vento)	0,5144	0,0173	-4,8291	-0,0056	2,4943	-0,0025
240	MyMax	[1,3*pp+perm+1,3*pp fondazioni] {1,5*neve} (1,5*0,6*vento)	0,5144	0,0173	-4,8291	-0,0056	2,4943	-0,0025
240	MyMin	[1,3*pp+perm+1,3*pp fondazioni] {1,5*neve} (1,5*0,6*vento)	0,5144	0,0173	0,0829	-0,0056	-0,7034	-0,0258
240	MzMax	[pp+perm+pp fondazioni] {SEISMIC 1+}	0,1752	0,0442	-1,1759	-0,0015	0,6483	0,0380
240	MzMin	[pp+perm+pp fondazioni] {SEISMIC 1-}	0,1752	0,0442	0,4900	-0,0015	-0,0863	-0,0475
241	NxMax	[pp+perm+pp fondazioni] {SEISMIC 1+}	-0,2521	-0,0393	-0,8388	-0,0011	0,5539	-0,0399
241	NxMin	[1,3*pp+perm+1,3*pp fondazioni] {1,5*neve} (1,5*0,6*vento)	-1,1486	-0,0356	-3,2069	-0,0041	1,9944	-0,0378
241	VyMax	[pp+perm+pp fondazioni] {SEISMIC 1+}	-0,3099	0,0207	-0,8388	-0,0011	0,5539	-0,0399
241	VyMin	[pp+perm+pp fondazioni] {SEISMIC 1-}	-0,3099	-0,0393	-0,8388	-0,0011	0,5539	-0,0399
241	VzMax	[1,3*pp+perm+pp fondazioni] {1,5*neve} (1,5*0,6*vento)	-1,1486	-0,0356	0,3532	-0,0041	-0,7522	0,0307
241	VzMin	[1,3*pp+perm+1,3*pp fondazioni] {1,5*neve} (1,5*0,6*vento)	-1,1486	-0,0356	-3,2069	-0,0041	1,9944	-0,0378
241	TxMax	[pp+perm+pp fondazioni] {SEISMIC 1+}	-0,3099	-0,0393	-0,8388	-0,0010	0,5539	-0,0399
241	TxMin	[1,3*pp+perm+1,3*pp fondazioni] {1,5*neve} (1,5*0,6*vento)	-1,1486	-0,0356	-3,2069	-0,0041	1,9944	-0,0378
241	MyMax	[1,3*pp+perm+1,3*pp fondazioni] {1,5*neve} (1,5*0,6*vento)	-1,1486	-0,0356	-3,2069	-0,0041	1,9944	-0,0378
241	MyMin	[1,3*pp+perm+1,3*pp fondazioni] {1,5*neve} (1,5*0,6*vento)	-1,1486	-0,0356	-0,0028	-0,0041	-0,7859	0,0238
241	MzMax	[pp+perm+pp fondazioni] {SEISMIC 1+}	-0,3099	-0,0393	0,0981	-0,0011	-0,2582	0,0369
241	MzMin	[pp+perm+pp fondazioni] {SEISMIC 1-}	-0,3099	-0,0393	-0,8388	-0,0011	0,5539	-0,0399
243	NxMax	[pp+perm+pp fondazioni] {SEISMIC 1+}	-0,4637	-0,0742	-0,2168	-0,0013	-0,1260	-0,0663
243	NxMin	[1,3*pp+perm+1,3*pp fondazioni] {1,5*neve} (1,5*0,6*vento)	-2,6923	-0,1051	-0,9357	-0,0064	-0,3283	-0,1010
243	VyMax	[pp+perm+pp fondazioni] {SEISMIC 1+}	-0,8966	0,0235	-0,2168	-0,0013	-0,1260	-0,0663
243	VyMin	[1,3*pp+perm+1,3*pp fondazioni] {1,5*neve} (1,5*0,6*vento)	-2,6923	-0,1051	-0,9357	-0,0064	-0,3283	-0,1010
243	VzMax	[1,3*pp+perm+1,3*pp fondazioni] {1,5*neve} (1,5*0,6*vento)	-2,6923	-0,1051	2,0918	-0,0064	0,7844	0,1013
243	VzMin	[1,3*pp+perm+pp fondazioni] {1,5*neve} (1,5*0,6*vento)	-2,6923	-0,1051	-0,9357	-0,0064	-0,3283	-0,1010
243	TxMax	[pp+perm+pp fondazioni] {SEISMIC 1+}	-0,8966	-0,0742	-0,2168	-0,0007	-0,1260	-0,0663
243	TxMin	[1,3*pp+perm+pp fondazioni] {1,5*neve} (1,5*0,6*vento)	-2,6923	-0,1051	-0,9357	-0,0064	-0,3283	-0,1010
243	MyMax	[1,3*pp+perm+1,3*pp fondazioni] {1,5*neve} (1,5*0,6*vento)	-2,6923	-0,1051	2,0918	-0,0064	0,7844	0,1013

243	MyMin	[1,3*pp+perm+1,3*pp fondazioni] {1,5*neve} (1,5*0,6*vento)	-2,6923	-0,1051	-0,0275	-0,0064	-0,6064	-0,0403
243	MzMax	[1,3*pp+perm+1,3*pp fondazioni] {1,5*neve} (1,5*0,6*vento)	-2,6923	-0,1051	2,0918	-0,0064	0,7844	0,1013
243	MzMin	[1,3*pp+perm+1,3*pp fondazioni] {1,5*neve} (1,5*0,6*vento)	-2,6923	-0,1051	-0,9357	-0,0064	-0,3283	-0,1010
244	NxMax	[pp+perm+pp fondazioni] {SEISMIC 1+}	-0,4700	-0,0655	-0,5860	-0,0010	-0,0607	-0,0429
244	NxMin	[1,3*pp+perm+1,3*pp fondazioni] {1,5*neve} (1,5*0,6*vento)	-3,4602	-0,0661	-2,6352	-0,0055	-0,0026	0,0026
244	VyMax	[pp+perm+pp fondazioni] {SEISMIC 1+}	-1,2639	0,0309	-0,5860	-0,0010	-0,0607	-0,0429
244	VyMin	[1,3*pp+perm+1,3*pp fondazioni] {1,5*neve} (1,5*0,6*vento)	-3,4602	-0,0661	-2,6352	-0,0055	-0,0026	0,0026
244	VzMax	[1,3*pp+perm+1,3*pp fondazioni] {1,5*neve} (1,5*0,6*vento)	-3,4602	-0,0661	3,8493	-0,0055	1,1660	0,1299
244	VzMin	[1,3*pp+perm+pp fondazioni] {1,5*neve} (1,5*0,6*vento)	-3,4602	-0,0661	-2,6352	-0,0055	-0,0026	0,0026
244	TxMax	[pp+perm+pp fondazioni] {SEISMIC 1+}	-1,2639	-0,0655	-0,5860	-0,0004	-0,0607	-0,0429
244	TxMin	[1,3*pp+perm+pp fondazioni] {1,5*neve} (1,5*0,6*vento)	-3,4602	-0,0661	-2,6352	-0,0055	-0,0026	0,0026
244	MyMax	[1,3*pp+perm+1,3*pp fondazioni] {1,5*neve} (1,5*0,6*vento)	-3,4602	-0,0661	3,8493	-0,0055	1,1660	0,1299
244	MyMin	[1,3*pp+perm+1,3*pp fondazioni] {1,5*neve} (1,5*0,6*vento)	-3,4602	-0,0661	-0,0414	-0,0055	-1,0331	0,0535
244	MzMax	[1,3*pp+perm+1,3*pp fondazioni] {1,5*neve} (1,5*0,6*vento)	-3,4602	-0,0661	3,8493	-0,0055	1,1660	0,1299
244	MzMin	[pp+perm+pp fondazioni] {SEISMIC 1-}	-1,2639	-0,0655	-0,5860	-0,0010	-0,0607	-0,0429
245	NxMax	[pp+perm+pp fondazioni] {SEISMIC 1+}	-0,2262	-0,0949	-0,7043	-0,0010	-0,0633	-0,0561
245	NxMin	[1,3*pp+perm+1,3*pp fondazioni] {1,5*neve} (1,5*0,6*vento)	-1,4219	-0,1460	-3,0859	-0,0040	-0,0040	-0,0129
245	VyMax	[pp+perm+pp fondazioni] {SEISMIC 1+}	-0,4644	0,0192	-0,7043	-0,0010	-0,0633	-0,0561
245	VyMin	[1,3*pp+perm+pp fondazioni] {1,5*neve} (1,5*0,6*vento)	-1,4219	-0,1460	-3,0859	-0,0040	-0,0040	-0,0129
245	VzMax	[1,3*pp+perm+1,3*pp fondazioni] {1,5*neve} (1,5*0,6*vento)	-1,4219	-0,1460	3,9312	-0,0040	0,8095	0,2681
245	VzMin	[1,3*pp+perm+pp fondazioni] {1,5*neve} (1,5*0,6*vento)	-1,4219	-0,1460	-3,0859	-0,0040	-0,0040	-0,0129
245	TxMax	[pp+perm+pp fondazioni] {SEISMIC 1+}	-0,4644	-0,0949	-0,7043	-0,0006	-0,0633	-0,0561
245	TxMin	[1,3*pp+perm+pp fondazioni] {1,5*neve} (1,5*0,6*vento)	-1,4219	-0,1460	-3,0859	-0,0040	-0,0040	-0,0129
245	MyMax	[1,3*pp+perm+1,3*pp fondazioni] {1,5*neve} (1,5*0,6*vento)	-1,4219	-0,1460	3,9312	-0,0040	0,8095	0,2681
245	MyMin	[1,3*pp+perm+1,3*pp fondazioni] {1,5*neve} (1,5*0,6*vento)	-1,4219	-0,1460	-0,2791	-0,0040	-1,2996	0,0995
245	MzMax	[1,3*pp+perm+1,3*pp fondazioni] {1,5*neve} (1,5*0,6*vento)	-1,4219	-0,1460	3,9312	-0,0040	0,8095	0,2681
245	MzMin	[pp+perm+pp fondazioni] {SEISMIC 1-}	-0,4644	-0,0949	-0,7043	-0,0010	-0,0633	-0,0561
246	NxMax	[1,3*pp+perm+pp fondazioni] {1,5*neve} (1,5*0,6*vento)	1,1828	-0,1517	-3,2361	0,0000	0,0601	-0,0274
246	NxMin	[pp+perm+pp fondazioni] {SEISMIC 1-}	0,2217	-0,0847	-0,7600	-0,0004	-0,0606	-0,0499
246	VyMax	[pp+perm+pp fondazioni] {SEISMIC 1+}	0,3946	0,0068	-0,7600	-0,0004	-0,0606	-0,0499
246	VyMin	[1,3*pp+perm+pp fondazioni] {1,5*neve} (1,5*0,6*vento)	1,1828	-0,1517	-3,2361	0,0000	0,0601	-0,0274
246	VzMax	[1,3*pp+perm+pp fondazioni] {1,5*neve} (1,5*0,6*vento)	1,1828	-0,1517	3,7810	0,0000	0,5846	0,2646
246	VzMin	[1,3*pp+perm+1,3*pp fondazioni] {1,5*neve} (1,5*0,6*vento)	1,1828	-0,1517	-3,2361	0,0000	0,0601	-0,0274
246	TxMax	[pp+perm+1,3*pp fondazioni] {1,5*neve} (1,5*0,6*vento)	1,0904	-0,1400	-3,0230	0,0000	0,0669	-0,0248
246	TxMin	[pp+perm+pp fondazioni] {SEISMIC 1-}	0,3946	-0,0847	-0,7600	-0,0004	-0,0606	-0,0499
246	MyMax	[1,3*pp+perm+pp fondazioni] {1,5*neve} (1,5*0,6*vento)	1,1828	-0,1517	3,7810	0,0000	0,5846	0,2646
246	MyMin	[1,3*pp+perm+1,3*pp fondazioni] {1,5*neve} (1,5*0,6*vento)	1,1828	-0,1517	0,2725	0,0000	-1,3661	0,1186
246	MzMax	[1,3*pp+perm+pp fondazioni] {1,5*neve} (1,5*0,6*vento)	1,1828	-0,1517	3,7810	0,0000	0,5846	0,2646
246	MzMin	[pp+perm+pp fondazioni] {SEISMIC 1-}	0,3946	-0,0847	-0,7600	-0,0004	-0,0606	-0,0499
247	NxMax	[pp+perm+pp fondazioni] {SEISMIC 1+}	-0,3971	-0,0243	-0,3103	-0,0004	-0,2257	0,0248
247	NxMin	[1,3*pp+perm+1,3*pp fondazioni] {1,5*neve} (1,5*0,6*vento)	-1,6816	-0,0157	-1,1198	-0,0004	-0,6055	0,0126
247	VyMax	[pp+perm+pp fondazioni] {SEISMIC 1+}	-0,4461	0,0140	-0,3103	-0,0004	-0,2257	0,0248
247	VyMin	[pp+perm+pp fondazioni] {SEISMIC 1-}	-0,4461	-0,0243	-0,3103	-0,0004	-0,2257	0,0248
247	VzMax	[1,3*pp+perm+pp fondazioni] {1,5*neve} (1,5*0,6*vento)	-1,6816	-0,0157	2,4403	-0,0004	0,6655	0,0429
247	VzMin	[1,3*pp+perm+1,3*pp fondazioni] {1,5*neve} (1,5*0,6*vento)	-1,6816	-0,0157	-1,1198	-0,0004	-0,6055	0,0126
247	TxMax	[pp+perm+pp fondazioni] {SEISMIC 1+}	-0,4461	-0,0243	-0,3103	-0,0002	-0,2257	0,0248
247	TxMin	[pp+perm+pp fondazioni] {SEISMIC 1-}	-0,4461	-0,0243	-0,3103	-0,0004	-0,2257	0,0248
247	MyMax	[1,3*pp+perm+pp fondazioni] {1,5*neve} (1,5*0,6*vento)	-1,6816	-0,0157	2,4403	-0,0004	0,6655	0,0429

247	MyMin	[1,3*pp+perm+1,3*pp fondazioni] {1,5*neve} (1,5*0,6*vento)	-1,6816	-0,0157	-0,0518	-0,0004	-0,9438	0,0217
247	MzMax	[1,3*pp+perm+pp fondazioni] {1,5*neve} (1,5*0,6*vento)	-1,6816	-0,0157	2,4403	-0,0004	0,6655	0,0429
247	MzMin	[pp+perm+pp fondazioni] {SEISMIC 1-}	-0,4461	-0,0243	-0,3103	-0,0004	-0,2257	-0,0210
248	NxMax	[1,3*pp+perm+pp fondazioni] {1,5*neve} (1,5*0,6*vento)	1,2537	0,2478	-3,0709	0,1990	1,3074	0,3560
248	NxMin	[pp+perm+pp fondazioni] {SEISMIC 1-}	0,1411	-0,2595	-0,8089	0,0876	0,2325	0,2130
248	VyMax	[pp+perm+1,3*pp fondazioni] {1,5*neve} (1,5*0,6*vento)	1,1579	0,2877	-2,8398	0,1842	1,2059	0,3440
248	VyMin	[pp+perm+pp fondazioni] {SEISMIC 1-}	0,4904	-0,2595	-0,8298	0,0876	0,3663	0,1999
248	VzMax	[pp+perm+pp fondazioni] {SEISMIC 1+}	0,4827	-0,2595	-0,6901	0,0876	0,2325	0,2130
248	VzMin	[1,3*pp+perm+1,3*pp fondazioni] {1,5*neve} (1,5*0,6*vento)	1,2537	0,2478	-3,0709	0,1990	1,3074	0,3560
248	TxMax	[1,3*pp+perm+1,3*pp fondazioni] {1,5*neve} (1,5*0,6*vento)	1,2537	0,2478	-3,0709	0,1990	1,3074	0,3560
248	TxMin	[pp+perm+pp fondazioni] {SEISMIC 1-}	0,4904	-0,2595	-0,8298	0,0109	0,3663	0,1999
248	MyMax	[1,3*pp+perm+1,3*pp fondazioni] {1,5*neve} (1,5*0,6*vento)	1,2537	0,2478	-3,0709	0,1990	1,3074	0,3560
248	MyMin	[pp+perm+pp fondazioni] {SEISMIC 1-}	0,4827	-0,2595	-0,8089	0,0876	0,1877	0,2130
248	MzMax	[1,3*pp+perm+1,3*pp fondazioni] {1,5*neve} (1,5*0,6*vento)	1,2537	0,2478	-3,0709	0,1990	1,3074	0,3560
248	MzMin	[pp+perm+pp fondazioni] {SEISMIC 1-}	0,4904	-0,2595	-0,8298	0,0876	0,3663	-0,1202
249	NxMax	[1,3*pp+perm+pp fondazioni] {1,5*neve} (1,5*0,6*vento)	0,4521	0,1659	-1,0094	0,0067	0,7911	0,1996
249	NxMin	[pp+perm+pp fondazioni] {SEISMIC 1-}	0,0270	0,0978	-0,2163	-0,0108	0,0115	0,0642
249	VyMax	[1,3*pp+perm+pp fondazioni] {1,5*neve} (1,5*0,6*vento)	0,4521	0,1659	-1,0094	0,0067	0,7911	0,1996
249	VyMin	[pp+perm+pp fondazioni] {SEISMIC 1-}	0,2023	-0,0638	-0,3192	-0,0108	0,2257	0,1321
249	VzMax	[pp+perm+pp fondazioni] {SEISMIC 1+}	0,1644	0,0978	-0,1801	-0,0108	0,0115	0,0642
249	VzMin	[1,3*pp+perm+1,3*pp fondazioni] {1,5*neve} (1,5*0,6*vento)	0,4521	0,1659	-1,0094	0,0067	0,7911	0,1996
249	TxMax	[pp+perm+pp fondazioni] {1,5*neve} (1,5*0,6*vento)	0,4120	0,1608	-0,9190	0,0073	0,7282	0,1906
249	TxMin	[pp+perm+pp fondazioni] {SEISMIC 1-}	0,2023	0,0978	-0,3192	-0,0108	0,2257	0,1321
249	MyMax	[1,3*pp+perm+1,3*pp fondazioni] {1,5*neve} (1,5*0,6*vento)	0,4521	0,1659	-1,0094	0,0067	0,7911	0,1996
249	MyMin	[pp+perm+pp fondazioni] {SEISMIC 1-}	0,1644	0,0978	-0,2163	-0,0108	-0,0068	0,0642
249	MzMax	[1,3*pp+perm+pp fondazioni] {1,5*neve} (1,5*0,6*vento)	0,4521	0,1659	-1,0094	0,0067	0,7911	0,1996
249	MzMin	[pp+perm+pp fondazioni] {SEISMIC 1-}	0,2023	0,0978	-0,3192	-0,0108	0,2257	-0,0715
252	NxMax	[pp+perm+pp fondazioni] {SEISMIC 1+}	-3,2496	-0,5811	0,5942	-0,0722	-0,3808	-0,0365
252	NxMin	[1,3*pp+perm+1,3*pp fondazioni] {1,5*neve} (1,5*0,6*vento)	-13,4160	-0,8929	2,7045	-0,2748	1,2155	0,6273
252	VyMax	[pp+perm+pp fondazioni] {SEISMIC 1+}	-4,2955	0,2638	0,5942	-0,0722	-0,3808	-0,0365
252	VyMin	[1,3*pp+perm+pp fondazioni] {1,5*neve} (1,5*0,6*vento)	-13,3679	-0,8929	2,5738	-0,2748	-0,9249	-0,0969
252	VzMax	[1,3*pp+perm+pp fondazioni] {1,5*neve} (1,5*0,6*vento)	-13,4160	-0,8929	2,7045	-0,2748	1,2155	0,6273
252	VzMin	[pp+perm+pp fondazioni] {SEISMIC 1-}	-4,2955	-0,5811	0,4943	-0,0722	-0,3808	-0,0365
252	TxMax	[pp+perm+pp fondazioni] {SEISMIC 1+}	-4,2955	-0,5811	0,5942	-0,0550	-0,3808	-0,0365
252	TxMin	[1,3*pp+perm+pp fondazioni] {1,5*neve} (1,5*0,6*vento)	-13,3679	-0,8929	2,5738	-0,2748	-0,9249	-0,0969
252	MyMax	[1,3*pp+perm+pp fondazioni] {1,5*neve} (1,5*0,6*vento)	-13,4160	-0,8929	2,7045	-0,2748	1,2155	0,6273
252	MyMin	[1,3*pp+perm+pp fondazioni] {1,5*neve} (1,5*0,6*vento)	-13,3679	-0,8929	2,5738	-0,2748	-0,9249	-0,0969
252	MzMax	[1,3*pp+perm+pp fondazioni] {1,5*neve} (1,5*0,6*vento)	-13,4160	-0,8929	2,7045	-0,2748	1,2155	0,6273
252	MzMin	[pp+perm+pp fondazioni] {SEISMIC 1-}	-4,3325	-0,5811	0,6947	-0,0722	0,1797	-0,2110
255	NxMax	[pp+perm+pp fondazioni] {SEISMIC 1+}	-3,1205	-0,4169	-0,1171	-0,0390	-0,3476	-0,3337
255	NxMin	[1,3*pp+perm+1,3*pp fondazioni] {1,5*neve} (1,5*0,6*vento)	-12,4951	-0,4373	0,2643	-0,1204	-0,9333	0,0326
255	VyMax	[pp+perm+pp fondazioni] {SEISMIC 1+}	-3,9431	0,1981	-0,1171	-0,0390	-0,3476	-0,3337
255	VyMin	[1,3*pp+perm+pp fondazioni] {1,5*neve} (1,5*0,6*vento)	-12,4370	-0,4373	0,1064	-0,1204	-1,1150	-0,3959
255	VzMax	[1,3*pp+perm+pp fondazioni] {1,5*neve} (1,5*0,6*vento)	-12,4951	-0,4373	0,2643	-0,1204	-0,9333	0,0326
255	VzMin	[1,3*pp+perm+1,3*pp fondazioni]	-4,5913	-0,1422	-0,1259	-0,0368	-0,3909	-0,1137
255	TxMax	[pp+perm+pp fondazioni] {SEISMIC 1+}	-3,9431	-0,4169	-0,1171	-0,0176	-0,3476	-0,3337
255	TxMin	[1,3*pp+perm+pp fondazioni] {1,5*neve} (1,5*0,6*vento)	-12,4370	-0,4373	0,1064	-0,1204	-1,1150	-0,3959
255	MyMax	[pp+perm+pp fondazioni] {SEISMIC 1+}	-3,9431	-0,4169	-0,1171	-0,0390	-0,2539	-0,3337

255	MyMin	[1,3*pp+perm+pp fondazioni] {1,5*neve} (1,5*0,6*vento)	-12,4370	-0,4373	0,1064	-0,1204	-1,1150	-0,3959
255	MzMax	[pp+perm+pp fondazioni] {SEISMIC 1+}	-3,9431	-0,4169	-0,1171	-0,0390	-0,3476	0,1589
255	MzMin	[1,3*pp+perm+pp fondazioni] {1,5*neve} (1,5*0,6*vento)	-12,4370	-0,4373	0,1064	-0,1204	-1,1150	-0,3959
258	NxMax	[pp+perm+pp fondazioni] {SEISMIC 1+}	-2,9286	0,0648	-1,3125	0,1695	0,5571	-0,4759
258	NxMin	[1,3*pp+perm+1,3*pp fondazioni] {1,5*neve} (1,5*0,6*vento)	-11,0794	0,0631	-4,1547	0,3425	1,2041	-0,9788
258	VyMax	[pp+perm+pp fondazioni] {SEISMIC 1+}	-3,4422	0,0648	-1,3125	0,1695	0,5571	-0,4759
258	VyMin	[pp+perm+pp fondazioni] {SEISMIC 1-}	-3,4422	-0,0315	-1,3125	0,1695	0,5571	-0,4759
258	VzMax	[pp+perm+pp fondazioni] {SEISMIC 1+}	-3,4478	0,0648	-1,0663	0,1695	0,4029	-0,4789
258	VzMin	[1,3*pp+perm+1,3*pp fondazioni] {1,5*neve} (1,5*0,6*vento)	-11,0722	0,0631	-4,1744	0,3425	1,7133	-0,9711
258	TxMax	[1,3*pp+perm+pp fondazioni] {1,5*neve} (1,5*0,6*vento)	-11,0722	0,0631	-4,1744	0,3425	1,7133	-0,9711
258	TxMin	[pp+perm+pp fondazioni] {SEISMIC 1-}	-3,4422	0,0648	-1,3125	-0,0059	0,5571	-0,4759
258	MyMax	[1,3*pp+perm+1,3*pp fondazioni] {1,5*neve} (1,5*0,6*vento)	-11,0722	0,0631	-4,1744	0,3425	1,7133	-0,9711
258	MyMin	[pp+perm+pp fondazioni] {SEISMIC 1-}	-3,4478	0,0648	-1,2973	0,1695	0,3780	-0,4789
258	MzMax	[pp+perm+pp fondazioni] {SEISMIC 1+}	-3,4422	0,0648	-1,3125	0,1695	0,5571	0,0027
258	MzMin	[1,3*pp+perm+1,3*pp fondazioni] {1,5*neve} (1,5*0,6*vento)	-11,0794	0,0631	-4,1547	0,3425	1,2041	-0,9788
259	NxMax	[pp+perm+pp fondazioni] {SEISMIC 1+}	-2,9805	-0,2802	-0,8355	0,0557	0,4067	-0,5087
259	NxMin	[1,3*pp+perm+pp fondazioni] {1,5*neve} (1,5*0,6*vento)	-11,5744	-0,7553	-2,3233	0,1271	-1,1236	-0,2472
259	VyMax	[pp+perm+pp fondazioni] {SEISMIC 1+}	-3,6041	-0,0985	-0,8355	0,0557	0,4067	-0,5087
259	VyMin	[1,3*pp+perm+1,3*pp fondazioni] {1,5*neve} (1,5*0,6*vento)	-11,5162	-0,7553	-2,4812	0,1271	1,2305	-0,9874
259	VzMax	[pp+perm+pp fondazioni] {SEISMIC 1+}	-3,6488	-0,2802	-0,5955	0,0557	-0,3604	-0,2519
259	VzMin	[1,3*pp+perm+1,3*pp fondazioni] {1,5*neve} (1,5*0,6*vento)	-11,5162	-0,7553	-2,4812	0,1271	1,2305	-0,9874
259	TxMax	[1,3*pp+perm+pp fondazioni] {1,5*neve} (1,5*0,6*vento)	-11,5162	-0,7553	-2,4812	0,1271	1,2305	-0,9874
259	TxMin	[pp+perm+pp fondazioni] {SEISMIC 1-}	-3,6041	-0,2802	-0,8355	0,0012	0,4067	-0,5087
259	MyMax	[1,3*pp+perm+1,3*pp fondazioni] {1,5*neve} (1,5*0,6*vento)	-11,5162	-0,7553	-2,4812	0,1271	1,2305	-0,9874
259	MyMin	[1,3*pp+perm+1,3*pp fondazioni] {1,5*neve} (1,5*0,6*vento)	-11,5744	-0,7553	-2,3233	0,1271	-1,1236	-0,2472
259	MzMax	[pp+perm+pp fondazioni] {SEISMIC 1+}	-3,6488	-0,2802	-0,7141	0,0557	-0,3604	0,1443
259	MzMin	[1,3*pp+perm+1,3*pp fondazioni] {1,5*neve} (1,5*0,6*vento)	-11,5162	-0,7553	-2,4812	0,1271	1,2305	-0,9874
262	NxMax	[1,3*pp+perm+pp fondazioni] {1,5*neve} (1,5*0,6*vento)	2,7639	0,5283	-7,9333	-0,1105	3,4679	0,2278
262	NxMin	[pp+perm+pp fondazioni] {SEISMIC 1-}	0,4704	0,7388	-1,9968	-0,0723	0,5520	0,2209
262	VyMax	[pp+perm+pp fondazioni] {SEISMIC 1+}	0,8513	0,7388	-2,0177	-0,0723	0,8849	0,3432
262	VyMin	[pp+perm+pp fondazioni] {SEISMIC 1-}	0,8513	-0,4612	-2,0177	-0,0723	0,8849	0,3432
262	VzMax	[pp+perm+pp fondazioni] {SEISMIC 1+}	0,8436	0,7388	-1,8224	-0,0723	0,5520	0,2209
262	VzMin	[1,3*pp+perm+1,3*pp fondazioni] {1,5*neve} (1,5*0,6*vento)	2,7639	0,5283	-7,9333	-0,1105	3,4679	0,2278
262	TxMax	[pp+perm+pp fondazioni] {SEISMIC 1+}	0,8513	0,7388	-2,0177	0,0071	0,8849	0,3432
262	TxMin	[1,3*pp+perm+1,3*pp fondazioni] {1,5*neve} (1,5*0,6*vento)	2,7639	0,5283	-7,9333	-0,1105	3,4679	0,2278
262	MyMax	[1,3*pp+perm+1,3*pp fondazioni] {1,5*neve} (1,5*0,6*vento)	2,7639	0,5283	-7,9333	-0,1105	3,4679	0,2278
262	MyMin	[pp+perm+pp fondazioni] {SEISMIC 1-}	0,8436	0,7388	-1,9968	-0,0723	0,5309	0,2209
262	MzMax	[pp+perm+pp fondazioni] {SEISMIC 1+}	0,8513	0,7388	-2,0177	-0,0723	0,8849	0,3432
262	MzMin	[pp+perm+pp fondazioni] {SEISMIC 1-}	0,8513	0,7388	-2,0177	-0,0723	0,8849	-0,2365
263	NxMax	[1,3*pp+perm+pp fondazioni] {1,5*neve} (1,5*0,6*vento)	0,8352	0,1942	-2,6221	-0,0328	2,1192	0,1446
263	NxMin	[pp+perm+pp fondazioni] {SEISMIC 1-}	0,1319	0,1464	-0,6326	-0,0324	-0,0084	-0,0666
263	VyMax	[1,3*pp+perm+1,3*pp fondazioni] {1,5*neve} (1,5*0,6*vento)	0,8352	0,1942	-2,6221	-0,0328	2,1192	0,1446
263	VyMin	[pp+perm+pp fondazioni] {SEISMIC 1-}	0,2745	-0,0584	-0,7355	-0,0324	0,5599	0,1694
263	VzMax	[pp+perm+pp fondazioni] {SEISMIC 1+}	0,2366	0,1464	-0,5650	-0,0324	-0,0084	-0,0666
263	VzMin	[1,3*pp+perm+1,3*pp fondazioni] {1,5*neve} (1,5*0,6*vento)	0,8352	0,1942	-2,6221	-0,0328	2,1192	0,1446
263	TxMax	[pp+perm+pp fondazioni] {SEISMIC 1+}	0,2745	0,1464	-0,7355	0,0153	0,5599	0,1694
263	TxMin	[1,3*pp+perm+1,3*pp fondazioni] {1,5*neve} (1,5*0,6*vento)	0,8352	0,1942	-2,6221	-0,0328	2,1192	0,1446
263	MyMax	[1,3*pp+perm+1,3*pp fondazioni] {1,5*neve} (1,5*0,6*vento)	0,8352	0,1942	-2,6221	-0,0328	2,1192	0,1446

263	MyMin	[pp+perm+pp fondazioni] {SEISMIC 1-}	0,2366	0,1464	-0,6326	-0,0324	-0,0084	-0,0666
263	MzMax	[pp+perm+pp fondazioni] {SEISMIC 1+}	0,2745	0,1464	-0,7355	-0,0324	0,5599	0,1694
263	MzMin	[pp+perm+pp fondazioni] {SEISMIC 1-}	0,2745	0,1464	-0,7355	-0,0324	0,5599	-0,1043
266	NxMax	[pp+perm+pp fondazioni] {SEISMIC 1+}	-5,2237	-0,6055	1,3779	0,0355	-0,5753	0,0718
266	NxMin	[1,3*pp+perm+1,3*pp fondazioni] {1,5*neve} (1,5*0,6*vento)	-22,8188	-0,0896	6,3303	0,0347	3,3978	0,1101
266	VyMax	[pp+perm+pp fondazioni] {SEISMIC 1+}	-6,0882	0,5888	1,3779	0,0355	-0,5753	0,0718
266	VyMin	[pp+perm+pp fondazioni] {SEISMIC 1-}	-6,0882	-0,6055	1,3779	0,0355	-0,5753	0,0718
266	VzMax	[1,3*pp+perm+pp fondazioni] {1,5*neve} (1,5*0,6*vento)	-22,8188	-0,0896	6,3303	0,0347	3,3978	0,1101
266	VzMin	[pp+perm+pp fondazioni] {SEISMIC 1-}	-6,0882	-0,6055	1,3492	0,0355	-0,5753	0,0718
266	TxMax	[pp+perm+pp fondazioni] {SEISMIC 1+}	-6,0882	-0,6055	1,3779	0,0355	-0,5753	0,0718
266	TxMin	[pp+perm+pp fondazioni] {SEISMIC 1-}	-6,0882	-0,6055	1,3779	-0,0129	-0,5753	0,0718
266	MyMax	[1,3*pp+perm+pp fondazioni] {1,5*neve} (1,5*0,6*vento)	-22,8188	-0,0896	6,3303	0,0347	3,3978	0,1101
266	MyMin	[1,3*pp+perm+pp fondazioni] {1,5*neve} (1,5*0,6*vento)	-22,7707	-0,0896	6,1996	0,0347	-1,6833	0,0374
266	MzMax	[pp+perm+pp fondazioni] {SEISMIC 1+}	-6,1252	-0,6055	1,4784	0,0355	0,7428	0,4453
266	MzMin	[pp+perm+pp fondazioni] {SEISMIC 1-}	-6,1252	-0,6055	1,4784	0,0355	0,7428	-0,4106
269	NxMax	[pp+perm+pp fondazioni] {SEISMIC 1+}	-4,8737	-0,3474	0,0546	0,0104	-0,6196	-0,2893
269	NxMin	[1,3*pp+perm+1,3*pp fondazioni] {1,5*neve} (1,5*0,6*vento)	-20,7075	-0,1426	0,7206	0,0200	-1,6623	0,0528
269	VyMax	[pp+perm+pp fondazioni] {SEISMIC 1+}	-5,4172	0,2839	0,0546	0,0104	-0,6196	-0,2893
269	VyMin	[pp+perm+pp fondazioni] {SEISMIC 1-}	-5,4172	-0,3474	0,0546	0,0104	-0,6196	-0,2893
269	VzMax	[1,3*pp+perm+pp fondazioni] {1,5*neve} (1,5*0,6*vento)	-20,7075	-0,1426	0,7206	0,0200	-1,6623	0,0528
269	VzMin	[pp+perm+pp fondazioni] {SEISMIC 1-}	-5,4172	-0,3474	-0,0298	0,0104	-0,6196	-0,2893
269	TxMax	[1,3*pp+perm+pp fondazioni] {1,5*neve} (1,5*0,6*vento)	-20,6493	-0,1426	0,5627	0,0200	-2,2911	-0,0869
269	TxMin	[pp+perm+pp fondazioni] {SEISMIC 1-}	-5,4172	-0,3474	0,0546	0,0004	-0,6196	-0,2893
269	MyMax	[pp+perm+pp fondazioni] {SEISMIC 1+}	-5,4620	-0,3474	0,1761	0,0104	-0,3709	0,0668
269	MyMin	[1,3*pp+perm+pp fondazioni] {1,5*neve} (1,5*0,6*vento)	-20,6493	-0,1426	0,5627	0,0200	-2,2911	-0,0869
269	MzMax	[pp+perm+pp fondazioni] {SEISMIC 1+}	-5,4172	-0,3474	0,0546	0,0104	-0,6196	0,2537
269	MzMin	[pp+perm+pp fondazioni] {SEISMIC 1-}	-5,4172	-0,3474	0,0546	0,0104	-0,6196	-0,2893
272	NxMax	[pp+perm+pp fondazioni] {SEISMIC 1+}	-4,3309	-0,0557	-1,7361	-0,1205	0,8592	0,3190
272	NxMin	[1,3*pp+perm+1,3*pp fondazioni] {1,5*neve} (1,5*0,6*vento)	-17,5069	-0,0603	-6,4511	-0,0372	2,4397	0,0808
272	VyMax	[pp+perm+pp fondazioni] {SEISMIC 1+}	-4,4522	0,0204	-1,7361	-0,1205	0,8592	0,3190
272	VyMin	[1,3*pp+perm+pp fondazioni] {1,5*neve} (1,5*0,6*vento)	-17,4996	-0,0603	-6,4708	-0,0372	3,2297	0,0735
272	VzMax	[pp+perm+pp fondazioni] {SEISMIC 1+}	-4,4578	-0,0557	-1,4901	-0,1205	0,6522	0,3204
272	VzMin	[1,3*pp+perm+1,3*pp fondazioni] {1,5*neve} (1,5*0,6*vento)	-17,4996	-0,0603	-6,4708	-0,0372	3,2297	0,0735
272	TxMax	[pp+perm+pp fondazioni] {SEISMIC 1+}	-4,4522	-0,0557	-1,7361	0,0928	0,8592	0,3190
272	TxMin	[pp+perm+pp fondazioni] {SEISMIC 1-}	-4,4522	-0,0557	-1,7361	-0,1205	0,8592	0,3190
272	MyMax	[1,3*pp+perm+1,3*pp fondazioni] {1,5*neve} (1,5*0,6*vento)	-17,4996	-0,0603	-6,4708	-0,0372	3,2297	0,0735
272	MyMin	[pp+perm+pp fondazioni] {SEISMIC 1-}	-4,4578	-0,0557	-1,7209	-0,1205	0,6474	0,3204
272	MzMax	[pp+perm+pp fondazioni] {SEISMIC 1+}	-4,4578	-0,0557	-1,7209	-0,1205	0,6522	0,3204
272	MzMin	[pp+perm+pp fondazioni] {SEISMIC 1-}	-4,4522	-0,0557	-1,7361	-0,1205	0,8592	-0,2631
273	NxMax	[pp+perm+pp fondazioni] {SEISMIC 1+}	-4,5196	0,1978	-1,3549	-0,0344	0,6390	0,3600
273	NxMin	[1,3*pp+perm+pp fondazioni] {1,5*neve} (1,5*0,6*vento)	-18,5658	0,1472	-4,6503	-0,0043	-2,2572	-0,0752
273	VyMax	[pp+perm+pp fondazioni] {SEISMIC 1+}	-4,7426	0,1978	-1,3549	-0,0344	0,6390	0,3600
273	VyMin	[pp+perm+pp fondazioni] {SEISMIC 1-}	-4,7426	-0,1097	-1,3549	-0,0344	0,6390	0,3600
273	VzMax	[pp+perm+pp fondazioni] {SEISMIC 1+}	-4,7874	0,1978	-1,0426	-0,0344	-0,6293	-0,2110
273	VzMin	[1,3*pp+perm+1,3*pp fondazioni] {1,5*neve} (1,5*0,6*vento)	-18,5076	0,1472	-4,8082	-0,0043	2,3774	0,0691
273	TxMax	[pp+perm+pp fondazioni] {SEISMIC 1+}	-4,7426	0,1978	-1,3549	0,0279	0,6390	0,3600
273	TxMin	[pp+perm+pp fondazioni] {SEISMIC 1-}	-4,7426	0,1978	-1,3549	-0,0344	0,6390	0,3600
273	MyMax	[1,3*pp+perm+1,3*pp fondazioni] {1,5*neve} (1,5*0,6*vento)	-18,5076	0,1472	-4,8082	-0,0043	2,3774	0,0691

273	MyMin	[1,3*pp+perm+1,3*pp fondazioni] {1,5*neve} (1,5*0,6*vento)	-18,5658	0,1472	-4,6503	-0,0043	-2,2572	-0,0752
273	MzMax	[pp+perm+pp fondazioni] {SEISMIC 1+}	-4,7426	0,1978	-1,3549	-0,0344	0,6390	0,3600
273	MzMin	[pp+perm+pp fondazioni] {SEISMIC 1-}	-4,7426	0,1978	-1,3549	-0,0344	0,6390	-0,3061
276	NxMax	[1,3*pp+perm+pp fondazioni] {1,5*neve} (1,5*0,6*vento)	4,2953	2,1274	-11,5296	0,2948	5,1852	0,7710
276	NxMin	[pp+perm+pp fondazioni] {SEISMIC 1-}	0,7502	0,6526	-2,8862	0,1661	0,8331	0,3036
276	VyMax	[1,3*pp+perm+1,3*pp fondazioni] {1,5*neve} (1,5*0,6*vento)	4,2953	2,1274	-11,5296	0,2948	5,1852	0,7710
276	VyMin	[pp+perm+pp fondazioni] {SEISMIC 1-}	1,3420	0,5686	-2,9071	0,1661	1,3010	0,4004
276	VzMax	[pp+perm+pp fondazioni] {SEISMIC 1+}	1,3343	0,6526	-2,6947	0,1661	0,8331	0,3036
276	VzMin	[1,3*pp+perm+1,3*pp fondazioni] {1,5*neve} (1,5*0,6*vento)	4,2953	2,1274	-11,5296	0,2948	5,1852	0,7710
276	TxMax	[1,3*pp+perm+pp fondazioni] {1,5*neve} (1,5*0,6*vento)	4,2953	2,1274	-11,5296	0,2948	5,1852	0,7710
276	TxMin	[pp+perm+pp fondazioni] {SEISMIC 1-}	1,3420	0,6526	-2,9071	-0,0039	1,3010	0,4004
276	MyMax	[1,3*pp+perm+1,3*pp fondazioni] {1,5*neve} (1,5*0,6*vento)	4,2953	2,1274	-11,5296	0,2948	5,1852	0,7710
276	MyMin	[pp+perm+pp fondazioni] {SEISMIC 1-}	1,3343	0,6526	-2,8862	0,1661	0,7971	0,3036
276	MzMax	[1,3*pp+perm+1,3*pp fondazioni] {1,5*neve} (1,5*0,6*vento)	4,2953	2,1274	-11,5296	0,2948	5,1852	0,7710
276	MzMin	[pp+perm+pp fondazioni] {SEISMIC 1-}	1,3343	0,6526	-2,8862	0,1661	0,8331	-0,0826
277	NxMax	[1,3*pp+perm+pp fondazioni] {1,5*neve} (1,5*0,6*vento)	1,5632	0,3370	-3,9955	0,1526	3,2562	0,3567
277	NxMin	[pp+perm+pp fondazioni] {SEISMIC 1-}	0,2698	0,1541	-0,9693	0,0648	-0,0152	0,0870
277	VyMax	[1,3*pp+perm+1,3*pp fondazioni] {1,5*neve} (1,5*0,6*vento)	1,5632	0,3370	-3,9955	0,1526	3,2562	0,3567
277	VyMin	[pp+perm+pp fondazioni] {SEISMIC 1-}	0,5077	0,0240	-1,0722	0,0648	0,8328	0,2086
277	VzMax	[pp+perm+pp fondazioni] {SEISMIC 1+}	0,4698	0,1541	-0,9048	0,0648	-0,0152	0,0870
277	VzMin	[1,3*pp+perm+pp fondazioni] {1,5*neve} (1,5*0,6*vento)	1,5632	0,3370	-3,9955	0,1526	3,2562	0,3567
277	TxMax	[1,3*pp+perm+pp fondazioni] {1,5*neve} (1,5*0,6*vento)	1,5632	0,3370	-3,9955	0,1526	3,2562	0,3567
277	TxMin	[pp+perm+pp fondazioni] {SEISMIC 1-}	0,5077	0,1541	-1,0722	0,0206	0,8328	0,2086
277	MyMax	[1,3*pp+perm+pp fondazioni] {1,5*neve} (1,5*0,6*vento)	1,5632	0,3370	-3,9955	0,1526	3,2562	0,3567
277	MyMin	[pp+perm+pp fondazioni] {SEISMIC 1-}	0,4698	0,1541	-0,9693	0,0648	-0,0152	0,0870
277	MzMax	[1,3*pp+perm+1,3*pp fondazioni] {1,5*neve} (1,5*0,6*vento)	1,5632	0,3370	-3,9955	0,1526	3,2562	0,3567
277	MzMin	[pp+perm+pp fondazioni] {SEISMIC 1-}	0,4698	0,1541	-0,9693	0,0648	-0,0152	-0,0437
280	NxMax	[pp+perm+pp fondazioni] {SEISMIC 1+}	-9,8207	-0,6804	2,2260	-0,0604	-0,7285	-0,0801
280	NxMin	[1,3*pp+perm+1,3*pp fondazioni] {1,5*neve} (1,5*0,6*vento)	-41,3082	-0,8303	9,6013	-0,1163	5,4422	0,5248
280	VyMax	[pp+perm+pp fondazioni] {SEISMIC 1+}	-11,0003	0,2172	2,2260	-0,0604	-0,7285	-0,0801
280	VyMin	[1,3*pp+perm+pp fondazioni] {1,5*neve} (1,5*0,6*vento)	-41,2600	-0,8303	9,4706	-0,1163	-2,2918	-0,1485
280	VzMax	[1,3*pp+perm+pp fondazioni] {1,5*neve} (1,5*0,6*vento)	-41,3082	-0,8303	9,6013	-0,1163	5,4422	0,5248
280	VzMin	[pp+perm+pp fondazioni] {SEISMIC 1-}	-11,0003	-0,6804	2,1398	-0,0604	-0,7285	-0,0801
280	TxMax	[pp+perm+pp fondazioni] {SEISMIC 1+}	-11,0003	-0,6804	2,2260	-0,0050	-0,7285	-0,0801
280	TxMin	[1,3*pp+perm+pp fondazioni] {1,5*neve} (1,5*0,6*vento)	-41,2600	-0,8303	9,4706	-0,1163	-2,2918	-0,1485
280	MyMax	[1,3*pp+perm+pp fondazioni] {1,5*neve} (1,5*0,6*vento)	-41,3082	-0,8303	9,6013	-0,1163	5,4422	0,5248
280	MyMin	[1,3*pp+perm+pp fondazioni] {1,5*neve} (1,5*0,6*vento)	-41,2600	-0,8303	9,4706	-0,1163	-2,2918	-0,1485
280	MzMax	[1,3*pp+perm+pp fondazioni] {1,5*neve} (1,5*0,6*vento)	-41,3082	-0,8303	9,6013	-0,1163	5,4422	0,5248
280	MzMin	[pp+perm+pp fondazioni] {SEISMIC 1-}	-11,0373	-0,6804	2,3265	-0,0604	1,2292	-0,1930
283	NxMax	[pp+perm+pp fondazioni] {SEISMIC 1+}	-9,3052	-0,3687	0,2062	-0,0099	-0,9510	-0,3042
283	NxMin	[1,3*pp+perm+pp fondazioni] {1,5*neve} (1,5*0,6*vento)	-38,3149	-0,1152	1,3437	-0,0112	-2,2968	-0,0244
283	VyMax	[pp+perm+pp fondazioni] {SEISMIC 1+}	-10,0565	0,3139	0,2062	-0,0099	-0,9510	-0,3042
283	VyMin	[pp+perm+pp fondazioni] {SEISMIC 1-}	-10,0565	-0,3687	0,2062	-0,0099	-0,9510	-0,3042
283	VzMax	[1,3*pp+perm+pp fondazioni] {1,5*neve} (1,5*0,6*vento)	-38,3149	-0,1152	1,3437	-0,0112	-2,2968	-0,0244
283	VzMin	[pp+perm+pp fondazioni] {SEISMIC 1-}	-10,0565	-0,3687	0,1340	-0,0099	-0,9510	-0,3042
283	TxMax	[pp+perm+pp fondazioni] {SEISMIC 1+}	-10,0565	-0,3687	0,2062	0,0027	-0,9510	-0,3042
283	TxMin	[1,3*pp+perm+pp fondazioni] {1,5*neve} (1,5*0,6*vento)	-38,2568	-0,1152	1,1858	-0,0112	-3,5363	-0,1372
283	MyMax	[pp+perm+pp fondazioni] {SEISMIC 1+}	-10,1013	-0,3687	0,3277	-0,0099	-0,5254	-0,0853

283	MyMin	[1,3*pp+perm+pp fondazioni] {1,5*neve} (1,5*0,6*vento)	-38,2568	-0,1152	1,1858	-0,0112	-3,5363	-0,1372
283	MzMax	[pp+perm+pp fondazioni] {SEISMIC 1+}	-10,0565	-0,3687	0,2062	-0,0099	-0,9510	0,2287
283	MzMin	[pp+perm+pp fondazioni] {SEISMIC 1-}	-10,0565	-0,3687	0,2062	-0,0099	-0,9510	-0,3042
286	NxMax	[pp+perm+pp fondazioni] {SEISMIC 1+}	-8,5018	-0,0893	-3,3707	0,1447	1,2866	-0,3732
286	NxMin	[1,3*pp+perm+1,3*pp fondazioni] {1,5*neve} (1,5*0,6*vento)	-33,5980	-0,2073	-12,5877	0,1321	3,3810	-0,2524
286	VyMax	[pp+perm+pp fondazioni] {SEISMIC 1+}	-8,5934	-0,0253	-3,3707	0,1447	1,2866	-0,3732
286	VyMin	[1,3*pp+perm+pp fondazioni] {1,5*neve} (1,5*0,6*vento)	-33,5908	-0,2073	-12,6074	0,1321	4,9214	-0,2777
286	VzMax	[pp+perm+pp fondazioni] {SEISMIC 1+}	-8,5990	-0,0893	-3,0240	0,1447	0,9050	-0,3644
286	VzMin	[1,3*pp+perm+pp fondazioni] {1,5*neve} (1,5*0,6*vento)	-33,5908	-0,2073	-12,6074	0,1321	4,9214	-0,2777
286	TxMax	[pp+perm+pp fondazioni] {SEISMIC 1+}	-8,5934	-0,0893	-3,3707	0,1447	1,2866	-0,3732
286	TxMin	[pp+perm+pp fondazioni] {SEISMIC 1-}	-8,5934	-0,0893	-3,3707	-0,0758	1,2866	-0,3732
286	MyMax	[1,3*pp+perm+pp fondazioni] {1,5*neve} (1,5*0,6*vento)	-33,5908	-0,2073	-12,6074	0,1321	4,9214	-0,2777
286	MyMin	[pp+perm+pp fondazioni] {SEISMIC 1-}	-8,5990	-0,0893	-3,3555	0,1447	0,8737	-0,3644
286	MzMax	[pp+perm+pp fondazioni] {SEISMIC 1+}	-8,5990	-0,0893	-3,3555	0,1447	0,9050	0,2338
286	MzMin	[pp+perm+pp fondazioni] {SEISMIC 1-}	-8,5934	-0,0893	-3,3707	0,1447	1,2866	-0,3732
287	NxMax	[pp+perm+pp fondazioni] {SEISMIC 1+}	-8,8025	-0,2661	-1,9886	0,0562	0,9039	-0,4403
287	NxMin	[1,3*pp+perm+1,3*pp fondazioni] {1,5*neve} (1,5*0,6*vento)	-35,3531	-0,3769	-7,0498	0,0761	-3,5607	0,0061
287	VyMax	[pp+perm+pp fondazioni] {SEISMIC 1+}	-9,1224	0,0668	-1,9886	0,0562	0,9039	-0,4403
287	VyMin	[1,3*pp+perm+pp fondazioni] {1,5*neve} (1,5*0,6*vento)	-35,2949	-0,3769	-7,2077	0,0761	3,4256	-0,3632
287	VzMax	[pp+perm+pp fondazioni] {SEISMIC 1+}	-9,1672	-0,2661	-1,6355	0,0562	-0,9864	0,1908
287	VzMin	[1,3*pp+perm+1,3*pp fondazioni] {1,5*neve} (1,5*0,6*vento)	-35,2949	-0,3769	-7,2077	0,0761	3,4256	-0,3632
287	TxMax	[1,3*pp+perm+pp fondazioni] {1,5*neve} (1,5*0,6*vento)	-35,2949	-0,3769	-7,2077	0,0761	3,4256	-0,3632
287	TxMin	[pp+perm+pp fondazioni] {SEISMIC 1-}	-9,1224	-0,2661	-1,9886	-0,0157	0,9039	-0,4403
287	MyMax	[1,3*pp+perm+1,3*pp fondazioni] {1,5*neve} (1,5*0,6*vento)	-35,2949	-0,3769	-7,2077	0,0761	3,4256	-0,3632
287	MyMin	[1,3*pp+perm+1,3*pp fondazioni] {1,5*neve} (1,5*0,6*vento)	-35,3531	-0,3769	-7,0498	0,0761	-3,5607	0,0061
287	MzMax	[pp+perm+pp fondazioni] {SEISMIC 1+}	-9,1224	-0,2661	-1,9886	0,0562	0,9039	0,2484
287	MzMin	[pp+perm+pp fondazioni] {SEISMIC 1-}	-9,1224	-0,2661	-1,9886	0,0562	0,9039	-0,4403
290	NxMax	[1,3*pp+perm+pp fondazioni] {1,5*neve} (1,5*0,6*vento)	1,7698	-0,9408	-4,8013	-0,0439	1,7384	-0,1249
290	NxMin	[pp+perm+pp fondazioni] {SEISMIC 1-}	0,2310	-1,0991	-1,1056	-0,0506	0,2206	0,2054
290	VyMax	[pp+perm+pp fondazioni] {SEISMIC 1+}	0,5419	0,7350	-1,1265	-0,0506	0,3936	-0,3604
290	VyMin	[pp+perm+pp fondazioni] {SEISMIC 1-}	0,5419	-1,0991	-1,1265	-0,0506	0,3936	-0,3604
290	VzMax	[pp+perm+pp fondazioni] {SEISMIC 1+}	0,5342	-1,0991	-0,9598	-0,0506	0,2206	0,2054
290	VzMin	[1,3*pp+perm+1,3*pp fondazioni] {1,5*neve} (1,5*0,6*vento)	1,7698	-0,9408	-4,8013	-0,0439	1,7384	-0,1249
290	TxMax	[pp+perm+pp fondazioni] {SEISMIC 1+}	0,5419	-1,0991	-1,1265	0,0274	0,3936	-0,3604
290	TxMin	[pp+perm+pp fondazioni] {SEISMIC 1-}	0,5419	-1,0991	-1,1265	-0,0506	0,3936	-0,3604
290	MyMax	[1,3*pp+perm+1,3*pp fondazioni] {1,5*neve} (1,5*0,6*vento)	1,7698	-0,9408	-4,8013	-0,0439	1,7384	-0,1249
290	MyMin	[pp+perm+pp fondazioni] {SEISMIC 1-}	0,5342	-1,0991	-1,1056	-0,0506	0,2012	0,2054
290	MzMax	[pp+perm+pp fondazioni] {SEISMIC 1+}	0,5419	-1,0991	-1,1265	-0,0506	0,3936	0,3242
290	MzMin	[pp+perm+pp fondazioni] {SEISMIC 1-}	0,5419	-1,0991	-1,1265	-0,0506	0,3936	-0,3604
291	NxMax	[1,3*pp+perm+pp fondazioni] {1,5*neve} (1,5*0,6*vento)	0,3426	0,0624	-1,1570	-0,0419	0,9127	0,0248
291	NxMin	[pp+perm+pp fondazioni] {SEISMIC 1-}	0,0161	0,1381	-0,2123	-0,0422	0,0073	-0,0700
291	VyMax	[pp+perm+pp fondazioni] {SEISMIC 1+}	0,1245	0,1381	-0,3153	-0,0422	0,2162	0,1571
291	VyMin	[pp+perm+pp fondazioni] {SEISMIC 1-}	0,1245	-0,0994	-0,3153	-0,0422	0,2162	0,1571
291	VzMax	[pp+perm+pp fondazioni] {SEISMIC 1+}	0,0866	0,1381	-0,1769	-0,0422	0,0073	-0,0700
291	VzMin	[1,3*pp+perm+pp fondazioni] {1,5*neve} (1,5*0,6*vento)	0,3426	0,0624	-1,1570	-0,0419	0,9127	0,0248
291	TxMax	[pp+perm+pp fondazioni] {SEISMIC 1+}	0,1245	0,1381	-0,3153	0,0233	0,2162	0,1571
291	TxMin	[pp+perm+pp fondazioni] {SEISMIC 1-}	0,1245	0,1381	-0,3153	-0,0422	0,2162	0,1571
291	MyMax	[1,3*pp+perm+pp fondazioni] {1,5*neve} (1,5*0,6*vento)	0,3426	0,0624	-1,1570	-0,0419	0,9127	0,0248

291	MyMin	[pp+perm+pp fondazioni] {SEISMIC 1-}	0,0866	0,1381	-0,2123	-0,0422	-0,0032	-0,0700
291	MzMax	[pp+perm+pp fondazioni] {SEISMIC 1+}	0,1245	0,1381	-0,3153	-0,0422	0,2162	0,1571
291	MzMin	[pp+perm+pp fondazioni] {SEISMIC 1-}	0,1245	0,1381	-0,3153	-0,0422	0,2162	-0,1363
294	NxMax	[pp+perm+pp fondazioni] {SEISMIC 1+}	-4,0016	0,7060	0,9304	0,0403	-0,5780	0,1019
294	NxMin	[1,3*pp+perm+1,3*pp fondazioni] {1,5*neve} (1,5*0,6*vento)	-18,0779	0,2824	4,6160	0,0417	1,9033	-0,1020
294	VyMax	[pp+perm+pp fondazioni] {SEISMIC 1+}	-4,6812	0,7060	0,9304	0,0403	-0,5780	0,1019
294	VyMin	[pp+perm+pp fondazioni] {SEISMIC 1-}	-4,6812	-0,5990	0,9304	0,0403	-0,5780	0,1019
294	VzMax	[1,3*pp+perm+pp fondazioni] {1,5*neve} (1,5*0,6*vento)	-18,0779	0,2824	4,6160	0,0417	1,9033	-0,1020
294	VzMin	[pp+perm+pp fondazioni] {SEISMIC 1-}	-4,6812	0,7060	0,8387	0,0403	-0,5780	0,1019
294	TxMax	[1,3*pp+perm+1,3*pp fondazioni] {1,5*neve} (1,5*0,6*vento)	-18,0298	0,2824	4,4854	0,0417	-1,7874	0,1271
294	TxMin	[pp+perm+pp fondazioni] {SEISMIC 1-}	-4,6812	0,7060	0,9304	-0,0212	-0,5780	0,1019
294	MyMax	[1,3*pp+perm+pp fondazioni] {1,5*neve} (1,5*0,6*vento)	-18,0779	0,2824	4,6160	0,0417	1,9033	-0,1020
294	MyMin	[1,3*pp+perm+pp fondazioni] {1,5*neve} (1,5*0,6*vento)	-18,0298	0,2824	4,4854	0,0417	-1,7874	0,1271
294	MzMax	[pp+perm+pp fondazioni] {SEISMIC 1+}	-4,7182	0,7060	1,0309	0,0403	0,2819	0,4428
294	MzMin	[pp+perm+pp fondazioni] {SEISMIC 1-}	-4,7182	0,7060	1,0309	0,0403	0,2819	-0,4752
297	NxMax	[pp+perm+pp fondazioni] {SEISMIC 1+}	-3,7760	-0,3244	-0,1347	0,0115	-0,5281	0,2809
297	NxMin	[1,3*pp+perm+pp fondazioni] {1,5*neve} (1,5*0,6*vento)	-16,4949	-0,0785	0,2609	0,0177	-1,8017	0,1143
297	VyMax	[pp+perm+pp fondazioni] {SEISMIC 1+}	-4,1839	0,2880	-0,1347	0,0115	-0,5281	0,2809
297	VyMin	[pp+perm+pp fondazioni] {SEISMIC 1-}	-4,1839	-0,3244	-0,1347	0,0115	-0,5281	0,2809
297	VzMax	[1,3*pp+perm+pp fondazioni] {1,5*neve} (1,5*0,6*vento)	-16,4949	-0,0785	0,2609	0,0177	-1,8017	0,1143
297	VzMin	[1,3*pp+perm+1,3*pp fondazioni]	-5,1739	-0,0237	-0,1454	0,0044	-0,6013	0,0095
297	TxMax	[1,3*pp+perm+pp fondazioni] {1,5*neve} (1,5*0,6*vento)	-16,4368	-0,0785	0,1030	0,0177	-1,9800	0,0374
297	TxMin	[pp+perm+pp fondazioni] {SEISMIC 1-}	-4,1839	-0,3244	-0,1347	-0,0047	-0,5281	0,2809
297	MyMax	[pp+perm+pp fondazioni] {SEISMIC 1+}	-4,1839	-0,3244	-0,1347	0,0115	-0,3969	0,2809
297	MyMin	[1,3*pp+perm+pp fondazioni] {1,5*neve} (1,5*0,6*vento)	-16,4368	-0,0785	0,1030	0,0177	-1,9800	0,0374
297	MzMax	[pp+perm+pp fondazioni] {SEISMIC 1+}	-4,1839	-0,3244	-0,1347	0,0115	-0,5281	0,2809
297	MzMin	[pp+perm+pp fondazioni] {SEISMIC 1-}	-4,1839	-0,3244	-0,1347	0,0115	-0,5281	-0,2662
300	NxMax	[pp+perm+pp fondazioni] {SEISMIC 1+}	-3,4942	0,0737	-1,4304	-0,1095	0,7751	-0,2918
300	NxMin	[1,3*pp+perm+1,3*pp fondazioni] {1,5*neve} (1,5*0,6*vento)	-14,3418	0,0415	-5,3843	-0,0129	2,2997	-0,0014
300	VyMax	[pp+perm+pp fondazioni] {SEISMIC 1+}	-3,5341	0,0737	-1,4304	-0,1095	0,7751	-0,2918
300	VyMin	[pp+perm+pp fondazioni] {SEISMIC 1-}	-3,5341	-0,0563	-1,4304	-0,1095	0,7751	-0,2918
300	VzMax	[pp+perm+pp fondazioni] {SEISMIC 1+}	-3,5397	0,0737	-1,2005	-0,1095	0,6142	-0,2903
300	VzMin	[1,3*pp+perm+1,3*pp fondazioni] {1,5*neve} (1,5*0,6*vento)	-14,3345	0,0415	-5,4040	-0,0129	2,9592	0,0037
300	TxMax	[pp+perm+pp fondazioni] {SEISMIC 1+}	-3,5341	0,0737	-1,4304	0,1032	0,7751	-0,2918
300	TxMin	[pp+perm+pp fondazioni] {SEISMIC 1-}	-3,5341	0,0737	-1,4304	-0,1095	0,7751	-0,2918
300	MyMax	[1,3*pp+perm+1,3*pp fondazioni] {1,5*neve} (1,5*0,6*vento)	-14,3345	0,0415	-5,4040	-0,0129	2,9592	0,0037
300	MyMin	[pp+perm+pp fondazioni] {SEISMIC 1-}	-3,5397	0,0737	-1,4152	-0,1095	0,5998	-0,2903
300	MzMax	[pp+perm+pp fondazioni] {SEISMIC 1+}	-3,5341	0,0737	-1,4304	-0,1095	0,7751	0,2897
300	MzMin	[pp+perm+pp fondazioni] {SEISMIC 1-}	-3,5341	0,0737	-1,4304	-0,1095	0,7751	-0,2918
301	NxMax	[pp+perm+pp fondazioni] {SEISMIC 1+}	-3,5336	-0,1593	-1,2349	-0,0325	0,6060	0,3386
301	NxMin	[1,3*pp+perm+1,3*pp fondazioni] {1,5*neve} (1,5*0,6*vento)	-14,8374	-0,0007	-4,2772	-0,0052	-1,9820	0,0187
301	VyMax	[pp+perm+pp fondazioni] {SEISMIC 1+}	-3,6690	0,1539	-1,2349	-0,0325	0,6060	0,3386
301	VyMin	[pp+perm+pp fondazioni] {SEISMIC 1-}	-3,6690	-0,1593	-1,2349	-0,0325	0,6060	0,3386
301	VzMax	[pp+perm+pp fondazioni] {SEISMIC 1+}	-3,7138	-0,1593	-0,9423	-0,0325	-0,5470	0,2013
301	VzMin	[1,3*pp+perm+1,3*pp fondazioni] {1,5*neve} (1,5*0,6*vento)	-14,7792	-0,0007	-4,4351	-0,0052	2,2870	0,0179
301	TxMax	[pp+perm+pp fondazioni] {SEISMIC 1+}	-3,6690	-0,1593	-1,2349	0,0291	0,6060	0,3386
301	TxMin	[pp+perm+pp fondazioni] {SEISMIC 1-}	-3,6690	-0,1593	-1,2349	-0,0325	0,6060	0,3386
301	MyMax	[1,3*pp+perm+1,3*pp fondazioni] {1,5*neve} (1,5*0,6*vento)	-14,7792	-0,0007	-4,4351	-0,0052	2,2870	0,0179

301	MyMin	[1,3*pp+perm+1,3*pp fondazioni] {1,5*neve} (1,5*0,6*vento)	-14,8374	-0,0007	-4,2772	-0,0052	-1,9820	0,0187
301	MzMax	[pp+perm+pp fondazioni] {SEISMIC 1+}	-3,6690	-0,1593	-1,2349	-0,0325	0,6060	0,3386
301	MzMin	[pp+perm+pp fondazioni] {SEISMIC 1-}	-3,6690	-0,1593	-1,2349	-0,0325	0,6060	-0,3357
304	NxMax	[1,3*pp+perm+pp fondazioni] {1,5*neve} (1,5*0,6*vento)	5,1088	-0,1929	-14,0503	0,0387	6,3968	-0,0112
304	NxMin	[pp+perm+pp fondazioni] {SEISMIC 1-}	1,0042	-0,2155	-3,5656	0,1017	1,0445	0,1848
304	VyMax	[pp+perm+pp fondazioni] {SEISMIC 1+}	1,5100	0,1739	-3,5865	0,1017	1,6441	0,1526
304	VyMin	[pp+perm+pp fondazioni] {SEISMIC 1-}	1,5100	-0,2155	-3,5865	0,1017	1,6441	0,1526
304	VzMax	[pp+perm+pp fondazioni] {SEISMIC 1+}	1,5022	-0,2155	-3,3609	0,1017	1,0445	0,1848
304	VzMin	[1,3*pp+perm+1,3*pp fondazioni] {1,5*neve} (1,5*0,6*vento)	5,1088	-0,1929	-14,0503	0,0387	6,3968	-0,0112
304	TxMax	[pp+perm+pp fondazioni] {SEISMIC 1+}	1,5100	-0,2155	-3,5865	0,1017	1,6441	0,1526
304	TxMin	[pp+perm+pp fondazioni] {SEISMIC 1-}	1,5100	-0,2155	-3,5865	-0,0749	1,6441	0,1526
304	MyMax	[1,3*pp+perm+1,3*pp fondazioni] {1,5*neve} (1,5*0,6*vento)	5,1088	-0,1929	-14,0503	0,0387	6,3968	-0,0112
304	MyMin	[pp+perm+pp fondazioni] {SEISMIC 1-}	1,5022	-0,2155	-3,5656	0,1017	1,0180	0,1848
304	MzMax	[pp+perm+pp fondazioni] {SEISMIC 1+}	1,5022	-0,2155	-3,5656	0,1017	1,0445	0,1848
304	MzMin	[pp+perm+pp fondazioni] {SEISMIC 1-}	1,5022	-0,2155	-3,5656	0,1017	1,0445	-0,1612
305	NxMax	[1,3*pp+perm+pp fondazioni] {1,5*neve} (1,5*0,6*vento)	1,9299	0,0484	-5,0120	-0,0408	4,0735	0,0253
305	NxMin	[pp+perm+pp fondazioni] {SEISMIC 1-}	0,3671	0,0756	-1,2607	-0,0298	-0,0229	-0,0746
305	VyMax	[pp+perm+pp fondazioni] {SEISMIC 1+}	0,6013	0,0756	-1,3637	-0,0298	1,0672	0,1056
305	VyMin	[pp+perm+pp fondazioni] {SEISMIC 1-}	0,6013	-0,0386	-1,3637	-0,0298	1,0672	0,1056
305	VzMax	[pp+perm+pp fondazioni] {SEISMIC 1+}	0,5633	0,0756	-1,1711	-0,0298	-0,0229	-0,0746
305	VzMin	[1,3*pp+perm+pp fondazioni] {1,5*neve} (1,5*0,6*vento)	1,9299	0,0484	-5,0120	-0,0408	4,0735	0,0253
305	TxMax	[pp+perm+pp fondazioni] {SEISMIC 1+}	0,6013	0,0756	-1,3637	0,0137	1,0672	0,1056
305	TxMin	[1,3*pp+perm+pp fondazioni] {1,5*neve} (1,5*0,6*vento)	1,9299	0,0484	-5,0120	-0,0408	4,0735	0,0253
305	MyMax	[1,3*pp+perm+pp fondazioni] {1,5*neve} (1,5*0,6*vento)	1,9299	0,0484	-5,0120	-0,0408	4,0735	0,0253
305	MyMin	[1,3*pp+perm+pp fondazioni] {1,5*neve} (1,5*0,6*vento)	1,8806	0,0484	-4,8781	-0,0408	-0,0346	-0,0149
305	MzMax	[pp+perm+pp fondazioni] {SEISMIC 1+}	0,6013	0,0756	-1,3637	-0,0298	1,0672	0,1056
305	MzMin	[pp+perm+pp fondazioni] {SEISMIC 1-}	0,6013	0,0756	-1,3637	-0,0298	1,0672	-0,0812
308	NxMax	[pp+perm+pp fondazioni] {SEISMIC 1+}	-11,1303	-0,4056	2,5984	-0,0479	-0,8198	-0,0401
308	NxMin	[1,3*pp+perm+1,3*pp fondazioni] {1,5*neve} (1,5*0,6*vento)	-45,7392	-0,0742	11,0663	-0,0655	6,3883	0,0238
308	VyMax	[pp+perm+pp fondazioni] {SEISMIC 1+}	-11,9399	0,3427	2,5984	-0,0479	-0,8198	-0,0401
308	VyMin	[pp+perm+pp fondazioni] {SEISMIC 1-}	-11,9399	-0,4056	2,5984	-0,0479	-0,8198	-0,0401
308	VzMax	[1,3*pp+perm+pp fondazioni] {1,5*neve} (1,5*0,6*vento)	-45,7392	-0,0742	11,0663	-0,0655	6,3883	0,0238
308	VzMin	[pp+perm+pp fondazioni] {SEISMIC 1-}	-11,9399	-0,4056	2,5253	-0,0479	-0,8198	-0,0401
308	TxMax	[pp+perm+pp fondazioni] {SEISMIC 1+}	-11,9399	-0,4056	2,5984	0,0128	-0,8198	-0,0401
308	TxMin	[1,3*pp+perm+1,3*pp fondazioni] {1,5*neve} (1,5*0,6*vento)	-45,6910	-0,0742	10,9357	-0,0655	-2,5339	-0,0364
308	MyMax	[1,3*pp+perm+pp fondazioni] {1,5*neve} (1,5*0,6*vento)	-45,7392	-0,0742	11,0663	-0,0655	6,3883	0,0238
308	MyMin	[1,3*pp+perm+pp fondazioni] {1,5*neve} (1,5*0,6*vento)	-45,6910	-0,0742	10,9357	-0,0655	-2,5339	-0,0364
308	MzMax	[pp+perm+pp fondazioni] {SEISMIC 1+}	-11,9769	-0,4056	2,6989	-0,0479	1,5654	0,3003
308	MzMin	[pp+perm+pp fondazioni] {SEISMIC 1-}	-11,9769	-0,4056	2,6989	-0,0479	1,5654	-0,2726
311	NxMax	[pp+perm+pp fondazioni] {SEISMIC 1+}	-10,4453	0,3625	0,3002	-0,0090	-1,0488	0,2623
311	NxMin	[1,3*pp+perm+pp fondazioni] {1,5*neve} (1,5*0,6*vento)	-42,2568	0,0705	1,5555	-0,0076	-2,5277	-0,0387
311	VyMax	[pp+perm+pp fondazioni] {SEISMIC 1+}	-10,9143	0,3625	0,3002	-0,0090	-1,0488	0,2623
311	VyMin	[pp+perm+pp fondazioni] {SEISMIC 1-}	-10,9143	-0,3304	0,3002	-0,0090	-1,0488	0,2623
311	VzMax	[1,3*pp+perm+pp fondazioni] {1,5*neve} (1,5*0,6*vento)	-42,2568	0,0705	1,5555	-0,0076	-2,5277	-0,0387
311	VzMin	[pp+perm+pp fondazioni] {SEISMIC 1-}	-10,9143	0,3625	0,1519	-0,0090	-1,0488	0,2623
311	TxMax	[pp+perm+pp fondazioni] {SEISMIC 1+}	-10,9143	0,3625	0,3002	0,0040	-1,0488	0,2623
311	TxMin	[pp+perm+pp fondazioni] {SEISMIC 1-}	-10,9143	0,3625	0,3002	-0,0090	-1,0488	0,2623
311	MyMax	[pp+perm+pp fondazioni] {SEISMIC 1+}	-10,9590	0,3625	0,4217	-0,0090	-0,5569	-0,0983

311	MyMin	[1,3*pp+perm+pp fondazioni] {1,5*neve} (1,5*0,6*vento)	-42,1986	0,0705	1,3976	-0,0076	-3,9748	0,0303
311	MzMax	[pp+perm+pp fondazioni] {SEISMIC 1+}	-10,9143	0,3625	0,3002	-0,0090	-1,0488	0,2623
311	MzMin	[pp+perm+pp fondazioni] {SEISMIC 1-}	-10,9143	0,3625	0,3002	-0,0090	-1,0488	-0,2529
314	NxMax	[pp+perm+pp fondazioni] {SEISMIC 1+}	-9,2609	0,0908	-3,6666	0,1332	1,4112	-0,3400
314	NxMin	[1,3*pp+perm+1,3*pp fondazioni] {1,5*neve} (1,5*0,6*vento)	-36,6328	0,0941	-13,7844	0,0950	3,6225	-0,1811
314	VyMax	[1,3*pp+perm+pp fondazioni] {1,5*neve} (1,5*0,6*vento)	-36,6255	0,0941	-13,8041	0,0950	5,3092	-0,1695
314	VyMin	[pp+perm+pp fondazioni] {SEISMIC 1-}	-9,3654	-0,0440	-3,6666	0,1332	1,4112	-0,3400
314	VzMax	[pp+perm+pp fondazioni] {SEISMIC 1+}	-9,3710	0,0908	-3,3307	0,1332	0,9639	-0,3408
314	VzMin	[1,3*pp+perm+pp fondazioni] {1,5*neve} (1,5*0,6*vento)	-36,6255	0,0941	-13,8041	0,0950	5,3092	-0,1695
314	TxMax	[pp+perm+pp fondazioni] {SEISMIC 1+}	-9,3654	0,0908	-3,6666	0,1332	1,4112	-0,3400
314	TxMin	[pp+perm+pp fondazioni] {SEISMIC 1-}	-9,3654	0,0908	-3,6666	-0,0841	1,4112	-0,3400
314	MyMax	[1,3*pp+perm+pp fondazioni] {1,5*neve} (1,5*0,6*vento)	-36,6255	0,0941	-13,8041	0,0950	5,3092	-0,1695
314	MyMin	[pp+perm+pp fondazioni] {SEISMIC 1-}	-9,3710	0,0908	-3,6514	0,1332	0,9369	-0,3408
314	MzMax	[pp+perm+pp fondazioni] {SEISMIC 1+}	-9,3654	0,0908	-3,6666	0,1332	1,4112	0,2496
314	MzMin	[pp+perm+pp fondazioni] {SEISMIC 1-}	-9,3710	0,0908	-3,6514	0,1332	0,9639	-0,3408
315	NxMax	[pp+perm+pp fondazioni] {SEISMIC 1+}	-9,7778	-0,2325	-2,1524	0,0485	0,9806	-0,3879
315	NxMin	[1,3*pp+perm+1,3*pp fondazioni] {1,5*neve} (1,5*0,6*vento)	-38,8284	-0,2317	-7,6688	0,0521	-3,9656	0,0499
315	VyMax	[pp+perm+pp fondazioni] {SEISMIC 1+}	-9,9053	0,1134	-2,1524	0,0485	0,9806	-0,3879
315	VyMin	[pp+perm+pp fondazioni] {SEISMIC 1-}	-9,9053	-0,2325	-2,1524	0,0485	0,9806	-0,3879
315	VzMax	[pp+perm+pp fondazioni] {SEISMIC 1+}	-9,9501	-0,2325	-1,7845	0,0485	-1,0693	0,1945
315	VzMin	[1,3*pp+perm+1,3*pp fondazioni] {1,5*neve} (1,5*0,6*vento)	-38,7702	-0,2317	-7,8266	0,0521	3,6272	-0,1772
315	TxMax	[1,3*pp+perm+1,3*pp fondazioni] {1,5*neve} (1,5*0,6*vento)	-38,7702	-0,2317	-7,8266	0,0521	3,6272	-0,1772
315	TxMin	[pp+perm+pp fondazioni] {SEISMIC 1-}	-9,9053	-0,2325	-2,1524	-0,0222	0,9806	-0,3879
315	MyMax	[1,3*pp+perm+1,3*pp fondazioni] {1,5*neve} (1,5*0,6*vento)	-38,7702	-0,2317	-7,8266	0,0521	3,6272	-0,1772
315	MyMin	[1,3*pp+perm+1,3*pp fondazioni] {1,5*neve} (1,5*0,6*vento)	-38,8284	-0,2317	-7,6688	0,0521	-3,9656	0,0499
315	MzMax	[pp+perm+pp fondazioni] {SEISMIC 1+}	-9,9053	-0,2325	-2,1524	0,0485	0,9806	0,2925
315	MzMin	[pp+perm+pp fondazioni] {SEISMIC 1-}	-9,9053	-0,2325	-2,1524	0,0485	0,9806	-0,3879
318	NxMax	[pp+perm+pp fondazioni] {SEISMIC 1+}	-1,0555	-0,4133	2,6512	-0,1020	-1,3114	-0,1378
318	NxMin	[1,3*pp+perm+1,3*pp fondazioni] {1,5*neve} (1,5*0,6*vento)	-5,4493	-0,2703	10,2714	-0,1603	-3,0641	-0,1266
318	VyMax	[pp+perm+pp fondazioni] {SEISMIC 1+}	-1,6343	0,2646	2,6512	-0,1020	-1,3114	-0,1378
318	VyMin	[pp+perm+pp fondazioni] {SEISMIC 1-}	-1,6343	-0,4133	2,6512	-0,1020	-1,3114	-0,1378
318	VzMax	[1,3*pp+perm+pp fondazioni] {1,5*neve} (1,5*0,6*vento)	-5,4493	-0,2703	10,2714	-0,1603	-3,0641	-0,1266
318	VzMin	[pp+perm+pp fondazioni] {SEISMIC 1-}	-1,6343	-0,4133	2,5637	-0,1020	-1,3114	-0,1378
318	TxMax	[pp+perm+pp fondazioni] {SEISMIC 1+}	-1,6343	-0,4133	2,6512	0,0200	-1,3114	-0,1378
318	TxMin	[1,3*pp+perm+1,3*pp fondazioni] {1,5*neve} (1,5*0,6*vento)	-5,4392	-0,2703	10,2441	-0,1603	-4,7973	-0,1723
318	MyMax	[pp+perm+pp fondazioni] {SEISMIC 1+}	-1,6420	-0,4133	2,6721	-0,1020	-0,6625	-0,1804
318	MyMin	[1,3*pp+perm+pp fondazioni] {1,5*neve} (1,5*0,6*vento)	-5,4392	-0,2703	10,2441	-0,1603	-4,7973	-0,1723
318	MzMax	[pp+perm+pp fondazioni] {SEISMIC 1+}	-1,6420	-0,4133	2,6721	-0,1020	-0,8657	0,1190
318	MzMin	[pp+perm+pp fondazioni] {SEISMIC 1-}	-1,6420	-0,4133	2,6721	-0,1020	-0,8657	-0,1804
319	NxMax	[pp+perm+pp fondazioni] {SEISMIC 1+}	-1,2870	-1,0193	3,5230	-0,0981	-0,8608	-0,0874
319	NxMin	[1,3*pp+perm+1,3*pp fondazioni] {1,5*neve} (1,5*0,6*vento)	-6,9803	-2,7688	14,3659	-0,2708	1,3552	0,7660
319	VyMax	[pp+perm+pp fondazioni] {SEISMIC 1+}	-2,0459	-0,4120	3,5230	-0,0981	-0,8608	-0,0874
319	VyMin	[1,3*pp+perm+pp fondazioni] {1,5*neve} (1,5*0,6*vento)	-6,9619	-2,7688	14,3159	-0,2708	-3,0989	-0,0939
319	VzMax	[1,3*pp+perm+pp fondazioni] {1,5*neve} (1,5*0,6*vento)	-6,9803	-2,7688	14,3659	-0,2708	1,3552	0,7660
319	VzMin	[pp+perm+pp fondazioni] {SEISMIC 1-}	-2,0459	-1,0193	3,4060	-0,0981	-0,8608	-0,0874
319	TxMax	[pp+perm+pp fondazioni] {SEISMIC 1+}	-2,0459	-1,0193	3,5230	-0,0426	-0,8608	-0,0874
319	TxMin	[1,3*pp+perm+1,3*pp fondazioni] {1,5*neve} (1,5*0,6*vento)	-6,9619	-2,7688	14,3159	-0,2708	-3,0989	-0,0939
319	MyMax	[1,3*pp+perm+pp fondazioni] {1,5*neve} (1,5*0,6*vento)	-6,9803	-2,7688	14,3659	-0,2708	1,3552	0,7660

319	MyMin	[1,3*pp+perm+pp fondazioni] {1,5*neve} (1,5*0,6*vento)	-6,9619	-2,7688	14,3159	-0,2708	-3,0989	-0,0939
319	MzMax	[1,3*pp+perm+pp fondazioni] {1,5*neve} (1,5*0,6*vento)	-6,9803	-2,7688	14,3659	-0,2708	1,3552	0,7660
319	MzMin	[1,3*pp+perm+pp fondazioni] {1,5*neve} (1,5*0,6*vento)	-6,9619	-2,7688	14,3159	-0,2708	-3,0989	-0,0939
322	NxMax	[pp+perm+pp fondazioni] {SEISMIC 1+}	-5,7236	-0,4257	0,6190	-0,0723	-1,2808	-0,1099
322	NxMin	[1,3*pp+perm+1,3*pp fondazioni] {1,5*neve} (1,5*0,6*vento)	-24,9470	-0,3321	3,3684	-0,2234	-2,0381	-0,0121
322	VyMax	[pp+perm+pp fondazioni] {SEISMIC 1+}	-6,3340	0,2445	0,6190	-0,0723	-1,2808	-0,1099
322	VyMin	[pp+perm+pp fondazioni] {SEISMIC 1-}	-6,3340	-0,4257	0,6190	-0,0723	-1,2808	-0,1099
322	VzMax	[1,3*pp+perm+pp fondazioni] {1,5*neve} (1,5*0,6*vento)	-24,9470	-0,3321	3,3684	-0,2234	-2,0381	-0,0121
322	VzMin	[pp+perm+pp fondazioni] {SEISMIC 1-}	-6,3340	-0,4257	0,5454	-0,0723	-1,2808	-0,1099
322	TxMax	[pp+perm+pp fondazioni] {SEISMIC 1+}	-6,3340	-0,4257	0,6190	-0,0433	-1,2808	-0,1099
322	TxMin	[1,3*pp+perm+1,3*pp fondazioni] {1,5*neve} (1,5*0,6*vento)	-24,8988	-0,3321	3,2377	-0,2234	-4,7170	-0,2814
322	MyMax	[pp+perm+pp fondazioni] {SEISMIC 1+}	-6,3710	-0,4257	0,7195	-0,0723	-0,6793	-0,2663
322	MyMin	[1,3*pp+perm+pp fondazioni] {1,5*neve} (1,5*0,6*vento)	-24,8988	-0,3321	3,2377	-0,2234	-4,7170	-0,2814
322	MzMax	[pp+perm+pp fondazioni] {SEISMIC 1+}	-6,3710	-0,4257	0,7195	-0,0723	-0,7421	0,2654
322	MzMin	[1,3*pp+perm+pp fondazioni] {1,5*neve} (1,5*0,6*vento)	-24,8988	-0,3321	3,2377	-0,2234	-4,7170	-0,2814
325	NxMax	[pp+perm+pp fondazioni] {SEISMIC 1+}	-5,4587	0,3963	-0,5784	-0,0277	-0,7935	-0,2648
325	NxMin	[1,3*pp+perm+1,3*pp fondazioni] {1,5*neve} (1,5*0,6*vento)	-23,2599	0,1883	-1,5726	-0,0562	-4,7322	-0,2353
325	VyMax	[pp+perm+pp fondazioni] {SEISMIC 1+}	-5,8295	0,3963	-0,5784	-0,0277	-0,7935	-0,2648
325	VyMin	[pp+perm+pp fondazioni] {SEISMIC 1-}	-5,8295	-0,2986	-0,5784	-0,0277	-0,7935	-0,2648
325	VzMax	[pp+perm+pp fondazioni] {SEISMIC 1+}	-5,8742	0,3963	-0,4172	-0,0277	-1,3002	-0,1624
325	VzMin	[1,3*pp+perm+pp fondazioni] {1,5*neve} (1,5*0,6*vento)	-23,2017	0,1883	-1,7305	-0,0562	-3,1137	-0,0508
325	TxMax	[pp+perm+pp fondazioni] {SEISMIC 1+}	-5,8295	0,3963	-0,5784	-0,0013	-0,7935	-0,2648
325	TxMin	[1,3*pp+perm+1,3*pp fondazioni] {1,5*neve} (1,5*0,6*vento)	-23,2017	0,1883	-1,7305	-0,0562	-3,1137	-0,0508
325	MyMax	[pp+perm+pp fondazioni] {SEISMIC 1+}	-5,8295	0,3963	-0,5784	-0,0277	-0,6870	-0,2648
325	MyMin	[1,3*pp+perm+pp fondazioni] {1,5*neve} (1,5*0,6*vento)	-23,2599	0,1883	-1,5726	-0,0562	-4,7322	-0,2353
325	MzMax	[pp+perm+pp fondazioni] {SEISMIC 1+}	-5,8295	0,3963	-0,5784	-0,0277	-0,7935	0,2351
325	MzMin	[pp+perm+pp fondazioni] {SEISMIC 1-}	-5,8295	0,3963	-0,5784	-0,0277	-0,7935	-0,2648
328	NxMax	[pp+perm+pp fondazioni] {SEISMIC 1+}	-5,0668	0,0488	-2,1633	0,1649	1,2035	-0,4095
328	NxMin	[1,3*pp+perm+1,3*pp fondazioni] {1,5*neve} (1,5*0,6*vento)	-20,8997	0,0530	-8,4121	0,2030	3,6755	-0,4362
328	VyMax	[1,3*pp+perm+1,3*pp fondazioni] {1,5*neve} (1,5*0,6*vento)	-20,8924	0,0530	-8,4318	0,2030	4,7053	-0,4297
328	VyMin	[pp+perm+pp fondazioni] {SEISMIC 1-}	-5,1932	-0,0133	-2,1633	0,1649	1,2035	-0,4095
328	VzMax	[pp+perm+pp fondazioni] {SEISMIC 1+}	-5,1988	0,0488	-1,9596	0,1649	0,9472	-0,4098
328	VzMin	[1,3*pp+perm+pp fondazioni] {1,5*neve} (1,5*0,6*vento)	-20,8924	0,0530	-8,4318	0,2030	4,7053	-0,4297
328	TxMax	[1,3*pp+perm+1,3*pp fondazioni] {1,5*neve} (1,5*0,6*vento)	-20,8924	0,0530	-8,4318	0,2030	4,7053	-0,4297
328	TxMin	[pp+perm+pp fondazioni] {SEISMIC 1-}	-5,1932	0,0488	-2,1633	-0,0576	1,2035	-0,4095
328	MyMax	[1,3*pp+perm+pp fondazioni] {1,5*neve} (1,5*0,6*vento)	-20,8924	0,0530	-8,4318	0,2030	4,7053	-0,4297
328	MyMin	[pp+perm+pp fondazioni] {SEISMIC 1-}	-5,1988	0,0488	-2,1482	0,1649	0,9375	-0,4098
328	MzMax	[pp+perm+pp fondazioni] {SEISMIC 1+}	-5,1932	0,0488	-2,1633	0,1649	1,2035	0,1847
328	MzMin	[1,3*pp+perm+1,3*pp fondazioni] {1,5*neve} (1,5*0,6*vento)	-20,8997	0,0530	-8,4121	0,2030	3,6755	-0,4362
329	NxMax	[pp+perm+pp fondazioni] {SEISMIC 1+}	-5,1562	-0,3017	-1,8572	0,0705	0,9466	-0,4563
329	NxMin	[1,3*pp+perm+pp fondazioni] {1,5*neve} (1,5*0,6*vento)	-21,4856	-0,4801	-6,8788	0,1266	-3,1421	0,0255
329	VyMax	[pp+perm+pp fondazioni] {SEISMIC 1+}	-5,3217	0,0559	-1,8572	0,0705	0,9466	-0,4563
329	VyMin	[1,3*pp+perm+pp fondazioni] {1,5*neve} (1,5*0,6*vento)	-21,4274	-0,4801	-7,0367	0,1266	3,6765	-0,4450
329	VzMax	[pp+perm+pp fondazioni] {SEISMIC 1+}	-5,3664	-0,3017	-1,5916	0,0705	-0,8156	0,1766
329	VzMin	[1,3*pp+perm+1,3*pp fondazioni] {1,5*neve} (1,5*0,6*vento)	-21,4274	-0,4801	-7,0367	0,1266	3,6765	-0,4450
329	TxMax	[1,3*pp+perm+1,3*pp fondazioni] {1,5*neve} (1,5*0,6*vento)	-21,4274	-0,4801	-7,0367	0,1266	3,6765	-0,4450
329	TxMin	[pp+perm+pp fondazioni] {SEISMIC 1-}	-5,3217	-0,3017	-1,8572	-0,0051	0,9466	-0,4563
329	MyMax	[1,3*pp+perm+1,3*pp fondazioni] {1,5*neve} (1,5*0,6*vento)	-21,4274	-0,4801	-7,0367	0,1266	3,6765	-0,4450

329	MyMin	[1,3*pp+perm+1,3*pp fondazioni] {1,5*neve} (1,5*0,6*vento)	-21,4856	-0,4801	-6,8788	0,1266	-3,1421	0,0255
329	MzMax	[pp+perm+pp fondazioni] {SEISMIC 1+}	-5,3217	-0,3017	-1,8572	0,0705	0,9466	0,2237
329	MzMin	[pp+perm+pp fondazioni] {SEISMIC 1-}	-5,3217	-0,3017	-1,8572	0,0705	0,9466	-0,4563
332	NxMax	[pp+perm+pp fondazioni] {SEISMIC 1+}	-0,4467	0,7252	2,8157	0,1151	-1,3022	0,1251
332	NxMin	[1,3*pp+perm+1,3*pp fondazioni] {1,5*neve} (1,5*0,6*vento)	-2,9656	1,7983	9,2763	0,2240	-2,6233	-0,1107
332	VyMax	[1,3*pp+perm+1,3*pp fondazioni] {1,5*neve} (1,5*0,6*vento)	-2,9556	1,7983	9,2491	0,2240	-4,1884	0,1932
332	VyMin	[pp+perm+pp fondazioni] {SEISMIC 1-}	-1,1352	0,1470	2,8157	0,1151	-1,3022	0,1251
332	VzMax	[1,3*pp+perm+pp fondazioni] {1,5*neve} (1,5*0,6*vento)	-2,9656	1,7983	9,2763	0,2240	-2,6233	-0,1107
332	VzMin	[pp+perm+pp fondazioni] {SEISMIC 1-}	-1,1352	0,7252	2,4583	0,1151	-1,3022	0,1251
332	TxMax	[1,3*pp+perm+1,3*pp fondazioni] {1,5*neve} (1,5*0,6*vento)	-2,9556	1,7983	9,2491	0,2240	-4,1884	0,1932
332	TxMin	[pp+perm+pp fondazioni] {SEISMIC 1-}	-1,1352	0,7252	2,8157	-0,0082	-1,3022	0,1251
332	MyMax	[pp+perm+pp fondazioni] {SEISMIC 1+}	-1,1429	0,7252	2,8367	0,1151	-0,6094	-0,1626
332	MyMin	[1,3*pp+perm+pp fondazioni] {1,5*neve} (1,5*0,6*vento)	-2,9556	1,7983	9,2491	0,2240	-4,1884	0,1932
332	MzMax	[1,3*pp+perm+1,3*pp fondazioni] {1,5*neve} (1,5*0,6*vento)	-2,9556	1,7983	9,2491	0,2240	-4,1884	0,1932
332	MzMin	[pp+perm+pp fondazioni] {SEISMIC 1-}	-1,1429	0,7252	2,8367	0,1151	-0,8452	-0,1626
333	NxMax	[pp+perm+pp fondazioni] {SEISMIC 1+}	-0,7179	1,4068	3,6836	0,2270	-0,8377	0,1202
333	NxMin	[1,3*pp+perm+1,3*pp fondazioni] {1,5*neve} (1,5*0,6*vento)	-4,3765	5,2585	12,9156	0,8350	1,3769	-1,3805
333	VyMax	[1,3*pp+perm+1,3*pp fondazioni] {1,5*neve} (1,5*0,6*vento)	-4,3581	5,2585	12,8656	0,8350	-2,6267	0,2528
333	VyMin	[pp+perm+pp fondazioni] {SEISMIC 1-}	-1,5380	1,1993	3,6836	0,2270	-0,8377	0,1202
333	VzMax	[1,3*pp+perm+pp fondazioni] {1,5*neve} (1,5*0,6*vento)	-4,3765	5,2585	12,9156	0,8350	1,3769	-1,3805
333	VzMin	[pp+perm+pp fondazioni] {SEISMIC 1-}	-1,5380	1,4068	3,3203	0,2270	-0,8377	0,1202
333	TxMax	[1,3*pp+perm+1,3*pp fondazioni] {1,5*neve} (1,5*0,6*vento)	-4,3581	5,2585	12,8656	0,8350	-2,6267	0,2528
333	TxMin	[pp+perm+pp fondazioni] {SEISMIC 1-}	-1,5380	1,4068	3,6836	0,1753	-0,8377	0,1202
333	MyMax	[1,3*pp+perm+pp fondazioni] {1,5*neve} (1,5*0,6*vento)	-4,3765	5,2585	12,9156	0,8350	1,3769	-1,3805
333	MyMin	[1,3*pp+perm+pp fondazioni] {1,5*neve} (1,5*0,6*vento)	-4,3581	5,2585	12,8656	0,8350	-2,6267	0,2528
333	MzMax	[1,3*pp+perm+1,3*pp fondazioni] {1,5*neve} (1,5*0,6*vento)	-4,3581	5,2585	12,8656	0,8350	-2,6267	0,2528
333	MzMin	[1,3*pp+perm+1,3*pp fondazioni] {1,5*neve} (1,5*0,6*vento)	-4,3765	5,2585	12,9156	0,8350	1,3769	-1,3805
336	NxMax	[pp+perm+pp fondazioni] {SEISMIC 1+}	-5,4734	0,7740	0,4533	0,1628	-1,1590	0,2326
336	NxMin	[1,3*pp+perm+1,3*pp fondazioni] {1,5*neve} (1,5*0,6*vento)	-22,0594	2,0611	2,4795	0,6556	-1,8221	-0,8302
336	VyMax	[1,3*pp+perm+1,3*pp fondazioni] {1,5*neve} (1,5*0,6*vento)	-22,0113	2,0611	2,3488	0,6556	-3,7801	0,8414
336	VyMin	[pp+perm+pp fondazioni] {SEISMIC 1-}	-6,4487	0,2250	0,4533	0,1628	-1,1590	0,2326
336	VzMax	[1,3*pp+perm+pp fondazioni] {1,5*neve} (1,5*0,6*vento)	-22,0594	2,0611	2,4795	0,6556	-1,8221	-0,8302
336	VzMin	[pp+perm+pp fondazioni] {SEISMIC 1-}	-6,4487	0,7740	0,4316	0,1628	-1,1590	0,2326
336	TxMax	[1,3*pp+perm+1,3*pp fondazioni] {1,5*neve} (1,5*0,6*vento)	-22,0113	2,0611	2,3488	0,6556	-3,7801	0,8414
336	TxMin	[pp+perm+pp fondazioni] {SEISMIC 1-}	-6,4487	0,7740	0,4533	0,1522	-1,1590	0,2326
336	MyMax	[pp+perm+pp fondazioni] {SEISMIC 1+}	-6,4857	0,7740	0,5538	0,1628	-0,6479	-0,4420
336	MyMin	[1,3*pp+perm+pp fondazioni] {1,5*neve} (1,5*0,6*vento)	-22,0113	2,0611	2,3488	0,6556	-3,7801	0,8414
336	MzMax	[1,3*pp+perm+1,3*pp fondazioni] {1,5*neve} (1,5*0,6*vento)	-22,0113	2,0611	2,3488	0,6556	-3,7801	0,8414
336	MzMin	[1,3*pp+perm+1,3*pp fondazioni] {1,5*neve} (1,5*0,6*vento)	-22,0594	2,0611	2,4795	0,6556	-1,8221	-0,8302
339	NxMax	[pp+perm+pp fondazioni] {SEISMIC 1+}	-5,1635	0,4716	-0,5483	0,0619	-0,6867	0,4634
339	NxMin	[1,3*pp+perm+1,3*pp fondazioni] {1,5*neve} (1,5*0,6*vento)	-20,5156	0,6392	-1,2897	0,1687	-3,7643	0,3763
339	VyMax	[1,3*pp+perm+1,3*pp fondazioni] {1,5*neve} (1,5*0,6*vento)	-20,4574	0,6392	-1,4476	0,1687	-2,4230	1,0027
339	VyMin	[pp+perm+pp fondazioni] {SEISMIC 1-}	-5,9653	-0,1633	-0,5483	0,0619	-0,6867	0,4634
339	VzMax	[pp+perm+pp fondazioni] {SEISMIC 1+}	-6,0100	0,4716	-0,3803	0,0619	-1,1644	0,1773
339	VzMin	[1,3*pp+perm+1,3*pp fondazioni] {1,5*neve} (1,5*0,6*vento)	-20,4574	0,6392	-1,4476	0,1687	-2,4230	1,0027
339	TxMax	[1,3*pp+perm+1,3*pp fondazioni] {1,5*neve} (1,5*0,6*vento)	-20,4574	0,6392	-1,4476	0,1687	-2,4230	1,0027
339	TxMin	[pp+perm+pp fondazioni] {SEISMIC 1-}	-5,9653	0,4716	-0,5483	0,0214	-0,6867	0,4634
339	MyMax	[pp+perm+pp fondazioni] {SEISMIC 1+}	-5,9653	0,4716	-0,5483	0,0619	-0,5941	0,4634

339	MyMin	[1,3*pp+perm+1,3*pp fondazioni] {1,5*neve} (1,5*0,6*vento)	-20,5156	0,6392	-1,2897	0,1687	-3,7643	0,3763
339	MzMax	[1,3*pp+perm+1,3*pp fondazioni] {1,5*neve} (1,5*0,6*vento)	-20,4574	0,6392	-1,4476	0,1687	-2,4230	1,0027
339	MzMin	[pp+perm+pp fondazioni] {SEISMIC 1-}	-6,0100	0,4716	-0,4269	0,0619	-1,1644	-0,0049
342	NxMax	[pp+perm+pp fondazioni] {SEISMIC 1+}	-4,6947	0,0759	-2,1487	-0,2978	1,0146	0,7729
342	NxMin	[1,3*pp+perm+1,3*pp fondazioni] {1,5*neve} (1,5*0,6*vento)	-18,0919	0,1404	-7,3856	-0,8350	2,5208	2,0910
342	VyMax	[1,3*pp+perm+1,3*pp fondazioni] {1,5*neve} (1,5*0,6*vento)	-18,0847	0,1404	-7,4053	-0,8350	3,4251	2,1082
342	VyMin	[pp+perm+pp fondazioni] {SEISMIC 1-}	-5,2339	0,0055	-2,1487	-0,2978	1,0146	0,7729
342	VzMax	[pp+perm+pp fondazioni] {SEISMIC 1+}	-5,2395	0,0759	-1,8893	-0,2978	0,7562	0,7664
342	VzMin	[1,3*pp+perm+pp fondazioni] {1,5*neve} (1,5*0,6*vento)	-18,0847	0,1404	-7,4053	-0,8350	3,4251	2,1082
342	TxMax	[pp+perm+pp fondazioni] {SEISMIC 1+}	-5,2339	0,0759	-2,1487	-0,1120	1,0146	0,7729
342	TxMin	[1,3*pp+perm+1,3*pp fondazioni] {1,5*neve} (1,5*0,6*vento)	-18,0847	0,1404	-7,4053	-0,8350	3,4251	2,1082
342	MyMax	[1,3*pp+perm+pp fondazioni] {1,5*neve} (1,5*0,6*vento)	-18,0847	0,1404	-7,4053	-0,8350	3,4251	2,1082
342	MyMin	[pp+perm+pp fondazioni] {SEISMIC 1-}	-5,2395	0,0759	-2,1335	-0,2978	0,7109	0,7664
342	MzMax	[1,3*pp+perm+1,3*pp fondazioni] {1,5*neve} (1,5*0,6*vento)	-18,0847	0,1404	-7,4053	-0,8350	3,4251	2,1082
342	MzMin	[pp+perm+pp fondazioni] {SEISMIC 1-}	-5,2395	0,0759	-2,1335	-0,2978	0,7562	0,2657
343	NxMax	[pp+perm+pp fondazioni] {SEISMIC 1+}	-4,8615	0,5829	-1,5216	-0,1401	0,7533	0,8499
343	NxMin	[1,3*pp+perm+pp fondazioni] {1,5*neve} (1,5*0,6*vento)	-19,0083	1,8220	-4,9432	-0,4383	-2,4026	0,4972
343	VyMax	[1,3*pp+perm+1,3*pp fondazioni] {1,5*neve} (1,5*0,6*vento)	-18,9501	1,8220	-5,1011	-0,4383	2,5191	2,2828
343	VyMin	[pp+perm+pp fondazioni] {SEISMIC 1-}	-5,4977	0,3417	-1,5216	-0,1401	0,7533	0,8499
343	VzMax	[pp+perm+pp fondazioni] {SEISMIC 1+}	-5,5425	0,5829	-1,2712	-0,1401	-0,6919	0,2873
343	VzMin	[1,3*pp+perm+1,3*pp fondazioni] {1,5*neve} (1,5*0,6*vento)	-18,9501	1,8220	-5,1011	-0,4383	2,5191	2,2828
343	TxMax	[pp+perm+pp fondazioni] {SEISMIC 1+}	-5,4977	0,5829	-1,5216	-0,0698	0,7533	0,8499
343	TxMin	[1,3*pp+perm+1,3*pp fondazioni] {1,5*neve} (1,5*0,6*vento)	-18,9501	1,8220	-5,1011	-0,4383	2,5191	2,2828
343	MyMax	[1,3*pp+perm+1,3*pp fondazioni] {1,5*neve} (1,5*0,6*vento)	-18,9501	1,8220	-5,1011	-0,4383	2,5191	2,2828
343	MyMin	[1,3*pp+perm+1,3*pp fondazioni] {1,5*neve} (1,5*0,6*vento)	-19,0083	1,8220	-4,9432	-0,4383	-2,4026	0,4972
343	MzMax	[1,3*pp+perm+1,3*pp fondazioni] {1,5*neve} (1,5*0,6*vento)	-18,9501	1,8220	-5,1011	-0,4383	2,5191	2,2828
343	MzMin	[pp+perm+pp fondazioni] {SEISMIC 1-}	-5,5425	0,5829	-1,4001	-0,1401	-0,6919	-0,0623

Sollecitazioni aste globali di calcolo critiche del progetto SLD

	Asta	Nx [kN]	Vy [kN]	Vz [kN]	Tx [kNm]	My [kNm]	Mz [kNm]	Combinazione
NxMax	11	41,2991	0,0189	-0,6386	-0,0002	0,6591	0,0484	[1,3*pp+perm+1,3*pp fondazioni] {1,5*neve} (1,5*0,6*vento)
NxMin	6	-78,0647	0,5573	-1,6629	-1,5791	1,7344	1,3017	[1,3*pp+perm+1,3*pp fondazioni] {1,5*neve} (1,5*0,6*vento)
VyMax	144	2,4979	8,4697	6,3915	0,8496	2,2127	-1,5090	[1,3*pp+perm+1,3*pp fondazioni] {1,5*neve} (1,5*0,6*vento)
VyMin	78	2,0790	-14,4614	5,8470	-0,0049	2,0190	1,0759	[1,3*pp+perm+1,3*pp fondazioni] {1,5*neve} (1,5*0,6*vento)
VzMax	65	-1,2107	-0,5952	25,8399	1,9226	-3,2666	-0,0461	[1,3*pp+perm+pp fondazioni] {1,5*neve} (1,5*0,6*vento)
VzMin	54	-1,1452	0,3225	-23,4593	0,5560	4,4857	-0,0409	[1,3*pp+perm+1,3*pp fondazioni] {1,5*neve} (1,5*0,6*vento)
TxMax	65	-1,5769	-1,0921	10,4163	3,8362	-4,9659	-0,0489	[pp+perm+pp fondazioni] {SEISMIC 1+}
TxMin	67	-0,5649	0,2794	-9,8813	-2,8640	11,1764	-0,0561	[1,3*pp+perm+1,3*pp fondazioni] {1,5*neve} (1,5*0,6*vento)
MyMax	66	-1,2066	-0,5920	18,1388	1,9226	24,2324	0,6958	[1,3*pp+perm+1,3*pp fondazioni] {1,5*neve} (1,5*0,6*vento)
MyMin	70	-0,5647	0,2997	22,7401	-2,8640	-21,1220	0,7803	[1,3*pp+perm+pp fondazioni] {1,5*neve} (1,5*0,6*vento)
MzMax	6	-30,1547	2,2525	-3,0402	-0,8355	8,9044	7,2285	[pp+perm+pp fondazioni] {SEISMIC 1+}
MzMin	6	-30,1547	2,2525	-3,0402	-0,8355	8,9044	-6,6920	[pp+perm+pp fondazioni] {SEISMIC 1-}

Sollecitazioni risultanti negli elementi aste (min e max critici) per SLO

Asta	Valore	Combinazione	Nx [kN]	Vy [kN]	Vz [kN]	Tx [kNm]	My [kNm]	Mz [kNm]
2	NxMax	[pp+perm+pp fondazioni] {SEISMIC 1+}	0,1147	-0,1486	-2,2603	0,0000	0,6898	-0,0197
2	NxMin	[pp+perm+pp fondazioni] {SEISMIC 1-}	-0,1149	-0,1486	-2,2603	0,0000	0,6898	-0,0197
2	VyMax	[pp+perm+pp fondazioni] {SEISMIC 1+}	-0,1149	0,1473	-2,2603	0,0000	0,6898	-0,0197
2	VyMin	[pp+perm+pp fondazioni] {SEISMIC 1-}	-0,1149	-0,1486	-2,2603	0,0000	0,6898	-0,0197
2	VzMax	[pp+perm+pp fondazioni] {SEISMIC 1+}	-0,1149	-0,1486	-1,2142	0,0000	0,6898	-0,0197
2	VzMin	[1,3*pp+perm+1,3*pp fondazioni] {1,5*neve} (1,5*0,6*vento)	-0,0010	-0,0020	-4,6798	0,0000	1,1323	-0,0002
2	TxMax	[pp+perm+pp fondazioni] {SEISMIC 1+}	-0,1149	-0,1486	-2,2603	0,0000	0,6898	-0,0197
2	TxMin	[pp+perm+pp fondazioni] {SEISMIC 1+}	-0,1149	-0,1486	-2,2603	0,0000	0,6898	-0,0197
2	MyMax	[1,3*pp+perm+1,3*pp fondazioni] {1,5*neve} (1,5*0,6*vento)	-0,0010	-0,0020	-4,6798	0,0000	1,1323	-0,0002
2	MyMin	[1,3*pp+perm+pp fondazioni] {1,5*neve} (1,5*0,6*vento)	-0,0010	-0,0020	-4,6798	0,0000	-2,7292	0,0013
2	MzMax	[pp+perm+pp fondazioni] {SEISMIC 1+}	-0,1149	-0,1486	-2,2603	0,0000	-1,1184	0,0991
2	MzMin	[pp+perm+pp fondazioni] {SEISMIC 1-}	-0,1149	-0,1486	-2,2603	0,0000	-1,1184	-0,0982
3	NxMax	[pp+perm+pp fondazioni] {SEISMIC 1+}	-15,4005	-1,9086	2,7164	-0,0148	-0,2168	0,1930
3	NxMin	[1,3*pp+perm+1,3*pp fondazioni] {1,5*neve} (1,5*0,6*vento)	-68,7063	-0,4301	1,1847	-0,0062	-3,8446	-1,1665
3	VyMax	[pp+perm+pp fondazioni] {SEISMIC 1+}	-22,1552	1,6208	2,7164	-0,0148	-8,7734	-6,1072
3	VyMin	[pp+perm+pp fondazioni] {SEISMIC 1-}	-22,1552	-1,9086	2,7164	-0,0148	-8,7734	-6,1072
3	VzMax	[pp+perm+pp fondazioni] {SEISMIC 1+}	-22,1552	-1,9086	2,7164	-0,0148	-8,7734	-6,1072
3	VzMin	[pp+perm+pp fondazioni] {SEISMIC 1-}	-22,1552	-1,9086	-1,8980	-0,0148	-8,7734	-6,1072
3	TxMax	[pp+perm+pp fondazioni] {SEISMIC 1+}	-22,1552	-1,9086	2,7164	0,0117	-8,7734	-6,1072
3	TxMin	[pp+perm+pp fondazioni] {SEISMIC 1-}	-22,1552	-1,9086	2,7164	-0,0148	-8,7734	-6,1072
3	MyMax	[pp+perm+pp fondazioni] {SEISMIC 1+}	-22,1552	-1,9086	2,7164	-0,0148	6,0913	-6,1072
3	MyMin	[pp+perm+pp fondazioni] {SEISMIC 1-}	-22,1552	-1,9086	2,7164	-0,0148	-8,7734	-6,1072
3	MzMax	[pp+perm+pp fondazioni] {SEISMIC 1+}	-22,1552	-1,9086	2,7164	-0,0148	-8,7734	5,2970
3	MzMin	[pp+perm+pp fondazioni] {SEISMIC 1-}	-22,1552	-1,9086	2,7164	-0,0148	-8,7734	-6,1072
4	NxMax	[pp+perm+pp fondazioni] {SEISMIC 1+}	-15,9468	-1,7577	1,4687	-0,0487	-0,1368	0,1506
4	NxMin	[1,3*pp+perm+1,3*pp fondazioni] {1,5*neve} (1,5*0,6*vento)	-70,8635	0,2370	1,0845	-0,0418	-3,6046	0,7688
4	VyMax	[pp+perm+pp fondazioni] {SEISMIC 1+}	-22,4649	1,7561	1,4687	-0,0487	-4,7631	-5,6819
4	VyMin	[pp+perm+pp fondazioni] {SEISMIC 1-}	-22,4649	-1,7577	1,4687	-0,0487	-4,7631	-5,6819
4	VzMax	[pp+perm+pp fondazioni] {SEISMIC 1+}	-22,4649	-1,7577	1,4687	-0,0487	-4,7631	-5,6819
4	VzMin	[pp+perm+pp fondazioni] {SEISMIC 1-}	-22,4649	-1,7577	-0,6619	-0,0487	-4,7631	-5,6819
4	TxMax	[pp+perm+pp fondazioni] {SEISMIC 1+}	-22,4649	-1,7577	1,4687	0,0274	-4,7631	-5,6819
4	TxMin	[pp+perm+pp fondazioni] {SEISMIC 1-}	-22,4649	-1,7577	1,4687	-0,0487	-4,7631	-5,6819
4	MyMax	[pp+perm+pp fondazioni] {SEISMIC 1+}	-22,4649	-1,7577	1,4687	-0,0487	2,0721	-5,6819
4	MyMin	[pp+perm+pp fondazioni] {SEISMIC 1-}	-22,4649	-1,7577	1,4687	-0,0487	-4,7631	-5,6819
4	MzMax	[pp+perm+pp fondazioni] {SEISMIC 1+}	-22,4649	-1,7577	1,4687	-0,0487	-4,7631	5,6809
4	MzMin	[pp+perm+pp fondazioni] {SEISMIC 1-}	-22,4649	-1,7577	1,4687	-0,0487	-4,7631	-5,6819
5	NxMax	[pp+perm+pp fondazioni] {SEISMIC 1+}	-7,7813	-1,9112	1,1536	-0,0239	-0,1381	0,2574
5	NxMin	[1,3*pp+perm+1,3*pp fondazioni] {1,5*neve} (1,5*0,6*vento)	-37,9788	-0,9087	-0,1424	0,0033	0,3342	-2,3148
5	VyMax	[pp+perm+pp fondazioni] {SEISMIC 1+}	-14,3809	1,1647	1,1536	-0,0239	-3,7717	-6,0265
5	VyMin	[pp+perm+pp fondazioni] {SEISMIC 1-}	-14,3809	-1,9112	1,1536	-0,0239	-3,7717	-6,0265
5	VzMax	[pp+perm+pp fondazioni] {SEISMIC 1+}	-14,3809	-1,9112	1,1536	-0,0239	-3,7717	-6,0265
5	VzMin	[pp+perm+pp fondazioni] {SEISMIC 1-}	-14,3809	-1,9112	-1,0396	-0,0239	-3,7717	-6,0265
5	TxMax	[pp+perm+pp fondazioni] {SEISMIC 1+}	-14,3809	-1,9112	1,1536	0,0185	-3,7717	-6,0265
5	TxMin	[pp+perm+pp fondazioni] {SEISMIC 1-}	-14,3809	-1,9112	1,1536	-0,0239	-3,7717	-6,0265
5	MyMax	[pp+perm+pp fondazioni] {SEISMIC 1+}	-14,3809	-1,9112	1,1536	-0,0239	3,3023	-6,0265
5	MyMin	[pp+perm+pp fondazioni] {SEISMIC 1-}	-14,3809	-1,9112	1,1536	-0,0239	-3,7717	-6,0265

5	MzMax	[pp+perm+pp fondazioni] {SEISMIC 1+}	-14,3809	-1,9112	1,1536	-0,0239	-3,7717	3,9246
5	MzMin	[pp+perm+pp fondazioni] {SEISMIC 1-}	-14,3809	-1,9112	1,1536	-0,0239	-3,7717	-6,0265
6	NxMax	[pp+perm+pp fondazioni] {SEISMIC 1+}	-11,8092	-1,2531	-2,3730	-0,0150	0,2504	-0,1872
6	NxMin	[1,3*pp+perm+1,3*pp fondazioni] {1,5*neve} (1,5*0,6*vento)	-54,9823	-0,0589	-0,6310	-0,0098	2,2287	-0,3084
6	VyMax	[pp+perm+pp fondazioni] {SEISMIC 1+}	-18,4671	1,2121	-2,3730	-0,0150	7,7254	-4,1255
6	VyMin	[pp+perm+pp fondazioni] {SEISMIC 1-}	-18,4671	-1,2531	-2,3730	-0,0150	7,7254	-4,1255
6	VzMax	[pp+perm+pp fondazioni] {SEISMIC 1+}	-18,4671	-1,2531	1,9168	-0,0150	7,7254	-4,1255
6	VzMin	[pp+perm+pp fondazioni] {SEISMIC 1-}	-18,4671	-1,2531	-2,3730	-0,0150	7,7254	-4,1255
6	TxMax	[pp+perm+pp fondazioni] {SEISMIC 1+}	-18,4671	-1,2531	-2,3730	0,0102	7,7254	-4,1255
6	TxMin	[pp+perm+pp fondazioni] {SEISMIC 1-}	-18,4671	-1,2531	-2,3730	-0,0150	7,7254	-4,1255
6	MyMax	[pp+perm+pp fondazioni] {SEISMIC 1+}	-18,4671	-1,2531	-2,3730	-0,0150	7,7254	-4,1255
6	MyMin	[pp+perm+pp fondazioni] {SEISMIC 1-}	-18,4671	-1,2531	-2,3730	-0,0150	-6,1238	-4,1255
6	MzMax	[pp+perm+pp fondazioni] {SEISMIC 1+}	-18,4671	-1,2531	-2,3730	-0,0150	7,7254	3,9201
6	MzMin	[pp+perm+pp fondazioni] {SEISMIC 1-}	-18,4671	-1,2531	-2,3730	-0,0150	7,7254	-4,1255
7	NxMax	[pp+perm+pp fondazioni] {SEISMIC 1+}	-14,9573	2,7708	-3,6390	-0,9417	-1,2411	-0,4889
7	NxMin	[1,3*pp+perm+1,3*pp fondazioni] {1,5*neve} (1,5*0,6*vento)	-78,0647	0,5573	-1,6629	-1,5791	1,7344	1,3017
7	VyMax	[pp+perm+pp fondazioni] {SEISMIC 1+}	-30,2320	2,7708	-3,6390	-0,9417	10,8520	8,9224
7	VyMin	[pp+perm+pp fondazioni] {SEISMIC 1-}	-30,2320	-2,5250	-3,6390	-0,9417	10,8520	8,9224
7	VzMax	[pp+perm+pp fondazioni] {SEISMIC 1+}	-30,2320	2,7708	2,4792	-0,9417	10,8520	8,9224
7	VzMin	[pp+perm+pp fondazioni] {SEISMIC 1-}	-30,2320	2,7708	-3,6390	-0,9417	10,8520	8,9224
7	TxMax	[pp+perm+pp fondazioni] {SEISMIC 1+}	-30,2320	2,7708	-3,6390	0,1434	10,8520	8,9224
7	TxMin	[1,3*pp+perm+1,3*pp fondazioni] {1,5*neve} (1,5*0,6*vento)	-78,0647	0,5573	-1,6629	-1,5791	1,7344	1,3017
7	MyMax	[pp+perm+pp fondazioni] {SEISMIC 1+}	-30,2320	2,7708	-3,6390	-0,9417	10,8520	8,9224
7	MyMin	[pp+perm+pp fondazioni] {SEISMIC 1-}	-30,2320	2,7708	-3,6390	-0,9417	-9,0476	8,9224
7	MzMax	[pp+perm+pp fondazioni] {SEISMIC 1+}	-30,2320	2,7708	-3,6390	-0,9417	10,8520	8,9224
7	MzMin	[pp+perm+pp fondazioni] {SEISMIC 1-}	-30,2320	2,7708	-3,6390	-0,9417	10,8520	-8,3860
8	NxMax	[pp+perm+pp fondazioni] {SEISMIC 1+}	-7,9828	1,2346	-2,1548	0,0397	0,2341	0,0619
8	NxMin	[1,3*pp+perm+1,3*pp fondazioni] {1,5*neve} (1,5*0,6*vento)	-38,9980	-0,1145	-0,9432	0,0509	3,2411	-0,2528
8	VyMax	[pp+perm+pp fondazioni] {SEISMIC 1+}	-15,1721	1,2346	-2,1548	0,0397	7,0217	3,9449
8	VyMin	[pp+perm+pp fondazioni] {SEISMIC 1-}	-15,1721	-1,1334	-2,1548	0,0397	7,0217	3,9449
8	VzMax	[pp+perm+pp fondazioni] {SEISMIC 1+}	-15,1721	1,2346	1,4946	0,0397	7,0217	3,9449
8	VzMin	[pp+perm+pp fondazioni] {SEISMIC 1-}	-15,1721	1,2346	-2,1548	0,0397	7,0217	3,9449
8	TxMax	[1,3*pp+perm+1,3*pp fondazioni] {1,5*neve} (1,5*0,6*vento)	-38,9980	-0,1145	-0,9432	0,0509	3,2411	-0,2528
8	TxMin	[pp+perm+pp fondazioni] {SEISMIC 1-}	-15,1721	1,2346	-2,1548	-0,0111	7,0217	3,9449
8	MyMax	[pp+perm+pp fondazioni] {SEISMIC 1+}	-15,1721	1,2346	-2,1548	0,0397	7,0217	3,9449
8	MyMin	[pp+perm+pp fondazioni] {SEISMIC 1-}	-15,1721	1,2346	-2,1548	0,0397	-4,7593	3,9449
8	MzMax	[pp+perm+pp fondazioni] {SEISMIC 1+}	-15,1721	1,2346	-2,1548	0,0397	7,0217	3,9449
8	MzMin	[pp+perm+pp fondazioni] {SEISMIC 1-}	-15,1721	1,2346	-2,1548	0,0397	7,0217	-3,5862
9	NxMax	[pp+perm+pp fondazioni] {SEISMIC 1+}	-5,8314	1,9146	1,4180	0,0695	-0,1295	0,1849
9	NxMin	[1,3*pp+perm+pp fondazioni] {1,5*neve} (1,5*0,6*vento)	-30,2225	1,2130	0,5978	0,0464	-1,9226	3,9543
9	VyMax	[pp+perm+pp fondazioni] {SEISMIC 1+}	-12,5193	1,9146	1,4180	0,0695	-4,5957	6,2155
9	VyMin	[pp+perm+pp fondazioni] {SEISMIC 1-}	-12,5193	-0,8223	1,4180	0,0695	-4,5957	6,2155
9	VzMax	[pp+perm+pp fondazioni] {SEISMIC 1+}	-12,5193	1,9146	1,4180	0,0695	-4,5957	6,2155
9	VzMin	[pp+perm+pp fondazioni] {SEISMIC 1-}	-12,5193	1,9146	-0,9818	0,0695	-4,5957	6,2155
9	TxMax	[pp+perm+pp fondazioni] {SEISMIC 1+}	-12,5193	1,9146	1,4180	0,0695	-4,5957	6,2155
9	TxMin	[pp+perm+pp fondazioni] {SEISMIC 1-}	-12,5193	1,9146	1,4180	-0,0373	-4,5957	6,2155
9	MyMax	[pp+perm+pp fondazioni] {SEISMIC 1+}	-12,5193	1,9146	1,4180	0,0695	3,1648	6,2155
9	MyMin	[pp+perm+pp fondazioni] {SEISMIC 1-}	-12,5193	1,9146	1,4180	0,0695	-4,5957	6,2155

9	MzMax	[pp+perm+pp fondazioni] {SEISMIC 1+}	-12,5193	1,9146	1,4180	0,0695	-4,5957	6,2155
9	MzMin	[pp+perm+pp fondazioni] {SEISMIC 1-}	-12,5193	1,9146	1,4180	0,0695	-4,5957	-2,6546
10	NxMax	[pp+perm+pp fondazioni] {1,5*neve} (1,5*0,6*vento)	1,0234	0,8447	9,9192	-0,0649	-0,1071	0,0885
10	NxMin	[pp+perm+pp fondazioni] {SEISMIC 1-}	-0,6512	0,6506	3,4553	-0,0767	-0,2185	0,1096
10	VyMax	[1,3*pp+perm+pp fondazioni] {1,5*neve} (1,5*0,6*vento)	1,0216	0,9310	10,8443	-0,0729	-0,1298	0,0968
10	VyMin	[pp+perm+pp fondazioni] {SEISMIC 1-}	-0,6512	-0,0751	3,4553	-0,0767	-0,2185	0,1096
10	VzMax	[1,3*pp+perm+pp fondazioni] {1,5*neve} (1,5*0,6*vento)	1,0216	0,9310	11,0484	-0,0729	8,6273	-0,6480
10	VzMin	[pp+perm+pp fondazioni] {SEISMIC 1-}	-0,6512	0,6506	2,7125	-0,0767	-0,2185	0,1096
10	TxMax	[pp+perm+pp fondazioni] {SEISMIC 1+}	-0,6512	0,6506	3,4553	0,0234	-0,2185	0,1096
10	TxMin	[pp+perm+pp fondazioni] {SEISMIC 1-}	-0,6512	0,6506	3,4553	-0,0767	-0,2185	0,1096
10	MyMax	[1,3*pp+perm+pp fondazioni] {1,5*neve} (1,5*0,6*vento)	1,0216	0,9310	11,0484	-0,0729	8,6273	-0,6480
10	MyMin	[pp+perm+pp fondazioni] {SEISMIC 1-}	-0,6512	0,6506	3,4553	-0,0767	-0,2185	0,1096
10	MzMax	[pp+perm+pp fondazioni] {SEISMIC 1+}	-0,6512	0,6506	3,4553	-0,0767	-0,2185	0,1096
10	MzMin	[1,3*pp+perm+pp fondazioni] {1,5*neve} (1,5*0,6*vento)	1,0216	0,9310	11,0484	-0,0729	8,6273	-0,6480
21	NxMax	[1,3*pp+perm+1,3*pp fondazioni] {1,5*neve} (1,5*0,6*vento)	36,5190	-0,0461	-0,6872	-0,0137	0,8363	-0,1789
21	NxMin	[pp+perm+pp fondazioni] {SEISMIC 1-}	9,3234	-0,0283	-0,4730	-0,0066	0,5458	-0,2619
21	VyMax	[pp+perm+pp fondazioni] {SEISMIC 1+}	9,4154	0,0020	-0,4730	-0,0066	0,5458	-0,2619
21	VyMin	[1,3*pp+perm+pp fondazioni] {1,5*neve} (1,5*0,6*vento)	36,5190	-0,0461	-0,6872	-0,0137	0,8363	-0,1789
21	VzMax	[1,3*pp+perm+pp fondazioni]	12,1802	-0,0171	0,3937	-0,0051	0,1108	0,0293
21	VzMin	[1,3*pp+perm+1,3*pp fondazioni] {1,5*neve} (1,5*0,6*vento)	36,5190	-0,0461	-0,6872	-0,0137	0,8363	-0,1789
21	TxMax	[pp+perm+pp fondazioni] {SEISMIC 1+}	9,4154	-0,0283	-0,4730	-0,0013	0,5458	-0,2619
21	TxMin	[1,3*pp+perm+1,3*pp fondazioni] {1,5*neve} (1,5*0,6*vento)	36,5190	-0,0461	-0,6872	-0,0137	0,8363	-0,1789
21	MyMax	[1,3*pp+perm+1,3*pp fondazioni] {1,5*neve} (1,5*0,6*vento)	36,5190	-0,0461	-0,6872	-0,0137	0,8363	-0,1789
21	MyMin	[1,3*pp+perm+1,3*pp fondazioni] {1,5*neve} (1,5*0,6*vento)	36,5190	-0,0461	-0,0345	-0,0137	-0,5353	-0,0035
21	MzMax	[pp+perm+pp fondazioni] {SEISMIC 1+}	9,4154	-0,0283	-0,4730	-0,0066	0,5458	0,1644
21	MzMin	[pp+perm+pp fondazioni] {SEISMIC 1-}	9,4154	-0,0283	-0,4730	-0,0066	0,5458	-0,2619
24	NxMax	[1,3*pp+perm+1,3*pp fondazioni] {1,5*neve} (1,5*0,6*vento)	41,2991	0,0189	-0,6386	-0,0002	0,6591	0,0484
24	NxMin	[pp+perm+pp fondazioni] {SEISMIC 1-}	9,2830	0,0203	-0,4459	-0,0035	0,4254	0,2227
24	VyMax	[pp+perm+pp fondazioni] {SEISMIC 1+}	11,9816	0,0203	-0,4459	-0,0035	0,4254	0,2227
24	VyMin	[pp+perm+pp fondazioni] {SEISMIC 1-}	11,9816	-0,0126	-0,4459	-0,0035	0,4254	0,2227
24	VzMax	[1,3*pp+perm+pp fondazioni]	13,8220	0,0050	0,4128	-0,0004	0,1468	-0,0144
24	VzMin	[1,3*pp+perm+1,3*pp fondazioni] {1,5*neve} (1,5*0,6*vento)	41,2991	0,0189	-0,6386	-0,0002	0,6591	0,0484
24	TxMax	[pp+perm+pp fondazioni] {SEISMIC 1+}	11,9816	0,0203	-0,4459	0,0030	0,4254	0,2227
24	TxMin	[pp+perm+pp fondazioni] {SEISMIC 1-}	11,9816	0,0203	-0,4459	-0,0035	0,4254	0,2227
24	MyMax	[1,3*pp+perm+1,3*pp fondazioni] {1,5*neve} (1,5*0,6*vento)	41,2991	0,0189	-0,6386	-0,0002	0,6591	0,0484
24	MyMin	[1,3*pp+perm+1,3*pp fondazioni] {1,5*neve} (1,5*0,6*vento)	41,2991	0,0189	0,0141	-0,0002	-0,5277	-0,0235
24	MzMax	[pp+perm+pp fondazioni] {SEISMIC 1+}	11,9816	0,0203	-0,4459	-0,0035	0,4254	0,2227
24	MzMin	[pp+perm+pp fondazioni] {SEISMIC 1-}	11,9816	0,0203	-0,4459	-0,0035	0,4254	-0,2029
27	NxMax	[1,3*pp+perm+1,3*pp fondazioni] {1,5*neve} (1,5*0,6*vento)	15,4251	-0,0174	-0,5437	-0,0055	0,2504	-0,0778
27	NxMin	[pp+perm+pp fondazioni] {SEISMIC 1-}	3,6634	-0,0244	-0,4179	-0,0055	0,3442	-0,2179
27	VyMax	[pp+perm+pp fondazioni] {SEISMIC 1+}	3,9061	0,0133	-0,4179	-0,0055	0,3442	-0,2179
27	VyMin	[pp+perm+pp fondazioni] {SEISMIC 1-}	3,9061	-0,0244	-0,4179	-0,0055	0,3442	-0,2179
27	VzMax	[1,3*pp+perm+pp fondazioni]	4,9201	-0,0073	0,4428	-0,0023	0,1778	0,0108
27	VzMin	[1,3*pp+perm+1,3*pp fondazioni] {1,5*neve} (1,5*0,6*vento)	15,4251	-0,0174	-0,5437	-0,0055	0,2504	-0,0778
27	TxMax	[pp+perm+pp fondazioni] {SEISMIC 1+}	3,9061	-0,0244	-0,4179	0,0020	0,3442	-0,2179
27	TxMin	[1,3*pp+perm+pp fondazioni] {1,5*neve} (1,5*0,6*vento)	15,4251	-0,0174	-0,5437	-0,0055	0,2504	-0,0778
27	MyMax	[pp+perm+pp fondazioni] {SEISMIC 1+}	3,9061	-0,0244	-0,4179	-0,0055	0,3442	-0,2179
27	MyMin	[1,3*pp+perm+1,3*pp fondazioni] {1,5*neve} (1,5*0,6*vento)	15,4251	-0,0174	0,0157	-0,0055	-0,6096	-0,0213

27	MzMax	[pp+perm+pp fondazioni] {SEISMIC 1+}	3,9061	-0,0244	-0,4179	-0,0055	0,3442	0,1737
27	MzMin	[pp+perm+pp fondazioni] {SEISMIC 1-}	3,9061	-0,0244	-0,4179	-0,0055	0,3442	-0,2179
28	NxMax	[1,3*pp+perm+pp fondazioni] {1,5*neve} (1,5*0,6*vento)	11,3558	0,4337	-8,7316	-0,0580	0,0000	0,5095
28	NxMin	[pp+perm+pp fondazioni] {SEISMIC 1-}	2,6097	0,4677	-2,4452	-0,0472	0,0000	0,2827
28	VyMax	[pp+perm+pp fondazioni] {SEISMIC 1+}	3,3682	0,4677	-2,4452	-0,0472	0,0000	0,2827
28	VyMin	[pp+perm+pp fondazioni] {SEISMIC 1-}	3,3682	-0,2274	-2,4452	-0,0472	0,0000	0,2827
28	VzMax	[pp+perm+pp fondazioni] {SEISMIC 1+}	3,3682	0,4677	-1,9018	-0,0472	-4,2916	-0,6085
28	VzMin	[1,3*pp+perm+1,3*pp fondazioni] {1,5*neve} (1,5*0,6*vento)	11,3558	0,4337	-8,7316	-0,0580	0,0000	0,5095
28	TxMax	[pp+perm+pp fondazioni] {SEISMIC 1+}	3,3682	0,4677	-2,4452	0,0136	0,0000	0,2827
28	TxMin	[1,3*pp+perm+pp fondazioni] {1,5*neve} (1,5*0,6*vento)	11,3558	0,4337	-8,7316	-0,0580	0,0000	0,5095
28	MyMax	[pp+perm+pp fondazioni] {SEISMIC 1+}	3,3682	0,4677	-2,4452	-0,0472	0,0000	0,2827
28	MyMin	[1,3*pp+perm+1,3*pp fondazioni] {1,5*neve} (1,5*0,6*vento)	11,3558	0,4337	-8,2469	-0,0580	-16,1295	-0,3147
28	MzMax	[1,3*pp+perm+1,3*pp fondazioni] {1,5*neve} (1,5*0,6*vento)	11,3558	0,4337	-8,7316	-0,0580	0,0000	0,5095
28	MzMin	[pp+perm+pp fondazioni] {SEISMIC 1-}	3,3682	0,4677	-2,0723	-0,0472	-4,2916	-0,6085
29	NxMax	[1,3*pp+perm+pp fondazioni] {1,5*neve} (1,5*0,6*vento)	9,9577	0,0037	8,1362	0,0018	-16,3506	-0,3333
29	NxMin	[pp+perm+pp fondazioni] {SEISMIC 1-}	1,6599	0,6132	2,0379	-0,0390	-4,3469	-0,6489
29	VyMax	[pp+perm+pp fondazioni] {SEISMIC 1+}	3,6452	0,6132	2,0379	-0,0390	-4,3469	-0,6489
29	VyMin	[pp+perm+pp fondazioni] {SEISMIC 1-}	3,6452	-0,6018	2,0379	-0,0390	-4,3469	-0,6489
29	VzMax	[1,3*pp+perm+1,3*pp fondazioni] {1,5*neve} (1,5*0,6*vento)	9,9577	0,0037	8,6336	0,0018	0,0000	-0,3406
29	VzMin	[pp+perm+pp fondazioni] {SEISMIC 1-}	3,6452	0,6132	1,8693	-0,0390	-4,3469	-0,6489
29	TxMax	[pp+perm+pp fondazioni] {SEISMIC 1+}	3,6452	0,6132	2,0379	0,0389	-4,3469	-0,6489
29	TxMin	[pp+perm+pp fondazioni] {SEISMIC 1-}	3,6452	0,6132	2,0379	-0,0390	-4,3469	-0,6489
29	MyMax	[pp+perm+pp fondazioni] {SEISMIC 1+}	3,6452	0,6132	2,4205	-0,0390	0,0000	-0,7347
29	MyMin	[1,3*pp+perm+1,3*pp fondazioni] {1,5*neve} (1,5*0,6*vento)	9,9577	0,0037	8,1362	0,0018	-16,3506	-0,3333
29	MzMax	[pp+perm+pp fondazioni] {SEISMIC 1+}	3,6452	0,6132	2,4205	-0,0390	0,0000	0,5394
29	MzMin	[pp+perm+pp fondazioni] {SEISMIC 1-}	3,6452	0,6132	2,4205	-0,0390	0,0000	-0,7347
30	NxMax	[1,3*pp+perm+pp fondazioni] {1,5*neve} (1,5*0,6*vento)	4,5789	0,0179	-8,5971	0,0233	0,0000	0,1299
30	NxMin	[pp+perm+pp fondazioni] {SEISMIC 1-}	0,2248	0,3175	-2,4643	0,0342	0,0000	0,1474
30	VyMax	[pp+perm+pp fondazioni] {SEISMIC 1+}	1,8887	0,3175	-2,4643	0,0342	0,0000	0,1474
30	VyMin	[pp+perm+pp fondazioni] {SEISMIC 1-}	1,8887	-0,3031	-2,4643	0,0342	0,0000	0,1474
30	VzMax	[pp+perm+pp fondazioni] {SEISMIC 1+}	1,8887	0,3175	-1,8567	0,0342	-4,3279	0,5123
30	VzMin	[1,3*pp+perm+pp fondazioni] {1,5*neve} (1,5*0,6*vento)	4,5789	0,0179	-8,5971	0,0233	0,0000	0,1299
30	TxMax	[pp+perm+pp fondazioni] {SEISMIC 1+}	1,8887	0,3175	-2,4643	0,0342	0,0000	0,1474
30	TxMin	[pp+perm+pp fondazioni] {SEISMIC 1-}	1,8887	0,3175	-2,4643	-0,0208	0,0000	0,1474
30	MyMax	[pp+perm+pp fondazioni] {SEISMIC 1+}	1,8887	0,3175	-2,4643	0,0342	0,0000	0,1474
30	MyMin	[1,3*pp+perm+pp fondazioni] {1,5*neve} (1,5*0,6*vento)	4,5789	0,0179	-8,1124	0,0233	-15,8741	0,0959
30	MzMax	[pp+perm+pp fondazioni] {SEISMIC 1+}	1,8887	0,3175	-2,0914	0,0342	-4,3279	0,5123
30	MzMin	[pp+perm+pp fondazioni] {SEISMIC 1-}	1,8887	0,3175	-2,0914	0,0342	-4,3279	-0,4573
31	NxMax	[pp+perm+pp fondazioni] {SEISMIC 1+}	3,5907	0,3550	2,0292	0,0550	-4,3301	0,5410
31	NxMin	[pp+perm+pp fondazioni] {SEISMIC 1-}	-1,9371	0,3550	2,0292	0,0550	-4,3301	0,5410
31	VyMax	[pp+perm+pp fondazioni] {SEISMIC 1+}	3,5907	0,3550	2,0292	0,0550	-4,3301	0,5410
31	VyMin	[pp+perm+pp fondazioni] {SEISMIC 1-}	3,5907	-0,3117	2,0292	0,0550	-4,3301	0,5410
31	VzMax	[1,3*pp+perm+pp fondazioni] {1,5*neve} (1,5*0,6*vento)	3,3730	0,0733	8,4705	0,0177	0,0000	-0,0385
31	VzMin	[pp+perm+pp fondazioni] {SEISMIC 1-}	3,5907	0,3550	1,8263	0,0550	-4,3301	0,5410
31	TxMax	[pp+perm+pp fondazioni] {SEISMIC 1+}	3,5907	0,3550	2,0292	0,0550	-4,3301	0,5410
31	TxMin	[pp+perm+pp fondazioni] {SEISMIC 1-}	3,5907	0,3550	2,0292	-0,0452	-4,3301	0,5410
31	MyMax	[pp+perm+pp fondazioni] {SEISMIC 1+}	3,5907	0,3550	2,4119	0,0550	0,0000	-0,1538
31	MyMin	[1,3*pp+perm+pp fondazioni] {1,5*neve} (1,5*0,6*vento)	3,3730	0,0733	7,9731	0,0177	-16,0325	0,1044

31	MzMax	[pp+perm+pp fondazioni] {SEISMIC 1+}	3,5907	0,3550	2,0292	0,0550	-4,3301	0,5410
31	MzMin	[pp+perm+pp fondazioni] {SEISMIC 1-}	3,5907	0,3550	2,0292	0,0550	-4,3301	-0,4804
34	NxMax	[1,3*pp+perm+pp fondazioni] {1,5*neve} (1,5*0,6*vento)	18,7080	-0,1092	-0,3874	-0,0318	-0,1413	-0,4095
34	NxMin	[pp+perm+pp fondazioni] {SEISMIC 1-}	4,0732	-0,0435	-0,3778	-0,0114	0,2285	-0,2992
34	VyMax	[pp+perm+pp fondazioni] {SEISMIC 1+}	5,3846	-0,0174	-0,3778	-0,0114	0,2285	-0,2992
34	VyMin	[1,3*pp+perm+pp fondazioni] {1,5*neve} (1,5*0,6*vento)	18,7080	-0,1092	-0,3874	-0,0318	-0,1413	-0,4095
34	VzMax	[1,3*pp+perm+pp fondazioni] {1,5*neve} (1,5*0,6*vento)	18,7080	-0,1092	0,5450	-0,0318	0,2866	0,1834
34	VzMin	[1,3*pp+perm+1,3*pp fondazioni]	6,1476	-0,0396	-0,4340	-0,0115	0,1640	-0,1445
34	TxMax	[pp+perm+pp fondazioni] {SEISMIC 1+}	5,3846	-0,0435	-0,3778	-0,0063	0,2285	-0,2992
34	TxMin	[1,3*pp+perm+1,3*pp fondazioni] {1,5*neve} (1,5*0,6*vento)	18,7080	-0,1092	-0,3874	-0,0318	-0,1413	-0,4095
34	MyMax	[pp+perm+pp fondazioni] {SEISMIC 1+}	5,3846	-0,0435	0,4272	-0,0114	0,3965	0,1782
34	MyMin	[1,3*pp+perm+1,3*pp fondazioni] {1,5*neve} (1,5*0,6*vento)	18,7080	-0,1092	-0,0144	-0,0318	-0,5777	-0,1724
34	MzMax	[1,3*pp+perm+pp fondazioni] {1,5*neve} (1,5*0,6*vento)	18,7080	-0,1092	0,5450	-0,0318	0,2866	0,1834
34	MzMin	[1,3*pp+perm+pp fondazioni] {1,5*neve} (1,5*0,6*vento)	18,7080	-0,1092	-0,3874	-0,0318	-0,1413	-0,4095
35	NxMax	[1,3*pp+perm+pp fondazioni] {1,5*neve} (1,5*0,6*vento)	14,4386	-0,6669	9,2145	-0,0314	-17,9680	-0,6880
35	NxMin	[pp+perm+pp fondazioni] {SEISMIC 1-}	2,7884	-0,4618	2,4601	-0,0458	-5,0283	-0,5653
35	VyMax	[pp+perm+pp fondazioni] {SEISMIC 1+}	4,9236	0,0745	2,4601	-0,0458	-5,0283	-0,5653
35	VyMin	[1,3*pp+perm+1,3*pp fondazioni] {1,5*neve} (1,5*0,6*vento)	14,4386	-0,6669	9,2145	-0,0314	-17,9680	-0,6880
35	VzMax	[1,3*pp+perm+pp fondazioni] {1,5*neve} (1,5*0,6*vento)	14,4386	-0,6669	9,6992	-0,0314	0,0000	0,5791
35	VzMin	[pp+perm+pp fondazioni] {SEISMIC 1-}	4,9236	-0,4618	2,1147	-0,0458	-5,0283	-0,5653
35	TxMax	[pp+perm+pp fondazioni] {SEISMIC 1+}	4,9236	-0,4618	2,4601	0,0303	-5,0283	-0,5653
35	TxMin	[pp+perm+pp fondazioni] {SEISMIC 1-}	4,9236	-0,4618	2,4601	-0,0458	-5,0283	-0,5653
35	MyMax	[pp+perm+pp fondazioni] {SEISMIC 1+}	4,9236	-0,4618	2,8329	-0,0458	0,0000	0,3145
35	MyMin	[1,3*pp+perm+pp fondazioni] {1,5*neve} (1,5*0,6*vento)	14,4386	-0,6669	9,2145	-0,0314	-17,9680	-0,6880
35	MzMax	[1,3*pp+perm+1,3*pp fondazioni] {1,5*neve} (1,5*0,6*vento)	14,4386	-0,6669	9,6992	-0,0314	0,0000	0,5791
35	MzMin	[1,3*pp+perm+1,3*pp fondazioni] {1,5*neve} (1,5*0,6*vento)	14,4386	-0,6669	9,2145	-0,0314	-17,9680	-0,6880
36	NxMax	[1,3*pp+perm+pp fondazioni] {1,5*neve} (1,5*0,6*vento)	1,6341	-0,3804	2,5327	-0,0493	-5,2726	-0,5659
36	NxMin	[pp+perm+pp fondazioni] {SEISMIC 1-}	-1,0017	-0,4091	0,7598	-0,0284	-1,7979	-0,6188
36	VyMax	[pp+perm+pp fondazioni] {SEISMIC 1+}	1,4455	0,1970	0,7598	-0,0284	-1,7979	-0,6188
36	VyMin	[pp+perm+pp fondazioni] {SEISMIC 1-}	1,4455	-0,4091	0,7598	-0,0284	-1,7979	-0,6188
36	VzMax	[1,3*pp+perm+pp fondazioni] {1,5*neve} (1,5*0,6*vento)	1,6341	-0,3804	3,0174	-0,0493	0,0000	0,1570
36	VzMin	[pp+perm+pp fondazioni] {SEISMIC 1-}	1,4455	-0,4091	0,1680	-0,0284	-1,7979	-0,6188
36	TxMax	[pp+perm+pp fondazioni] {SEISMIC 1+}	1,4455	-0,4091	0,7598	-0,0013	-1,7979	-0,6188
36	TxMin	[1,3*pp+perm+pp fondazioni] {1,5*neve} (1,5*0,6*vento)	1,6341	-0,3804	2,5327	-0,0493	-5,2726	-0,5659
36	MyMax	[pp+perm+pp fondazioni] {SEISMIC 1+}	1,4455	-0,4091	1,1327	-0,0284	0,0000	0,1593
36	MyMin	[1,3*pp+perm+pp fondazioni] {1,5*neve} (1,5*0,6*vento)	1,6341	-0,3804	2,5327	-0,0493	-5,2726	-0,5659
36	MzMax	[pp+perm+pp fondazioni] {SEISMIC 1+}	1,4455	-0,4091	0,7598	-0,0284	-1,7979	0,3120
36	MzMin	[pp+perm+pp fondazioni] {SEISMIC 1-}	1,4455	-0,4091	0,7598	-0,0284	-1,7979	-0,6188
37	NxMax	[1,3*pp+perm+pp fondazioni] {1,5*neve} (1,5*0,6*vento)	0,9070	-0,0122	-20,4174	0,0934	8,7479	-0,5972
37	NxMin	[pp+perm+pp fondazioni] {SEISMIC 1-}	-0,3164	-1,1796	-5,7686	0,0589	2,9579	-0,5034
37	VyMax	[pp+perm+pp fondazioni] {SEISMIC 1+}	0,4050	1,0949	-5,7686	0,0589	2,9579	-0,5034
37	VyMin	[pp+perm+pp fondazioni] {SEISMIC 1-}	0,4050	-1,1796	-5,7686	0,0589	2,9579	-0,5034
37	VzMax	[pp+perm+pp fondazioni] {SEISMIC 1+}	0,4050	-1,1796	-4,9732	0,0589	-1,5700	-0,6422
37	VzMin	[1,3*pp+perm+1,3*pp fondazioni] {1,5*neve} (1,5*0,6*vento)	0,9070	-0,0122	-20,4174	0,0934	8,7479	-0,5972
37	TxMax	[1,3*pp+perm+1,3*pp fondazioni] {1,5*neve} (1,5*0,6*vento)	0,9070	-0,0122	-20,4174	0,0934	8,7479	-0,5972
37	TxMin	[pp+perm+pp fondazioni] {SEISMIC 1-}	0,4050	-1,1796	-5,7686	-0,0021	2,9579	-0,5034
37	MyMax	[1,3*pp+perm+1,3*pp fondazioni] {1,5*neve} (1,5*0,6*vento)	0,9070	-0,0122	-20,4174	0,0934	8,7479	-0,5972
37	MyMin	[1,3*pp+perm+1,3*pp fondazioni] {1,5*neve} (1,5*0,6*vento)	0,9070	-0,0122	-20,2388	0,0934	-5,4818	-0,5886

37	MzMax	[pp+perm+pp fondazioni] {SEISMIC 1+}	0,4050	-1,1796	-5,6312	0,0589	-1,5700	0,3248
37	MzMin	[pp+perm+pp fondazioni] {SEISMIC 1-}	0,4050	-1,1796	-5,6312	0,0589	-1,5700	-0,6422
40	NxMax	[1,3*pp+perm+pp fondazioni] {1,5*neve} (1,5*0,6*vento)	12,7006	0,1192	-0,5777	0,0167	0,5843	0,3257
40	NxMin	[pp+perm+pp fondazioni] {SEISMIC 1-}	2,9154	0,0410	-0,4207	0,0060	0,4125	0,2706
40	VyMax	[1,3*pp+perm+1,3*pp fondazioni] {1,5*neve} (1,5*0,6*vento)	12,7006	0,1192	-0,5777	0,0167	0,5843	0,3257
40	VyMin	[pp+perm+pp fondazioni] {SEISMIC 1-}	4,4312	0,0228	-0,4207	0,0060	0,4125	0,2706
40	VzMax	[1,3*pp+perm+pp fondazioni]	4,7753	0,0415	0,4273	0,0057	0,2071	-0,1105
40	VzMin	[1,3*pp+perm+1,3*pp fondazioni] {1,5*neve} (1,5*0,6*vento)	12,7006	0,1192	-0,5777	0,0167	0,5843	0,3257
40	TxMax	[1,3*pp+perm+1,3*pp fondazioni] {1,5*neve} (1,5*0,6*vento)	12,7006	0,1192	-0,5777	0,0167	0,5843	0,3257
40	TxMin	[pp+perm+pp fondazioni] {SEISMIC 1-}	4,4312	0,0410	-0,4207	0,0028	0,4125	0,2706
40	MyMax	[1,3*pp+perm+1,3*pp fondazioni] {1,5*neve} (1,5*0,6*vento)	12,7006	0,1192	-0,5777	0,0167	0,5843	0,3257
40	MyMin	[1,3*pp+perm+1,3*pp fondazioni] {1,5*neve} (1,5*0,6*vento)	12,7006	0,1192	-0,0183	0,0167	-0,3866	-0,0627
40	MzMax	[1,3*pp+perm+1,3*pp fondazioni] {1,5*neve} (1,5*0,6*vento)	12,7006	0,1192	-0,5777	0,0167	0,5843	0,3257
40	MzMin	[1,3*pp+perm+1,3*pp fondazioni] {1,5*neve} (1,5*0,6*vento)	12,7006	0,1192	0,3547	0,0167	-0,0213	-0,3216
41	NxMax	[pp+perm+pp fondazioni] {SEISMIC 1+}	1,6770	1,1339	-6,7252	-0,0099	0,0000	0,0695
41	NxMin	[pp+perm+pp fondazioni] {SEISMIC 1-}	-0,5847	1,1339	-6,7252	-0,0099	0,0000	0,0695
41	VyMax	[pp+perm+pp fondazioni] {SEISMIC 1+}	1,6770	1,1339	-6,7252	-0,0099	0,0000	0,0695
41	VyMin	[pp+perm+pp fondazioni] {SEISMIC 1-}	1,6770	-0,6978	-6,7252	-0,0099	0,0000	0,0695
41	VzMax	[pp+perm+pp fondazioni] {SEISMIC 1+}	1,6770	1,1339	-5,7431	-0,0099	-3,0065	-0,4416
41	VzMin	[1,3*pp+perm+pp fondazioni] {1,5*neve} (1,5*0,6*vento)	1,2130	0,5978	-22,6903	0,0261	0,0000	0,0464
41	TxMax	[pp+perm+pp fondazioni] {1,5*neve} (1,5*0,6*vento)	1,0491	0,5323	-20,8068	0,0275	0,0000	0,0415
41	TxMin	[pp+perm+pp fondazioni] {SEISMIC 1-}	1,6770	1,1339	-6,7252	-0,0099	0,0000	0,0695
41	MyMax	[pp+perm+pp fondazioni] {SEISMIC 1+}	1,6770	1,1339	-6,7252	-0,0099	0,0000	0,0695
41	MyMin	[1,3*pp+perm+pp fondazioni] {1,5*neve} (1,5*0,6*vento)	1,2130	0,5978	-22,5755	0,0261	-10,1848	-0,2226
41	MzMax	[pp+perm+pp fondazioni] {SEISMIC 1+}	1,6770	1,1339	-6,6369	-0,0099	-3,0065	0,2777
41	MzMin	[pp+perm+pp fondazioni] {SEISMIC 1-}	1,6770	1,1339	-6,6369	-0,0099	-3,0065	-0,4416
42	NxMax	[1,3*pp+perm+1,3*pp fondazioni] {1,5*neve} (1,5*0,6*vento)	20,9595	0,2922	-6,9553	-0,0196	-6,7952	-0,1489
42	NxMin	[pp+perm+pp fondazioni] {SEISMIC 1-}	5,4558	0,1590	-1,8472	-0,0200	-2,0014	-0,3879
42	VyMax	[1,3*pp+perm+pp fondazioni] {1,5*neve} (1,5*0,6*vento)	20,9595	0,2922	-6,9553	-0,0196	-6,7952	-0,1489
42	VyMin	[pp+perm+pp fondazioni] {SEISMIC 1-}	5,8828	0,0048	-1,8472	-0,0200	-2,0014	-0,3879
42	VzMax	[pp+perm+pp fondazioni] {SEISMIC 1+}	5,8828	0,1590	-1,4852	-0,0200	-4,5469	-0,5433
42	VzMin	[1,3*pp+perm+1,3*pp fondazioni] {1,5*neve} (1,5*0,6*vento)	20,9595	0,2922	-6,9553	-0,0196	-6,7952	-0,1489
42	TxMax	[pp+perm+pp fondazioni] {SEISMIC 1+}	5,8828	0,1590	-1,8472	0,0073	-2,0014	-0,3879
42	TxMin	[pp+perm+pp fondazioni] {SEISMIC 1-}	5,8828	0,1590	-1,8472	-0,0200	-2,0014	-0,3879
42	MyMax	[pp+perm+pp fondazioni] {SEISMIC 1+}	5,8828	0,1590	-1,8472	-0,0200	-1,8316	-0,3879
42	MyMin	[1,3*pp+perm+1,3*pp fondazioni] {1,5*neve} (1,5*0,6*vento)	20,9595	0,2922	-6,5726	-0,0196	-16,9411	-0,5872
42	MzMax	[pp+perm+pp fondazioni] {SEISMIC 1+}	5,8828	0,1590	-1,8472	-0,0200	-2,0014	0,2727
42	MzMin	[1,3*pp+perm+1,3*pp fondazioni] {1,5*neve} (1,5*0,6*vento)	20,9595	0,2922	-6,5726	-0,0196	-16,9411	-0,5872
45	NxMax	[pp+perm+pp fondazioni] {SEISMIC 1+}	-6,4813	-1,2260	1,1333	-0,0381	0,2219	0,1453
45	NxMin	[1,3*pp+perm+1,3*pp fondazioni] {1,5*neve} (1,5*0,6*vento)	-31,9496	-0,4950	0,5126	-0,0642	-1,1070	-1,1394
45	VyMax	[pp+perm+pp fondazioni] {SEISMIC 1+}	-12,4903	0,8637	1,1333	-0,0381	-3,3368	-3,6462
45	VyMin	[pp+perm+pp fondazioni] {SEISMIC 1-}	-12,4903	-1,2260	1,1333	-0,0381	-3,3368	-3,6462
45	VzMax	[pp+perm+pp fondazioni] {SEISMIC 1+}	-12,4903	-1,2260	1,1333	-0,0381	-3,3368	-3,6462
45	VzMin	[pp+perm+pp fondazioni] {SEISMIC 1-}	-12,4903	-1,2260	-1,0324	-0,0381	-3,3368	-3,6462
45	TxMax	[pp+perm+pp fondazioni] {SEISMIC 1+}	-12,4903	-1,2260	1,1333	0,0082	-3,3368	-3,6462
45	TxMin	[1,3*pp+perm+pp fondazioni] {1,5*neve} (1,5*0,6*vento)	-31,9496	-0,4950	0,5126	-0,0642	-1,1070	-1,1394
45	MyMax	[pp+perm+pp fondazioni] {SEISMIC 1+}	-12,4903	-1,2260	1,1333	-0,0381	3,3014	-3,6462
45	MyMin	[pp+perm+pp fondazioni] {SEISMIC 1-}	-12,4903	-1,2260	1,1333	-0,0381	-3,3368	-3,6462

45	MzMax	[pp+perm+pp fondazioni] {SEISMIC 1+}	-12,4903	-1,2260	1,1333	-0,0381	-3,3368	2,7227
45	MzMin	[pp+perm+pp fondazioni] {SEISMIC 1-}	-12,4903	-1,2260	1,1333	-0,0381	-3,3368	-3,6462
49	NxMax	[1,3*pp+perm+1,3*pp fondazioni] {1,5*neve} (1,5*0,6*vento)	20,2663	-0,2628	-1,1827	-0,0513	1,5245	-0,3173
49	NxMin	[pp+perm+pp fondazioni] {SEISMIC 1-}	4,9433	-0,0745	-0,5845	-0,0166	0,6572	-0,2459
49	VyMax	[pp+perm+pp fondazioni] {SEISMIC 1+}	6,2767	-0,0522	-0,5845	-0,0166	0,6572	-0,2459
49	VyMin	[1,3*pp+perm+pp fondazioni] {1,5*neve} (1,5*0,6*vento)	20,2663	-0,2628	-1,1827	-0,0513	1,5245	-0,3173
49	VzMax	[1,3*pp+perm+pp fondazioni]	7,2930	-0,0824	0,2148	-0,0163	-0,6169	0,3471
49	VzMin	[1,3*pp+perm+1,3*pp fondazioni] {1,5*neve} (1,5*0,6*vento)	20,2663	-0,2628	-1,1827	-0,0513	1,5245	-0,3173
49	TxMax	[pp+perm+pp fondazioni] {SEISMIC 1+}	6,2767	-0,0745	-0,5845	-0,0084	0,6572	-0,2459
49	TxMin	[1,3*pp+perm+1,3*pp fondazioni] {1,5*neve} (1,5*0,6*vento)	20,2663	-0,2628	-1,1827	-0,0513	1,5245	-0,3173
49	MyMax	[1,3*pp+perm+1,3*pp fondazioni] {1,5*neve} (1,5*0,6*vento)	20,2663	-0,2628	-1,1827	-0,0513	1,5245	-0,3173
49	MyMin	[1,3*pp+perm+1,3*pp fondazioni] {1,5*neve} (1,5*0,6*vento)	20,2663	-0,2628	-0,2504	-0,0513	-2,3662	1,1095
49	MzMax	[1,3*pp+perm+1,3*pp fondazioni] {1,5*neve} (1,5*0,6*vento)	20,2663	-0,2628	-0,2504	-0,0513	-2,3662	1,1095
49	MzMin	[1,3*pp+perm+pp fondazioni] {1,5*neve} (1,5*0,6*vento)	20,2663	-0,2628	-1,1827	-0,0513	1,5245	-0,3173
50	NxMax	[pp+perm+pp fondazioni] {SEISMIC 1+}	-0,0174	-0,7189	7,1106	1,4551	-7,0722	-1,1421
50	NxMin	[pp+perm+pp fondazioni] {SEISMIC 1-}	-0,7185	-0,7189	7,1106	1,4551	-7,0722	-1,1421
50	VyMax	[pp+perm+pp fondazioni] {SEISMIC 1+}	-0,7185	0,6221	7,1106	1,4551	-7,0722	-1,1421
50	VyMin	[pp+perm+pp fondazioni] {SEISMIC 1-}	-0,7185	-0,7189	7,1106	1,4551	-7,0722	-1,1421
50	VzMax	[1,3*pp+perm+pp fondazioni] {1,5*neve} (1,5*0,6*vento)	-0,7011	-0,1673	16,2350	1,0142	-13,3931	-0,3323
50	VzMin	[pp+perm+pp fondazioni] {SEISMIC 1-}	-0,7185	-0,7189	2,6742	1,4551	-7,0722	-1,1421
50	TxMax	[pp+perm+pp fondazioni] {SEISMIC 1+}	-0,7185	-0,7189	7,1106	1,4551	-7,0722	-1,1421
50	TxMin	[pp+perm+pp fondazioni] {SEISMIC 1-}	-0,7185	-0,7189	7,1106	-1,0755	-7,0722	-1,1421
50	MyMax	[pp+perm+pp fondazioni] {SEISMIC 1+}	-0,7185	-0,7189	7,1106	1,4551	3,0550	-0,4872
50	MyMin	[1,3*pp+perm+pp fondazioni] {1,5*neve} (1,5*0,6*vento)	-0,7011	-0,1673	16,2350	1,0142	-13,3931	-0,3323
50	MzMax	[pp+perm+pp fondazioni] {SEISMIC 1+}	-0,7185	-0,7189	7,1106	1,4551	-7,0722	0,9453
50	MzMin	[pp+perm+pp fondazioni] {SEISMIC 1-}	-0,7185	-0,7189	7,1106	1,4551	-7,0722	-1,1421
51	NxMax	[pp+perm+pp fondazioni] {SEISMIC 1+}	-0,2647	-0,5017	3,3220	1,4551	3,0567	-0,4891
51	NxMin	[1,3*pp+perm+1,3*pp fondazioni] {1,5*neve} (1,5*0,6*vento)	-0,6993	-0,1623	5,0527	1,0142	2,3974	-0,1714
51	VyMax	[pp+perm+pp fondazioni] {SEISMIC 1+}	-0,4701	0,4081	3,3220	1,4551	3,0567	-0,4891
51	VyMin	[pp+perm+pp fondazioni] {SEISMIC 1-}	-0,4701	-0,5017	3,3220	1,4551	3,0567	-0,4891
51	VzMax	[1,3*pp+perm+pp fondazioni] {1,5*neve} (1,5*0,6*vento)	-0,6993	-0,1623	5,0527	1,0142	2,2270	-0,1714
51	VzMin	[pp+perm+pp fondazioni] {SEISMIC 1-}	-0,4701	-0,5017	-0,3821	1,4551	3,0567	-0,4891
51	TxMax	[pp+perm+pp fondazioni] {SEISMIC 1+}	-0,4701	-0,5017	3,3220	1,4551	3,0567	-0,4891
51	TxMin	[pp+perm+pp fondazioni] {SEISMIC 1-}	-0,4701	-0,5017	3,3220	-1,0755	3,0567	-0,4891
51	MyMax	[1,3*pp+perm+1,3*pp fondazioni] {1,5*neve} (1,5*0,6*vento)	-0,6993	-0,1623	5,0527	1,0142	7,2607	-0,0152
51	MyMin	[pp+perm+pp fondazioni] {SEISMIC 1-}	-0,4701	-0,5017	3,3220	1,4551	-0,2802	-0,4891
51	MzMax	[pp+perm+pp fondazioni] {SEISMIC 1+}	-0,4701	-0,5017	3,3220	1,4551	3,0567	0,3855
51	MzMin	[pp+perm+pp fondazioni] {SEISMIC 1-}	-0,4701	-0,5017	3,3220	1,4551	3,0567	-0,4891
52	NxMax	[pp+perm+pp fondazioni] {SEISMIC 1+}	-0,1068	-0,4463	-3,6927	1,4551	3,1994	-0,0861
52	NxMin	[1,3*pp+perm+1,3*pp fondazioni] {1,5*neve} (1,5*0,6*vento)	-0,6981	-0,1598	-6,2212	1,0142	7,2836	-0,0154
52	VyMax	[pp+perm+pp fondazioni] {SEISMIC 1+}	-0,6275	0,3545	-3,6927	1,4551	3,1994	-0,0861
52	VyMin	[pp+perm+pp fondazioni] {SEISMIC 1-}	-0,6275	-0,4463	-3,6927	1,4551	3,1994	-0,0861
52	VzMax	[pp+perm+pp fondazioni] {SEISMIC 1+}	-0,6275	-0,4463	-0,2414	1,4551	3,1994	-0,0861
52	VzMin	[1,3*pp+perm+1,3*pp fondazioni] {1,5*neve} (1,5*0,6*vento)	-0,6981	-0,1598	-6,2212	1,0142	7,2836	-0,0154
52	TxMax	[pp+perm+pp fondazioni] {SEISMIC 1+}	-0,6275	-0,4463	-3,6927	1,4551	3,1994	-0,0861
52	TxMin	[pp+perm+pp fondazioni] {SEISMIC 1-}	-0,6275	-0,4463	-3,6927	-1,0755	3,1994	-0,0861
52	MyMax	[1,3*pp+perm+1,3*pp fondazioni] {1,5*neve} (1,5*0,6*vento)	-0,6981	-0,1598	-6,2212	1,0142	7,2836	-0,0154
52	MyMin	[pp+perm+pp fondazioni] {SEISMIC 1-}	-0,6275	-0,4463	-3,6927	1,4551	-0,8175	0,3829

52	MzMax	[pp+perm+pp fondazioni] {SEISMIC 1+}	-0,6275	-0,4463	-3,6927	1,4551	2,6515	0,3829
52	MzMin	[pp+perm+pp fondazioni] {SEISMIC 1-}	-0,6275	-0,4463	-3,6927	1,4551	2,6515	-0,3083
53	NxMax	[pp+perm+pp fondazioni] {SEISMIC 1+}	0,1764	-0,5905	-7,5226	1,4551	2,6626	0,3811
53	NxMin	[pp+perm+pp fondazioni] {SEISMIC 1-}	-0,9110	-0,5905	-7,5226	1,4551	2,6626	0,3811
53	VyMax	[pp+perm+pp fondazioni] {SEISMIC 1+}	-0,9110	0,4989	-7,5226	1,4551	2,6626	0,3811
53	VyMin	[pp+perm+pp fondazioni] {SEISMIC 1-}	-0,9110	-0,5905	-7,5226	1,4551	2,6626	0,3811
53	VzMax	[pp+perm+pp fondazioni] {SEISMIC 1+}	-0,9110	-0,5905	-3,6840	1,4551	2,6626	0,3811
53	VzMin	[1,3*pp+perm+1,3*pp fondazioni] {1,5*neve} (1,5*0,6*vento)	-0,6976	-0,1602	-18,0906	1,0142	1,3430	0,1383
53	TxMax	[pp+perm+pp fondazioni] {SEISMIC 1+}	-0,9110	-0,5905	-7,5226	1,4551	2,6626	0,3811
53	TxMin	[pp+perm+pp fondazioni] {SEISMIC 1-}	-0,9110	-0,5905	-7,5226	-1,0755	2,6626	0,3811
53	MyMax	[pp+perm+pp fondazioni] {SEISMIC 1+}	-0,9110	-0,5905	-7,5226	1,4551	2,6626	0,3811
53	MyMin	[1,3*pp+perm+pp fondazioni] {1,5*neve} (1,5*0,6*vento)	-0,6976	-0,1602	-18,0906	1,0142	-16,2396	0,2924
53	MzMax	[pp+perm+pp fondazioni] {SEISMIC 1+}	-0,9110	-0,5905	-7,5226	1,4551	-7,9012	0,8996
53	MzMin	[pp+perm+pp fondazioni] {SEISMIC 1-}	-0,9110	-0,5905	-7,5226	1,4551	-7,9012	-0,7369
54	NxMax	[pp+perm+pp fondazioni] {SEISMIC 1+}	-0,0757	0,7054	8,6105	1,9847	-6,9834	0,8916
54	NxMin	[1,3*pp+perm+1,3*pp fondazioni] {1,5*neve} (1,5*0,6*vento)	-0,8298	0,0708	20,5988	2,2001	-16,3567	0,1323
54	VyMax	[pp+perm+pp fondazioni] {SEISMIC 1+}	-0,6136	0,7054	8,6105	1,9847	-6,9834	0,8916
54	VyMin	[pp+perm+pp fondazioni] {SEISMIC 1-}	-0,6136	-0,6549	8,6105	1,9847	-6,9834	0,8916
54	VzMax	[1,3*pp+perm+pp fondazioni] {1,5*neve} (1,5*0,6*vento)	-0,8298	0,0708	20,5988	2,2001	-16,5271	0,1323
54	VzMin	[pp+perm+pp fondazioni] {SEISMIC 1-}	-0,6136	0,7054	4,1772	1,9847	-6,9834	0,8916
54	TxMax	[1,3*pp+perm+pp fondazioni] {1,5*neve} (1,5*0,6*vento)	-0,8298	0,0708	20,5988	2,2001	-16,5271	0,1323
54	TxMin	[pp+perm+pp fondazioni] {SEISMIC 1-}	-0,6136	0,7054	8,6105	0,1480	-6,9834	0,8916
54	MyMax	[1,3*pp+perm+1,3*pp fondazioni] {1,5*neve} (1,5*0,6*vento)	-0,8298	0,0708	20,5988	2,2001	3,4696	0,0642
54	MyMin	[1,3*pp+perm+pp fondazioni] {1,5*neve} (1,5*0,6*vento)	-0,8298	0,0708	20,5988	2,2001	-16,5271	0,1323
54	MzMax	[pp+perm+pp fondazioni] {SEISMIC 1+}	-0,6136	0,7054	8,6105	1,9847	-6,9834	0,8916
54	MzMin	[pp+perm+pp fondazioni] {SEISMIC 1-}	-0,6136	0,7054	8,6105	1,9847	-6,9834	-0,7951
55	NxMax	[pp+perm+pp fondazioni] {SEISMIC 1+}	-0,2763	0,4739	4,7770	1,9847	2,5793	0,2267
55	NxMin	[1,3*pp+perm+1,3*pp fondazioni] {1,5*neve} (1,5*0,6*vento)	-0,8308	0,0697	9,1058	2,2001	3,4033	0,0642
55	VyMax	[pp+perm+pp fondazioni] {SEISMIC 1+}	-0,4147	0,4739	4,7770	1,9847	2,5793	0,2267
55	VyMin	[pp+perm+pp fondazioni] {SEISMIC 1-}	-0,4147	-0,4237	4,7770	1,9847	2,5793	0,2267
55	VzMax	[1,3*pp+perm+pp fondazioni] {1,5*neve} (1,5*0,6*vento)	-0,8308	0,0697	9,1058	2,2001	3,2329	0,0642
55	VzMin	[pp+perm+pp fondazioni] {SEISMIC 1-}	-0,4147	0,4739	0,7317	1,9847	2,5793	0,2267
55	TxMax	[1,3*pp+perm+pp fondazioni] {1,5*neve} (1,5*0,6*vento)	-0,8308	0,0697	9,1058	2,2001	3,2329	0,0642
55	TxMin	[pp+perm+pp fondazioni] {SEISMIC 1-}	-0,4147	0,4739	4,7770	0,1480	2,5793	0,2267
55	MyMax	[1,3*pp+perm+1,3*pp fondazioni] {1,5*neve} (1,5*0,6*vento)	-0,8308	0,0697	9,1058	2,2001	12,1676	-0,0029
55	MyMin	[pp+perm+pp fondazioni] {SEISMIC 1-}	-0,4147	0,4739	4,7770	1,9847	1,1803	0,2267
55	MzMax	[pp+perm+pp fondazioni] {SEISMIC 1+}	-0,4147	0,4739	4,7770	1,9847	5,8950	0,2407
55	MzMin	[pp+perm+pp fondazioni] {SEISMIC 1-}	-0,4147	0,4739	4,7770	1,9847	5,8950	-0,2411
56	NxMax	[pp+perm+pp fondazioni] {SEISMIC 1+}	-0,0208	0,3268	-2,6783	1,9847	5,9071	-0,2403
56	NxMin	[1,3*pp+perm+1,3*pp fondazioni] {1,5*neve} (1,5*0,6*vento)	-0,8326	0,0699	-1,6949	2,2001	12,1542	-0,0028
56	VyMax	[pp+perm+pp fondazioni] {SEISMIC 1+}	-0,6725	0,3268	-2,6783	1,9847	5,9071	-0,2403
56	VyMin	[pp+perm+pp fondazioni] {SEISMIC 1-}	-0,6725	-0,2758	-2,6783	1,9847	5,9071	-0,2403
56	VzMax	[pp+perm+pp fondazioni] {SEISMIC 1+}	-0,6725	0,3268	1,0615	1,9847	5,9071	-0,2403
56	VzMin	[pp+perm+pp fondazioni] {SEISMIC 1-}	-0,6725	0,3268	-2,6783	1,9847	5,9071	-0,2403
56	TxMax	[1,3*pp+perm+pp fondazioni] {1,5*neve} (1,5*0,6*vento)	-0,8326	0,0699	-1,6949	2,2001	11,9838	-0,0028
56	TxMin	[pp+perm+pp fondazioni] {SEISMIC 1-}	-0,6725	0,3268	-2,6783	0,1480	5,9071	-0,2403
56	MyMax	[1,3*pp+perm+1,3*pp fondazioni] {1,5*neve} (1,5*0,6*vento)	-0,8326	0,0699	-1,6949	2,2001	12,1542	-0,0028
56	MyMin	[pp+perm+pp fondazioni] {SEISMIC 1-}	-0,6725	0,3268	-2,6783	1,9847	0,6726	-0,5063

56	MzMax	[pp+perm+pp fondazioni] {SEISMIC 1+}	-0,6725	0,3268	-2,6783	1,9847	6,8457	0,4569
56	MzMin	[pp+perm+pp fondazioni] {SEISMIC 1-}	-0,6725	0,3268	-2,6783	1,9847	6,8457	-0,5063
57	NxMax	[pp+perm+pp fondazioni] {SEISMIC 1+}	0,2645	0,3806	-6,3806	1,9847	6,9029	-0,5062
57	NxMin	[pp+perm+pp fondazioni] {SEISMIC 1-}	-0,9608	0,3806	-6,3806	1,9847	6,9029	-0,5062
57	VyMax	[pp+perm+pp fondazioni] {SEISMIC 1+}	-0,9608	0,3806	-6,3806	1,9847	6,9029	-0,5062
57	VyMin	[pp+perm+pp fondazioni] {SEISMIC 1-}	-0,9608	-0,3280	-6,3806	1,9847	6,9029	-0,5062
57	VzMax	[pp+perm+pp fondazioni] {SEISMIC 1+}	-0,9608	0,3806	-3,0053	1,9847	6,9029	-0,5062
57	VzMin	[1,3*pp+perm+1,3*pp fondazioni] {1,5*neve} (1,5*0,6*vento)	-0,8352	0,0715	-12,9358	2,2001	10,5910	-0,0700
57	TxMax	[1,3*pp+perm+pp fondazioni] {1,5*neve} (1,5*0,6*vento)	-0,8352	0,0715	-12,9358	2,2001	10,4206	-0,0700
57	TxMin	[pp+perm+pp fondazioni] {SEISMIC 1-}	-0,9608	0,3806	-6,3806	0,1480	6,9029	-0,5062
57	MyMax	[1,3*pp+perm+1,3*pp fondazioni] {1,5*neve} (1,5*0,6*vento)	-0,8352	0,0715	-12,9358	2,2001	10,5910	-0,0700
57	MyMin	[pp+perm+pp fondazioni] {SEISMIC 1-}	-0,9608	0,3806	-6,3806	1,9847	-5,2862	-0,7885
57	MzMax	[pp+perm+pp fondazioni] {SEISMIC 1+}	-0,9608	0,3806	-6,3806	1,9847	-5,2862	0,6886
57	MzMin	[pp+perm+pp fondazioni] {SEISMIC 1-}	-0,9608	0,3806	-6,3806	1,9847	-5,2862	-0,7885
58	NxMax	[pp+perm+pp fondazioni] {SEISMIC 1+}	0,1688	-0,6119	6,2998	1,8695	-4,6530	-0,9342
58	NxMin	[pp+perm+pp fondazioni] {SEISMIC 1-}	-0,2609	-0,6119	6,2998	1,8695	-4,6530	-0,9342
58	VyMax	[pp+perm+pp fondazioni] {SEISMIC 1+}	-0,2609	0,5917	6,2998	1,8695	-4,6530	-0,9342
58	VyMin	[pp+perm+pp fondazioni] {SEISMIC 1-}	-0,2609	-0,6119	6,2998	1,8695	-4,6530	-0,9342
58	VzMax	[1,3*pp+perm+pp fondazioni] {1,5*neve} (1,5*0,6*vento)	0,1250	-0,0039	13,4274	1,6563	-8,0135	-0,1466
58	VzMin	[pp+perm+pp fondazioni] {SEISMIC 1-}	-0,2609	-0,6119	2,1438	1,8695	-4,6530	-0,9342
58	TxMax	[pp+perm+pp fondazioni] {SEISMIC 1+}	-0,2609	-0,6119	6,2998	1,8695	-4,6530	-0,9342
58	TxMin	[pp+perm+pp fondazioni] {SEISMIC 1-}	-0,2609	-0,6119	6,2998	-0,9046	-4,6530	-0,9342
58	MyMax	[1,3*pp+perm+1,3*pp fondazioni] {1,5*neve} (1,5*0,6*vento)	0,1250	-0,0039	13,4274	1,6563	5,0807	-0,1429
58	MyMin	[1,3*pp+perm+pp fondazioni] {1,5*neve} (1,5*0,6*vento)	0,1250	-0,0039	13,4274	1,6563	-8,0135	-0,1466
58	MzMax	[pp+perm+pp fondazioni] {SEISMIC 1+}	-0,2609	-0,6119	6,2998	1,8695	-4,6530	0,8326
58	MzMin	[pp+perm+pp fondazioni] {SEISMIC 1-}	-0,2609	-0,6119	6,2998	1,8695	-4,6530	-0,9342
59	NxMax	[pp+perm+pp fondazioni] {SEISMIC 1+}	0,3795	-0,4296	2,3750	1,8695	3,9705	-0,4185
59	NxMin	[pp+perm+pp fondazioni] {SEISMIC 1-}	-0,4725	-0,4296	2,3750	1,8695	3,9705	-0,4185
59	VyMax	[pp+perm+pp fondazioni] {SEISMIC 1+}	-0,4725	0,4098	2,3750	1,8695	3,9705	-0,4185
59	VyMin	[pp+perm+pp fondazioni] {SEISMIC 1-}	-0,4725	-0,4296	2,3750	1,8695	3,9705	-0,4185
59	VzMax	[1,3*pp+perm+pp fondazioni] {1,5*neve} (1,5*0,6*vento)	0,1229	-0,0022	2,6589	1,6563	4,8982	-0,1429
59	VzMin	[pp+perm+pp fondazioni] {SEISMIC 1-}	-0,4725	-0,4296	-1,4060	1,8695	3,9705	-0,4185
59	TxMax	[pp+perm+pp fondazioni] {SEISMIC 1+}	-0,4725	-0,4296	2,3750	1,8695	3,9705	-0,4185
59	TxMin	[pp+perm+pp fondazioni] {SEISMIC 1-}	-0,4725	-0,4296	2,3750	-0,9046	3,9705	-0,4185
59	MyMax	[1,3*pp+perm+1,3*pp fondazioni] {1,5*neve} (1,5*0,6*vento)	0,1229	-0,0022	2,6589	1,6563	7,6278	-0,1408
59	MyMin	[pp+perm+pp fondazioni] {SEISMIC 1-}	-0,4725	-0,4296	2,3750	1,8695	1,3460	-0,4185
59	MzMax	[pp+perm+pp fondazioni] {SEISMIC 1+}	-0,4725	-0,4296	2,3750	1,8695	3,9705	0,3362
59	MzMin	[pp+perm+pp fondazioni] {SEISMIC 1-}	-0,4725	-0,4296	2,3750	1,8695	3,9705	-0,4185
60	NxMax	[pp+perm+pp fondazioni] {SEISMIC 1+}	0,6304	-0,4496	-5,4752	1,8695	3,6967	-0,1747
60	NxMin	[pp+perm+pp fondazioni] {SEISMIC 1-}	-0,7244	-0,4496	-5,4752	1,8695	3,6967	-0,1747
60	VyMax	[pp+perm+pp fondazioni] {SEISMIC 1+}	-0,7244	0,4286	-5,4752	1,8695	3,6967	-0,1747
60	VyMin	[pp+perm+pp fondazioni] {SEISMIC 1-}	-0,7244	-0,4496	-5,4752	1,8695	3,6967	-0,1747
60	VzMax	[pp+perm+pp fondazioni] {SEISMIC 1+}	-0,7244	-0,4496	-1,3669	1,8695	3,6967	-0,1747
60	VzMin	[1,3*pp+perm+1,3*pp fondazioni] {1,5*neve} (1,5*0,6*vento)	0,1209	-0,0026	-8,2221	1,6563	7,6570	-0,1410
60	TxMax	[pp+perm+pp fondazioni] {SEISMIC 1+}	-0,7244	-0,4496	-5,4752	1,8695	3,6967	-0,1747
60	TxMin	[pp+perm+pp fondazioni] {SEISMIC 1-}	-0,7244	-0,4496	-5,4752	-0,9046	3,6967	-0,1747
60	MyMax	[1,3*pp+perm+1,3*pp fondazioni] {1,5*neve} (1,5*0,6*vento)	0,1209	-0,0026	-8,2221	1,6563	7,6570	-0,1410
60	MyMin	[pp+perm+pp fondazioni] {SEISMIC 1-}	-0,7244	-0,4496	-5,4752	1,8695	-2,5505	-0,4350

60	MzMax	[pp+perm+pp fondazioni] {SEISMIC 1+}	-0,7244	-0,4496	-5,4752	1,8695	-2,5505	0,3920
60	MzMin	[pp+perm+pp fondazioni] {SEISMIC 1-}	-0,7244	-0,4496	-5,4752	1,8695	-2,5505	-0,4350
61	NxMax	[pp+perm+pp fondazioni] {SEISMIC 1+}	0,8947	-0,6380	-10,1309	1,8695	-2,5254	-0,4334
61	NxMin	[pp+perm+pp fondazioni] {SEISMIC 1-}	-0,9897	-0,6380	-10,1309	1,8695	-2,5254	-0,4334
61	VyMax	[pp+perm+pp fondazioni] {SEISMIC 1+}	-0,9897	0,6137	-10,1309	1,8695	-2,5254	-0,4334
61	VyMin	[pp+perm+pp fondazioni] {SEISMIC 1-}	-0,9897	-0,6380	-10,1309	1,8695	-2,5254	-0,4334
61	VzMax	[pp+perm+pp fondazioni] {SEISMIC 1+}	-0,9897	-0,6380	-5,2840	1,8695	-2,5254	-0,4334
61	VzMin	[1,3*pp+perm+1,3*pp fondazioni] {1,5*neve} (1,5*0,6*vento)	0,1190	-0,0066	-19,7770	1,6563	-0,2077	-0,1388
61	TxMax	[pp+perm+pp fondazioni] {SEISMIC 1+}	-0,9897	-0,6380	-10,1309	1,8695	-2,5254	-0,4334
61	TxMin	[pp+perm+pp fondazioni] {SEISMIC 1-}	-0,9897	-0,6380	-10,1309	-0,9046	-2,5254	-0,4334
61	MyMax	[pp+perm+pp fondazioni] {SEISMIC 1+}	-0,9897	-0,6380	-10,1309	1,8695	2,2800	-0,4334
61	MyMin	[1,3*pp+perm+pp fondazioni] {1,5*neve} (1,5*0,6*vento)	0,1190	-0,0066	-19,7770	1,6563	-19,4135	-0,1325
61	MzMax	[pp+perm+pp fondazioni] {SEISMIC 1+}	-0,9897	-0,6380	-10,1309	1,8695	-12,2284	0,9491
61	MzMin	[pp+perm+pp fondazioni] {SEISMIC 1-}	-0,9897	-0,6380	-10,1309	1,8695	-12,2284	-0,9688
62	NxMax	[pp+perm+pp fondazioni] {SEISMIC 1+}	0,3050	0,6992	6,2024	-0,4782	5,9045	0,9421
62	NxMin	[pp+perm+pp fondazioni] {SEISMIC 1-}	-0,8083	0,6992	6,2024	-0,4782	5,9045	0,9421
62	VyMax	[pp+perm+pp fondazioni] {SEISMIC 1+}	-0,8083	0,6992	6,2024	-0,4782	5,9045	0,9421
62	VyMin	[pp+perm+pp fondazioni] {SEISMIC 1-}	-0,8083	-0,6926	6,2024	-0,4782	5,9045	0,9421
62	VzMax	[1,3*pp+perm+pp fondazioni] {1,5*neve} (1,5*0,6*vento)	-0,6861	0,0102	12,9967	-1,1166	-1,7070	0,0180
62	VzMin	[pp+perm+pp fondazioni] {SEISMIC 1-}	-0,8083	0,6992	1,9055	-0,4782	5,9045	0,9421
62	TxMax	[pp+perm+pp fondazioni] {SEISMIC 1+}	-0,8083	0,6992	6,2024	0,1046	5,9045	0,9421
62	TxMin	[1,3*pp+perm+1,3*pp fondazioni] {1,5*neve} (1,5*0,6*vento)	-0,6861	0,0102	12,9967	-1,1166	-1,4900	0,0180
62	MyMax	[1,3*pp+perm+1,3*pp fondazioni] {1,5*neve} (1,5*0,6*vento)	-0,6861	0,0102	12,9967	-1,1166	12,6244	0,0069
62	MyMin	[pp+perm+pp fondazioni] {SEISMIC 1-}	-0,8083	0,6992	6,2024	-0,4782	-5,5193	0,9421
62	MzMax	[pp+perm+pp fondazioni] {SEISMIC 1+}	-0,8083	0,6992	6,2024	-0,4782	5,9045	0,9421
62	MzMin	[pp+perm+pp fondazioni] {SEISMIC 1-}	-0,8083	0,6992	6,2024	-0,4782	5,9045	-0,9362
63	NxMax	[pp+perm+pp fondazioni] {SEISMIC 1+}	0,0592	0,4190	3,8303	-0,4782	7,8930	-0,4535
63	NxMin	[1,3*pp+perm+1,3*pp fondazioni] {1,5*neve} (1,5*0,6*vento)	-0,6803	0,0084	5,0576	-1,1166	12,3337	0,0070
63	VyMax	[pp+perm+pp fondazioni] {SEISMIC 1+}	-0,5590	0,4190	3,8303	-0,4782	7,8930	-0,4535
63	VyMin	[pp+perm+pp fondazioni] {SEISMIC 1-}	-0,5590	-0,4136	3,8303	-0,4782	7,8930	-0,4535
63	VzMax	[1,3*pp+perm+pp fondazioni] {1,5*neve} (1,5*0,6*vento)	-0,6803	0,0084	5,0576	-1,1166	12,1167	0,0070
63	VzMin	[pp+perm+pp fondazioni] {SEISMIC 1-}	-0,5590	0,4190	-0,6105	-0,4782	7,8930	-0,4535
63	TxMax	[pp+perm+pp fondazioni] {SEISMIC 1+}	-0,5590	0,4190	3,8303	0,1046	7,8930	-0,4535
63	TxMin	[1,3*pp+perm+1,3*pp fondazioni] {1,5*neve} (1,5*0,6*vento)	-0,6803	0,0084	5,0576	-1,1166	12,3337	0,0070
63	MyMax	[1,3*pp+perm+1,3*pp fondazioni] {1,5*neve} (1,5*0,6*vento)	-0,6803	0,0084	5,0576	-1,1166	17,8262	-0,0021
63	MyMin	[pp+perm+pp fondazioni] {SEISMIC 1-}	-0,5590	0,4190	3,8303	-0,4782	1,1164	-0,4535
63	MzMax	[pp+perm+pp fondazioni] {SEISMIC 1+}	-0,5590	0,4190	3,8303	-0,4782	7,8930	0,4522
63	MzMin	[pp+perm+pp fondazioni] {SEISMIC 1-}	-0,5590	0,4190	3,8303	-0,4782	7,8930	-0,4535
64	NxMax	[pp+perm+pp fondazioni] {SEISMIC 1+}	0,0885	0,2988	2,2947	-0,4782	7,2269	-0,4083
64	NxMin	[1,3*pp+perm+1,3*pp fondazioni] {1,5*neve} (1,5*0,6*vento)	-0,6752	0,0079	-0,0507	-1,1166	17,7165	-0,0020
64	VyMax	[pp+perm+pp fondazioni] {SEISMIC 1+}	-0,5855	0,2988	2,2947	-0,4782	7,2269	-0,4083
64	VyMin	[pp+perm+pp fondazioni] {SEISMIC 1-}	-0,5855	-0,2939	2,2947	-0,4782	7,2269	-0,4083
64	VzMax	[pp+perm+pp fondazioni] {SEISMIC 1+}	-0,5855	0,2988	2,2947	-0,4782	7,2269	-0,4083
64	VzMin	[pp+perm+pp fondazioni] {SEISMIC 1-}	-0,5855	0,2988	-2,2468	-0,4782	7,2269	-0,4083
64	TxMax	[pp+perm+pp fondazioni] {SEISMIC 1+}	-0,5855	0,2988	2,2947	0,1046	7,2269	-0,4083
64	TxMin	[1,3*pp+perm+1,3*pp fondazioni] {1,5*neve} (1,5*0,6*vento)	-0,6752	0,0079	-0,0507	-1,1166	17,7165	-0,0020
64	MyMax	[1,3*pp+perm+1,3*pp fondazioni] {1,5*neve} (1,5*0,6*vento)	-0,6752	0,0079	-0,0507	-1,1166	17,7165	-0,0020
64	MyMin	[pp+perm+pp fondazioni] {SEISMIC 1-}	-0,5855	0,2988	2,2947	-0,4782	4,7770	-0,4485

64	MzMax	[pp+perm+pp fondazioni] {SEISMIC 1+}	-0,5855	0,2988	2,2947	-0,4782	7,7196	0,4361
64	MzMin	[pp+perm+pp fondazioni] {SEISMIC 1-}	-0,5855	0,2988	2,2947	-0,4782	7,7196	-0,4485
65	NxMax	[pp+perm+pp fondazioni] {SEISMIC 1+}	0,3785	0,3801	-4,0650	-0,4782	7,7566	-0,4487
65	NxMin	[pp+perm+pp fondazioni] {SEISMIC 1-}	-0,8733	0,3801	-4,0650	-0,4782	7,7566	-0,4487
65	VyMax	[pp+perm+pp fondazioni] {SEISMIC 1+}	-0,8733	0,3801	-4,0650	-0,4782	7,7566	-0,4487
65	VyMin	[pp+perm+pp fondazioni] {SEISMIC 1-}	-0,8733	-0,3750	-4,0650	-0,4782	7,7566	-0,4487
65	VzMax	[pp+perm+pp fondazioni] {SEISMIC 1+}	-0,8733	0,3801	0,8084	-0,4782	7,7566	-0,4487
65	VzMin	[1,3*pp+perm+1,3*pp fondazioni] {1,5*neve} (1,5*0,6*vento)	-0,6711	0,0087	-5,1374	-1,1166	17,7679	-0,0106
65	TxMax	[pp+perm+pp fondazioni] {SEISMIC 1+}	-0,8733	0,3801	-4,0650	0,1046	7,7566	-0,4487
65	TxMin	[1,3*pp+perm+1,3*pp fondazioni] {1,5*neve} (1,5*0,6*vento)	-0,6711	0,0087	-5,1374	-1,1166	17,7679	-0,0106
65	MyMax	[1,3*pp+perm+1,3*pp fondazioni] {1,5*neve} (1,5*0,6*vento)	-0,6711	0,0087	-5,1374	-1,1166	17,7679	-0,0106
65	MyMin	[pp+perm+pp fondazioni] {SEISMIC 1-}	-0,8733	0,3801	-4,0650	-0,4782	0,4112	-0,5157
65	MzMax	[pp+perm+pp fondazioni] {SEISMIC 1+}	-0,8733	0,3801	-4,0650	-0,4782	8,6296	0,4978
65	MzMin	[pp+perm+pp fondazioni] {SEISMIC 1-}	-0,8733	0,3801	-4,0650	-0,4782	8,6296	-0,5157
66	NxMax	[pp+perm+pp fondazioni] {SEISMIC 1+}	0,7200	0,6472	-6,6992	-0,4782	8,7634	-0,5171
66	NxMin	[pp+perm+pp fondazioni] {SEISMIC 1-}	-1,2132	0,6472	-6,6992	-0,4782	8,7634	-0,5171
66	VyMax	[pp+perm+pp fondazioni] {SEISMIC 1+}	-1,2132	0,6472	-6,6992	-0,4782	8,7634	-0,5171
66	VyMin	[pp+perm+pp fondazioni] {SEISMIC 1-}	-1,2132	-0,6414	-6,6992	-0,4782	8,7634	-0,5171
66	VzMax	[pp+perm+pp fondazioni] {SEISMIC 1+}	-1,2132	0,6472	-1,8483	-0,4782	8,7634	-0,5171
66	VzMin	[1,3*pp+perm+1,3*pp fondazioni] {1,5*neve} (1,5*0,6*vento)	-0,6677	0,0104	-13,0022	-1,1166	12,4749	-0,0199
66	TxMax	[pp+perm+pp fondazioni] {SEISMIC 1+}	-1,2132	0,6472	-6,6992	0,1046	8,7634	-0,5171
66	TxMin	[1,3*pp+perm+1,3*pp fondazioni] {1,5*neve} (1,5*0,6*vento)	-0,6677	0,0104	-13,0022	-1,1166	12,4749	-0,0199
66	MyMax	[1,3*pp+perm+1,3*pp fondazioni] {1,5*neve} (1,5*0,6*vento)	-0,6677	0,0104	-13,0022	-1,1166	12,4749	-0,0199
66	MyMin	[pp+perm+pp fondazioni] {SEISMIC 1-}	-1,2132	0,6472	-6,6992	-0,4782	-6,7965	-0,8763
66	MzMax	[pp+perm+pp fondazioni] {SEISMIC 1+}	-1,2132	0,6472	-6,6992	-0,4782	-6,7965	0,8521
66	MzMin	[pp+perm+pp fondazioni] {SEISMIC 1-}	-1,2132	0,6472	-6,6992	-0,4782	-6,7965	-0,8763
67	NxMax	[pp+perm+pp fondazioni] {SEISMIC 1+}	-0,0888	0,6676	6,0022	-0,6893	4,8201	1,0798
67	NxMin	[1,3*pp+perm+pp fondazioni] {1,5*neve} (1,5*0,6*vento)	-1,3183	0,1052	13,7715	-0,4948	-0,6278	0,2019
67	VyMax	[pp+perm+pp fondazioni] {SEISMIC 1+}	-0,8610	0,6676	6,0022	-0,6893	4,8201	1,0798
67	VyMin	[pp+perm+pp fondazioni] {SEISMIC 1-}	-0,8610	-0,6222	6,0022	-0,6893	4,8201	1,0798
67	VzMax	[1,3*pp+perm+pp fondazioni] {1,5*neve} (1,5*0,6*vento)	-1,3183	0,1052	13,7715	-0,4948	-0,6278	0,2019
67	VzMin	[pp+perm+pp fondazioni] {SEISMIC 1-}	-0,8610	0,6676	2,8078	-0,6893	4,8201	1,0798
67	TxMax	[pp+perm+pp fondazioni] {SEISMIC 1+}	-0,8610	0,6676	6,0022	0,2909	4,8201	1,0798
67	TxMin	[pp+perm+pp fondazioni] {SEISMIC 1-}	-0,8610	0,6676	6,0022	-0,6893	4,8201	1,0798
67	MyMax	[1,3*pp+perm+1,3*pp fondazioni] {1,5*neve} (1,5*0,6*vento)	-1,3183	0,1052	13,7715	-0,4948	14,5450	0,0877
67	MyMin	[pp+perm+pp fondazioni] {SEISMIC 1-}	-0,8610	0,6676	6,0022	-0,6893	-3,6493	1,0798
67	MzMax	[pp+perm+pp fondazioni] {SEISMIC 1+}	-0,8610	0,6676	6,0022	-0,6893	4,8201	1,0798
67	MzMin	[pp+perm+pp fondazioni] {SEISMIC 1-}	-0,8610	0,6676	6,0022	-0,6893	4,8201	-0,9920
68	NxMax	[pp+perm+pp fondazioni] {SEISMIC 1+}	0,1878	0,4220	3,3557	-0,6893	7,7760	0,6162
68	NxMin	[1,3*pp+perm+1,3*pp fondazioni] {1,5*neve} (1,5*0,6*vento)	-1,3220	0,1068	4,7657	-0,4948	14,2392	0,0879
68	VyMax	[pp+perm+pp fondazioni] {SEISMIC 1+}	-1,1396	0,4220	3,3557	-0,6893	7,7760	0,6162
68	VyMin	[pp+perm+pp fondazioni] {SEISMIC 1-}	-1,1396	-0,3749	3,3557	-0,6893	7,7760	0,6162
68	VzMax	[1,3*pp+perm+pp fondazioni] {1,5*neve} (1,5*0,6*vento)	-1,3220	0,1068	4,7657	-0,4948	14,0222	0,0879
68	VzMin	[pp+perm+pp fondazioni] {SEISMIC 1-}	-1,1396	0,4220	-0,2068	-0,6893	7,7760	0,6162
68	TxMax	[pp+perm+pp fondazioni] {SEISMIC 1+}	-1,1396	0,4220	3,3557	0,2909	7,7760	0,6162
68	TxMin	[pp+perm+pp fondazioni] {SEISMIC 1-}	-1,1396	0,4220	3,3557	-0,6893	7,7760	0,6162
68	MyMax	[1,3*pp+perm+1,3*pp fondazioni] {1,5*neve} (1,5*0,6*vento)	-1,3220	0,1068	4,7657	-0,4948	19,4148	-0,0281
68	MyMin	[pp+perm+pp fondazioni] {SEISMIC 1-}	-1,1396	0,4220	3,3557	-0,6893	2,7840	0,6162

68	MzMax	[pp+perm+pp fondazioni] {SEISMIC 1+}	-1,1396	0,4220	3,3557	-0,6893	7,7760	0,6162
68	MzMin	[pp+perm+pp fondazioni] {SEISMIC 1-}	-1,1396	0,4220	3,3557	-0,6893	7,7760	-0,5777
69	NxMax	[pp+perm+pp fondazioni] {SEISMIC 1+}	0,4704	0,3858	-2,5423	-0,6893	7,5502	-0,4091
69	NxMin	[pp+perm+pp fondazioni] {SEISMIC 1-}	-1,4253	0,3858	-2,5423	-0,6893	7,5502	-0,4091
69	VyMax	[pp+perm+pp fondazioni] {SEISMIC 1+}	-1,4253	0,3858	-2,5423	-0,6893	7,5502	-0,4091
69	VyMin	[pp+perm+pp fondazioni] {SEISMIC 1-}	-1,4253	-0,3359	-2,5423	-0,6893	7,5502	-0,4091
69	VzMax	[pp+perm+pp fondazioni] {SEISMIC 1+}	-1,4253	0,3858	1,5783	-0,6893	7,5502	-0,4091
69	VzMin	[pp+perm+pp fondazioni] {SEISMIC 1-}	-1,4253	0,3858	-2,5423	-0,6893	7,5502	-0,4091
69	TxMax	[pp+perm+pp fondazioni] {SEISMIC 1+}	-1,4253	0,3858	-2,5423	0,2909	7,5502	-0,4091
69	TxMin	[pp+perm+pp fondazioni] {SEISMIC 1-}	-1,4253	0,3858	-2,5423	-0,6893	7,5502	-0,4091
69	MyMax	[1,3*pp+perm+1,3*pp fondazioni] {1,5*neve} (1,5*0,6*vento)	-1,3273	0,1112	-1,3583	-0,4948	19,3122	-0,0279
69	MyMin	[pp+perm+pp fondazioni] {SEISMIC 1-}	-1,4253	0,3858	-2,5423	-0,6893	4,7831	-0,3660
69	MzMax	[pp+perm+pp fondazioni] {SEISMIC 1+}	-1,4253	0,3858	-2,5423	-0,6893	7,5502	0,3965
69	MzMin	[pp+perm+pp fondazioni] {SEISMIC 1-}	-1,4253	0,3858	-2,5423	-0,6893	7,5502	-0,4091
70	NxMax	[pp+perm+pp fondazioni] {SEISMIC 1+}	0,7554	0,4840	-5,3258	-0,6893	8,1592	-0,3663
70	NxMin	[pp+perm+pp fondazioni] {SEISMIC 1-}	-1,7146	0,4840	-5,3258	-0,6893	8,1592	-0,3663
70	VyMax	[pp+perm+pp fondazioni] {SEISMIC 1+}	-1,7146	0,4840	-5,3258	-0,6893	8,1592	-0,3663
70	VyMin	[pp+perm+pp fondazioni] {SEISMIC 1-}	-1,7146	-0,4304	-5,3258	-0,6893	8,1592	-0,3663
70	VzMax	[pp+perm+pp fondazioni] {SEISMIC 1+}	-1,7146	0,4840	-0,2767	-0,6893	8,1592	-0,3663
70	VzMin	[1,3*pp+perm+1,3*pp fondazioni] {1,5*neve} (1,5*0,6*vento)	-1,3342	0,1177	-7,6510	-0,4948	17,9616	-0,1485
70	TxMax	[pp+perm+pp fondazioni] {SEISMIC 1+}	-1,7146	0,4840	-5,3258	0,2909	8,1592	-0,3663
70	TxMin	[pp+perm+pp fondazioni] {SEISMIC 1-}	-1,7146	0,4840	-5,3258	-0,6893	8,1592	-0,3663
70	MyMax	[1,3*pp+perm+1,3*pp fondazioni] {1,5*neve} (1,5*0,6*vento)	-1,3342	0,1177	-7,6510	-0,4948	17,9616	-0,1485
70	MyMin	[pp+perm+pp fondazioni] {SEISMIC 1-}	-1,7146	0,4840	-5,3258	-0,6893	-0,9348	-0,6294
70	MzMax	[pp+perm+pp fondazioni] {SEISMIC 1+}	-1,7146	0,4840	-5,3258	-0,6893	7,8577	0,5044
70	MzMin	[pp+perm+pp fondazioni] {SEISMIC 1-}	-1,7146	0,4840	-5,3258	-0,6893	7,8577	-0,6294
71	NxMax	[pp+perm+pp fondazioni] {SEISMIC 1+}	1,0421	0,7649	-9,1700	-0,6893	8,0008	-0,6309
71	NxMin	[pp+perm+pp fondazioni] {SEISMIC 1-}	-2,0068	0,7649	-9,1700	-0,6893	8,0008	-0,6309
71	VyMax	[pp+perm+pp fondazioni] {SEISMIC 1+}	-2,0068	0,7649	-9,1700	-0,6893	8,0008	-0,6309
71	VyMin	[pp+perm+pp fondazioni] {SEISMIC 1-}	-2,0068	-0,7079	-9,1700	-0,6893	8,0008	-0,6309
71	VzMax	[pp+perm+pp fondazioni] {SEISMIC 1+}	-2,0068	0,7649	-3,4640	-0,6893	8,0008	-0,6309
71	VzMin	[1,3*pp+perm+1,3*pp fondazioni] {1,5*neve} (1,5*0,6*vento)	-1,3429	0,1240	-16,8903	-0,4948	9,9406	-0,2766
71	TxMax	[pp+perm+pp fondazioni] {SEISMIC 1+}	-2,0068	0,7649	-9,1700	0,2909	8,0008	-0,6309
71	TxMin	[pp+perm+pp fondazioni] {SEISMIC 1-}	-2,0068	0,7649	-9,1700	-0,6893	8,0008	-0,6309
71	MyMax	[1,3*pp+perm+1,3*pp fondazioni] {1,5*neve} (1,5*0,6*vento)	-1,3429	0,1240	-16,8903	-0,4948	9,9406	-0,2766
71	MyMin	[pp+perm+pp fondazioni] {SEISMIC 1-}	-2,0068	0,7649	-9,1700	-0,6893	-10,8138	-1,1822
71	MzMax	[pp+perm+pp fondazioni] {SEISMIC 1+}	-2,0068	0,7649	-9,1700	-0,6893	-10,8138	0,9953
71	MzMin	[pp+perm+pp fondazioni] {SEISMIC 1-}	-2,0068	0,7649	-9,1700	-0,6893	-10,8138	-1,1822
72	NxMax	[pp+perm+pp fondazioni] {SEISMIC 1+}	0,6646	-0,7207	6,5019	-1,1663	-3,6852	-0,7658
72	NxMin	[pp+perm+pp fondazioni] {SEISMIC 1-}	-0,7241	-0,7207	6,5019	-1,1663	-3,6852	-0,7658
72	VyMax	[pp+perm+pp fondazioni] {SEISMIC 1+}	-0,7241	0,6741	6,5019	-1,1663	-3,6852	-0,7658
72	VyMin	[pp+perm+pp fondazioni] {SEISMIC 1-}	-0,7241	-0,7207	6,5019	-1,1663	-3,6852	-0,7658
72	VzMax	[1,3*pp+perm+pp fondazioni] {1,5*neve} (1,5*0,6*vento)	0,2161	-0,0702	13,3167	-1,2460	-0,3970	-0,1420
72	VzMin	[pp+perm+pp fondazioni] {SEISMIC 1-}	-0,7241	-0,7207	3,6935	-1,1663	-3,6852	-0,7658
72	TxMax	[pp+perm+pp fondazioni] {SEISMIC 1+}	-0,7241	-0,7207	6,5019	0,0042	-3,6852	-0,7658
72	TxMin	[1,3*pp+perm+pp fondazioni] {1,5*neve} (1,5*0,6*vento)	0,2161	-0,0702	13,3167	-1,2460	-0,3970	-0,1420
72	MyMax	[1,3*pp+perm+1,3*pp fondazioni] {1,5*neve} (1,5*0,6*vento)	0,2161	-0,0702	13,3167	-1,2460	12,8301	-0,0732
72	MyMin	[pp+perm+pp fondazioni] {SEISMIC 1-}	-0,7241	-0,7207	6,5019	-1,1663	-3,6852	-0,7658

72	MzMax	[pp+perm+pp fondazioni] {SEISMIC 1+}	-0,7241	-0,7207	6,5019	-1,1663	-3,6852	0,6714
72	MzMin	[pp+perm+pp fondazioni] {SEISMIC 1-}	-0,7241	-0,7207	6,5019	-1,1663	-3,6852	-0,7658
73	NxMax	[pp+perm+pp fondazioni] {SEISMIC 1+}	0,4136	-0,4611	3,4946	-1,1663	6,7908	-0,4112
73	NxMin	[pp+perm+pp fondazioni] {SEISMIC 1-}	-0,4710	-0,4611	3,4946	-1,1663	6,7908	-0,4112
73	VyMax	[pp+perm+pp fondazioni] {SEISMIC 1+}	-0,4710	0,4177	3,4946	-1,1663	6,7908	-0,4112
73	VyMin	[pp+perm+pp fondazioni] {SEISMIC 1-}	-0,4710	-0,4611	3,4946	-1,1663	6,7908	-0,4112
73	VzMax	[1,3*pp+perm+pp fondazioni] {1,5*neve} (1,5*0,6*vento)	0,2185	-0,0676	5,3911	-1,2460	12,3615	-0,0733
73	VzMin	[pp+perm+pp fondazioni] {SEISMIC 1-}	-0,4710	-0,4611	0,8896	-1,1663	6,7908	-0,4112
73	TxMax	[pp+perm+pp fondazioni] {SEISMIC 1+}	-0,4710	-0,4611	3,4946	0,0042	6,7908	-0,4112
73	TxMin	[1,3*pp+perm+pp fondazioni] {1,5*neve} (1,5*0,6*vento)	0,2185	-0,0676	5,3911	-1,2460	12,3615	-0,0733
73	MyMax	[1,3*pp+perm+1,3*pp fondazioni] {1,5*neve} (1,5*0,6*vento)	0,2185	-0,0676	5,3911	-1,2460	17,8215	-0,0071
73	MyMin	[pp+perm+pp fondazioni] {SEISMIC 1-}	-0,4710	-0,4611	3,4946	-1,1663	2,2093	-0,4112
73	MzMax	[pp+perm+pp fondazioni] {SEISMIC 1+}	-0,4710	-0,4611	3,4946	-1,1663	7,9674	0,5106
73	MzMin	[pp+perm+pp fondazioni] {SEISMIC 1-}	-0,4710	-0,4611	3,4946	-1,1663	7,9674	-0,5170
74	NxMax	[pp+perm+pp fondazioni] {SEISMIC 1+}	0,2616	-0,2548	1,7841	-1,1663	7,9035	-0,5162
74	NxMin	[pp+perm+pp fondazioni] {SEISMIC 1-}	-0,3171	-0,2548	1,7841	-1,1663	7,9035	-0,5162
74	VyMax	[pp+perm+pp fondazioni] {SEISMIC 1+}	-0,3171	0,2135	1,7841	-1,1663	7,9035	-0,5162
74	VyMin	[pp+perm+pp fondazioni] {SEISMIC 1-}	-0,3171	-0,2548	1,7841	-1,1663	7,9035	-0,5162
74	VzMax	[pp+perm+pp fondazioni] {SEISMIC 1+}	-0,3171	-0,2548	1,7841	-1,1663	7,9035	-0,5162
74	VzMin	[pp+perm+pp fondazioni] {SEISMIC 1-}	-0,3171	-0,2548	-0,7294	-1,1663	7,9035	-0,5162
74	TxMax	[pp+perm+pp fondazioni] {SEISMIC 1+}	-0,3171	-0,2548	1,7841	0,0042	7,9035	-0,5162
74	TxMin	[1,3*pp+perm+pp fondazioni] {1,5*neve} (1,5*0,6*vento)	0,2212	-0,0666	1,0393	-1,2460	17,4757	-0,0072
74	MyMax	[1,3*pp+perm+1,3*pp fondazioni] {1,5*neve} (1,5*0,6*vento)	0,2212	-0,0666	1,0393	-1,2460	18,6709	0,0581
74	MyMin	[pp+perm+pp fondazioni] {SEISMIC 1-}	-0,3171	-0,2548	1,7841	-1,1663	5,2759	-0,5162
74	MzMax	[pp+perm+pp fondazioni] {SEISMIC 1+}	-0,3171	-0,2548	1,7841	-1,1663	8,2200	0,6108
74	MzMin	[pp+perm+pp fondazioni] {SEISMIC 1-}	-0,3171	-0,2548	1,7841	-1,1663	8,2200	-0,5767
75	NxMax	[pp+perm+pp fondazioni] {SEISMIC 1+}	0,2624	-0,2472	-2,0033	-1,1663	8,2133	0,6108
75	NxMin	[pp+perm+pp fondazioni] {SEISMIC 1-}	-0,3160	-0,2472	-2,0033	-1,1663	8,2133	0,6108
75	VyMax	[pp+perm+pp fondazioni] {SEISMIC 1+}	-0,3160	0,2067	-2,0033	-1,1663	8,2133	0,6108
75	VyMin	[pp+perm+pp fondazioni] {SEISMIC 1-}	-0,3160	-0,2472	-2,0033	-1,1663	8,2133	0,6108
75	VzMax	[pp+perm+pp fondazioni] {SEISMIC 1+}	-0,3160	-0,2472	0,7088	-1,1663	8,2133	0,6108
75	VzMin	[pp+perm+pp fondazioni] {SEISMIC 1-}	-0,3160	-0,2472	-2,0033	-1,1663	8,2133	0,6108
75	TxMax	[pp+perm+pp fondazioni] {SEISMIC 1+}	-0,3160	-0,2472	-2,0033	0,0042	8,2133	0,6108
75	TxMin	[1,3*pp+perm+pp fondazioni] {1,5*neve} (1,5*0,6*vento)	0,2240	-0,0673	-1,8616	-1,2460	18,4749	0,0580
75	MyMax	[1,3*pp+perm+1,3*pp fondazioni] {1,5*neve} (1,5*0,6*vento)	0,2240	-0,0673	-1,8616	-1,2460	18,6516	0,0580
75	MyMin	[pp+perm+pp fondazioni] {SEISMIC 1-}	-0,3160	-0,2472	-2,0033	-1,1663	4,7652	0,5651
75	MzMax	[pp+perm+pp fondazioni] {SEISMIC 1+}	-0,3160	-0,2472	-2,0033	-1,1663	8,2133	0,6108
75	MzMin	[pp+perm+pp fondazioni] {SEISMIC 1-}	-0,3160	-0,2472	-2,0033	-1,1663	8,2133	-0,5768
76	NxMax	[pp+perm+pp fondazioni] {SEISMIC 1+}	0,4299	-0,4476	-3,6834	-1,1663	8,2254	0,5656
76	NxMin	[pp+perm+pp fondazioni] {SEISMIC 1-}	-0,4817	-0,4476	-3,6834	-1,1663	8,2254	0,5656
76	VyMax	[pp+perm+pp fondazioni] {SEISMIC 1+}	-0,4817	0,4072	-3,6834	-1,1663	8,2254	0,5656
76	VyMin	[pp+perm+pp fondazioni] {SEISMIC 1-}	-0,4817	-0,4476	-3,6834	-1,1663	8,2254	0,5656
76	VzMax	[pp+perm+pp fondazioni] {SEISMIC 1+}	-0,4817	-0,4476	-0,6401	-1,1663	8,2254	0,5656
76	VzMin	[1,3*pp+perm+1,3*pp fondazioni] {1,5*neve} (1,5*0,6*vento)	0,2271	-0,0691	-5,6012	-1,2460	16,9541	0,1239
76	TxMax	[pp+perm+pp fondazioni] {SEISMIC 1+}	-0,4817	-0,4476	-3,6834	0,0042	8,2254	0,5656
76	TxMin	[1,3*pp+perm+pp fondazioni] {1,5*neve} (1,5*0,6*vento)	0,2271	-0,0691	-5,6012	-1,2460	16,7775	0,1239
76	MyMax	[1,3*pp+perm+1,3*pp fondazioni] {1,5*neve} (1,5*0,6*vento)	0,2271	-0,0691	-5,6012	-1,2460	16,9541	0,1239
76	MyMin	[pp+perm+pp fondazioni] {SEISMIC 1-}	-0,4817	-0,4476	-3,6834	-1,1663	1,5138	0,4724

76	MzMax	[pp+perm+pp fondazioni] {SEISMIC 1+}	-0,4817	-0,4476	-3,6834	-1,1663	8,2254	0,5656
76	MzMin	[pp+perm+pp fondazioni] {SEISMIC 1-}	-0,4817	-0,4476	-3,6834	-1,1663	8,2254	-0,4920
77	NxMax	[pp+perm+pp fondazioni] {SEISMIC 1+}	0,6798	-0,6913	-6,2759	-1,1663	7,3980	0,4737
77	NxMin	[pp+perm+pp fondazioni] {SEISMIC 1-}	-0,7297	-0,6913	-6,2759	-1,1663	7,3980	0,4737
77	VyMax	[pp+perm+pp fondazioni] {SEISMIC 1+}	-0,7297	0,6511	-6,2759	-1,1663	7,3980	0,4737
77	VyMin	[pp+perm+pp fondazioni] {SEISMIC 1-}	-0,7297	-0,6913	-6,2759	-1,1663	7,3980	0,4737
77	VzMax	[pp+perm+pp fondazioni] {SEISMIC 1+}	-0,7297	-0,6913	-3,2328	-1,1663	7,3980	0,4737
77	VzMin	[1,3*pp+perm+1,3*pp fondazioni] {1,5*neve} (1,5*0,6*vento)	0,2305	-0,0705	-12,2088	-1,2460	11,7065	0,1918
77	TxMax	[pp+perm+pp fondazioni] {SEISMIC 1+}	-0,7297	-0,6913	-6,2759	0,0042	7,3980	0,4737
77	TxMin	[1,3*pp+perm+pp fondazioni] {1,5*neve} (1,5*0,6*vento)	0,2305	-0,0705	-12,2088	-1,2460	11,5299	0,1918
77	MyMax	[1,3*pp+perm+1,3*pp fondazioni] {1,5*neve} (1,5*0,6*vento)	0,2305	-0,0705	-12,2088	-1,2460	11,7065	0,1918
77	MyMin	[pp+perm+pp fondazioni] {SEISMIC 1-}	-0,7297	-0,6913	-6,2759	-1,1663	-4,3593	0,7772
77	MzMax	[pp+perm+pp fondazioni] {SEISMIC 1+}	-0,7297	-0,6913	-6,2759	-1,1663	-4,3593	0,7772
77	MzMin	[pp+perm+pp fondazioni] {SEISMIC 1-}	-0,7297	-0,6913	-6,2759	-1,1663	-4,3593	-0,6246
78	NxMax	[pp+perm+pp fondazioni] {SEISMIC 1+}	-0,1220	1,0365	-10,2389	-1,1790	2,7225	-0,1011
78	NxMin	[1,3*pp+perm+1,3*pp fondazioni] {1,5*neve} (1,5*0,6*vento)	-1,1452	0,3225	-23,4593	0,5560	4,4857	-0,0409
78	VyMax	[pp+perm+pp fondazioni] {SEISMIC 1+}	-0,9111	1,0365	-10,2389	-1,1790	2,7225	-0,1011
78	VyMin	[pp+perm+pp fondazioni] {SEISMIC 1-}	-0,9111	-0,8235	-10,2389	-1,1790	2,7225	-0,1011
78	VzMax	[pp+perm+pp fondazioni] {SEISMIC 1+}	-0,9111	1,0365	-5,2790	-1,1790	2,7225	-0,1011
78	VzMin	[1,3*pp+perm+1,3*pp fondazioni] {1,5*neve} (1,5*0,6*vento)	-1,1452	0,3225	-23,4593	0,5560	4,4857	-0,0409
78	TxMax	[pp+perm+pp fondazioni] {1,5*neve} (1,5*0,6*vento)	-0,9902	0,2906	-21,1316	0,6535	3,6906	-0,0395
78	TxMin	[pp+perm+pp fondazioni] {SEISMIC 1-}	-0,9111	1,0365	-10,2389	-1,1790	2,7225	-0,1011
78	MyMax	[1,3*pp+perm+1,3*pp fondazioni] {1,5*neve} (1,5*0,6*vento)	-1,1452	0,3225	-23,4593	0,5560	4,4857	-0,0409
78	MyMin	[1,3*pp+perm+pp fondazioni] {1,5*neve} (1,5*0,6*vento)	-1,1452	0,3225	-23,4593	0,5560	-15,9838	-0,3204
78	MzMax	[pp+perm+pp fondazioni] {SEISMIC 1+}	-0,9111	1,0365	-10,2389	-1,1790	-6,2225	0,6742
78	MzMin	[pp+perm+pp fondazioni] {SEISMIC 1-}	-0,9111	1,0365	-10,2389	-1,1790	-6,2225	-0,8681
79	NxMax	[pp+perm+pp fondazioni] {SEISMIC 1+}	-0,3810	0,7544	-7,1724	-1,1790	8,8627	0,6857
79	NxMin	[1,3*pp+perm+1,3*pp fondazioni] {1,5*neve} (1,5*0,6*vento)	-1,1484	0,3188	-14,3829	0,5560	16,8927	0,2353
79	VyMax	[pp+perm+pp fondazioni] {SEISMIC 1+}	-0,6546	0,7544	-7,1724	-1,1790	8,8627	0,6857
79	VyMin	[pp+perm+pp fondazioni] {SEISMIC 1-}	-0,6546	-0,5436	-7,1724	-1,1790	8,8627	0,6857
79	VzMax	[pp+perm+pp fondazioni] {SEISMIC 1+}	-0,6546	0,7544	-2,5047	-1,1790	8,8627	0,6857
79	VzMin	[1,3*pp+perm+1,3*pp fondazioni] {1,5*neve} (1,5*0,6*vento)	-1,1484	0,3188	-14,3829	0,5560	16,8927	0,2353
79	TxMax	[pp+perm+pp fondazioni] {1,5*neve} (1,5*0,6*vento)	-0,9930	0,2871	-12,9313	0,6535	14,8426	0,2093
79	TxMin	[pp+perm+pp fondazioni] {SEISMIC 1-}	-0,6546	0,7544	-7,1724	-1,1790	8,8627	0,6857
79	MyMax	[1,3*pp+perm+1,3*pp fondazioni] {1,5*neve} (1,5*0,6*vento)	-1,1484	0,3188	-14,3829	0,5560	16,8927	0,2353
79	MyMin	[pp+perm+pp fondazioni] {SEISMIC 1-}	-0,6546	0,7544	-7,1724	-1,1790	2,5672	-0,1013
79	MzMax	[pp+perm+pp fondazioni] {SEISMIC 1+}	-0,6546	0,7544	-7,1724	-1,1790	8,8627	0,6857
79	MzMin	[pp+perm+pp fondazioni] {SEISMIC 1-}	-0,6546	0,7544	-7,1724	-1,1790	8,8627	-0,5123
80	NxMax	[pp+perm+pp fondazioni] {SEISMIC 1+}	-0,3887	0,5820	-4,1989	-1,1790	12,4732	1,0902
80	NxMin	[1,3*pp+perm+1,3*pp fondazioni] {1,5*neve} (1,5*0,6*vento)	-1,1525	0,3168	-5,9417	0,5560	22,0355	0,5098
80	VyMax	[pp+perm+pp fondazioni] {SEISMIC 1+}	-0,6503	0,5820	-4,1989	-1,1790	12,4732	1,0902
80	VyMin	[pp+perm+pp fondazioni] {SEISMIC 1-}	-0,6503	-0,3724	-4,1989	-1,1790	12,4732	1,0902
80	VzMax	[pp+perm+pp fondazioni] {SEISMIC 1+}	-0,6503	0,5820	0,3423	-1,1790	12,4732	1,0902
80	VzMin	[1,3*pp+perm+1,3*pp fondazioni] {1,5*neve} (1,5*0,6*vento)	-1,1525	0,3168	-5,9417	0,5560	22,0355	0,5098
80	TxMax	[pp+perm+pp fondazioni] {1,5*neve} (1,5*0,6*vento)	-0,9967	0,2854	-5,3632	0,6535	19,4805	0,4565
80	TxMin	[pp+perm+pp fondazioni] {SEISMIC 1-}	-0,6503	0,5820	-4,1989	-1,1790	12,4732	1,0902
80	MyMax	[1,3*pp+perm+1,3*pp fondazioni] {1,5*neve} (1,5*0,6*vento)	-1,1525	0,3168	-5,9417	0,5560	22,0355	0,5098
80	MyMin	[pp+perm+pp fondazioni] {SEISMIC 1-}	-0,6503	0,5820	-4,1989	-1,1790	4,5603	1,0902

80	MzMax	[pp+perm+pp fondazioni] {SEISMIC 1+}	-0,6503	0,5820	-4,1989	-1,1790	12,4732	1,0902
80	MzMin	[pp+perm+pp fondazioni] {SEISMIC 1-}	-0,6503	0,5820	-4,1989	-1,1790	12,4732	-0,7351
81	NxMax	[pp+perm+pp fondazioni] {SEISMIC 1+}	0,4037	0,6609	6,3106	1,6046	4,5982	0,8348
81	NxMin	[pp+perm+pp fondazioni] {SEISMIC 1-}	-1,0432	0,6609	6,3106	1,6046	4,5982	0,8348
81	VyMax	[pp+perm+pp fondazioni] {SEISMIC 1+}	-1,0432	0,6609	6,3106	1,6046	4,5982	0,8348
81	VyMin	[pp+perm+pp fondazioni] {SEISMIC 1-}	-1,0432	-0,6193	6,3106	1,6046	4,5982	0,8348
81	VzMax	[1,3*pp+perm+pp fondazioni] {1,5*neve} (1,5*0,6*vento)	-0,9062	0,0463	11,3964	2,7437	0,2103	0,1854
81	VzMin	[pp+perm+pp fondazioni] {SEISMIC 1-}	-1,0432	0,6609	2,5862	1,6046	4,5982	0,8348
81	TxMax	[1,3*pp+perm+1,3*pp fondazioni] {1,5*neve} (1,5*0,6*vento)	-0,9062	0,0463	11,3964	2,7437	0,4272	0,1854
81	TxMin	[pp+perm+pp fondazioni] {SEISMIC 1-}	-1,0432	0,6609	6,3106	1,1741	4,5982	0,8348
81	MyMax	[1,3*pp+perm+1,3*pp fondazioni] {1,5*neve} (1,5*0,6*vento)	-0,9062	0,0463	11,3964	2,7437	12,8037	0,1351
81	MyMin	[pp+perm+pp fondazioni] {SEISMIC 1-}	-1,0432	0,6609	6,3106	1,6046	-4,5863	0,8348
81	MzMax	[pp+perm+pp fondazioni] {SEISMIC 1+}	-1,0432	0,6609	6,3106	1,6046	4,5982	0,8348
81	MzMin	[pp+perm+pp fondazioni] {SEISMIC 1-}	-1,0432	0,6609	6,3106	1,6046	4,5982	-0,6815
82	NxMax	[pp+perm+pp fondazioni] {SEISMIC 1+}	0,1490	0,3742	3,7198	1,6046	7,4555	0,5274
82	NxMin	[1,3*pp+perm+1,3*pp fondazioni] {1,5*neve} (1,5*0,6*vento)	-0,9051	0,0388	4,3874	2,7437	12,5389	0,1351
82	VyMax	[pp+perm+pp fondazioni] {SEISMIC 1+}	-0,7875	0,3742	3,7198	1,6046	7,4555	0,5274
82	VyMin	[pp+perm+pp fondazioni] {SEISMIC 1-}	-0,7875	-0,3389	3,7198	1,6046	7,4555	0,5274
82	VzMax	[1,3*pp+perm+pp fondazioni] {1,5*neve} (1,5*0,6*vento)	-0,9051	0,0388	4,3874	2,7437	12,3219	0,1351
82	VzMin	[pp+perm+pp fondazioni] {SEISMIC 1-}	-0,7875	0,3742	-0,1974	1,6046	7,4555	0,5274
82	TxMax	[1,3*pp+perm+1,3*pp fondazioni] {1,5*neve} (1,5*0,6*vento)	-0,9051	0,0388	4,3874	2,7437	12,5389	0,1351
82	TxMin	[pp+perm+pp fondazioni] {SEISMIC 1-}	-0,7875	0,3742	3,7198	1,1741	7,4555	0,5274
82	MyMax	[1,3*pp+perm+1,3*pp fondazioni] {1,5*neve} (1,5*0,6*vento)	-0,9051	0,0388	4,3874	2,7437	17,3036	0,0929
82	MyMin	[pp+perm+pp fondazioni] {SEISMIC 1-}	-0,7875	0,3742	3,7198	1,6046	2,0234	0,5274
82	MzMax	[pp+perm+pp fondazioni] {SEISMIC 1+}	-0,7875	0,3742	3,7198	1,6046	7,5516	0,5450
82	MzMin	[pp+perm+pp fondazioni] {SEISMIC 1-}	-0,7875	0,3742	3,7198	1,6046	7,5516	-0,4752
83	NxMax	[pp+perm+pp fondazioni] {SEISMIC 1+}	0,1172	0,2297	1,9811	1,6046	7,5153	0,5442
83	NxMin	[1,3*pp+perm+1,3*pp fondazioni] {1,5*neve} (1,5*0,6*vento)	-0,9050	0,0321	-0,1463	2,7437	17,2182	0,0930
83	VyMax	[pp+perm+pp fondazioni] {SEISMIC 1+}	-0,7556	0,2297	1,9811	1,6046	7,5153	0,5442
83	VyMin	[pp+perm+pp fondazioni] {SEISMIC 1-}	-0,7556	-0,2003	1,9811	1,6046	7,5153	0,5442
83	VzMax	[pp+perm+pp fondazioni] {SEISMIC 1+}	-0,7556	0,2297	1,9811	1,6046	7,5153	0,5442
83	VzMin	[pp+perm+pp fondazioni] {SEISMIC 1-}	-0,7556	0,2297	-1,9749	1,6046	7,5153	0,5442
83	TxMax	[1,3*pp+perm+1,3*pp fondazioni] {1,5*neve} (1,5*0,6*vento)	-0,9050	0,0321	-0,1463	2,7437	17,2182	0,0930
83	TxMin	[pp+perm+pp fondazioni] {SEISMIC 1-}	-0,7556	0,2297	1,9811	1,1741	7,5153	0,5442
83	MyMax	[1,3*pp+perm+1,3*pp fondazioni] {1,5*neve} (1,5*0,6*vento)	-0,9050	0,0321	-0,1463	2,7437	17,2182	0,0930
83	MyMin	[pp+perm+pp fondazioni] {SEISMIC 1-}	-0,7556	0,2297	1,9811	1,6046	4,9005	0,4877
83	MzMax	[pp+perm+pp fondazioni] {SEISMIC 1+}	-0,7556	0,2297	1,9811	1,6046	7,5153	0,5442
83	MzMin	[pp+perm+pp fondazioni] {SEISMIC 1-}	-0,7556	0,2297	1,9811	1,6046	7,5153	-0,4743
84	NxMax	[pp+perm+pp fondazioni] {SEISMIC 1+}	0,3376	0,3575	-3,9653	1,6046	8,3915	0,4877
84	NxMin	[pp+perm+pp fondazioni] {SEISMIC 1-}	-0,9767	0,3575	-3,9653	1,6046	8,3915	0,4877
84	VyMax	[pp+perm+pp fondazioni] {SEISMIC 1+}	-0,9767	0,3575	-3,9653	1,6046	8,3915	0,4877
84	VyMin	[pp+perm+pp fondazioni] {SEISMIC 1-}	-0,9767	-0,3323	-3,9653	1,6046	8,3915	0,4877
84	VzMax	[pp+perm+pp fondazioni] {SEISMIC 1+}	-0,9767	0,3575	0,3365	1,6046	8,3915	0,4877
84	VzMin	[1,3*pp+perm+1,3*pp fondazioni] {1,5*neve} (1,5*0,6*vento)	-0,9061	0,0277	-4,9477	2,7437	17,1832	0,0584
84	TxMax	[1,3*pp+perm+1,3*pp fondazioni] {1,5*neve} (1,5*0,6*vento)	-0,9061	0,0277	-4,9477	2,7437	17,1832	0,0584
84	TxMin	[pp+perm+pp fondazioni] {SEISMIC 1-}	-0,9767	0,3575	-3,9653	1,1741	8,3915	0,4877
84	MyMax	[1,3*pp+perm+1,3*pp fondazioni] {1,5*neve} (1,5*0,6*vento)	-0,9061	0,0277	-4,9477	2,7437	17,1832	0,0584
84	MyMin	[pp+perm+pp fondazioni] {SEISMIC 1-}	-0,9767	0,3575	-3,9653	1,6046	0,8038	0,2752

84	MzMax	[pp+perm+pp fondazioni] {SEISMIC 1+}	-0,9767	0,3575	-3,9653	1,6046	8,3915	0,4877
84	MzMin	[pp+perm+pp fondazioni] {SEISMIC 1-}	-0,9767	0,3575	-3,9653	1,6046	8,3915	-0,4497
85	NxMax	[pp+perm+pp fondazioni] {SEISMIC 1+}	0,7141	0,6279	-6,8276	1,6046	8,7322	0,2767
85	NxMin	[pp+perm+pp fondazioni] {SEISMIC 1-}	-1,3547	0,6279	-6,8276	1,6046	8,7322	0,2767
85	VyMax	[pp+perm+pp fondazioni] {SEISMIC 1+}	-1,3547	0,6279	-6,8276	1,6046	8,7322	0,2767
85	VyMin	[pp+perm+pp fondazioni] {SEISMIC 1-}	-1,3547	-0,6046	-6,8276	1,6046	8,7322	0,2767
85	VzMax	[pp+perm+pp fondazioni] {SEISMIC 1+}	-1,3547	0,6279	-2,5288	1,6046	8,7322	0,2767
85	VzMin	[1,3*pp+perm+1,3*pp fondazioni] {1,5*neve} (1,5*0,6*vento)	-0,9083	0,0267	-12,7226	2,7437	12,1073	0,0286
85	TxMax	[1,3*pp+perm+1,3*pp fondazioni] {1,5*neve} (1,5*0,6*vento)	-0,9083	0,0267	-12,7226	2,7437	12,1073	0,0286
85	TxMin	[pp+perm+pp fondazioni] {SEISMIC 1-}	-1,3547	0,6279	-6,8276	1,1741	8,7322	0,2767
85	MyMax	[1,3*pp+perm+1,3*pp fondazioni] {1,5*neve} (1,5*0,6*vento)	-0,9083	0,0267	-12,7226	2,7437	12,1073	0,0286
85	MyMin	[pp+perm+pp fondazioni] {SEISMIC 1-}	-1,3547	0,6279	-6,8276	1,6046	-6,2359	-0,6460
85	MzMax	[pp+perm+pp fondazioni] {SEISMIC 1+}	-1,3547	0,6279	-6,8276	1,6046	-6,2359	0,6316
85	MzMin	[pp+perm+pp fondazioni] {SEISMIC 1-}	-1,3547	0,6279	-6,8276	1,6046	-6,2359	-0,6460
86	NxMax	[pp+perm+pp fondazioni] {SEISMIC 1+}	0,3100	0,4737	-6,2122	0,9555	2,6667	-0,1581
86	NxMin	[pp+perm+pp fondazioni] {SEISMIC 1-}	-0,4362	0,4737	-6,2122	0,9555	2,6667	-0,1581
86	VyMax	[pp+perm+pp fondazioni] {SEISMIC 1+}	-0,4362	0,4737	-6,2122	0,9555	2,6667	-0,1581
86	VyMin	[pp+perm+pp fondazioni] {SEISMIC 1-}	-0,4362	-0,4582	-6,2122	0,9555	2,6667	-0,1581
86	VzMax	[pp+perm+pp fondazioni] {SEISMIC 1+}	-0,4362	0,4737	-2,0481	0,9555	2,6667	-0,1581
86	VzMin	[1,3*pp+perm+1,3*pp fondazioni] {1,5*neve} (1,5*0,6*vento)	0,0797	0,0295	-12,6993	0,3537	3,6654	-0,0994
86	TxMax	[pp+perm+pp fondazioni] {SEISMIC 1+}	-0,4362	0,4737	-6,2122	0,9555	2,6667	-0,1581
86	TxMin	[pp+perm+pp fondazioni] {SEISMIC 1-}	-0,4362	0,4737	-6,2122	-0,5188	2,6667	-0,1581
86	MyMax	[1,3*pp+perm+1,3*pp fondazioni] {1,5*neve} (1,5*0,6*vento)	0,0797	0,0295	-12,6993	0,3537	3,6654	-0,0994
86	MyMin	[1,3*pp+perm+pp fondazioni] {1,5*neve} (1,5*0,6*vento)	0,0797	0,0295	-12,6993	0,3537	-7,4788	-0,1250
86	MzMax	[pp+perm+pp fondazioni] {SEISMIC 1+}	-0,4362	0,4737	-6,2122	0,9555	-2,7266	0,4521
86	MzMin	[pp+perm+pp fondazioni] {SEISMIC 1-}	-0,4362	0,4737	-6,2122	0,9555	-2,7266	-0,5342
87	NxMax	[pp+perm+pp fondazioni] {1,5*neve} (1,5*0,6*vento)	0,1006	0,0261	-2,7838	0,2882	5,4383	-0,0665
87	NxMin	[pp+perm+pp fondazioni] {SEISMIC 1-}	-0,2007	0,4156	-2,5835	0,9555	4,8975	-0,3295
87	VyMax	[pp+perm+pp fondazioni] {SEISMIC 1+}	-0,2007	0,4156	-2,5835	0,9555	4,8975	-0,3295
87	VyMin	[pp+perm+pp fondazioni] {SEISMIC 1-}	-0,2007	-0,4005	-2,5835	0,9555	4,8975	-0,3295
87	VzMax	[pp+perm+pp fondazioni] {SEISMIC 1+}	-0,2007	0,4156	0,9902	0,9555	4,8975	-0,3295
87	VzMin	[1,3*pp+perm+1,3*pp fondazioni] {1,5*neve} (1,5*0,6*vento)	0,0818	0,0284	-3,0228	0,3537	6,2724	-0,0748
87	TxMax	[pp+perm+pp fondazioni] {SEISMIC 1+}	-0,2007	0,4156	-2,5835	0,9555	4,8975	-0,3295
87	TxMin	[pp+perm+pp fondazioni] {SEISMIC 1-}	-0,2007	0,4156	-2,5835	-0,5188	4,8975	-0,3295
87	MyMax	[1,3*pp+perm+1,3*pp fondazioni] {1,5*neve} (1,5*0,6*vento)	0,0818	0,0284	-3,0228	0,3537	6,2724	-0,0748
87	MyMin	[pp+perm+pp fondazioni] {SEISMIC 1-}	-0,2007	0,4156	-2,5835	0,9555	0,6635	-0,3295
87	MzMax	[pp+perm+pp fondazioni] {SEISMIC 1+}	-0,2007	0,4156	-2,5835	0,9555	4,8975	0,2740
87	MzMin	[pp+perm+pp fondazioni] {SEISMIC 1-}	-0,2007	0,4156	-2,5835	0,9555	4,8975	-0,3295
88	NxMax	[pp+perm+pp fondazioni] {1,5*neve} (1,5*0,6*vento)	0,1027	0,0265	5,8211	0,2882	0,3991	-0,0436
88	NxMin	[pp+perm+pp fondazioni] {SEISMIC 1-}	-0,2027	0,4640	4,2938	0,9555	4,0189	-0,7012
88	VyMax	[pp+perm+pp fondazioni] {SEISMIC 1+}	-0,2027	0,4640	4,2938	0,9555	4,0189	-0,7012
88	VyMin	[pp+perm+pp fondazioni] {SEISMIC 1-}	-0,2027	-0,4483	4,2938	0,9555	4,0189	-0,7012
88	VzMax	[1,3*pp+perm+pp fondazioni] {1,5*neve} (1,5*0,6*vento)	0,0839	0,0289	6,6008	0,3537	0,4220	-0,0499
88	VzMin	[pp+perm+pp fondazioni] {SEISMIC 1-}	-0,2027	0,4640	0,9041	0,9555	4,0189	-0,7012
88	TxMax	[pp+perm+pp fondazioni] {SEISMIC 1+}	-0,2027	0,4640	4,2938	0,9555	4,0189	-0,7012
88	TxMin	[pp+perm+pp fondazioni] {SEISMIC 1-}	-0,2027	0,4640	4,2938	-0,5188	4,0189	-0,7012
88	MyMax	[1,3*pp+perm+1,3*pp fondazioni] {1,5*neve} (1,5*0,6*vento)	0,0839	0,0289	6,6008	0,3537	6,2808	-0,0749
88	MyMin	[pp+perm+pp fondazioni] {SEISMIC 1-}	-0,2027	0,4640	4,2938	0,9555	-2,9453	-0,7012

88	MzMax	[pp+perm+pp fondazioni] {SEISMIC 1+}	-0,2027	0,4640	4,2938	0,9555	4,0189	0,6591
88	MzMin	[pp+perm+pp fondazioni] {SEISMIC 1-}	-0,2027	0,4640	4,2938	0,9555	4,0189	-0,7012
89	NxMax	[pp+perm+pp fondazioni] {SEISMIC 1+}	0,7376	-1,3050	10,4432	4,5957	-5,8433	-0,0569
89	NxMin	[pp+perm+pp fondazioni] {SEISMIC 1-}	-1,8280	-1,3050	10,4432	4,5957	-5,8433	-0,0569
89	VyMax	[pp+perm+pp fondazioni] {SEISMIC 1+}	-1,8280	0,8708	10,4432	4,5957	-5,8433	-0,0569
89	VyMin	[pp+perm+pp fondazioni] {SEISMIC 1-}	-1,8280	-1,3050	10,4432	4,5957	-5,8433	-0,0569
89	VzMax	[1,3*pp+perm+pp fondazioni] {1,5*neve} (1,5*0,6*vento)	-1,2107	-0,5952	25,8399	1,9226	-3,2666	-0,0461
89	VzMin	[pp+perm+pp fondazioni] {SEISMIC 1-}	-1,8280	-1,3050	10,1687	4,5957	-5,8433	-0,0569
89	TxMax	[pp+perm+pp fondazioni] {SEISMIC 1+}	-1,8280	-1,3050	10,4432	4,5957	-5,8433	-0,0569
89	TxMin	[pp+perm+pp fondazioni] {SEISMIC 1-}	-1,8280	-1,3050	10,4432	-3,1648	-5,8433	-0,0569
89	MyMax	[1,3*pp+perm+1,3*pp fondazioni] {1,5*neve} (1,5*0,6*vento)	-1,2107	-0,5952	25,8399	1,9226	12,9551	0,3259
89	MyMin	[pp+perm+pp fondazioni] {SEISMIC 1-}	-1,8280	-1,3050	10,4432	4,5957	-5,8433	-0,0569
89	MzMax	[pp+perm+pp fondazioni] {SEISMIC 1+}	-1,8280	-1,3050	10,4432	4,5957	9,5004	0,7599
89	MzMin	[pp+perm+pp fondazioni] {SEISMIC 1-}	-1,8280	-1,3050	10,4432	4,5957	9,5004	-0,5207
90	NxMax	[pp+perm+pp fondazioni] {SEISMIC 1+}	0,5629	-1,0737	8,1260	4,5957	9,4559	0,7593
90	NxMin	[pp+perm+pp fondazioni] {SEISMIC 1-}	-1,6498	-1,0737	8,1260	4,5957	9,4559	0,7593
90	VyMax	[pp+perm+pp fondazioni] {SEISMIC 1+}	-1,6498	0,6420	8,1260	4,5957	9,4559	0,7593
90	VyMin	[pp+perm+pp fondazioni] {SEISMIC 1-}	-1,6498	-1,0737	8,1260	4,5957	9,4559	0,7593
90	VzMax	[1,3*pp+perm+pp fondazioni] {1,5*neve} (1,5*0,6*vento)	-1,2066	-0,5920	18,1388	1,9226	12,8238	0,3258
90	VzMin	[pp+perm+pp fondazioni] {SEISMIC 1-}	-1,6498	-1,0737	6,4218	4,5957	9,4559	0,7593
90	TxMax	[pp+perm+pp fondazioni] {SEISMIC 1+}	-1,6498	-1,0737	8,1260	4,5957	9,4559	0,7593
90	TxMin	[pp+perm+pp fondazioni] {SEISMIC 1-}	-1,6498	-1,0737	8,1260	-3,1648	9,4559	0,7593
90	MyMax	[1,3*pp+perm+1,3*pp fondazioni] {1,5*neve} (1,5*0,6*vento)	-1,2066	-0,5920	18,1388	1,9226	24,2324	0,6958
90	MyMin	[pp+perm+pp fondazioni] {SEISMIC 1-}	-1,6498	-1,0737	8,1260	4,5957	0,6481	0,7593
90	MzMax	[pp+perm+pp fondazioni] {SEISMIC 1+}	-1,6498	-1,0737	8,1260	4,5957	13,5560	1,4301
90	MzMin	[pp+perm+pp fondazioni] {SEISMIC 1-}	-1,6498	-1,0737	8,1260	4,5957	13,5560	-0,9211
91	NxMax	[pp+perm+pp fondazioni] {SEISMIC 1+}	-0,0340	0,4066	-5,3729	-2,5669	6,8681	-0,4929
91	NxMin	[1,3*pp+perm+1,3*pp fondazioni] {1,5*neve} (1,5*0,6*vento)	-0,5649	0,2794	-9,8813	-2,8640	11,1764	-0,0561
91	VyMax	[pp+perm+pp fondazioni] {SEISMIC 1+}	-0,3675	0,4066	-5,3729	-2,5669	6,8681	-0,4929
91	VyMin	[pp+perm+pp fondazioni] {SEISMIC 1-}	-0,3675	-0,2571	-5,3729	-2,5669	6,8681	-0,4929
91	VzMax	[pp+perm+pp fondazioni] {SEISMIC 1+}	-0,3675	0,4066	-1,9987	-2,5669	6,8681	-0,4929
91	VzMin	[1,3*pp+perm+1,3*pp fondazioni] {1,5*neve} (1,5*0,6*vento)	-0,5649	0,2794	-9,8813	-2,8640	11,1764	-0,0561
91	TxMax	[pp+perm+pp fondazioni] {SEISMIC 1+}	-0,3675	0,4066	-5,3729	0,4426	6,8681	-0,4929
91	TxMin	[1,3*pp+perm+1,3*pp fondazioni] {1,5*neve} (1,5*0,6*vento)	-0,5649	0,2794	-9,8813	-2,8640	11,1764	-0,0561
91	MyMax	[1,3*pp+perm+1,3*pp fondazioni] {1,5*neve} (1,5*0,6*vento)	-0,5649	0,2794	-9,8813	-2,8640	11,1764	-0,0561
91	MyMin	[pp+perm+pp fondazioni] {SEISMIC 1-}	-0,3675	0,4066	-5,3729	-2,5669	-2,6267	-0,8061
91	MzMax	[pp+perm+pp fondazioni] {SEISMIC 1+}	-0,3675	0,4066	-5,3729	-2,5669	4,6300	0,6237
91	MzMin	[pp+perm+pp fondazioni] {SEISMIC 1-}	-0,3675	0,4066	-5,3729	-2,5669	4,6300	-0,8061
92	NxMax	[pp+perm+pp fondazioni] {SEISMIC 1+}	-0,0398	0,3762	1,9906	-2,5669	5,2463	0,2763
92	NxMin	[1,3*pp+perm+1,3*pp fondazioni] {1,5*neve} (1,5*0,6*vento)	-0,5643	0,2813	0,1420	-2,8640	11,0327	0,2143
92	VyMax	[pp+perm+pp fondazioni] {SEISMIC 1+}	-0,3606	0,3762	1,9906	-2,5669	5,2463	0,2763
92	VyMin	[pp+perm+pp fondazioni] {SEISMIC 1-}	-0,3606	-0,2254	1,9906	-2,5669	5,2463	0,2763
92	VzMax	[pp+perm+pp fondazioni] {SEISMIC 1+}	-0,3606	0,3762	1,9906	-2,5669	5,2463	0,2763
92	VzMin	[pp+perm+pp fondazioni] {SEISMIC 1-}	-0,3606	0,3762	-1,6908	-2,5669	5,2463	0,2763
92	TxMax	[pp+perm+pp fondazioni] {SEISMIC 1+}	-0,3606	0,3762	1,9906	0,4426	5,2463	0,2763
92	TxMin	[1,3*pp+perm+1,3*pp fondazioni] {1,5*neve} (1,5*0,6*vento)	-0,5643	0,2813	0,1420	-2,8640	11,0327	0,2143
92	MyMax	[1,3*pp+perm+1,3*pp fondazioni] {1,5*neve} (1,5*0,6*vento)	-0,5643	0,2813	0,1420	-2,8640	11,1694	-0,0564
92	MyMin	[pp+perm+pp fondazioni] {SEISMIC 1-}	-0,3606	0,3762	1,9906	-2,5669	2,2398	-0,4934

92	MzMax	[pp+perm+pp fondazioni] {SEISMIC 1+}	-0,3606	0,3762	1,9906	-2,5669	6,8525	0,4547
92	MzMin	[pp+perm+pp fondazioni] {SEISMIC 1-}	-0,3606	0,3762	1,9906	-2,5669	6,8525	-0,4934
93	NxMax	[pp+perm+pp fondazioni] {SEISMIC 1+}	0,2227	0,5550	6,3728	-2,5669	2,0154	0,4113
93	NxMin	[pp+perm+pp fondazioni] {SEISMIC 1-}	-0,6225	0,5550	6,3728	-2,5669	2,0154	0,4113
93	VyMax	[pp+perm+pp fondazioni] {SEISMIC 1+}	-0,6225	0,5550	6,3728	-2,5669	2,0154	0,4113
93	VyMin	[pp+perm+pp fondazioni] {SEISMIC 1-}	-0,6225	-0,3997	6,3728	-2,5669	2,0154	0,4113
93	VzMax	[1,3*pp+perm+pp fondazioni] {1,5*neve} (1,5*0,6*vento)	-0,5642	0,2888	10,6817	-2,8640	0,6542	0,4919
93	VzMin	[pp+perm+pp fondazioni] {SEISMIC 1-}	-0,6225	0,5550	1,9734	-2,5669	2,0154	0,4113
93	TxMax	[pp+perm+pp fondazioni] {SEISMIC 1+}	-0,6225	0,5550	6,3728	0,4426	2,0154	0,4113
93	TxMin	[1,3*pp+perm+1,3*pp fondazioni] {1,5*neve} (1,5*0,6*vento)	-0,5642	0,2888	10,6817	-2,8640	0,8246	0,4919
93	MyMax	[1,3*pp+perm+1,3*pp fondazioni] {1,5*neve} (1,5*0,6*vento)	-0,5642	0,2888	10,6817	-2,8640	11,1058	0,2139
93	MyMin	[pp+perm+pp fondazioni] {SEISMIC 1-}	-0,6225	0,5550	6,3728	-2,5669	-1,1908	0,4113
93	MzMax	[1,3*pp+perm+1,3*pp fondazioni] {1,5*neve} (1,5*0,6*vento)	-0,5642	0,2888	10,6817	-2,8640	0,8246	0,4919
93	MzMin	[pp+perm+pp fondazioni] {SEISMIC 1-}	-0,6225	0,5550	6,3728	-2,5669	5,2788	-0,1703
94	NxMax	[pp+perm+pp fondazioni] {SEISMIC 1+}	0,5000	0,7967	11,3718	-2,5669	-12,0007	1,1579
94	NxMin	[pp+perm+pp fondazioni] {SEISMIC 1-}	-0,8995	0,7967	11,3718	-2,5669	-12,0007	1,1579
94	VyMax	[pp+perm+pp fondazioni] {SEISMIC 1+}	-0,8995	0,7967	11,3718	-2,5669	-12,0007	1,1579
94	VyMin	[pp+perm+pp fondazioni] {SEISMIC 1-}	-0,8995	-0,6349	11,3718	-2,5669	-12,0007	1,1579
94	VzMax	[1,3*pp+perm+pp fondazioni] {1,5*neve} (1,5*0,6*vento)	-0,5647	0,2997	22,7401	-2,8640	-21,1220	0,7803
94	VzMin	[pp+perm+pp fondazioni] {SEISMIC 1-}	-0,8995	0,7967	6,1369	-2,5669	-12,0007	1,1579
94	TxMax	[pp+perm+pp fondazioni] {SEISMIC 1+}	-0,8995	0,7967	11,3718	0,4426	-12,0007	1,1579
94	TxMin	[1,3*pp+perm+1,3*pp fondazioni] {1,5*neve} (1,5*0,6*vento)	-0,5647	0,2997	22,7401	-2,8640	-20,9516	0,7803
94	MyMax	[pp+perm+pp fondazioni] {SEISMIC 1+}	-0,8995	0,7967	11,3718	-2,5669	2,0649	0,4099
94	MyMin	[1,3*pp+perm+pp fondazioni] {1,5*neve} (1,5*0,6*vento)	-0,5647	0,2997	22,7401	-2,8640	-21,1220	0,7803
94	MzMax	[pp+perm+pp fondazioni] {SEISMIC 1+}	-0,8995	0,7967	11,3718	-2,5669	-12,0007	1,1579
94	MzMin	[pp+perm+pp fondazioni] {SEISMIC 1-}	-0,8995	0,7967	11,3718	-2,5669	-12,0007	-0,7464
95	NxMax	[1,3*pp+perm+1,3*pp fondazioni] {1,5*neve} (1,5*0,6*vento)	0,8524	-2,6923	-2,0104	-0,3473	1,0322	-1,6363
95	NxMin	[pp+perm+pp fondazioni] {SEISMIC 1-}	0,1293	-0,9580	-0,5067	-0,1155	0,0131	-0,1369
95	VyMax	[pp+perm+pp fondazioni] {SEISMIC 1+}	0,3010	-0,4024	-0,5712	-0,1155	0,2791	-0,4867
95	VyMin	[1,3*pp+perm+pp fondazioni] {1,5*neve} (1,5*0,6*vento)	0,8524	-2,6923	-2,0104	-0,3473	1,0322	-1,6363
95	VzMax	[pp+perm+pp fondazioni] {SEISMIC 1+}	0,2772	-0,9580	-0,4503	-0,1155	0,0131	-0,1369
95	VzMin	[1,3*pp+perm+1,3*pp fondazioni] {1,5*neve} (1,5*0,6*vento)	0,8524	-2,6923	-2,0104	-0,3473	1,0322	-1,6363
95	TxMax	[pp+perm+pp fondazioni] {SEISMIC 1+}	0,3010	-0,9580	-0,5712	-0,0679	0,2791	-0,4867
95	TxMin	[1,3*pp+perm+1,3*pp fondazioni] {1,5*neve} (1,5*0,6*vento)	0,8524	-2,6923	-2,0104	-0,3473	1,0322	-1,6363
95	MyMax	[1,3*pp+perm+1,3*pp fondazioni] {1,5*neve} (1,5*0,6*vento)	0,8524	-2,6923	-2,0104	-0,3473	1,0322	-1,6363
95	MyMin	[pp+perm+pp fondazioni] {SEISMIC 1-}	0,2772	-0,9580	-0,5067	-0,1155	-0,0079	-0,1369
95	MzMax	[pp+perm+pp fondazioni] {SEISMIC 1+}	0,2772	-0,9580	-0,5067	-0,1155	0,0131	0,0168
95	MzMin	[1,3*pp+perm+pp fondazioni] {1,5*neve} (1,5*0,6*vento)	0,8524	-2,6923	-2,0104	-0,3473	1,0322	-1,6363
98	NxMax	[1,3*pp+perm+1,3*pp fondazioni] {1,5*neve} (1,5*0,6*vento)	20,6819	0,0617	-1,2227	0,0039	1,3489	0,1630
98	NxMin	[pp+perm+pp fondazioni] {SEISMIC 1-}	4,9056	0,0401	-0,5752	0,0075	0,5883	0,1692
98	VyMax	[1,3*pp+perm+1,3*pp fondazioni] {1,5*neve} (1,5*0,6*vento)	20,6819	0,0617	-1,2227	0,0039	1,3489	0,1630
98	VyMin	[pp+perm+pp fondazioni] {SEISMIC 1-}	5,2847	-0,0075	-0,5752	0,0075	0,5883	0,1692
98	VzMax	[1,3*pp+perm+pp fondazioni]	6,6238	0,0212	0,2269	0,0012	-0,6444	-0,0598
98	VzMin	[1,3*pp+perm+1,3*pp fondazioni] {1,5*neve} (1,5*0,6*vento)	20,6819	0,0617	-1,2227	0,0039	1,3489	0,1630
98	TxMax	[pp+perm+pp fondazioni] {SEISMIC 1+}	5,2847	0,0401	-0,5752	0,0075	0,5883	0,1692
98	TxMin	[pp+perm+pp fondazioni] {SEISMIC 1-}	5,2847	0,0401	-0,5752	-0,0056	0,5883	0,1692
98	MyMax	[1,3*pp+perm+1,3*pp fondazioni] {1,5*neve} (1,5*0,6*vento)	20,6819	0,0617	-1,2227	0,0039	1,3489	0,1630
98	MyMin	[1,3*pp+perm+1,3*pp fondazioni] {1,5*neve} (1,5*0,6*vento)	20,6819	0,0617	-0,2904	0,0039	-2,7592	-0,1721

98	MzMax	[pp+perm+pp fondazioni] {SEISMIC 1+}	5,2847	0,0401	0,2070	0,0075	-0,5882	0,1905
98	MzMin	[pp+perm+pp fondazioni] {SEISMIC 1-}	5,2847	0,0401	0,2070	0,0075	-0,5882	-0,2824
99	NxMax	[1,3*pp+perm+1,3*pp fondazioni] {1,5*neve} (1,5*0,6*vento)	0,3665	1,8843	-1,4121	-0,0015	0,7347	0,9096
99	NxMin	[pp+perm+pp fondazioni] {SEISMIC 1-}	0,0263	0,8066	-0,2811	-0,0171	0,0105	-0,1135
99	VyMax	[1,3*pp+perm+1,3*pp fondazioni] {1,5*neve} (1,5*0,6*vento)	0,3665	1,8843	-1,4121	-0,0015	0,7347	0,9096
99	VyMin	[pp+perm+pp fondazioni] {SEISMIC 1-}	0,1188	0,1779	-0,3456	-0,0171	0,1647	0,3680
99	VzMax	[pp+perm+pp fondazioni] {SEISMIC 1+}	0,0950	0,8066	-0,2391	-0,0171	0,0105	-0,1135
99	VzMin	[1,3*pp+perm+1,3*pp fondazioni] {1,5*neve} (1,5*0,6*vento)	0,3665	1,8843	-1,4121	-0,0015	0,7347	0,9096
99	TxMax	[pp+perm+pp fondazioni] {SEISMIC 1+}	0,1188	0,8066	-0,3456	0,0166	0,1647	0,3680
99	TxMin	[pp+perm+pp fondazioni] {SEISMIC 1-}	0,1188	0,8066	-0,3456	-0,0171	0,1647	0,3680
99	MyMax	[1,3*pp+perm+1,3*pp fondazioni] {1,5*neve} (1,5*0,6*vento)	0,3665	1,8843	-1,4121	-0,0015	0,7347	0,9096
99	MyMin	[pp+perm+pp fondazioni] {SEISMIC 1-}	0,0950	0,8066	-0,2811	-0,0171	0,0001	-0,1135
99	MzMax	[1,3*pp+perm+1,3*pp fondazioni] {1,5*neve} (1,5*0,6*vento)	0,3665	1,8843	-1,4121	-0,0015	0,7347	0,9096
99	MzMin	[pp+perm+pp fondazioni] {SEISMIC 1-}	0,0950	0,8066	-0,2811	-0,0171	0,0105	-0,1135
100	NxMax	[1,3*pp+perm+pp fondazioni] {1,5*neve} (1,5*0,6*vento)	10,4200	-0,5178	-11,0142	0,0066	0,0000	-0,4253
100	NxMin	[pp+perm+pp fondazioni] {SEISMIC 1-}	2,3132	-0,6486	-3,0512	0,0245	0,0000	-0,7175
100	VyMax	[pp+perm+pp fondazioni] {SEISMIC 1+}	3,0893	0,3960	-3,0512	0,0245	0,0000	-0,7175
100	VyMin	[pp+perm+pp fondazioni] {SEISMIC 1-}	3,0893	-0,6486	-3,0512	0,0245	0,0000	-0,7175
100	VzMax	[pp+perm+pp fondazioni] {SEISMIC 1+}	3,0893	-0,6486	-2,4325	0,0245	-5,5101	0,6026
100	VzMin	[1,3*pp+perm+pp fondazioni] {1,5*neve} (1,5*0,6*vento)	10,4200	-0,5178	-11,0142	0,0066	0,0000	-0,4253
100	TxMax	[pp+perm+pp fondazioni] {SEISMIC 1+}	3,0893	-0,6486	-3,0512	0,0245	0,0000	-0,7175
100	TxMin	[pp+perm+pp fondazioni] {SEISMIC 1-}	3,0893	-0,6486	-3,0512	-0,0216	0,0000	-0,7175
100	MyMax	[pp+perm+pp fondazioni] {SEISMIC 1+}	3,0893	-0,6486	-3,0512	0,0245	0,0000	-0,7175
100	MyMin	[1,3*pp+perm+pp fondazioni] {1,5*neve} (1,5*0,6*vento)	10,4200	-0,5178	-10,5231	0,0066	-20,7296	0,5715
100	MzMax	[pp+perm+pp fondazioni] {SEISMIC 1+}	3,0893	-0,6486	-2,6735	0,0245	-5,5101	0,6026
100	MzMin	[pp+perm+pp fondazioni] {SEISMIC 1-}	3,0893	-0,6486	-3,0512	0,0245	0,0000	-0,7175
101	NxMax	[1,3*pp+perm+pp fondazioni] {1,5*neve} (1,5*0,6*vento)	13,5954	0,3329	10,3384	0,0309	-20,3740	0,5575
101	NxMin	[pp+perm+pp fondazioni] {SEISMIC 1-}	2,3462	0,3452	2,5624	0,0195	-5,2963	0,5921
101	VyMax	[pp+perm+pp fondazioni] {SEISMIC 1+}	4,6889	0,3452	2,5624	0,0195	-5,2963	0,5921
101	VyMin	[pp+perm+pp fondazioni] {SEISMIC 1-}	4,6889	-0,2082	2,5624	0,0195	-5,2963	0,5921
101	VzMax	[1,3*pp+perm+pp fondazioni] {1,5*neve} (1,5*0,6*vento)	13,5954	0,3329	10,8294	0,0309	0,0000	-0,0834
101	VzMin	[pp+perm+pp fondazioni] {SEISMIC 1-}	4,6889	0,3452	2,4462	0,0195	-5,2963	0,5921
101	TxMax	[1,3*pp+perm+1,3*pp fondazioni] {1,5*neve} (1,5*0,6*vento)	13,5954	0,3329	10,3384	0,0309	-20,3740	0,5575
101	TxMin	[pp+perm+pp fondazioni] {SEISMIC 1-}	4,6889	0,3452	2,5624	-0,0004	-5,2963	0,5921
101	MyMax	[pp+perm+pp fondazioni] {SEISMIC 1+}	4,6889	0,3452	2,9402	0,0195	0,0000	-0,0952
101	MyMin	[1,3*pp+perm+pp fondazioni] {1,5*neve} (1,5*0,6*vento)	13,5954	0,3329	10,3384	0,0309	-20,3740	0,5575
101	MzMax	[pp+perm+pp fondazioni] {SEISMIC 1+}	4,6889	0,3452	2,5624	0,0195	-5,2963	0,5921
101	MzMin	[pp+perm+pp fondazioni] {SEISMIC 1-}	4,6889	0,3452	2,5624	0,0195	-5,2963	-0,3550
102	NxMax	[1,3*pp+perm+pp fondazioni] {1,5*neve} (1,5*0,6*vento)	8,4458	-0,7647	8,5092	-0,0842	-16,8529	-1,2394
102	NxMin	[pp+perm+pp fondazioni] {SEISMIC 1-}	1,0376	-0,4584	2,1143	-0,0248	-4,4336	-0,7625
102	VyMax	[pp+perm+pp fondazioni] {SEISMIC 1+}	3,2912	0,1044	2,1143	-0,0248	-4,4336	-0,7625
102	VyMin	[1,3*pp+perm+1,3*pp fondazioni] {1,5*neve} (1,5*0,6*vento)	8,4458	-0,7647	8,5092	-0,0842	-16,8529	-1,2394
102	VzMax	[1,3*pp+perm+1,3*pp fondazioni] {1,5*neve} (1,5*0,6*vento)	8,4458	-0,7647	9,0003	-0,0842	0,0000	0,2327
102	VzMin	[pp+perm+pp fondazioni] {SEISMIC 1-}	3,2912	-0,4584	2,0027	-0,0248	-4,4336	-0,7625
102	TxMax	[pp+perm+pp fondazioni] {SEISMIC 1+}	3,2912	-0,4584	2,1143	-0,0085	-4,4336	-0,7625
102	TxMin	[1,3*pp+perm+1,3*pp fondazioni] {1,5*neve} (1,5*0,6*vento)	8,4458	-0,7647	8,5092	-0,0842	-16,8529	-1,2394
102	MyMax	[pp+perm+pp fondazioni] {SEISMIC 1+}	3,2912	-0,4584	2,4921	-0,0248	0,0000	0,1528
102	MyMin	[1,3*pp+perm+1,3*pp fondazioni] {1,5*neve} (1,5*0,6*vento)	8,4458	-0,7647	8,5092	-0,0842	-16,8529	-1,2394

102	MzMax	[1,3*pp+perm+1,3*pp fondazioni] {1,5*neve} (1,5*0,6*vento)	8,4458	-0,7647	9,0003	-0,0842	0,0000	0,2327
102	MzMin	[1,3*pp+perm+1,3*pp fondazioni] {1,5*neve} (1,5*0,6*vento)	8,4458	-0,7647	8,5092	-0,0842	-16,8529	-1,2394
103	NxMax	[1,3*pp+perm+pp fondazioni] {1,5*neve} (1,5*0,6*vento)	3,7927	0,6760	-9,3267	0,2482	0,0000	0,1036
103	NxMin	[pp+perm+pp fondazioni] {SEISMIC 1-}	-0,2236	0,4405	-2,5825	0,0858	0,0000	0,0700
103	VyMax	[1,3*pp+perm+pp fondazioni] {1,5*neve} (1,5*0,6*vento)	3,7927	0,6760	-9,3267	0,2482	0,0000	0,1036
103	VyMin	[pp+perm+pp fondazioni] {SEISMIC 1-}	2,1367	-0,1279	-2,5825	0,0858	0,0000	0,0700
103	VzMax	[pp+perm+pp fondazioni] {SEISMIC 1+}	2,1367	0,4405	-2,0817	0,0858	-4,6077	-0,7783
103	VzMin	[1,3*pp+perm+pp fondazioni] {1,5*neve} (1,5*0,6*vento)	3,7927	0,6760	-9,3267	0,2482	0,0000	0,1036
103	TxMax	[1,3*pp+perm+1,3*pp fondazioni] {1,5*neve} (1,5*0,6*vento)	3,7927	0,6760	-9,3267	0,2482	0,0000	0,1036
103	TxMin	[pp+perm+pp fondazioni] {SEISMIC 1-}	2,1367	0,4405	-2,5825	0,0526	0,0000	0,0700
103	MyMax	[pp+perm+pp fondazioni] {SEISMIC 1+}	2,1367	0,4405	-2,5825	0,0858	0,0000	0,0700
103	MyMin	[1,3*pp+perm+1,3*pp fondazioni] {1,5*neve} (1,5*0,6*vento)	3,7927	0,6760	-8,8356	0,2482	-17,4812	-1,1977
103	MzMax	[pp+perm+pp fondazioni] {SEISMIC 1+}	2,1367	0,4405	-2,2048	0,0858	-4,6077	0,2248
103	MzMin	[1,3*pp+perm+pp fondazioni] {1,5*neve} (1,5*0,6*vento)	3,7927	0,6760	-8,8356	0,2482	-17,4812	-1,1977
109	NxMax	[1,3*pp+perm+1,3*pp fondazioni] {1,5*neve} (1,5*0,6*vento)	2,0898	-14,4614	5,8765	-0,0049	3,0949	3,7303
109	NxMin	[pp+perm+pp fondazioni] {SEISMIC 1-}	0,2935	-4,0893	1,6296	0,0548	0,5826	0,4325
109	VyMax	[pp+perm+pp fondazioni] {SEISMIC 1+}	0,7674	-3,4484	1,6296	0,0548	0,5826	0,4325
109	VyMin	[1,3*pp+perm+1,3*pp fondazioni] {1,5*neve} (1,5*0,6*vento)	2,0790	-14,4614	5,8470	-0,0049	2,0190	1,0759
109	VzMax	[1,3*pp+perm+pp fondazioni] {1,5*neve} (1,5*0,6*vento)	2,0898	-14,4614	5,8765	-0,0049	3,0949	3,7303
109	VzMin	[pp+perm+pp fondazioni] {SEISMIC 1-}	0,7674	-4,0893	1,3948	0,0548	0,5826	0,4325
109	TxMax	[pp+perm+pp fondazioni] {SEISMIC 1+}	0,7674	-4,0893	1,6296	0,0548	0,5826	0,4325
109	TxMin	[pp+perm+pp fondazioni] {SEISMIC 1-}	0,7674	-4,0893	1,6296	-0,0452	0,5826	0,4325
109	MyMax	[1,3*pp+perm+pp fondazioni] {1,5*neve} (1,5*0,6*vento)	2,0898	-14,4614	5,8765	-0,0049	3,0949	3,7303
109	MyMin	[pp+perm+pp fondazioni] {SEISMIC 1-}	0,7674	-4,0893	1,6296	0,0548	0,5003	0,4325
109	MzMax	[1,3*pp+perm+1,3*pp fondazioni] {1,5*neve} (1,5*0,6*vento)	2,0898	-14,4614	5,8765	-0,0049	3,0949	3,7303
109	MzMin	[pp+perm+pp fondazioni] {SEISMIC 1-}	0,7674	-4,0893	1,6296	0,0548	0,5826	0,1077
110	NxMax	[1,3*pp+perm+pp fondazioni] {1,5*neve} (1,5*0,6*vento)	0,7823	-1,1988	2,1527	-0,3462	2,0276	1,2793
110	NxMin	[pp+perm+pp fondazioni] {SEISMIC 1-}	0,0798	-0,4079	0,5330	-0,1108	-0,0141	0,0850
110	VyMax	[pp+perm+pp fondazioni] {SEISMIC 1+}	0,2735	-0,2117	0,5330	-0,1108	-0,0141	0,0850
110	VyMin	[1,3*pp+perm+1,3*pp fondazioni] {1,5*neve} (1,5*0,6*vento)	0,7242	-1,1988	1,9948	-0,3462	-0,0046	0,1045
110	VzMax	[1,3*pp+perm+pp fondazioni] {1,5*neve} (1,5*0,6*vento)	0,7823	-1,1988	2,1527	-0,3462	2,0276	1,2793
110	VzMin	[pp+perm+pp fondazioni] {SEISMIC 1-}	0,2735	-0,4079	0,4597	-0,1108	-0,0141	0,0850
110	TxMax	[pp+perm+pp fondazioni] {SEISMIC 1+}	0,2735	-0,4079	0,5330	-0,0689	-0,0141	0,0850
110	TxMin	[1,3*pp+perm+pp fondazioni] {1,5*neve} (1,5*0,6*vento)	0,7242	-1,1988	1,9948	-0,3462	-0,0046	0,1045
110	MyMax	[1,3*pp+perm+pp fondazioni] {1,5*neve} (1,5*0,6*vento)	0,7823	-1,1988	2,1527	-0,3462	2,0276	1,2793
110	MyMin	[pp+perm+pp fondazioni] {SEISMIC 1-}	0,2735	-0,4079	0,5330	-0,1108	-0,0141	0,0850
110	MzMax	[1,3*pp+perm+1,3*pp fondazioni] {1,5*neve} (1,5*0,6*vento)	0,7823	-1,1988	2,1527	-0,3462	2,0276	1,2793
110	MzMin	[pp+perm+pp fondazioni] {SEISMIC 1-}	0,2735	-0,4079	0,5330	-0,1108	-0,0141	-0,0360
111	NxMax	[pp+perm+pp fondazioni] {SEISMIC 1+}	-3,4685	1,9183	-0,9658	0,0991	-0,3411	-0,2796
111	NxMin	[1,3*pp+perm+1,3*pp fondazioni] {1,5*neve} (1,5*0,6*vento)	-14,7404	5,1660	-3,9549	0,3666	2,4038	3,1678
111	VyMax	[1,3*pp+perm+pp fondazioni] {1,5*neve} (1,5*0,6*vento)	-14,7404	5,1660	-3,9549	0,3666	2,4038	3,1678
111	VyMin	[pp+perm+pp fondazioni] {SEISMIC 1-}	-4,8126	0,7264	-1,0645	0,0991	0,5447	1,2503
111	VzMax	[pp+perm+pp fondazioni] {SEISMIC 1+}	-4,7763	1,9183	-0,8065	0,0991	-0,3411	-0,2796
111	VzMin	[1,3*pp+perm+1,3*pp fondazioni] {1,5*neve} (1,5*0,6*vento)	-14,7404	5,1660	-3,9549	0,3666	2,4038	3,1678
111	TxMax	[1,3*pp+perm+1,3*pp fondazioni] {1,5*neve} (1,5*0,6*vento)	-14,7404	5,1660	-3,9549	0,3666	2,4038	3,1678
111	TxMin	[pp+perm+pp fondazioni] {SEISMIC 1-}	-4,8126	1,9183	-1,0645	0,0791	0,5447	1,2503
111	MyMax	[1,3*pp+perm+1,3*pp fondazioni] {1,5*neve} (1,5*0,6*vento)	-14,7404	5,1660	-3,9549	0,3666	2,4038	3,1678
111	MyMin	[1,3*pp+perm+1,3*pp fondazioni] {1,5*neve} (1,5*0,6*vento)	-14,6931	5,1660	-3,8265	0,3666	-0,6950	-0,9467

111	MzMax	[1,3*pp+perm+pp fondazioni] {1,5*neve} (1,5*0,6*vento)	-14,7404	5,1660	-3,9549	0,3666	2,4038	3,1678
111	MzMin	[1,3*pp+perm+pp fondazioni] {1,5*neve} (1,5*0,6*vento)	-14,6931	5,1660	-3,8265	0,3666	-0,6950	-0,9467
112	NxMax	[pp+perm+pp fondazioni] {SEISMIC 1+}	-3,2353	0,3870	0,0393	0,0669	-0,3826	-0,5174
112	NxMin	[1,3*pp+perm+1,3*pp fondazioni] {1,5*neve} (1,5*0,6*vento)	-13,3263	0,1183	-0,6125	0,2109	-0,6684	-0,7161
112	VyMax	[pp+perm+pp fondazioni] {SEISMIC 1+}	-4,3103	0,3870	-0,1546	0,0669	-0,3472	-0,2373
112	VyMin	[pp+perm+pp fondazioni] {SEISMIC 1-}	-4,3103	-0,3527	-0,1546	0,0669	-0,3472	-0,2373
112	VzMax	[pp+perm+pp fondazioni] {SEISMIC 1+}	-4,2656	0,3870	0,0393	0,0669	-0,3826	-0,5174
112	VzMin	[1,3*pp+perm+1,3*pp fondazioni] {1,5*neve} (1,5*0,6*vento)	-13,3263	0,1183	-0,6125	0,2109	-0,6684	-0,7161
112	TxMax	[1,3*pp+perm+1,3*pp fondazioni] {1,5*neve} (1,5*0,6*vento)	-13,3263	0,1183	-0,6125	0,2109	-0,6684	-0,7161
112	TxMin	[pp+perm+pp fondazioni] {SEISMIC 1-}	-4,3103	0,3870	-0,1546	0,0384	-0,3472	-0,2373
112	MyMax	[pp+perm+pp fondazioni] {SEISMIC 1+}	-4,3103	0,3870	-0,1546	0,0669	-0,1884	-0,2373
112	MyMin	[1,3*pp+perm+1,3*pp fondazioni] {1,5*neve} (1,5*0,6*vento)	-13,2682	0,1183	-0,4546	0,2109	-1,1913	-0,8320
112	MzMax	[pp+perm+pp fondazioni] {SEISMIC 1+}	-4,2656	0,3870	0,0393	0,0669	-0,3826	0,1094
112	MzMin	[1,3*pp+perm+1,3*pp fondazioni] {1,5*neve} (1,5*0,6*vento)	-13,2682	0,1183	-0,4546	0,2109	-1,1913	-0,8320
113	NxMax	[pp+perm+pp fondazioni] {SEISMIC 1+}	-2,8714	0,0765	1,2987	-0,2031	0,5622	-0,5301
113	NxMin	[1,3*pp+perm+pp fondazioni] {1,5*neve} (1,5*0,6*vento)	-11,1427	0,0631	3,9828	-0,3693	1,1667	-0,9526
113	VyMax	[pp+perm+pp fondazioni] {SEISMIC 1+}	-3,5365	0,0765	1,2817	-0,2031	0,3947	-0,5260
113	VyMin	[pp+perm+pp fondazioni] {SEISMIC 1-}	-3,5365	-0,0431	1,2817	-0,2031	0,3947	-0,5260
113	VzMax	[1,3*pp+perm+pp fondazioni] {1,5*neve} (1,5*0,6*vento)	-11,1346	0,0631	4,0049	-0,3693	1,7133	-0,9612
113	VzMin	[pp+perm+pp fondazioni] {SEISMIC 1-}	-3,5365	0,0765	0,9948	-0,2031	0,3947	-0,5260
113	TxMax	[pp+perm+pp fondazioni] {SEISMIC 1+}	-3,5365	0,0765	1,2817	0,0207	0,3947	-0,5260
113	TxMin	[1,3*pp+perm+pp fondazioni] {1,5*neve} (1,5*0,6*vento)	-11,1427	0,0631	3,9828	-0,3693	1,1667	-0,9526
113	MyMax	[1,3*pp+perm+pp fondazioni] {1,5*neve} (1,5*0,6*vento)	-11,1346	0,0631	4,0049	-0,3693	1,7133	-0,9612
113	MyMin	[pp+perm+pp fondazioni] {SEISMIC 1-}	-3,5365	0,0765	1,2817	-0,2031	0,3632	-0,5260
113	MzMax	[pp+perm+pp fondazioni] {SEISMIC 1+}	-3,5365	0,0765	1,2817	-0,2031	0,3947	0,0644
113	MzMin	[1,3*pp+perm+1,3*pp fondazioni] {1,5*neve} (1,5*0,6*vento)	-11,1346	0,0631	4,0049	-0,3693	1,7133	-0,9612
114	NxMax	[pp+perm+pp fondazioni] {SEISMIC 1+}	-3,0111	0,2619	0,8316	-0,0824	0,3787	-0,6166
114	NxMin	[1,3*pp+perm+1,3*pp fondazioni] {1,5*neve} (1,5*0,6*vento)	-12,0092	0,6923	2,2482	-0,1852	-1,1496	-0,4696
114	VyMax	[1,3*pp+perm+1,3*pp fondazioni] {1,5*neve} (1,5*0,6*vento)	-12,0092	0,6923	2,2482	-0,1852	-1,1496	-0,4696
114	VyMin	[pp+perm+pp fondazioni] {SEISMIC 1-}	-3,8463	0,0765	0,7102	-0,0824	-0,3858	-0,3662
114	VzMax	[1,3*pp+perm+1,3*pp fondazioni] {1,5*neve} (1,5*0,6*vento)	-11,9510	0,6923	2,4061	-0,1852	1,1310	-1,1481
114	VzMin	[pp+perm+pp fondazioni] {SEISMIC 1-}	-3,8463	0,2619	0,5629	-0,0824	-0,3858	-0,3662
114	TxMax	[pp+perm+pp fondazioni] {SEISMIC 1+}	-3,8463	0,2619	0,7102	-0,0084	-0,3858	-0,3662
114	TxMin	[1,3*pp+perm+1,3*pp fondazioni] {1,5*neve} (1,5*0,6*vento)	-12,0092	0,6923	2,2482	-0,1852	-1,1496	-0,4696
114	MyMax	[1,3*pp+perm+1,3*pp fondazioni] {1,5*neve} (1,5*0,6*vento)	-11,9510	0,6923	2,4061	-0,1852	1,1310	-1,1481
114	MyMin	[1,3*pp+perm+1,3*pp fondazioni] {1,5*neve} (1,5*0,6*vento)	-12,0092	0,6923	2,2482	-0,1852	-1,1496	-0,4696
114	MzMax	[pp+perm+pp fondazioni] {SEISMIC 1+}	-3,8463	0,2619	0,7102	-0,0824	-0,3858	0,1372
114	MzMin	[1,3*pp+perm+1,3*pp fondazioni] {1,5*neve} (1,5*0,6*vento)	-11,9510	0,6923	2,4061	-0,1852	1,1310	-1,1481
120	NxMax	[pp+perm+pp fondazioni] {SEISMIC 1+}	-0,2443	0,0661	-0,5750	-0,0012	0,1805	0,0578
120	NxMin	[1,3*pp+perm+pp fondazioni] {1,5*neve} (1,5*0,6*vento)	-1,1988	0,0099	-2,1221	-0,0032	0,5288	0,0216
120	VyMax	[pp+perm+pp fondazioni] {SEISMIC 1+}	-0,3752	0,0661	-0,5750	-0,0012	0,1805	0,0578
120	VyMin	[pp+perm+pp fondazioni] {SEISMIC 1-}	-0,3752	-0,0544	-0,5750	-0,0012	0,1805	0,0578
120	VzMax	[1,3*pp+perm+pp fondazioni] {1,5*neve} (1,5*0,6*vento)	-1,1988	0,0099	0,6520	-0,0032	-0,5738	0,0068
120	VzMin	[1,3*pp+perm+1,3*pp fondazioni] {1,5*neve} (1,5*0,6*vento)	-1,1988	0,0099	-2,1221	-0,0032	0,5288	0,0216
120	TxMax	[pp+perm+pp fondazioni] {SEISMIC 1+}	-0,3752	0,0661	-0,5750	-0,0008	0,1805	0,0578
120	TxMin	[1,3*pp+perm+1,3*pp fondazioni] {1,5*neve} (1,5*0,6*vento)	-1,1988	0,0099	-2,1221	-0,0032	0,5288	0,0216
120	MyMax	[1,3*pp+perm+1,3*pp fondazioni] {1,5*neve} (1,5*0,6*vento)	-1,1988	0,0099	-2,1221	-0,0032	0,5288	0,0216
120	MyMin	[1,3*pp+perm+1,3*pp fondazioni] {1,5*neve} (1,5*0,6*vento)	-1,1988	0,0099	0,0972	-0,0032	-0,6862	0,0098

120	MzMax	[pp+perm+pp fondazioni] {SEISMIC 1+}	-0,3752	0,0661	-0,5750	-0,0012	0,1805	0,0578
120	MzMin	[pp+perm+pp fondazioni] {SEISMIC 1-}	-0,3752	0,0661	-0,5750	-0,0012	0,1805	-0,0417
121	NxMax	[pp+perm+pp fondazioni] {SEISMIC 1+}	-3,2844	0,0792	-1,0426	-0,0001	0,4533	0,0716
121	NxMin	[1,3*pp+perm+pp fondazioni] {1,5*neve} (1,5*0,6*vento)	-13,2626	0,0601	-3,9148	-0,0003	1,4662	0,0729
121	VyMax	[pp+perm+pp fondazioni] {SEISMIC 1+}	-3,6338	0,0792	-1,0426	-0,0001	0,4533	0,0716
121	VyMin	[pp+perm+pp fondazioni] {SEISMIC 1-}	-3,6338	-0,0410	-1,0426	-0,0001	0,4533	0,0716
121	VzMax	[1,3*pp+perm+pp fondazioni] {1,5*neve} (1,5*0,6*vento)	-13,2626	0,0601	1,5531	-0,0003	-0,3050	-0,0173
121	VzMin	[1,3*pp+perm+1,3*pp fondazioni] {1,5*neve} (1,5*0,6*vento)	-13,2626	0,0601	-3,9148	-0,0003	1,4662	0,0729
121	TxMax	[pp+perm+pp fondazioni] {SEISMIC 1+}	-3,6338	0,0792	-1,0426	0,0001	0,4533	0,0716
121	TxMin	[1,3*pp+perm+1,3*pp fondazioni] {1,5*neve} (1,5*0,6*vento)	-13,2626	0,0601	-3,9148	-0,0003	1,4662	0,0729
121	MyMax	[1,3*pp+perm+1,3*pp fondazioni] {1,5*neve} (1,5*0,6*vento)	-13,2626	0,0601	-3,9148	-0,0003	1,4662	0,0729
121	MyMin	[1,3*pp+perm+1,3*pp fondazioni] {1,5*neve} (1,5*0,6*vento)	-13,2626	0,0601	-0,0873	-0,0003	-0,6349	0,0097
121	MzMax	[1,3*pp+perm+1,3*pp fondazioni] {1,5*neve} (1,5*0,6*vento)	-13,2626	0,0601	-3,9148	-0,0003	1,4662	0,0729
121	MzMin	[pp+perm+pp fondazioni] {SEISMIC 1-}	-3,6338	0,0792	0,3881	-0,0001	-0,1822	-0,0472
122	NxMax	[pp+perm+pp fondazioni] {SEISMIC 1+}	-1,1645	-0,1304	-0,9237	0,0013	0,3155	-0,1111
122	NxMin	[1,3*pp+perm+pp fondazioni] {1,5*neve} (1,5*0,6*vento)	-5,0477	-0,1717	-3,4883	0,0025	0,9324	-0,1625
122	VyMax	[pp+perm+pp fondazioni] {SEISMIC 1+}	-1,4459	0,0470	-0,9237	0,0013	0,3155	-0,1111
122	VyMin	[1,3*pp+perm+pp fondazioni] {1,5*neve} (1,5*0,6*vento)	-5,0477	-0,1717	-3,4883	0,0025	0,9324	-0,1625
122	VzMax	[1,3*pp+perm+pp fondazioni] {1,5*neve} (1,5*0,6*vento)	-5,0477	-0,1717	1,9796	0,0025	-0,1992	0,0950
122	VzMin	[1,3*pp+perm+1,3*pp fondazioni] {1,5*neve} (1,5*0,6*vento)	-5,0477	-0,1717	-3,4883	0,0025	0,9324	-0,1625
122	TxMax	[1,3*pp+perm+pp fondazioni] {1,5*neve} (1,5*0,6*vento)	-5,0477	-0,1717	-3,4883	0,0025	0,9324	-0,1625
122	TxMin	[pp+perm+pp fondazioni] {SEISMIC 1-}	-1,4459	-0,1304	-0,9237	0,0006	0,3155	-0,1111
122	MyMax	[1,3*pp+perm+1,3*pp fondazioni] {1,5*neve} (1,5*0,6*vento)	-5,0477	-0,1717	-3,4883	0,0025	0,9324	-0,1625
122	MyMin	[1,3*pp+perm+1,3*pp fondazioni] {1,5*neve} (1,5*0,6*vento)	-5,0477	-0,1717	-0,2076	0,0025	-0,7308	-0,0080
122	MzMax	[1,3*pp+perm+pp fondazioni] {1,5*neve} (1,5*0,6*vento)	-5,0477	-0,1717	1,9796	0,0025	-0,1992	0,0950
122	MzMin	[1,3*pp+perm+pp fondazioni] {1,5*neve} (1,5*0,6*vento)	-5,0477	-0,1717	-3,4883	0,0025	0,9324	-0,1625
123	NxMax	[1,3*pp+perm+1,3*pp fondazioni] {1,5*neve} (1,5*0,6*vento)	0,5741	-0,2472	-2,9714	0,0071	0,4166	-0,2032
123	NxMin	[pp+perm+pp fondazioni] {SEISMIC 1-}	-0,0084	-0,1330	-0,7814	0,0021	0,1823	-0,1058
123	VyMax	[pp+perm+pp fondazioni] {SEISMIC 1+}	0,3125	0,0091	-0,7814	0,0021	0,1823	-0,1058
123	VyMin	[1,3*pp+perm+pp fondazioni] {1,5*neve} (1,5*0,6*vento)	0,5741	-0,2472	-2,9714	0,0071	0,4166	-0,2032
123	VzMax	[1,3*pp+perm+pp fondazioni] {1,5*neve} (1,5*0,6*vento)	0,5741	-0,2472	2,4965	0,0071	0,0604	0,1676
123	VzMin	[1,3*pp+perm+1,3*pp fondazioni] {1,5*neve} (1,5*0,6*vento)	0,5741	-0,2472	-2,9714	0,0071	0,4166	-0,2032
123	TxMax	[1,3*pp+perm+1,3*pp fondazioni] {1,5*neve} (1,5*0,6*vento)	0,5741	-0,2472	-2,9714	0,0071	0,4166	-0,2032
123	TxMin	[pp+perm+pp fondazioni] {SEISMIC 1-}	0,3125	-0,1330	-0,7814	0,0017	0,1823	-0,1058
123	MyMax	[1,3*pp+perm+1,3*pp fondazioni] {1,5*neve} (1,5*0,6*vento)	0,5741	-0,2472	-2,9714	0,0071	0,4166	-0,2032
123	MyMin	[1,3*pp+perm+1,3*pp fondazioni] {1,5*neve} (1,5*0,6*vento)	0,5741	-0,2472	-0,2374	0,0071	-0,7867	-0,0178
123	MzMax	[1,3*pp+perm+pp fondazioni] {1,5*neve} (1,5*0,6*vento)	0,5741	-0,2472	2,4965	0,0071	0,0604	0,1676
123	MzMin	[1,3*pp+perm+pp fondazioni] {1,5*neve} (1,5*0,6*vento)	0,5741	-0,2472	-2,9714	0,0071	0,4166	-0,2032
124	NxMax	[pp+perm+pp fondazioni] {SEISMIC 1+}	-0,1339	-0,0924	-0,5241	0,0018	0,1738	-0,0550
124	NxMin	[1,3*pp+perm+pp fondazioni] {1,5*neve} (1,5*0,6*vento)	-0,6293	-0,2135	-1,7589	0,0058	0,3284	-0,1198
124	VyMax	[pp+perm+pp fondazioni] {SEISMIC 1+}	-0,1712	-0,0187	-0,5241	0,0018	0,1738	-0,0550
124	VyMin	[1,3*pp+perm+pp fondazioni] {1,5*neve} (1,5*0,6*vento)	-0,6293	-0,2135	-1,7589	0,0058	0,3284	-0,1198
124	VzMax	[1,3*pp+perm+pp fondazioni] {1,5*neve} (1,5*0,6*vento)	-0,6293	-0,2135	1,0152	0,0058	-0,2294	0,2005
124	VzMin	[1,3*pp+perm+1,3*pp fondazioni] {1,5*neve} (1,5*0,6*vento)	-0,6293	-0,2135	-1,7589	0,0058	0,3284	-0,1198
124	TxMax	[1,3*pp+perm+1,3*pp fondazioni] {1,5*neve} (1,5*0,6*vento)	-0,6293	-0,2135	-1,7589	0,0058	0,3284	-0,1198
124	TxMin	[pp+perm+pp fondazioni] {SEISMIC 1-}	-0,1712	-0,0924	-0,5241	0,0013	0,1738	-0,0550
124	MyMax	[1,3*pp+perm+1,3*pp fondazioni] {1,5*neve} (1,5*0,6*vento)	-0,6293	-0,2135	-1,7589	0,0058	0,3284	-0,1198
124	MyMin	[1,3*pp+perm+1,3*pp fondazioni] {1,5*neve} (1,5*0,6*vento)	-0,6293	-0,2135	-0,0945	0,0058	-0,5056	0,0724

124	MzMax	[1,3*pp+perm+pp fondazioni] {1,5*neve} (1,5*0,6*vento)	-0,6293	-0,2135	1,0152	0,0058	-0,2294	0,2005
124	MzMin	[1,3*pp+perm+pp fondazioni] {1,5*neve} (1,5*0,6*vento)	-0,6293	-0,2135	-1,7589	0,0058	0,3284	-0,1198
130	NxMax	[pp+perm+pp fondazioni] {SEISMIC 1+}	-0,2115	0,0357	-0,0918	0,0038	-0,2394	-0,0325
130	NxMin	[1,3*pp+perm+1,3*pp fondazioni] {1,5*neve} (1,5*0,6*vento)	-1,2280	0,0138	-0,4455	0,0126	-0,7239	-0,0042
130	VyMax	[pp+perm+pp fondazioni] {SEISMIC 1+}	-0,4106	0,0357	-0,0918	0,0038	-0,2394	-0,0325
130	VyMin	[pp+perm+pp fondazioni] {SEISMIC 1-}	-0,4106	-0,0300	-0,0918	0,0038	-0,2394	-0,0325
130	VzMax	[1,3*pp+perm+pp fondazioni] {1,5*neve} (1,5*0,6*vento)	-1,2280	0,0138	3,0684	0,0126	1,7679	-0,0305
130	VzMin	[1,3*pp+perm+1,3*pp fondazioni] {1,5*neve} (1,5*0,6*vento)	-1,2280	0,0138	-0,4455	0,0126	-0,7239	-0,0042
130	TxMax	[1,3*pp+perm+1,3*pp fondazioni] {1,5*neve} (1,5*0,6*vento)	-1,2280	0,0138	-0,4455	0,0126	-0,7239	-0,0042
130	TxMin	[pp+perm+pp fondazioni] {SEISMIC 1-}	-0,4106	0,0357	-0,0918	0,0027	-0,2394	-0,0325
130	MyMax	[1,3*pp+perm+pp fondazioni] {1,5*neve} (1,5*0,6*vento)	-1,2280	0,0138	3,0684	0,0126	1,7679	-0,0305
130	MyMin	[1,3*pp+perm+pp fondazioni] {1,5*neve} (1,5*0,6*vento)	-1,2280	0,0138	-0,0941	0,0126	-0,7752	-0,0069
130	MzMax	[pp+perm+pp fondazioni] {SEISMIC 1+}	-0,4106	0,0357	-0,0918	0,0038	-0,2394	0,0280
130	MzMin	[pp+perm+pp fondazioni] {SEISMIC 1-}	-0,4106	0,0357	0,7882	0,0038	0,4763	-0,0402
131	NxMax	[pp+perm+pp fondazioni] {SEISMIC 1+}	-1,4048	-0,0555	-0,3135	0,0008	-0,3104	-0,0538
131	NxMin	[1,3*pp+perm+1,3*pp fondazioni] {1,5*neve} (1,5*0,6*vento)	-7,6548	-0,0872	-1,5298	0,0013	-0,8186	-0,0924
131	VyMax	[pp+perm+pp fondazioni] {SEISMIC 1+}	-2,4437	0,0083	-0,3135	0,0008	-0,3104	-0,0538
131	VyMin	[1,3*pp+perm+1,3*pp fondazioni] {1,5*neve} (1,5*0,6*vento)	-7,6548	-0,0872	-1,5298	0,0013	-0,8186	-0,0924
131	VzMax	[1,3*pp+perm+pp fondazioni] {1,5*neve} (1,5*0,6*vento)	-7,6548	-0,0872	5,3962	0,0013	2,8545	0,0733
131	VzMin	[1,3*pp+perm+1,3*pp fondazioni] {1,5*neve} (1,5*0,6*vento)	-7,6548	-0,0872	-1,5298	0,0013	-0,8186	-0,0924
131	TxMax	[1,3*pp+perm+1,3*pp fondazioni] {1,5*neve} (1,5*0,6*vento)	-7,6548	-0,0872	-1,5298	0,0013	-0,8186	-0,0924
131	TxMin	[pp+perm+pp fondazioni] {SEISMIC 1-}	-2,4437	-0,0555	-0,3135	-0,0002	-0,3104	-0,0538
131	MyMax	[1,3*pp+perm+pp fondazioni] {1,5*neve} (1,5*0,6*vento)	-7,6548	-0,0872	5,3962	0,0013	2,8545	0,0733
131	MyMin	[1,3*pp+perm+pp fondazioni] {1,5*neve} (1,5*0,6*vento)	-7,6548	-0,0872	-0,1446	0,0013	-1,1367	-0,0593
131	MzMax	[1,3*pp+perm+1,3*pp fondazioni] {1,5*neve} (1,5*0,6*vento)	-7,6548	-0,0872	5,3962	0,0013	2,8545	0,0733
131	MzMin	[1,3*pp+perm+1,3*pp fondazioni] {1,5*neve} (1,5*0,6*vento)	-7,6548	-0,0872	-1,5298	0,0013	-0,8186	-0,0924
132	NxMax	[pp+perm+pp fondazioni] {SEISMIC 1+}	-0,6832	0,0606	-0,4232	-0,0038	-0,1997	0,0586
132	NxMin	[1,3*pp+perm+1,3*pp fondazioni] {1,5*neve} (1,5*0,6*vento)	-3,7618	0,0646	-1,8999	-0,0132	-0,3998	0,0691
132	VyMax	[1,3*pp+perm+1,3*pp fondazioni] {1,5*neve} (1,5*0,6*vento)	-3,7618	0,0646	-1,8999	-0,0132	-0,3998	0,0691
132	VyMin	[pp+perm+pp fondazioni] {SEISMIC 1-}	-1,2011	-0,0249	-0,4232	-0,0038	-0,1997	0,0586
132	VzMax	[1,3*pp+perm+pp fondazioni] {1,5*neve} (1,5*0,6*vento)	-3,7618	0,0646	5,0261	-0,0132	2,5700	-0,0536
132	VzMin	[1,3*pp+perm+1,3*pp fondazioni] {1,5*neve} (1,5*0,6*vento)	-3,7618	0,0646	-1,8999	-0,0132	-0,3998	0,0691
132	TxMax	[pp+perm+pp fondazioni] {SEISMIC 1+}	-1,2011	0,0606	-0,4232	-0,0033	-0,1997	0,0586
132	TxMin	[1,3*pp+perm+pp fondazioni] {1,5*neve} (1,5*0,6*vento)	-3,7618	0,0646	-1,8999	-0,0132	-0,3998	0,0691
132	MyMax	[1,3*pp+perm+pp fondazioni] {1,5*neve} (1,5*0,6*vento)	-3,7618	0,0646	5,0261	-0,0132	2,5700	-0,0536
132	MyMin	[1,3*pp+perm+pp fondazioni] {1,5*neve} (1,5*0,6*vento)	-3,7618	0,0646	0,1779	-0,0132	-0,8906	0,0323
132	MzMax	[1,3*pp+perm+1,3*pp fondazioni] {1,5*neve} (1,5*0,6*vento)	-3,7618	0,0646	-1,8999	-0,0132	-0,3998	0,0691
132	MzMin	[pp+perm+pp fondazioni] {SEISMIC 1-}	-1,2011	0,0606	1,2472	-0,0038	0,6806	-0,0571
133	NxMax	[pp+perm+pp fondazioni] {SEISMIC 1+}	0,1053	0,0753	-0,5405	-0,0024	-0,0786	0,0764
133	NxMin	[pp+perm+pp fondazioni] {SEISMIC 1-}	-0,1554	0,0753	-0,5405	-0,0024	-0,0786	0,0764
133	VyMax	[1,3*pp+perm+1,3*pp fondazioni] {1,5*neve} (1,5*0,6*vento)	-0,0886	0,1538	-2,3144	-0,0084	0,0516	0,1669
133	VyMin	[pp+perm+pp fondazioni] {SEISMIC 1-}	-0,1554	0,0084	-0,5405	-0,0024	-0,0786	0,0764
133	VzMax	[1,3*pp+perm+1,3*pp fondazioni] {1,5*neve} (1,5*0,6*vento)	-0,0886	0,1538	4,6116	-0,0084	2,2340	-0,1253
133	VzMin	[1,3*pp+perm+pp fondazioni] {1,5*neve} (1,5*0,6*vento)	-0,0886	0,1538	-2,3144	-0,0084	0,0516	0,1669
133	TxMax	[pp+perm+pp fondazioni] {SEISMIC 1+}	-0,1554	0,0753	-0,5405	-0,0022	-0,0786	0,0764
133	TxMin	[1,3*pp+perm+1,3*pp fondazioni] {1,5*neve} (1,5*0,6*vento)	-0,0886	0,1538	-2,3144	-0,0084	0,0516	0,1669
133	MyMax	[1,3*pp+perm+1,3*pp fondazioni] {1,5*neve} (1,5*0,6*vento)	-0,0886	0,1538	4,6116	-0,0084	2,2340	-0,1253
133	MyMin	[1,3*pp+perm+1,3*pp fondazioni] {1,5*neve} (1,5*0,6*vento)	-0,0886	0,1538	-0,2366	-0,0084	-0,6754	0,0792

133	MzMax	[1,3*pp+perm+1,3*pp fondazioni] {1,5*neve} (1,5*0,6*vento)	-0,0886	0,1538	-2,3144	-0,0084	0,0516	0,1669
133	MzMin	[1,3*pp+perm+1,3*pp fondazioni] {1,5*neve} (1,5*0,6*vento)	-0,0886	0,1538	4,6116	-0,0084	2,2340	-0,1253
134	NxMax	[pp+perm+pp fondazioni] {SEISMIC 1+}	-0,0738	0,0669	-0,2345	-0,0019	-0,1608	0,0752
134	NxMin	[1,3*pp+perm+1,3*pp fondazioni] {1,5*neve} (1,5*0,6*vento)	-0,4795	0,2013	-0,7935	-0,0066	-0,2876	0,2153
134	VyMax	[1,3*pp+perm+1,3*pp fondazioni] {1,5*neve} (1,5*0,6*vento)	-0,4795	0,2013	-0,7935	-0,0066	-0,2876	0,2153
134	VyMin	[pp+perm+pp fondazioni] {SEISMIC 1-}	-0,1399	0,0420	-0,2345	-0,0019	-0,1608	0,0752
134	VzMax	[1,3*pp+perm+1,3*pp fondazioni] {1,5*neve} (1,5*0,6*vento)	-0,4795	0,2013	2,7204	-0,0066	1,5430	-0,1671
134	VzMin	[1,3*pp+perm+pp fondazioni] {1,5*neve} (1,5*0,6*vento)	-0,4795	0,2013	-0,7935	-0,0066	-0,2876	0,2153
134	TxMax	[pp+perm+pp fondazioni] {SEISMIC 1+}	-0,1399	0,0669	-0,2345	-0,0018	-0,1608	0,0752
134	TxMin	[1,3*pp+perm+1,3*pp fondazioni] {1,5*neve} (1,5*0,6*vento)	-0,4795	0,2013	-0,7935	-0,0066	-0,2876	0,2153
134	MyMax	[1,3*pp+perm+1,3*pp fondazioni] {1,5*neve} (1,5*0,6*vento)	-0,4795	0,2013	2,7204	-0,0066	1,5430	-0,1671
134	MyMin	[1,3*pp+perm+1,3*pp fondazioni] {1,5*neve} (1,5*0,6*vento)	-0,4795	0,2013	-0,0907	-0,0066	-0,4556	0,1388
134	MzMax	[1,3*pp+perm+1,3*pp fondazioni] {1,5*neve} (1,5*0,6*vento)	-0,4795	0,2013	-0,7935	-0,0066	-0,2876	0,2153
134	MzMin	[1,3*pp+perm+1,3*pp fondazioni] {1,5*neve} (1,5*0,6*vento)	-0,4795	0,2013	2,7204	-0,0066	1,5430	-0,1671
140	NxMax	[pp+perm+pp fondazioni] {SEISMIC 1+}	-0,2380	-0,0461	-0,7299	-0,0054	0,4433	-0,0421
140	NxMin	[1,3*pp+perm+1,3*pp fondazioni] {1,5*neve} (1,5*0,6*vento)	-1,3010	-0,0529	-2,8646	-0,0189	1,6620	-0,0402
140	VyMax	[pp+perm+pp fondazioni] {SEISMIC 1+}	-0,4166	0,0199	-0,7299	-0,0054	0,4433	-0,0421
140	VyMin	[1,3*pp+perm+pp fondazioni] {1,5*neve} (1,5*0,6*vento)	-1,3010	-0,0529	-2,8646	-0,0189	1,6620	-0,0402
140	VzMax	[1,3*pp+perm+pp fondazioni] {1,5*neve} (1,5*0,6*vento)	-1,3010	-0,0529	0,6493	-0,0189	-0,4426	0,0603
140	VzMin	[1,3*pp+perm+1,3*pp fondazioni] {1,5*neve} (1,5*0,6*vento)	-1,3010	-0,0529	-2,8646	-0,0189	1,6620	-0,0402
140	TxMax	[pp+perm+pp fondazioni] {SEISMIC 1+}	-0,4166	-0,0461	-0,7299	-0,0046	0,4433	-0,0421
140	TxMin	[1,3*pp+perm+pp fondazioni] {1,5*neve} (1,5*0,6*vento)	-1,3010	-0,0529	-2,8646	-0,0189	1,6620	-0,0402
140	MyMax	[1,3*pp+perm+1,3*pp fondazioni] {1,5*neve} (1,5*0,6*vento)	-1,3010	-0,0529	-2,8646	-0,0189	1,6620	-0,0402
140	MyMin	[1,3*pp+perm+pp fondazioni] {1,5*neve} (1,5*0,6*vento)	-1,3010	-0,0529	-0,0535	-0,0189	-0,5558	0,0402
140	MzMax	[1,3*pp+perm+pp fondazioni] {1,5*neve} (1,5*0,6*vento)	-1,3010	-0,0529	0,6493	-0,0189	-0,4426	0,0603
140	MzMin	[pp+perm+pp fondazioni] {SEISMIC 1-}	-0,4166	-0,0461	-0,7299	-0,0054	0,4433	-0,0421
141	NxMax	[pp+perm+pp fondazioni] {SEISMIC 1+}	-1,2342	0,0443	-1,2142	-0,0027	0,6525	0,0442
141	NxMin	[1,3*pp+perm+1,3*pp fondazioni] {1,5*neve} (1,5*0,6*vento)	-5,3062	0,0420	-4,9210	-0,0084	2,5180	0,0397
141	VyMax	[pp+perm+pp fondazioni] {SEISMIC 1+}	-1,3539	0,0443	-1,2142	-0,0027	0,6525	0,0442
141	VyMin	[pp+perm+pp fondazioni] {SEISMIC 1-}	-1,3539	-0,0206	-1,2142	-0,0027	0,6525	0,0442
141	VzMax	[1,3*pp+perm+pp fondazioni] {1,5*neve} (1,5*0,6*vento)	-5,3062	0,0420	2,0050	-0,0084	-0,2521	-0,0400
141	VzMin	[1,3*pp+perm+1,3*pp fondazioni] {1,5*neve} (1,5*0,6*vento)	-5,3062	0,0420	-4,9210	-0,0084	2,5180	0,0397
141	TxMax	[pp+perm+pp fondazioni] {SEISMIC 1+}	-1,3539	0,0443	-1,2142	-0,0018	0,6525	0,0442
141	TxMin	[1,3*pp+perm+pp fondazioni] {1,5*neve} (1,5*0,6*vento)	-5,3062	0,0420	-4,9210	-0,0084	2,5180	0,0397
141	MyMax	[1,3*pp+perm+1,3*pp fondazioni] {1,5*neve} (1,5*0,6*vento)	-5,3062	0,0420	-4,9210	-0,0084	2,5180	0,0397
141	MyMin	[1,3*pp+perm+1,3*pp fondazioni] {1,5*neve} (1,5*0,6*vento)	-5,3062	0,0420	-0,0728	-0,0084	-0,8028	-0,0161
141	MzMax	[pp+perm+pp fondazioni] {SEISMIC 1+}	-1,3539	0,0443	-1,2142	-0,0027	0,6525	0,0442
141	MzMin	[pp+perm+pp fondazioni] {SEISMIC 1-}	-1,3539	0,0443	0,4470	-0,0027	-0,1651	-0,0411
142	NxMax	[pp+perm+pp fondazioni] {SEISMIC 1+}	-0,7017	-0,0587	-1,1995	0,0015	0,6400	-0,0592
142	NxMin	[1,3*pp+perm+1,3*pp fondazioni] {1,5*neve} (1,5*0,6*vento)	-3,1688	-0,0462	-4,8625	0,0050	2,4380	-0,0565
142	VyMax	[pp+perm+pp fondazioni] {SEISMIC 1+}	-0,8571	0,0357	-1,1995	0,0015	0,6400	-0,0592
142	VyMin	[pp+perm+pp fondazioni] {SEISMIC 1-}	-0,8571	-0,0587	-1,1995	0,0015	0,6400	-0,0592
142	VzMax	[1,3*pp+perm+pp fondazioni] {1,5*neve} (1,5*0,6*vento)	-3,1688	-0,0462	2,0635	0,0050	-0,2211	0,0313
142	VzMin	[1,3*pp+perm+1,3*pp fondazioni] {1,5*neve} (1,5*0,6*vento)	-3,1688	-0,0462	-4,8625	0,0050	2,4380	-0,0565
142	TxMax	[1,3*pp+perm+1,3*pp fondazioni] {1,5*neve} (1,5*0,6*vento)	-3,1688	-0,0462	-4,8625	0,0050	2,4380	-0,0565
142	TxMin	[pp+perm+pp fondazioni] {SEISMIC 1-}	-0,8571	-0,0587	-1,1995	0,0010	0,6400	-0,0592
142	MyMax	[1,3*pp+perm+1,3*pp fondazioni] {1,5*neve} (1,5*0,6*vento)	-3,1688	-0,0462	-4,8625	0,0050	2,4380	-0,0565
142	MyMin	[1,3*pp+perm+1,3*pp fondazioni] {1,5*neve} (1,5*0,6*vento)	-3,1688	-0,0462	-0,0143	0,0050	-0,8051	0,0049

142	MzMax	[pp+perm+pp fondazioni] {SEISMIC 1+}	-0,8571	-0,0587	0,4648	0,0015	-0,1496	0,0535
142	MzMin	[pp+perm+pp fondazioni] {SEISMIC 1-}	-0,8571	-0,0587	-1,1995	0,0015	0,6400	-0,0592
143	NxMax	[pp+perm+pp fondazioni] {SEISMIC 1+}	0,0556	-0,0595	-1,1546	-0,0002	0,5924	-0,0632
143	NxMin	[pp+perm+pp fondazioni] {SEISMIC 1-}	-0,1193	-0,0595	-1,1546	-0,0002	0,5924	-0,0632
143	VyMax	[pp+perm+pp fondazioni] {SEISMIC 1+}	-0,1193	0,0156	-1,1546	-0,0002	0,5924	-0,0632
143	VyMin	[1,3*pp+perm+1,3*pp fondazioni] {1,5*neve} (1,5*0,6*vento)	-0,1158	-0,0856	-4,6923	-0,0001	2,2381	-0,1072
143	VzMax	[1,3*pp+perm+pp fondazioni] {1,5*neve} (1,5*0,6*vento)	-0,1158	-0,0856	2,2337	-0,0001	-0,0976	0,0554
143	VzMin	[1,3*pp+perm+1,3*pp fondazioni] {1,5*neve} (1,5*0,6*vento)	-0,1158	-0,0856	-4,6923	-0,0001	2,2381	-0,1072
143	TxMax	[pp+perm+pp fondazioni] {SEISMIC 1+}	-0,1193	-0,0595	-1,1546	0,0001	0,5924	-0,0632
143	TxMin	[pp+perm+pp fondazioni] {SEISMIC 1-}	-0,1193	-0,0595	-1,1546	-0,0002	0,5924	-0,0632
143	MyMax	[1,3*pp+perm+1,3*pp fondazioni] {1,5*neve} (1,5*0,6*vento)	-0,1158	-0,0856	-4,6923	-0,0001	2,2381	-0,1072
143	MyMin	[1,3*pp+perm+1,3*pp fondazioni] {1,5*neve} (1,5*0,6*vento)	-0,1158	-0,0856	0,1559	-0,0001	-0,7786	0,0066
143	MzMax	[1,3*pp+perm+1,3*pp fondazioni] {1,5*neve} (1,5*0,6*vento)	-0,1158	-0,0856	2,2337	-0,0001	-0,0976	0,0554
143	MzMin	[1,3*pp+perm+1,3*pp fondazioni] {1,5*neve} (1,5*0,6*vento)	-0,1158	-0,0856	-4,6923	-0,0001	2,2381	-0,1072
144	NxMax	[pp+perm+pp fondazioni] {SEISMIC 1+}	-0,1864	-0,0304	-0,7946	-0,0006	0,4780	-0,0335
144	NxMin	[1,3*pp+perm+1,3*pp fondazioni] {1,5*neve} (1,5*0,6*vento)	-0,9217	-0,0678	-2,9758	-0,0019	1,6553	-0,0985
144	VyMax	[pp+perm+pp fondazioni] {SEISMIC 1+}	-0,2615	-0,0041	-0,7946	-0,0006	0,4780	-0,0335
144	VyMin	[1,3*pp+perm+pp fondazioni] {1,5*neve} (1,5*0,6*vento)	-0,9217	-0,0678	-2,9758	-0,0019	1,6553	-0,0985
144	VzMax	[1,3*pp+perm+pp fondazioni] {1,5*neve} (1,5*0,6*vento)	-0,9217	-0,0678	0,5381	-0,0019	-0,6605	0,0304
144	VzMin	[1,3*pp+perm+1,3*pp fondazioni] {1,5*neve} (1,5*0,6*vento)	-0,9217	-0,0678	-2,9758	-0,0019	1,6553	-0,0985
144	TxMax	[pp+perm+pp fondazioni] {SEISMIC 1+}	-0,2615	-0,0304	-0,7946	-0,0005	0,4780	-0,0335
144	TxMin	[1,3*pp+perm+pp fondazioni] {1,5*neve} (1,5*0,6*vento)	-0,9217	-0,0678	-2,9758	-0,0019	1,6553	-0,0985
144	MyMax	[1,3*pp+perm+1,3*pp fondazioni] {1,5*neve} (1,5*0,6*vento)	-0,9217	-0,0678	-2,9758	-0,0019	1,6553	-0,0985
144	MyMin	[1,3*pp+perm+1,3*pp fondazioni] {1,5*neve} (1,5*0,6*vento)	-0,9217	-0,0678	-0,1647	-0,0019	-0,7315	0,0046
144	MzMax	[1,3*pp+perm+pp fondazioni] {1,5*neve} (1,5*0,6*vento)	-0,9217	-0,0678	0,5381	-0,0019	-0,6605	0,0304
144	MzMin	[1,3*pp+perm+pp fondazioni] {1,5*neve} (1,5*0,6*vento)	-0,9217	-0,0678	-2,9758	-0,0019	1,6553	-0,0985
150	NxMax	[pp+perm+pp fondazioni] {SEISMIC 1+}	-0,2704	0,0653	-0,1660	0,0047	-0,1718	0,0592
150	NxMin	[1,3*pp+perm+1,3*pp fondazioni] {1,5*neve} (1,5*0,6*vento)	-1,2522	0,0649	-0,6992	0,0169	-0,4753	0,0510
150	VyMax	[pp+perm+pp fondazioni] {SEISMIC 1+}	-0,3614	0,0653	-0,1660	0,0047	-0,1718	0,0592
150	VyMin	[pp+perm+pp fondazioni] {SEISMIC 1-}	-0,3614	-0,0304	-0,1660	0,0047	-0,1718	0,0592
150	VzMax	[1,3*pp+perm+1,3*pp fondazioni] {1,5*neve} (1,5*0,6*vento)	-1,2522	0,0649	2,9072	0,0169	1,6775	-0,0756
150	VzMin	[1,3*pp+perm+pp fondazioni] {1,5*neve} (1,5*0,6*vento)	-1,2522	0,0649	-0,6992	0,0169	-0,4753	0,0510
150	TxMax	[1,3*pp+perm+pp fondazioni] {1,5*neve} (1,5*0,6*vento)	-1,2522	0,0649	-0,6992	0,0169	-0,4753	0,0510
150	TxMin	[pp+perm+pp fondazioni] {SEISMIC 1-}	-0,3614	0,0653	-0,1660	0,0040	-0,1718	0,0592
150	MyMax	[1,3*pp+perm+1,3*pp fondazioni] {1,5*neve} (1,5*0,6*vento)	-1,2522	0,0649	2,9072	0,0169	1,6775	-0,0756
150	MyMin	[1,3*pp+perm+1,3*pp fondazioni] {1,5*neve} (1,5*0,6*vento)	-1,2522	0,0649	0,0221	0,0169	-0,6073	0,0257
150	MzMax	[pp+perm+pp fondazioni] {SEISMIC 1+}	-0,3614	0,0653	-0,1660	0,0047	-0,1718	0,0592
150	MzMin	[1,3*pp+perm+1,3*pp fondazioni] {1,5*neve} (1,5*0,6*vento)	-1,2522	0,0649	2,9072	0,0169	1,6775	-0,0756
151	NxMax	[pp+perm+pp fondazioni] {SEISMIC 1+}	-0,6945	-0,0611	-0,4511	0,0023	-0,1880	-0,0615
151	NxMin	[1,3*pp+perm+1,3*pp fondazioni] {1,5*neve} (1,5*0,6*vento)	-4,2792	-0,0446	-2,0138	0,0068	-0,3495	-0,0570
151	VyMax	[pp+perm+pp fondazioni] {SEISMIC 1+}	-1,4023	0,0394	-0,4511	0,0023	-0,1880	-0,0615
151	VyMin	[pp+perm+pp fondazioni] {SEISMIC 1-}	-1,4023	-0,0611	-0,4511	0,0023	-0,1880	-0,0615
151	VzMax	[1,3*pp+perm+1,3*pp fondazioni] {1,5*neve} (1,5*0,6*vento)	-4,2792	-0,0446	5,0944	0,0068	2,6541	0,0300
151	VzMin	[1,3*pp+perm+pp fondazioni] {1,5*neve} (1,5*0,6*vento)	-4,2792	-0,0446	-2,0138	0,0068	-0,3495	-0,0570
151	TxMax	[1,3*pp+perm+pp fondazioni] {1,5*neve} (1,5*0,6*vento)	-4,2792	-0,0446	-2,0138	0,0068	-0,3495	-0,0570
151	TxMin	[pp+perm+pp fondazioni] {SEISMIC 1-}	-1,4023	-0,0611	-0,4511	0,0012	-0,1880	-0,0615
151	MyMax	[1,3*pp+perm+1,3*pp fondazioni] {1,5*neve} (1,5*0,6*vento)	-4,2792	-0,0446	5,0944	0,0068	2,6541	0,0300
151	MyMin	[1,3*pp+perm+pp fondazioni] {1,5*neve} (1,5*0,6*vento)	-4,2792	-0,0446	0,1187	0,0068	-0,9038	-0,0309

151	MzMax	[pp+perm+pp fondazioni] {SEISMIC 1+}	-1,4023	-0,0611	1,2506	0,0023	0,6819	0,0580
151	MzMin	[pp+perm+pp fondazioni] {SEISMIC 1-}	-1,4023	-0,0611	-0,4511	0,0023	-0,1880	-0,0615
152	NxMax	[pp+perm+pp fondazioni] {SEISMIC 1+}	-0,4814	0,0646	-0,4715	-0,0019	-0,1615	0,0589
152	NxMin	[1,3*pp+perm+1,3*pp fondazioni] {1,5*neve} (1,5*0,6*vento)	-2,7347	0,0305	-2,0875	-0,0057	-0,2686	0,0190
152	VyMax	[pp+perm+pp fondazioni] {SEISMIC 1+}	-0,8672	0,0646	-0,4715	-0,0019	-0,1615	0,0589
152	VyMin	[pp+perm+pp fondazioni] {SEISMIC 1-}	-0,8672	-0,0474	-0,4715	-0,0019	-0,1615	0,0589
152	VzMax	[1,3*pp+perm+1,3*pp fondazioni] {1,5*neve} (1,5*0,6*vento)	-2,7347	0,0305	5,0208	-0,0057	2,5913	-0,0404
152	VzMin	[1,3*pp+perm+pp fondazioni] {1,5*neve} (1,5*0,6*vento)	-2,7347	0,0305	-2,0875	-0,0057	-0,2686	0,0190
152	TxMax	[pp+perm+pp fondazioni] {SEISMIC 1+}	-0,8672	0,0646	-0,4715	-0,0011	-0,1615	0,0589
152	TxMin	[1,3*pp+perm+1,3*pp fondazioni] {1,5*neve} (1,5*0,6*vento)	-2,7347	0,0305	-2,0875	-0,0057	-0,2686	0,0190
152	MyMax	[1,3*pp+perm+1,3*pp fondazioni] {1,5*neve} (1,5*0,6*vento)	-2,7347	0,0305	5,0208	-0,0057	2,5913	-0,0404
152	MyMin	[1,3*pp+perm+1,3*pp fondazioni] {1,5*neve} (1,5*0,6*vento)	-2,7347	0,0305	0,0450	-0,0057	-0,8661	0,0012
152	MzMax	[pp+perm+pp fondazioni] {SEISMIC 1+}	-0,8672	0,0646	-0,4715	-0,0019	-0,1615	0,0589
152	MzMin	[pp+perm+pp fondazioni] {SEISMIC 1-}	-0,8672	0,0646	1,2329	-0,0019	0,6737	-0,0672
153	NxMax	[pp+perm+pp fondazioni] {SEISMIC 1+}	-0,0296	0,0666	-0,5153	-0,0002	-0,1124	0,0616
153	NxMin	[1,3*pp+perm+1,3*pp fondazioni] {1,5*neve} (1,5*0,6*vento)	-0,2073	0,0469	-2,2529	-0,0002	-0,0951	0,0386
153	VyMax	[pp+perm+pp fondazioni] {SEISMIC 1+}	-0,0758	0,0666	-0,5153	-0,0002	-0,1124	0,0616
153	VyMin	[pp+perm+pp fondazioni] {SEISMIC 1-}	-0,0758	-0,0411	-0,5153	-0,0002	-0,1124	0,0616
153	VzMax	[1,3*pp+perm+1,3*pp fondazioni] {1,5*neve} (1,5*0,6*vento)	-0,2073	0,0469	4,8553	-0,0002	2,4423	-0,0529
153	VzMin	[1,3*pp+perm+pp fondazioni] {1,5*neve} (1,5*0,6*vento)	-0,2073	0,0469	-2,2529	-0,0002	-0,0951	0,0386
153	TxMax	[pp+perm+pp fondazioni] {SEISMIC 1+}	-0,0758	0,0666	-0,5153	0,0001	-0,1124	0,0616
153	TxMin	[pp+perm+pp fondazioni] {SEISMIC 1-}	-0,0758	0,0666	-0,5153	-0,0002	-0,1124	0,0616
153	MyMax	[1,3*pp+perm+1,3*pp fondazioni] {1,5*neve} (1,5*0,6*vento)	-0,2073	0,0469	4,8553	-0,0002	2,4423	-0,0529
153	MyMin	[1,3*pp+perm+1,3*pp fondazioni] {1,5*neve} (1,5*0,6*vento)	-0,2073	0,0469	-0,1204	-0,0002	-0,7893	0,0111
153	MzMax	[pp+perm+pp fondazioni] {SEISMIC 1+}	-0,0758	0,0666	-0,5153	-0,0002	-0,1124	0,0616
153	MzMin	[pp+perm+pp fondazioni] {SEISMIC 1-}	-0,0758	0,0666	1,1916	-0,0002	0,6423	-0,0684
154	NxMax	[pp+perm+pp fondazioni] {SEISMIC 1+}	-0,2090	0,0521	-0,1434	0,0003	-0,2512	0,0492
154	NxMin	[1,3*pp+perm+1,3*pp fondazioni] {1,5*neve} (1,5*0,6*vento)	-0,9178	0,0156	-0,4833	0,0008	-0,6675	0,0134
154	VyMax	[pp+perm+pp fondazioni] {SEISMIC 1+}	-0,2425	0,0521	-0,1434	0,0003	-0,2512	0,0492
154	VyMin	[pp+perm+pp fondazioni] {SEISMIC 1-}	-0,2425	-0,0427	-0,1434	0,0003	-0,2512	0,0492
154	VzMax	[1,3*pp+perm+1,3*pp fondazioni] {1,5*neve} (1,5*0,6*vento)	-0,9178	0,0156	3,1231	0,0008	1,9063	-0,0171
154	VzMin	[1,3*pp+perm+pp fondazioni] {1,5*neve} (1,5*0,6*vento)	-0,9178	0,0156	-0,4833	0,0008	-0,6675	0,0134
154	TxMax	[1,3*pp+perm+pp fondazioni] {1,5*neve} (1,5*0,6*vento)	-0,9178	0,0156	-0,4833	0,0008	-0,6675	0,0134
154	TxMin	[pp+perm+pp fondazioni] {SEISMIC 1-}	-0,2425	0,0521	-0,1434	0,0001	-0,2512	0,0492
154	MyMax	[1,3*pp+perm+1,3*pp fondazioni] {1,5*neve} (1,5*0,6*vento)	-0,9178	0,0156	3,1231	0,0008	1,9063	-0,0171
154	MyMin	[1,3*pp+perm+1,3*pp fondazioni] {1,5*neve} (1,5*0,6*vento)	-0,9178	0,0156	-0,1227	0,0008	-0,7266	0,0104
154	MzMax	[pp+perm+pp fondazioni] {SEISMIC 1+}	-0,2425	0,0521	-0,1434	0,0003	-0,2512	0,0492
154	MzMin	[pp+perm+pp fondazioni] {SEISMIC 1-}	-0,2425	0,0521	0,8294	0,0003	0,5425	-0,0526
160	NxMax	[pp+perm+pp fondazioni] {SEISMIC 1+}	-0,2524	-0,0695	-0,7481	-0,0050	0,4517	-0,0697
160	NxMin	[1,3*pp+perm+1,3*pp fondazioni] {1,5*neve} (1,5*0,6*vento)	-1,1190	-0,1254	-2,9365	-0,0186	1,6955	-0,1202
160	VyMax	[pp+perm+pp fondazioni] {SEISMIC 1+}	-0,3123	0,0051	-0,7481	-0,0050	0,4517	-0,0697
160	VyMin	[1,3*pp+perm+1,3*pp fondazioni] {1,5*neve} (1,5*0,6*vento)	-1,1190	-0,1254	-2,9365	-0,0186	1,6955	-0,1202
160	VzMax	[1,3*pp+perm+pp fondazioni] {1,5*neve} (1,5*0,6*vento)	-1,1190	-0,1254	0,6236	-0,0186	-0,5306	0,1212
160	VzMin	[1,3*pp+perm+1,3*pp fondazioni] {1,5*neve} (1,5*0,6*vento)	-1,1190	-0,1254	-2,9365	-0,0186	1,6955	-0,1202
160	TxMax	[pp+perm+pp fondazioni] {SEISMIC 1+}	-0,3123	-0,0695	-0,7481	-0,0046	0,4517	-0,0697
160	TxMin	[1,3*pp+perm+1,3*pp fondazioni] {1,5*neve} (1,5*0,6*vento)	-1,1190	-0,1254	-2,9365	-0,0186	1,6955	-0,1202
160	MyMax	[1,3*pp+perm+1,3*pp fondazioni] {1,5*neve} (1,5*0,6*vento)	-1,1190	-0,1254	-2,9365	-0,0186	1,6955	-0,1202
160	MyMin	[1,3*pp+perm+1,3*pp fondazioni] {1,5*neve} (1,5*0,6*vento)	-1,1190	-0,1254	-0,0884	-0,0186	-0,6336	0,0729

160	MzMax	[1,3*pp+perm+1,3*pp fondazioni] {1,5*neve} (1,5*0,6*vento)	-1,1190	-0,1254	0,6236	-0,0186	-0,5306	0,1212
160	MzMin	[1,3*pp+perm+1,3*pp fondazioni] {1,5*neve} (1,5*0,6*vento)	-1,1190	-0,1254	-2,9365	-0,0186	1,6955	-0,1202
161	NxMax	[pp+perm+pp fondazioni] {SEISMIC 1+}	-0,9843	-0,0417	-1,2723	-0,0027	0,7018	-0,0413
161	NxMin	[1,3*pp+perm+1,3*pp fondazioni] {1,5*neve} (1,5*0,6*vento)	-4,6943	-0,0092	-5,1552	-0,0093	2,7218	-0,0036
161	VyMax	[pp+perm+pp fondazioni] {SEISMIC 1+}	-1,3080	0,0370	-1,2723	-0,0027	0,7018	-0,0413
161	VyMin	[pp+perm+pp fondazioni] {SEISMIC 1-}	-1,3080	-0,0417	-1,2723	-0,0027	0,7018	-0,0413
161	VzMax	[1,3*pp+perm+1,3*pp fondazioni] {1,5*neve} (1,5*0,6*vento)	-4,6943	-0,0092	1,8619	-0,0093	-0,4480	0,0141
161	VzMin	[1,3*pp+perm+pp fondazioni] {1,5*neve} (1,5*0,6*vento)	-4,6943	-0,0092	-5,1552	-0,0093	2,7218	-0,0036
161	TxMax	[pp+perm+pp fondazioni] {SEISMIC 1+}	-1,3080	-0,0417	-1,2723	-0,0021	0,7018	-0,0413
161	TxMin	[1,3*pp+perm+1,3*pp fondazioni] {1,5*neve} (1,5*0,6*vento)	-4,6943	-0,0092	-5,1552	-0,0093	2,7218	-0,0036
161	MyMax	[1,3*pp+perm+pp fondazioni] {1,5*neve} (1,5*0,6*vento)	-4,6943	-0,0092	-5,1552	-0,0093	2,7218	-0,0036
161	MyMin	[1,3*pp+perm+1,3*pp fondazioni] {1,5*neve} (1,5*0,6*vento)	-4,6943	-0,0092	-0,2432	-0,0093	-0,9154	0,0088
161	MzMax	[pp+perm+pp fondazioni] {SEISMIC 1+}	-1,3080	-0,0417	0,4170	-0,0027	-0,2186	0,0407
161	MzMin	[pp+perm+pp fondazioni] {SEISMIC 1-}	-1,3080	-0,0417	-1,2723	-0,0027	0,7018	-0,0413
162	NxMax	[pp+perm+pp fondazioni] {SEISMIC 1+}	-0,6422	-0,0770	-1,2263	0,0015	0,6793	-0,0722
162	NxMin	[1,3*pp+perm+1,3*pp fondazioni] {1,5*neve} (1,5*0,6*vento)	-2,6650	-0,1043	-4,9887	0,0046	2,6110	-0,0833
162	VyMax	[pp+perm+pp fondazioni] {SEISMIC 1+}	-0,6680	0,0229	-1,2263	0,0015	0,6793	-0,0722
162	VyMin	[1,3*pp+perm+1,3*pp fondazioni] {1,5*neve} (1,5*0,6*vento)	-2,6650	-0,1043	-4,9887	0,0046	2,6110	-0,0833
162	VzMax	[1,3*pp+perm+1,3*pp fondazioni] {1,5*neve} (1,5*0,6*vento)	-2,6650	-0,1043	2,0285	0,0046	-0,2381	0,1175
162	VzMin	[1,3*pp+perm+pp fondazioni] {1,5*neve} (1,5*0,6*vento)	-2,6650	-0,1043	-4,9887	0,0046	2,6110	-0,0833
162	TxMax	[1,3*pp+perm+pp fondazioni] {1,5*neve} (1,5*0,6*vento)	-2,6650	-0,1043	-4,9887	0,0046	2,6110	-0,0833
162	TxMin	[pp+perm+pp fondazioni] {SEISMIC 1-}	-0,6680	-0,0770	-1,2263	0,0009	0,6793	-0,0722
162	MyMax	[1,3*pp+perm+pp fondazioni] {1,5*neve} (1,5*0,6*vento)	-2,6650	-0,1043	-4,9887	0,0046	2,6110	-0,0833
162	MyMin	[1,3*pp+perm+1,3*pp fondazioni] {1,5*neve} (1,5*0,6*vento)	-2,6650	-0,1043	-0,0767	0,0046	-0,8017	0,0573
162	MzMax	[1,3*pp+perm+1,3*pp fondazioni] {1,5*neve} (1,5*0,6*vento)	-2,6650	-0,1043	2,0285	0,0046	-0,2381	0,1175
162	MzMin	[1,3*pp+perm+1,3*pp fondazioni] {1,5*neve} (1,5*0,6*vento)	-2,6650	-0,1043	-4,9887	0,0046	2,6110	-0,0833
163	NxMax	[1,3*pp+perm+pp fondazioni] {1,5*neve} (1,5*0,6*vento)	0,2117	-0,1388	-4,7713	0,0000	2,4314	-0,1131
163	NxMin	[pp+perm+pp fondazioni] {SEISMIC 1-}	0,0231	-0,0784	-1,1704	-0,0002	0,6397	-0,0721
163	VyMax	[pp+perm+pp fondazioni] {SEISMIC 1+}	0,0817	0,0072	-1,1704	-0,0002	0,6397	-0,0721
163	VyMin	[1,3*pp+perm+1,3*pp fondazioni] {1,5*neve} (1,5*0,6*vento)	0,2117	-0,1388	-4,7713	0,0000	2,4314	-0,1131
163	VzMax	[1,3*pp+perm+pp fondazioni] {1,5*neve} (1,5*0,6*vento)	0,2117	-0,1388	2,2458	0,0000	0,0007	0,1541
163	VzMin	[1,3*pp+perm+1,3*pp fondazioni] {1,5*neve} (1,5*0,6*vento)	0,2117	-0,1388	-4,7713	0,0000	2,4314	-0,1131
163	TxMax	[pp+perm+pp fondazioni] {SEISMIC 1+}	0,0817	-0,0784	-1,1704	0,0001	0,6397	-0,0721
163	TxMin	[pp+perm+pp fondazioni] {SEISMIC 1-}	0,0817	-0,0784	-1,1704	-0,0002	0,6397	-0,0721
163	MyMax	[1,3*pp+perm+1,3*pp fondazioni] {1,5*neve} (1,5*0,6*vento)	0,2117	-0,1388	-4,7713	0,0000	2,4314	-0,1131
163	MyMin	[1,3*pp+perm+1,3*pp fondazioni] {1,5*neve} (1,5*0,6*vento)	0,2117	-0,1388	0,1407	0,0000	-0,6884	0,0739
163	MzMax	[1,3*pp+perm+1,3*pp fondazioni] {1,5*neve} (1,5*0,6*vento)	0,2117	-0,1388	2,2458	0,0000	0,0007	0,1541
163	MzMin	[1,3*pp+perm+1,3*pp fondazioni] {1,5*neve} (1,5*0,6*vento)	0,2117	-0,1388	-4,7713	0,0000	2,4314	-0,1131
164	NxMax	[pp+perm+pp fondazioni] {SEISMIC 1+}	-0,2837	-0,0510	-0,8491	-0,0013	0,5635	-0,0490
164	NxMin	[1,3*pp+perm+1,3*pp fondazioni] {1,5*neve} (1,5*0,6*vento)	-1,2371	-0,0626	-3,2013	-0,0046	1,9876	-0,0540
164	VyMax	[pp+perm+pp fondazioni] {SEISMIC 1+}	-0,3326	0,0190	-0,8491	-0,0013	0,5635	-0,0490
164	VyMin	[1,3*pp+perm+1,3*pp fondazioni] {1,5*neve} (1,5*0,6*vento)	-1,2371	-0,0626	-3,2013	-0,0046	1,9876	-0,0540
164	VzMax	[1,3*pp+perm+pp fondazioni] {1,5*neve} (1,5*0,6*vento)	-1,2371	-0,0626	0,3589	-0,0046	-0,7482	0,0665
164	VzMin	[1,3*pp+perm+1,3*pp fondazioni] {1,5*neve} (1,5*0,6*vento)	-1,2371	-0,0626	-3,2013	-0,0046	1,9876	-0,0540
164	TxMax	[pp+perm+pp fondazioni] {SEISMIC 1+}	-0,3326	-0,0510	-0,8491	-0,0011	0,5635	-0,0490
164	TxMin	[1,3*pp+perm+1,3*pp fondazioni] {1,5*neve} (1,5*0,6*vento)	-1,2371	-0,0626	-3,2013	-0,0046	1,9876	-0,0540
164	MyMax	[1,3*pp+perm+1,3*pp fondazioni] {1,5*neve} (1,5*0,6*vento)	-1,2371	-0,0626	-3,2013	-0,0046	1,9876	-0,0540
164	MyMin	[1,3*pp+perm+1,3*pp fondazioni] {1,5*neve} (1,5*0,6*vento)	-1,2371	-0,0626	0,0028	-0,0046	-0,7830	0,0544

164	MzMax	[1,3*pp+perm+1,3*pp fondazioni] {1,5*neve} (1,5*0,6*vento)	-1,2371	-0,0626	0,3589	-0,0046	-0,7482	0,0665
164	MzMin	[1,3*pp+perm+1,3*pp fondazioni] {1,5*neve} (1,5*0,6*vento)	-1,2371	-0,0626	-3,2013	-0,0046	1,9876	-0,0540
170	NxMax	[pp+perm+pp fondazioni] {SEISMIC 1+}	-0,2295	0,0691	-0,3019	0,0011	-0,1671	0,0574
170	NxMin	[1,3*pp+perm+1,3*pp fondazioni] {1,5*neve} (1,5*0,6*vento)	-1,0510	0,1018	-1,2147	0,0036	-0,4564	0,0830
170	VyMax	[1,3*pp+perm+pp fondazioni] {1,5*neve} (1,5*0,6*vento)	-1,0510	0,1018	-1,2147	0,0036	-0,4564	0,0830
170	VyMin	[pp+perm+pp fondazioni] {SEISMIC 1-}	-0,2991	-0,0222	-0,3019	0,0011	-0,1671	0,0574
170	VzMax	[1,3*pp+perm+pp fondazioni] {1,5*neve} (1,5*0,6*vento)	-1,0510	0,1018	2,3454	0,0036	0,6319	-0,1129
170	VzMin	[1,3*pp+perm+1,3*pp fondazioni] {1,5*neve} (1,5*0,6*vento)	-1,0510	0,1018	-1,2147	0,0036	-0,4564	0,0830
170	TxMax	[1,3*pp+perm+1,3*pp fondazioni] {1,5*neve} (1,5*0,6*vento)	-1,0510	0,1018	-1,2147	0,0036	-0,4564	0,0830
170	TxMin	[pp+perm+pp fondazioni] {SEISMIC 1-}	-0,2991	0,0691	-0,3019	0,0008	-0,1671	0,0574
170	MyMax	[1,3*pp+perm+pp fondazioni] {1,5*neve} (1,5*0,6*vento)	-1,0510	0,1018	2,3454	0,0036	0,6319	-0,1129
170	MyMin	[1,3*pp+perm+pp fondazioni] {1,5*neve} (1,5*0,6*vento)	-1,0510	0,1018	-0,1467	0,0036	-0,8495	0,0242
170	MzMax	[1,3*pp+perm+1,3*pp fondazioni] {1,5*neve} (1,5*0,6*vento)	-1,0510	0,1018	-1,2147	0,0036	-0,4564	0,0830
170	MzMin	[1,3*pp+perm+pp fondazioni] {1,5*neve} (1,5*0,6*vento)	-1,0510	0,1018	2,3454	0,0036	0,6319	-0,1129
171	NxMax	[pp+perm+pp fondazioni] {SEISMIC 1+}	-1,4362	0,0518	-0,6245	0,0007	-0,1302	0,0416
171	NxMin	[1,3*pp+perm+1,3*pp fondazioni] {1,5*neve} (1,5*0,6*vento)	-7,4187	0,0331	-2,6699	0,0024	-0,0978	0,0208
171	VyMax	[pp+perm+pp fondazioni] {SEISMIC 1+}	-2,2472	0,0518	-0,6245	0,0007	-0,1302	0,0416
171	VyMin	[pp+perm+pp fondazioni] {SEISMIC 1-}	-2,2472	-0,0399	-0,6245	0,0007	-0,1302	0,0416
171	VzMax	[1,3*pp+perm+pp fondazioni] {1,5*neve} (1,5*0,6*vento)	-7,4187	0,0331	4,3472	0,0024	1,5167	-0,0429
171	VzMin	[1,3*pp+perm+1,3*pp fondazioni] {1,5*neve} (1,5*0,6*vento)	-7,4187	0,0331	-2,6699	0,0024	-0,0978	0,0208
171	TxMax	[1,3*pp+perm+1,3*pp fondazioni] {1,5*neve} (1,5*0,6*vento)	-7,4187	0,0331	-2,6699	0,0024	-0,0978	0,0208
171	TxMin	[pp+perm+pp fondazioni] {SEISMIC 1-}	-2,2472	0,0518	-0,6245	0,0004	-0,1302	0,0416
171	MyMax	[1,3*pp+perm+pp fondazioni] {1,5*neve} (1,5*0,6*vento)	-7,4187	0,0331	4,3472	0,0024	1,5167	-0,0429
171	MyMin	[1,3*pp+perm+pp fondazioni] {1,5*neve} (1,5*0,6*vento)	-7,4187	0,0331	0,1370	0,0024	-1,0730	-0,0047
171	MzMax	[pp+perm+pp fondazioni] {SEISMIC 1+}	-2,2472	0,0518	1,0786	0,0007	0,4172	0,0416
171	MzMin	[pp+perm+pp fondazioni] {SEISMIC 1-}	-2,2472	0,0518	1,0786	0,0007	0,4172	-0,0582
172	NxMax	[pp+perm+pp fondazioni] {SEISMIC 1+}	-0,6797	0,1026	-0,6884	0,0004	-0,1061	0,0742
172	NxMin	[1,3*pp+perm+1,3*pp fondazioni] {1,5*neve} (1,5*0,6*vento)	-3,2028	0,1717	-2,9243	0,0015	-0,0529	0,0820
172	VyMax	[1,3*pp+perm+1,3*pp fondazioni] {1,5*neve} (1,5*0,6*vento)	-3,2028	0,1717	-2,9243	0,0015	-0,0529	0,0820
172	VyMin	[pp+perm+pp fondazioni] {SEISMIC 1-}	-0,9139	-0,0213	-0,6884	0,0004	-0,1061	0,0742
172	VzMax	[1,3*pp+perm+pp fondazioni] {1,5*neve} (1,5*0,6*vento)	-3,2028	0,1717	4,0928	0,0015	1,0718	-0,2485
172	VzMin	[1,3*pp+perm+1,3*pp fondazioni] {1,5*neve} (1,5*0,6*vento)	-3,2028	0,1717	-2,9243	0,0015	-0,0529	0,0820
172	TxMax	[1,3*pp+perm+1,3*pp fondazioni] {1,5*neve} (1,5*0,6*vento)	-3,2028	0,1717	-2,9243	0,0015	-0,0529	0,0820
172	TxMin	[pp+perm+pp fondazioni] {SEISMIC 1-}	-0,9139	0,1026	-0,6884	0,0000	-0,1061	0,0742
172	MyMax	[1,3*pp+perm+pp fondazioni] {1,5*neve} (1,5*0,6*vento)	-3,2028	0,1717	4,0928	0,0015	1,0718	-0,2485
172	MyMin	[1,3*pp+perm+1,3*pp fondazioni] {1,5*neve} (1,5*0,6*vento)	-3,2028	0,1717	-0,1175	0,0015	-1,2240	-0,0502
172	MzMax	[1,3*pp+perm+1,3*pp fondazioni] {1,5*neve} (1,5*0,6*vento)	-3,2028	0,1717	-2,9243	0,0015	-0,0529	0,0820
172	MzMin	[1,3*pp+perm+1,3*pp fondazioni] {1,5*neve} (1,5*0,6*vento)	-3,2028	0,1717	4,0928	0,0015	1,0718	-0,2485
173	NxMax	[1,3*pp+perm+pp fondazioni] {1,5*neve} (1,5*0,6*vento)	0,9445	0,1893	-3,2058	-0,0019	0,0815	0,0946
173	NxMin	[pp+perm+pp fondazioni] {SEISMIC 1-}	0,1275	0,0930	-0,7666	-0,0007	-0,0702	0,0661
173	VyMax	[1,3*pp+perm+1,3*pp fondazioni] {1,5*neve} (1,5*0,6*vento)	0,9445	0,1893	-3,2058	-0,0019	0,0815	0,0946
173	VyMin	[pp+perm+pp fondazioni] {SEISMIC 1-}	0,3615	-0,0033	-0,7666	-0,0007	-0,0702	0,0661
173	VzMax	[1,3*pp+perm+1,3*pp fondazioni] {1,5*neve} (1,5*0,6*vento)	0,9445	0,1893	3,8113	-0,0019	0,6643	-0,2698
173	VzMin	[1,3*pp+perm+pp fondazioni] {1,5*neve} (1,5*0,6*vento)	0,9445	0,1893	-3,2058	-0,0019	0,0815	0,0946
173	TxMax	[pp+perm+pp fondazioni] {SEISMIC 1+}	0,3615	0,0930	-0,7666	-0,0003	-0,0702	0,0661
173	TxMin	[1,3*pp+perm+pp fondazioni] {1,5*neve} (1,5*0,6*vento)	0,9445	0,1893	-3,2058	-0,0019	0,0815	0,0946
173	MyMax	[1,3*pp+perm+1,3*pp fondazioni] {1,5*neve} (1,5*0,6*vento)	0,9445	0,1893	3,8113	-0,0019	0,6643	-0,2698
173	MyMin	[1,3*pp+perm+1,3*pp fondazioni] {1,5*neve} (1,5*0,6*vento)	0,9445	0,1893	0,3027	-0,0019	-1,3156	-0,0876

173	MzMax	[1,3*pp+perm+1,3*pp fondazioni] {1,5*neve} (1,5*0,6*vento)	0,9445	0,1893	-3,2058	-0,0019	0,0815	0,0946
173	MzMin	[1,3*pp+perm+1,3*pp fondazioni] {1,5*neve} (1,5*0,6*vento)	0,9445	0,1893	3,8113	-0,0019	0,6643	-0,2698
174	NxMax	[pp+perm+pp fondazioni] {SEISMIC 1+}	-0,4402	0,0322	-0,3250	-0,0005	-0,2370	0,0344
174	NxMin	[1,3*pp+perm+1,3*pp fondazioni] {1,5*neve} (1,5*0,6*vento)	-1,8364	0,0503	-1,1174	-0,0017	-0,5999	0,0380
174	VyMax	[1,3*pp+perm+1,3*pp fondazioni] {1,5*neve} (1,5*0,6*vento)	-1,8364	0,0503	-1,1174	-0,0017	-0,5999	0,0380
174	VyMin	[pp+perm+pp fondazioni] {SEISMIC 1-}	-0,4864	-0,0105	-0,3250	-0,0005	-0,2370	0,0344
174	VzMax	[1,3*pp+perm+pp fondazioni] {1,5*neve} (1,5*0,6*vento)	-1,8364	0,0503	2,4427	-0,0017	0,6756	-0,0588
174	VzMin	[1,3*pp+perm+1,3*pp fondazioni] {1,5*neve} (1,5*0,6*vento)	-1,8364	0,0503	-1,1174	-0,0017	-0,5999	0,0380
174	TxMax	[pp+perm+pp fondazioni] {SEISMIC 1+}	-0,4864	0,0322	-0,3250	-0,0005	-0,2370	0,0344
174	TxMin	[1,3*pp+perm+1,3*pp fondazioni] {1,5*neve} (1,5*0,6*vento)	-1,8364	0,0503	-1,1174	-0,0017	-0,5999	0,0380
174	MyMax	[1,3*pp+perm+pp fondazioni] {1,5*neve} (1,5*0,6*vento)	-1,8364	0,0503	2,4427	-0,0017	0,6756	-0,0588
174	MyMin	[1,3*pp+perm+pp fondazioni] {1,5*neve} (1,5*0,6*vento)	-1,8364	0,0503	-0,0494	-0,0017	-0,9368	0,0090
174	MzMax	[1,3*pp+perm+1,3*pp fondazioni] {1,5*neve} (1,5*0,6*vento)	-1,8364	0,0503	-1,1174	-0,0017	-0,5999	0,0380
174	MzMin	[1,3*pp+perm+1,3*pp fondazioni] {1,5*neve} (1,5*0,6*vento)	-1,8364	0,0503	2,4427	-0,0017	0,6756	-0,0588
175	NxMax	[1,3*pp+perm+1,3*pp fondazioni] {1,5*neve} (1,5*0,6*vento)	1,6485	5,5785	4,0606	-0,0803	1,8680	-0,8739
175	NxMin	[pp+perm+pp fondazioni] {SEISMIC 1-}	0,0869	2,0856	0,9447	-0,0772	0,2587	0,2116
175	VyMax	[1,3*pp+perm+pp fondazioni] {1,5*neve} (1,5*0,6*vento)	1,6376	5,5785	4,0311	-0,0803	1,1254	0,1500
175	VyMin	[pp+perm+pp fondazioni] {SEISMIC 1-}	0,6062	0,9816	0,9447	-0,0772	0,2587	0,2116
175	VzMax	[1,3*pp+perm+pp fondazioni] {1,5*neve} (1,5*0,6*vento)	1,6485	5,5785	4,0606	-0,0803	1,8680	-0,8739
175	VzMin	[pp+perm+pp fondazioni] {SEISMIC 1-}	0,6062	2,0856	0,6733	-0,0772	0,2587	0,2116
175	TxMax	[pp+perm+pp fondazioni] {SEISMIC 1+}	0,6062	2,0856	0,9447	0,0372	0,2587	0,2116
175	TxMin	[1,3*pp+perm+1,3*pp fondazioni] {1,5*neve} (1,5*0,6*vento)	1,6376	5,5785	4,0311	-0,0803	1,1254	0,1500
175	MyMax	[1,3*pp+perm+pp fondazioni] {1,5*neve} (1,5*0,6*vento)	1,6485	5,5785	4,0606	-0,0803	1,8680	-0,8739
175	MyMin	[pp+perm+pp fondazioni] {SEISMIC 1-}	0,6062	2,0856	0,9447	-0,0772	0,2228	0,2116
175	MzMax	[pp+perm+pp fondazioni] {SEISMIC 1+}	0,6062	2,0856	0,9447	-0,0772	0,2587	0,2116
175	MzMin	[1,3*pp+perm+pp fondazioni] {1,5*neve} (1,5*0,6*vento)	1,6485	5,5785	4,0606	-0,0803	1,8680	-0,8739
176	NxMax	[1,3*pp+perm+pp fondazioni] {1,5*neve} (1,5*0,6*vento)	0,4338	-0,0293	1,1891	0,1485	1,1032	-0,0143
176	NxMin	[pp+perm+pp fondazioni] {SEISMIC 1-}	-0,0110	-0,0919	0,2103	0,0700	0,0156	-0,0901
176	VyMax	[pp+perm+pp fondazioni] {SEISMIC 1+}	0,1454	0,0893	0,2103	0,0700	0,0156	-0,0901
176	VyMin	[pp+perm+pp fondazioni] {SEISMIC 1-}	0,1454	-0,0919	0,2103	0,0700	0,0156	-0,0901
176	VzMax	[1,3*pp+perm+1,3*pp fondazioni] {1,5*neve} (1,5*0,6*vento)	0,4338	-0,0293	1,1891	0,1485	1,1032	-0,0143
176	VzMin	[pp+perm+pp fondazioni] {SEISMIC 1-}	0,1454	-0,0919	0,1374	0,0700	0,0156	-0,0901
176	TxMax	[1,3*pp+perm+1,3*pp fondazioni] {1,5*neve} (1,5*0,6*vento)	0,3756	-0,0293	1,0312	0,1485	0,0152	-0,0429
176	TxMin	[pp+perm+pp fondazioni] {SEISMIC 1-}	0,1454	-0,0919	0,2103	0,0114	0,0156	-0,0901
176	MyMax	[1,3*pp+perm+1,3*pp fondazioni] {1,5*neve} (1,5*0,6*vento)	0,4338	-0,0293	1,1891	0,1485	1,1032	-0,0143
176	MyMin	[pp+perm+pp fondazioni] {SEISMIC 1-}	0,1454	-0,0919	0,2103	0,0700	-0,0063	-0,0901
176	MzMax	[pp+perm+pp fondazioni] {SEISMIC 1+}	0,1902	-0,0919	0,3318	0,0700	0,2609	0,1124
176	MzMin	[pp+perm+pp fondazioni] {SEISMIC 1-}	0,1902	-0,0919	0,3318	0,0700	0,2609	-0,1365
177	NxMax	[pp+perm+pp fondazioni] {SEISMIC 1+}	-4,4401	-0,9463	-0,8951	-0,0653	-0,5110	0,1591
177	NxMin	[1,3*pp+perm+1,3*pp fondazioni] {1,5*neve} (1,5*0,6*vento)	-20,3292	-0,8333	-4,2556	-0,1343	1,8057	-0,3101
177	VyMax	[pp+perm+pp fondazioni] {SEISMIC 1+}	-5,5717	0,4478	-0,9938	-0,0653	0,2418	-0,5965
177	VyMin	[pp+perm+pp fondazioni] {SEISMIC 1-}	-5,5717	-0,9463	-0,9938	-0,0653	0,2418	-0,5965
177	VzMax	[pp+perm+pp fondazioni] {SEISMIC 1+}	-5,5354	-0,9463	-0,6826	-0,0653	-0,5110	0,1591
177	VzMin	[1,3*pp+perm+1,3*pp fondazioni] {1,5*neve} (1,5*0,6*vento)	-20,3292	-0,8333	-4,2556	-0,1343	1,8057	-0,3101
177	TxMax	[pp+perm+pp fondazioni] {SEISMIC 1+}	-5,5717	-0,9463	-0,9938	-0,0109	0,2418	-0,5965
177	TxMin	[1,3*pp+perm+1,3*pp fondazioni] {1,5*neve} (1,5*0,6*vento)	-20,3292	-0,8333	-4,2556	-0,1343	1,8057	-0,3101
177	MyMax	[1,3*pp+perm+1,3*pp fondazioni] {1,5*neve} (1,5*0,6*vento)	-20,3292	-0,8333	-4,2556	-0,1343	1,8057	-0,3101
177	MyMin	[1,3*pp+perm+1,3*pp fondazioni] {1,5*neve} (1,5*0,6*vento)	-20,2819	-0,8333	-4,1273	-0,1343	-1,5326	0,3536

177	MzMax	[pp+perm+pp fondazioni] {SEISMIC 1+}	-5,5717	-0,9463	-0,9938	-0,0653	0,2418	0,3964
177	MzMin	[pp+perm+pp fondazioni] {SEISMIC 1-}	-5,5717	-0,9463	-0,9938	-0,0653	0,2418	-0,5965
178	NxMax	[pp+perm+pp fondazioni] {SEISMIC 1+}	-4,3753	0,5084	0,0930	-0,0344	-0,5321	-0,3485
178	NxMin	[1,3*pp+perm+1,3*pp fondazioni] {1,5*neve} (1,5*0,6*vento)	-19,1628	0,4526	-0,4052	-0,1060	-1,5814	0,3707
178	VyMax	[pp+perm+pp fondazioni] {SEISMIC 1+}	-5,1307	0,5084	-0,0514	-0,0344	-0,5491	0,1506
178	VyMin	[pp+perm+pp fondazioni] {SEISMIC 1-}	-5,1307	-0,2808	-0,0514	-0,0344	-0,5491	0,1506
178	VzMax	[1,3*pp+perm+pp fondazioni]	-6,1498	0,1479	0,1060	-0,0381	-0,5868	-0,0155
178	VzMin	[1,3*pp+perm+1,3*pp fondazioni] {1,5*neve} (1,5*0,6*vento)	-19,1628	0,4526	-0,4052	-0,1060	-1,5814	0,3707
178	TxMax	[pp+perm+pp fondazioni] {SEISMIC 1+}	-5,1307	0,5084	-0,0514	-0,0242	-0,5491	0,1506
178	TxMin	[1,3*pp+perm+1,3*pp fondazioni] {1,5*neve} (1,5*0,6*vento)	-19,1628	0,4526	-0,4052	-0,1060	-1,5814	0,3707
178	MyMax	[pp+perm+pp fondazioni] {SEISMIC 1+}	-5,0860	0,5084	0,0930	-0,0344	-0,3707	-0,3485
178	MyMin	[1,3*pp+perm+1,3*pp fondazioni] {1,5*neve} (1,5*0,6*vento)	-19,1047	0,4526	-0,2473	-0,1060	-1,9011	-0,0728
178	MzMax	[1,3*pp+perm+1,3*pp fondazioni] {1,5*neve} (1,5*0,6*vento)	-19,1628	0,4526	-0,4052	-0,1060	-1,5814	0,3707
178	MzMin	[pp+perm+pp fondazioni] {SEISMIC 1-}	-5,0860	0,5084	0,0930	-0,0344	-0,5321	-0,3485
179	NxMax	[pp+perm+pp fondazioni] {SEISMIC 1+}	-4,3079	-0,0645	1,7464	0,1428	0,8622	0,3915
179	NxMin	[1,3*pp+perm+pp fondazioni] {1,5*neve} (1,5*0,6*vento)	-17,5242	-0,0603	6,4043	0,0193	2,3518	0,0718
179	VyMax	[pp+perm+pp fondazioni] {SEISMIC 1+}	-4,4856	0,0292	1,7295	0,1428	0,6585	0,3897
179	VyMin	[pp+perm+pp fondazioni] {SEISMIC 1-}	-4,4856	-0,0645	1,7295	0,1428	0,6585	0,3897
179	VzMax	[1,3*pp+perm+pp fondazioni] {1,5*neve} (1,5*0,6*vento)	-17,5160	-0,0603	6,4263	0,0193	3,2297	0,0801
179	VzMin	[pp+perm+pp fondazioni] {SEISMIC 1-}	-4,4856	-0,0645	1,4668	0,1428	0,6585	0,3897
179	TxMax	[pp+perm+pp fondazioni] {SEISMIC 1+}	-4,4856	-0,0645	1,7295	0,1428	0,6585	0,3897
179	TxMin	[pp+perm+pp fondazioni] {SEISMIC 1-}	-4,4856	-0,0645	1,7295	-0,1276	0,6585	0,3897
179	MyMax	[1,3*pp+perm+pp fondazioni] {1,5*neve} (1,5*0,6*vento)	-17,5160	-0,0603	6,4263	0,0193	3,2297	0,0801
179	MyMin	[pp+perm+pp fondazioni] {SEISMIC 1-}	-4,4856	-0,0645	1,7295	0,1428	0,5958	0,3897
179	MzMax	[pp+perm+pp fondazioni] {SEISMIC 1+}	-4,4793	-0,0645	1,7464	0,1428	0,8622	0,3915
179	MzMin	[pp+perm+pp fondazioni] {SEISMIC 1-}	-4,4856	-0,0645	1,7295	0,1428	0,6585	-0,3340
180	NxMax	[pp+perm+pp fondazioni] {SEISMIC 1+}	-4,2661	-0,2319	1,2849	-0,0433	0,6670	0,4460
180	NxMin	[1,3*pp+perm+1,3*pp fondazioni] {1,5*neve} (1,5*0,6*vento)	-17,8182	-0,2100	4,4058	-0,0104	-1,9728	-0,1073
180	VyMax	[pp+perm+pp fondazioni] {SEISMIC 1+}	-4,6375	0,1054	1,1634	-0,0433	-0,5747	-0,2736
180	VyMin	[pp+perm+pp fondazioni] {SEISMIC 1-}	-4,6375	-0,2319	1,1634	-0,0433	-0,5747	-0,2736
180	VzMax	[1,3*pp+perm+1,3*pp fondazioni] {1,5*neve} (1,5*0,6*vento)	-17,7601	-0,2100	4,5637	-0,0104	2,4222	0,0986
180	VzMin	[pp+perm+pp fondazioni] {SEISMIC 1-}	-4,6375	-0,2319	0,9928	-0,0433	-0,5747	-0,2736
180	TxMax	[pp+perm+pp fondazioni] {SEISMIC 1+}	-4,6375	-0,2319	1,1634	0,0401	-0,5747	-0,2736
180	TxMin	[pp+perm+pp fondazioni] {SEISMIC 1-}	-4,6375	-0,2319	1,1634	-0,0433	-0,5747	-0,2736
180	MyMax	[1,3*pp+perm+1,3*pp fondazioni] {1,5*neve} (1,5*0,6*vento)	-17,7601	-0,2100	4,5637	-0,0104	2,4222	0,0986
180	MyMin	[1,3*pp+perm+1,3*pp fondazioni] {1,5*neve} (1,5*0,6*vento)	-17,8182	-0,2100	4,4058	-0,0104	-1,9728	-0,1073
180	MzMax	[pp+perm+pp fondazioni] {SEISMIC 1+}	-4,5927	-0,2319	1,2849	-0,0433	0,6670	0,4460
180	MzMin	[pp+perm+pp fondazioni] {SEISMIC 1-}	-4,5927	-0,2319	1,2849	-0,0433	0,6670	-0,3719
181	NxMax	[1,3*pp+perm+1,3*pp fondazioni] {1,5*neve} (1,5*0,6*vento)	5,6269	2,2756	15,4578	0,1311	8,2954	-0,3483
181	NxMin	[pp+perm+pp fondazioni] {SEISMIC 1-}	0,9781	1,0333	3,9309	0,1391	1,3982	0,1943
181	VyMax	[1,3*pp+perm+1,3*pp fondazioni] {1,5*neve} (1,5*0,6*vento)	5,6160	2,2756	15,4282	0,1311	5,4609	0,0693
181	VyMin	[pp+perm+pp fondazioni] {SEISMIC 1-}	1,7890	0,1945	3,9309	0,1391	1,3982	0,1943
181	VzMax	[1,3*pp+perm+pp fondazioni] {1,5*neve} (1,5*0,6*vento)	5,6269	2,2756	15,4578	0,1311	8,2954	-0,3483
181	VzMin	[pp+perm+pp fondazioni] {SEISMIC 1-}	1,7890	1,0333	3,6941	0,1391	1,3982	0,1943
181	TxMax	[pp+perm+pp fondazioni] {SEISMIC 1+}	1,7890	1,0333	3,9309	0,1391	1,3982	0,1943
181	TxMin	[pp+perm+pp fondazioni] {SEISMIC 1-}	1,7890	1,0333	3,9309	-0,0661	1,3982	0,1943
181	MyMax	[1,3*pp+perm+pp fondazioni] {1,5*neve} (1,5*0,6*vento)	5,6269	2,2756	15,4578	0,1311	8,2954	-0,3483
181	MyMin	[pp+perm+pp fondazioni] {SEISMIC 1-}	1,7890	1,0333	3,9309	0,1391	1,3727	0,1943

181	MzMax	[pp+perm+pp fondazioni] {SEISMIC 1+}	1,7890	1,0333	3,9309	0,1391	1,3982	0,1943
181	MzMin	[1,3*pp+perm+1,3*pp fondazioni] {1,5*neve} (1,5*0,6*vento)	5,6269	2,2756	15,4578	0,1311	8,2954	-0,3483
182	NxMax	[1,3*pp+perm+pp fondazioni] {1,5*neve} (1,5*0,6*vento)	2,1714	-0,0730	5,7022	0,1123	5,4887	0,0405
182	NxMin	[pp+perm+pp fondazioni] {SEISMIC 1-}	0,3756	-0,0846	1,4102	0,0497	-0,0249	-0,0852
182	VyMax	[pp+perm+pp fondazioni] {SEISMIC 1+}	0,6652	0,0521	1,4102	0,0497	-0,0249	-0,0852
182	VyMin	[pp+perm+pp fondazioni] {SEISMIC 1-}	0,6652	-0,0846	1,4102	0,0497	-0,0249	-0,0852
182	VzMax	[1,3*pp+perm+1,3*pp fondazioni] {1,5*neve} (1,5*0,6*vento)	2,1714	-0,0730	5,7022	0,1123	5,4887	0,0405
182	VzMin	[pp+perm+pp fondazioni] {SEISMIC 1-}	0,6652	-0,0846	1,3233	0,0497	-0,0249	-0,0852
182	TxMax	[1,3*pp+perm+1,3*pp fondazioni] {1,5*neve} (1,5*0,6*vento)	2,1132	-0,0730	5,5443	0,1123	-0,0221	-0,0310
182	TxMin	[pp+perm+pp fondazioni] {SEISMIC 1-}	0,6652	-0,0846	1,4102	0,0116	-0,0249	-0,0852
182	MyMax	[1,3*pp+perm+1,3*pp fondazioni] {1,5*neve} (1,5*0,6*vento)	2,1714	-0,0730	5,7022	0,1123	5,4887	0,0405
182	MyMin	[pp+perm+pp fondazioni] {SEISMIC 1-}	0,6652	-0,0846	1,4102	0,0497	-0,0249	-0,0852
182	MzMax	[pp+perm+pp fondazioni] {SEISMIC 1+}	0,7099	-0,0846	1,5316	0,0497	1,4169	0,1005
182	MzMin	[pp+perm+pp fondazioni] {SEISMIC 1-}	0,7099	-0,0846	1,5316	0,0497	1,4169	-0,0871
183	NxMax	[pp+perm+pp fondazioni] {SEISMIC 1+}	-10,0672	-0,5538	-2,7032	-0,0410	-0,5818	0,0848
183	NxMin	[1,3*pp+perm+1,3*pp fondazioni] {1,5*neve} (1,5*0,6*vento)	-43,0983	-0,3309	-11,4137	-0,0489	7,3984	-0,0238
183	VyMax	[pp+perm+pp fondazioni] {SEISMIC 1+}	-11,7385	0,3616	-2,8019	-0,0410	1,7476	-0,3641
183	VyMin	[pp+perm+pp fondazioni] {SEISMIC 1-}	-11,7385	-0,5538	-2,8019	-0,0410	1,7476	-0,3641
183	VzMax	[pp+perm+pp fondazioni] {SEISMIC 1+}	-11,7022	-0,5538	-2,6234	-0,0410	-0,5818	0,0848
183	VzMin	[1,3*pp+perm+1,3*pp fondazioni] {1,5*neve} (1,5*0,6*vento)	-43,0983	-0,3309	-11,4137	-0,0489	7,3984	-0,0238
183	TxMax	[pp+perm+pp fondazioni] {SEISMIC 1+}	-11,7385	-0,5538	-2,8019	0,0149	1,7476	-0,3641
183	TxMin	[1,3*pp+perm+1,3*pp fondazioni] {1,5*neve} (1,5*0,6*vento)	-43,0983	-0,3309	-11,4137	-0,0489	7,3984	-0,0238
183	MyMax	[1,3*pp+perm+1,3*pp fondazioni] {1,5*neve} (1,5*0,6*vento)	-43,0983	-0,3309	-11,4137	-0,0489	7,3984	-0,0238
183	MyMin	[1,3*pp+perm+1,3*pp fondazioni] {1,5*neve} (1,5*0,6*vento)	-43,0510	-0,3309	-11,2854	-0,0489	-1,6410	0,2398
183	MzMax	[pp+perm+pp fondazioni] {SEISMIC 1+}	-11,7385	-0,5538	-2,8019	-0,0410	1,7476	0,3397
183	MzMin	[pp+perm+pp fondazioni] {SEISMIC 1-}	-11,7385	-0,5538	-2,8019	-0,0410	1,7476	-0,3641
184	NxMax	[pp+perm+pp fondazioni] {SEISMIC 1+}	-9,4557	0,4945	-0,3903	-0,0128	-0,9720	-0,3320
184	NxMin	[1,3*pp+perm+1,3*pp fondazioni] {1,5*neve} (1,5*0,6*vento)	-39,5293	0,2621	-2,0445	-0,0020	-1,6073	0,2255
184	VyMax	[pp+perm+pp fondazioni] {SEISMIC 1+}	-10,5914	0,4945	-0,5117	-0,0128	-0,6095	0,1546
184	VyMin	[pp+perm+pp fondazioni] {SEISMIC 1-}	-10,5914	-0,3613	-0,5117	-0,0128	-0,6095	0,1546
184	VzMax	[pp+perm+pp fondazioni] {SEISMIC 1+}	-10,5467	0,4945	-0,3086	-0,0128	-0,9720	-0,3320
184	VzMin	[1,3*pp+perm+pp fondazioni] {1,5*neve} (1,5*0,6*vento)	-39,5293	0,2621	-2,0445	-0,0020	-1,6073	0,2255
184	TxMax	[pp+perm+pp fondazioni] {SEISMIC 1+}	-10,5914	0,4945	-0,5117	0,0124	-0,6095	0,1546
184	TxMin	[pp+perm+pp fondazioni] {SEISMIC 1-}	-10,5914	0,4945	-0,5117	-0,0128	-0,6095	0,1546
184	MyMax	[pp+perm+pp fondazioni] {SEISMIC 1+}	-10,5914	0,4945	-0,5117	-0,0128	-0,3376	0,1546
184	MyMin	[1,3*pp+perm+pp fondazioni] {1,5*neve} (1,5*0,6*vento)	-39,4712	0,2621	-1,8866	-0,0020	-3,5335	-0,0314
184	MzMax	[pp+perm+pp fondazioni] {SEISMIC 1+}	-10,5467	0,4945	-0,3903	-0,0128	-0,9720	0,3193
184	MzMin	[pp+perm+pp fondazioni] {SEISMIC 1-}	-10,5467	0,4945	-0,3903	-0,0128	-0,9720	-0,3320
185	NxMax	[pp+perm+pp fondazioni] {SEISMIC 1+}	-8,4652	-0,0946	3,2844	-0,1600	1,2881	-0,4508
185	NxMin	[1,3*pp+perm+1,3*pp fondazioni] {1,5*neve} (1,5*0,6*vento)	-33,7514	-0,2073	12,1713	-0,0796	3,2542	-0,3254
185	VyMax	[pp+perm+pp fondazioni] {SEISMIC 1+}	-8,7097	-0,0199	3,2674	-0,1600	0,8873	-0,4607
185	VyMin	[1,3*pp+perm+1,3*pp fondazioni] {1,5*neve} (1,5*0,6*vento)	-33,7514	-0,2073	12,1713	-0,0796	3,2542	-0,3254
185	VzMax	[1,3*pp+perm+1,3*pp fondazioni] {1,5*neve} (1,5*0,6*vento)	-33,7433	-0,2073	12,1933	-0,0796	4,9214	-0,2971
185	VzMin	[pp+perm+pp fondazioni] {SEISMIC 1-}	-8,7097	-0,0946	2,9091	-0,1600	0,8873	-0,4607
185	TxMax	[pp+perm+pp fondazioni] {SEISMIC 1+}	-8,7097	-0,0946	3,2674	0,1187	0,8873	-0,4607
185	TxMin	[pp+perm+pp fondazioni] {SEISMIC 1-}	-8,7097	-0,0946	3,2674	-0,1600	0,8873	-0,4607
185	MyMax	[1,3*pp+perm+1,3*pp fondazioni] {1,5*neve} (1,5*0,6*vento)	-33,7433	-0,2073	12,1933	-0,0796	4,9214	-0,2971
185	MyMin	[pp+perm+pp fondazioni] {SEISMIC 1-}	-8,7097	-0,0946	3,2674	-0,1600	0,8257	-0,4607

185	MzMax	[pp+perm+pp fondazioni] {SEISMIC 1+}	-8,7035	-0,0946	3,2844	-0,1600	1,2881	0,2961
185	MzMin	[pp+perm+pp fondazioni] {SEISMIC 1-}	-8,7097	-0,0946	3,2674	-0,1600	0,8873	-0,4607
186	NxMax	[pp+perm+pp fondazioni] {SEISMIC 1+}	-8,8683	0,2417	1,9330	-0,0481	0,8554	-0,4890
186	NxMin	[1,3*pp+perm+pp fondazioni] {1,5*neve} (1,5*0,6*vento)	-36,0308	0,2349	6,7613	-0,0086	-3,4916	-0,0483
186	VyMax	[pp+perm+pp fondazioni] {SEISMIC 1+}	-9,4557	0,2417	1,8116	-0,0481	-0,9981	-0,2573
186	VyMin	[pp+perm+pp fondazioni] {SEISMIC 1-}	-9,4557	-0,1221	1,8116	-0,0481	-0,9981	-0,2573
186	VzMax	[1,3*pp+perm+1,3*pp fondazioni] {1,5*neve} (1,5*0,6*vento)	-35,9727	0,2349	6,9192	-0,0086	3,2118	-0,2785
186	VzMin	[pp+perm+pp fondazioni] {SEISMIC 1-}	-9,4557	0,2417	1,5557	-0,0481	-0,9981	-0,2573
186	TxMax	[pp+perm+pp fondazioni] {SEISMIC 1+}	-9,4557	0,2417	1,8116	0,0443	-0,9981	-0,2573
186	TxMin	[pp+perm+pp fondazioni] {SEISMIC 1-}	-9,4557	0,2417	1,8116	-0,0481	-0,9981	-0,2573
186	MyMax	[1,3*pp+perm+1,3*pp fondazioni] {1,5*neve} (1,5*0,6*vento)	-35,9727	0,2349	6,9192	-0,0086	3,2118	-0,2785
186	MyMin	[1,3*pp+perm+1,3*pp fondazioni] {1,5*neve} (1,5*0,6*vento)	-36,0308	0,2349	6,7613	-0,0086	-3,4916	-0,0483
186	MzMax	[pp+perm+pp fondazioni] {SEISMIC 1+}	-9,4110	0,2417	1,9330	-0,0481	0,8554	0,3467
186	MzMin	[pp+perm+pp fondazioni] {SEISMIC 1-}	-9,4110	0,2417	1,9330	-0,0481	0,8554	-0,4890
187	NxMax	[1,3*pp+perm+1,3*pp fondazioni] {1,5*neve} (1,5*0,6*vento)	1,8948	1,0758	5,2348	-0,0101	2,3621	-0,2135
187	NxMin	[pp+perm+pp fondazioni] {SEISMIC 1-}	0,1843	0,8870	1,2451	-0,0560	0,3303	-0,1800
187	VyMax	[1,3*pp+perm+1,3*pp fondazioni] {1,5*neve} (1,5*0,6*vento)	1,8839	1,0758	5,2052	-0,0101	1,4039	-0,0161
187	VyMin	[pp+perm+pp fondazioni] {SEISMIC 1-}	0,6238	-0,3730	1,2451	-0,0560	0,3303	-0,1800
187	VzMax	[1,3*pp+perm+pp fondazioni] {1,5*neve} (1,5*0,6*vento)	1,8948	1,0758	5,2348	-0,0101	2,3621	-0,2135
187	VzMin	[pp+perm+pp fondazioni] {SEISMIC 1-}	0,6238	0,8870	0,9945	-0,0560	0,3303	-0,1800
187	TxMax	[pp+perm+pp fondazioni] {SEISMIC 1+}	0,6238	0,8870	1,2451	0,0499	0,3303	-0,1800
187	TxMin	[pp+perm+pp fondazioni] {SEISMIC 1-}	0,6238	0,8870	1,2451	-0,0560	0,3303	-0,1800
187	MyMax	[1,3*pp+perm+pp fondazioni] {1,5*neve} (1,5*0,6*vento)	1,8948	1,0758	5,2348	-0,0101	2,3621	-0,2135
187	MyMin	[pp+perm+pp fondazioni] {SEISMIC 1-}	0,6238	0,8870	1,2451	-0,0560	0,3046	-0,1800
187	MzMax	[pp+perm+pp fondazioni] {SEISMIC 1+}	0,6322	0,8870	1,2679	-0,0560	0,5606	0,2337
187	MzMin	[pp+perm+pp fondazioni] {SEISMIC 1-}	0,6322	0,8870	1,2679	-0,0560	0,5606	-0,3381
188	NxMax	[1,3*pp+perm+pp fondazioni] {1,5*neve} (1,5*0,6*vento)	0,4136	0,0488	1,4640	0,0275	1,3766	-0,0481
188	NxMin	[pp+perm+pp fondazioni] {SEISMIC 1-}	0,0003	0,1064	0,2962	0,0379	0,0140	-0,0777
188	VyMax	[pp+perm+pp fondazioni] {SEISMIC 1+}	0,1193	0,1064	0,2962	0,0379	0,0140	-0,0777
188	VyMin	[pp+perm+pp fondazioni] {SEISMIC 1-}	0,1193	-0,0836	0,2962	0,0379	0,0140	-0,0777
188	VzMax	[1,3*pp+perm+pp fondazioni] {1,5*neve} (1,5*0,6*vento)	0,4136	0,0488	1,4640	0,0275	1,3766	-0,0481
188	VzMin	[pp+perm+pp fondazioni] {SEISMIC 1-}	0,1193	0,1064	0,2051	0,0379	0,0140	-0,0777
188	TxMax	[pp+perm+pp fondazioni] {SEISMIC 1+}	0,1193	0,1064	0,2962	0,0379	0,0140	-0,0777
188	TxMin	[pp+perm+pp fondazioni] {SEISMIC 1-}	0,1193	0,1064	0,2962	-0,0249	0,0140	-0,0777
188	MyMax	[1,3*pp+perm+pp fondazioni] {1,5*neve} (1,5*0,6*vento)	0,4136	0,0488	1,4640	0,0275	1,3766	-0,0481
188	MyMin	[pp+perm+pp fondazioni] {SEISMIC 1-}	0,1193	0,1064	0,2962	0,0379	-0,0038	-0,0777
188	MzMax	[pp+perm+pp fondazioni] {SEISMIC 1+}	0,1640	0,1064	0,4177	0,0379	0,3460	0,1122
188	MzMin	[pp+perm+pp fondazioni] {SEISMIC 1-}	0,1640	0,1064	0,4177	0,0379	0,3460	-0,1360
189	NxMax	[pp+perm+pp fondazioni] {SEISMIC 1+}	-3,7418	-0,7798	-0,8959	-0,0363	-0,4906	0,0952
189	NxMin	[1,3*pp+perm+1,3*pp fondazioni] {1,5*neve} (1,5*0,6*vento)	-17,6507	-0,3050	-4,4458	-0,0266	2,0854	-0,1046
189	VyMax	[pp+perm+pp fondazioni] {SEISMIC 1+}	-4,7489	0,6323	-0,9946	-0,0363	0,3068	-0,5274
189	VyMin	[pp+perm+pp fondazioni] {SEISMIC 1-}	-4,7489	-0,7798	-0,9946	-0,0363	0,3068	-0,5274
189	VzMax	[pp+perm+pp fondazioni] {SEISMIC 1+}	-4,7125	-0,7798	-0,7733	-0,0363	-0,4906	0,0952
189	VzMin	[1,3*pp+perm+1,3*pp fondazioni] {1,5*neve} (1,5*0,6*vento)	-17,6507	-0,3050	-4,4458	-0,0266	2,0854	-0,1046
189	TxMax	[pp+perm+pp fondazioni] {SEISMIC 1+}	-4,7489	-0,7798	-0,9946	0,0243	0,3068	-0,5274
189	TxMin	[pp+perm+pp fondazioni] {SEISMIC 1-}	-4,7489	-0,7798	-0,9946	-0,0363	0,3068	-0,5274
189	MyMax	[1,3*pp+perm+1,3*pp fondazioni] {1,5*neve} (1,5*0,6*vento)	-17,6507	-0,3050	-4,4458	-0,0266	2,0854	-0,1046
189	MyMin	[1,3*pp+perm+1,3*pp fondazioni] {1,5*neve} (1,5*0,6*vento)	-17,6034	-0,3050	-4,3174	-0,0266	-1,4043	0,1383

189	MzMax	[pp+perm+pp fondazioni] {SEISMIC 1+}	-4,7489	-0,7798	-0,9946	-0,0363	0,3068	0,4793
189	MzMin	[pp+perm+pp fondazioni] {SEISMIC 1-}	-4,7489	-0,7798	-0,9946	-0,0363	0,3068	-0,5274
190	NxMax	[pp+perm+pp fondazioni] {SEISMIC 1+}	-3,5959	0,4212	0,0992	-0,0142	-0,4824	0,3441
190	NxMin	[1,3*pp+perm+1,3*pp fondazioni] {1,5*neve} (1,5*0,6*vento)	-16,2406	0,1292	-0,3958	-0,0348	-1,4257	0,1543
190	VyMax	[pp+perm+pp fondazioni] {SEISMIC 1+}	-4,2704	0,4212	-0,0557	-0,0142	-0,5200	0,0849
190	VyMin	[pp+perm+pp fondazioni] {SEISMIC 1-}	-4,2704	-0,3585	-0,0557	-0,0142	-0,5200	0,0849
190	VzMax	[1,3*pp+perm+pp fondazioni]	-5,0840	0,0407	0,1073	-0,0111	-0,5249	0,0096
190	VzMin	[1,3*pp+perm+1,3*pp fondazioni] {1,5*neve} (1,5*0,6*vento)	-16,2406	0,1292	-0,3958	-0,0348	-1,4257	0,1543
190	TxMax	[pp+perm+pp fondazioni] {SEISMIC 1+}	-4,2704	0,4212	-0,0557	-0,0029	-0,5200	0,0849
190	TxMin	[1,3*pp+perm+pp fondazioni] {1,5*neve} (1,5*0,6*vento)	-16,2406	0,1292	-0,3958	-0,0348	-1,4257	0,1543
190	MyMax	[pp+perm+pp fondazioni] {SEISMIC 1+}	-4,2257	0,4212	0,0992	-0,0142	-0,3252	0,3441
190	MyMin	[1,3*pp+perm+1,3*pp fondazioni] {1,5*neve} (1,5*0,6*vento)	-16,1825	0,1292	-0,2379	-0,0348	-1,7362	0,0277
190	MzMax	[pp+perm+pp fondazioni] {SEISMIC 1+}	-4,2257	0,4212	0,0992	-0,0142	-0,4824	0,3441
190	MzMin	[pp+perm+pp fondazioni] {SEISMIC 1-}	-4,2257	0,4212	0,0992	-0,0142	-0,4824	-0,3294
191	NxMax	[pp+perm+pp fondazioni] {SEISMIC 1+}	-3,4544	0,0887	1,3849	-0,1403	0,7769	0,3606
191	NxMin	[1,3*pp+perm+1,3*pp fondazioni] {1,5*neve} (1,5*0,6*vento)	-14,4233	0,0415	5,1631	-0,0074	2,2511	0,0168
191	VyMax	[pp+perm+pp fondazioni] {SEISMIC 1+}	-3,6174	0,0887	1,3679	-0,1403	0,6185	0,3651
191	VyMin	[pp+perm+pp fondazioni] {SEISMIC 1-}	-3,6174	-0,0714	1,3679	-0,1403	0,6185	0,3651
191	VzMax	[1,3*pp+perm+pp fondazioni] {1,5*neve} (1,5*0,6*vento)	-14,4151	0,0415	5,1852	-0,0074	2,9592	0,0111
191	VzMin	[pp+perm+pp fondazioni] {SEISMIC 1-}	-3,6174	0,0887	1,1432	-0,1403	0,6185	0,3651
191	TxMax	[pp+perm+pp fondazioni] {SEISMIC 1+}	-3,6174	0,0887	1,3679	0,1341	0,6185	0,3651
191	TxMin	[pp+perm+pp fondazioni] {SEISMIC 1-}	-3,6174	0,0887	1,3679	-0,1403	0,6185	0,3651
191	MyMax	[1,3*pp+perm+pp fondazioni] {1,5*neve} (1,5*0,6*vento)	-14,4151	0,0415	5,1852	-0,0074	2,9592	0,0111
191	MyMin	[pp+perm+pp fondazioni] {SEISMIC 1-}	-3,6174	0,0887	1,3679	-0,1403	0,5711	0,3651
191	MzMax	[pp+perm+pp fondazioni] {SEISMIC 1+}	-3,6174	0,0887	1,3679	-0,1403	0,6185	0,3651
191	MzMin	[pp+perm+pp fondazioni] {SEISMIC 1-}	-3,6174	0,0887	1,3679	-0,1403	0,6185	-0,3602
192	NxMax	[pp+perm+pp fondazioni] {SEISMIC 1+}	-3,4353	0,1737	1,1764	-0,0467	0,6127	-0,4058
192	NxMin	[1,3*pp+perm+pp fondazioni] {1,5*neve} (1,5*0,6*vento)	-14,7561	0,0376	4,0180	-0,0193	-1,7549	0,0400
192	VyMax	[pp+perm+pp fondazioni] {SEISMIC 1+}	-3,7649	0,1737	1,0549	-0,0467	-0,5110	0,2693
192	VyMin	[pp+perm+pp fondazioni] {SEISMIC 1-}	-3,7649	-0,1527	1,0549	-0,0467	-0,5110	0,2693
192	VzMax	[1,3*pp+perm+1,3*pp fondazioni] {1,5*neve} (1,5*0,6*vento)	-14,6980	0,0376	4,1759	-0,0193	2,2601	0,0032
192	VzMin	[pp+perm+pp fondazioni] {SEISMIC 1-}	-3,7649	0,1737	0,8762	-0,0467	-0,5110	0,2693
192	TxMax	[pp+perm+pp fondazioni] {SEISMIC 1+}	-3,7649	0,1737	1,0549	0,0362	-0,5110	0,2693
192	TxMin	[pp+perm+pp fondazioni] {SEISMIC 1-}	-3,7649	0,1737	1,0549	-0,0467	-0,5110	0,2693
192	MyMax	[1,3*pp+perm+1,3*pp fondazioni] {1,5*neve} (1,5*0,6*vento)	-14,6980	0,0376	4,1759	-0,0193	2,2601	0,0032
192	MyMin	[1,3*pp+perm+1,3*pp fondazioni] {1,5*neve} (1,5*0,6*vento)	-14,7561	0,0376	4,0180	-0,0193	-1,7549	0,0400
192	MzMax	[pp+perm+pp fondazioni] {SEISMIC 1+}	-3,7202	0,1737	1,1764	-0,0467	0,6127	0,4051
192	MzMin	[pp+perm+pp fondazioni] {SEISMIC 1-}	-3,7202	0,1737	1,1764	-0,0467	0,6127	-0,4058
193	NxMax	[1,3*pp+perm+1,3*pp fondazioni] {1,5*neve} (1,5*0,6*vento)	5,7766	-0,2819	15,2355	-0,0163	8,1505	0,0105
193	NxMin	[pp+perm+pp fondazioni] {SEISMIC 1-}	1,0777	-0,4594	3,8000	-0,1097	1,3740	-0,1843
193	VyMax	[pp+perm+pp fondazioni] {SEISMIC 1+}	1,7525	0,3311	3,8000	-0,1097	1,3740	-0,1843
193	VyMin	[pp+perm+pp fondazioni] {SEISMIC 1-}	1,7525	-0,4594	3,8000	-0,1097	1,3740	-0,1843
193	VzMax	[1,3*pp+perm+pp fondazioni] {1,5*neve} (1,5*0,6*vento)	5,7766	-0,2819	15,2355	-0,0163	8,1505	0,0105
193	VzMin	[pp+perm+pp fondazioni] {SEISMIC 1-}	1,7525	-0,4594	3,6458	-0,1097	1,3740	-0,1843
193	TxMax	[pp+perm+pp fondazioni] {SEISMIC 1+}	1,7525	-0,4594	3,8000	0,0981	1,3740	-0,1843
193	TxMin	[pp+perm+pp fondazioni] {SEISMIC 1-}	1,7525	-0,4594	3,8000	-0,1097	1,3740	-0,1843
193	MyMax	[1,3*pp+perm+pp fondazioni] {1,5*neve} (1,5*0,6*vento)	5,7766	-0,2819	15,2355	-0,0163	8,1505	0,0105
193	MyMin	[pp+perm+pp fondazioni] {SEISMIC 1-}	1,7525	-0,4594	3,8000	-0,1097	1,3207	-0,1843

193	MzMax	[pp+perm+pp fondazioni] {SEISMIC 1+}	1,7525	-0,4594	3,8000	-0,1097	1,3740	0,1650
193	MzMin	[pp+perm+pp fondazioni] {SEISMIC 1-}	1,7525	-0,4594	3,8000	-0,1097	1,3740	-0,1843
194	NxMax	[1,3*pp+perm+pp fondazioni] {1,5*neve} (1,5*0,6*vento)	2,2565	0,1332	5,5757	-0,0190	5,3779	-0,0761
194	NxMin	[pp+perm+pp fondazioni] {SEISMIC 1-}	0,4033	0,1139	1,3427	-0,0255	-0,0206	0,0960
194	VyMax	[1,3*pp+perm+pp fondazioni] {1,5*neve} (1,5*0,6*vento)	2,1983	0,1332	5,4178	-0,0190	-0,0089	0,0545
194	VyMin	[pp+perm+pp fondazioni] {SEISMIC 1-}	0,6761	-0,0467	1,3427	-0,0255	-0,0206	0,0960
194	VzMax	[1,3*pp+perm+pp fondazioni] {1,5*neve} (1,5*0,6*vento)	2,2565	0,1332	5,5757	-0,0190	5,3779	-0,0761
194	VzMin	[pp+perm+pp fondazioni] {SEISMIC 1-}	0,6761	0,1139	1,3009	-0,0255	-0,0206	0,0960
194	TxMax	[pp+perm+pp fondazioni] {SEISMIC 1+}	0,6761	0,1139	1,3427	0,0154	-0,0206	0,0960
194	TxMin	[pp+perm+pp fondazioni] {SEISMIC 1-}	0,6761	0,1139	1,3427	-0,0255	-0,0206	0,0960
194	MyMax	[1,3*pp+perm+pp fondazioni] {1,5*neve} (1,5*0,6*vento)	2,2565	0,1332	5,5757	-0,0190	5,3779	-0,0761
194	MyMin	[pp+perm+pp fondazioni] {SEISMIC 1-}	0,6761	0,1139	1,3427	-0,0255	-0,0206	0,0960
194	MzMax	[pp+perm+pp fondazioni] {SEISMIC 1+}	0,6761	0,1139	1,3427	-0,0255	-0,0206	0,0960
194	MzMin	[pp+perm+pp fondazioni] {SEISMIC 1-}	0,7209	0,1139	1,4642	-0,0255	1,3550	-0,1106
195	NxMax	[pp+perm+pp fondazioni] {SEISMIC 1+}	-10,9612	-0,4765	-2,7382	0,0353	-0,5428	0,0373
195	NxMin	[1,3*pp+perm+1,3*pp fondazioni] {1,5*neve} (1,5*0,6*vento)	-46,3477	-0,0754	-11,4378	0,0208	7,2442	-0,0090
195	VyMax	[pp+perm+pp fondazioni] {SEISMIC 1+}	-12,4613	0,4395	-2,8369	0,0353	1,6775	-0,3487
195	VyMin	[pp+perm+pp fondazioni] {SEISMIC 1-}	-12,4613	-0,4765	-2,8369	0,0353	1,6775	-0,3487
195	VzMax	[pp+perm+pp fondazioni] {SEISMIC 1+}	-12,4249	-0,4765	-2,5662	0,0353	-0,5428	0,0373
195	VzMin	[1,3*pp+perm+1,3*pp fondazioni] {1,5*neve} (1,5*0,6*vento)	-46,3477	-0,0754	-11,4378	0,0208	7,2442	-0,0090
195	TxMax	[pp+perm+pp fondazioni] {SEISMIC 1+}	-12,4613	-0,4765	-2,8369	0,0353	1,6775	-0,3487
195	TxMin	[pp+perm+pp fondazioni] {SEISMIC 1-}	-12,4613	-0,4765	-2,8369	-0,0233	1,6775	-0,3487
195	MyMax	[1,3*pp+perm+1,3*pp fondazioni] {1,5*neve} (1,5*0,6*vento)	-46,3477	-0,0754	-11,4378	0,0208	7,2442	-0,0090
195	MyMin	[1,3*pp+perm+1,3*pp fondazioni] {1,5*neve} (1,5*0,6*vento)	-46,3004	-0,0754	-11,3095	0,0208	-1,8144	0,0511
195	MzMax	[pp+perm+pp fondazioni] {SEISMIC 1+}	-12,4613	-0,4765	-2,8369	0,0353	1,6775	0,3461
195	MzMin	[pp+perm+pp fondazioni] {SEISMIC 1-}	-12,4613	-0,4765	-2,8369	0,0353	1,6775	-0,3487
196	NxMax	[pp+perm+pp fondazioni] {SEISMIC 1+}	-10,2723	0,4263	-0,3433	0,0147	-0,9598	0,3496
196	NxMin	[1,3*pp+perm+1,3*pp fondazioni] {1,5*neve} (1,5*0,6*vento)	-42,7144	-0,0056	-1,9635	0,0079	-1,7853	0,1015
196	VyMax	[pp+perm+pp fondazioni] {SEISMIC 1+}	-11,3678	0,4263	-0,4647	0,0147	-0,5641	0,1219
196	VyMin	[pp+perm+pp fondazioni] {SEISMIC 1-}	-11,3678	-0,4248	-0,4647	0,0147	-0,5641	0,1219
196	VzMax	[pp+perm+pp fondazioni] {SEISMIC 1+}	-11,3230	0,4263	-0,3057	0,0147	-0,9598	0,3496
196	VzMin	[1,3*pp+perm+1,3*pp fondazioni] {1,5*neve} (1,5*0,6*vento)	-42,7144	-0,0056	-1,9635	0,0079	-1,7853	0,1015
196	TxMax	[pp+perm+pp fondazioni] {SEISMIC 1+}	-11,3678	0,4263	-0,4647	0,0147	-0,5641	0,1219
196	TxMin	[pp+perm+pp fondazioni] {SEISMIC 1-}	-11,3678	0,4263	-0,4647	-0,0105	-0,5641	0,1219
196	MyMax	[pp+perm+pp fondazioni] {SEISMIC 1+}	-11,3678	0,4263	-0,4647	0,0147	-0,4801	0,1219
196	MyMin	[1,3*pp+perm+pp fondazioni] {1,5*neve} (1,5*0,6*vento)	-42,6563	-0,0056	-1,8056	0,0079	-3,6322	0,1070
196	MzMax	[pp+perm+pp fondazioni] {SEISMIC 1+}	-11,3230	0,4263	-0,3433	0,0147	-0,9598	0,3496
196	MzMin	[pp+perm+pp fondazioni] {SEISMIC 1-}	-11,3230	0,4263	-0,3433	0,0147	-0,9598	-0,2978
197	NxMax	[pp+perm+pp fondazioni] {SEISMIC 1+}	-9,1825	0,1064	3,4823	-0,1496	1,4192	-0,4154
197	NxMin	[1,3*pp+perm+1,3*pp fondazioni] {1,5*neve} (1,5*0,6*vento)	-36,8374	0,0941	13,2290	-0,0377	3,4972	-0,1778
197	VyMax	[pp+perm+pp fondazioni] {SEISMIC 1+}	-9,5486	0,1064	3,4653	-0,1496	0,9738	-0,4148
197	VyMin	[pp+perm+pp fondazioni] {SEISMIC 1-}	-9,5486	-0,0595	3,4653	-0,1496	0,9738	-0,4148
197	VzMax	[1,3*pp+perm+1,3*pp fondazioni] {1,5*neve} (1,5*0,6*vento)	-36,8292	0,0941	13,2511	-0,0377	5,3092	-0,1906
197	VzMin	[pp+perm+pp fondazioni] {SEISMIC 1-}	-9,5486	0,1064	3,2456	-0,1496	0,9738	-0,4148
197	TxMax	[pp+perm+pp fondazioni] {SEISMIC 1+}	-9,5486	0,1064	3,4653	0,1283	0,9738	-0,4148
197	TxMin	[pp+perm+pp fondazioni] {SEISMIC 1-}	-9,5486	0,1064	3,4653	-0,1496	0,9738	-0,4148
197	MyMax	[1,3*pp+perm+1,3*pp fondazioni] {1,5*neve} (1,5*0,6*vento)	-36,8292	0,0941	13,2511	-0,0377	5,3092	-0,1906
197	MyMin	[pp+perm+pp fondazioni] {SEISMIC 1-}	-9,5486	0,1064	3,4653	-0,1496	0,8618	-0,4148

197	MzMax	[pp+perm+pp fondazioni] {SEISMIC 1+}	-9,5486	0,1064	3,4653	-0,1496	0,9738	0,3206
197	MzMin	[pp+perm+pp fondazioni] {SEISMIC 1-}	-9,5423	0,1064	3,4823	-0,1496	1,4192	-0,4154
198	NxMax	[pp+perm+pp fondazioni] {SEISMIC 1+}	-9,6068	0,2880	1,9612	-0,0508	0,9526	-0,4710
198	NxMin	[1,3*pp+perm+pp fondazioni] {1,5*neve} (1,5*0,6*vento)	-39,1548	0,4134	7,1636	-0,0161	-3,6060	0,1800
198	VyMax	[1,3*pp+perm+1,3*pp fondazioni] {1,5*neve} (1,5*0,6*vento)	-39,1548	0,4134	7,1636	-0,0161	-3,6060	0,1800
198	VyMin	[pp+perm+pp fondazioni] {SEISMIC 1-}	-10,2867	-0,0764	1,8397	-0,0508	-0,9821	0,2923
198	VzMax	[1,3*pp+perm+1,3*pp fondazioni] {1,5*neve} (1,5*0,6*vento)	-39,0966	0,4134	7,3215	-0,0161	3,4916	-0,2251
198	VzMin	[pp+perm+pp fondazioni] {SEISMIC 1-}	-10,2867	0,2880	1,7310	-0,0508	-0,9821	0,2923
198	TxMax	[pp+perm+pp fondazioni] {SEISMIC 1+}	-10,2867	0,2880	1,8397	0,0417	-0,9821	0,2923
198	TxMin	[pp+perm+pp fondazioni] {SEISMIC 1-}	-10,2867	0,2880	1,8397	-0,0508	-0,9821	0,2923
198	MyMax	[1,3*pp+perm+1,3*pp fondazioni] {1,5*neve} (1,5*0,6*vento)	-39,0966	0,4134	7,3215	-0,0161	3,4916	-0,2251
198	MyMin	[1,3*pp+perm+1,3*pp fondazioni] {1,5*neve} (1,5*0,6*vento)	-39,1548	0,4134	7,1636	-0,0161	-3,6060	0,1800
198	MzMax	[pp+perm+pp fondazioni] {SEISMIC 1+}	-10,2419	0,2880	1,9612	-0,0508	0,9526	0,3528
198	MzMin	[pp+perm+pp fondazioni] {SEISMIC 1-}	-10,2419	0,2880	1,9612	-0,0508	0,9526	-0,4710
199	NxMax	[1,3*pp+perm+1,3*pp fondazioni] {1,5*neve} (1,5*0,6*vento)	2,0179	-2,6564	6,2582	-0,0383	2,9870	0,4685
199	NxMin	[pp+perm+pp fondazioni] {SEISMIC 1-}	0,2509	-1,4624	1,4836	-0,0507	0,4435	-0,1904
199	VyMax	[pp+perm+pp fondazioni] {SEISMIC 1+}	0,6282	0,1073	1,4836	-0,0507	0,4435	-0,1904
199	VyMin	[1,3*pp+perm+1,3*pp fondazioni] {1,5*neve} (1,5*0,6*vento)	2,0070	-2,6564	6,2286	-0,0383	1,8410	-0,0190
199	VzMax	[1,3*pp+perm+pp fondazioni] {1,5*neve} (1,5*0,6*vento)	2,0179	-2,6564	6,2582	-0,0383	2,9870	0,4685
199	VzMin	[pp+perm+pp fondazioni] {SEISMIC 1-}	0,6282	-1,4624	1,2728	-0,0507	0,4435	-0,1904
199	TxMax	[pp+perm+pp fondazioni] {SEISMIC 1+}	0,6282	-1,4624	1,4836	0,0325	0,4435	-0,1904
199	TxMin	[pp+perm+pp fondazioni] {SEISMIC 1-}	0,6282	-1,4624	1,4836	-0,0507	0,4435	-0,1904
199	MyMax	[1,3*pp+perm+pp fondazioni] {1,5*neve} (1,5*0,6*vento)	2,0179	-2,6564	6,2582	-0,0383	2,9870	0,4685
199	MyMin	[pp+perm+pp fondazioni] {SEISMIC 1-}	0,6282	-1,4624	1,4836	-0,0507	0,4151	-0,1904
199	MzMax	[1,3*pp+perm+1,3*pp fondazioni] {1,5*neve} (1,5*0,6*vento)	2,0179	-2,6564	6,2582	-0,0383	2,9870	0,4685
199	MzMin	[pp+perm+pp fondazioni] {SEISMIC 1-}	0,6365	-1,4624	1,5064	-0,0507	0,7175	-0,2086
200	NxMax	[1,3*pp+perm+1,3*pp fondazioni] {1,5*neve} (1,5*0,6*vento)	0,4804	0,0680	1,9615	-0,0653	1,8353	-0,0019
200	NxMin	[pp+perm+pp fondazioni] {SEISMIC 1-}	0,0290	0,1132	0,4172	-0,0486	-0,0093	0,0921
200	VyMax	[pp+perm+pp fondazioni] {SEISMIC 1+}	0,1306	0,1132	0,4172	-0,0486	-0,0093	0,0921
200	VyMin	[pp+perm+pp fondazioni] {SEISMIC 1-}	0,1306	-0,0772	0,4172	-0,0486	-0,0093	0,0921
200	VzMax	[1,3*pp+perm+1,3*pp fondazioni] {1,5*neve} (1,5*0,6*vento)	0,4804	0,0680	1,9615	-0,0653	1,8353	-0,0019
200	VzMin	[pp+perm+pp fondazioni] {SEISMIC 1-}	0,1306	0,1132	0,3379	-0,0486	-0,0093	0,0921
200	TxMax	[pp+perm+pp fondazioni] {SEISMIC 1+}	0,1306	0,1132	0,4172	0,0150	-0,0093	0,0921
200	TxMin	[1,3*pp+perm+pp fondazioni] {1,5*neve} (1,5*0,6*vento)	0,4222	0,0680	1,8036	-0,0653	-0,0096	0,0647
200	MyMax	[1,3*pp+perm+1,3*pp fondazioni] {1,5*neve} (1,5*0,6*vento)	0,4804	0,0680	1,9615	-0,0653	1,8353	-0,0019
200	MyMin	[1,3*pp+perm+1,3*pp fondazioni] {1,5*neve} (1,5*0,6*vento)	0,4222	0,0680	1,8036	-0,0653	-0,0096	0,0647
200	MzMax	[pp+perm+pp fondazioni] {SEISMIC 1+}	0,1753	0,1132	0,5387	-0,0486	0,4599	0,1368
200	MzMin	[pp+perm+pp fondazioni] {SEISMIC 1-}	0,1753	0,1132	0,5387	-0,0486	0,4599	-0,1354
201	NxMax	[pp+perm+pp fondazioni] {SEISMIC 1+}	-5,5922	0,8123	-0,9614	0,0728	-0,5885	-0,1024
201	NxMin	[1,3*pp+perm+1,3*pp fondazioni] {1,5*neve} (1,5*0,6*vento)	-24,9754	0,4573	-4,7280	0,1688	1,8326	0,2335
201	VyMax	[pp+perm+pp fondazioni] {SEISMIC 1+}	-6,5244	0,8123	-1,0601	0,0728	0,2432	0,5460
201	VyMin	[pp+perm+pp fondazioni] {SEISMIC 1-}	-6,5244	-0,5674	-1,0601	0,0728	0,2432	0,5460
201	VzMax	[pp+perm+pp fondazioni] {SEISMIC 1+}	-6,4881	0,8123	-0,8554	0,0728	-0,5885	-0,1024
201	VzMin	[1,3*pp+perm+1,3*pp fondazioni] {1,5*neve} (1,5*0,6*vento)	-24,9754	0,4573	-4,7280	0,1688	1,8326	0,2335
201	TxMax	[1,3*pp+perm+1,3*pp fondazioni] {1,5*neve} (1,5*0,6*vento)	-24,9754	0,4573	-4,7280	0,1688	1,8326	0,2335
201	TxMin	[pp+perm+pp fondazioni] {SEISMIC 1-}	-6,5244	0,8123	-1,0601	0,0122	0,2432	0,5460
201	MyMax	[1,3*pp+perm+1,3*pp fondazioni] {1,5*neve} (1,5*0,6*vento)	-24,9754	0,4573	-4,7280	0,1688	1,8326	0,2335
201	MyMin	[1,3*pp+perm+1,3*pp fondazioni] {1,5*neve} (1,5*0,6*vento)	-24,9282	0,4573	-4,5997	0,1688	-1,8819	-0,1307

201	MzMax	[pp+perm+pp fondazioni] {SEISMIC 1+}	-6,5244	0,8123	-1,0601	0,0728	0,2432	0,5460
201	MzMin	[pp+perm+pp fondazioni] {SEISMIC 1-}	-6,5244	0,8123	-1,0601	0,0728	0,2432	-0,4185
202	NxMax	[pp+perm+pp fondazioni] {SEISMIC 1+}	-5,4003	-0,3987	0,2255	0,0259	-0,4596	0,3394
202	NxMin	[1,3*pp+perm+1,3*pp fondazioni] {1,5*neve} (1,5*0,6*vento)	-23,4753	-0,0806	0,1432	0,0780	-1,9236	-0,0594
202	VyMax	[pp+perm+pp fondazioni] {SEISMIC 1+}	-6,0433	0,3602	0,1041	0,0259	-0,6180	-0,0526
202	VyMin	[pp+perm+pp fondazioni] {SEISMIC 1-}	-6,0433	-0,3987	0,1041	0,0259	-0,6180	-0,0526
202	VzMax	[1,3*pp+perm+pp fondazioni] {1,5*neve} (1,5*0,6*vento)	-23,4171	-0,0806	0,3011	0,0780	-1,7059	0,0196
202	VzMin	[pp+perm+pp fondazioni] {SEISMIC 1-}	-6,0433	-0,3987	0,0780	0,0259	-0,6180	-0,0526
202	TxMax	[1,3*pp+perm+1,3*pp fondazioni] {1,5*neve} (1,5*0,6*vento)	-23,4753	-0,0806	0,1432	0,0780	-1,9236	-0,0594
202	TxMin	[pp+perm+pp fondazioni] {SEISMIC 1-}	-6,0433	-0,3987	0,1041	0,0144	-0,6180	-0,0526
202	MyMax	[pp+perm+pp fondazioni] {SEISMIC 1+}	-5,9985	-0,3987	0,2255	0,0259	-0,3343	0,3394
202	MyMin	[1,3*pp+perm+pp fondazioni] {1,5*neve} (1,5*0,6*vento)	-23,4753	-0,0806	0,1432	0,0780	-1,9236	-0,0594
202	MzMax	[pp+perm+pp fondazioni] {SEISMIC 1+}	-5,9985	-0,3987	0,2255	0,0259	-0,4596	0,3394
202	MzMin	[pp+perm+pp fondazioni] {SEISMIC 1-}	-5,9985	-0,3987	0,2255	0,0259	-0,4596	-0,3298
203	NxMax	[pp+perm+pp fondazioni] {SEISMIC 1+}	-5,1495	0,0536	1,8464	-0,1675	1,2057	-0,4909
203	NxMin	[1,3*pp+perm+pp fondazioni] {1,5*neve} (1,5*0,6*vento)	-21,3784	0,0530	7,1125	-0,1242	3,7304	-0,4515
203	VyMax	[pp+perm+pp fondazioni] {SEISMIC 1+}	-5,3497	0,0536	1,8294	-0,1675	0,9774	-0,4907
203	VyMin	[pp+perm+pp fondazioni] {SEISMIC 1-}	-5,3497	-0,0182	1,8294	-0,1675	0,9774	-0,4907
203	VzMax	[1,3*pp+perm+1,3*pp fondazioni] {1,5*neve} (1,5*0,6*vento)	-21,3703	0,0530	7,1345	-0,1242	4,7053	-0,4587
203	VzMin	[pp+perm+pp fondazioni] {SEISMIC 1-}	-5,3497	0,0536	1,6424	-0,1675	0,9774	-0,4907
203	TxMax	[pp+perm+pp fondazioni] {SEISMIC 1+}	-5,3497	0,0536	1,8294	0,1034	0,9774	-0,4907
203	TxMin	[pp+perm+pp fondazioni] {SEISMIC 1-}	-5,3497	0,0536	1,8294	-0,1675	0,9774	-0,4907
203	MyMax	[1,3*pp+perm+1,3*pp fondazioni] {1,5*neve} (1,5*0,6*vento)	-21,3703	0,0530	7,1345	-0,1242	4,7053	-0,4587
203	MyMin	[pp+perm+pp fondazioni] {SEISMIC 1-}	-5,3497	0,0536	1,8294	-0,1675	0,9341	-0,4907
203	MzMax	[pp+perm+pp fondazioni] {SEISMIC 1+}	-5,3497	0,0536	1,8294	-0,1675	0,9774	0,2548
203	MzMin	[pp+perm+pp fondazioni] {SEISMIC 1-}	-5,3434	0,0536	1,8464	-0,1675	1,2057	-0,4909
204	NxMax	[pp+perm+pp fondazioni] {SEISMIC 1+}	-5,1791	0,3482	1,5267	-0,0596	0,9738	-0,5487
204	NxMin	[1,3*pp+perm+1,3*pp fondazioni] {1,5*neve} (1,5*0,6*vento)	-21,8408	0,6523	5,5303	-0,0736	-1,7537	0,1388
204	VyMax	[1,3*pp+perm+1,3*pp fondazioni] {1,5*neve} (1,5*0,6*vento)	-21,8408	0,6523	5,5303	-0,0736	-1,7537	0,1388
204	VyMin	[pp+perm+pp fondazioni] {SEISMIC 1-}	-5,5199	-0,0025	1,4053	-0,0596	-0,4907	0,2859
204	VzMax	[1,3*pp+perm+1,3*pp fondazioni] {1,5*neve} (1,5*0,6*vento)	-21,7827	0,6523	5,6882	-0,0736	3,7433	-0,5005
204	VzMin	[pp+perm+pp fondazioni] {SEISMIC 1-}	-5,5199	0,3482	1,2639	-0,0596	-0,4907	0,2859
204	TxMax	[pp+perm+pp fondazioni] {SEISMIC 1+}	-5,5199	0,3482	1,4053	0,0230	-0,4907	0,2859
204	TxMin	[1,3*pp+perm+pp fondazioni] {1,5*neve} (1,5*0,6*vento)	-21,8408	0,6523	5,5303	-0,0736	-1,7537	0,1388
204	MyMax	[1,3*pp+perm+1,3*pp fondazioni] {1,5*neve} (1,5*0,6*vento)	-21,7827	0,6523	5,6882	-0,0736	3,7433	-0,5005
204	MyMin	[1,3*pp+perm+1,3*pp fondazioni] {1,5*neve} (1,5*0,6*vento)	-21,8408	0,6523	5,5303	-0,0736	-1,7537	0,1388
204	MzMax	[pp+perm+pp fondazioni] {SEISMIC 1+}	-5,5199	0,3482	1,4053	-0,0596	-0,4907	0,2859
204	MzMin	[pp+perm+pp fondazioni] {SEISMIC 1-}	-5,4751	0,3482	1,5267	-0,0596	0,9738	-0,5487
205	NxMax	[1,3*pp+perm+1,3*pp fondazioni] {1,5*neve} (1,5*0,6*vento)	2,5088	8,4697	6,4211	0,8496	3,3886	-3,0635
205	NxMin	[pp+perm+pp fondazioni] {SEISMIC 1-}	0,4165	2,4391	1,6768	0,2955	0,6081	-0,5249
205	VyMax	[1,3*pp+perm+1,3*pp fondazioni] {1,5*neve} (1,5*0,6*vento)	2,4979	8,4697	6,3915	0,8496	2,2127	-1,5090
205	VyMin	[pp+perm+pp fondazioni] {SEISMIC 1-}	0,8268	1,7730	1,6768	0,2955	0,6081	-0,5249
205	VzMax	[1,3*pp+perm+pp fondazioni] {1,5*neve} (1,5*0,6*vento)	2,5088	8,4697	6,4211	0,8496	3,3886	-3,0635
205	VzMin	[pp+perm+pp fondazioni] {SEISMIC 1-}	0,8268	2,4391	1,5292	0,2955	0,6081	-0,5249
205	TxMax	[1,3*pp+perm+1,3*pp fondazioni] {1,5*neve} (1,5*0,6*vento)	2,4979	8,4697	6,3915	0,8496	2,2127	-1,5090
205	TxMin	[pp+perm+pp fondazioni] {SEISMIC 1-}	0,8268	2,4391	1,6768	0,1217	0,6081	-0,5249
205	MyMax	[1,3*pp+perm+pp fondazioni] {1,5*neve} (1,5*0,6*vento)	2,5088	8,4697	6,4211	0,8496	3,3886	-3,0635
205	MyMin	[pp+perm+pp fondazioni] {SEISMIC 1-}	0,8268	2,4391	1,6768	0,2955	0,5456	-0,5249

205	MzMax	[pp+perm+pp fondazioni] {SEISMIC 1+}	0,8268	2,4391	1,6768	0,2955	0,6081	-0,2201
205	MzMin	[1,3*pp+perm+1,3*pp fondazioni] {1,5*neve} (1,5*0,6*vento)	2,5088	8,4697	6,4211	0,8496	3,3886	-3,0635
206	NxMax	[1,3*pp+perm+1,3*pp fondazioni] {1,5*neve} (1,5*0,6*vento)	0,9643	1,0510	2,3236	0,4158	2,2104	-1,3035
206	NxMin	[pp+perm+pp fondazioni] {SEISMIC 1-}	0,1377	0,3354	0,5501	0,1212	0,0125	-0,1252
206	VyMax	[1,3*pp+perm+1,3*pp fondazioni] {1,5*neve} (1,5*0,6*vento)	0,9061	1,0510	2,1657	0,4158	0,0107	-0,2735
206	VyMin	[pp+perm+pp fondazioni] {SEISMIC 1-}	0,2991	0,1932	0,5501	0,1212	0,0125	-0,1252
206	VzMax	[1,3*pp+perm+pp fondazioni] {1,5*neve} (1,5*0,6*vento)	0,9643	1,0510	2,3236	0,4158	2,2104	-1,3035
206	VzMin	[pp+perm+pp fondazioni] {SEISMIC 1-}	0,2991	0,3354	0,5004	0,1212	0,0125	-0,1252
206	TxMax	[1,3*pp+perm+pp fondazioni] {1,5*neve} (1,5*0,6*vento)	0,9061	1,0510	2,1657	0,4158	0,0107	-0,2735
206	TxMin	[pp+perm+pp fondazioni] {SEISMIC 1-}	0,2991	0,3354	0,5501	0,0882	0,0125	-0,1252
206	MyMax	[1,3*pp+perm+pp fondazioni] {1,5*neve} (1,5*0,6*vento)	0,9643	1,0510	2,3236	0,4158	2,2104	-1,3035
206	MyMin	[pp+perm+pp fondazioni] {SEISMIC 1-}	0,2991	0,3354	0,5501	0,1212	-0,0079	-0,1252
206	MzMax	[pp+perm+pp fondazioni] {SEISMIC 1+}	0,2991	0,3354	0,5501	0,1212	0,0125	-0,0076
206	MzMin	[1,3*pp+perm+1,3*pp fondazioni] {1,5*neve} (1,5*0,6*vento)	0,9643	1,0510	2,3236	0,4158	2,2104	-1,3035
207	NxMax	[pp+perm+pp fondazioni] {SEISMIC 1+}	-5,5258	-1,3528	-0,8856	-0,2107	-0,4492	0,2467
207	NxMin	[1,3*pp+perm+1,3*pp fondazioni] {1,5*neve} (1,5*0,6*vento)	-22,7012	-3,9543	-3,9386	-0,7937	1,9253	-2,2056
207	VyMax	[pp+perm+pp fondazioni] {SEISMIC 1+}	-6,7542	-0,5970	-0,9843	-0,2107	0,3488	-0,8436
207	VyMin	[1,3*pp+perm+pp fondazioni] {1,5*neve} (1,5*0,6*vento)	-22,7012	-3,9543	-3,9386	-0,7937	1,9253	-2,2056
207	VzMax	[pp+perm+pp fondazioni] {SEISMIC 1+}	-6,7179	-1,3528	-0,7890	-0,2107	-0,4492	0,2467
207	VzMin	[1,3*pp+perm+1,3*pp fondazioni] {1,5*neve} (1,5*0,6*vento)	-22,7012	-3,9543	-3,9386	-0,7937	1,9253	-2,2056
207	TxMax	[pp+perm+pp fondazioni] {SEISMIC 1+}	-6,7542	-1,3528	-0,9843	-0,1752	0,3488	-0,8436
207	TxMin	[1,3*pp+perm+1,3*pp fondazioni] {1,5*neve} (1,5*0,6*vento)	-22,7012	-3,9543	-3,9386	-0,7937	1,9253	-2,2056
207	MyMax	[1,3*pp+perm+1,3*pp fondazioni] {1,5*neve} (1,5*0,6*vento)	-22,7012	-3,9543	-3,9386	-0,7937	1,9253	-2,2056
207	MyMin	[1,3*pp+perm+1,3*pp fondazioni] {1,5*neve} (1,5*0,6*vento)	-22,6539	-3,9543	-3,8103	-0,7937	-1,1605	0,9438
207	MzMax	[1,3*pp+perm+pp fondazioni] {1,5*neve} (1,5*0,6*vento)	-22,6539	-3,9543	-3,8103	-0,7937	-1,1605	0,9438
207	MzMin	[1,3*pp+perm+pp fondazioni] {1,5*neve} (1,5*0,6*vento)	-22,7012	-3,9543	-3,9386	-0,7937	1,9253	-2,2056
208	NxMax	[pp+perm+pp fondazioni] {SEISMIC 1+}	-5,2182	-0,5582	0,1887	-0,0917	-0,3361	0,5942
208	NxMin	[1,3*pp+perm+1,3*pp fondazioni] {1,5*neve} (1,5*0,6*vento)	-21,0783	-0,7515	-0,0290	-0,2946	-1,1380	0,4952
208	VyMax	[pp+perm+pp fondazioni] {SEISMIC 1+}	-6,2424	0,2020	0,0672	-0,0917	-0,4565	0,2009
208	VyMin	[1,3*pp+perm+pp fondazioni] {1,5*neve} (1,5*0,6*vento)	-21,0783	-0,7515	-0,0290	-0,2946	-1,1380	0,4952
208	VzMax	[1,3*pp+perm+1,3*pp fondazioni]	-7,4203	-0,2315	0,2196	-0,0943	-0,3675	0,3866
208	VzMin	[pp+perm+pp fondazioni] {1,5*neve} (1,5*0,6*vento)	-19,3525	-0,6980	-0,0432	-0,2728	-1,0214	0,4583
208	TxMax	[pp+perm+pp fondazioni] {SEISMIC 1+}	-6,2424	-0,5582	0,0672	-0,0534	-0,4565	0,2009
208	TxMin	[1,3*pp+perm+1,3*pp fondazioni] {1,5*neve} (1,5*0,6*vento)	-21,0783	-0,7515	-0,0290	-0,2946	-1,1380	0,4952
208	MyMax	[pp+perm+pp fondazioni] {SEISMIC 1+}	-6,1977	-0,5582	0,1887	-0,0917	-0,2293	0,5942
208	MyMin	[1,3*pp+perm+1,3*pp fondazioni] {1,5*neve} (1,5*0,6*vento)	-21,0666	-0,7515	0,0026	-0,2946	-1,1406	0,6425
208	MzMax	[1,3*pp+perm+pp fondazioni] {1,5*neve} (1,5*0,6*vento)	-21,0201	-0,7515	0,1289	-0,2946	-1,0891	1,2316
208	MzMin	[pp+perm+pp fondazioni] {SEISMIC 1-}	-6,1977	-0,5582	0,1887	-0,0917	-0,3361	0,0006
209	NxMax	[pp+perm+pp fondazioni] {SEISMIC 1+}	-4,7516	0,0838	1,8188	0,2981	1,0229	0,8423
209	NxMin	[1,3*pp+perm+pp fondazioni] {1,5*neve} (1,5*0,6*vento)	-18,5756	0,1404	6,0725	0,7320	2,5925	2,1653
209	VyMax	[1,3*pp+perm+pp fondazioni] {1,5*neve} (1,5*0,6*vento)	-18,5756	0,1404	6,0725	0,7320	2,5925	2,1653
209	VyMin	[pp+perm+pp fondazioni] {SEISMIC 1-}	-5,4404	-0,0024	1,8018	0,2981	0,7815	0,8497
209	VzMax	[1,3*pp+perm+1,3*pp fondazioni] {1,5*neve} (1,5*0,6*vento)	-18,5674	0,1404	6,0946	0,7320	3,4251	2,1461
209	VzMin	[pp+perm+pp fondazioni] {SEISMIC 1-}	-5,4404	0,0838	1,5196	0,2981	0,7815	0,8497
209	TxMax	[1,3*pp+perm+1,3*pp fondazioni] {1,5*neve} (1,5*0,6*vento)	-18,5756	0,1404	6,0725	0,7320	2,5925	2,1653
209	TxMin	[pp+perm+pp fondazioni] {SEISMIC 1-}	-5,4404	0,0838	1,8018	0,0660	0,7815	0,8497
209	MyMax	[1,3*pp+perm+1,3*pp fondazioni] {1,5*neve} (1,5*0,6*vento)	-18,5674	0,1404	6,0946	0,7320	3,4251	2,1461
209	MyMin	[pp+perm+pp fondazioni] {SEISMIC 1-}	-5,4404	0,0838	1,8018	0,2981	0,7224	0,8497

209	MzMax	[1,3*pp+perm+pp fondazioni] {1,5*neve} (1,5*0,6*vento)	-18,5756	0,1404	6,0725	0,7320	2,5925	2,1653
209	MzMin	[pp+perm+pp fondazioni] {SEISMIC 1-}	-5,4341	0,0838	1,8188	0,2981	1,0229	0,2166
210	NxMax	[pp+perm+pp fondazioni] {SEISMIC 1+}	-4,9207	-0,5346	1,1779	0,1288	0,7764	0,9303
210	NxMin	[1,3*pp+perm+1,3*pp fondazioni] {1,5*neve} (1,5*0,6*vento)	-19,5252	-1,6960	3,6399	0,3596	-1,0606	0,7031
210	VyMax	[pp+perm+pp fondazioni] {SEISMIC 1+}	-5,7528	-0,3106	1,0564	0,1288	-0,3428	0,4130
210	VyMin	[1,3*pp+perm+1,3*pp fondazioni] {1,5*neve} (1,5*0,6*vento)	-19,5252	-1,6960	3,6399	0,3596	-1,0606	0,7031
210	VzMax	[1,3*pp+perm+pp fondazioni] {1,5*neve} (1,5*0,6*vento)	-19,4670	-1,6960	3,7978	0,3596	2,5838	2,3652
210	VzMin	[pp+perm+pp fondazioni] {SEISMIC 1-}	-5,7528	-0,5346	0,9158	0,1288	-0,3428	0,4130
210	TxMax	[1,3*pp+perm+1,3*pp fondazioni] {1,5*neve} (1,5*0,6*vento)	-19,5252	-1,6960	3,6399	0,3596	-1,0606	0,7031
210	TxMin	[pp+perm+pp fondazioni] {SEISMIC 1-}	-5,7528	-0,5346	1,0564	0,0459	-0,3428	0,4130
210	MyMax	[1,3*pp+perm+pp fondazioni] {1,5*neve} (1,5*0,6*vento)	-19,4670	-1,6960	3,7978	0,3596	2,5838	2,3652
210	MyMin	[1,3*pp+perm+pp fondazioni] {1,5*neve} (1,5*0,6*vento)	-19,5252	-1,6960	3,6399	0,3596	-1,0606	0,7031
210	MzMax	[1,3*pp+perm+1,3*pp fondazioni] {1,5*neve} (1,5*0,6*vento)	-19,4670	-1,6960	3,7978	0,3596	2,5838	2,3652
210	MzMin	[pp+perm+pp fondazioni] {SEISMIC 1-}	-5,7528	-0,5346	1,0564	0,1288	-0,3428	-0,0737
213	NxMax	[pp+perm+pp fondazioni] {SEISMIC 1+}	0,0752	0,0836	-0,2543	0,0012	0,0457	0,0683
213	NxMin	[1,3*pp+perm+1,3*pp fondazioni] {1,5*neve} (1,5*0,6*vento)	-0,1659	0,0754	-0,9608	0,0024	0,0508	0,0557
213	VyMax	[pp+perm+pp fondazioni] {SEISMIC 1+}	-0,1093	0,0836	-0,2543	0,0012	0,0457	0,0683
213	VyMin	[pp+perm+pp fondazioni] {SEISMIC 1-}	-0,1093	-0,0410	-0,2543	0,0012	0,0457	0,0683
213	VzMax	[1,3*pp+perm+pp fondazioni] {1,5*neve} (1,5*0,6*vento)	-0,1659	0,0754	1,3983	0,0024	0,3790	-0,0574
213	VzMin	[1,3*pp+perm+1,3*pp fondazioni] {1,5*neve} (1,5*0,6*vento)	-0,1659	0,0754	-0,9608	0,0024	0,0508	0,0557
213	TxMax	[1,3*pp+perm+1,3*pp fondazioni] {1,5*neve} (1,5*0,6*vento)	-0,1659	0,0754	-0,9608	0,0024	0,0508	0,0557
213	TxMin	[pp+perm+pp fondazioni] {SEISMIC 1-}	-0,1093	0,0836	-0,2543	0,0000	0,0457	0,0683
213	MyMax	[1,3*pp+perm+pp fondazioni] {1,5*neve} (1,5*0,6*vento)	-0,1659	0,0754	1,3983	0,0024	0,3790	-0,0574
213	MyMin	[1,3*pp+perm+pp fondazioni] {1,5*neve} (1,5*0,6*vento)	-0,1659	0,0754	-0,0171	0,0024	-0,2425	0,0105
213	MzMax	[pp+perm+pp fondazioni] {SEISMIC 1+}	-0,1093	0,0836	-0,2543	0,0012	0,0457	0,0683
213	MzMin	[1,3*pp+perm+1,3*pp fondazioni] {1,5*neve} (1,5*0,6*vento)	-0,1659	0,0754	1,3983	0,0024	0,3790	-0,0574
214	NxMax	[pp+perm+pp fondazioni] {SEISMIC 1+}	0,2470	0,0790	-0,5458	0,0022	0,0914	0,0688
214	NxMin	[pp+perm+pp fondazioni] {1,5*neve} (1,5*0,6*vento)	-0,1269	0,0360	-2,0378	0,0052	0,2194	0,0373
214	VyMax	[pp+perm+pp fondazioni] {SEISMIC 1+}	0,2470	0,0790	-0,5458	0,0022	0,0914	0,0688
214	VyMin	[pp+perm+pp fondazioni] {SEISMIC 1-}	0,2470	-0,0544	-0,5458	0,0022	0,0914	0,0688
214	VzMax	[1,3*pp+perm+pp fondazioni] {1,5*neve} (1,5*0,6*vento)	-0,0819	0,0397	2,8703	0,0056	0,7469	-0,0186
214	VzMin	[1,3*pp+perm+1,3*pp fondazioni] {1,5*neve} (1,5*0,6*vento)	-0,0819	0,0397	-2,1825	0,0056	0,2311	0,0409
214	TxMax	[1,3*pp+perm+1,3*pp fondazioni] {1,5*neve} (1,5*0,6*vento)	-0,0819	0,0397	-2,1825	0,0056	0,2311	0,0409
214	TxMin	[pp+perm+pp fondazioni] {SEISMIC 1-}	0,2470	0,0790	-0,5458	0,0006	0,0914	0,0688
214	MyMax	[1,3*pp+perm+pp fondazioni] {1,5*neve} (1,5*0,6*vento)	-0,0819	0,0397	2,8703	0,0056	0,7469	-0,0186
214	MyMin	[1,3*pp+perm+pp fondazioni] {1,5*neve} (1,5*0,6*vento)	-0,0819	0,0397	-0,1614	0,0056	-0,4721	0,0171
214	MzMax	[pp+perm+pp fondazioni] {SEISMIC 1+}	0,2470	0,0790	-0,5458	0,0022	0,0914	0,0688
214	MzMin	[pp+perm+pp fondazioni] {SEISMIC 1-}	0,2470	0,0790	0,7284	0,0022	0,2185	-0,0497
215	NxMax	[pp+perm+pp fondazioni] {SEISMIC 1+}	0,0333	0,0972	-0,6246	0,0033	0,1158	0,0922
215	NxMin	[1,3*pp+perm+pp fondazioni] {1,5*neve} (1,5*0,6*vento)	-0,4556	0,0208	-2,4688	0,0111	0,2512	0,0682
215	VyMax	[pp+perm+pp fondazioni] {SEISMIC 1+}	-0,1318	0,0972	-0,6246	0,0033	0,1158	0,0922
215	VyMin	[pp+perm+pp fondazioni] {SEISMIC 1-}	-0,1318	-0,0885	-0,6246	0,0033	0,1158	0,0922
215	VzMax	[1,3*pp+perm+pp fondazioni] {1,5*neve} (1,5*0,6*vento)	-0,4556	0,0208	2,9991	0,0111	0,6489	0,0370
215	VzMin	[1,3*pp+perm+1,3*pp fondazioni] {1,5*neve} (1,5*0,6*vento)	-0,4556	0,0208	-2,4688	0,0111	0,2512	0,0682
215	TxMax	[1,3*pp+perm+1,3*pp fondazioni] {1,5*neve} (1,5*0,6*vento)	-0,4556	0,0208	-2,4688	0,0111	0,2512	0,0682
215	TxMin	[pp+perm+pp fondazioni] {SEISMIC 1-}	-0,1318	0,0972	-0,6246	0,0022	0,1158	0,0922
215	MyMax	[1,3*pp+perm+pp fondazioni] {1,5*neve} (1,5*0,6*vento)	-0,4556	0,0208	2,9991	0,0111	0,6489	0,0370
215	MyMin	[1,3*pp+perm+1,3*pp fondazioni] {1,5*neve} (1,5*0,6*vento)	-0,4556	0,0208	0,2652	0,0111	-0,5752	0,0526

215	MzMax	[pp+perm+pp fondazioni] {SEISMIC 1+}	-0,1318	0,0972	-0,6246	0,0033	0,1158	0,0922
215	MzMin	[pp+perm+pp fondazioni] {SEISMIC 1-}	-0,1318	0,0972	-0,6246	0,0033	0,1158	-0,0597
216	NxMax	[1,3*pp+perm+1,3*pp fondazioni] {1,5*neve} (1,5*0,6*vento)	0,3180	-0,0303	-2,5781	0,0046	0,2407	0,0540
216	NxMin	[pp+perm+pp fondazioni] {SEISMIC 1-}	-0,0900	-0,0834	-0,6663	0,0019	0,1311	0,0712
216	VyMax	[pp+perm+pp fondazioni] {SEISMIC 1+}	0,2498	0,0632	-0,6663	0,0019	0,1311	0,0712
216	VyMin	[pp+perm+pp fondazioni] {SEISMIC 1-}	0,2498	-0,0834	-0,6663	0,0019	0,1311	0,0712
216	VzMax	[1,3*pp+perm+pp fondazioni] {1,5*neve} (1,5*0,6*vento)	0,3180	-0,0303	2,8898	0,0046	0,4744	0,0995
216	VzMin	[1,3*pp+perm+1,3*pp fondazioni] {1,5*neve} (1,5*0,6*vento)	0,3180	-0,0303	-2,5781	0,0046	0,2407	0,0540
216	TxMax	[1,3*pp+perm+1,3*pp fondazioni] {1,5*neve} (1,5*0,6*vento)	0,3180	-0,0303	-2,5781	0,0046	0,2407	0,0540
216	TxMin	[pp+perm+pp fondazioni] {SEISMIC 1-}	0,2498	-0,0834	-0,6663	0,0009	0,1311	0,0712
216	MyMax	[1,3*pp+perm+pp fondazioni] {1,5*neve} (1,5*0,6*vento)	0,3180	-0,0303	2,8898	0,0046	0,4744	0,0995
216	MyMin	[1,3*pp+perm+pp fondazioni] {1,5*neve} (1,5*0,6*vento)	0,3180	-0,0303	0,1558	0,0046	-0,6677	0,0767
216	MzMax	[1,3*pp+perm+pp fondazioni] {1,5*neve} (1,5*0,6*vento)	0,3180	-0,0303	2,8898	0,0046	0,4744	0,0995
216	MzMin	[pp+perm+pp fondazioni] {SEISMIC 1-}	0,2498	-0,0834	-0,6663	0,0019	0,1311	-0,0473
217	NxMax	[pp+perm+pp fondazioni] {SEISMIC 1+}	-0,1755	-0,0816	-0,5153	0,0015	0,1720	-0,0426
217	NxMin	[1,3*pp+perm+pp fondazioni] {1,5*neve} (1,5*0,6*vento)	-0,8184	-0,1685	-1,7214	0,0037	0,3156	-0,0663
217	VyMax	[pp+perm+pp fondazioni] {SEISMIC 1+}	-0,2365	-0,0087	-0,5153	0,0015	0,1720	-0,0426
217	VyMin	[1,3*pp+perm+pp fondazioni] {1,5*neve} (1,5*0,6*vento)	-0,8184	-0,1685	-1,7214	0,0037	0,3156	-0,0663
217	VzMax	[1,3*pp+perm+pp fondazioni] {1,5*neve} (1,5*0,6*vento)	-0,8184	-0,1685	1,0527	0,0037	-0,1859	0,1865
217	VzMin	[1,3*pp+perm+1,3*pp fondazioni] {1,5*neve} (1,5*0,6*vento)	-0,8184	-0,1685	-1,7214	0,0037	0,3156	-0,0663
217	TxMax	[1,3*pp+perm+pp fondazioni] {1,5*neve} (1,5*0,6*vento)	-0,8184	-0,1685	-1,7214	0,0037	0,3156	-0,0663
217	TxMin	[pp+perm+pp fondazioni] {SEISMIC 1-}	-0,2365	-0,0816	-0,5153	0,0008	0,1720	-0,0426
217	MyMax	[1,3*pp+perm+1,3*pp fondazioni] {1,5*neve} (1,5*0,6*vento)	-0,8184	-0,1685	-1,7214	0,0037	0,3156	-0,0663
217	MyMin	[1,3*pp+perm+1,3*pp fondazioni] {1,5*neve} (1,5*0,6*vento)	-0,8184	-0,1685	-0,0569	0,0037	-0,4847	0,0854
217	MzMax	[1,3*pp+perm+pp fondazioni] {1,5*neve} (1,5*0,6*vento)	-0,8184	-0,1685	1,0527	0,0037	-0,1859	0,1865
217	MzMin	[1,3*pp+perm+pp fondazioni] {1,5*neve} (1,5*0,6*vento)	-0,8184	-0,1685	-1,7214	0,0037	0,3156	-0,0663
219	NxMax	[pp+perm+pp fondazioni] {SEISMIC 1+}	0,1514	-0,0448	-0,3365	-0,0032	0,1521	-0,0456
219	NxMin	[1,3*pp+perm+1,3*pp fondazioni] {1,5*neve} (1,5*0,6*vento)	-0,3602	-0,0472	-1,2082	-0,0113	0,3697	-0,0618
219	VyMax	[pp+perm+pp fondazioni] {SEISMIC 1+}	-0,2735	0,0192	-0,3365	-0,0032	0,1521	-0,0456
219	VyMin	[1,3*pp+perm+pp fondazioni] {1,5*neve} (1,5*0,6*vento)	-0,3602	-0,0472	-1,2082	-0,0113	0,3697	-0,0618
219	VzMax	[1,3*pp+perm+1,3*pp fondazioni] {1,5*neve} (1,5*0,6*vento)	-0,3602	-0,0472	1,7800	-0,0113	0,9128	0,0278
219	VzMin	[1,3*pp+perm+pp fondazioni] {1,5*neve} (1,5*0,6*vento)	-0,3602	-0,0472	-1,2082	-0,0113	0,3697	-0,0618
219	TxMax	[pp+perm+pp fondazioni] {SEISMIC 1+}	-0,2735	-0,0448	-0,3365	-0,0028	0,1521	-0,0456
219	TxMin	[1,3*pp+perm+pp fondazioni] {1,5*neve} (1,5*0,6*vento)	-0,3602	-0,0472	-1,2082	-0,0113	0,3697	-0,0618
219	MyMax	[1,3*pp+perm+1,3*pp fondazioni] {1,5*neve} (1,5*0,6*vento)	-0,3602	-0,0472	1,7800	-0,0113	0,9128	0,0278
219	MyMin	[1,3*pp+perm+1,3*pp fondazioni] {1,5*neve} (1,5*0,6*vento)	-0,3602	-0,0472	-0,0129	-0,0113	-0,0944	-0,0260
219	MzMax	[pp+perm+pp fondazioni] {SEISMIC 1+}	-0,2735	-0,0448	0,4740	-0,0032	0,2632	0,0397
219	MzMin	[1,3*pp+perm+pp fondazioni] {1,5*neve} (1,5*0,6*vento)	-0,3602	-0,0472	-1,2082	-0,0113	0,3697	-0,0618
220	NxMax	[pp+perm+pp fondazioni] {SEISMIC 1+}	0,5323	0,0360	-0,6877	-0,0025	0,2465	-0,0301
220	NxMin	[pp+perm+1,3*pp fondazioni] {1,5*neve} (1,5*0,6*vento)	-0,4325	0,0130	-2,5655	-0,0078	0,6674	0,0027
220	VyMax	[pp+perm+pp fondazioni] {SEISMIC 1+}	0,5323	0,0360	-0,6877	-0,0025	0,2465	-0,0301
220	VyMin	[pp+perm+pp fondazioni] {SEISMIC 1-}	0,5323	-0,0301	-0,6877	-0,0025	0,2465	-0,0301
220	VzMax	[1,3*pp+perm+pp fondazioni] {1,5*neve} (1,5*0,6*vento)	-0,4159	0,0139	3,6492	-0,0084	1,5701	-0,0238
220	VzMin	[1,3*pp+perm+1,3*pp fondazioni] {1,5*neve} (1,5*0,6*vento)	-0,4159	0,0139	-2,7511	-0,0084	0,7170	0,0026
220	TxMax	[pp+perm+pp fondazioni] {SEISMIC 1+}	0,5323	0,0360	-0,6877	-0,0021	0,2465	-0,0301
220	TxMin	[1,3*pp+perm+pp fondazioni] {1,5*neve} (1,5*0,6*vento)	-0,4159	0,0139	-2,7511	-0,0084	0,7170	0,0026
220	MyMax	[1,3*pp+perm+pp fondazioni] {1,5*neve} (1,5*0,6*vento)	-0,4159	0,0139	3,6492	-0,0084	1,5701	-0,0238
220	MyMin	[1,3*pp+perm+pp fondazioni] {1,5*neve} (1,5*0,6*vento)	-0,4159	0,0139	-0,1910	-0,0084	-0,4010	-0,0080

220	MzMax	[pp+perm+pp fondazioni] {SEISMIC 1+}	0,5323	0,0360	-0,6877	-0,0025	0,2465	0,0296
220	MzMin	[pp+perm+pp fondazioni] {SEISMIC 1-}	0,5323	0,0360	0,9033	-0,0025	0,4195	-0,0391
221	NxMax	[pp+perm+pp fondazioni] {SEISMIC 1+}	0,2482	0,0656	-0,6983	-0,0014	0,2101	0,0605
221	NxMin	[1,3*pp+perm+1,3*pp fondazioni] {1,5*neve} (1,5*0,6*vento)	-0,4027	0,0631	-2,8553	-0,0041	0,6333	0,0566
221	VyMax	[pp+perm+pp fondazioni] {SEISMIC 1+}	-0,2999	0,0656	-0,6983	-0,0014	0,2101	0,0605
221	VyMin	[pp+perm+pp fondazioni] {SEISMIC 1-}	-0,2999	-0,0328	-0,6983	-0,0014	0,2101	0,0605
221	VzMax	[1,3*pp+perm+pp fondazioni] {1,5*neve} (1,5*0,6*vento)	-0,4027	0,0631	4,0707	-0,0041	1,7879	-0,0633
221	VzMin	[1,3*pp+perm+1,3*pp fondazioni] {1,5*neve} (1,5*0,6*vento)	-0,4027	0,0631	-2,8553	-0,0041	0,6333	0,0566
221	TxMax	[pp+perm+pp fondazioni] {SEISMIC 1+}	-0,2999	0,0656	-0,6983	-0,0010	0,2101	0,0605
221	TxMin	[1,3*pp+perm+1,3*pp fondazioni] {1,5*neve} (1,5*0,6*vento)	-0,4027	0,0631	-2,8553	-0,0041	0,6333	0,0566
221	MyMax	[1,3*pp+perm+pp fondazioni] {1,5*neve} (1,5*0,6*vento)	-0,4027	0,0631	4,0707	-0,0041	1,7879	-0,0633
221	MyMin	[1,3*pp+perm+pp fondazioni] {1,5*neve} (1,5*0,6*vento)	-0,4027	0,0631	-0,0849	-0,0041	-0,4840	0,0086
221	MzMax	[pp+perm+pp fondazioni] {SEISMIC 1+}	-0,2999	0,0656	-0,6983	-0,0014	0,2101	0,0605
221	MzMin	[pp+perm+pp fondazioni] {SEISMIC 1-}	-0,2999	0,0656	1,0013	-0,0014	0,4791	-0,0644
222	NxMax	[pp+perm+pp fondazioni] {SEISMIC 1+}	0,1449	0,0751	-0,6560	-0,0024	0,1617	0,0721
222	NxMin	[pp+perm+pp fondazioni] {SEISMIC 1-}	-0,1366	0,0751	-0,6560	-0,0024	0,1617	0,0721
222	VyMax	[1,3*pp+perm+1,3*pp fondazioni] {1,5*neve} (1,5*0,6*vento)	0,0283	0,1231	-2,7220	-0,0086	0,4947	0,1189
222	VyMin	[pp+perm+pp fondazioni] {SEISMIC 1-}	0,1449	-0,0093	-0,6560	-0,0024	0,1617	0,0721
222	VzMax	[1,3*pp+perm+1,3*pp fondazioni] {1,5*neve} (1,5*0,6*vento)	0,0283	0,1231	4,2040	-0,0086	1,9025	-0,1150
222	VzMin	[1,3*pp+perm+pp fondazioni] {1,5*neve} (1,5*0,6*vento)	0,0283	0,1231	-2,7220	-0,0086	0,4947	0,1189
222	TxMax	[pp+perm+pp fondazioni] {SEISMIC 1+}	0,1449	0,0751	-0,6560	-0,0022	0,1617	0,0721
222	TxMin	[1,3*pp+perm+1,3*pp fondazioni] {1,5*neve} (1,5*0,6*vento)	0,0283	0,1231	-2,7220	-0,0086	0,4947	0,1189
222	MyMax	[1,3*pp+perm+1,3*pp fondazioni] {1,5*neve} (1,5*0,6*vento)	0,0283	0,1231	4,2040	-0,0086	1,9025	-0,1150
222	MyMin	[1,3*pp+perm+1,3*pp fondazioni] {1,5*neve} (1,5*0,6*vento)	0,0283	0,1231	0,0484	-0,0086	-0,5213	0,0253
222	MzMax	[1,3*pp+perm+1,3*pp fondazioni] {1,5*neve} (1,5*0,6*vento)	0,0283	0,1231	-2,7220	-0,0086	0,4947	0,1189
222	MzMin	[1,3*pp+perm+1,3*pp fondazioni] {1,5*neve} (1,5*0,6*vento)	0,0283	0,1231	4,2040	-0,0086	1,9025	-0,1150
223	NxMax	[pp+perm+pp fondazioni] {SEISMIC 1+}	-0,0993	0,0704	-0,2466	-0,0023	-0,1490	0,0764
223	NxMin	[1,3*pp+perm+1,3*pp fondazioni] {1,5*neve} (1,5*0,6*vento)	-0,6109	0,2026	-0,8348	-0,0085	-0,2407	0,2089
223	VyMax	[1,3*pp+perm+1,3*pp fondazioni] {1,5*neve} (1,5*0,6*vento)	-0,6109	0,2026	-0,8348	-0,0085	-0,2407	0,2089
223	VyMin	[pp+perm+pp fondazioni] {SEISMIC 1-}	-0,1894	0,0392	-0,2466	-0,0023	-0,1490	0,0764
223	VzMax	[1,3*pp+perm+1,3*pp fondazioni] {1,5*neve} (1,5*0,6*vento)	-0,6109	0,2026	2,6791	-0,0085	1,5113	-0,1761
223	VzMin	[1,3*pp+perm+pp fondazioni] {1,5*neve} (1,5*0,6*vento)	-0,6109	0,2026	-0,8348	-0,0085	-0,2407	0,2089
223	TxMax	[pp+perm+pp fondazioni] {SEISMIC 1+}	-0,1894	0,0704	-0,2466	-0,0022	-0,1490	0,0764
223	TxMin	[1,3*pp+perm+1,3*pp fondazioni] {1,5*neve} (1,5*0,6*vento)	-0,6109	0,2026	-0,8348	-0,0085	-0,2407	0,2089
223	MyMax	[1,3*pp+perm+1,3*pp fondazioni] {1,5*neve} (1,5*0,6*vento)	-0,6109	0,2026	2,6791	-0,0085	1,5113	-0,1761
223	MyMin	[1,3*pp+perm+1,3*pp fondazioni] {1,5*neve} (1,5*0,6*vento)	-0,6109	0,2026	-0,1321	-0,0085	-0,4244	0,1319
223	MzMax	[1,3*pp+perm+1,3*pp fondazioni] {1,5*neve} (1,5*0,6*vento)	-0,6109	0,2026	-0,8348	-0,0085	-0,2407	0,2089
223	MzMin	[1,3*pp+perm+1,3*pp fondazioni] {1,5*neve} (1,5*0,6*vento)	-0,6109	0,2026	2,6791	-0,0085	1,5113	-0,1761
225	NxMax	[pp+perm+pp fondazioni] {SEISMIC 1+}	0,1457	0,0455	-0,6190	0,0025	0,3107	0,0476
225	NxMin	[1,3*pp+perm+1,3*pp fondazioni] {1,5*neve} (1,5*0,6*vento)	-0,6972	0,0387	-2,3670	0,0082	1,1297	0,0470
225	VyMax	[pp+perm+pp fondazioni] {SEISMIC 1+}	-0,4459	0,0455	-0,6190	0,0025	0,3107	0,0476
225	VyMin	[pp+perm+pp fondazioni] {SEISMIC 1-}	-0,4459	-0,0247	-0,6190	0,0025	0,3107	0,0476
225	VzMax	[1,3*pp+perm+1,3*pp fondazioni] {1,5*neve} (1,5*0,6*vento)	-0,6972	0,0387	0,6213	0,0082	-0,5287	-0,0266
225	VzMin	[1,3*pp+perm+pp fondazioni] {1,5*neve} (1,5*0,6*vento)	-0,6972	0,0387	-2,3670	0,0082	1,1297	0,0470
225	TxMax	[1,3*pp+perm+pp fondazioni] {1,5*neve} (1,5*0,6*vento)	-0,6972	0,0387	-2,3670	0,0082	1,1297	0,0470
225	TxMin	[pp+perm+pp fondazioni] {SEISMIC 1-}	-0,4459	0,0455	-0,6190	0,0017	0,3107	0,0476
225	MyMax	[1,3*pp+perm+pp fondazioni] {1,5*neve} (1,5*0,6*vento)	-0,6972	0,0387	-2,3670	0,0082	1,1297	0,0470
225	MyMin	[1,3*pp+perm+pp fondazioni] {1,5*neve} (1,5*0,6*vento)	-0,6972	0,0387	0,0236	0,0082	-0,6512	-0,0119

225	MzMax	[pp+perm+pp fondazioni] {SEISMIC 1+}	-0,4459	0,0455	-0,6190	0,0025	0,3107	0,0476
225	MzMin	[pp+perm+pp fondazioni] {SEISMIC 1-}	-0,4459	0,0455	0,1590	0,0025	-0,1926	-0,0401
226	NxMax	[pp+perm+pp fondazioni] {SEISMIC 1+}	-0,1811	-0,0420	-1,0921	0,0011	0,5247	-0,0408
226	NxMin	[1,3*pp+perm+1,3*pp fondazioni] {1,5*neve} (1,5*0,6*vento)	-2,2063	-0,0263	-4,3358	0,0030	1,9642	-0,0215
226	VyMax	[pp+perm+pp fondazioni] {SEISMIC 1+}	-0,7516	0,0287	-1,0921	0,0011	0,5247	-0,0408
226	VyMin	[pp+perm+pp fondazioni] {SEISMIC 1-}	-0,7516	-0,0420	-1,0921	0,0011	0,5247	-0,0408
226	VzMax	[1,3*pp+perm+1,3*pp fondazioni] {1,5*neve} (1,5*0,6*vento)	-2,2063	-0,0263	2,0645	0,0030	-0,1936	0,0286
226	VzMin	[1,3*pp+perm+pp fondazioni] {1,5*neve} (1,5*0,6*vento)	-2,2063	-0,0263	-4,3358	0,0030	1,9642	-0,0215
226	TxMax	[1,3*pp+perm+1,3*pp fondazioni] {1,5*neve} (1,5*0,6*vento)	-2,2063	-0,0263	-4,3358	0,0030	1,9642	-0,0215
226	TxMin	[pp+perm+pp fondazioni] {SEISMIC 1-}	-0,7516	-0,0420	-1,0921	0,0003	0,5247	-0,0408
226	MyMax	[1,3*pp+perm+pp fondazioni] {1,5*neve} (1,5*0,6*vento)	-2,2063	-0,0263	-4,3358	0,0030	1,9642	-0,0215
226	MyMin	[1,3*pp+perm+pp fondazioni] {1,5*neve} (1,5*0,6*vento)	-2,2063	-0,0263	0,1444	0,0030	-0,8231	0,0136
226	MzMax	[pp+perm+pp fondazioni] {SEISMIC 1+}	-0,7516	-0,0420	0,4902	0,0011	-0,1698	0,0404
226	MzMin	[pp+perm+pp fondazioni] {SEISMIC 1-}	-0,7516	-0,0420	-1,0921	0,0011	0,5247	-0,0408
227	NxMax	[pp+perm+pp fondazioni] {SEISMIC 1+}	-0,0026	0,0590	-1,1317	-0,0017	0,5353	0,0563
227	NxMin	[1,3*pp+perm+1,3*pp fondazioni] {1,5*neve} (1,5*0,6*vento)	-1,1177	0,0179	-4,5733	-0,0052	2,0259	0,0169
227	VyMax	[pp+perm+pp fondazioni] {SEISMIC 1+}	-0,4575	0,0590	-1,1317	-0,0017	0,5353	0,0563
227	VyMin	[pp+perm+pp fondazioni] {SEISMIC 1-}	-0,4575	-0,0482	-1,1317	-0,0017	0,5353	0,0563
227	VzMax	[1,3*pp+perm+1,3*pp fondazioni] {1,5*neve} (1,5*0,6*vento)	-1,1177	0,0179	2,3527	-0,0052	-0,0837	-0,0171
227	VzMin	[1,3*pp+perm+pp fondazioni] {1,5*neve} (1,5*0,6*vento)	-1,1177	0,0179	-4,5733	-0,0052	2,0259	0,0169
227	TxMax	[pp+perm+pp fondazioni] {SEISMIC 1+}	-0,4575	0,0590	-1,1317	-0,0011	0,5353	0,0563
227	TxMin	[1,3*pp+perm+pp fondazioni] {1,5*neve} (1,5*0,6*vento)	-1,1177	0,0179	-4,5733	-0,0052	2,0259	0,0169
227	MyMax	[1,3*pp+perm+pp fondazioni] {1,5*neve} (1,5*0,6*vento)	-1,1177	0,0179	-4,5733	-0,0052	2,0259	0,0169
227	MyMin	[1,3*pp+perm+pp fondazioni] {1,5*neve} (1,5*0,6*vento)	-1,1177	0,0179	0,2749	-0,0052	-0,8325	-0,0069
227	MzMax	[pp+perm+pp fondazioni] {SEISMIC 1+}	-0,4575	0,0590	-1,1317	-0,0017	0,5353	0,0563
227	MzMin	[pp+perm+pp fondazioni] {SEISMIC 1-}	-0,4575	0,0590	0,5474	-0,0017	-0,1254	-0,0570
228	NxMax	[1,3*pp+perm+pp fondazioni] {1,5*neve} (1,5*0,6*vento)	0,2900	0,0014	-4,5277	-0,0006	1,9987	-0,0106
228	NxMin	[pp+perm+pp fondazioni] {SEISMIC 1-}	-0,0188	0,0458	-1,1117	-0,0003	0,5271	-0,0442
228	VyMax	[pp+perm+pp fondazioni] {SEISMIC 1+}	0,1717	0,0458	-1,1117	-0,0003	0,5271	-0,0442
228	VyMin	[pp+perm+pp fondazioni] {SEISMIC 1-}	0,1717	-0,0438	-1,1117	-0,0003	0,5271	-0,0442
228	VzMax	[1,3*pp+perm+pp fondazioni] {1,5*neve} (1,5*0,6*vento)	0,2900	0,0014	2,3982	-0,0006	-0,0243	-0,0133
228	VzMin	[1,3*pp+perm+1,3*pp fondazioni] {1,5*neve} (1,5*0,6*vento)	0,2900	0,0014	-4,5277	-0,0006	1,9987	-0,0106
228	TxMax	[pp+perm+pp fondazioni] {SEISMIC 1+}	0,1717	0,0458	-1,1117	-0,0001	0,5271	-0,0442
228	TxMin	[1,3*pp+perm+pp fondazioni] {1,5*neve} (1,5*0,6*vento)	0,2900	0,0014	-4,5277	-0,0006	1,9987	-0,0106
228	MyMax	[1,3*pp+perm+1,3*pp fondazioni] {1,5*neve} (1,5*0,6*vento)	0,2900	0,0014	-4,5277	-0,0006	1,9987	-0,0106
228	MyMin	[1,3*pp+perm+1,3*pp fondazioni] {1,5*neve} (1,5*0,6*vento)	0,2900	0,0014	0,3204	-0,0006	-0,7991	-0,0125
228	MzMax	[pp+perm+pp fondazioni] {SEISMIC 1+}	0,1717	0,0458	0,5539	-0,0003	-0,0957	0,0399
228	MzMin	[pp+perm+pp fondazioni] {SEISMIC 1-}	0,1717	0,0458	0,5539	-0,0003	-0,0957	-0,0483
229	NxMax	[pp+perm+pp fondazioni] {SEISMIC 1+}	-0,1508	-0,0315	-0,7899	-0,0001	0,4703	-0,0363
229	NxMin	[1,3*pp+perm+1,3*pp fondazioni] {1,5*neve} (1,5*0,6*vento)	-0,7805	-0,0645	-2,9559	0,0000	1,6251	-0,0915
229	VyMax	[pp+perm+pp fondazioni] {SEISMIC 1+}	-0,2226	-0,0012	-0,7899	-0,0001	0,4703	-0,0363
229	VyMin	[1,3*pp+perm+pp fondazioni] {1,5*neve} (1,5*0,6*vento)	-0,7805	-0,0645	-2,9559	0,0000	1,6251	-0,0915
229	VzMax	[1,3*pp+perm+pp fondazioni] {1,5*neve} (1,5*0,6*vento)	-0,7805	-0,0645	0,5580	0,0000	-0,6529	0,0311
229	VzMin	[1,3*pp+perm+1,3*pp fondazioni] {1,5*neve} (1,5*0,6*vento)	-0,7805	-0,0645	-2,9559	0,0000	1,6251	-0,0915
229	TxMax	[pp+perm+pp fondazioni] {SEISMIC 1+}	-0,2226	-0,0315	-0,7899	0,0000	0,4703	-0,0363
229	TxMin	[pp+perm+pp fondazioni] {SEISMIC 1-}	-0,2226	-0,0315	-0,7899	-0,0001	0,4703	-0,0363
229	MyMax	[1,3*pp+perm+1,3*pp fondazioni] {1,5*neve} (1,5*0,6*vento)	-0,7805	-0,0645	-2,9559	0,0000	1,6251	-0,0915
229	MyMin	[1,3*pp+perm+1,3*pp fondazioni] {1,5*neve} (1,5*0,6*vento)	-0,7805	-0,0645	-0,1448	0,0000	-0,7314	0,0066

229	MzMax	[1,3*pp+perm+pp fondazioni] {1,5*neve} (1,5*0,6*vento)	-0,7805	-0,0645	0,5580	0,0000	-0,6529	0,0311
229	MzMin	[1,3*pp+perm+pp fondazioni] {1,5*neve} (1,5*0,6*vento)	-0,7805	-0,0645	-2,9559	0,0000	1,6251	-0,0915
231	NxMax	[pp+perm+pp fondazioni] {SEISMIC 1+}	0,2434	-0,0622	-0,1156	-0,0033	-0,2026	-0,0585
231	NxMin	[1,3*pp+perm+1,3*pp fondazioni] {1,5*neve} (1,5*0,6*vento)	-0,7596	-0,0396	-0,4403	-0,0098	-0,5686	-0,0375
231	VyMax	[pp+perm+pp fondazioni] {SEISMIC 1+}	-0,5823	0,0447	-0,1156	-0,0033	-0,2026	-0,0585
231	VyMin	[pp+perm+pp fondazioni] {SEISMIC 1-}	-0,5823	-0,0622	-0,1156	-0,0033	-0,2026	-0,0585
231	VzMax	[1,3*pp+perm+pp fondazioni] {1,5*neve} (1,5*0,6*vento)	-0,7596	-0,0396	2,6266	-0,0098	1,5630	0,0398
231	VzMin	[1,3*pp+perm+1,3*pp fondazioni] {1,5*neve} (1,5*0,6*vento)	-0,7596	-0,0396	-0,4403	-0,0098	-0,5686	-0,0375
231	TxMax	[pp+perm+pp fondazioni] {SEISMIC 1+}	-0,5823	-0,0622	-0,1156	-0,0019	-0,2026	-0,0585
231	TxMin	[1,3*pp+perm+1,3*pp fondazioni] {1,5*neve} (1,5*0,6*vento)	-0,7596	-0,0396	-0,4403	-0,0098	-0,5686	-0,0375
231	MyMax	[1,3*pp+perm+1,3*pp fondazioni] {1,5*neve} (1,5*0,6*vento)	-0,7596	-0,0396	2,6266	-0,0098	1,5630	0,0398
231	MyMin	[1,3*pp+perm+pp fondazioni] {1,5*neve} (1,5*0,6*vento)	-0,7596	-0,0396	-0,1336	-0,0098	-0,6246	-0,0297
231	MzMax	[pp+perm+pp fondazioni] {SEISMIC 1+}	-0,5823	-0,0622	0,6901	-0,0033	0,4347	0,0630
231	MzMin	[pp+perm+pp fondazioni] {SEISMIC 1-}	-0,5823	-0,0622	-0,1156	-0,0033	-0,2026	-0,0585
232	NxMax	[pp+perm+pp fondazioni] {SEISMIC 1+}	0,8906	0,0659	-0,4356	-0,0015	-0,2015	0,0585
232	NxMin	[pp+perm+pp fondazioni] {SEISMIC 1-}	-1,4205	0,0659	-0,4356	-0,0015	-0,2015	0,0585
232	VyMax	[pp+perm+pp fondazioni] {SEISMIC 1+}	-1,4205	0,0659	-0,4356	-0,0015	-0,2015	0,0585
232	VyMin	[pp+perm+pp fondazioni] {SEISMIC 1-}	-1,4205	-0,0368	-0,4356	-0,0015	-0,2015	0,0585
232	VzMax	[1,3*pp+perm+pp fondazioni] {1,5*neve} (1,5*0,6*vento)	-1,2031	0,0533	4,7493	-0,0030	2,5290	-0,0660
232	VzMin	[1,3*pp+perm+1,3*pp fondazioni] {1,5*neve} (1,5*0,6*vento)	-1,2031	0,0533	-1,8194	-0,0030	-0,3276	0,0379
232	TxMax	[pp+perm+pp fondazioni] {SEISMIC 1+}	-1,4205	0,0659	-0,4356	-0,0001	-0,2015	0,0585
232	TxMin	[1,3*pp+perm+1,3*pp fondazioni] {1,5*neve} (1,5*0,6*vento)	-1,2031	0,0533	-1,8194	-0,0030	-0,3276	0,0379
232	MyMax	[1,3*pp+perm+pp fondazioni] {1,5*neve} (1,5*0,6*vento)	-1,2031	0,0533	4,7493	-0,0030	2,5290	-0,0660
232	MyMin	[1,3*pp+perm+pp fondazioni] {1,5*neve} (1,5*0,6*vento)	-1,2031	0,0533	0,1512	-0,0030	-0,8156	0,0067
232	MzMax	[pp+perm+pp fondazioni] {SEISMIC 1+}	-1,4205	0,0659	-0,4356	-0,0015	-0,2015	0,0585
232	MzMin	[pp+perm+pp fondazioni] {SEISMIC 1-}	-1,4205	0,0659	1,1959	-0,0015	0,6765	-0,0703
233	NxMax	[pp+perm+pp fondazioni] {SEISMIC 1+}	0,3256	0,0587	-0,4989	0,0020	-0,1443	-0,0609
233	NxMin	[1,3*pp+perm+1,3*pp fondazioni] {1,5*neve} (1,5*0,6*vento)	-0,7568	-0,0019	-2,1419	0,0064	-0,1593	-0,0208
233	VyMax	[pp+perm+pp fondazioni] {SEISMIC 1+}	-0,6424	0,0587	-0,4989	0,0020	-0,1443	-0,0609
233	VyMin	[pp+perm+pp fondazioni] {SEISMIC 1-}	-0,6424	-0,0583	-0,4989	0,0020	-0,1443	-0,0609
233	VzMax	[1,3*pp+perm+pp fondazioni] {1,5*neve} (1,5*0,6*vento)	-0,7568	-0,0019	4,9664	0,0064	2,5946	-0,0171
233	VzMin	[1,3*pp+perm+1,3*pp fondazioni] {1,5*neve} (1,5*0,6*vento)	-0,7568	-0,0019	-2,1419	0,0064	-0,1593	-0,0208
233	TxMax	[1,3*pp+perm+pp fondazioni] {1,5*neve} (1,5*0,6*vento)	-0,7568	-0,0019	-2,1419	0,0064	-0,1593	-0,0208
233	TxMin	[pp+perm+pp fondazioni] {SEISMIC 1-}	-0,6424	0,0587	-0,4989	0,0013	-0,1443	-0,0609
233	MyMax	[1,3*pp+perm+pp fondazioni] {1,5*neve} (1,5*0,6*vento)	-0,7568	-0,0019	4,9664	0,0064	2,5946	-0,0171
233	MyMin	[1,3*pp+perm+pp fondazioni] {1,5*neve} (1,5*0,6*vento)	-0,7568	-0,0019	-0,0094	0,0064	-0,7886	-0,0197
233	MzMax	[pp+perm+pp fondazioni] {SEISMIC 1+}	-0,6424	0,0587	1,2306	0,0020	0,6865	0,0528
233	MzMin	[pp+perm+pp fondazioni] {SEISMIC 1-}	-0,6424	0,0587	1,2306	0,0020	0,6865	-0,0632
234	NxMax	[1,3*pp+perm+pp fondazioni] {1,5*neve} (1,5*0,6*vento)	0,2122	-0,0117	-2,2648	-0,0004	-0,0418	-0,0230
234	NxMin	[pp+perm+pp fondazioni] {SEISMIC 1-}	0,0434	-0,0583	-0,5226	-0,0003	-0,1018	-0,0590
234	VyMax	[pp+perm+pp fondazioni] {SEISMIC 1+}	0,0784	0,0538	-0,5226	-0,0003	-0,1018	-0,0590
234	VyMin	[pp+perm+pp fondazioni] {SEISMIC 1-}	0,0784	-0,0583	-0,5226	-0,0003	-0,1018	-0,0590
234	VzMax	[1,3*pp+perm+1,3*pp fondazioni] {1,5*neve} (1,5*0,6*vento)	0,2122	-0,0117	4,8434	-0,0004	2,4724	-0,0002
234	VzMin	[1,3*pp+perm+pp fondazioni] {1,5*neve} (1,5*0,6*vento)	0,2122	-0,0117	-2,2648	-0,0004	-0,0418	-0,0230
234	TxMax	[pp+perm+pp fondazioni] {SEISMIC 1+}	0,0784	-0,0583	-0,5226	0,0001	-0,1018	-0,0590
234	TxMin	[1,3*pp+perm+1,3*pp fondazioni] {1,5*neve} (1,5*0,6*vento)	0,2122	-0,0117	-2,2648	-0,0004	-0,0418	-0,0230
234	MyMax	[1,3*pp+perm+1,3*pp fondazioni] {1,5*neve} (1,5*0,6*vento)	0,2122	-0,0117	4,8434	-0,0004	2,4724	-0,0002
234	MyMin	[1,3*pp+perm+pp fondazioni] {1,5*neve} (1,5*0,6*vento)	0,2122	-0,0117	-0,1323	-0,0004	-0,7430	-0,0162

234	MzMax	[pp+perm+pp fondazioni] {SEISMIC 1+}	0,0784	-0,0583	1,1921	-0,0003	0,6539	0,0550
234	MzMin	[pp+perm+pp fondazioni] {SEISMIC 1-}	0,0784	-0,0583	-0,5226	-0,0003	-0,1018	-0,0590
235	NxMax	[pp+perm+pp fondazioni] {SEISMIC 1+}	-0,1736	0,0545	-0,1447	-0,0005	-0,2507	0,0515
235	NxMin	[1,3*pp+perm+1,3*pp fondazioni] {1,5*neve} (1,5*0,6*vento)	-0,8227	0,0179	-0,4839	-0,0015	-0,6611	0,0156
235	VyMax	[pp+perm+pp fondazioni] {SEISMIC 1+}	-0,2226	0,0545	-0,1447	-0,0005	-0,2507	0,0515
235	VyMin	[pp+perm+pp fondazioni] {SEISMIC 1-}	-0,2226	-0,0437	-0,1447	-0,0005	-0,2507	0,0515
235	VzMax	[1,3*pp+perm+1,3*pp fondazioni] {1,5*neve} (1,5*0,6*vento)	-0,8227	0,0179	3,1225	-0,0015	1,9115	-0,0193
235	VzMin	[1,3*pp+perm+pp fondazioni] {1,5*neve} (1,5*0,6*vento)	-0,8227	0,0179	-0,4839	-0,0015	-0,6611	0,0156
235	TxMax	[pp+perm+pp fondazioni] {SEISMIC 1+}	-0,2226	0,0545	-0,1447	-0,0003	-0,2507	0,0515
235	TxMin	[1,3*pp+perm+1,3*pp fondazioni] {1,5*neve} (1,5*0,6*vento)	-0,8227	0,0179	-0,4839	-0,0015	-0,6611	0,0156
235	MyMax	[1,3*pp+perm+1,3*pp fondazioni] {1,5*neve} (1,5*0,6*vento)	-0,8227	0,0179	3,1225	-0,0015	1,9115	-0,0193
235	MyMin	[1,3*pp+perm+1,3*pp fondazioni] {1,5*neve} (1,5*0,6*vento)	-0,8227	0,0179	-0,1233	-0,0015	-0,7203	0,0121
235	MzMax	[pp+perm+pp fondazioni] {SEISMIC 1+}	-0,2226	0,0545	-0,1447	-0,0005	-0,2507	0,0515
235	MzMin	[pp+perm+pp fondazioni] {SEISMIC 1-}	-0,2226	0,0545	0,8304	-0,0005	0,5450	-0,0551
237	NxMax	[pp+perm+pp fondazioni] {SEISMIC 1+}	0,2816	0,0552	-0,6749	0,0097	0,4178	0,0543
237	NxMin	[1,3*pp+perm+1,3*pp fondazioni] {1,5*neve} (1,5*0,6*vento)	-0,8080	0,0391	-2,6009	0,0358	1,5264	0,0399
237	VyMax	[pp+perm+pp fondazioni] {SEISMIC 1+}	-0,6575	0,0552	-0,6749	0,0097	0,4178	0,0543
237	VyMin	[pp+perm+pp fondazioni] {SEISMIC 1-}	-0,6575	-0,0400	-0,6749	0,0097	0,4178	0,0543
237	VzMax	[1,3*pp+perm+pp fondazioni] {1,5*neve} (1,5*0,6*vento)	-0,8080	0,0391	0,4266	0,0358	-0,5663	-0,0353
237	VzMin	[1,3*pp+perm+1,3*pp fondazioni] {1,5*neve} (1,5*0,6*vento)	-0,8080	0,0391	-2,6009	0,0358	1,5264	0,0399
237	TxMax	[1,3*pp+perm+1,3*pp fondazioni] {1,5*neve} (1,5*0,6*vento)	-0,8080	0,0391	-2,6009	0,0358	1,5264	0,0399
237	TxMin	[pp+perm+pp fondazioni] {SEISMIC 1-}	-0,6575	0,0552	-0,6749	0,0082	0,4178	0,0543
237	MyMax	[1,3*pp+perm+1,3*pp fondazioni] {1,5*neve} (1,5*0,6*vento)	-0,8080	0,0391	-2,6009	0,0358	1,5264	0,0399
237	MyMin	[1,3*pp+perm+1,3*pp fondazioni] {1,5*neve} (1,5*0,6*vento)	-0,8080	0,0391	0,1239	0,0358	-0,6193	-0,0277
237	MzMax	[pp+perm+pp fondazioni] {SEISMIC 1+}	-0,6575	0,0552	-0,6749	0,0097	0,4178	0,0543
237	MzMin	[pp+perm+pp fondazioni] {SEISMIC 1-}	-0,6575	0,0552	0,0905	0,0097	-0,1926	-0,0525
238	NxMax	[pp+perm+pp fondazioni] {SEISMIC 1+}	0,6137	-0,0697	-1,1746	0,0073	0,6637	-0,0717
238	NxMin	[pp+perm+pp fondazioni] {SEISMIC 1-}	-1,0650	-0,0697	-1,1746	0,0073	0,6637	-0,0717
238	VyMax	[pp+perm+pp fondazioni] {SEISMIC 1+}	-1,0650	0,0241	-1,1746	0,0073	0,6637	-0,0717
238	VyMin	[1,3*pp+perm+pp fondazioni] {1,5*neve} (1,5*0,6*vento)	-0,9617	-0,0876	-4,8017	0,0264	2,5696	-0,0971
238	VzMax	[1,3*pp+perm+pp fondazioni] {1,5*neve} (1,5*0,6*vento)	-0,9617	-0,0876	1,6829	0,0264	-0,4322	0,0715
238	VzMin	[1,3*pp+perm+1,3*pp fondazioni] {1,5*neve} (1,5*0,6*vento)	-0,9617	-0,0876	-4,8017	0,0264	2,5696	-0,0971
238	TxMax	[1,3*pp+perm+1,3*pp fondazioni] {1,5*neve} (1,5*0,6*vento)	-0,9617	-0,0876	-4,8017	0,0264	2,5696	-0,0971
238	TxMin	[pp+perm+pp fondazioni] {SEISMIC 1-}	-1,0650	-0,0697	-1,1746	0,0057	0,6637	-0,0717
238	MyMax	[1,3*pp+perm+1,3*pp fondazioni] {1,5*neve} (1,5*0,6*vento)	-0,9617	-0,0876	-4,8017	0,0264	2,5696	-0,0971
238	MyMin	[1,3*pp+perm+1,3*pp fondazioni] {1,5*neve} (1,5*0,6*vento)	-0,9617	-0,0876	-0,2625	0,0264	-0,8423	0,0209
238	MzMax	[1,3*pp+perm+pp fondazioni] {1,5*neve} (1,5*0,6*vento)	-0,9617	-0,0876	1,6829	0,0264	-0,4322	0,0715
238	MzMin	[1,3*pp+perm+pp fondazioni] {1,5*neve} (1,5*0,6*vento)	-0,9617	-0,0876	-4,8017	0,0264	2,5696	-0,0971
239	NxMax	[pp+perm+pp fondazioni] {SEISMIC 1+}	0,1339	-0,0612	-1,2266	-0,0011	0,6934	-0,0656
239	NxMin	[1,3*pp+perm+1,3*pp fondazioni] {1,5*neve} (1,5*0,6*vento)	-0,9015	-0,0213	-5,0227	-0,0024	2,6675	-0,0393
239	VyMax	[pp+perm+pp fondazioni] {SEISMIC 1+}	-0,5456	0,0520	-1,2266	-0,0011	0,6934	-0,0656
239	VyMin	[pp+perm+pp fondazioni] {SEISMIC 1-}	-0,5456	-0,0612	-1,2266	-0,0011	0,6934	-0,0656
239	VzMax	[1,3*pp+perm+pp fondazioni] {1,5*neve} (1,5*0,6*vento)	-0,9015	-0,0213	1,9945	-0,0024	-0,2471	0,0017
239	VzMin	[1,3*pp+perm+1,3*pp fondazioni] {1,5*neve} (1,5*0,6*vento)	-0,9015	-0,0213	-5,0227	-0,0024	2,6675	-0,0393
239	TxMax	[pp+perm+pp fondazioni] {SEISMIC 1+}	-0,5456	-0,0612	-1,2266	-0,0003	0,6934	-0,0656
239	TxMin	[1,3*pp+perm+1,3*pp fondazioni] {1,5*neve} (1,5*0,6*vento)	-0,9015	-0,0213	-5,0227	-0,0024	2,6675	-0,0393
239	MyMax	[1,3*pp+perm+1,3*pp fondazioni] {1,5*neve} (1,5*0,6*vento)	-0,9015	-0,0213	-5,0227	-0,0024	2,6675	-0,0393
239	MyMin	[1,3*pp+perm+1,3*pp fondazioni] {1,5*neve} (1,5*0,6*vento)	-0,9015	-0,0213	-0,1107	-0,0024	-0,7911	-0,0106

239	MzMax	[pp+perm+pp fondazioni] {SEISMIC 1+}	-0,5456	-0,0612	0,4399	-0,0011	-0,1389	0,0526
239	MzMin	[pp+perm+pp fondazioni] {SEISMIC 1-}	-0,5456	-0,0612	-1,2266	-0,0011	0,6934	-0,0656
240	NxMax	[1,3*pp+perm+pp fondazioni] {1,5*neve} (1,5*0,6*vento)	0,5144	0,0173	-4,8291	-0,0056	2,4943	-0,0025
240	NxMin	[pp+perm+pp fondazioni] {SEISMIC 1-}	0,0883	0,0538	-1,1853	-0,0015	0,6576	-0,0490
240	VyMax	[pp+perm+pp fondazioni] {SEISMIC 1+}	0,1846	0,0538	-1,1853	-0,0015	0,6576	-0,0490
240	VyMin	[pp+perm+pp fondazioni] {SEISMIC 1-}	0,1846	-0,0441	-1,1853	-0,0015	0,6576	-0,0490
240	VzMax	[1,3*pp+perm+pp fondazioni] {1,5*neve} (1,5*0,6*vento)	0,5144	0,0173	2,1881	-0,0056	-0,0476	-0,0358
240	VzMin	[1,3*pp+perm+1,3*pp fondazioni] {1,5*neve} (1,5*0,6*vento)	0,5144	0,0173	-4,8291	-0,0056	2,4943	-0,0025
240	TxMax	[pp+perm+pp fondazioni] {SEISMIC 1+}	0,1846	0,0538	-1,1853	-0,0013	0,6576	-0,0490
240	TxMin	[1,3*pp+perm+1,3*pp fondazioni] {1,5*neve} (1,5*0,6*vento)	0,5144	0,0173	-4,8291	-0,0056	2,4943	-0,0025
240	MyMax	[1,3*pp+perm+1,3*pp fondazioni] {1,5*neve} (1,5*0,6*vento)	0,5144	0,0173	-4,8291	-0,0056	2,4943	-0,0025
240	MyMin	[1,3*pp+perm+1,3*pp fondazioni] {1,5*neve} (1,5*0,6*vento)	0,5144	0,0173	0,0829	-0,0056	-0,7034	-0,0258
240	MzMax	[pp+perm+pp fondazioni] {SEISMIC 1+}	0,1846	0,0538	-1,1853	-0,0015	0,6576	0,0475
240	MzMin	[pp+perm+pp fondazioni] {SEISMIC 1-}	0,1846	0,0538	0,4994	-0,0015	-0,0951	-0,0566
241	NxMax	[pp+perm+pp fondazioni] {SEISMIC 1+}	-0,2451	-0,0466	-0,8513	-0,0011	0,5662	-0,0471
241	NxMin	[1,3*pp+perm+1,3*pp fondazioni] {1,5*neve} (1,5*0,6*vento)	-1,1486	-0,0356	-3,2069	-0,0041	1,9944	-0,0378
241	VyMax	[pp+perm+pp fondazioni] {SEISMIC 1+}	-0,3170	0,0280	-0,8513	-0,0011	0,5662	-0,0471
241	VyMin	[pp+perm+pp fondazioni] {SEISMIC 1-}	-0,3170	-0,0466	-0,8513	-0,0011	0,5662	-0,0471
241	VzMax	[1,3*pp+perm+pp fondazioni] {1,5*neve} (1,5*0,6*vento)	-1,1486	-0,0356	0,3532	-0,0041	-0,7522	0,0307
241	VzMin	[1,3*pp+perm+1,3*pp fondazioni] {1,5*neve} (1,5*0,6*vento)	-1,1486	-0,0356	-3,2069	-0,0041	1,9944	-0,0378
241	TxMax	[pp+perm+pp fondazioni] {SEISMIC 1+}	-0,3170	-0,0466	-0,8513	-0,0009	0,5662	-0,0471
241	TxMin	[1,3*pp+perm+1,3*pp fondazioni] {1,5*neve} (1,5*0,6*vento)	-1,1486	-0,0356	-3,2069	-0,0041	1,9944	-0,0378
241	MyMax	[1,3*pp+perm+1,3*pp fondazioni] {1,5*neve} (1,5*0,6*vento)	-1,1486	-0,0356	-3,2069	-0,0041	1,9944	-0,0378
241	MyMin	[1,3*pp+perm+1,3*pp fondazioni] {1,5*neve} (1,5*0,6*vento)	-1,1486	-0,0356	-0,0028	-0,0041	-0,7859	0,0238
241	MzMax	[pp+perm+pp fondazioni] {SEISMIC 1+}	-0,3170	-0,0466	0,1106	-0,0011	-0,2700	0,0441
241	MzMin	[pp+perm+pp fondazioni] {SEISMIC 1-}	-0,3170	-0,0466	-0,8513	-0,0011	0,5662	-0,0471
243	NxMax	[pp+perm+pp fondazioni] {SEISMIC 1+}	-0,4110	-0,0861	-0,2212	-0,0014	-0,1307	-0,0765
243	NxMin	[1,3*pp+perm+1,3*pp fondazioni] {1,5*neve} (1,5*0,6*vento)	-2,6923	-0,1051	-0,9357	-0,0064	-0,3283	-0,1010
243	VyMax	[pp+perm+pp fondazioni] {SEISMIC 1+}	-0,9493	0,0354	-0,2212	-0,0014	-0,1307	-0,0765
243	VyMin	[1,3*pp+perm+1,3*pp fondazioni] {1,5*neve} (1,5*0,6*vento)	-2,6923	-0,1051	-0,9357	-0,0064	-0,3283	-0,1010
243	VzMax	[1,3*pp+perm+1,3*pp fondazioni] {1,5*neve} (1,5*0,6*vento)	-2,6923	-0,1051	2,0918	-0,0064	0,7844	0,1013
243	VzMin	[1,3*pp+perm+pp fondazioni] {1,5*neve} (1,5*0,6*vento)	-2,6923	-0,1051	-0,9357	-0,0064	-0,3283	-0,1010
243	TxMax	[pp+perm+pp fondazioni] {SEISMIC 1+}	-0,9493	-0,0861	-0,2212	-0,0006	-0,1307	-0,0765
243	TxMin	[1,3*pp+perm+pp fondazioni] {1,5*neve} (1,5*0,6*vento)	-2,6923	-0,1051	-0,9357	-0,0064	-0,3283	-0,1010
243	MyMax	[1,3*pp+perm+1,3*pp fondazioni] {1,5*neve} (1,5*0,6*vento)	-2,6923	-0,1051	2,0918	-0,0064	0,7844	0,1013
243	MyMin	[1,3*pp+perm+1,3*pp fondazioni] {1,5*neve} (1,5*0,6*vento)	-2,6923	-0,1051	-0,0275	-0,0064	-0,6064	-0,0403
243	MzMax	[1,3*pp+perm+1,3*pp fondazioni] {1,5*neve} (1,5*0,6*vento)	-2,6923	-0,1051	2,0918	-0,0064	0,7844	0,1013
243	MzMin	[1,3*pp+perm+1,3*pp fondazioni] {1,5*neve} (1,5*0,6*vento)	-2,6923	-0,1051	-0,9357	-0,0064	-0,3283	-0,1010
244	NxMax	[pp+perm+pp fondazioni] {SEISMIC 1+}	-0,3734	-0,0772	-0,5908	-0,0011	-0,0657	-0,0532
244	NxMin	[1,3*pp+perm+1,3*pp fondazioni] {1,5*neve} (1,5*0,6*vento)	-3,4602	-0,0661	-2,6352	-0,0055	-0,0026	0,0026
244	VyMax	[pp+perm+pp fondazioni] {SEISMIC 1+}	-1,3605	0,0426	-0,5908	-0,0011	-0,0657	-0,0532
244	VyMin	[pp+perm+pp fondazioni] {SEISMIC 1-}	-1,3605	-0,0772	-0,5908	-0,0011	-0,0657	-0,0532
244	VzMax	[1,3*pp+perm+1,3*pp fondazioni] {1,5*neve} (1,5*0,6*vento)	-3,4602	-0,0661	3,8493	-0,0055	1,1660	0,1299
244	VzMin	[1,3*pp+perm+pp fondazioni] {1,5*neve} (1,5*0,6*vento)	-3,4602	-0,0661	-2,6352	-0,0055	-0,0026	0,0026
244	TxMax	[pp+perm+pp fondazioni] {SEISMIC 1+}	-1,3605	-0,0772	-0,5908	-0,0004	-0,0657	-0,0532
244	TxMin	[1,3*pp+perm+pp fondazioni] {1,5*neve} (1,5*0,6*vento)	-3,4602	-0,0661	-2,6352	-0,0055	-0,0026	0,0026
244	MyMax	[1,3*pp+perm+1,3*pp fondazioni] {1,5*neve} (1,5*0,6*vento)	-3,4602	-0,0661	3,8493	-0,0055	1,1660	0,1299
244	MyMin	[1,3*pp+perm+1,3*pp fondazioni] {1,5*neve} (1,5*0,6*vento)	-3,4602	-0,0661	-0,0414	-0,0055	-1,0331	0,0535

244	MzMax	[1,3*pp+perm+1,3*pp fondazioni] {1,5*neve} (1,5*0,6*vento)	-3,4602	-0,0661	3,8493	-0,0055	1,1660	0,1299
244	MzMin	[pp+perm+pp fondazioni] {SEISMIC 1-}	-1,3605	-0,0772	-0,5908	-0,0011	-0,0657	-0,0532
245	NxMax	[pp+perm+pp fondazioni] {SEISMIC 1+}	-0,1972	-0,1088	-0,7119	-0,0010	-0,0693	-0,0684
245	NxMin	[1,3*pp+perm+1,3*pp fondazioni] {1,5*neve} (1,5*0,6*vento)	-1,4219	-0,1460	-3,0859	-0,0040	-0,0040	-0,0129
245	VyMax	[pp+perm+pp fondazioni] {SEISMIC 1+}	-0,4934	0,0331	-0,7119	-0,0010	-0,0693	-0,0684
245	VyMin	[1,3*pp+perm+pp fondazioni] {1,5*neve} (1,5*0,6*vento)	-1,4219	-0,1460	-3,0859	-0,0040	-0,0040	-0,0129
245	VzMax	[1,3*pp+perm+1,3*pp fondazioni] {1,5*neve} (1,5*0,6*vento)	-1,4219	-0,1460	3,9312	-0,0040	0,8095	0,2681
245	VzMin	[1,3*pp+perm+pp fondazioni] {1,5*neve} (1,5*0,6*vento)	-1,4219	-0,1460	-3,0859	-0,0040	-0,0040	-0,0129
245	TxMax	[pp+perm+pp fondazioni] {SEISMIC 1+}	-0,4934	-0,1088	-0,7119	-0,0005	-0,0693	-0,0684
245	TxMin	[1,3*pp+perm+pp fondazioni] {1,5*neve} (1,5*0,6*vento)	-1,4219	-0,1460	-3,0859	-0,0040	-0,0040	-0,0129
245	MyMax	[1,3*pp+perm+1,3*pp fondazioni] {1,5*neve} (1,5*0,6*vento)	-1,4219	-0,1460	3,9312	-0,0040	0,8095	0,2681
245	MyMin	[1,3*pp+perm+1,3*pp fondazioni] {1,5*neve} (1,5*0,6*vento)	-1,4219	-0,1460	-0,2791	-0,0040	-1,2996	0,0995
245	MzMax	[1,3*pp+perm+1,3*pp fondazioni] {1,5*neve} (1,5*0,6*vento)	-1,4219	-0,1460	3,9312	-0,0040	0,8095	0,2681
245	MzMin	[pp+perm+pp fondazioni] {SEISMIC 1-}	-0,4934	-0,1088	-0,7119	-0,0010	-0,0693	-0,0684
246	NxMax	[1,3*pp+perm+pp fondazioni] {1,5*neve} (1,5*0,6*vento)	1,1828	-0,1517	-3,2361	0,0000	0,0601	-0,0274
246	NxMin	[pp+perm+pp fondazioni] {SEISMIC 1-}	0,2007	-0,0958	-0,7721	-0,0005	-0,0698	-0,0599
246	VyMax	[pp+perm+pp fondazioni] {SEISMIC 1+}	0,4156	0,0179	-0,7721	-0,0005	-0,0698	-0,0599
246	VyMin	[1,3*pp+perm+pp fondazioni] {1,5*neve} (1,5*0,6*vento)	1,1828	-0,1517	-3,2361	0,0000	0,0601	-0,0274
246	VzMax	[1,3*pp+perm+pp fondazioni] {1,5*neve} (1,5*0,6*vento)	1,1828	-0,1517	3,7810	0,0000	0,5846	0,2646
246	VzMin	[1,3*pp+perm+1,3*pp fondazioni] {1,5*neve} (1,5*0,6*vento)	1,1828	-0,1517	-3,2361	0,0000	0,0601	-0,0274
246	TxMax	[pp+perm+1,3*pp fondazioni] {1,5*neve} (1,5*0,6*vento)	1,0904	-0,1400	-3,0230	0,0000	0,0669	-0,0248
246	TxMin	[pp+perm+pp fondazioni] {SEISMIC 1-}	0,4156	-0,0958	-0,7721	-0,0005	-0,0698	-0,0599
246	MyMax	[1,3*pp+perm+pp fondazioni] {1,5*neve} (1,5*0,6*vento)	1,1828	-0,1517	3,7810	0,0000	0,5846	0,2646
246	MyMin	[1,3*pp+perm+1,3*pp fondazioni] {1,5*neve} (1,5*0,6*vento)	1,1828	-0,1517	0,2725	0,0000	-1,3661	0,1186
246	MzMax	[1,3*pp+perm+pp fondazioni] {1,5*neve} (1,5*0,6*vento)	1,1828	-0,1517	3,7810	0,0000	0,5846	0,2646
246	MzMin	[pp+perm+pp fondazioni] {SEISMIC 1-}	0,4156	-0,0958	-0,7721	-0,0005	-0,0698	-0,0599
247	NxMax	[pp+perm+pp fondazioni] {SEISMIC 1+}	-0,3912	-0,0290	-0,3271	-0,0004	-0,2391	0,0304
247	NxMin	[1,3*pp+perm+1,3*pp fondazioni] {1,5*neve} (1,5*0,6*vento)	-1,6816	-0,0157	-1,1198	-0,0004	-0,6055	0,0126
247	VyMax	[pp+perm+pp fondazioni] {SEISMIC 1+}	-0,4520	0,0186	-0,3271	-0,0004	-0,2391	0,0304
247	VyMin	[pp+perm+pp fondazioni] {SEISMIC 1-}	-0,4520	-0,0290	-0,3271	-0,0004	-0,2391	0,0304
247	VzMax	[1,3*pp+perm+pp fondazioni] {1,5*neve} (1,5*0,6*vento)	-1,6816	-0,0157	2,4403	-0,0004	0,6655	0,0429
247	VzMin	[1,3*pp+perm+1,3*pp fondazioni] {1,5*neve} (1,5*0,6*vento)	-1,6816	-0,0157	-1,1198	-0,0004	-0,6055	0,0126
247	TxMax	[pp+perm+pp fondazioni] {SEISMIC 1+}	-0,4520	-0,0290	-0,3271	-0,0002	-0,2391	0,0304
247	TxMin	[pp+perm+pp fondazioni] {SEISMIC 1-}	-0,4520	-0,0290	-0,3271	-0,0004	-0,2391	0,0304
247	MyMax	[1,3*pp+perm+pp fondazioni] {1,5*neve} (1,5*0,6*vento)	-1,6816	-0,0157	2,4403	-0,0004	0,6655	0,0429
247	MyMin	[1,3*pp+perm+1,3*pp fondazioni] {1,5*neve} (1,5*0,6*vento)	-1,6816	-0,0157	-0,0518	-0,0004	-0,9438	0,0217
247	MzMax	[1,3*pp+perm+pp fondazioni] {1,5*neve} (1,5*0,6*vento)	-1,6816	-0,0157	2,4403	-0,0004	0,6655	0,0429
247	MzMin	[pp+perm+pp fondazioni] {SEISMIC 1-}	-0,4520	-0,0290	-0,3271	-0,0004	-0,2391	-0,0266
248	NxMax	[1,3*pp+perm+pp fondazioni] {1,5*neve} (1,5*0,6*vento)	1,2537	0,2478	-3,0709	0,1990	1,3074	0,3560
248	NxMin	[pp+perm+pp fondazioni] {SEISMIC 1-}	0,0995	-0,2903	-0,8234	0,0969	0,2379	0,2497
248	VyMax	[pp+perm+1,3*pp fondazioni] {1,5*neve} (1,5*0,6*vento)	1,1579	0,2877	-2,8398	0,1842	1,2059	0,3440
248	VyMin	[pp+perm+pp fondazioni] {SEISMIC 1-}	0,5319	-0,2903	-0,8443	0,0969	0,3731	0,2389
248	VzMax	[pp+perm+pp fondazioni] {SEISMIC 1+}	0,5242	-0,2903	-0,6756	0,0969	0,2379	0,2497
248	VzMin	[1,3*pp+perm+1,3*pp fondazioni] {1,5*neve} (1,5*0,6*vento)	1,2537	0,2478	-3,0709	0,1990	1,3074	0,3560
248	TxMax	[1,3*pp+perm+1,3*pp fondazioni] {1,5*neve} (1,5*0,6*vento)	1,2537	0,2478	-3,0709	0,1990	1,3074	0,3560
248	TxMin	[pp+perm+pp fondazioni] {SEISMIC 1-}	0,5319	-0,2903	-0,8443	0,0016	0,3731	0,2389
248	MyMax	[1,3*pp+perm+1,3*pp fondazioni] {1,5*neve} (1,5*0,6*vento)	1,2537	0,2478	-3,0709	0,1990	1,3074	0,3560
248	MyMin	[pp+perm+pp fondazioni] {SEISMIC 1-}	0,5242	-0,2903	-0,8234	0,0969	0,1822	0,2497

248	MzMax	[1,3*pp+perm+1,3*pp fondazioni] {1,5*neve} (1,5*0,6*vento)	1,2537	0,2478	-3,0709	0,1990	1,3074	0,3560
248	MzMin	[pp+perm+pp fondazioni] {SEISMIC 1-}	0,5319	-0,2903	-0,8443	0,0969	0,3731	-0,1592
249	NxMax	[1,3*pp+perm+pp fondazioni] {1,5*neve} (1,5*0,6*vento)	0,4521	0,1659	-1,0094	0,0067	0,7911	0,1996
249	NxMin	[pp+perm+pp fondazioni] {SEISMIC 1-}	0,0102	0,1175	-0,2207	-0,0130	0,0138	0,0759
249	VyMax	[1,3*pp+perm+pp fondazioni] {1,5*neve} (1,5*0,6*vento)	0,4521	0,1659	-1,0094	0,0067	0,7911	0,1996
249	VyMin	[pp+perm+pp fondazioni] {SEISMIC 1-}	0,2191	-0,0834	-0,3236	-0,0130	0,2295	0,1569
249	VzMax	[pp+perm+pp fondazioni] {SEISMIC 1+}	0,1811	0,1175	-0,1757	-0,0130	0,0138	0,0759
249	VzMin	[1,3*pp+perm+1,3*pp fondazioni] {1,5*neve} (1,5*0,6*vento)	0,4521	0,1659	-1,0094	0,0067	0,7911	0,1996
249	TxMax	[pp+perm+pp fondazioni] {SEISMIC 1+}	0,2191	0,1175	-0,3236	0,0091	0,2295	0,1569
249	TxMin	[pp+perm+pp fondazioni] {SEISMIC 1-}	0,2191	0,1175	-0,3236	-0,0130	0,2295	0,1569
249	MyMax	[1,3*pp+perm+1,3*pp fondazioni] {1,5*neve} (1,5*0,6*vento)	0,4521	0,1659	-1,0094	0,0067	0,7911	0,1996
249	MyMin	[pp+perm+pp fondazioni] {SEISMIC 1-}	0,1811	0,1175	-0,2207	-0,0130	-0,0090	0,0759
249	MzMax	[1,3*pp+perm+pp fondazioni] {1,5*neve} (1,5*0,6*vento)	0,4521	0,1659	-1,0094	0,0067	0,7911	0,1996
249	MzMin	[pp+perm+pp fondazioni] {SEISMIC 1-}	0,2191	0,1175	-0,3236	-0,0130	0,2295	-0,0962
252	NxMax	[pp+perm+pp fondazioni] {SEISMIC 1+}	-3,1224	-0,6839	0,6064	-0,0743	-0,3922	-0,0428
252	NxMin	[1,3*pp+perm+1,3*pp fondazioni] {1,5*neve} (1,5*0,6*vento)	-13,4160	-0,8929	2,7045	-0,2748	1,2155	0,6273
252	VyMax	[pp+perm+pp fondazioni] {SEISMIC 1+}	-4,4227	0,3666	0,6064	-0,0743	-0,3922	-0,0428
252	VyMin	[1,3*pp+perm+pp fondazioni] {1,5*neve} (1,5*0,6*vento)	-13,3679	-0,8929	2,5738	-0,2748	-0,9249	-0,0969
252	VzMax	[1,3*pp+perm+pp fondazioni] {1,5*neve} (1,5*0,6*vento)	-13,4160	-0,8929	2,7045	-0,2748	1,2155	0,6273
252	VzMin	[pp+perm+pp fondazioni] {SEISMIC 1-}	-4,4227	-0,6839	0,4822	-0,0743	-0,3922	-0,0428
252	TxMax	[pp+perm+pp fondazioni] {SEISMIC 1+}	-4,4227	-0,6839	0,6064	-0,0529	-0,3922	-0,0428
252	TxMin	[1,3*pp+perm+pp fondazioni] {1,5*neve} (1,5*0,6*vento)	-13,3679	-0,8929	2,5738	-0,2748	-0,9249	-0,0969
252	MyMax	[1,3*pp+perm+pp fondazioni] {1,5*neve} (1,5*0,6*vento)	-13,4160	-0,8929	2,7045	-0,2748	1,2155	0,6273
252	MyMin	[1,3*pp+perm+pp fondazioni] {1,5*neve} (1,5*0,6*vento)	-13,3679	-0,8929	2,5738	-0,2748	-0,9249	-0,0969
252	MzMax	[1,3*pp+perm+pp fondazioni] {1,5*neve} (1,5*0,6*vento)	-13,4160	-0,8929	2,7045	-0,2748	1,2155	0,6273
252	MzMin	[pp+perm+pp fondazioni] {SEISMIC 1-}	-4,4598	-0,6839	0,7069	-0,0743	0,1874	-0,2912
255	NxMax	[pp+perm+pp fondazioni] {SEISMIC 1+}	-3,0204	-0,4918	-0,1220	-0,0416	-0,3590	-0,3937
255	NxMin	[1,3*pp+perm+1,3*pp fondazioni] {1,5*neve} (1,5*0,6*vento)	-12,4951	-0,4373	0,2643	-0,1204	-0,9333	0,0326
255	VyMax	[pp+perm+pp fondazioni] {SEISMIC 1+}	-4,0432	0,2729	-0,1220	-0,0416	-0,3590	-0,3937
255	VyMin	[pp+perm+pp fondazioni] {SEISMIC 1-}	-4,0432	-0,4918	-0,1220	-0,0416	-0,3590	-0,3937
255	VzMax	[1,3*pp+perm+pp fondazioni] {1,5*neve} (1,5*0,6*vento)	-12,4951	-0,4373	0,2643	-0,1204	-0,9333	0,0326
255	VzMin	[1,3*pp+perm+1,3*pp fondazioni]	-4,5913	-0,1422	-0,1259	-0,0368	-0,3909	-0,1137
255	TxMax	[pp+perm+pp fondazioni] {SEISMIC 1+}	-4,0432	-0,4918	-0,1220	-0,0150	-0,3590	-0,3937
255	TxMin	[1,3*pp+perm+pp fondazioni] {1,5*neve} (1,5*0,6*vento)	-12,4370	-0,4373	0,1064	-0,1204	-1,1150	-0,3959
255	MyMax	[pp+perm+pp fondazioni] {SEISMIC 1+}	-4,0432	-0,4918	-0,1220	-0,0416	-0,2425	-0,3937
255	MyMin	[1,3*pp+perm+pp fondazioni] {1,5*neve} (1,5*0,6*vento)	-12,4370	-0,4373	0,1064	-0,1204	-1,1150	-0,3959
255	MzMax	[pp+perm+pp fondazioni] {SEISMIC 1+}	-4,0432	-0,4918	-0,1220	-0,0416	-0,3590	0,2188
255	MzMin	[1,3*pp+perm+pp fondazioni] {1,5*neve} (1,5*0,6*vento)	-12,4370	-0,4373	0,1064	-0,1204	-1,1150	-0,3959
258	NxMax	[pp+perm+pp fondazioni] {SEISMIC 1+}	-2,8661	0,0766	-1,3406	0,1909	0,5622	-0,5341
258	NxMin	[1,3*pp+perm+1,3*pp fondazioni] {1,5*neve} (1,5*0,6*vento)	-11,0794	0,0631	-4,1547	0,3425	1,2041	-0,9788
258	VyMax	[pp+perm+pp fondazioni] {SEISMIC 1+}	-3,5047	0,0766	-1,3406	0,1909	0,5622	-0,5341
258	VyMin	[pp+perm+pp fondazioni] {SEISMIC 1-}	-3,5047	-0,0432	-1,3406	0,1909	0,5622	-0,5341
258	VzMax	[pp+perm+pp fondazioni] {SEISMIC 1+}	-3,5103	0,0766	-1,0382	0,1909	0,4060	-0,5374
258	VzMin	[1,3*pp+perm+1,3*pp fondazioni] {1,5*neve} (1,5*0,6*vento)	-11,0722	0,0631	-4,1744	0,3425	1,7133	-0,9711
258	TxMax	[1,3*pp+perm+pp fondazioni] {1,5*neve} (1,5*0,6*vento)	-11,0722	0,0631	-4,1744	0,3425	1,7133	-0,9711
258	TxMin	[pp+perm+pp fondazioni] {SEISMIC 1-}	-3,5047	0,0766	-1,3406	-0,0273	0,5622	-0,5341
258	MyMax	[1,3*pp+perm+1,3*pp fondazioni] {1,5*neve} (1,5*0,6*vento)	-11,0722	0,0631	-4,1744	0,3425	1,7133	-0,9711
258	MyMin	[pp+perm+pp fondazioni] {SEISMIC 1-}	-3,5103	0,0766	-1,3254	0,1909	0,3750	-0,5374

258	MzMax	[pp+perm+pp fondazioni] {SEISMIC 1+}	-3,5047	0,0766	-1,3406	0,1909	0,5622	0,0609
258	MzMin	[1,3*pp+perm+1,3*pp fondazioni] {1,5*neve} (1,5*0,6*vento)	-11,0794	0,0631	-4,1547	0,3425	1,2041	-0,9788
259	NxMax	[pp+perm+pp fondazioni] {SEISMIC 1+}	-2,9046	-0,3023	-0,8500	0,0624	0,4089	-0,5742
259	NxMin	[1,3*pp+perm+pp fondazioni] {1,5*neve} (1,5*0,6*vento)	-11,5744	-0,7553	-2,3233	0,1271	-1,1236	-0,2472
259	VyMax	[pp+perm+pp fondazioni] {SEISMIC 1+}	-3,6800	-0,0763	-0,8500	0,0624	0,4089	-0,5742
259	VyMin	[1,3*pp+perm+1,3*pp fondazioni] {1,5*neve} (1,5*0,6*vento)	-11,5162	-0,7553	-2,4812	0,1271	1,2305	-0,9874
259	VzMax	[pp+perm+pp fondazioni] {SEISMIC 1+}	-3,7247	-0,3023	-0,5810	0,0624	-0,3742	-0,3001
259	VzMin	[1,3*pp+perm+1,3*pp fondazioni] {1,5*neve} (1,5*0,6*vento)	-11,5162	-0,7553	-2,4812	0,1271	1,2305	-0,9874
259	TxMax	[1,3*pp+perm+pp fondazioni] {1,5*neve} (1,5*0,6*vento)	-11,5162	-0,7553	-2,4812	0,1271	1,2305	-0,9874
259	TxMin	[pp+perm+pp fondazioni] {SEISMIC 1-}	-3,6800	-0,3023	-0,8500	-0,0054	0,4089	-0,5742
259	MyMax	[1,3*pp+perm+1,3*pp fondazioni] {1,5*neve} (1,5*0,6*vento)	-11,5162	-0,7553	-2,4812	0,1271	1,2305	-0,9874
259	MyMin	[1,3*pp+perm+1,3*pp fondazioni] {1,5*neve} (1,5*0,6*vento)	-11,5744	-0,7553	-2,3233	0,1271	-1,1236	-0,2472
259	MzMax	[pp+perm+pp fondazioni] {SEISMIC 1+}	-3,7247	-0,3023	-0,7285	0,0624	-0,3742	0,1925
259	MzMin	[1,3*pp+perm+1,3*pp fondazioni] {1,5*neve} (1,5*0,6*vento)	-11,5162	-0,7553	-2,4812	0,1271	1,2305	-0,9874
262	NxMax	[1,3*pp+perm+pp fondazioni] {1,5*neve} (1,5*0,6*vento)	2,7639	0,5283	-7,9333	-0,1105	3,4679	0,2278
262	NxMin	[pp+perm+pp fondazioni] {SEISMIC 1-}	0,4250	0,8848	-2,0180	-0,0820	0,5545	0,2674
262	VyMax	[pp+perm+pp fondazioni] {SEISMIC 1+}	0,8967	0,8848	-2,0389	-0,0820	0,8896	0,4138
262	VyMin	[pp+perm+pp fondazioni] {SEISMIC 1-}	0,8967	-0,6073	-2,0389	-0,0820	0,8896	0,4138
262	VzMax	[pp+perm+pp fondazioni] {SEISMIC 1+}	0,8890	0,8848	-1,8012	-0,0820	0,5545	0,2674
262	VzMin	[1,3*pp+perm+1,3*pp fondazioni] {1,5*neve} (1,5*0,6*vento)	2,7639	0,5283	-7,9333	-0,1105	3,4679	0,2278
262	TxMax	[pp+perm+pp fondazioni] {SEISMIC 1+}	0,8967	0,8848	-2,0389	0,0168	0,8896	0,4138
262	TxMin	[1,3*pp+perm+1,3*pp fondazioni] {1,5*neve} (1,5*0,6*vento)	2,7639	0,5283	-7,9333	-0,1105	3,4679	0,2278
262	MyMax	[1,3*pp+perm+1,3*pp fondazioni] {1,5*neve} (1,5*0,6*vento)	2,7639	0,5283	-7,9333	-0,1105	3,4679	0,2278
262	MyMin	[pp+perm+pp fondazioni] {SEISMIC 1-}	0,8890	0,8848	-2,0180	-0,0820	0,5283	0,2674
262	MzMax	[pp+perm+pp fondazioni] {SEISMIC 1+}	0,8967	0,8848	-2,0389	-0,0820	0,8896	0,4138
262	MzMin	[pp+perm+pp fondazioni] {SEISMIC 1-}	0,8967	0,8848	-2,0389	-0,0820	0,8896	-0,3070
263	NxMax	[1,3*pp+perm+pp fondazioni] {1,5*neve} (1,5*0,6*vento)	0,8352	0,1942	-2,6221	-0,0328	2,1192	0,1446
263	NxMin	[pp+perm+pp fondazioni] {SEISMIC 1-}	0,1192	0,1714	-0,6408	-0,0382	-0,0101	-0,0818
263	VyMax	[1,3*pp+perm+1,3*pp fondazioni] {1,5*neve} (1,5*0,6*vento)	0,8352	0,1942	-2,6221	-0,0328	2,1192	0,1446
263	VyMin	[pp+perm+pp fondazioni] {SEISMIC 1-}	0,2872	-0,0834	-0,7437	-0,0382	0,5650	0,2027
263	VzMax	[pp+perm+pp fondazioni] {SEISMIC 1+}	0,2493	0,1714	-0,5568	-0,0382	-0,0101	-0,0818
263	VzMin	[1,3*pp+perm+1,3*pp fondazioni] {1,5*neve} (1,5*0,6*vento)	0,8352	0,1942	-2,6221	-0,0328	2,1192	0,1446
263	TxMax	[pp+perm+pp fondazioni] {SEISMIC 1+}	0,2872	0,1714	-0,7437	0,0211	0,5650	0,2027
263	TxMin	[pp+perm+pp fondazioni] {SEISMIC 1-}	0,2872	0,1714	-0,7437	-0,0382	0,5650	0,2027
263	MyMax	[1,3*pp+perm+1,3*pp fondazioni] {1,5*neve} (1,5*0,6*vento)	0,8352	0,1942	-2,6221	-0,0328	2,1192	0,1446
263	MyMin	[pp+perm+pp fondazioni] {SEISMIC 1-}	0,2493	0,1714	-0,6408	-0,0382	-0,0101	-0,0818
263	MzMax	[pp+perm+pp fondazioni] {SEISMIC 1+}	0,2872	0,1714	-0,7437	-0,0382	0,5650	0,2027
263	MzMin	[pp+perm+pp fondazioni] {SEISMIC 1-}	0,2872	0,1714	-0,7437	-0,0382	0,5650	-0,1376
266	NxMax	[pp+perm+pp fondazioni] {SEISMIC 1+}	-5,1185	-0,7508	1,3814	0,0414	-0,5972	0,0867
266	NxMin	[1,3*pp+perm+1,3*pp fondazioni] {1,5*neve} (1,5*0,6*vento)	-22,8188	-0,0896	6,3303	0,0347	3,3978	0,1101
266	VyMax	[pp+perm+pp fondazioni] {SEISMIC 1+}	-6,1934	0,7341	1,3814	0,0414	-0,5972	0,0867
266	VyMin	[pp+perm+pp fondazioni] {SEISMIC 1-}	-6,1934	-0,7508	1,3814	0,0414	-0,5972	0,0867
266	VzMax	[1,3*pp+perm+pp fondazioni] {1,5*neve} (1,5*0,6*vento)	-22,8188	-0,0896	6,3303	0,0347	3,3978	0,1101
266	VzMin	[pp+perm+pp fondazioni] {SEISMIC 1-}	-6,1934	-0,7508	1,3457	0,0414	-0,5972	0,0867
266	TxMax	[pp+perm+pp fondazioni] {SEISMIC 1+}	-6,1934	-0,7508	1,3814	0,0414	-0,5972	0,0867
266	TxMin	[pp+perm+pp fondazioni] {SEISMIC 1-}	-6,1934	-0,7508	1,3814	-0,0188	-0,5972	0,0867
266	MyMax	[1,3*pp+perm+pp fondazioni] {1,5*neve} (1,5*0,6*vento)	-22,8188	-0,0896	6,3303	0,0347	3,3978	0,1101
266	MyMin	[1,3*pp+perm+pp fondazioni] {1,5*neve} (1,5*0,6*vento)	-22,7707	-0,0896	6,1996	0,0347	-1,6833	0,0374

266	MzMax	[pp+perm+pp fondazioni] {SEISMIC 1+}	-6,2304	-0,7508	1,4819	0,0414	0,7626	0,5495
266	MzMin	[pp+perm+pp fondazioni] {SEISMIC 1-}	-6,2304	-0,7508	1,4819	0,0414	0,7626	-0,5148
269	NxMax	[pp+perm+pp fondazioni] {SEISMIC 1+}	-4,8075	-0,4242	0,0649	0,0116	-0,6362	-0,3554
269	NxMin	[1,3*pp+perm+1,3*pp fondazioni] {1,5*neve} (1,5*0,6*vento)	-20,7075	-0,1426	0,7206	0,0200	-1,6623	0,0528
269	VyMax	[pp+perm+pp fondazioni] {SEISMIC 1+}	-5,4834	0,3608	0,0649	0,0116	-0,6362	-0,3554
269	VyMin	[pp+perm+pp fondazioni] {SEISMIC 1-}	-5,4834	-0,4242	0,0649	0,0116	-0,6362	-0,3554
269	VzMax	[1,3*pp+perm+pp fondazioni] {1,5*neve} (1,5*0,6*vento)	-20,7075	-0,1426	0,7206	0,0200	-1,6623	0,0528
269	VzMin	[pp+perm+pp fondazioni] {SEISMIC 1-}	-5,4834	-0,4242	-0,0401	0,0116	-0,6362	-0,3554
269	TxMax	[1,3*pp+perm+pp fondazioni] {1,5*neve} (1,5*0,6*vento)	-20,6493	-0,1426	0,5627	0,0200	-2,2911	-0,0869
269	TxMin	[pp+perm+pp fondazioni] {SEISMIC 1-}	-5,4834	-0,4242	0,0649	-0,0008	-0,6362	-0,3554
269	MyMax	[pp+perm+pp fondazioni] {SEISMIC 1+}	-5,5281	-0,4242	0,1864	0,0116	-0,3444	0,0798
269	MyMin	[1,3*pp+perm+pp fondazioni] {1,5*neve} (1,5*0,6*vento)	-20,6493	-0,1426	0,5627	0,0200	-2,2911	-0,0869
269	MzMax	[pp+perm+pp fondazioni] {SEISMIC 1+}	-5,4834	-0,4242	0,0649	0,0116	-0,6362	0,3198
269	MzMin	[pp+perm+pp fondazioni] {SEISMIC 1-}	-5,4834	-0,4242	0,0649	0,0116	-0,6362	-0,3554
272	NxMax	[pp+perm+pp fondazioni] {SEISMIC 1+}	-4,3162	-0,0649	-1,7642	-0,1465	0,8622	0,3898
272	NxMin	[1,3*pp+perm+1,3*pp fondazioni] {1,5*neve} (1,5*0,6*vento)	-17,5069	-0,0603	-6,4511	-0,0372	2,4397	0,0808
272	VyMax	[pp+perm+pp fondazioni] {SEISMIC 1+}	-4,4670	0,0297	-1,7642	-0,1465	0,8622	0,3898
272	VyMin	[pp+perm+pp fondazioni] {SEISMIC 1-}	-4,4670	-0,0649	-1,7642	-0,1465	0,8622	0,3898
272	VzMax	[pp+perm+pp fondazioni] {SEISMIC 1+}	-4,4726	-0,0649	-1,4621	-0,1465	0,6528	0,3911
272	VzMin	[1,3*pp+perm+1,3*pp fondazioni] {1,5*neve} (1,5*0,6*vento)	-17,4996	-0,0603	-6,4708	-0,0372	3,2297	0,0735
272	TxMax	[pp+perm+pp fondazioni] {SEISMIC 1+}	-4,4670	-0,0649	-1,7642	0,1188	0,8622	0,3898
272	TxMin	[pp+perm+pp fondazioni] {SEISMIC 1-}	-4,4670	-0,0649	-1,7642	-0,1465	0,8622	0,3898
272	MyMax	[1,3*pp+perm+1,3*pp fondazioni] {1,5*neve} (1,5*0,6*vento)	-17,4996	-0,0603	-6,4708	-0,0372	3,2297	0,0735
272	MyMin	[pp+perm+pp fondazioni] {SEISMIC 1-}	-4,4726	-0,0649	-1,7490	-0,1465	0,6468	0,3911
272	MzMax	[pp+perm+pp fondazioni] {SEISMIC 1+}	-4,4726	-0,0649	-1,7490	-0,1465	0,6528	0,3911
272	MzMin	[pp+perm+pp fondazioni] {SEISMIC 1-}	-4,4670	-0,0649	-1,7642	-0,1465	0,8622	-0,3340
273	NxMax	[pp+perm+pp fondazioni] {SEISMIC 1+}	-4,4925	0,2352	-1,3781	-0,0420	0,6405	0,4410
273	NxMin	[1,3*pp+perm+pp fondazioni] {1,5*neve} (1,5*0,6*vento)	-18,5658	0,1472	-4,6503	-0,0043	-2,2572	-0,0752
273	VyMax	[pp+perm+pp fondazioni] {SEISMIC 1+}	-4,7698	0,2352	-1,3781	-0,0420	0,6405	0,4410
273	VyMin	[pp+perm+pp fondazioni] {SEISMIC 1-}	-4,7698	-0,1472	-1,3781	-0,0420	0,6405	0,4410
273	VzMax	[pp+perm+pp fondazioni] {SEISMIC 1+}	-4,8145	0,2352	-1,0193	-0,0420	-0,6506	-0,2584
273	VzMin	[1,3*pp+perm+1,3*pp fondazioni] {1,5*neve} (1,5*0,6*vento)	-18,5076	0,1472	-4,8082	-0,0043	2,3774	0,0691
273	TxMax	[pp+perm+pp fondazioni] {SEISMIC 1+}	-4,7698	0,2352	-1,3781	0,0355	0,6405	0,4410
273	TxMin	[pp+perm+pp fondazioni] {SEISMIC 1-}	-4,7698	0,2352	-1,3781	-0,0420	0,6405	0,4410
273	MyMax	[1,3*pp+perm+1,3*pp fondazioni] {1,5*neve} (1,5*0,6*vento)	-18,5076	0,1472	-4,8082	-0,0043	2,3774	0,0691
273	MyMin	[1,3*pp+perm+1,3*pp fondazioni] {1,5*neve} (1,5*0,6*vento)	-18,5658	0,1472	-4,6503	-0,0043	-2,2572	-0,0752
273	MzMax	[pp+perm+pp fondazioni] {SEISMIC 1+}	-4,7698	0,2352	-1,3781	-0,0420	0,6405	0,4410
273	MzMin	[pp+perm+pp fondazioni] {SEISMIC 1-}	-4,7698	0,2352	-1,3781	-0,0420	0,6405	-0,3871
276	NxMax	[1,3*pp+perm+pp fondazioni] {1,5*neve} (1,5*0,6*vento)	4,2953	2,1274	-11,5296	0,2948	5,1852	0,7710
276	NxMin	[pp+perm+pp fondazioni] {SEISMIC 1-}	0,6791	0,6629	-2,9095	0,1867	0,8375	0,3506
276	VyMax	[1,3*pp+perm+1,3*pp fondazioni] {1,5*neve} (1,5*0,6*vento)	4,2953	2,1274	-11,5296	0,2948	5,1852	0,7710
276	VyMin	[pp+perm+pp fondazioni] {SEISMIC 1-}	1,4131	0,5584	-2,9304	0,1867	1,3040	0,4458
276	VzMax	[pp+perm+pp fondazioni] {SEISMIC 1+}	1,4054	0,6629	-2,6713	0,1867	0,8375	0,3506
276	VzMin	[1,3*pp+perm+1,3*pp fondazioni] {1,5*neve} (1,5*0,6*vento)	4,2953	2,1274	-11,5296	0,2948	5,1852	0,7710
276	TxMax	[1,3*pp+perm+pp fondazioni] {1,5*neve} (1,5*0,6*vento)	4,2953	2,1274	-11,5296	0,2948	5,1852	0,7710
276	TxMin	[pp+perm+pp fondazioni] {SEISMIC 1-}	1,4131	0,6629	-2,9304	-0,0245	1,3040	0,4458
276	MyMax	[1,3*pp+perm+1,3*pp fondazioni] {1,5*neve} (1,5*0,6*vento)	4,2953	2,1274	-11,5296	0,2948	5,1852	0,7710
276	MyMin	[pp+perm+pp fondazioni] {SEISMIC 1-}	1,4054	0,6629	-2,9095	0,1867	0,7927	0,3506

276	MzMax	[1,3*pp+perm+1,3*pp fondazioni] {1,5*neve} (1,5*0,6*vento)	4,2953	2,1274	-11,5296	0,2948	5,1852	0,7710
276	MzMin	[pp+perm+pp fondazioni] {SEISMIC 1-}	1,4054	0,6629	-2,9095	0,1867	0,8375	-0,1296
277	NxMax	[1,3*pp+perm+pp fondazioni] {1,5*neve} (1,5*0,6*vento)	1,5632	0,3370	-3,9955	0,1526	3,2562	0,3567
277	NxMin	[pp+perm+pp fondazioni] {SEISMIC 1-}	0,2455	0,1699	-0,9771	0,0702	-0,0185	0,1029
277	VyMax	[1,3*pp+perm+1,3*pp fondazioni] {1,5*neve} (1,5*0,6*vento)	1,5632	0,3370	-3,9955	0,1526	3,2562	0,3567
277	VyMin	[pp+perm+pp fondazioni] {SEISMIC 1-}	0,5321	0,0082	-1,0801	0,0702	0,8361	0,2361
277	VzMax	[pp+perm+pp fondazioni] {SEISMIC 1+}	0,4941	0,1699	-0,8970	0,0702	-0,0185	0,1029
277	VzMin	[1,3*pp+perm+pp fondazioni] {1,5*neve} (1,5*0,6*vento)	1,5632	0,3370	-3,9955	0,1526	3,2562	0,3567
277	TxMax	[1,3*pp+perm+pp fondazioni] {1,5*neve} (1,5*0,6*vento)	1,5632	0,3370	-3,9955	0,1526	3,2562	0,3567
277	TxMin	[pp+perm+pp fondazioni] {SEISMIC 1-}	0,5321	0,1699	-1,0801	0,0152	0,8361	0,2361
277	MyMax	[1,3*pp+perm+pp fondazioni] {1,5*neve} (1,5*0,6*vento)	1,5632	0,3370	-3,9955	0,1526	3,2562	0,3567
277	MyMin	[pp+perm+pp fondazioni] {SEISMIC 1-}	0,4941	0,1699	-0,9771	0,0702	-0,0185	0,1029
277	MzMax	[1,3*pp+perm+1,3*pp fondazioni] {1,5*neve} (1,5*0,6*vento)	1,5632	0,3370	-3,9955	0,1526	3,2562	0,3567
277	MzMin	[pp+perm+pp fondazioni] {SEISMIC 1-}	0,4941	0,1699	-0,9771	0,0702	-0,0185	-0,0596
280	NxMax	[pp+perm+pp fondazioni] {SEISMIC 1+}	-9,6772	-0,7896	2,2365	-0,0671	-0,7499	-0,0887
280	NxMin	[1,3*pp+perm+1,3*pp fondazioni] {1,5*neve} (1,5*0,6*vento)	-41,3082	-0,8303	9,6013	-0,1163	5,4422	0,5248
280	VyMax	[pp+perm+pp fondazioni] {SEISMIC 1+}	-11,1439	0,3264	2,2365	-0,0671	-0,7499	-0,0887
280	VyMin	[1,3*pp+perm+pp fondazioni] {1,5*neve} (1,5*0,6*vento)	-41,2600	-0,8303	9,4706	-0,1163	-2,2918	-0,1485
280	VzMax	[1,3*pp+perm+pp fondazioni] {1,5*neve} (1,5*0,6*vento)	-41,3082	-0,8303	9,6013	-0,1163	5,4422	0,5248
280	VzMin	[pp+perm+pp fondazioni] {SEISMIC 1-}	-11,1439	-0,7896	2,1293	-0,0671	-0,7499	-0,0887
280	TxMax	[pp+perm+pp fondazioni] {SEISMIC 1+}	-11,1439	-0,7896	2,2365	0,0017	-0,7499	-0,0887
280	TxMin	[1,3*pp+perm+pp fondazioni] {1,5*neve} (1,5*0,6*vento)	-41,2600	-0,8303	9,4706	-0,1163	-2,2918	-0,1485
280	MyMax	[1,3*pp+perm+pp fondazioni] {1,5*neve} (1,5*0,6*vento)	-41,3082	-0,8303	9,6013	-0,1163	5,4422	0,5248
280	MyMin	[1,3*pp+perm+pp fondazioni] {1,5*neve} (1,5*0,6*vento)	-41,2600	-0,8303	9,4706	-0,1163	-2,2918	-0,1485
280	MzMax	[pp+perm+pp fondazioni] {SEISMIC 1+}	-11,1809	-0,7896	2,3370	-0,0671	1,2435	0,5603
280	MzMin	[pp+perm+pp fondazioni] {SEISMIC 1-}	-11,1809	-0,7896	2,3370	-0,0671	1,2435	-0,2747
283	NxMax	[pp+perm+pp fondazioni] {SEISMIC 1+}	-9,2138	-0,4518	0,2150	-0,0115	-0,9712	-0,3691
283	NxMin	[1,3*pp+perm+pp fondazioni] {1,5*neve} (1,5*0,6*vento)	-38,3149	-0,1152	1,3437	-0,0112	-2,2968	-0,0244
283	VyMax	[pp+perm+pp fondazioni] {SEISMIC 1+}	-10,1480	0,3970	0,2150	-0,0115	-0,9712	-0,3691
283	VyMin	[pp+perm+pp fondazioni] {SEISMIC 1-}	-10,1480	-0,4518	0,2150	-0,0115	-0,9712	-0,3691
283	VzMax	[1,3*pp+perm+pp fondazioni] {1,5*neve} (1,5*0,6*vento)	-38,3149	-0,1152	1,3437	-0,0112	-2,2968	-0,0244
283	VzMin	[pp+perm+pp fondazioni] {SEISMIC 1-}	-10,1480	-0,4518	0,1252	-0,0115	-0,9712	-0,3691
283	TxMax	[pp+perm+pp fondazioni] {SEISMIC 1+}	-10,1480	-0,4518	0,2150	0,0042	-0,9712	-0,3691
283	TxMin	[pp+perm+pp fondazioni] {SEISMIC 1-}	-10,1480	-0,4518	0,2150	-0,0115	-0,9712	-0,3691
283	MyMax	[pp+perm+pp fondazioni] {SEISMIC 1+}	-10,1927	-0,4518	0,3364	-0,0115	-0,4970	-0,1034
283	MyMin	[1,3*pp+perm+pp fondazioni] {1,5*neve} (1,5*0,6*vento)	-38,2568	-0,1152	1,1858	-0,0112	-3,5363	-0,1372
283	MzMax	[pp+perm+pp fondazioni] {SEISMIC 1+}	-10,1480	-0,4518	0,2150	-0,0115	-0,9712	0,2936
283	MzMin	[pp+perm+pp fondazioni] {SEISMIC 1-}	-10,1480	-0,4518	0,2150	-0,0115	-0,9712	-0,3691
286	NxMax	[pp+perm+pp fondazioni] {SEISMIC 1+}	-8,4906	-0,0970	-3,4110	0,1716	1,2881	-0,4465
286	NxMin	[1,3*pp+perm+1,3*pp fondazioni] {1,5*neve} (1,5*0,6*vento)	-33,5980	-0,2073	-12,5877	0,1321	3,3810	-0,2524
286	VyMax	[pp+perm+pp fondazioni] {SEISMIC 1+}	-8,6046	-0,0175	-3,4110	0,1716	1,2881	-0,4465
286	VyMin	[1,3*pp+perm+pp fondazioni] {1,5*neve} (1,5*0,6*vento)	-33,5908	-0,2073	-12,6074	0,1321	4,9214	-0,2777
286	VzMax	[pp+perm+pp fondazioni] {SEISMIC 1+}	-8,6102	-0,0970	-2,9837	0,1716	0,9088	-0,4372
286	VzMin	[1,3*pp+perm+pp fondazioni] {1,5*neve} (1,5*0,6*vento)	-33,5908	-0,2073	-12,6074	0,1321	4,9214	-0,2777
286	TxMax	[pp+perm+pp fondazioni] {SEISMIC 1+}	-8,6046	-0,0970	-3,4110	0,1716	1,2881	-0,4465
286	TxMin	[pp+perm+pp fondazioni] {SEISMIC 1-}	-8,6046	-0,0970	-3,4110	-0,1027	1,2881	-0,4465
286	MyMax	[1,3*pp+perm+pp fondazioni] {1,5*neve} (1,5*0,6*vento)	-33,5908	-0,2073	-12,6074	0,1321	4,9214	-0,2777
286	MyMin	[pp+perm+pp fondazioni] {SEISMIC 1-}	-8,6102	-0,0970	-3,3959	0,1716	0,8699	-0,4372

286	MzMax	[pp+perm+pp fondazioni] {SEISMIC 1+}	-8,6102	-0,0970	-3,3959	0,1716	0,9088	0,3066
286	MzMin	[pp+perm+pp fondazioni] {SEISMIC 1-}	-8,6046	-0,0970	-3,4110	0,1716	1,2881	-0,4465
287	NxMax	[pp+perm+pp fondazioni] {SEISMIC 1+}	-8,7636	-0,3066	-2,0168	0,0650	0,9045	-0,5241
287	NxMin	[1,3*pp+perm+1,3*pp fondazioni] {1,5*neve} (1,5*0,6*vento)	-35,3531	-0,3769	-7,0498	0,0761	-3,5607	0,0061
287	VyMax	[pp+perm+pp fondazioni] {SEISMIC 1+}	-9,1614	0,1074	-2,0168	0,0650	0,9045	-0,5241
287	VyMin	[1,3*pp+perm+pp fondazioni] {1,5*neve} (1,5*0,6*vento)	-35,2949	-0,3769	-7,2077	0,0761	3,4256	-0,3632
287	VzMax	[pp+perm+pp fondazioni] {SEISMIC 1+}	-9,2061	-0,3066	-1,6073	0,0650	-1,0136	0,2368
287	VzMin	[1,3*pp+perm+1,3*pp fondazioni] {1,5*neve} (1,5*0,6*vento)	-35,2949	-0,3769	-7,2077	0,0761	3,4256	-0,3632
287	TxMax	[1,3*pp+perm+pp fondazioni] {1,5*neve} (1,5*0,6*vento)	-35,2949	-0,3769	-7,2077	0,0761	3,4256	-0,3632
287	TxMin	[pp+perm+pp fondazioni] {SEISMIC 1-}	-9,1614	-0,3066	-2,0168	-0,0245	0,9045	-0,5241
287	MyMax	[1,3*pp+perm+1,3*pp fondazioni] {1,5*neve} (1,5*0,6*vento)	-35,2949	-0,3769	-7,2077	0,0761	3,4256	-0,3632
287	MyMin	[1,3*pp+perm+1,3*pp fondazioni] {1,5*neve} (1,5*0,6*vento)	-35,3531	-0,3769	-7,0498	0,0761	-3,5607	0,0061
287	MzMax	[pp+perm+pp fondazioni] {SEISMIC 1+}	-9,1614	-0,3066	-2,0168	0,0650	0,9045	0,3322
287	MzMin	[pp+perm+pp fondazioni] {SEISMIC 1-}	-9,1614	-0,3066	-2,0168	0,0650	0,9045	-0,5241
290	NxMax	[1,3*pp+perm+pp fondazioni] {1,5*neve} (1,5*0,6*vento)	1,7698	-0,9408	-4,8013	-0,0439	1,7384	-0,1249
290	NxMin	[pp+perm+pp fondazioni] {SEISMIC 1-}	0,1941	-1,3222	-1,1233	-0,0601	0,2229	0,2523
290	VyMax	[pp+perm+pp fondazioni] {SEISMIC 1+}	0,5788	0,9582	-1,1442	-0,0601	0,3952	-0,4437
290	VyMin	[pp+perm+pp fondazioni] {SEISMIC 1-}	0,5788	-1,3222	-1,1442	-0,0601	0,3952	-0,4437
290	VzMax	[pp+perm+pp fondazioni] {SEISMIC 1+}	0,5711	-1,3222	-0,9421	-0,0601	0,2229	0,2523
290	VzMin	[1,3*pp+perm+1,3*pp fondazioni] {1,5*neve} (1,5*0,6*vento)	1,7698	-0,9408	-4,8013	-0,0439	1,7384	-0,1249
290	TxMax	[pp+perm+pp fondazioni] {SEISMIC 1+}	0,5788	-1,3222	-1,1442	0,0369	0,3952	-0,4437
290	TxMin	[pp+perm+pp fondazioni] {SEISMIC 1-}	0,5788	-1,3222	-1,1442	-0,0601	0,3952	-0,4437
290	MyMax	[1,3*pp+perm+1,3*pp fondazioni] {1,5*neve} (1,5*0,6*vento)	1,7698	-0,9408	-4,8013	-0,0439	1,7384	-0,1249
290	MyMin	[pp+perm+pp fondazioni] {SEISMIC 1-}	0,5711	-1,3222	-1,1233	-0,0601	0,1989	0,2523
290	MzMax	[pp+perm+pp fondazioni] {SEISMIC 1+}	0,5788	-1,3222	-1,1442	-0,0601	0,3952	0,4075
290	MzMin	[pp+perm+pp fondazioni] {SEISMIC 1-}	0,5788	-1,3222	-1,1442	-0,0601	0,3952	-0,4437
291	NxMax	[1,3*pp+perm+pp fondazioni] {1,5*neve} (1,5*0,6*vento)	0,3426	0,0624	-1,1570	-0,0419	0,9127	0,0248
291	NxMin	[pp+perm+pp fondazioni] {SEISMIC 1-}	0,0074	0,1670	-0,2167	-0,0502	0,0085	-0,0856
291	VyMax	[pp+perm+pp fondazioni] {SEISMIC 1+}	0,1331	0,1670	-0,3196	-0,0502	0,2185	0,1928
291	VyMin	[pp+perm+pp fondazioni] {SEISMIC 1-}	0,1331	-0,1283	-0,3196	-0,0502	0,2185	0,1928
291	VzMax	[pp+perm+pp fondazioni] {SEISMIC 1+}	0,0952	0,1670	-0,1726	-0,0502	0,0085	-0,0856
291	VzMin	[1,3*pp+perm+pp fondazioni] {1,5*neve} (1,5*0,6*vento)	0,3426	0,0624	-1,1570	-0,0419	0,9127	0,0248
291	TxMax	[pp+perm+pp fondazioni] {SEISMIC 1+}	0,1331	0,1670	-0,3196	0,0313	0,2185	0,1928
291	TxMin	[pp+perm+pp fondazioni] {SEISMIC 1-}	0,1331	0,1670	-0,3196	-0,0502	0,2185	0,1928
291	MyMax	[1,3*pp+perm+pp fondazioni] {1,5*neve} (1,5*0,6*vento)	0,3426	0,0624	-1,1570	-0,0419	0,9127	0,0248
291	MyMin	[pp+perm+pp fondazioni] {SEISMIC 1-}	0,0952	0,1670	-0,2167	-0,0502	-0,0045	-0,0856
291	MzMax	[pp+perm+pp fondazioni] {SEISMIC 1+}	0,1331	0,1670	-0,3196	-0,0502	0,2185	0,1928
291	MzMin	[pp+perm+pp fondazioni] {SEISMIC 1-}	0,1331	0,1670	-0,3196	-0,0502	0,2185	-0,1720
294	NxMax	[pp+perm+pp fondazioni] {SEISMIC 1+}	-3,9189	0,8648	0,9415	0,0478	-0,5948	0,1201
294	NxMin	[1,3*pp+perm+1,3*pp fondazioni] {1,5*neve} (1,5*0,6*vento)	-18,0779	0,2824	4,6160	0,0417	1,9033	-0,1020
294	VyMax	[pp+perm+pp fondazioni] {SEISMIC 1+}	-4,7639	0,8648	0,9415	0,0478	-0,5948	0,1201
294	VyMin	[pp+perm+pp fondazioni] {SEISMIC 1-}	-4,7639	-0,7578	0,9415	0,0478	-0,5948	0,1201
294	VzMax	[1,3*pp+perm+pp fondazioni] {1,5*neve} (1,5*0,6*vento)	-18,0779	0,2824	4,6160	0,0417	1,9033	-0,1020
294	VzMin	[pp+perm+pp fondazioni] {SEISMIC 1-}	-4,7639	0,8648	0,8276	0,0478	-0,5948	0,1201
294	TxMax	[pp+perm+pp fondazioni] {SEISMIC 1+}	-4,7639	0,8648	0,9415	0,0478	-0,5948	0,1201
294	TxMin	[pp+perm+pp fondazioni] {SEISMIC 1-}	-4,7639	0,8648	0,9415	-0,0287	-0,5948	0,1201
294	MyMax	[1,3*pp+perm+pp fondazioni] {1,5*neve} (1,5*0,6*vento)	-18,0779	0,2824	4,6160	0,0417	1,9033	-0,1020
294	MyMin	[1,3*pp+perm+pp fondazioni] {1,5*neve} (1,5*0,6*vento)	-18,0298	0,2824	4,4854	0,0417	-1,7874	0,1271

294	MzMax	[pp+perm+pp fondazioni] {SEISMIC 1+}	-4,8009	0,8648	1,0421	0,0478	0,2899	0,5545
294	MzMin	[pp+perm+pp fondazioni] {SEISMIC 1-}	-4,8009	0,8648	1,0421	0,0478	0,2899	-0,5869
297	NxMax	[pp+perm+pp fondazioni] {SEISMIC 1+}	-3,7263	-0,3989	-0,1402	0,0135	-0,5441	0,3474
297	NxMin	[1,3*pp+perm+pp fondazioni] {1,5*neve} (1,5*0,6*vento)	-16,4949	-0,0785	0,2609	0,0177	-1,8017	0,1143
297	VyMax	[pp+perm+pp fondazioni] {SEISMIC 1+}	-4,2335	0,3625	-0,1402	0,0135	-0,5441	0,3474
297	VyMin	[pp+perm+pp fondazioni] {SEISMIC 1-}	-4,2335	-0,3989	-0,1402	0,0135	-0,5441	0,3474
297	VzMax	[1,3*pp+perm+pp fondazioni] {1,5*neve} (1,5*0,6*vento)	-16,4949	-0,0785	0,2609	0,0177	-1,8017	0,1143
297	VzMin	[1,3*pp+perm+1,3*pp fondazioni]	-5,1739	-0,0237	-0,1454	0,0044	-0,6013	0,0095
297	TxMax	[1,3*pp+perm+pp fondazioni] {1,5*neve} (1,5*0,6*vento)	-16,4368	-0,0785	0,1030	0,0177	-1,9800	0,0374
297	TxMin	[pp+perm+pp fondazioni] {SEISMIC 1-}	-4,2335	-0,3989	-0,1402	-0,0066	-0,5441	0,3474
297	MyMax	[pp+perm+pp fondazioni] {SEISMIC 1+}	-4,2335	-0,3989	-0,1402	0,0135	-0,3809	0,3474
297	MyMin	[1,3*pp+perm+pp fondazioni] {1,5*neve} (1,5*0,6*vento)	-16,4368	-0,0785	0,1030	0,0177	-1,9800	0,0374
297	MzMax	[pp+perm+pp fondazioni] {SEISMIC 1+}	-4,2335	-0,3989	-0,1402	0,0135	-0,5441	0,3474
297	MzMin	[pp+perm+pp fondazioni] {SEISMIC 1-}	-4,2335	-0,3989	-0,1402	0,0135	-0,5441	-0,3328
300	NxMax	[pp+perm+pp fondazioni] {SEISMIC 1+}	-3,4894	0,0895	-1,4565	-0,1354	0,7769	-0,3626
300	NxMin	[1,3*pp+perm+1,3*pp fondazioni] {1,5*neve} (1,5*0,6*vento)	-14,3418	0,0415	-5,3843	-0,0129	2,2997	-0,0014
300	VyMax	[pp+perm+pp fondazioni] {SEISMIC 1+}	-3,5390	0,0895	-1,4565	-0,1354	0,7769	-0,3626
300	VyMin	[pp+perm+pp fondazioni] {SEISMIC 1-}	-3,5390	-0,0722	-1,4565	-0,1354	0,7769	-0,3626
300	VzMax	[pp+perm+pp fondazioni] {SEISMIC 1+}	-3,5445	0,0895	-1,1744	-0,1354	0,6159	-0,3604
300	VzMin	[1,3*pp+perm+1,3*pp fondazioni] {1,5*neve} (1,5*0,6*vento)	-14,3345	0,0415	-5,4040	-0,0129	2,9592	0,0037
300	TxMax	[pp+perm+pp fondazioni] {SEISMIC 1+}	-3,5390	0,0895	-1,4565	0,1291	0,7769	-0,3626
300	TxMin	[pp+perm+pp fondazioni] {SEISMIC 1-}	-3,5390	0,0895	-1,4565	-0,1354	0,7769	-0,3626
300	MyMax	[1,3*pp+perm+1,3*pp fondazioni] {1,5*neve} (1,5*0,6*vento)	-14,3345	0,0415	-5,4040	-0,0129	2,9592	0,0037
300	MyMin	[pp+perm+pp fondazioni] {SEISMIC 1-}	-3,5445	0,0895	-1,4414	-0,1354	0,5981	-0,3604
300	MzMax	[pp+perm+pp fondazioni] {SEISMIC 1+}	-3,5390	0,0895	-1,4565	-0,1354	0,7769	0,3605
300	MzMin	[pp+perm+pp fondazioni] {SEISMIC 1-}	-3,5390	0,0895	-1,4565	-0,1354	0,7769	-0,3626
301	NxMax	[pp+perm+pp fondazioni] {SEISMIC 1+}	-3,5171	-0,1974	-1,2557	-0,0400	0,6065	0,4207
301	NxMin	[1,3*pp+perm+1,3*pp fondazioni] {1,5*neve} (1,5*0,6*vento)	-14,8374	-0,0007	-4,2772	-0,0052	-1,9820	0,0187
301	VyMax	[pp+perm+pp fondazioni] {SEISMIC 1+}	-3,6855	0,1920	-1,2557	-0,0400	0,6065	0,4207
301	VyMin	[pp+perm+pp fondazioni] {SEISMIC 1-}	-3,6855	-0,1974	-1,2557	-0,0400	0,6065	0,4207
301	VzMax	[pp+perm+pp fondazioni] {SEISMIC 1+}	-3,7302	-0,1974	-0,9214	-0,0400	-0,5675	0,2493
301	VzMin	[1,3*pp+perm+1,3*pp fondazioni] {1,5*neve} (1,5*0,6*vento)	-14,7792	-0,0007	-4,4351	-0,0052	2,2870	0,0179
301	TxMax	[pp+perm+pp fondazioni] {SEISMIC 1+}	-3,6855	-0,1974	-1,2557	0,0366	0,6065	0,4207
301	TxMin	[pp+perm+pp fondazioni] {SEISMIC 1-}	-3,6855	-0,1974	-1,2557	-0,0400	0,6065	0,4207
301	MyMax	[1,3*pp+perm+1,3*pp fondazioni] {1,5*neve} (1,5*0,6*vento)	-14,7792	-0,0007	-4,4351	-0,0052	2,2870	0,0179
301	MyMin	[1,3*pp+perm+1,3*pp fondazioni] {1,5*neve} (1,5*0,6*vento)	-14,8374	-0,0007	-4,2772	-0,0052	-1,9820	0,0187
301	MzMax	[pp+perm+pp fondazioni] {SEISMIC 1+}	-3,6855	-0,1974	-1,2557	-0,0400	0,6065	0,4207
301	MzMin	[pp+perm+pp fondazioni] {SEISMIC 1-}	-3,6855	-0,1974	-1,2557	-0,0400	0,6065	-0,4177
304	NxMax	[1,3*pp+perm+pp fondazioni] {1,5*neve} (1,5*0,6*vento)	5,1088	-0,1929	-14,0503	0,0387	6,3968	-0,0112
304	NxMin	[pp+perm+pp fondazioni] {SEISMIC 1-}	0,9435	-0,2628	-3,5905	0,1232	1,0477	0,2269
304	VyMax	[pp+perm+pp fondazioni] {SEISMIC 1+}	1,5706	0,2213	-3,6115	0,1232	1,6504	0,1877
304	VyMin	[pp+perm+pp fondazioni] {SEISMIC 1-}	1,5706	-0,2628	-3,6115	0,1232	1,6504	0,1877
304	VzMax	[pp+perm+pp fondazioni] {SEISMIC 1+}	1,5629	-0,2628	-3,3360	0,1232	1,0477	0,2269
304	VzMin	[1,3*pp+perm+1,3*pp fondazioni] {1,5*neve} (1,5*0,6*vento)	5,1088	-0,1929	-14,0503	0,0387	6,3968	-0,0112
304	TxMax	[pp+perm+pp fondazioni] {SEISMIC 1+}	1,5706	-0,2628	-3,6115	0,1232	1,6504	0,1877
304	TxMin	[pp+perm+pp fondazioni] {SEISMIC 1-}	1,5706	-0,2628	-3,6115	-0,0964	1,6504	0,1877
304	MyMax	[1,3*pp+perm+1,3*pp fondazioni] {1,5*neve} (1,5*0,6*vento)	5,1088	-0,1929	-14,0503	0,0387	6,3968	-0,0112
304	MyMin	[pp+perm+pp fondazioni] {SEISMIC 1-}	1,5629	-0,2628	-3,5905	0,1232	1,0148	0,2269

304	MzMax	[pp+perm+pp fondazioni] {SEISMIC 1+}	1,5629	-0,2628	-3,5905	0,1232	1,0477	0,2269
304	MzMin	[pp+perm+pp fondazioni] {SEISMIC 1-}	1,5629	-0,2628	-3,5905	0,1232	1,0477	-0,2033
305	NxMax	[1,3*pp+perm+pp fondazioni] {1,5*neve} (1,5*0,6*vento)	1,9299	0,0484	-5,0120	-0,0408	4,0735	0,0253
305	NxMin	[pp+perm+pp fondazioni] {SEISMIC 1-}	0,3433	0,0895	-1,2716	-0,0351	-0,0263	-0,0919
305	VyMax	[pp+perm+pp fondazioni] {SEISMIC 1+}	0,6251	0,0895	-1,3746	-0,0351	1,0729	0,1283
305	VyMin	[pp+perm+pp fondazioni] {SEISMIC 1-}	0,6251	-0,0525	-1,3746	-0,0351	1,0729	0,1283
305	VzMax	[pp+perm+pp fondazioni] {SEISMIC 1+}	0,5872	0,0895	-1,1602	-0,0351	-0,0263	-0,0919
305	VzMin	[1,3*pp+perm+pp fondazioni] {1,5*neve} (1,5*0,6*vento)	1,9299	0,0484	-5,0120	-0,0408	4,0735	0,0253
305	TxMax	[pp+perm+pp fondazioni] {SEISMIC 1+}	0,6251	0,0895	-1,3746	0,0190	1,0729	0,1283
305	TxMin	[1,3*pp+perm+pp fondazioni] {1,5*neve} (1,5*0,6*vento)	1,9299	0,0484	-5,0120	-0,0408	4,0735	0,0253
305	MyMax	[1,3*pp+perm+pp fondazioni] {1,5*neve} (1,5*0,6*vento)	1,9299	0,0484	-5,0120	-0,0408	4,0735	0,0253
305	MyMin	[1,3*pp+perm+pp fondazioni] {1,5*neve} (1,5*0,6*vento)	1,8806	0,0484	-4,8781	-0,0408	-0,0346	-0,0149
305	MzMax	[pp+perm+pp fondazioni] {SEISMIC 1+}	0,6251	0,0895	-1,3746	-0,0351	1,0729	0,1283
305	MzMin	[pp+perm+pp fondazioni] {SEISMIC 1-}	0,6251	0,0895	-1,3746	-0,0351	1,0729	-0,1039
308	NxMax	[pp+perm+pp fondazioni] {SEISMIC 1+}	-11,0317	-0,4966	2,6072	-0,0553	-0,8489	-0,0470
308	NxMin	[1,3*pp+perm+1,3*pp fondazioni] {1,5*neve} (1,5*0,6*vento)	-45,7392	-0,0742	11,0663	-0,0655	6,3883	0,0238
308	VyMax	[pp+perm+pp fondazioni] {SEISMIC 1+}	-12,0384	0,4337	2,6072	-0,0553	-0,8489	-0,0470
308	VyMin	[pp+perm+pp fondazioni] {SEISMIC 1-}	-12,0384	-0,4966	2,6072	-0,0553	-0,8489	-0,0470
308	VzMax	[1,3*pp+perm+pp fondazioni] {1,5*neve} (1,5*0,6*vento)	-45,7392	-0,0742	11,0663	-0,0655	6,3883	0,0238
308	VzMin	[pp+perm+pp fondazioni] {SEISMIC 1-}	-12,0384	-0,4966	2,5165	-0,0553	-0,8489	-0,0470
308	TxMax	[pp+perm+pp fondazioni] {SEISMIC 1+}	-12,0384	-0,4966	2,6072	0,0202	-0,8489	-0,0470
308	TxMin	[1,3*pp+perm+1,3*pp fondazioni] {1,5*neve} (1,5*0,6*vento)	-45,6910	-0,0742	10,9357	-0,0655	-2,5339	-0,0364
308	MyMax	[1,3*pp+perm+pp fondazioni] {1,5*neve} (1,5*0,6*vento)	-45,7392	-0,0742	11,0663	-0,0655	6,3883	0,0238
308	MyMin	[1,3*pp+perm+pp fondazioni] {1,5*neve} (1,5*0,6*vento)	-45,6910	-0,0742	10,9357	-0,0655	-2,5339	-0,0364
308	MzMax	[pp+perm+pp fondazioni] {SEISMIC 1+}	-12,0754	-0,4966	2,7078	-0,0553	1,6012	0,3701
308	MzMin	[pp+perm+pp fondazioni] {SEISMIC 1-}	-12,0754	-0,4966	2,7078	-0,0553	1,6012	-0,3423
311	NxMax	[pp+perm+pp fondazioni] {SEISMIC 1+}	-10,3883	0,4468	0,3182	-0,0106	-1,0656	0,3250
311	NxMin	[1,3*pp+perm+pp fondazioni] {1,5*neve} (1,5*0,6*vento)	-42,2568	0,0705	1,5555	-0,0076	-2,5277	-0,0387
311	VyMax	[pp+perm+pp fondazioni] {SEISMIC 1+}	-10,9714	0,4468	0,3182	-0,0106	-1,0656	0,3250
311	VyMin	[pp+perm+pp fondazioni] {SEISMIC 1-}	-10,9714	-0,4147	0,3182	-0,0106	-1,0656	0,3250
311	VzMax	[1,3*pp+perm+pp fondazioni] {1,5*neve} (1,5*0,6*vento)	-42,2568	0,0705	1,5555	-0,0076	-2,5277	-0,0387
311	VzMin	[pp+perm+pp fondazioni] {SEISMIC 1-}	-10,9714	0,4468	0,1338	-0,0106	-1,0656	0,3250
311	TxMax	[pp+perm+pp fondazioni] {SEISMIC 1+}	-10,9714	0,4468	0,3182	0,0056	-1,0656	0,3250
311	TxMin	[pp+perm+pp fondazioni] {SEISMIC 1-}	-10,9714	0,4468	0,3182	-0,0106	-1,0656	0,3250
311	MyMax	[pp+perm+pp fondazioni] {SEISMIC 1+}	-11,0161	0,4468	0,4397	-0,0106	-0,5225	-0,1195
311	MyMin	[1,3*pp+perm+pp fondazioni] {1,5*neve} (1,5*0,6*vento)	-42,1986	0,0705	1,3976	-0,0076	-3,9748	0,0303
311	MzMax	[pp+perm+pp fondazioni] {SEISMIC 1+}	-10,9714	0,4468	0,3182	-0,0106	-1,0656	0,3250
311	MzMin	[pp+perm+pp fondazioni] {SEISMIC 1-}	-10,9714	0,4468	0,3182	-0,0106	-1,0656	-0,3156
314	NxMax	[pp+perm+pp fondazioni] {SEISMIC 1+}	-9,2482	0,1072	-3,7056	0,1597	1,4192	-0,4118
314	NxMin	[1,3*pp+perm+1,3*pp fondazioni] {1,5*neve} (1,5*0,6*vento)	-36,6328	0,0941	-13,7844	0,0950	3,6225	-0,1811
314	VyMax	[pp+perm+pp fondazioni] {SEISMIC 1+}	-9,3781	0,1072	-3,7056	0,1597	1,4192	-0,4118
314	VyMin	[pp+perm+pp fondazioni] {SEISMIC 1-}	-9,3781	-0,0604	-3,7056	0,1597	1,4192	-0,4118
314	VzMax	[pp+perm+pp fondazioni] {SEISMIC 1+}	-9,3837	0,1072	-3,2917	0,1597	0,9672	-0,4121
314	VzMin	[1,3*pp+perm+pp fondazioni] {1,5*neve} (1,5*0,6*vento)	-36,6255	0,0941	-13,8041	0,0950	5,3092	-0,1695
314	TxMax	[pp+perm+pp fondazioni] {SEISMIC 1+}	-9,3781	0,1072	-3,7056	0,1597	1,4192	-0,4118
314	TxMin	[pp+perm+pp fondazioni] {SEISMIC 1-}	-9,3781	0,1072	-3,7056	-0,1106	1,4192	-0,4118
314	MyMax	[1,3*pp+perm+pp fondazioni] {1,5*neve} (1,5*0,6*vento)	-36,6255	0,0941	-13,8041	0,0950	5,3092	-0,1695
314	MyMin	[pp+perm+pp fondazioni] {SEISMIC 1-}	-9,3837	0,1072	-3,6905	0,1597	0,9336	-0,4121

314	MzMax	[pp+perm+pp fondazioni] {SEISMIC 1+}	-9,3781	0,1072	-3,7056	0,1597	1,4192	0,3214
314	MzMin	[pp+perm+pp fondazioni] {SEISMIC 1-}	-9,3837	0,1072	-3,6905	0,1597	0,9672	-0,4121
315	NxMax	[pp+perm+pp fondazioni] {SEISMIC 1+}	-9,7623	-0,2745	-2,1824	0,0571	0,9876	-0,4707
315	NxMin	[1,3*pp+perm+1,3*pp fondazioni] {1,5*neve} (1,5*0,6*vento)	-38,8284	-0,2317	-7,6688	0,0521	-3,9656	0,0499
315	VyMax	[pp+perm+pp fondazioni] {SEISMIC 1+}	-9,9209	0,1555	-2,1824	0,0571	0,9876	-0,4707
315	VyMin	[pp+perm+pp fondazioni] {SEISMIC 1-}	-9,9209	-0,2745	-2,1824	0,0571	0,9876	-0,4707
315	VzMax	[pp+perm+pp fondazioni] {SEISMIC 1+}	-9,9656	-0,2745	-1,7545	0,0571	-1,0917	0,2393
315	VzMin	[1,3*pp+perm+1,3*pp fondazioni] {1,5*neve} (1,5*0,6*vento)	-38,7702	-0,2317	-7,8266	0,0521	3,6272	-0,1772
315	TxMax	[pp+perm+pp fondazioni] {SEISMIC 1+}	-9,9209	-0,2745	-2,1824	0,0571	0,9876	-0,4707
315	TxMin	[pp+perm+pp fondazioni] {SEISMIC 1-}	-9,9209	-0,2745	-2,1824	-0,0307	0,9876	-0,4707
315	MyMax	[1,3*pp+perm+1,3*pp fondazioni] {1,5*neve} (1,5*0,6*vento)	-38,7702	-0,2317	-7,8266	0,0521	3,6272	-0,1772
315	MyMin	[1,3*pp+perm+1,3*pp fondazioni] {1,5*neve} (1,5*0,6*vento)	-38,8284	-0,2317	-7,6688	0,0521	-3,9656	0,0499
315	MzMax	[pp+perm+pp fondazioni] {SEISMIC 1+}	-9,9209	-0,2745	-2,1824	0,0571	0,9876	0,3753
315	MzMin	[pp+perm+pp fondazioni] {SEISMIC 1-}	-9,9209	-0,2745	-2,1824	0,0571	0,9876	-0,4707
318	NxMax	[pp+perm+pp fondazioni] {SEISMIC 1+}	-0,9851	-0,4958	2,6618	-0,1169	-1,3369	-0,1608
318	NxMin	[1,3*pp+perm+1,3*pp fondazioni] {1,5*neve} (1,5*0,6*vento)	-5,4493	-0,2703	10,2714	-0,1603	-3,0641	-0,1266
318	VyMax	[pp+perm+pp fondazioni] {SEISMIC 1+}	-1,7047	0,3471	2,6618	-0,1169	-1,3369	-0,1608
318	VyMin	[pp+perm+pp fondazioni] {SEISMIC 1-}	-1,7047	-0,4958	2,6618	-0,1169	-1,3369	-0,1608
318	VzMax	[1,3*pp+perm+pp fondazioni] {1,5*neve} (1,5*0,6*vento)	-5,4493	-0,2703	10,2714	-0,1603	-3,0641	-0,1266
318	VzMin	[pp+perm+pp fondazioni] {SEISMIC 1-}	-1,7047	-0,4958	2,5531	-0,1169	-1,3369	-0,1608
318	TxMax	[pp+perm+pp fondazioni] {SEISMIC 1+}	-1,7047	-0,4958	2,6618	0,0348	-1,3369	-0,1608
318	TxMin	[1,3*pp+perm+1,3*pp fondazioni] {1,5*neve} (1,5*0,6*vento)	-5,4392	-0,2703	10,2441	-0,1603	-4,7973	-0,1723
318	MyMax	[pp+perm+pp fondazioni] {SEISMIC 1+}	-1,7125	-0,4958	2,6828	-0,1169	-0,6377	-0,2168
318	MyMin	[1,3*pp+perm+pp fondazioni] {1,5*neve} (1,5*0,6*vento)	-5,4392	-0,2703	10,2441	-0,1603	-4,7973	-0,1723
318	MzMax	[pp+perm+pp fondazioni] {SEISMIC 1+}	-1,7125	-0,4958	2,6828	-0,1169	-0,8904	0,1554
318	MzMin	[pp+perm+pp fondazioni] {SEISMIC 1-}	-1,7125	-0,4958	2,6828	-0,1169	-0,8904	-0,2168
319	NxMax	[pp+perm+pp fondazioni] {SEISMIC 1+}	-1,1946	-1,0932	3,5372	-0,1048	-0,8824	-0,1034
319	NxMin	[1,3*pp+perm+1,3*pp fondazioni] {1,5*neve} (1,5*0,6*vento)	-6,9803	-2,7688	14,3659	-0,2708	1,3552	0,7660
319	VyMax	[pp+perm+pp fondazioni] {SEISMIC 1+}	-2,1383	-0,3381	3,5372	-0,1048	-0,8824	-0,1034
319	VyMin	[1,3*pp+perm+pp fondazioni] {1,5*neve} (1,5*0,6*vento)	-6,9619	-2,7688	14,3159	-0,2708	-3,0989	-0,0939
319	VzMax	[1,3*pp+perm+pp fondazioni] {1,5*neve} (1,5*0,6*vento)	-6,9803	-2,7688	14,3659	-0,2708	1,3552	0,7660
319	VzMin	[pp+perm+pp fondazioni] {SEISMIC 1-}	-2,1383	-1,0932	3,3918	-0,1048	-0,8824	-0,1034
319	TxMax	[pp+perm+pp fondazioni] {SEISMIC 1+}	-2,1383	-1,0932	3,5372	-0,0358	-0,8824	-0,1034
319	TxMin	[1,3*pp+perm+1,3*pp fondazioni] {1,5*neve} (1,5*0,6*vento)	-6,9619	-2,7688	14,3159	-0,2708	-3,0989	-0,0939
319	MyMax	[1,3*pp+perm+pp fondazioni] {1,5*neve} (1,5*0,6*vento)	-6,9803	-2,7688	14,3659	-0,2708	1,3552	0,7660
319	MyMin	[1,3*pp+perm+pp fondazioni] {1,5*neve} (1,5*0,6*vento)	-6,9619	-2,7688	14,3159	-0,2708	-3,0989	-0,0939
319	MzMax	[1,3*pp+perm+pp fondazioni] {1,5*neve} (1,5*0,6*vento)	-6,9803	-2,7688	14,3659	-0,2708	1,3552	0,7660
319	MzMin	[pp+perm+pp fondazioni] {SEISMIC 1-}	-2,1383	-1,0932	3,5372	-0,1048	-0,8824	-0,1034
322	NxMax	[pp+perm+pp fondazioni] {SEISMIC 1+}	-5,6493	-0,5073	0,6279	-0,0758	-1,2947	-0,1187
322	NxMin	[1,3*pp+perm+1,3*pp fondazioni] {1,5*neve} (1,5*0,6*vento)	-24,9470	-0,3321	3,3684	-0,2234	-2,0381	-0,0121
322	VyMax	[pp+perm+pp fondazioni] {SEISMIC 1+}	-6,4083	0,3260	0,6279	-0,0758	-1,2947	-0,1187
322	VyMin	[pp+perm+pp fondazioni] {SEISMIC 1-}	-6,4083	-0,5073	0,6279	-0,0758	-1,2947	-0,1187
322	VzMax	[1,3*pp+perm+pp fondazioni] {1,5*neve} (1,5*0,6*vento)	-24,9470	-0,3321	3,3684	-0,2234	-2,0381	-0,0121
322	VzMin	[pp+perm+pp fondazioni] {SEISMIC 1-}	-6,4083	-0,5073	0,5364	-0,0758	-1,2947	-0,1187
322	TxMax	[pp+perm+pp fondazioni] {SEISMIC 1+}	-6,4083	-0,5073	0,6279	-0,0398	-1,2947	-0,1187
322	TxMin	[1,3*pp+perm+1,3*pp fondazioni] {1,5*neve} (1,5*0,6*vento)	-24,8988	-0,3321	3,2377	-0,2234	-4,7170	-0,2814
322	MyMax	[pp+perm+pp fondazioni] {SEISMIC 1+}	-6,4453	-0,5073	0,7285	-0,0758	-0,6717	-0,3310
322	MyMin	[1,3*pp+perm+pp fondazioni] {1,5*neve} (1,5*0,6*vento)	-24,8988	-0,3321	3,2377	-0,2234	-4,7170	-0,2814

322	MzMax	[pp+perm+pp fondazioni] {SEISMIC 1+}	-6,4453	-0,5073	0,7285	-0,0758	-0,7497	0,3301
322	MzMin	[pp+perm+pp fondazioni] {SEISMIC 1-}	-6,4453	-0,5073	0,7285	-0,0758	-0,7497	-0,3310
325	NxMax	[pp+perm+pp fondazioni] {SEISMIC 1+}	-5,4135	0,4809	-0,5833	-0,0309	-0,8065	-0,3257
325	NxMin	[1,3*pp+perm+1,3*pp fondazioni] {1,5*neve} (1,5*0,6*vento)	-23,2599	0,1883	-1,5726	-0,0562	-4,7322	-0,2353
325	VyMax	[pp+perm+pp fondazioni] {SEISMIC 1+}	-5,8746	0,4809	-0,5833	-0,0309	-0,8065	-0,3257
325	VyMin	[pp+perm+pp fondazioni] {SEISMIC 1-}	-5,8746	-0,3832	-0,5833	-0,0309	-0,8065	-0,3257
325	VzMax	[pp+perm+pp fondazioni] {SEISMIC 1+}	-5,9194	0,4809	-0,4123	-0,0309	-1,3177	-0,1866
325	VzMin	[1,3*pp+perm+pp fondazioni] {1,5*neve} (1,5*0,6*vento)	-23,2017	0,1883	-1,7305	-0,0562	-3,1137	-0,0508
325	TxMax	[pp+perm+pp fondazioni] {SEISMIC 1+}	-5,8746	0,4809	-0,5833	0,0019	-0,8065	-0,3257
325	TxMin	[1,3*pp+perm+1,3*pp fondazioni] {1,5*neve} (1,5*0,6*vento)	-23,2017	0,1883	-1,7305	-0,0562	-3,1137	-0,0508
325	MyMax	[pp+perm+pp fondazioni] {SEISMIC 1+}	-5,8746	0,4809	-0,5833	-0,0309	-0,6740	-0,3257
325	MyMin	[1,3*pp+perm+pp fondazioni] {1,5*neve} (1,5*0,6*vento)	-23,2599	0,1883	-1,5726	-0,0562	-4,7322	-0,2353
325	MzMax	[pp+perm+pp fondazioni] {SEISMIC 1+}	-5,8746	0,4809	-0,5833	-0,0309	-0,8065	0,2960
325	MzMin	[pp+perm+pp fondazioni] {SEISMIC 1-}	-5,8746	0,4809	-0,5833	-0,0309	-0,8065	-0,3257
328	NxMax	[pp+perm+pp fondazioni] {SEISMIC 1+}	-5,0514	0,0563	-2,1863	0,1920	1,2057	-0,4818
328	NxMin	[1,3*pp+perm+1,3*pp fondazioni] {1,5*neve} (1,5*0,6*vento)	-20,8997	0,0530	-8,4121	0,2030	3,6755	-0,4362
328	VyMax	[pp+perm+pp fondazioni] {SEISMIC 1+}	-5,2086	0,0563	-2,1863	0,1920	1,2057	-0,4818
328	VyMin	[pp+perm+pp fondazioni] {SEISMIC 1-}	-5,2086	-0,0209	-2,1863	0,1920	1,2057	-0,4818
328	VzMax	[pp+perm+pp fondazioni] {SEISMIC 1+}	-5,2142	0,0563	-1,9367	0,1920	0,9484	-0,4816
328	VzMin	[1,3*pp+perm+pp fondazioni] {1,5*neve} (1,5*0,6*vento)	-20,8924	0,0530	-8,4318	0,2030	4,7053	-0,4297
328	TxMax	[1,3*pp+perm+1,3*pp fondazioni] {1,5*neve} (1,5*0,6*vento)	-20,8924	0,0530	-8,4318	0,2030	4,7053	-0,4297
328	TxMin	[pp+perm+pp fondazioni] {SEISMIC 1-}	-5,2086	0,0563	-2,1863	-0,0846	1,2057	-0,4818
328	MyMax	[1,3*pp+perm+pp fondazioni] {1,5*neve} (1,5*0,6*vento)	-20,8924	0,0530	-8,4318	0,2030	4,7053	-0,4297
328	MyMin	[pp+perm+pp fondazioni] {SEISMIC 1-}	-5,2142	0,0563	-2,1711	0,1920	0,9364	-0,4816
328	MzMax	[pp+perm+pp fondazioni] {SEISMIC 1+}	-5,2086	0,0563	-2,1863	0,1920	1,2057	0,2571
328	MzMin	[pp+perm+pp fondazioni] {SEISMIC 1-}	-5,2086	0,0563	-2,1863	0,1920	1,2057	-0,4818
329	NxMax	[pp+perm+pp fondazioni] {SEISMIC 1+}	-5,1360	-0,3452	-1,8748	0,0797	0,9475	-0,5390
329	NxMin	[1,3*pp+perm+pp fondazioni] {1,5*neve} (1,5*0,6*vento)	-21,4856	-0,4801	-6,8788	0,1266	-3,1421	0,0255
329	VyMax	[pp+perm+pp fondazioni] {SEISMIC 1+}	-5,3418	0,0994	-1,8748	0,0797	0,9475	-0,5390
329	VyMin	[1,3*pp+perm+pp fondazioni] {1,5*neve} (1,5*0,6*vento)	-21,4274	-0,4801	-7,0367	0,1266	3,6765	-0,4450
329	VzMax	[pp+perm+pp fondazioni] {SEISMIC 1+}	-5,3866	-0,3452	-1,5741	0,0797	-0,8322	0,2186
329	VzMin	[1,3*pp+perm+1,3*pp fondazioni] {1,5*neve} (1,5*0,6*vento)	-21,4274	-0,4801	-7,0367	0,1266	3,6765	-0,4450
329	TxMax	[1,3*pp+perm+1,3*pp fondazioni] {1,5*neve} (1,5*0,6*vento)	-21,4274	-0,4801	-7,0367	0,1266	3,6765	-0,4450
329	TxMin	[pp+perm+pp fondazioni] {SEISMIC 1-}	-5,3418	-0,3452	-1,8748	-0,0143	0,9475	-0,5390
329	MyMax	[1,3*pp+perm+1,3*pp fondazioni] {1,5*neve} (1,5*0,6*vento)	-21,4274	-0,4801	-7,0367	0,1266	3,6765	-0,4450
329	MyMin	[1,3*pp+perm+1,3*pp fondazioni] {1,5*neve} (1,5*0,6*vento)	-21,4856	-0,4801	-6,8788	0,1266	-3,1421	0,0255
329	MzMax	[pp+perm+pp fondazioni] {SEISMIC 1+}	-5,3418	-0,3452	-1,8748	0,0797	0,9475	0,3065
329	MzMin	[pp+perm+pp fondazioni] {SEISMIC 1-}	-5,3418	-0,3452	-1,8748	0,0797	0,9475	-0,5390
332	NxMax	[pp+perm+pp fondazioni] {SEISMIC 1+}	-0,3629	0,7956	2,8592	0,1301	-1,3332	0,1453
332	NxMin	[1,3*pp+perm+1,3*pp fondazioni] {1,5*neve} (1,5*0,6*vento)	-2,9656	1,7983	9,2763	0,2240	-2,6233	-0,1107
332	VyMax	[1,3*pp+perm+1,3*pp fondazioni] {1,5*neve} (1,5*0,6*vento)	-2,9556	1,7983	9,2491	0,2240	-4,1884	0,1932
332	VyMin	[pp+perm+pp fondazioni] {SEISMIC 1-}	-1,2190	0,0767	2,8592	0,1301	-1,3332	0,1453
332	VzMax	[1,3*pp+perm+pp fondazioni] {1,5*neve} (1,5*0,6*vento)	-2,9656	1,7983	9,2763	0,2240	-2,6233	-0,1107
332	VzMin	[pp+perm+pp fondazioni] {SEISMIC 1-}	-1,2190	0,7956	2,4148	0,1301	-1,3332	0,1453
332	TxMax	[1,3*pp+perm+1,3*pp fondazioni] {1,5*neve} (1,5*0,6*vento)	-2,9556	1,7983	9,2491	0,2240	-4,1884	0,1932
332	TxMin	[pp+perm+pp fondazioni] {SEISMIC 1-}	-1,2190	0,7956	2,8592	-0,0232	-1,3332	0,1453
332	MyMax	[pp+perm+pp fondazioni] {SEISMIC 1+}	-1,2267	0,7956	2,8802	0,1301	-0,5807	-0,1944
332	MyMin	[1,3*pp+perm+pp fondazioni] {1,5*neve} (1,5*0,6*vento)	-2,9556	1,7983	9,2491	0,2240	-4,1884	0,1932

332	MzMax	[1,3*pp+perm+1,3*pp fondazioni] {1,5*neve} (1,5*0,6*vento)	-2,9556	1,7983	9,2491	0,2240	-4,1884	0,1932
332	MzMin	[pp+perm+pp fondazioni] {SEISMIC 1-}	-1,2267	0,7956	2,8802	0,1301	-0,8739	-0,1944
333	NxMax	[pp+perm+pp fondazioni] {SEISMIC 1+}	-0,6181	1,4320	3,7278	0,2333	-0,8642	0,1355
333	NxMin	[1,3*pp+perm+1,3*pp fondazioni] {1,5*neve} (1,5*0,6*vento)	-4,3765	5,2585	12,9156	0,8350	1,3769	-1,3805
333	VyMax	[1,3*pp+perm+1,3*pp fondazioni] {1,5*neve} (1,5*0,6*vento)	-4,3581	5,2585	12,8656	0,8350	-2,6267	0,2528
333	VyMin	[pp+perm+pp fondazioni] {SEISMIC 1-}	-1,6379	1,1741	3,7278	0,2333	-0,8642	0,1355
333	VzMax	[1,3*pp+perm+pp fondazioni] {1,5*neve} (1,5*0,6*vento)	-4,3765	5,2585	12,9156	0,8350	1,3769	-1,3805
333	VzMin	[pp+perm+pp fondazioni] {SEISMIC 1-}	-1,6379	1,4320	3,2761	0,2333	-0,8642	0,1355
333	TxMax	[1,3*pp+perm+1,3*pp fondazioni] {1,5*neve} (1,5*0,6*vento)	-4,3581	5,2585	12,8656	0,8350	-2,6267	0,2528
333	TxMin	[pp+perm+pp fondazioni] {SEISMIC 1-}	-1,6379	1,4320	3,7278	0,1691	-0,8642	0,1355
333	MyMax	[1,3*pp+perm+pp fondazioni] {1,5*neve} (1,5*0,6*vento)	-4,3765	5,2585	12,9156	0,8350	1,3769	-1,3805
333	MyMin	[1,3*pp+perm+pp fondazioni] {1,5*neve} (1,5*0,6*vento)	-4,3581	5,2585	12,8656	0,8350	-2,6267	0,2528
333	MzMax	[1,3*pp+perm+1,3*pp fondazioni] {1,5*neve} (1,5*0,6*vento)	-4,3581	5,2585	12,8656	0,8350	-2,6267	0,2528
333	MzMin	[1,3*pp+perm+1,3*pp fondazioni] {1,5*neve} (1,5*0,6*vento)	-4,3765	5,2585	12,9156	0,8350	1,3769	-1,3805
336	NxMax	[pp+perm+pp fondazioni] {SEISMIC 1+}	-5,3547	0,8408	0,4560	0,1640	-1,1735	0,2404
336	NxMin	[1,3*pp+perm+1,3*pp fondazioni] {1,5*neve} (1,5*0,6*vento)	-22,0594	2,0611	2,4795	0,6556	-1,8221	-0,8302
336	VyMax	[1,3*pp+perm+1,3*pp fondazioni] {1,5*neve} (1,5*0,6*vento)	-22,0113	2,0611	2,3488	0,6556	-3,7801	0,8414
336	VyMin	[pp+perm+pp fondazioni] {SEISMIC 1-}	-6,5674	0,1582	0,4560	0,1640	-1,1735	0,2404
336	VzMax	[1,3*pp+perm+pp fondazioni] {1,5*neve} (1,5*0,6*vento)	-22,0594	2,0611	2,4795	0,6556	-1,8221	-0,8302
336	VzMin	[pp+perm+pp fondazioni] {SEISMIC 1-}	-6,5674	0,8408	0,4289	0,1640	-1,1735	0,2404
336	TxMax	[1,3*pp+perm+1,3*pp fondazioni] {1,5*neve} (1,5*0,6*vento)	-22,0113	2,0611	2,3488	0,6556	-3,7801	0,8414
336	TxMin	[pp+perm+pp fondazioni] {SEISMIC 1-}	-6,5674	0,8408	0,4560	0,1509	-1,1735	0,2404
336	MyMax	[pp+perm+pp fondazioni] {SEISMIC 1+}	-6,6044	0,8408	0,5565	0,1640	-0,6353	-0,4999
336	MyMin	[1,3*pp+perm+pp fondazioni] {1,5*neve} (1,5*0,6*vento)	-22,0113	2,0611	2,3488	0,6556	-3,7801	0,8414
336	MzMax	[1,3*pp+perm+1,3*pp fondazioni] {1,5*neve} (1,5*0,6*vento)	-22,0113	2,0611	2,3488	0,6556	-3,7801	0,8414
336	MzMin	[1,3*pp+perm+1,3*pp fondazioni] {1,5*neve} (1,5*0,6*vento)	-22,0594	2,0611	2,4795	0,6556	-1,8221	-0,8302
339	NxMax	[pp+perm+pp fondazioni] {SEISMIC 1+}	-5,0659	0,5488	-0,5540	0,0668	-0,6979	0,5184
339	NxMin	[1,3*pp+perm+1,3*pp fondazioni] {1,5*neve} (1,5*0,6*vento)	-20,5156	0,6392	-1,2897	0,1687	-3,7643	0,3763
339	VyMax	[1,3*pp+perm+1,3*pp fondazioni] {1,5*neve} (1,5*0,6*vento)	-20,4574	0,6392	-1,4476	0,1687	-2,4230	1,0027
339	VyMin	[pp+perm+pp fondazioni] {SEISMIC 1-}	-6,0629	-0,2405	-0,5540	0,0668	-0,6979	0,5184
339	VzMax	[pp+perm+pp fondazioni] {SEISMIC 1+}	-6,1076	0,5488	-0,3746	0,0668	-1,1812	0,1995
339	VzMin	[1,3*pp+perm+1,3*pp fondazioni] {1,5*neve} (1,5*0,6*vento)	-20,4574	0,6392	-1,4476	0,1687	-2,4230	1,0027
339	TxMax	[1,3*pp+perm+1,3*pp fondazioni] {1,5*neve} (1,5*0,6*vento)	-20,4574	0,6392	-1,4476	0,1687	-2,4230	1,0027
339	TxMin	[pp+perm+pp fondazioni] {SEISMIC 1-}	-6,0629	0,5488	-0,5540	0,0165	-0,6979	0,5184
339	MyMax	[pp+perm+pp fondazioni] {SEISMIC 1+}	-6,0629	0,5488	-0,5540	0,0668	-0,5828	0,5184
339	MyMin	[1,3*pp+perm+1,3*pp fondazioni] {1,5*neve} (1,5*0,6*vento)	-20,5156	0,6392	-1,2897	0,1687	-3,7643	0,3763
339	MzMax	[1,3*pp+perm+1,3*pp fondazioni] {1,5*neve} (1,5*0,6*vento)	-20,4574	0,6392	-1,4476	0,1687	-2,4230	1,0027
339	MzMin	[pp+perm+pp fondazioni] {SEISMIC 1-}	-6,0629	0,5488	-0,5540	0,0668	-0,6979	-0,0438
342	NxMax	[pp+perm+pp fondazioni] {SEISMIC 1+}	-4,6291	0,0845	-2,1784	-0,3204	1,0229	0,8342
342	NxMin	[1,3*pp+perm+1,3*pp fondazioni] {1,5*neve} (1,5*0,6*vento)	-18,0919	0,1404	-7,3856	-0,8350	2,5208	2,0910
342	VyMax	[1,3*pp+perm+1,3*pp fondazioni] {1,5*neve} (1,5*0,6*vento)	-18,0847	0,1404	-7,4053	-0,8350	3,4251	2,1082
342	VyMin	[pp+perm+pp fondazioni] {SEISMIC 1-}	-5,2996	-0,0031	-2,1784	-0,3204	1,0229	0,8342
342	VzMax	[pp+perm+pp fondazioni] {SEISMIC 1+}	-5,3051	0,0845	-1,8596	-0,3204	0,7617	0,8273
342	VzMin	[1,3*pp+perm+pp fondazioni] {1,5*neve} (1,5*0,6*vento)	-18,0847	0,1404	-7,4053	-0,8350	3,4251	2,1082
342	TxMax	[pp+perm+pp fondazioni] {SEISMIC 1+}	-5,2996	0,0845	-2,1784	-0,0894	1,0229	0,8342
342	TxMin	[1,3*pp+perm+1,3*pp fondazioni] {1,5*neve} (1,5*0,6*vento)	-18,0847	0,1404	-7,4053	-0,8350	3,4251	2,1082
342	MyMax	[1,3*pp+perm+pp fondazioni] {1,5*neve} (1,5*0,6*vento)	-18,0847	0,1404	-7,4053	-0,8350	3,4251	2,1082
342	MyMin	[pp+perm+pp fondazioni] {SEISMIC 1-}	-5,3051	0,0845	-2,1633	-0,3204	0,7054	0,8273

342	MzMax	[1,3*pp+perm+1,3*pp fondazioni] {1,5*neve} (1,5*0,6*vento)	-18,0847	0,1404	-7,4053	-0,8350	3,4251	2,1082
342	MzMin	[pp+perm+pp fondazioni] {SEISMIC 1-}	-5,3051	0,0845	-2,1633	-0,3204	0,7617	0,2048
343	NxMax	[pp+perm+pp fondazioni] {SEISMIC 1+}	-4,7840	0,6122	-1,5373	-0,1487	0,7582	0,9191
343	NxMin	[1,3*pp+perm+pp fondazioni] {1,5*neve} (1,5*0,6*vento)	-19,0083	1,8220	-4,9432	-0,4383	-2,4026	0,4972
343	VyMax	[1,3*pp+perm+1,3*pp fondazioni] {1,5*neve} (1,5*0,6*vento)	-18,9501	1,8220	-5,1011	-0,4383	2,5191	2,2828
343	VyMin	[pp+perm+pp fondazioni] {SEISMIC 1-}	-5,5751	0,3124	-1,5373	-0,1487	0,7582	0,9191
343	VzMax	[pp+perm+pp fondazioni] {SEISMIC 1+}	-5,6199	0,6122	-1,2555	-0,1487	-0,7056	0,3298
343	VzMin	[1,3*pp+perm+1,3*pp fondazioni] {1,5*neve} (1,5*0,6*vento)	-18,9501	1,8220	-5,1011	-0,4383	2,5191	2,2828
343	TxMax	[pp+perm+pp fondazioni] {SEISMIC 1+}	-5,5751	0,6122	-1,5373	-0,0612	0,7582	0,9191
343	TxMin	[1,3*pp+perm+1,3*pp fondazioni] {1,5*neve} (1,5*0,6*vento)	-18,9501	1,8220	-5,1011	-0,4383	2,5191	2,2828
343	MyMax	[1,3*pp+perm+1,3*pp fondazioni] {1,5*neve} (1,5*0,6*vento)	-18,9501	1,8220	-5,1011	-0,4383	2,5191	2,2828
343	MyMin	[1,3*pp+perm+1,3*pp fondazioni] {1,5*neve} (1,5*0,6*vento)	-19,0083	1,8220	-4,9432	-0,4383	-2,4026	0,4972
343	MzMax	[1,3*pp+perm+1,3*pp fondazioni] {1,5*neve} (1,5*0,6*vento)	-18,9501	1,8220	-5,1011	-0,4383	2,5191	2,2828
343	MzMin	[pp+perm+pp fondazioni] {SEISMIC 1-}	-5,6199	0,6122	-1,4158	-0,1487	-0,7056	-0,1048

Sollecitazioni aste globali di calcolo critiche del progetto SLO

	Asta	Nx [kN]	Vy [kN]	Vz [kN]	Tx [kNm]	My [kNm]	Mz [kNm]	Combinazione
NxMax	11	41,2991	0,0189	-0,6386	-0,0002	0,6591	0,0484	[1,3*pp+perm+1,3*pp fondazioni] {1,5*neve} (1,5*0,6*vento)
NxMin	6	-78,0647	0,5573	-1,6629	-1,5791	1,7344	1,3017	[1,3*pp+perm+1,3*pp fondazioni] {1,5*neve} (1,5*0,6*vento)
VyMax	144	2,4979	8,4697	6,3915	0,8496	2,2127	-1,5090	[1,3*pp+perm+1,3*pp fondazioni] {1,5*neve} (1,5*0,6*vento)
VyMin	78	2,0790	-14,4614	5,8470	-0,0049	2,0190	1,0759	[1,3*pp+perm+1,3*pp fondazioni] {1,5*neve} (1,5*0,6*vento)
VzMax	65	-1,2107	-0,5952	25,8399	1,9226	-3,2666	-0,0461	[1,3*pp+perm+pp fondazioni] {1,5*neve} (1,5*0,6*vento)
VzMin	54	-1,1452	0,3225	-23,4593	0,5560	4,4857	-0,0409	[1,3*pp+perm+1,3*pp fondazioni] {1,5*neve} (1,5*0,6*vento)
TxMax	65	-1,8280	-1,3050	10,4432	4,5957	-5,8433	-0,0569	[pp+perm+pp fondazioni] {SEISMIC 1+}
TxMin	65	-1,8280	-1,3050	10,4432	-3,1648	-5,8433	-0,0569	[pp+perm+pp fondazioni] {SEISMIC 1-}
MyMax	66	-1,2066	-0,5920	18,1388	1,9226	24,2324	0,6958	[1,3*pp+perm+1,3*pp fondazioni] {1,5*neve} (1,5*0,6*vento)
MyMin	70	-0,5647	0,2997	22,7401	-2,8640	-21,1220	0,7803	[1,3*pp+perm+pp fondazioni] {1,5*neve} (1,5*0,6*vento)
MzMax	6	-30,2320	2,7708	-3,6390	-0,9417	10,8520	8,9224	[pp+perm+pp fondazioni] {SEISMIC 1+}
MzMin	6	-30,2320	2,7708	-3,6390	-0,9417	10,8520	-8,3860	[pp+perm+pp fondazioni] {SEISMIC 1-}

VERIFICA PILASTRI CORPO A

GRUPPO

R30 x 25 [6 d 12] F

PILASTRI : P4

PROPRIETA' MATERIALI

Calcestruzzo Rck [daN/cm²] = 300 Acciaio fyk [daN/cm²] = 4500

Coefficiente sicurezza calcestruzzo = 1,5 - Coefficiente sicurezza acciaio = 1,15

PILASTRI - ASTE AXIS

(T) trave/pilastro; (N) nervatura; (R) reticolare

Pilastro: P4_1 - Aste Axis: 24(T)

GEOMETRIA

Tipo Pilastro : Finale Altezza [cm] = 286; Sezione rettangolare Lato Dz [cm] = 30 Lato Dy [cm] = 25

ARMATURA LONGITUDINALE

Numero totale ferri e loro diametro [mm] = 6 d 12; Numero ferri lato Dz = 3 - Numero ferri lato Dy = 2; Copriferro [cm] = 3

ARMATURA TRASVERSALE - STAFFE

Estremità: diametro[mm], passo, estensione = d 8/7 per 49 cm; Centrale: diametro[mm], passo = d 8/14

PILASTRO P4

VERIFICA FLESSIONE (combinazioni statiche)

N lim. trazione [daN]: 26.530 compressione [daN]: -132.322

Sezione	Nsd [daN]	MsdY [daNm]	MsdZ [daNm]	MrdY [daNm]	MrdZ [daNm]	β	η
Piede	-3.195	-111	-114	2.862	2.880	1,74	0,00
Testa	-2.481	42	34	2.791	2.817	1,77	0,00

VERIFICA FLESSIONE SLV (combinazioni sismiche)

Sezione	Nsd [daN]	MsdY [daNm]	$\alpha\Psi$	$\alpha M \sigma \delta \Psi$ [$\delta \alpha N \mu$]	MsdZ [daNm]	αZ	$\alpha M \rho \delta Z$ [$\delta \alpha N \mu$]	MrdY [daNm]	MrdZ [daNm]	β	η
Piede	-1.284	772	1,00	772	-786	1,00	-786	2.671	2.709	1,85	0,20
Testa	-614	34	1,00	34	23	1,00	23	2.603	2.648	1,95	0,00

VERIFICA TAGLIO

Sezione	Vrcd Z [daN]	Vrsd Z [daN]	Vsd Z [daN]	Vrcd Y [daN]	Vrsd Y [daN]	Vsd Y [daN]	FS Z [-]	FS Y [-]
Piede	20408	20408	-257	18883	18883	261		
Testa	20311	20311	-257	18800	18800	261		

VERIFICA AGLI STATI LIMITE D'ESERCIZIO

Valori ammissibili [daN/cm²]: Sigmac(rara): 149 Sigmas(rara): 3150 Sigmac(qp): 112

SigmaC(rara)	SigmaS(rara)	SigmaC(qp)
6,502	84,818	5,201

GRUPPO

R30 x 25 [6 d 12] F

PILASTRI : P8, P7, P6, P2, P1, P5

PROPRIETA' MATERIALI

Calcestruzzo Rck [daN/cm²] = 300 Acciaio fyk [daN/cm²] = 4500

Coefficiente sicurezza calcestruzzo = 1,5 - Coefficiente sicurezza acciaio = 1,15

PILASTRI - ASTE AXIS

(T) trave/pilastro; (N) nervatura; (R) reticolare

Pilastro: P8 - Aste Axis: 4(T)

Pilastro: P7 - Aste Axis: 3(T)

Pilastro: P6 - Aste Axis: 2(T)

Pilastro: P2 - Aste Axis: 5(T)

Pilastro: P1 - Aste Axis: 7(T)

Pilastro: P5 - Aste Axis: 8(T)

GEOMETRIA

Tipo Pilastro : Finale Altezza [cm] = 303; Sezione rettangolare Lato Dz [cm] = 30 Lato Dy [cm] = 25

ARMATURA LONGITUDINALE

Numero totale ferri e loro diametro [mm] = 6 d 12; Numero ferri lato Dz = 3 - Numero ferri lato Dy = 2; Copriferro [cm] = 3

ARMATURA TRASVERSALE - STAFFE

Estremità: diametro[mm], passo, estensione = d 8/7 per 49 cm; Centrale: diametro[mm], passo = d 8/14

PILASTRO P8

VERIFICA FLESSIONE (combinazioni statiche)

N lim. trazione [daN]: 26.530 compressione [daN]: -132.322

Sezione	Nsd [daN]	MsdY [daNm]	MsdZ [daNm]	MrdY [daNm]	MrdZ [daNm]	β	η
Piede	-3.798	33	-231	2.921	2.934	1,72	0,01
Testa	-3.045	-11	55	2.847	2.867	1,74	0,00

VERIFICA FLESSIONE SLV (combinazioni sismiche)

Sezione	Nsd [daN]	MsdY [daNm]	$\alpha\Psi$	$\alpha M\sigma\delta\Psi$ [$\delta\alpha N\mu$]	MsdZ [daNm]	αZ	$\alpha M\rho\delta Z$ [$\delta\alpha N\mu$]	MrdY [daNm]	MrdZ [daNm]	β	η
Piede	-1.304	-848	1,00	-848	-1.264	1,00	-1.264	2.673	2.711	1,85	0,36
Testa	-725	14	1,00	14	43	1,00	43	2.614	2.658	1,93	0,00

VERIFICA TAGLIO

Sezione	Vrcd Z [daN]	Vrsd Z [daN]	Vsd Z [daN]	Vrcd Y [daN]	Vrsd Y [daN]	Vsd Y [daN]	FS Z [-]	FS Y [-]
Piede	20489	20489	-261	18953	18953	396		
Testa	20387	20387	-261	18865	18865	396		

VERIFICA AGLI STATI LIMITE D'ESERCIZIO

Valori ammissibili [daN/cm²]: Sigmac(rara): 149 Sigmas(rara): 3150 Sigmac(qp): 112

SigmaC(rara)	SigmaS(rara)	SigmaC(qp)
8,198	104,778	6,558

PILASTRO P7

VERIFICA FLESSIONE (combinazioni statiche)

N lim. trazione [daN]: 26.530 compressione [daN]: -132.322

Sezione	Nsd [daN]	MsdY [daNm]	MsdZ [daNm]	MrdY [daNm]	MrdZ [daNm]	β	η
Piede	-7.086	-360	77	3.238	3.219	1,64	0,02
Testa	-6.333	-19	2	3.166	3.155	1,66	0,00

VERIFICA FLESSIONE SLV (combinazioni sismiche)

Sezione	Nsd [daN]	MsdY [daNm]	$\alpha\Psi$	$\alpha M\sigma\delta\Psi$ [$\delta\alpha N\mu$]	MsdZ [daNm]	αZ	$\alpha M\rho\delta Z$ [$\delta\alpha N\mu$]	MrdY [daNm]	MrdZ [daNm]	β	η
Piede	-2.126	-931	1,00	-931	1.324	1,00	1.324	2.755	2.785	1,79	0,40
Testa	-1.547	7	1,00	7	35	1,00	35	2.697	2.733	1,83	0,00

VERIFICA TAGLIO

Sezione	Vrcd Z [daN]	Vrsd Z [daN]	Vsd Z [daN]	Vrcd Y [daN]	Vrsd Y [daN]	Vsd Y [daN]	FS Z [-]	FS Y [-]
Piede	20928	20928	-289	19332	19332	409		
Testa	20828	20828	-289	19246	19246	409		

VERIFICA AGLI STATI LIMITE D'ESERCIZIO

Valori ammissibili [daN/cm²]: Sigmac(rara): 149 Sigmas(rara): 3150 Sigmac(qp): 112

SigmaC(rara)	SigmaS(rara)	SigmaC(qp)
13,119	174,272	10,495

PILASTRO P6

VERIFICA FLESSIONE (combinazioni statiche)

N lim. trazione [daN]: 26.530 compressione [daN]: -132.322

Sezione	Nsd [daN]	MsdY [daNm]	MsdZ [daNm]	MrdY [daNm]	MrdZ [daNm]	β	η
Piede	-6.871	-384	-117	3.217	3.201	1,65	0,03
Testa	-6.117	-11	19	3.145	3.136	1,66	0,00

VERIFICA FLESSIONE SLV (combinazioni sismiche)

Sezione	Nsd [daN]	MsdY [daNm]	$\alpha\Psi$	$\alpha M\sigma\delta\Psi$ [$\delta\alpha N\mu$]	MsdZ [daNm]	αZ	$\alpha M\rho\delta Z$ [$\delta\alpha N\mu$]	MrdY [daNm]	MrdZ [daNm]	β	η
Piede	-2.056	-1.866	1,00	-1.866	-1.369	1,00	-1.369	2.748	2.779	1,79	0,78
Testa	-1.476	33	1,00	33	39	1,00	39	2.690	2.726	1,83	0,00

VERIFICA TAGLIO

Sezione	Vrcd Z [daN]	Vrsd Z [daN]	Vsd Z [daN]	Vrcd Y [daN]	Vrsd Y [daN]	Vsd Y [daN]	FS Z [-]	FS Y [-]
Piede	20900	20900	-579	19307	19307	426		
Testa	20800	20800	-579	19221	19221	426		

VERIFICA AGLI STATI LIMITE D'ESERCIZIO

Valori ammissibili [daN/cm²]: Sigmac(rara): 149 Sigmas(rara): 3150 Sigmac(qp): 112

SigmaC(rara)	SigmaS(rara)	SigmaC(qp)
14,101	185,067	11,281

PILASTRO P2

VERIFICA FLESSIONE (combinazioni statiche)

N lim. trazione [daN]: 26.530 compressione [daN]: -132.322

Sezione	Nsd [daN]	MsdY [daNm]	MsdZ [daNm]	MrdY [daNm]	MrdZ [daNm]	β	η
Piede	-5.498	223	-31	3.086	3.083	1,67	0,01
Testa	-4.745	24	-12	3.013	3.017	1,69	0,00

VERIFICA FLESSIONE SLV (combinazioni sismiche)

Sezione	Nsd [daN]	MsdY [daNm]	$\alpha\Psi$	$\alpha M\sigma\delta\Psi$ [$\delta\alpha N\mu$]	MsdZ [daNm]	αZ	$\alpha M\rho\delta Z$ [$\delta\alpha N\mu$]	MrdY [daNm]	MrdZ [daNm]	β	η
Piede	-1.703	1.694	1,00	1.694	926	1,00	926	2.713	2.747	1,82	0,56
Testa	-1.123	47	1,00	47	31	1,00	31	2.655	2.694	1,87	0,00

VERIFICA TAGLIO

Sezione	Vrcd Z [daN]	Vrsd Z [daN]	Vsd Z [daN]	Vrcd Y [daN]	Vrsd Y [daN]	Vsd Y [daN]	FS Z [-]	FS Y [-]
Piede	20717	20717	523	19150	19150	289		
Testa	20617	20617	523	19063	19063	289		

VERIFICA AGLI STATI LIMITE D'ESERCIZIO

Valori ammissibili [daN/cm²]: Sigmac(rara): 149 Sigmas(rara): 3150 Sigmac(qp): 112

SigmaC(rara)	SigmaS(rara)	SigmaC(qp)
8,772	118,680	7,018

PILASTRO P1

VERIFICA FLESSIONE (combinazioni statiche)

N lim. trazione [daN]: 26.530 compressione [daN]: -132.322

Sezione	Nsd [daN]	MsdY [daNm]	MsdZ [daNm]	MrdY [daNm]	MrdZ [daNm]	β	η
Piede	-3.900	324	-25	2.931	2.943	1,71	0,02
Testa	-3.147	27	11	2.857	2.876	1,74	0,00

VERIFICA FLESSIONE SLV (combinazioni sismiche)

Sezione	Nsd [daN]	MsdY [daNm]	$\alpha\Psi$	$\alpha M\sigma\delta\Psi$ [$\delta\alpha N\mu$]	MsdZ [daNm]	αZ	$\alpha M\rho\delta Z$ [$\delta\alpha N\mu$]	MrdY [daNm]	MrdZ [daNm]	β	η
Piede	-1.285	1.486	1,00	1.486	894	1,00	894	2.671	2.709	1,85	0,46
Testa	-705	42	1,00	42	12	1,00	12	2.612	2.656	1,93	0,00

VERIFICA TAGLIO

Sezione	Vrcd Z [daN]	Vrsd Z [daN]	Vsd Z [daN]	Vrcd Y [daN]	Vrsd Y [daN]	Vsd Y [daN]	FS Z [-]	FS Y [-]
Piede	20503	20503	458	18965	18965	-281		
Testa	20401	20401	458	18877	18877	-281		

VERIFICA AGLI STATI LIMITE D'ESERCIZIO

Valori ammissibili [daN/cm2]: Sigmac(rara): 149 Sigmas(rara): 3150 Sigmac(qp): 112

SigmaC(rara)	SigmaS(rara)	SigmaC(qp)
9,507	122,501	7,606

PILASTRO P5

VERIFICA FLESSIONE (combinazioni statiche)

N lim. trazione [daN]: 26.530 compressione [daN]: -132.322

Sezione	Nsd [daN]	MsdY [daNm]	MsdZ [daNm]	MrdY [daNm]	MrdZ [daNm]	β	η
Piede	-3.022	-192	395	2.845	2.865	1,74	0,04
Testa	-2.269	-4	13	2.770	2.798	1,78	0,00

VERIFICA FLESSIONE SLV (combinazioni sismiche)

Sezione	Nsd [daN]	MsdY [daNm]	$\alpha\Psi$	$\alpha M\sigma\delta\Psi$ [$\delta\alpha N\mu$]	MsdZ [daNm]	αZ	$\alpha M\rho\delta Z$ [$\delta\alpha N\mu$]	MrdY [daNm]	MrdZ [daNm]	β	η
Piede	-1.311	-976	1,00	-976	1.211	1,00	1.211	2.674	2.711	1,85	0,38
Testa	-524	21	1,00	21	35	1,00	35	2.594	2.640	1,97	0,00

VERIFICA TAGLIO

Sezione	Vrcd Z [daN]	Vrsd Z [daN]	Vsd Z [daN]	Vrcd Y [daN]	Vrsd Y [daN]	Vsd Y [daN]	FS Z [-]	FS Y [-]
Piede	20384	20384	-301	18863	18863	-373		
Testa	20282	20282	-301	18775	18775	-373		

VERIFICA AGLI STATI LIMITE D'ESERCIZIO

Valori ammissibili [daN/cm2]: Sigmac(rara): 149 Sigmas(rara): 3150 Sigmac(qp): 112

SigmaC(rara)	SigmaS(rara)	SigmaC(qp)
18,281	242,318	14,625

GRUPPO

R75 x 25 [8 d 12] F

PILASTRI : P3

PROPRIETA' MATERIALI

Calcestruzzo R_{ck} [daN/cm²] = 300 Acciaio f_{yk} [daN/cm²] = 4500
Coefficiente sicurezza calcestruzzo = 1,5 - Coefficiente sicurezza acciaio = 1,15

PILASTRI - ASTE AXIS

(T) trave/pilastro; (N) nervatura; (R) reticolare
Pilastro: P3 - Aste Axis: 6(T)

GEOMETRIA

Tipo Pilastro : Finale Altezza [cm] = 303; Sezione rettangolare Lato Dz [cm] = 75 Lato Dy [cm] = 25

ARMATURA LONGITUDINALE

Numero totale ferri e loro diametro [mm] = 8 d 12; Numero ferri lato Dz = 4 - Numero ferri lato Dy = 2; Copriferro [cm] = 3

ARMATURA TRASVERSALE - STAFFE

Estremità: diametro[mm], passo, estensione = d 8/7 per 49 cm; Centrale: diametro[mm], passo = d 8/14

PILASTRO P3

VERIFICA FLESSIONE (combinazioni statiche)

N lim. trazione [daN]: 35.374 compressione [daN]: -299.857

Sezione	Nsd [daN]	MsdY [daNm]	MsdZ [daNm]	MrdY [daNm]	MrdZ [daNm]	β	η
Piede	-7.806	173	130	10.679	4.291	1,80	0,00
Testa	-5.923	-350	-45	10.176	4.114	1,84	0,00

VERIFICA FLESSIONE SLV (combinazioni sismiche)

Sezione	Nsd [daN]	MsdY [daNm]	$\alpha\Psi$	$\alpha M \sigma \delta \Psi$ [$\delta \alpha N \mu$]	MsdZ [daNm]	αZ	$\alpha M \rho \delta Z$ [$\delta \alpha N \mu$]	MrdY [daNm]	MrdZ [daNm]	β	η
Piede	-2.892	2.409	1,00	2.409	2.040	1,00	2.040	9.355	3.824	1,93	0,37
Testa	-1.443	-19	1,00	-19	74	1,00	74	8.957	3.685	2,03	0,00

VERIFICA TAGLIO

Sezione	Vrcd Z [daN]	Vrsd Z [daN]	Vsd Z [daN]	Vrcd Y [daN]	Vrsd Y [daN]	Vsd Y [daN]	FS Z [-]	FS Y [-]
Piede	54394	54394	771	37192	27818	-628		
Testa	54121	54121	771	36935	27818	-628		

VERIFICA AGLI STATI LIMITE D'ESERCIZIO

Valori ammissibili [daN/cm²]: $\Sigma mac(rara)$: 149 $\Sigma mas(rara)$: 3150 $\Sigma mac(qp)$: 112

$\Sigma mac(rara)$	$\Sigma mas(rara)$	$\Sigma mac(qp)$
4,308	60,327	3,446

VERIFICA TRAVI FONDAZIONE

DESCRIZIONE TRAVI DI FONDAZIONE

MATERIALI

CALCESTRUZZO

Classe di resistenza	fck [daN/cm ²]	γc-SLV	fctd-SLV [daN/cm ²]	γc-SLD	fctd-SLD [daN/cm ²]

fck = resistenza a compressione cilindrica caratteristica del calcestruzzo

γc-SLV = coefficiente di sicurezza del calcestruzzo per le verifiche a SLV (stato limite di salvaguardia della vita)

fctd-SLV = resistenza di calcolo del calcestruzzo a trazione per le verifiche a SLV (stato limite di salvaguardia della vita)

γc-SLD = coefficiente di sicurezza del calcestruzzo per le verifiche a SLD (stato limite di danno)

fctd-SLD = resistenza di calcolo del calcestruzzo a trazione per le verifiche a SLD (stato limite di danno)

ACCIAIO

Codice	Es [daN/cm ²]	fyk [daN/cm ²]	γs-SLV	fyd-SLV [daN/cm ²]	γs-SLE	γs-SLD	fyd-SLD [daN/cm ²]

Es = Modulo elastico dell'acciaio

fyk = resistenza a snervamento caratteristica dell'acciaio

γs-SLV = coefficiente di sicurezza dell'acciaio per le verifiche a SLV (stato limite di salvaguardia della vita)

fyd-SLV = resistenza a snervamento di calcolo dell'acciaio per le verifiche a SLV (stato limite di salvaguardia della vita)

γs-SLD = coefficiente di sicurezza dell'acciaio per le verifiche a SLD (stato limite di danno)

fyd-SLD = resistenza a snervamento di calcolo dell'acciaio per le verifiche a SLD (stato limite di danno)

γs-SLE = coefficiente di sicurezza dell'acciaio per le verifiche a SLE (stato limite di esercizio)

GERARCHIA RESISTENZE PER IL CALCOLO SOLLECITAZIONI IN FONDAZIONE

Per le strutture progettate sia per CD "A" sia per CD "B" il dimensionamento delle strutture di fondazione e la verifica di sicurezza del complesso fondazione-terreno devono essere eseguiti assumendo come azioni in fondazione le resistenze degli elementi strutturali soprastanti. Più precisamente, la struttura di fondazione è progettata in modo che resista ad azioni pari a quelle trasferite dagli elementi soprastanti, amplificate con un γRd pari a 1,1 in CD "B" e 1,3 in CD "A".

SOLLECITAZIONI COMPLETE PER INVILUPPO - SLV

Mx+ = Momento flettente positivo per sezione

Mx- = Momento flettente negativo per sezione

Tx = Taglio sollecitante per sezione

CAMPATA:

Sezioni [cm]	Mx+ [daNm]	Mx- [daNm]	Tx [daN]

ARMATURA LONGITUDINALE

	SX+		SX-		C+		C-		DX+		DX-	
Camp	Af teor [cm ²]	Af disp [cm ²]	Af teor [cm ²]	Af disp [cm ²]	Af teor [cm ²]	Af disp [cm ²]	Af teor [cm ²]	Af disp [cm ²]	Af teor [cm ²]	Af disp [cm ²]	Af teor [cm ²]	Af disp [cm ²]

Camp = Numero campata

SX+ = Sezione all'appoggio sinistro positivo (Lembo inferiore)

SX- = Sezione all'appoggio sinistro negativo (Lembo superiore)

C+ = Sezione in campata positiva (Lembo inferiore)

C- = Sezione in campata negativa (Lembo superiore)

DX+ = Sezione all'appoggio destro positivo (Lembo inferiore)

DX- = Sezione all'appoggio destro negativo (Lembo superiore)

A teor. = Area di ferro teorica minima da calcolo

A disp. = Area di ferro disposta

VERIFICHE FLESSIONE - SLU

	SX+			SX-			C+			C-			DX+			DX-		
Camp	Msd [daNm]	Mrd [daNm]	CS	Msd [daNm]	Mrd [daNm]	CS	Msd [daNm]	Mrd [daNm]	CS	Msd [daNm]	Mrd [daNm]	CS	Msd [daNm]	Mrd [daNm]	CS	Msd [daNm]	Mrd [daNm]	CS

Camp = Numero campata

SX+ = Sezione all'appoggio sinistro positivo (Lembo inferiore)

SX- = Sezione all'appoggio sinistro negativo (Lembo superiore)

C+ = Sezione in campata positiva (Lembo inferiore)

C- = Sezione in campata negativa (Lembo superiore)

DX+ = Sezione all'appoggio destro positivo (Lembo inferiore)

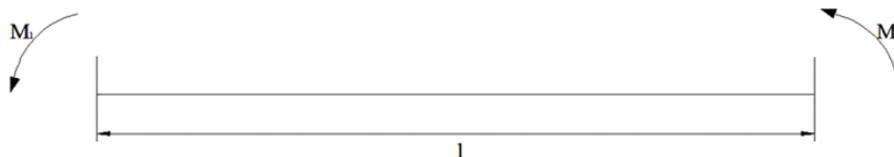
DX- = Sezione all'appoggio destro negativo (Lembo superiore)

Msd = Momento sollecitante Msd

Mrd = Momento resistente Mrd

Nel caso di edifici sismici in zona 1, 2 e 3 si applicano le norme tecniche ed le sollecitazioni di calcolo sono valutate attraverso la gerarchia delle resistenze secondo il paragrafo 7.4.4.1.1. I momenti flettenti di calcolo, da utilizzare per il dimensionamento e la verifica di travi, sono quelli ottenuti dall'analisi globale della struttura per le combinazioni di carico sismiche, mentre, al fine di escludere la formazione di meccanismi inelastici dovuti al taglio, gli sforzi di taglio VEd da utilizzare per le verifiche ed il dimensionamento delle armature si ottengono dalla condizione di equilibrio della trave soggetta all'azione dei carichi gravitazionali agenti sulla trave, incernierata agli estremi, VEd cern e dei momenti resistenti Mb,Rd, 1,2 delle due sezioni plasticizzate amplificati del fattore di sovrarresistenza γRd assunto pari, rispettivamente, ad 1,20 per strutture in CD"A", ad 1,00 per strutture in CD"B":

$$V_{Ed} = \frac{(M_{b,Rd1} + M_{b,Rd2})}{l} \cdot \gamma_{Rd} + V_{Ed\ cern}$$



Si eseguono tutte le combinazioni tra momenti resistenti positivi e negativi e taglio sollecitante della trave incernierata alle estremità.

Nel caso di edifici sismici in zona 4 con classe d'uso III o IV si applicano le NTC18 senza l'applicazione della gerarchia delle resistenze. Sia i momenti flettenti, che i tagli di calcolo, utilizzati nel dimensionamento e verifica di travi, sono quelli ottenuti dall'analisi globale della struttura.

Per edifici sismici in zona 4 con classe d'uso I o II si può scegliere se applicare il metodo alle tensioni ammissibili secondo il DM96-sismico oppure il metodo agli stati limite dalle NTC18 senza l'applicazione della gerarchia delle resistenze.

GERARCHIE RESISTENZE: calcolo taglio travi - SLV

CAMP.	App.	Msd + [daNm]	Msd - [daNm]	Af + [cm ²]	Af - [cm ²]	Mrd + [daNm]	Mrd - [daNm]	Tx max [daN]	Tx min [daN]	Tx gerar. [daN]

CAMP. = Campata

App. = Appoggio (SX = sinistro, DX = destro)

Msd+ = Momento sollecitante positivo (lembo inferiore)

Msd- = Momento sollecitante negativo (lembo superiore)

Af+ = Area ferri lembo inferiore

Af- = Area ferri lembo superiore

Mrd+ = Momento resistente positivo (lembo inferiore)

Mrd- = Momento resistente negativo (lembo inferiore)

Tx max = Taglio massimo derivante dall'analisi sismica

Tx min = Taglio minimo derivante dall'analisi sismica

Tx gerar. = Taglio calcolato attraverso la gerarchia delle resistenze

Il taglio di calcolo risulta il massimo tra i valori assoluti di Tx max, Tx min, Tx gerar.

VERIFICHE TAGLIO – SLV

Camp	Vrcd C [daN]	Vrcd E [daN]	Vrcd A [daN]	Vryd C [daN]	Vryd E [daN]	Vryd A [daN]	Vsd C max [daN]	Vsd E max [daN]	Vsd A max [daN]

Camp = Numero campata

Vrcd C = Taglio resistente lato calcestruzzo in zona centrale

Vrcd E = Taglio resistente lato calcestruzzo in zona di estremità (compresa tra la zona di appoggio e la zona centrale), se è contemplata.

Vrcd A = Taglio resistente lato calcestruzzo nella zona agli appoggi, se è contemplata.

Vryd C = Taglio resistente lato acciaio in zona centrale

Vryd E = Taglio resistente lato acciaio in zona di estremità (compresa tra la zona di appoggio e la zona centrale), se è contemplata.

Vryd A = Taglio resistente lato acciaio nella zona agli appoggi, se è contemplata.

Vsd C Max = Taglio sollecitante massimo nella zona centrale

Vsd E Max = Taglio sollecitante massimo nella zona estrema

Vsd A Max = Taglio sollecitante massimo nella zona agli appoggi

Vrcd Cent. = Taglio resistente lato calcestruzzo in zona centrale

Vrcd Estr. = Taglio resistente lato calcestruzzo in zona di estremità (compresa tra la zona di appoggio e la zona centrale), se è contemplata.

Vrcd App. = Taglio resistente lato calcestruzzo nella zona agli appoggi, se è contemplata.

Vryd Cent. = Taglio resistente lato acciaio in zona centrale

Vryd Estr. = Taglio resistente lato acciaio in zona di estremità (compresa tra la zona di appoggio e la zona centrale), se è contemplata.

Vryd App. = Taglio resistente lato acciaio nella zona agli appoggi, se è contemplata.

Vsd Max Cent. = Taglio sollecitante massimo nella zona centrale

Vsd Max Estr. = Taglio sollecitante massimo nella zona estrema

Vsd Max App. = Taglio sollecitante massimo nella zona agli appoggi

VERIFICHE SLE

Camp	Fessurazione comb. QP (max amm. 0,3 mm)						Fessurazione comb. Freq (max amm. 0,4 mm)						Stati limite di deformazione	
	Sup. SX	Sup. C	Sup. DX	Inf. SX	Inf. C	Inf. DX	Sup. SX	Sup. C	Sup. DX	Inf. SX	Inf. C	Inf. DX	Lung./h utile Lim.	Lung./h utile

Camp = Numero campata

Sup. SX = entità della fessurazione al lembo superiore dell'appoggio sinistro

Sup. C = entità della fessurazione al lembo superiore in campata

Sup. DX = entità della fessurazione al lembo superiore dell'appoggio destro

Inf. SX = entità della fessurazione al lembo inferiore dell'appoggio sinistro

Inf. C = entità della fessurazione al lembo inferiore in campata

Inf. DX = entità della fessurazione al lembo inferiore dell'appoggio destro

Lung./h utile Lim. = rapporto massimo tra luce e altezza utile della campata

Lung./h utile = rapporto reale tra luce e altezza utile della campata

RELAZIONE GEOTECNICA

Approccio per calcolo geotecnico :

Nelle verifiche nei confronti degli stati limite ultimi strutturali (STR) e geotecnici (GEO) si possono adottare, in alternativa, due diversi approcci progettuali.

Nell'Approccio 1 si impiegano due diverse combinazioni di gruppi di coefficienti parziali, rispettivamente definiti per le azioni (A), per la resistenza dei materiali (M) e, eventualmente, per la resistenza globale del sistema (R). Nella Combinazione 1 dell'Approccio 1, per le azioni si impiegano i coefficienti γ_F riportati nella colonna A1 delle Tabelle sopra citate. Nella Combinazione 2 dell'Approccio 1, si impiegano invece i coefficienti γ_F riportati nella colonna A2.

Nell'Approccio 2 si impiega un'unica combinazione dei gruppi di coefficienti parziali definiti per le Azioni (A), per la resistenza dei materiali (M) e, eventualmente, per la resistenza globale (R). In tale approccio, per le azioni si impiegano i coefficienti γ_F riportati nella colonna A1.

I coefficienti parziali γ_M per i parametri geotecnici e i coefficienti γ_R che operano direttamente sulla resistenza globale di opere e sistemi geotecnici sono definiti nel successivo Capitolo 6.

Tabella 2.6.I – Coefficienti parziali per le azioni o per l'effetto delle azioni nelle verifiche SLU

		Coefficiente γ_F	EQU	A1 STR	A2 GEO
Carichi permanenti	favorevoli	γ_{G1}	0,9	1,0	1,0
	sfavorevoli		1,1	1,3	1,0
Carichi permanenti non strutturali ⁽¹⁾	favorevoli	γ_{G2}	0,0	0,0	0,0
	sfavorevoli		1,5	1,5	1,3
Carichi variabili	favorevoli	γ_{Q1}	0,0	0,0	0,0
	sfavorevoli		1,5	1,5	1,3

⁽¹⁾Nel caso in cui i carichi permanenti non strutturali (ad es. carichi permanenti portati) siano compiutamente definiti si potranno adottare per essi gli stessi coefficienti validi per le azioni permanenti.

Nella Tab. 2.6.I il significato dei simboli è il seguente:

- γ_{G1} coefficiente parziale del peso proprio della struttura, nonché del peso proprio del terreno e dell'acqua, quando pertinenti;
 γ_{G2} coefficiente parziale dei pesi propri degli elementi non strutturali;
 γ_{Q1} coefficiente parziale delle azioni variabili.

Metodo di verifica SLU per capacità portante: Brinch-Hansen

Condizione drenata

Nel caso di terreni a grana grossa (sabbie e ghiaie) la condizione critica si verifica in condizioni drenate causa della loro elevata permeabilità. Nei terreni a grana fine (limi e argille) le condizioni drenate si verificano molto tempo dopo l'applicazione dei carichi.

L'assunzione dell'applicazione del principio di "Sovrapposizione degli effetti", ha permesso la definizione della formula trinomia di Terzaghi per il calcolo della capacità portante di un terreno.

$$q_{lim} = \frac{1}{2} N_\gamma \gamma' B + N_q q' + N_c c'$$

dove:

- il primo termine è relativo al contributo delle forze di attrito, dovute al peso proprio γ' del terreno interno alla superficie di scorrimento con B la base della sezione trasversale della fondazione (il lato minore nel caso di plinti di fondazione)
- il secondo termine è relativo all'effetto stabilizzante del sovraccarico agente ai lati della fondazione q' (ad esempio a causa dell'approfondimento del piano di fondazione rispetto al piano campagna);
- il terzo addendo si riferisce al contributo dato dalla coesione c' lungo la superficie di scorrimento

N_γ , N_q , N_c i fattori di capacità portante in funzione dell'angolo di attrito del terreno sottostante e assumono le seguenti espressioni:

$$N_q = \tan^2 \left(45 + \frac{\phi}{2} \right) \cdot e^{\pi \cdot \tan \phi}$$

$$N_c = (N_q - 1) \cdot \cot \phi$$

$$N_\gamma = 2(N_q + 1) \cdot \tan \phi$$

La formula base derivata da Terzaghi, può essere estesa ad altre condizioni (diversa forma della fondazione, meccanismo di punzonamento, carichi inclinati e/o eccentrici, ecc.) mediante l'introduzione di coefficienti correttivi.

Le limitazioni imposte nell'ipotesi iniziali di Terzaghi possono essere superate applicando la formula di Brinch-Hansen:

$$q_{lim} = \frac{1}{2} \cdot \gamma' \cdot B \cdot N_\gamma \cdot s_\gamma \cdot i_\gamma \cdot b_\gamma \cdot g_\gamma + c \cdot N_c \cdot s_c \cdot d_c \cdot i_c \cdot b_c \cdot g_c + q' \cdot N_q \cdot s_q \cdot d_q \cdot i_q \cdot b_q \cdot g_q$$

che adotta opportuni fattori correttivi che tengono conto di:

- forma della fondazione (s)
- inclinazione ed eccentricità del carico (i)
- inclinazione del piano di posa della fondazione (b)
- inclinazione del piano campagna (g)
- profondità del piano di posa (d)

Condizione non drenata

Nel caso di fondazioni su terreni a grana fine saturi, le condizioni critiche nei confronti della rottura si verificano immediatamente dopo l'applicazione del carico. In questi casi si effettua l'analisi in condizioni non drenate, in termini di tensioni totali (essendo difficile valutare nel tempo l'andamento delle pressioni neutre), dove: $c=c_u$ (coesione non drenata) e $\phi=0$.

L'equazione della capacità portante diventa:

$$q_{lim} = c_u \cdot N_c \cdot s_c \cdot d_c \cdot i_c \cdot b_c \cdot g_c + q$$

dove:

- il primo termine rappresenta il contributo stabilizzante data dalla resistenza al taglio non drenata c_u in cui

$$N_c = 2 + \pi = 5.14$$

$$s_c = 1 + 0.2 \cdot \frac{B}{L}$$

$$d_c = 1 + 0.4 \cdot \frac{B}{L} \quad \text{se } D \leq B$$

$$d_c = 1 + 0.4 \cdot \tan^{-1} \left(\frac{B}{L} \right) \quad \text{se } D > B$$

$$i_c = 1 - \frac{m \cdot H}{B \cdot L \cdot c_u \cdot N_c} \quad \text{dove } m = \frac{2 + B/L}{1 + B/L}$$

$$b_c = 1 - \frac{2 \cdot \alpha}{\pi + 2}$$

$$g_c = 1 - \frac{2 \cdot \omega}{\pi + 2}$$

il secondo termine è relativo all'effetto stabilizzante del sovraccarico agente ai lati della fondazione q.

Metodo di verifica SLE per cedimenti: Burland-Burbridge

L'impossibilità di prelevare campioni indisturbati fa sì che nel caso di terreni sabbiosi i metodi di calcolo sia basato su prove in sito.

Il metodo Burland-Burbridge si basa sullo studio delle prove penetrometriche dinamiche SPT per la determinazione dei cedimenti.

Il calcolo del cedimento risulta:

$$s = \sigma'_{v0} z_f \frac{I_c}{3} + (q' - \sigma'_{v0}) z_f I_c$$

nel caso di sabbie preconsolidate con $q' > \sigma'_{v0}$;

$$s = q' z_f \frac{I_c}{3}$$

nel caso di sabbie preconsolidate con $q' = \sigma'_{v0}$;

$$s = q' z_f I_c$$

nel caso di sabbie normalconsolidate, in cui:

q' è il carico unitario espresso in kN/m²

σ'_{v0} è la tensione geostatica verticale del piano di posa della fondazione

z_f è la profondità d'influenza, pari a $B^{0.7}$ se i valori NSPT sono costanti o crescenti con la profondità; pari a $2B$ se i valori di NSPT diminuiscono con la profondità

I_c è l'indice di compressibilità.

L'indice di compressibilità è ricavato dalle seguenti relazioni:

$$I_c = \frac{1.7}{N_{AV}^{1.4}}$$

dove N_{AV} è pari alla media dei valori NSPT contenuti nella profondità d'influenza

$$N_{AV} = \frac{\sum_{i=1}^n N_{SPTi}}{n}$$

Per tener conto degli effetti dovuti alla forma della fondazione, allo spessore H dello strato compressibile e dell'aliquota dovuta ai cedimenti differiti nel tempo;

$$s_{dyf} = f_s \cdot f_H \cdot f_t \cdot s$$

dove:

$$f_s = \left[\frac{1.25L}{\frac{B}{L} + 0.25} \right]^2 > 1$$

$$f_H = \frac{H}{z_f} \left(2 - \frac{H}{z_f} \right) < 1$$

$$f_t = 1 + 0.3 + 0.2 \cdot \log \frac{t}{3}$$

Cedimento massimo limite:[mm]

Cedimento puntuale limite impostato

Cedimento angolare limite:

Cedimento differenziale limite impostato, tra 2 punti del sistema di fondazione per evitare elevati moti rigidi di rotazione della sovrastruttura.

Cedimento angolare calcolato:

Cedimento angolare massimo di calcolo

TIPO TERRENI

N.	Descrizione	Grana	γ [kN/m ³]	γ_s [kN/m ³]	C_u [kN/m ²]	ϕ [°]	ϕ' [°]	c' [kN/m ²]	E [kN/m ²]	G [kN/m ²]

N. = indice terreno inserito nella libreria terreni dello strato corrispondente

Descrizione = Descrizione terreno di calcolo dello strato corrispondente

Grana = Tipo di grana del terreno nello strato corrispondente (fine/grossa)

γ = peso nell'unità di volume del terreno nello strato corrispondente

γ_s = peso nell'unità di volume del terreno nello strato corrispondente in condizioni sature, utilizzato per le verifiche di un terreno a grana fine in presenza di falda, in condizioni non drenate

C_u = resistenza al taglio non drenata del terreno nello strato corrispondente, usata per il calcolo del carico limite in condizioni non drenate per i terreni a grana fine

ϕ = l'angolo di resistenza a taglio totale del terreno nello strato corrispondente, adottato nel calcolo della capacità portante in presenza di falda

ϕ' = l'angolo di resistenza a taglio efficace del terreno nello strato corrispondente

c' = coesione del terreno nello strato corrispondente, utilizzata nel calcolo della capacità portante per i terreni a grana grossa

E = modulo elastico del terreno nello strato corrispondente

G = modulo di resistenza al taglio del terreno nello strato corrispondente

PARAMETRI FONDAZIONE:

D [m]	D' [m]	Falda	Prof falda [m]	Rottura locale	Incl. fond. [°]	Incl. terreno [°]

D = profondità del piano di posa della fondazione rispetto al piano campagna

D' = approfondimento del terreno di sovraccarico, diverso da D qualora il terreno posto ad un lato della fondazione sia a quota inferiore rispetto al piano campagna

Falda = Informazioni su eventuale falda (Assente/Presente)

Prof falda = profondità dell'eventuale falda dal piano campagna

Rottura locale = tipo di rottura locale (nessuna, rottura classica per punzonamento, rottura per punzonamento con i coefficienti proposti da Vesic, per tener conto della rottura per punzonamento solo se l'indice di rigidità risulta inferiore al valore critico)

Incl. Fond. = l'angolo di inclinazione della fondazione

Incl. Terreno = pendenza del terreno circostante

STRATI

N.	Terreno	Spessore [m]	Tipo terreno	OCR

N. = numero strato

Terreno = indice terreno di riferimento dello strato

Spessore = spessore strato di riferimento

Tipo terreno = Cedevole/Non Cedevole

OCR = Grado di sovraconsolidazione dello strato

PROVE SPT

z [m]	NSPT

z = profondità in cui sono state effettuate le prove penetrometriche

Nspt = numero di colpi Nspt del penetrometro dinamico SPT

VERIFICA GEOTECNICHE

Camp	Capacità portante									Cedimenti		
	Ng	Nq	Nc	Qbt [kPa]	Qbt limite [kPa]	FSbt	Qlt [kPa]	Qlt limite [kPa]	FSlt	zi [m]	s imm. [mm]	s [mm]

Camp = numero della campata di riferimento

Ng = fattore di capacità portante, moltiplicativo del peso specifico del terreno, in funzione dell'angolo di attrito

Nq = fattore di capacità portante, moltiplicativo del sovraccarico stabilizzante q' , in funzione dell'angolo di attrito

Nc = fattore di capacità portante, moltiplicativo della coesione c' , in funzione dell'angolo di attrito

Qbt = Carico a breve termine

Qbt limite = Carico limite a breve termine

FSbt = Fattore di sicurezza a breve termine

Qlt = Carico a lungo termine

Qlt limite = Carico limite a lungo termine
 FSlT = Fattore di sicurezza a lungo termine

zi = profondità di influenza di calcolo
 s imm. = cedimento immediato
 s = cedimento totale a lungo termine

DATI GENERALI PROGETTO

Normativa: Norme Tecniche 2018 , classe duttilità: Non dissipativo

MATERIALI CALCESTRUZZO

Classe di resistenza	fck [daN/cm ²]	Gamma c-SLV	fctd-SLV [daN/cm ²]	Gamma c-SLD	fctd-SLD [daN/cm ²]
C25/30	250,00	1,50	5,65	1,00	8,47

ACCIAIO

Codice	Es [daN/cm ²]	fyk [daN/cm ²]	Gamma s-SLV	fyd-SLV [daN/cm ²]	Gamma s-SLE	Gamma s-SLD	fyd-SLD [daN/cm ²]
B450C	2060000	4500	1,15	3913,04	1,00	1,00	4500,00

DATI GENERALI TRAVE: TF4-TF6

Calcestruzzo	Acciaio
C25/30	B450C

SEZIONI

Codice	Base sup. [cm]	Base inf. [cm]	Altezza [cm]	Anima [cm]	Ala sup. [cm]	Ala inf. [cm]
R 10030	0,00	100,00	30,00	0,00	0,00	0,00

CAMPATE - ASTE AXIS

(T) trave; (N) nervatura; (R) reticolare

Campata: 1 - Aste Axis: 65(T)66(T)56(T)55(T)54(T)

Campata: 2 - Aste Axis: 26(T)27(T)28(T)29(T)

Campata: 3 - Aste Axis: 30(T)31(T)32(T)33(T)

GEOMETRIA

a = lato pilastro parallelo asse trave espresso in [cm]

b = lato pilastro perpendicolare asse trave espresso in [cm]

Camp	Luce [cm]	Sezione	Nome	Pil iniziale			Pil finale		
				nome	a	b	nome	a	b
1	385	R 10030	TF4	P5	25	30	P6	25	30
2	385	R 10030	TF5	P6	25	30	P7	25	30
3	385	R 10030	TF6	P7	25	30	P8	25	30

SOLLECITAZIONI COMPLETE PER INVILUPPO

CAMPATA: 1

Sezioni [cm]	SLV		
	Mx+ [daNm]	Mx- [daNm]	Tx [daN]
0,00	1180	-908	-26
5,00	1128	-959	-26
10,00	1075	-1009	-26

15,00	1022	-1059	-26
20,00	970	-1110	-26
25,00	917	-1160	-26
30,00	864	-1210	-26
35,00	812	-1261	-26
40,00	759	-1311	-26
45,00	706	-1362	-26
50,00	653	-1412	-26
55,00	601	-1462	-26
60,00	548	-1513	-26
65,00	499	-1573	-26
70,00	455	-1644	-25
75,00	410	-1715	-24
80,00	365	-1786	-24
85,00	320	-1857	-23
90,00	276	-1927	-22
95,00	231	-1998	-22
100,00	186	-2069	-21
105,00	141	-2140	-21
110,00	97	-2211	-20
115,00	52	-2282	-19
120,00	7	-2352	-19
125,00	-38	-2423	-18
130,00	-48	-2381	-17
135,00	-57	-2338	-15
140,00	-67	-2296	-14
145,00	-77	-2254	-12
150,00	-87	-2211	-11
155,00	-97	-2169	-9
160,00	-107	-2127	-8
165,00	-117	-2084	-6
170,00	-127	-2042	-5
175,00	-137	-1999	-4
180,00	-146	-1957	-2
185,00	-156	-1915	-1
190,00	-166	-1872	1
195,00	-176	-1830	2
200,00	-186	-1787	4
205,00	-196	-1745	5
210,00	-206	-1703	7
215,00	-211	-1641	7
220,00	-213	-1569	8
225,00	-215	-1497	8
230,00	-217	-1425	9
235,00	-219	-1353	9
240,00	-222	-1281	10
245,00	-224	-1209	10
250,00	-226	-1138	10
255,00	-228	-1066	11
260,00	-230	-994	11
265,00	-232	-922	12
270,00	-235	-850	12
275,00	-237	-778	12
280,00	-239	-706	13
285,00	-241	-634	13
290,00	-243	-563	14
295,00	-246	-491	14

300,00	-212	-436	15
305,00	-105	-416	15
310,00	1	-396	16
315,00	108	-376	16
320,00	214	-355	17
325,00	321	-335	17
330,00	427	-315	18
335,00	534	-295	18
340,00	640	-275	19
345,00	747	-254	19
350,00	853	-234	20
355,00	960	-214	20
360,00	1066	-194	21
365,00	1173	-174	21
370,00	1279	-154	22
375,00	1385	-133	22
380,00	1492	-113	23
385,00	1598	-93	23

CAMPATA: 2

Sezioni [cm]	SLV		
	Mx+ [daNm]	Mx- [daNm]	Tx [daN]
0,00	1339	-543	-16
5,00	1283	-542	-16
10,00	1226	-541	-16
15,00	1169	-541	-16
20,00	1113	-540	-16
25,00	1056	-539	-16
30,00	999	-538	-16
35,00	943	-537	-16
40,00	886	-536	-16
45,00	829	-535	-16
50,00	772	-535	-16
55,00	716	-534	-16
60,00	659	-533	-16
65,00	602	-532	-16
70,00	546	-531	-16
75,00	489	-530	-16
80,00	432	-529	-16
85,00	376	-529	-16
90,00	319	-528	-16
95,00	262	-527	-16
100,00	231	-534	-16
105,00	209	-545	-15
110,00	186	-555	-15
115,00	163	-565	-14
120,00	141	-576	-14
125,00	118	-586	-13
130,00	95	-597	-13
135,00	73	-607	-12
140,00	50	-617	-11
145,00	27	-628	-11
150,00	5	-638	-10
155,00	-18	-648	-10
160,00	-41	-659	-9
165,00	-63	-669	-9
170,00	-86	-679	-8
175,00	-109	-690	-8

180,00	-131	-700	-7
185,00	-154	-711	-7
190,00	-177	-721	-6
195,00	-175	-720	-5
200,00	-149	-708	-5
205,00	-123	-696	-4
210,00	-97	-684	-4
215,00	-71	-672	-3
220,00	-45	-660	-2
225,00	-19	-648	-2
230,00	7	-636	-1
235,00	33	-624	0
240,00	59	-612	0
245,00	85	-600	1
250,00	111	-588	1
255,00	137	-577	2
260,00	163	-565	3
265,00	189	-553	3
270,00	215	-541	4
275,00	241	-529	5
280,00	267	-517	5
285,00	293	-505	6
290,00	329	-494	6
295,00	398	-487	7
300,00	466	-479	8
305,00	534	-472	8
310,00	602	-465	9
315,00	670	-458	9
320,00	738	-450	10
325,00	806	-443	11
330,00	874	-436	11
335,00	943	-428	12
340,00	1011	-421	13
345,00	1079	-414	13
350,00	1147	-407	14
355,00	1215	-399	14
360,00	1283	-392	15
365,00	1351	-385	16
370,00	1420	-378	16
375,00	1488	-370	17
380,00	1556	-363	17
385,00	1624	-356	18

CAMPATA: 3

Sezioni [cm]	SLV		
	Mx+ [daNm]	Mx- [daNm]	Tx [daN]
0,00	1653	-208	-21
5,00	1566	-216	-21
10,00	1478	-223	-21
15,00	1391	-231	-21
20,00	1304	-238	-21
25,00	1217	-246	-21
30,00	1130	-253	-21
35,00	1042	-261	-21
40,00	955	-268	-21
45,00	868	-276	-21
50,00	781	-283	-21
55,00	694	-291	-21

60,00	606	-298	-21
65,00	519	-306	-21
70,00	432	-313	-21
75,00	345	-321	-21
80,00	258	-328	-21
85,00	170	-336	-21
90,00	83	-343	-21
95,00	-4	-351	-21
100,00	-30	-386	-20
105,00	-36	-431	-20
110,00	-41	-476	-19
115,00	-47	-521	-18
120,00	-53	-566	-18
125,00	-59	-611	-17
130,00	-64	-656	-17
135,00	-70	-701	-16
140,00	-76	-746	-15
145,00	-81	-790	-15
150,00	-87	-835	-14
155,00	-93	-880	-14
160,00	-98	-925	-13
165,00	-104	-970	-12
170,00	-110	-1015	-12
175,00	-115	-1060	-11
180,00	-121	-1105	-11
185,00	-127	-1149	-10
190,00	-132	-1194	-9
195,00	-123	-1214	-9
200,00	-98	-1207	-8
205,00	-73	-1201	-7
210,00	-48	-1195	-7
215,00	-23	-1188	-6
220,00	1	-1182	-5
225,00	26	-1176	-4
230,00	51	-1169	-4
235,00	76	-1163	-3
240,00	101	-1157	-2
245,00	126	-1150	-1
250,00	151	-1144	-1
255,00	175	-1138	0
260,00	200	-1131	1
265,00	225	-1125	2
270,00	250	-1119	2
275,00	275	-1112	3
280,00	300	-1106	4
285,00	324	-1100	5
290,00	353	-1094	5
295,00	395	-1088	6
300,00	436	-1083	6
305,00	477	-1077	6
310,00	518	-1072	7
315,00	559	-1066	7
320,00	600	-1061	8
325,00	641	-1056	8
330,00	683	-1050	8
335,00	724	-1045	9
340,00	765	-1039	9

345,00	806	-1034	10
350,00	847	-1028	10
355,00	888	-1023	11
360,00	929	-1018	11
365,00	971	-1012	11
370,00	1012	-1007	12
375,00	1053	-1001	12
380,00	1094	-996	13
385,00	1135	-990	13

RISULTATI

ARMATURA LONGITUDINALE

	SX+		SX-		C+		C-		DX+		DX-	
Camp	Af teor [cm2]	Af disp [cm2]	Af teor [cm2]	Af disp [cm2]	Af teor [cm2]	Af disp [cm2]	Af teor [cm2]	Af disp [cm2]	Af teor [cm2]	Af disp [cm2]	Af teor [cm2]	Af disp [cm2]
1	3,50	4,71	3,50	4,71	3,50	4,71	3,50	4,71	3,50	4,71	3,50	4,71
2	3,50	4,71	3,50	4,71	3,50	4,71	3,50	4,71	3,50	4,71	3,50	4,71
3	3,50	4,71	3,50	4,71	3,50	4,71	3,50	4,71	3,50	4,71	3,50	4,71

AlfaPGA = 1

VERIFICHE FLESSIONE - SLU

	SX+			SX-			C+			C-			DX+			DX-		
Camp	Msd [daNm]	Mrd [daNm]	cs	Msd [daNm]	Mrd [daNm]	cs	Msd [daNm]	Mrd [daNm]	cs	Msd [daNm]	Mrd [daNm]	cs	Msd [daNm]	Mrd [daNm]	cs	Msd [daNm]	Mrd [daNm]	cs
1	1049	4617	0,23	-1362	-4617	0,29	-38	4617	-0,01	-2423	-4617	0,52	1332	4617	0,29	-275	-4617	0,06
2	1198	4617	0,26	-541	-4617	0,12	111	4617	0,02	-721	-4617	0,16	1454	4617	0,31	-421	-4617	0,09
3	1435	4617	0,31	-276	-4617	0,06	175	4617	0,04	-1214	-4617	0,26	1032	4617	0,22	-1039	-4617	0,23

VERIFICHE TAGLIO - SLU

Camp	Vrcd C [daN]	Vrcd E [daN]	Vrcd A [daN]	Vryd C [daN]	Vryd E [daN]	Vryd A [daN]	Vsd C max [daN]	Vsd E max [daN]	Vsd A max [daN]
1	59.116	0	0	37.341	0	0	2.584	0	0
2	59.116	0	0	37.341	0	0	1.686	0	0
3	59.116	0	0	37.341	0	0	2.060	0	0

STAFFE

	Campo centrale			Campo estremità			Campo appoggio		
Camp	Passo [cm]	Diam [mm]	Lung [cm]	Passo [cm]	Diam [mm]	Lung [cm]	Passo [cm]	Diam [mm]	Lung [cm]
1	10	10	360	0	0	0	0	0	0
2	10	10	360	0	0	0	0	0	0
3	10	10	360	0	0	0	0	0	0

VERIFICHE SLE

	Fessurazione comb.QP (max amm. 0.3 [mm])						Fessurazione comb.Freq (max amm. 0.4 [mm])						Stati limite di deformazione	
Camp	Sup.sx [mm]	Sup.c [mm]	Sup.dX [mm]	Inf.sx [mm]	Inf.c [mm]	Inf.dX [mm]	Sup.sx [mm]	Sup.c [mm]	Sup.dX [mm]	Inf.sx [mm]	Inf.c [mm]	Inf.dX [mm]	(Lung / h utile) lim.	Lung. / h utile
1	0,000	0,067	0,000	0,000	0,000	0,032	0,000	0,067	0,000	0,000	0,000	0,040	43,18	12,00
2	0,000	0,018	0,000	0,000	0,000	0,035	0,000	0,018	0,000	0,000	0,000	0,043	43,18	12,00

3	0,000	0,033	0,000	0,000	0,000	0,006	0,000	0,033	0,000	0,000	0,000	0,006	43,18	12,00
---	-------	-------	-------	-------	-------	-------	-------	-------	-------	-------	-------	-------	-------	-------

DATI GENERALI TRAVE: TF1-TF3

Calcestruzzo	Acciaio
C25/30	B450C

SEZIONI

Codice	Base sup. [cm]	Base inf. [cm]	Altezza [cm]	Anima [cm]	Ala sup. [cm]	Ala inf. [cm]
R 10030	0,00	100,00	30,00	0,00	0,00	0,00

CAMPATE - ASTE AXIS

(T) trave; (N) nervatura; (R) reticolare

Campata: 1 - Aste Axis: 1(T)

Campata: 2 - Aste Axis: 64(T)63(T)62(T)

Campata: 3 - Aste Axis: 34(T)35(T)36(T)37(T)

Campata: 4 - Aste Axis: 70(T)69(T)68(T)67(T)

GEOMETRIA

a = lato pilastro parallelo asse trave espresso in [cm]

b = lato pilastro perpendicolare asse trave espresso in [cm]

Camp	Luce [cm]	Sezione	Nome	Pil iniziale			Pil finale		
				nome	a	b	nome	a	b
1	80	R 10030	M	M	30	30	P1	25	30
2	260	R 10030	TF1	P1	25	30	P2	25	30
3	385	R 10030	TF2	P2	25	30	P3	25	75
4	385	R 10030	TF3	P3	25	75	P4	25	30

SOLLECITAZIONI COMPLETE PER INVILUPPO

CAMPATA: 1

Sezioni [cm]	SLV		
	Mx+ [daNm]	Mx- [daNm]	Tx [daN]
0,00	-47	-113	5
5,00	-27	-106	5
10,00	-7	-100	5
15,00	13	-93	5
20,00	33	-86	5
25,00	53	-79	5
30,00	73	-73	5
35,00	93	-66	5
40,00	113	-59	5
45,00	133	-52	5
50,00	153	-46	5
55,00	173	-39	5
60,00	193	-32	5
65,00	213	-25	5
70,00	233	-19	5
75,00	253	-12	5
80,00	273	-5	5

CAMPATA: 2

Sezioni [cm]	SLV		
	Mx+ [daNm]	Mx- [daNm]	Tx [daN]
0,00	757	-864	-7

5,00	726	-859	-7
10,00	694	-854	-7
15,00	663	-849	-7
20,00	632	-844	-7
25,00	601	-838	-7
30,00	570	-833	-7
35,00	539	-828	-7
40,00	508	-823	-7
45,00	477	-818	-7
50,00	445	-813	-7
55,00	414	-807	-7
60,00	383	-802	-7
65,00	352	-797	-7
70,00	321	-792	-7
75,00	290	-787	-7
80,00	259	-782	-7
85,00	227	-777	-7
90,00	206	-759	-6
95,00	189	-736	-5
100,00	172	-712	-5
105,00	156	-688	-4
110,00	139	-665	-3
115,00	122	-641	-3
120,00	105	-617	-2
125,00	89	-594	-1
130,00	72	-570	-1
135,00	55	-546	0
140,00	38	-523	1
145,00	22	-499	1
150,00	5	-476	2
155,00	-12	-452	3
160,00	-29	-428	3
165,00	-45	-405	4
170,00	-62	-381	5
175,00	-58	-361	5
180,00	-10	-348	6
185,00	37	-335	6
190,00	85	-322	6
195,00	132	-309	7
200,00	179	-296	7
205,00	227	-283	8
210,00	274	-270	8
215,00	321	-257	9
220,00	369	-244	9
225,00	416	-230	10
230,00	464	-217	10
235,00	511	-204	10
240,00	558	-191	11
245,00	606	-178	11
250,00	653	-165	12
255,00	701	-152	12
260,00	748	-139	13

CAMPATA: 3

Sezioni [cm]	SLV		
	Mx+ [daNm]	Mx- [daNm]	Tx [daN]
0,00	896	-615	-13
5,00	852	-612	-13

10,00	807	-610	-13
15,00	762	-608	-13
20,00	718	-605	-13
25,00	673	-603	-13
30,00	629	-601	-13
35,00	584	-598	-13
40,00	540	-596	-13
45,00	495	-594	-13
50,00	451	-591	-13
55,00	406	-589	-13
60,00	361	-587	-13
65,00	317	-584	-13
70,00	272	-582	-13
75,00	228	-580	-13
80,00	183	-577	-13
85,00	139	-575	-13
90,00	94	-572	-13
95,00	50	-570	-13
100,00	30	-577	-13
105,00	18	-587	-13
110,00	7	-597	-12
115,00	-4	-607	-12
120,00	-16	-617	-11
125,00	-27	-627	-11
130,00	-39	-637	-10
135,00	-50	-647	-10
140,00	-61	-657	-10
145,00	-73	-667	-9
150,00	-84	-677	-9
155,00	-96	-688	-8
160,00	-107	-698	-8
165,00	-119	-708	-7
170,00	-130	-718	-7
175,00	-141	-728	-6
180,00	-153	-738	-6
185,00	-164	-748	-6
190,00	-176	-758	-5
195,00	-162	-757	-5
200,00	-123	-746	-4
205,00	-83	-734	-3
210,00	-44	-723	-3
215,00	-5	-712	-2
220,00	34	-700	-1
225,00	74	-689	0
230,00	113	-678	0
235,00	152	-666	1
240,00	191	-655	2
245,00	230	-643	2
250,00	270	-632	3
255,00	309	-621	4
260,00	348	-609	4
265,00	387	-598	5
270,00	427	-587	6
275,00	466	-575	6
280,00	505	-564	7
285,00	544	-552	8
290,00	591	-541	8

295,00	662	-530	9
300,00	733	-520	10
305,00	805	-509	10
310,00	876	-498	11
315,00	947	-487	11
320,00	1018	-477	12
325,00	1089	-466	13
330,00	1160	-455	13
335,00	1231	-444	14
340,00	1302	-433	14
345,00	1373	-423	15
350,00	1444	-412	16
355,00	1515	-401	16
360,00	1586	-390	17
365,00	1657	-379	17
370,00	1728	-369	18
375,00	1799	-358	19
380,00	1870	-347	19
385,00	1941	-336	20

CAMPATA: 4

Sezioni [cm]	SLV		
	Mx+ [daNm]	Mx- [daNm]	Tx [daN]
0,00	2112	-140	-23
5,00	2020	-154	-23
10,00	1927	-169	-23
15,00	1834	-183	-23
20,00	1742	-198	-23
25,00	1649	-212	-23
30,00	1557	-227	-23
35,00	1464	-242	-23
40,00	1371	-256	-23
45,00	1279	-271	-23
50,00	1186	-285	-23
55,00	1094	-300	-23
60,00	1001	-315	-23
65,00	908	-329	-23
70,00	816	-344	-23
75,00	723	-358	-23
80,00	631	-373	-23
85,00	538	-387	-23
90,00	445	-402	-23
95,00	353	-417	-23
100,00	307	-447	-22
105,00	277	-483	-22
110,00	248	-519	-21
115,00	218	-555	-20
120,00	188	-591	-20
125,00	158	-626	-19
130,00	128	-662	-19
135,00	98	-698	-18
140,00	69	-734	-17
145,00	39	-770	-17
150,00	9	-806	-16
155,00	-21	-842	-15
160,00	-51	-877	-15
165,00	-81	-913	-14
170,00	-111	-949	-14

175,00	-140	-985	-13
180,00	-170	-1021	-12
185,00	-200	-1057	-12
190,00	-230	-1093	-11
195,00	-236	-1111	-11
200,00	-219	-1111	-10
205,00	-202	-1111	-10
210,00	-185	-1112	-10
215,00	-168	-1112	-9
220,00	-151	-1112	-9
225,00	-135	-1113	-9
230,00	-118	-1113	-8
235,00	-101	-1113	-8
240,00	-84	-1114	-8
245,00	-67	-1114	-7
250,00	-50	-1114	-7
255,00	-33	-1115	-7
260,00	-16	-1115	-6
265,00	1	-1115	-6
270,00	18	-1116	-6
275,00	35	-1116	-5
280,00	52	-1116	-5
285,00	69	-1117	-5
290,00	91	-1115	-4
295,00	125	-1106	-4
300,00	159	-1097	-3
305,00	194	-1088	-2
310,00	228	-1079	-1
315,00	263	-1070	-1
320,00	297	-1061	0
325,00	331	-1052	1
330,00	366	-1043	2
335,00	400	-1034	2
340,00	434	-1025	3
345,00	469	-1016	4
350,00	503	-1007	5
355,00	538	-998	5
360,00	572	-989	6
365,00	606	-980	7
370,00	641	-971	8
375,00	675	-962	8
380,00	710	-953	9
385,00	744	-944	10

RISULTATI

ARMATURA LONGITUDINALE

Camp	SX+		SX-		C+		C-		DX+		DX-	
	Af teor [cm2]	Af disp [cm2]	Af teor [cm2]	Af disp [cm2]	Af teor [cm2]	Af disp [cm2]	Af teor [cm2]	Af disp [cm2]	Af teor [cm2]	Af disp [cm2]	Af teor [cm2]	Af disp [cm2]
1	3,50	4,71	3,50	4,71	3,50	4,71	3,50	4,71	3,50	4,71	3,50	4,71
2	3,50	4,71	3,50	4,71	3,50	4,71	3,50	4,71	3,50	4,71	3,50	4,71
3	3,50	4,71	3,50	4,71	3,50	4,71	3,50	4,71	3,50	4,71	3,50	4,71
4	3,50	4,71	3,50	4,71	3,50	4,71	3,50	4,71	3,50	4,71	3,50	4,71

AlfaPGA = 1

VERIFICHE FLESSIONE - SLU

Camp	SX+			SX-			C+			C-			DX+			DX-		
	Msd [daNm]	Mrd [daNm]	cs	Msd [daNm]	Mrd [daNm]	cs	Msd [daNm]	Mrd [daNm]	cs	Msd [daNm]	Mrd [daNm]	cs	Msd [daNm]	Mrd [daNm]	cs	Msd [daNm]	Mrd [daNm]	cs
1	153	4617	0,03	-93	-4617	0,02	0	4617	0,00	0	-4617	0,00	223	4617	0,05	-66	-4617	0,01
2	679	4617	0,15	-851	-4617	0,18	0	4617	0,00	0	-4617	0,00	629	4617	0,14	-257	-4617	0,06
3	785	4617	0,17	-609	-4617	0,13	270	4617	0,06	-758	-4617	0,16	1764	4617	0,38	-433	-4617	0,09
4	1881	4617	0,41	-271	-4617	0,06	469	4617	0,10	-1117	-4617	0,24	658	4617	0,14	-1025	-4617	0,22

VERIFICHE TAGLIO - SLU

Camp	Vrcd C [daN]	Vrcd E [daN]	Vrcd A [daN]	Vryd C [daN]	Vryd E [daN]	Vryd A [daN]	Vsd C max [daN]	Vsd E max [daN]	Vsd A max [daN]
1	59.116	0	0	37.341	0	0	468	0	0
2	59.116	0	0	37.341	0	0	1.181	0	0
3	59.116	0	0	37.341	0	0	1.858	0	0
4	59.116	0	0	37.341	0	0	2.274	0	0

STAFFE

Camp	Campo centrale			Campo estremità			Campo appoggio		
	Passo [cm]	Diam [mm]	Lung [cm]	Passo [cm]	Diam [mm]	Lung [cm]	Passo [cm]	Diam [mm]	Lung [cm]
1	10	10	52	0	0	0	0	0	0
2	10	10	235	0	0	0	0	0	0
3	10	10	360	0	0	0	0	0	0
4	10	10	360	0	0	0	0	0	0

VERIFICHE SLE

Camp	Fessurazione comb.QP (max amm. 0.3 [mm])						Fessurazione comb.Freq (max amm. 0.4 [mm])						Stati limite di deformazione	
	Sup.sx [mm]	Sup.c [mm]	Sup.dX [mm]	Inf.sx [mm]	Inf.c [mm]	Inf.dX [mm]	Sup.sx [mm]	Sup.c [mm]	Sup.dX [mm]	Inf.sx [mm]	Inf.c [mm]	Inf.dX [mm]	(Lung / h utile) lim.	Lung. / h utile
1	0,000	0,000	0,000	0,000	0,000	0,006	0,000	0,000	0,000	0,000	0,000	0,007	43,18	1,75
2	0,000	0,019	0,000	0,000	0,000	0,012	0,000	0,019	0,000	0,000	0,000	0,016	43,18	7,83
3	0,000	0,017	0,000	0,000	0,000	0,000	0,000	0,017	0,000	0,000	0,000	0,000	43,18	12,00
4	0,000	0,028	0,000	0,000	0,000	0,000	0,000	0,028	0,000	0,000	0,000	0,000	43,18	12,00

RELAZIONE GEOTECNICA

DATI GENERALI

Approccio 2 (A1+M1+R3)

Metodo di verifica SLU per capacità portante: Brinch-Hansen

Metodo di verifica SLU per cedimenti: Burland-Burbridge

Cedimento massimo limite: 50,00 [mm]

Cedimento angolare limite: 3,85 [mm]

Cedimento angolare calcolato: 0,08 [mm]

TIPO TERRENI

N.	Descrizione	Grana	γ [kN/ μ 3]	$\gamma\sigma$ [kN/ μ 3]	C_u [kN/m2]	ϕ [°]	c' [kN/m2]	E [kN/m2]	G [kN/m2]
1	riporto riciclato compattato	grossa	19,00	19,00	0,00	40,00	0,00	40000	20000
2	L2 sabbie medie fini	grossa	18,00	18,00	0,00	36,00	0,00	40000	20000
3	L3 ghiaie ciottolose	grossa	19,00	19,00	0,00	41,00	0,00	40000	20000

FONDAZIONE: TF4-TF6

D [m]	D' [m]	Falda	Prof falda [m]	Rottura locale	Incl. fond. [°]	Incl. terreno [°]
0,40	0,30	Assente	-	nessuno	0	0

STRATI

N.	Terreno	Spessore [m]	Tipo terreno	OCR
1	1	0,70	Cedevole	1,000
2	2	1,70	Cedevole	1,000
3	3	1,80	Cedevole	1,000

Prove SPT

z [m]	NSPT
0,70	30
1,50	6
2,50	25

VERIFICHE

Camp	Capacità portante									Cedimenti		
	N_g	N_q	N_c	Q_{bt}	Q_{bt} limite	FS_{bt}	Q_{lt}	Q_{lt} limite	FS_{lt}	z_i [m]	s imm. [mm]	s [mm]
1	109,41	64,20	75,31	24,36	1405,31	57,68	24,36	1405,31	57,68	0,40	0,12	0,27
2	109,41	64,20	75,31	22,45	1405,31	62,61	22,45	1405,31	62,61	0,40	0,09	0,21
3	109,41	64,20	75,31	22,73	1405,31	61,81	22,73	1405,31	61,81	0,40	0,10	0,23

FONDAZIONE: TF1-TF3

D [m]	D' [m]	Falda	Prof falda [m]	Rottura locale	Incl. fond. [°]	Incl. terreno [°]
0,40	0,30	Assente	-	nessuno	0	0

STRATI

N.	Terreno	Spessore [m]	Tipo terreno	OCR
1	1	0,70	Cedevole	1,000
2	2	1,70	Cedevole	1,000
3	3	1,80	Cedevole	1,000

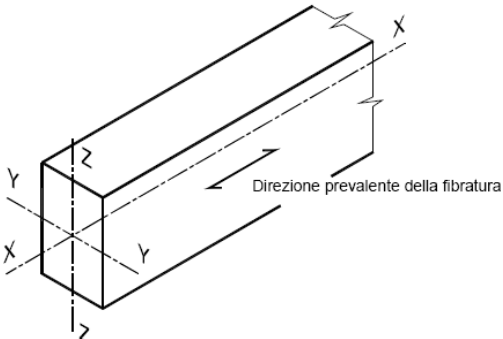
Prove SPT

z [m]	NSPT
0,70	30
1,50	6
2,50	25

VERIFICHE

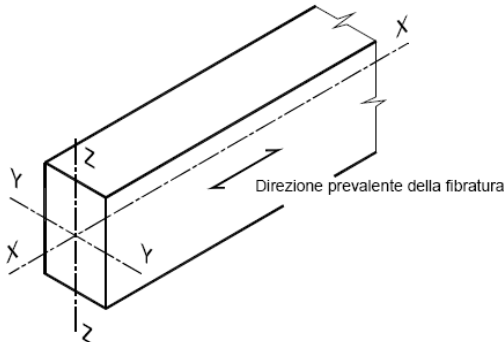
Camp	Capacità portante									Cedimenti		
	Ng	Nq	Nc	Qbt	Qbt limite	FSbt	Qlt	Qlt limite	FSlt	zi [m]	s imm. [mm]	s [mm]
1	109,41	64,20	75,31	21,36	1405,31	65,79	21,36	1405,31	65,79	0,40	0,10	0,22
2	109,41	64,20	75,31	21,01	1405,31	66,89	21,01	1405,31	66,89	0,40	0,09	0,21
3	109,41	64,20	75,31	22,04	1405,31	63,78	22,04	1405,31	63,78	0,40	0,10	0,23
4	109,41	64,20	75,31	23,53	1405,31	59,71	23,53	1405,31	59,71	0,40	0,11	0,25

VERIFICA ELEMENTI LIGNEI COPERTURA

Verifica sezione in legno - terza 10x12						
Classe di durata del carico		Breve durata				
		meno di 1 settimana [neve a bassa quota]				
Classe di servizio		2	65% < UR < 85%	k_{mod}	0,9	
Tipologia		Legno massiccio			γ_m	1,50
Sezione	H [cm]	12,0	A [cm ²]	J_y [cm ⁴]	J_z [cm ⁴]	W_y [cm ³]
Rettangolare	B [cm]	10,0	120	1440	1000	W_z [cm ³]
						240
						200
Valori caratteristici del materiale					C24	
Proprietà di Resistenza [N/mm ²]			Proprietà di modulo elastico [N/mm ²]			
Flessione*	$f_{m,k}$	24,00	parallelo medio	$E_{0,m}$	11000	
Trazione parallela*	$f_{t,0,k}$	14,00	parallelo caratteristico	$E_{0,05}$	7400	
Trazione perpendicolare	$f_{t,90,k}$	0,40	perpendicolare medio	$E_{90,m}$	370	
Compressione parallela	$f_{c,0,k}$	21,00	tangenziale medio	G_m	690	
Compressione perpendicolare	$f_{c,90,k}$	2,50	Massa volumica [kg/m ³]			
Taglio	$f_{v,k}$	4,00	caratteristica			
			ρ_k 350			
Considero k_h ?	NO	$k_{h,fless,y}$	1,00	$k_{h,fless,z}$	1,00	$k_{h,traz}$
						1,00
Il coefficiente k_h incrementa i valori caratteristici di flessione e trazione parallela						
Stati limite ultimi						
Sollecitazioni [kN,kNm]						
N_d	2,70	kN				
$T_{z,d}$	5,00	kN				
$T_{y,d}$	0,00	kN				
$M_{y,d}$	2,60	kNm				
$M_{z,d}$	0,00	kNm				
$M_{t,d}$	0,00	kNm				

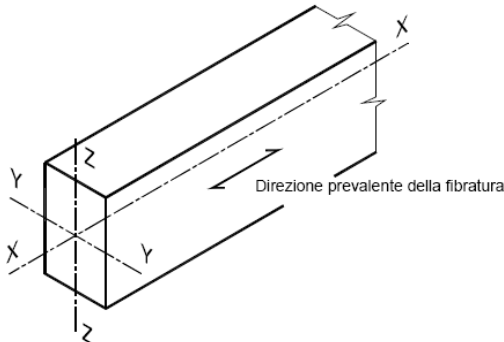
Verifiche di resistenza						
Trazione parallela alla fibratura				Verifica non necessaria		
Trazione perpendicolare alla fibratura				Da sviluppare		
Compressione parallela alla fibratura				La sezione è verificata		
$\sigma_{c,0,d}$	0,23	N/mm ²	<	$f_{c,0,d}$	12,60	N/mm ²
Compressione perpendicolare alla fibratura				Da sviluppare		
Compressione inclinata rispetto alla fibratura				Da sviluppare		
Flessione				La sezione è verificata		
$\sigma_{m,y,d}$	10,83	N/mm ²		$\sigma_{m,z,d}$	0,00	N/mm ²
$f_{m,y,d}$	14,40	N/mm ²		$f_{m,z,d}$	14,40	N/mm ²
k_m	0,70					
$\sigma_{m,y,d} / f_{m,y,d} + k_m \sigma_{m,z,d} / f_{m,z,d}$				0,75	<	1
$k_m \sigma_{m,y,d} / f_{m,y,d} + \sigma_{m,z,d} / f_{m,z,d}$				0,53	<	1
Tensoflessione				Verifica non necessaria		
Pressoflessione				La sezione è verificata		
$(\sigma_{c,0,d} / f_{c,0,d})^2 + \sigma_{m,y,d} / f_{m,y,d} + k_m \sigma_{m,z,d} / f_{m,z,d}$				0,75	<	1
$(\sigma_{c,0,d} / f_{c,0,d})^2 + k_m \sigma_{m,y,d} / f_{m,y,d} + \sigma_{m,z,d} / f_{m,z,d}$				0,53	<	1
Taglio				La sezione è verificata		
τ_d	0,63	N/mm ²	<	$f_{v,d}$	2,40	N/mm ²
Torsione				Verifica non necessaria		
Taglio e Torsione				Verifica non necessaria		

Verifiche di stabilità			
Elementi inflessi - asse y		La sezione è verificata	
l_{eff}	390,00 cm		
$\sigma_{m,y,crit}$	124,41 N/mm ²	tensione critica di svergolamento	
λ_{rel}	0,44	snellezza relativa di svergolamento	
k_{crit}	1,00	coefficiente di sbandamento laterale	
$\sigma_{m,y,d} / (k_{crit} f_{m,y,d}) + k_m \sigma_{m,z,d} / f_{m,z,d}$		0,75	< 1
$k_m \sigma_{m,y,d} / (k_{crit} f_{m,y,d}) + \sigma_{m,z,d} / f_{m,z,d}$		0,53	< 1
Elementi inflessi - asse z		Verifica non necessaria	
Elementi tensoinflessi - asse y		Verifica non necessaria	
Elementi tensoinflessi - asse z		Verifica non necessaria	
Elementi compressi		La sezione è verificata	
l_0	390,00 cm	lunghezza di libera inflessione	
i_y	3,46 cm	raggio di inerzia y	
i_z	2,89 cm	raggio di inerzia z	
$\lambda_{rel,c,y}$	1,91	snellezza relativa y	
$\lambda_{rel,c,z}$	2,29	snellezza relativa z	
k	3,32		
$k_{crit,c}$	0,17	coefficiente di sbandamento laterale	
$\sigma_{c,0,d} / (k_{crit,c} f_{c,0,d})$		0,10	< 1
Elementi pressoinflessi - asse y		La sezione è verificata	
$\sigma_{c,0,d}/k_{crit,c} f_{c,0,d}+\sigma_{m,y,d}/k_{crit} f_{m,y,d}+k_m \sigma_{m,z,d}/f_{m,z,d}$		0,85	< 1
$\sigma_{c,0,d}/k_{crit,c} f_{c,0,d}+k_m \sigma_{m,y,d}/k_{crit} f_{m,y,d}+\sigma_{m,z,d}/f_{m,z,d}$		0,63	< 1
Elementi pressoinflessi - asse z		Verifica non necessaria	

Verifica sezione in legno - puntone capriata 18x18								
Classe di durata del carico		Breve durata						
		meno di 1 settimana [neve a bassa quota]						
Classe di servizio		2	65% < UR < 85%		k _{mod}	0,9		
Tipologia		Legno massiccio				γ _m	1,50	
Sezione Rettangolare	H [cm]	17,0	A [cm ²]	J _y [cm ⁴]	J _z [cm ⁴]	W _y [cm ³]	W _z [cm ³]	
	B [cm]	17,0	289	6960	6960	819	819	
Valori caratteristici del materiale						C24		
Proprietà di Resistenza [N/mm ²]				Proprietà di modulo elastico [N/mm ²]				
Flessione*		f _{m,k}	24,00	parallelo medio		E _{0,m}	11000	
Trazione parallela*		f _{t,0,k}	14,00	parallelo caratteristico		E _{0,05}	7400	
Trazione perpendicolare		f _{t,90,k}	0,40	perpendicolare medio		E _{90,m}	370	
Compressione parallela		f _{c,0,k}	21,00	tangenziale medio		G _m	690	
Compressione perpendicolare		f _{c,90,k}	2,50	Massa volumica [kg/m ³]				
Taglio		f _{v,k}	4,00					
Considero k _h ?		NO	k _{h,fless,y}	1,00	k _{h,fless,z}	1,00	k _{h,traz}	1,00
Il coefficiente k _h incrementa i valori caratteristici di flessione e trazione parallela								
Stati limite ultimi								
Sollecitazioni [kN,kNm]								
N _d		46,00	kN					
T _{z,d}		11,50	kN					
T _{y,d}		1,00	kN					
M _{y,d}		8,00	kNm					
M _{z,d}		1,00	kNm					
M _{t,d}		0,00	kNm					

Verifiche di resistenza					
Trazione parallela alla fibratura			Verifica non necessaria		
Trazione perpendicolare alla fibratura			Da sviluppare		
Compressione parallela alla fibratura			La sezione è verificata		
$\sigma_{c,0,d}$	1,59	N/mm ²	<	$f_{c,0,d}$	12,60 N/mm ²
Compressione perpendicolare alla fibratura			Da sviluppare		
Compressione inclinata rispetto alla fibratura			Da sviluppare		
Flessione			La sezione è verificata		
$\sigma_{m,y,d}$	9,77	N/mm ²		$\sigma_{m,z,d}$	1,22 N/mm ²
$f_{m,y,d}$	14,40	N/mm ²		$f_{m,z,d}$	14,40 N/mm ²
k_m	0,70				
$\sigma_{m,y,d} / f_{m,y,d} + k_m \sigma_{m,z,d} / f_{m,z,d}$			0,74	<	1
$k_m \sigma_{m,y,d} / f_{m,y,d} + \sigma_{m,z,d} / f_{m,z,d}$			0,56	<	1
Tensoflessione			Verifica non necessaria		
Pressoflessione			La sezione è verificata		
$(\sigma_{c,0,d} / f_{c,0,d})^2 + \sigma_{m,y,d} / f_{m,y,d} + k_m \sigma_{m,z,d} / f_{m,z,d}$			0,75	<	1
$(\sigma_{c,0,d} / f_{c,0,d})^2 + k_m \sigma_{m,y,d} / f_{m,y,d} + \sigma_{m,z,d} / f_{m,z,d}$			0,58	<	1
Taglio			La sezione è verificata		
τ_d	0,60	N/mm ²	<	$f_{v,d}$	2,40 N/mm ²
Torsione			Verifica non necessaria		
Taglio e Torsione			Verifica non necessaria		

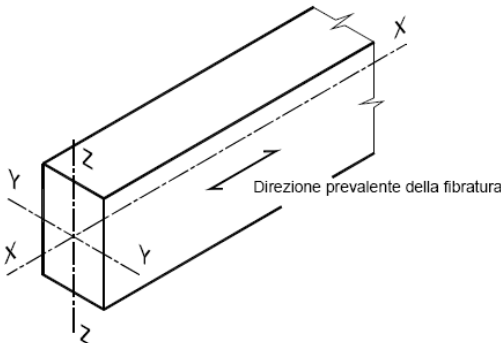
Verifiche di stabilità					
Elementi inflessi - asse y			La sezione è verificata		
l_{eff}	290,00	cm			
$\sigma_{m,y,crit}$	341,32	N/mm ²	tensione critica di svergolamento		
λ_{rel}	0,27		snellezza relativa di svergolamento		
k_{crit}	1,00		coefficiente di sbandamento laterale		
$\sigma_{m,y,d} / (k_{crit} f_{m,y,d}) + k_m \sigma_{m,z,d} / f_{m,z,d}$			0,74	<	1
$k_m \sigma_{m,y,d} / (k_{crit} f_{m,y,d}) + \sigma_{m,z,d} / f_{m,z,d}$			0,56	<	1
Elementi inflessi - asse z			La sezione è verificata		
l_{eff}	290,00	cm			
$\sigma_{m,z,crit}$	341,32	N/mm ²	tensione critica di svergolamento		
λ_{rel}	0,27		snellezza relativa di svergolamento		
k_{crit}	1,00		coefficiente di sbandamento laterale		
$\sigma_{m,z,d} / (k_{crit} f_{m,z,d}) + k_m \sigma_{m,y,d} / f_{m,y,d}$			0,56	<	1
$k_m \sigma_{m,z,d} / (k_{crit} f_{m,z,d}) + \sigma_{m,y,d} / f_{m,y,d}$			0,74	<	1
Elementi tensoinflessi - asse y			Verifica non necessaria		
Elementi tensoinflessi - asse z			Verifica non necessaria		
Elementi compressi			La sezione è verificata		
l_0	290,00	cm	lunghezza di libera inflessione		
i_y	4,91	cm	raggio di inerzia y		
i_z	4,91	cm	raggio di inerzia z		
$\lambda_{rel,c,y}$	1,00		snellezza relativa y		
$\lambda_{rel,c,z}$	1,00		snellezza relativa z		
k	1,07				
$k_{crit,c}$	0,69		coefficiente di sbandamento laterale		
$\sigma_{c,0,d} / (k_{crit,c} f_{c,0,d})$			0,18	<	1
Elementi pressoinflessi - asse y			La sezione è verificata		
$\sigma_{c,0,d} / k_{crit,c} f_{c,0,d} + \sigma_{m,y,d} / k_{crit} f_{m,y,d} + k_m \sigma_{m,z,d} / f_{m,z,d}$			0,92	<	1
$\sigma_{c,0,d} / k_{crit,c} f_{c,0,d} + k_m \sigma_{m,y,d} / k_{crit} f_{m,y,d} + \sigma_{m,z,d} / f_{m,z,d}$			0,74	<	1
Elementi pressoinflessi - asse z			La sezione è verificata		
$\sigma_{c,0,d} / k_{crit,c} f_{c,0,d} + \sigma_{m,z,d} / k_{crit} f_{m,z,d} + k_m \sigma_{m,y,d} / f_{m,y,d}$			0,74	<	1
$\sigma_{c,0,d} / k_{crit,c} f_{c,0,d} + k_m \sigma_{m,z,d} / k_{crit} f_{m,z,d} + \sigma_{m,y,d} / f_{m,y,d}$			0,92	<	1

Verifica sezione in legno - catena capriata 18x18								
Classe di durata del carico		Breve durata						
		meno di 1 settimana [neve a bassa quota]						
Classe di servizio		2	65% < UR < 85%		k _{mod}	0,9		
Tipologia		Legno massiccio				γ _m	1,50	
Sezione Rettangolare	H [cm]	16,0	A [cm ²]	J _y [cm ⁴]	J _z [cm ⁴]	W _y [cm ³]	W _z [cm ³]	
	B [cm]	16,0	256	5461	5461	683	683	
Valori caratteristici del materiale						C24		
Proprietà di Resistenza [N/mm ²]				Proprietà di modulo elastico [N/mm ²]				
Flessione*		f _{m,k}	24,00	parallelo medio		E _{0,m}	11000	
Trazione parallela*		f _{t,0,k}	14,00	parallelo caratteristico		E _{0,05}	7400	
Trazione perpendicolare		f _{t,90,k}	0,40	perpendicolare medio		E _{90,m}	370	
Compressione parallela		f _{c,0,k}	21,00	tangenziale medio		G _m	690	
Compressione perpendicolare		f _{c,90,k}	2,50	Massa volumica [kg/m ³]				
Taglio		f _{v,k}	4,00	caratteristica		ρ _k	350	
Considero k _h ?		NO	k _{h,fless,y}	1,00	k _{h,fless,z}	1,00	k _{h,traz}	1,00
Il coefficiente k _h incrementa i valori caratteristici di flessione e trazione parallela								
Stati limite ultimi								
Sollecitazioni [kN,kNm]								
N _d		-21,00	kN					
T _{z,d}		1,00	kN					
T _{y,d}		0,00	kN					
M _{y,d}		2,70	kNm					
M _{z,d}		0,50	kNm					
M _{t,d}		0,00	kNm					

Verifiche di resistenza					
Trazione parallela alla fibratura			La sezione è verificata		
$\sigma_{t,0,d}$	0,82	N/mm ²	<	$f_{t,0,d}$	8,40 N/mm ²
Trazione perpendicolare alla fibratura			Da sviluppare		
Compressione parallela alla fibratura			Verifica non necessaria		
Compressione perpendicolare alla fibratura			Da sviluppare		
Compressione inclinata rispetto alla fibratura			Da sviluppare		
Flessione			La sezione è verificata		
$\sigma_{m,y,d}$	3,96	N/mm ²		$\sigma_{m,z,d}$	0,73 N/mm ²
$f_{m,y,d}$	14,40	N/mm ²		$f_{m,z,d}$	14,40 N/mm ²
k_m	0,70				
$\sigma_{m,y,d} / f_{m,y,d} + k_m \sigma_{m,z,d} / f_{m,z,d}$			0,31	<	1
$k_m \sigma_{m,y,d} / f_{m,y,d} + \sigma_{m,z,d} / f_{m,z,d}$			0,24	<	1
Tensoflessione			La sezione è verificata		
$\sigma_{t,0,d} / f_{t,0,d} + \sigma_{m,y,d} / f_{m,y,d} + k_m \sigma_{m,z,d} / f_{m,z,d}$			0,41	<	1
$\sigma_{t,0,d} / f_{t,0,d} + k_m \sigma_{m,y,d} / f_{m,y,d} + \sigma_{m,z,d} / f_{m,z,d}$			0,34	<	1
Pressoflessione			Verifica non necessaria		
Taglio			La sezione è verificata		
τ_d	0,06	N/mm ²	<	$f_{v,d}$	2,40 N/mm ²
Torsione			Verifica non necessaria		
Taglio e Torsione			Verifica non necessaria		

Verifiche di stabilità					
Elementi inflessi - asse y			La sezione è verificata		
I_{eff}	543,00	cm			
$\sigma_{m,y,crit}$	171,57	N/mm ²	tensione critica di svergolamento		
λ_{rel}	0,37		snellezza relativa di svergolamento		
k_{crit}	1,00		coefficiente di sbandamento laterale		
$\sigma_{m,y,d} / (k_{crit} f_{m,y,d}) + k_m \sigma_{m,z,d} / f_{m,z,d}$			0,31	<	1
$k_m \sigma_{m,y,d} / (k_{crit} f_{m,y,d}) + \sigma_{m,z,d} / f_{m,z,d}$			0,24	<	1
Elementi inflessi - asse z			La sezione è verificata		
I_{eff}	543,00	cm			
$\sigma_{m,z,crit}$	171,57	N/mm ²	tensione critica di svergolamento		
λ_{rel}	0,37		snellezza relativa di svergolamento		
k_{crit}	1,00		coefficiente di sbandamento laterale		
$\sigma_{m,z,d} / (k_{crit} f_{m,z,d}) + k_m \sigma_{m,y,d} / f_{m,y,d}$			0,24	<	1
$k_m \sigma_{m,z,d} / (k_{crit} f_{m,z,d}) + \sigma_{m,y,d} / f_{m,y,d}$			0,31	<	1
Elementi tensoinflessi - asse y			La sezione è verificata		
$\sigma_{t,0,d} / f_{t,0,d} + \sigma_{m,y,d} / (k_{crit} f_{m,y,d}) + k_m \sigma_{m,z,d} / f_{m,z,d}$			0,41	<	1
$\sigma_{t,0,d} / f_{t,0,d} + k_m \sigma_{m,y,d} / (k_{crit} f_{m,y,d}) + \sigma_{m,z,d} / f_{m,z,d}$			0,34	<	1
Elementi tensoinflessi - asse z			La sezione è verificata		
$\sigma_{t,0,d} / f_{t,0,d} + \sigma_{m,z,d} / (k_{crit} f_{m,z,d}) + k_m \sigma_{m,y,d} / f_{m,y,d}$			0,34	<	1
$\sigma_{t,0,d} / f_{t,0,d} + k_m \sigma_{m,z,d} / (k_{crit} f_{m,z,d}) + \sigma_{m,y,d} / f_{m,y,d}$			0,41	<	1

Verifica sezione in legno - Banchina 22x22

Classe di durata del carico		Breve durata						
		meno di 1 settimana [neve a bassa quota]						
Classe di servizio		2	65% < UR < 85%		k _{mod}	0,9		
Tipologia		Legno massiccio			γ _m	1,50		
Sezione Rettangolare	H [cm]	22,0	A [cm ²]	J _y [cm ⁴]	J _z [cm ⁴]	W _y [cm ³]	W _z [cm ³]	
	B [cm]	22,0	484	19521	19521	1775	1775	
Valori caratteristici del materiale					C24			
Proprietà di Resistenza [N/mm ²]				Proprietà di modulo elastico [N/mm ²]				
Flessione*		f _{m,k}	24,00	parallelo medio		E _{0,m}	11000	
Trazione parallela*		f _{t,0,k}	14,00	parallelo caratteristico		E _{0,05}	7400	
Trazione perpendicolare		f _{t,90,k}	0,40	perpendicolare medio		E _{90,m}	370	
Compressione parallela		f _{c,0,k}	21,00	tangenziale medio		G _m	690	
Compressione perpendicolare		f _{c,90,k}	2,50	Massa volumica [kg/m ³]				
Taglio		f _{v,k}	4,00	caratteristica		ρ _k	350	
Considero k _h ?		NO	k _{h,fless,y}	1,00	k _{h,fless,z}	1,00	k _{h,traz}	1,00
Il coefficiente k _h incrementa i valori caratteristici di flessione e trazione parallela								
Stati limite ultimi								
Sollecitazioni [kN,kNm]								
N _d		-13,60	kN					
T _{z,d}		11,00	kN					
T _{y,d}		1,30	kN					
M _{y,d}		20,70	kNm					
M _{z,d}		1,50	kNm					
M _{t,d}		0,00	kNm					

Verifiche di resistenza					
Trazione parallela alla fibratura			La sezione è verificata		
$\sigma_{t,0,d}$	0,28	N/mm ²	<	$f_{t,0,d}$	8,40 N/mm ²
Trazione perpendicolare alla fibratura			Da sviluppare		
Compressione parallela alla fibratura			Verifica non necessaria		
Compressione perpendicolare alla fibratura			Da sviluppare		
Compressione inclinata rispetto alla fibratura			Da sviluppare		
Flessione			La sezione è verificata		
$\sigma_{m,y,d}$	11,66	N/mm ²		$\sigma_{m,z,d}$	0,85 N/mm ²
$f_{m,y,d}$	14,40	N/mm ²		$f_{m,z,d}$	14,40 N/mm ²
k_m	0,70				
$\sigma_{m,y,d} / f_{m,y,d} + k_m \sigma_{m,z,d} / f_{m,z,d}$			0,85	<	1
$k_m \sigma_{m,y,d} / f_{m,y,d} + \sigma_{m,z,d} / f_{m,z,d}$			0,63	<	1
Tensoflessione			La sezione è verificata		
$\sigma_{t,0,d} / f_{t,0,d} + \sigma_{m,y,d} / f_{m,y,d} + k_m \sigma_{m,z,d} / f_{m,z,d}$			0,88	<	1
$\sigma_{t,0,d} / f_{t,0,d} + k_m \sigma_{m,y,d} / f_{m,y,d} + \sigma_{m,z,d} / f_{m,z,d}$			0,66	<	1
Pressoflessione			Verifica non necessaria		
Taglio			La sezione è verificata		
τ_d	0,34	N/mm ²	<	$f_{v,d}$	2,40 N/mm ²
Torsione			Verifica non necessaria		
Taglio e Torsione			Verifica non necessaria		

Verifiche di stabilità					
Elementi inflessi - asse y			La sezione è verificata		
I_{eff}	385,00	cm			
$\sigma_{m,y,crit}$	332,71	N/mm ²	<i>tensione critica di svergolamento</i>		
λ_{rel}	0,27		<i>snellezza relativa di svergolamento</i>		
k_{crit}	1,00		<i>coefficiente di sbandamento laterale</i>		
$\sigma_{m,y,d} / (k_{crit} f_{m,y,d}) + k_m \sigma_{m,z,d} / f_{m,z,d}$			0,85	<	1
$k_m \sigma_{m,y,d} / (k_{crit} f_{m,y,d}) + \sigma_{m,z,d} / f_{m,z,d}$			0,63	<	1
Elementi inflessi - asse z			La sezione è verificata		
I_{eff}	385,00	cm			
$\sigma_{m,z,crit}$	332,71	N/mm ²	<i>tensione critica di svergolamento</i>		
λ_{rel}	0,27		<i>snellezza relativa di svergolamento</i>		
k_{crit}	1,00		<i>coefficiente di sbandamento laterale</i>		
$\sigma_{m,z,d} / (k_{crit} f_{m,z,d}) + k_m \sigma_{m,y,d} / f_{m,y,d}$			0,63	<	1
$k_m \sigma_{m,z,d} / (k_{crit} f_{m,z,d}) + \sigma_{m,y,d} / f_{m,y,d}$			0,85	<	1
Elementi tensoinflessi - asse y			La sezione è verificata		
$\sigma_{t,0,d} / f_{t,0,d} + \sigma_{m,y,d} / (k_{crit} f_{m,y,d}) + k_m \sigma_{m,z,d} / f_{m,z,d}$			0,88	<	1
$\sigma_{t,0,d} / f_{t,0,d} + k_m \sigma_{m,y,d} / (k_{crit} f_{m,y,d}) + \sigma_{m,z,d} / f_{m,z,d}$			0,66	<	1
Elementi tensoinflessi - asse z			La sezione è verificata		
$\sigma_{t,0,d} / f_{t,0,d} + \sigma_{m,z,d} / (k_{crit} f_{m,z,d}) + k_m \sigma_{m,y,d} / f_{m,y,d}$			0,66	<	1
$\sigma_{t,0,d} / f_{t,0,d} + k_m \sigma_{m,z,d} / (k_{crit} f_{m,z,d}) + \sigma_{m,y,d} / f_{m,y,d}$			0,88	<	1

VERIFICA NODO PUNTONE CAPRIATA E CATENA

A favore di sicurezza si verifica il nodo in assenza delle piastre e delle viti di fissaggio.

Sforzo normale puntone $N_d = 4600 \text{ daN}$

Verifica scorrimento

$$B = 18 \text{ cm}$$

$$L = 15 + 25 = 40 \text{ cm}$$

$$\alpha = 19^\circ$$

$$\tau_{v,d} = N_d \times \cos \alpha / (B \times L) = 6,05$$

$$f_{v,d} = f_{v,k} \times K_{\text{mod}} / \gamma_M = 27 \times 0,9 / 1,45 = 16,8 \text{ daN/cm}^2$$

$$\tau_{v,d} / f_{v,d} = 6,05 / 16,8 = 0,36 < 1$$

Verifica a pressione

$$B = 18 \text{ cm}$$

$$a = 15 \text{ cm}$$

$$\sigma_{c,\alpha,d} = N_d / B \times a = 17 \text{ daN/cm}^2$$

$$f_{c,0,d} = f_{c,0,k} \times K_{\text{mod}} / \gamma_M = 240 \times 0,9 / 1,45 = 149 \text{ daN/cm}^2$$

$$f_{c,90,d} = f_{c,90,k} \times K_{\text{mod}} / \gamma_M = 27 \times 0,9 / 1,45 = 16,8 \text{ daN/cm}^2$$

$$f_{c,\alpha,d} = \frac{f_{c,0,d}}{\frac{f_{c,0,d}}{f_{c,90,d}} \sin^2 \alpha + \cos^2 \alpha} = 81,4 \text{ daN/cm}^2$$

$$\sigma_{c,\alpha,d} / f_{c,\alpha,d} = 17 / 81,4 = 0,21 < 1$$